## Daniele Zaccaria

# MECCANICA DELLE TRAVI

Dispense del Corso di SCIENZA DELLE COSTRUZIONI

Corsi di Laurea in Ingegneria Civile e Ambientale, Ingegneria Industriale, Ingegneria Navale



## Copyright © 2016 Daniele ZACCARIA. All rights reserved.

Questo documento può essere riprodotto e distribuito in tutto o in parte, con ogni mezzo fisico o elettronico, purché questo avviso di copyright sia mantenuto su tutte le copie. La ridistribuzione commerciale non è permessa. Ogni traduzione, lavoro derivato o comprendente questo documento deve contenere questo stesso avviso di copyright : per esempio, non si possono produrre lavori derivati da questo documento ed imporre restrizioni aggiuntive sulla sua distribuzione. Per ulteriori informazioni si prega di contattare l'autore all'indirizzo zaccaria@units.it.

This document may be reproduced and distributed in whole or in part, in any medium physical or electronic, as long as this copyright notice is retained on all copies. Commercial redistribution is not allowed. All translations, derivative works, or aggregate works incorporating this document in whole or in part must be covered under this copyright notice. That is, you may not produce a derivative work from this document and impose additional restrictions on its distribution. For further information please contact the author at zaccaria@units.it.

Trieste, 9 settembre 2016

INDICE		1.5.2 Vettore algebrico di sollecitazione	26
		Trasformazione rigida relativa in cinematica finita	
		1.6.2 Componenti di deformazione	
Premessa	9	1.6.3 Integrazione delle equazioni di congruenza	28
		1.6.4 Travi inflesse	29
1 Fondamenti di meccanica delle travi	11	1.7 Polo della trasformazione rigida relativa	30
1.1 Modellizzazione geometrica		1.7.1 Cambiamento del polo della trasformazione rigida	
1.1.1 Travi snelle e tozze		relativa	
1.1.2 Travi a grande e piccola curvatura		1.7.2 Vettore algebrico di deformazione	31
1.1.3 Travi a lenta, veloce e brusca variazione di sezione .		1.7.3 Deformazione locale	32
1.1.4 Travi a piccola curvatura e a lenta variazione di sezio		Linea longitudinale definita da un generico punto	32
1.1.5 Riferimento locale lungo l'asse della trave		1.8 Travi piane	33
1.2 Cinematica delle travi		1.8.1 Statica della trave piana	34
1.2.1 Modello cinematico di sezione indeformata		1.8.2 Cinematica della trave piana	36
Teoria di Vlasov		Trave piana ad asse rettilineo	36
1.2.2 Variabili cinematiche		Trave piana inflessa	37
1.2.3 Componenti locali degli spostamenti e delle rotazion		Determinazione diretta del vincolo di trave inflessa	
1.3 Dinamica delle travi		e della dilatazione della linea d'asse nel caso	
1.3.1 Forze esterne		di trave inflessa piana ad asse rettilineo	37
Relazioni tra le forze e le coppie distribuite sul		1.9 Principio dei lavori virtuali per le travi	37
linea d'asse e le forze distribuite nel volun		Equivalenza tra principio dei lavori virtuali ed	
e sulla superficie laterale della trave		equilibrio di forze e caratteristiche della	
1.3.2 Caratteristiche della sollecitazione		sollecitazione	38
1.3.3 Componenti locali delle forze e delle caratteristich			
della sollecitazione			41
1.3.4 Relazione tra le componenti delle caratteristiche del		2.1 Teoria tecnica delle travi	
sollecitazione e le componenti di tensione		2.2 Lavoro di deformazione nelle travi	
1.3.5 Massa, quantità di moto e momento della quantità		2.3 Energia elastica di deformazione nelle travi	
moto		2.4 Teoremi sul lavoro di deformazione	
1010 AIRCOI CICULIOIII VIIICOIGII TATATATATATATATA		Little reorema ar chapeyron in the transfer in	10

1.4Equazioni di equilibrio221.4.1Equazioni indefinite di equilibrio221.4.2Equazioni di discontinuità231.4.3Condizioni statiche al contorno241.5Polo di calcolo del momento241.5.1Cambiamento del polo di calcolo del momento24

		2.4.2 Teorema di Betti		Rettangolo sottile
	2.5	Energia potenziale totale nelle travi		Triangolo rettangolo
		2.5.1 Variazione del funzionale energia potenziale totale		Arco circolare sottile
		2.5.2  Principio di stazionarietà dell'energia potenziale totale .		Settore circolare
		2.5.3 Principio di minimo dell'energia potenziale totale		3.4.2 Sezioni Composte di parti semplici 95
	2.6	Centri di flessione e di taglio		Sezione composta di due rettangoli 95
		2.6.1 Centro di flessione	56	Sezione rettangolare con un intaglio 97
		2.6.2 Centro di taglio		La sezione a C sottile
		2.6.3 Energia elastica di deformazione		La sezione a Z sottile
		Coordinate dei centri di flessione e di taglio	58	4 75' 4 71 - 1 - 1 - 1 - 1 - 1 - 1 - 1 - 1 - 1
•	36.	lu. Prima p P	61	4 Distribuzione della tensione normale 10
3		lello di Eulero-Bernoulli	61	4.1 Criterio di snervamento
	3.1	Legame costitutivo nell'intorno di un punto		4.2 Forza normale centrata
		3.1.1 Legame costitutivo elastico		4.2.1 Sezioni omogenee
	2.0	3.1.2 Legame costitutivo elastoplastico		4.2.2 Sezioni composte di più materiali
	3.2	Legame costitutivo assiale-flessionale elastico lineare		4.2.3 Concentrazioni di sforzo
		3.2.1 Legame costitutivo assiale		4.2.4 Condizioni di snervamento (sezioni omogenee) 11
		3.2.2 Legame costitutivo flessionale		Integrazione in un campo di spostamenti
		3.2.3 Travi omogenee a piccola curvatura		4.3 Flessione retta
		3.2.4 Travi piane		4.3.1 Sezioni omogenee
	2.2	Legame costitutivo tagliante e torcente		Sezione a doppio T tipo IPE
	3.3	Geometria delle masse		4.3.2 Sezioni composte di più materiali
		3.3.1 Masse distribuite su un'area piana		Omogeneizzazione
		3.3.2 Vettore dei momenti statici		Sezione rettangolare in cemento armato
		Momenti statici		4.3.3 Condizioni di snervamento
		Proprietà del baricentro		Cenni al calcolo a rottura
		3.3.3 Tensore di inerzia		Integrazione in un campo di spostamenti
		Momenti di inerzia	78	4.4 Flessione Deviata
		Formule di trasposizione o del trasporto (Teorema di	0.4	4.4.1 Relazione tra asse neutro e asse di sollecitazione
		Huyghens-Steiner)		(coniugio)
		Direzioni e momenti principali di inerzia		Proprietà del coniugio
		Formule di rotazione		Legame costitutivo nel sistema coniugato 12
		Circonferenza di Mohr		Formula del coniugio
		Raggi di inerzia		4.4.2 Tensioni normali
		Ellisse centrale di inerzia (o ellisse di Culmann)		4.4.3 Sezioni omogenee
	3.4	Sezioni omogenee		4.4.4 Proprietà dell'ellisse centrale di inerzia
		3.4.1 Sezioni tipiche		Proprietà delle tangenti
		Rettangolo	88	4.4.5 Sezione rettangolare con un intaglio

	4.5	Forza normale eccentrica	6 Distribuzione della tensione tangenziale 199
		4.5.1 Asse neutro	6.1 Formula di Jourawski
		4.5.2 Tensione normale	6.2 Criteri di snervamento
		4.5.3 Sezioni omogenee	6.3 Torsione
		4.5.4 Antipolarità di inerzia	6.3.1 La sezione circolare
		Equazione segmentaria dell'asse neutro 140	6.3.2 La sezione circolare cava
		Corrispondenza tra rette e punti 141	6.3.3 Mensola di sezione circolare cava 204
		Teorema di reciprocità	6.3.4 La torsione nelle travi di sezione sottile chiusa 20!
		Polarità di inerzia	Sezione scatolare di forma rettangolare 20
		4.5.5 Sezione composta di due rettangoli 143	Fattore torsionale di rigidezza 208
		4.5.6 Sezione circolare composta di due materiali 147	La torsione nelle sezioni sottili chiuse pluriconnesse 210
		4.5.7 Nocciolo centrale di inerzia	6.3.5 La torsione nelle travi di sezione sottile aperta 21
		Contorno del nocciolo quale luogo di punti	La sezione rettangolare sottile 214
		Contorno del nocciolo quale inviluppo di rette 151	La sezione sottile generica
		Corrispondenza tra vertici e segmenti	Semicirconferenza sottile
		Sezione rettangolare	La sezione a C
		Convessità del nocciolo centrale di inerzia	6.4 Taglio
			6.4.1 Centro di taglio
		Sezione non reagente a trazione	6.4.2 Formula di Jourawski
		4.5.8 Sistema di masse-momenti statici	Formula di Jourawski binomia
		Sezione rettangolare in cemento armato a doppia	Formula di Jourawski monomia
		armatura	Sezione a doppio T
_	Mod	dello di Saint-Venant 163	6.4.3 Il taglio nelle sezioni compatte simmetriche 230
,		Caratteristiche della sollecitazione	6.4.4 Sezione rettangolare
			6.4.5 Sezione circolare
		Principio e ipotesi di Saint-Venant	6.4.6 Sezione triangolare equilatera
			6.4.7 Il taglio nelle sezioni sottili aperte
		Estensione del problema di Saint-Venant	Fattori di taglio
	5.5	Problema della torsione	Diagramma qualitativo su tratti rettilinei a spessore
		5.5.1 Funzione di ingobbamento	costante
		5.5.2 Legame costitutivo torsionale	Equilibrio in un nodo triplo
		5.5.3 Funzione delle tensioni	6.4.8 La sezione a doppio T
	5.6	Centro di taglio	6.4.9 La sezione a L a lati uguali
		5.6.1 Problema di flessione, taglio e torsione 180	6.4.10 La sezione a C
		5.6.2 Energia complementare mutua 181	Taglio parallelo all'anima passante per il centro di taglio 24
		Soluzione del problema di Saint-Venant 185	Centro di taglio
	5.7	Legame costitutivo tagliante	Taglio agente secondo l'asse di simmetria 253
		Fattori di taglio	6.4.11 Sezione a Z

6.4.12	2 Il taglio nelle sezioni sottili chiuse simmetriche	258
6.4.13	3 Sezione scatolare rettangolare	260
Riferimenti b	pibliografici	261
Indice analiti	co	263

## **PREMESSA**

In questa seconda dispensa di *Scienza delle Costruzioni* vengono introdotti i principali concetti di base riguardanti la meccanica della trave. Si sviluppano innanzitutto la cinematica e la statica delle travi. Ci si rivolgepoi a descrivere il legame costitutivo elastico lineare e a sviluppare in tale ambito sia il modello di Eulero-Bernoulli che quello di Saint-Venant. Nell'ambito di tali modelli viene risolto anche il problema della determinazione dello sforzo interno nel solido trave a partire dalla conoscenza delle caratteristiche della sollecitazione.



## FONDAMENTI DI MECCANICA DELLE TRAVI

## 1.1 Modellizzazione geometrica

Come già detto, una trave è geometricamente un solido monodimensionale descritto dalla linea d'asse e dalle sezioni rette associate ai punti della stessa linea d'asse (fig. 1.1). Alla linea d'asse si richiederà di essere mono-

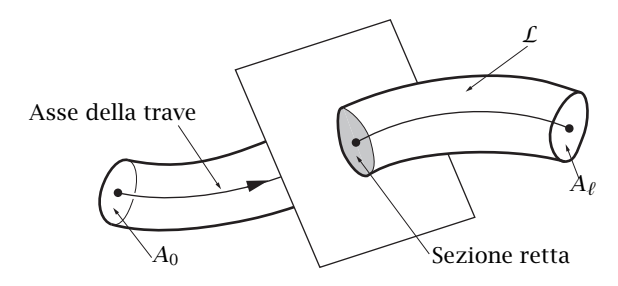


Figura 1.1: Trave

connessa e quindi di avere due punti di estremità di cui l'uno sarà, opportunamente orientata la linea d'asse, il punto di prima estremità 0 e l'altro di seconda estremità  $\ell$ . La linea d'asse e le associate sezioni rette ricostruiscono un solido  $\mathcal B$  caratterizzato da un dominio avente la superficie di contorno  $\partial \mathcal B$  composta dalle due sezioni  $A_0$  e  $A_\ell$  di prima e seconda estremità rispettivamente e dalla parte restante  $\mathcal L$  detta superficie laterale della trave.

La scelta di una linea d'asse da associare ad un generico corpo monodimensionale ha, allo stato attuale, ampi margini di arbitrarietà. Se, e quando, lo sviluppo dei particolari di un dato modello di trave dovesse fornire un significato fisico preciso a certi punti di una sezione retta, la scelta della linea d'asse ne potrà essere condizionata. È implicita in tale asserzione che un solido monodimensionale, descrivibile da un'unica linea d'asse, deve potersi considerare anche quale insieme di fibre longitudinali, ovverossia di fibre che hanno più o meno l'andamento del solido. Affinché tali fibre siano più o meno scambiabili tra loro nella descrizione del solido occorre anche che debbano avere più o meno lo stesso andamento. Il senso preciso di tale affermazione è che una volta prescelta una certa rappresentazione tramite una linea d'asse e le associate sezioni rette, sia possibile scegliere un insieme di fibre longitudinali che abbiano più o meno la stessa lunghezza tra due qualunque sezioni rette e siano tutte se non ortogonali, come lo è la linea d'asse, almeno quasi ortogonali alle sezioni rette.

Si noti che il modello geometrico prescelto di trave non deve, obbligatoriamente, coincidere con un dato corpo monodimensionale ma può semplicemente approssimarlo, soprattutto se in tal modo si semplifica l'analisi del problema. A supporto di tale affermazione si consideri una tipica mensola in cemento armato, quale quella riportata in fig. 1.2, di sezioni verticali rettangolari. Innanzitutto, la forma della mensola suggerirebbe una linea d'asse leggermente inclinata rispetto alla orizzontale ma, data la piccolezza, e quindi l'ininfluenza, di tale inclinazione è prassi la scelta di una linea d'asse orizzontale. Le sezioni rette (verticali) sono rettangolari e quindi

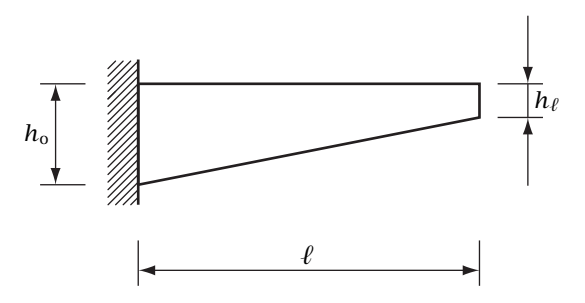


Figura 1.2: Casseratura della mensola

doppiamente simmetriche e potrebbe essere quindi desiderabile scegliere quale linea d'asse il luogo dei punti intersezione degli assi di simmetria. Con tale scelta il modello geometrico individua il corpo di fig. 1.3, che non

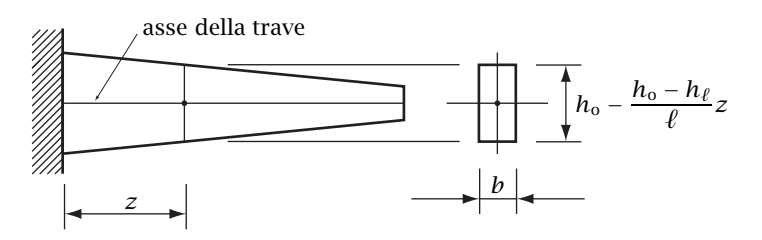


Figura 1.3: Modello geometrico della mensola

coincide geometricamente con la mensola originale che il modello vuole descrivere ma, più semplicemente, l'approssima.

#### 1.1.1 Travi snelle e tozze

L'attendibilità del modello di trave dipende dal rapporto  $\ell/H$  tra la lunghezza della linea d'asse  $\ell$  e una dimensione significativa H delle sezioni rette. A parità di forma della sezione, più tale rapporto è grande e più la trave è *snella*, viceversa più tale rapporto è piccolo e più la trave è *tozza*.

Più una trave è tozza e meno il solido che rappresenta si presta ad essere descritto da un modello monodimensionale.

In alcuni casi, all'aumentare del rapporto  $\ell/H$ , potrebbe diventare significativo anche il concetto di *trave molto snella*, a differenza di quello di *trave molto tozza* che non può che significare il fatto che ormai il solido non ha più niente di monodimensionale e che quindi non è più modellabile come trave.

#### 1.1.2 Travi a grande e piccola curvatura

Nel caso in cui la linea d'asse sia curvo, oltre al rapporto precedente occorre però considerarne anche un altro che riguarda la curvatura della linea d'asse. Ciò dipende dal fatto che un solido monodimensionale deve potersi anche considerare, come detto, quale insieme di fibre longitudinali senza forti differenze di lunghezza tra di loro, cosa che invece avverrebbe se il raggio di curvatura a fosse commisurabile alla dimensione H della sezione (fig. 1.4). A parità di forma della sezione, più il rapporto H/a

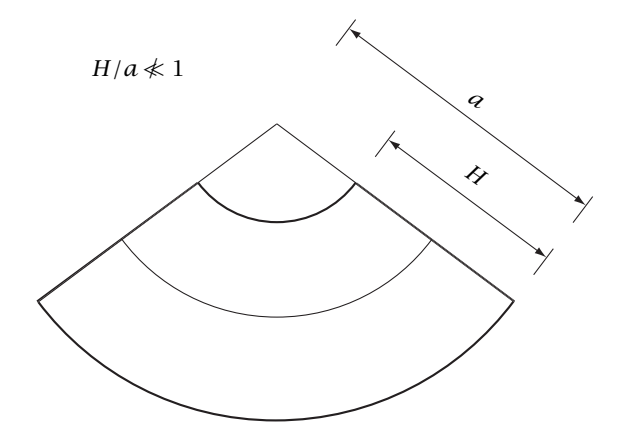


Figura 1.4: Trave a grande curvatura

è piccolo e più la trave è *a piccola curvatura*, mentre più tale rapporto è grande e più la trave è a *grande curvatura*.<sup>2</sup> Più una trave è a grande

<sup>&</sup>lt;sup>1</sup>Nella letteratura inglese, per esprimere che una trave è snella, oltre al termine *slender*, si utilizzano spesso i termini *long* e *thin*, a volte anche insieme.

<sup>&</sup>lt;sup>2</sup>Nella letteratura inglese, per esprimere che una trave curva è a piccola curvatura si usa il termine *thin*, mentre per esprimere che è a grande curvatura si usa il termine *thick*.

curvatura e meno il solido che rappresenta si presta ad essere descritto da un modello monodimensionale.

#### 1.1.3 Travi a lenta, veloce e brusca variazione di sezione

In generale le sezioni rette delle travi saranno variabili da punto a punto della linea d'asse. Un esempio di tal genere è rappresentato dalla trave ad asse rettilineo di fig. 1.3. Come detto più sopra, il solido deve poter essere descritto da un insieme di fibre longitudinali quasi ortogonali alle sezioni rette, il che impone che l'eventuale variazione di sezione deve essere sufficientemente lenta.

Se  $\Delta H$  è la variazione di una lunghezza significativa della sezione (significativa dal punto di vista della variazione) tra due sezioni poste alla distanza  $\Delta s$  allora più il rapporto  $\Delta H/\Delta s$  è piccolo (eventualmente al limite nell'intorno di una data sezione) e più la trave ha una *lenta variazione di sezione* tra le due sezioni (nell'intorno della data sezione), mentre più il rapporto è grande e più la trave ha una *veloce variazione di sezione*. Se il rapporto, al limite nell'intorno di un dato punto della linea d'asse, va all'infinito la trave ha invece una *brusca variazione di sezione* in corrispondenza del dato punto, punto a cui non può essere pertanto associata nessuna sezione retta.

Nel caso di fig. 1.3, quale lunghezza significativa si può assumere l'altezza della sezione rettangolare mentre la variazione di sezione, data la sua uniformità, può essere commisurata alle sezioni iniziale e finale ottenendo il rapporto  $\frac{h_o - h_\ell}{\ell}$ .

## 1.1.4 Travi a piccola curvatura e a lenta variazione di sezione

Si consideri un tronco di trave V intorno di una data sezione retta A e corrispondente di un tratto  $\Delta s$  della linea d'asse di una data trave. Sotto l'ipotesi di piccola curvatura e di sezione lentamente variabile la situazione geometrica del dato tronco di trave è approssimata da quella di un tronco di trave cilindrico di sezione A, almeno se  $\Delta s$  è piccolo, ovverossia per  $\Delta s \rightarrow 0$  (fig. 1.5).

Tenendo conto che "normalmente" una trave vera e propria che non sia ad asse rettilineo e a sezione costante "dovrebbe essere" a piccola curvatura e a lenta variazione di sezione, nel seguito di questa trattazione alcune

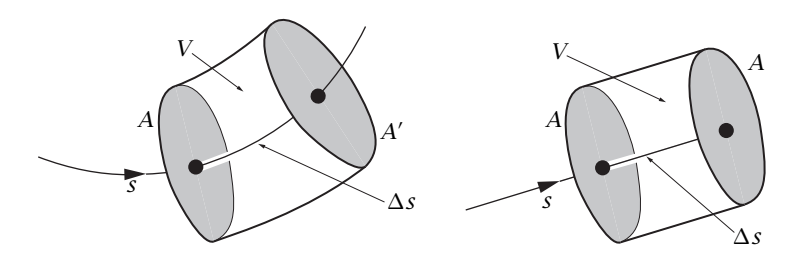


Figura 1.5: Approssimazione di un tronco di trave

relazioni che riguardano l'intorno di una sezione retta saranno ricavate con riferimento ad un tronco di trave cilindrico. Per evitare equivoci si ribadisce che al limite per  $\Delta s \to 0$  si avrà in generale una buona approssimazione, non un risultato esatto. Il risultato ottenuto sarà esatto solo per la trave ad asse rettilineo e a sezione costante, cioè nel caso in cui effettivamente i tronchi di trave nell'intorno di una data sezione siano esattamente cilindrici. Si faccia attenzione alla dizione "risultato esatto", poiché lo è solo nei limiti delle particolari ipotesi che saranno state utilizzate e che caratterizzeranno un particolare modello di trave. Un modello di trave diverso può avere ipotesi diverse e originare risultati diversi, esatti, per quel dato modello, nel caso di trave ad asse rettilineo e a sezione costante.

Un primo uso della detta approssimazione è la riduzione di un integrale esteso ad un tronco di trave V, intorno di una sezione A, di una quantità  $f_V$  (non ha importanza se scalare, vettoriale oppure tensoriale) per unità di volume ad una integrazione nell'area A seguita da una integrazione sulla parte di linea  $\Delta s$  che definisce il tronco di trave (fig. 1.5):<sup>3</sup>

$$\int_{V} f_{V} dV = \int_{\Delta s} \left( \int_{A} f_{V} dA \right) ds.$$
 (1.1)

Si noti che tale riduzione vale solo nel caso di un volume cilindrico e che quindi in generale la riduzione stessa è solo approssimata. Dalla (1.1) risulta evidente che la grandezza f definita dalla seguente relazione:

$$f = \int_{A} f_{V} \, \mathrm{d}A. \tag{1.2}$$

<sup>&</sup>lt;sup>3</sup>Per il *teorema di riduzione* si veda per esempio Gilardi (1996, pp. 465-477)

<sup>&</sup>lt;sup>4</sup>In realtà la (1.1), come si evince dal teorema di riduzione citato alla nota precedente, vale in modo esatto anche nel caso in cui l'asse sia rettilineo e la sezione variabile, indipendentemente dalla velocità di variazione.

rappresenta una grandezza per unità di linea che integrata lungo la linea riproduce l'integrale nel volume del tronco di trave dell'originale grandezza  $f_{\rm V}$  per unità di volume. Attenzione ad interpretare correttamente la (1.2): per ottenere il valore di f in corrispondenza di un dato punto della linea d'asse occorre integrare la  $f_{\rm V}$  sui punti della corrispondente sezione retta A.

### 1.1.5 Riferimento locale lungo l'asse della trave

Un generico punto O della linea d'asse della trave può essere individuato da una coordinata curvilinea s che, ora e nel seguito, si assume essere la sua lunghezza d'arco (fig. 1.6a). Alla linea d'asse di una trave si richiederà

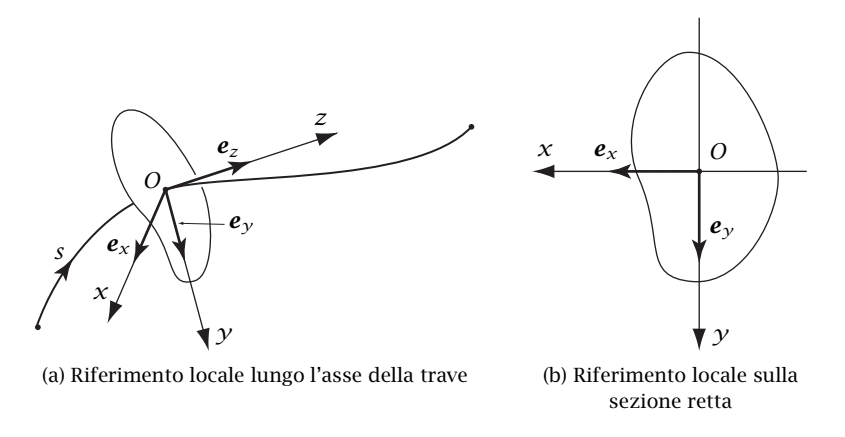


Figura 1.6: Riferimento locale

di essere una curva sufficientemente regolare, nel senso che risulti definita in ogni suo punto la retta tangente e quindi il piano ortogonale alla curva stessa e definente la sezione retta. Se tale condizione di regolarità è soddisfatta, sarà possibile scegliere localmente, in corrispondenza di ogni punto O della linea d'asse, un sistema di assi cartesiani ortogonali locale Oxyz avente la direzione z ortogonale alla sezione retta, quindi tangente alla linea d'asse in O, e con gli assi x e y ortogonali tra loro e posti sulla stessa sezione retta (fig. 1.6b). Tale sistema locale di assi così come l'associata base ortonormale  $e_x$ ,  $e_y$ ,  $e_z$  dipenderanno in generale dal punto e quindi dalla coordinata curvilinea s, salvo che la linea d'asse non sia rettilinea. Nel

caso di una trave ad asse curvo, gli assi x e y posti nel piano della sezione si possono fare corrispondere rispettivamente con la *binormale* e con la *normale principale* alla curva.

#### 1.2 Cinematica delle travi

Con riferimento alla fig. 1.7 la cinematica di una trave sarà descritta sce-

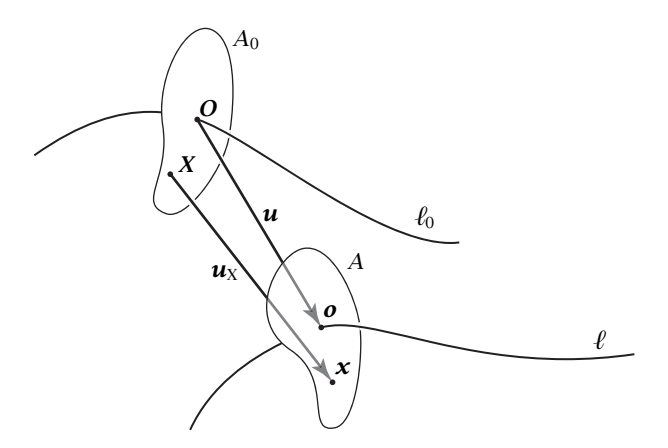


Figura 1.7: Spostamenti

gliendo innanzitutto una configurazione di riferimento, individuata dalla sua linea d'asse  $\ell_0$  e dalle associate sezioni rette  $A_0$ . Nel caso più generale possibile, la configurazione deformata della trave sarà quindi caratterizzata da una linea d'asse  $\ell$  e dalle associate sezioni rette A deformate. La linea d'asse e le sezioni rette deformate possono essere, per esempio, individuate dagli spostamenti dei punti posti sulla linea d'asse e sulle sezioni rette nella configurazione di riferimento. Nello spirito di un modello monodimensionale, che vuole essere una semplificazione rispetto al modello tridimensionale, tutte le funzioni che intervengono dovranno però essere definite solo sui punti della linea d'asse di riferimento. Ne consegue che i campi di spostamento definiti nei punti delle sezioni rette indeformate devono essere fatti dipendere approssimativamente da un certo numero di funzioni definite sulla linea d'asse indeformata. Tale dipendenza equivale ad un vincolamento dei campi di spostamento delle sezioni rette.

Per quel che riguarda la linea d'asse deformata, questa può essere individuata in generale dallo spostamento  $\boldsymbol{u}$  dei suoi punti. Indicando con  $\boldsymbol{O}$  il generico punto della linea d'asse indeformata  $\ell_0$ , resta così individuata la seguente funzione a valori vettoriali:

$$u: \ell_0 \to \mathcal{V}, \quad O \mapsto u(O).$$
 (1.3)

Se sulla linea d'asse indeformata viene scelta una coordinata curvilinea s, la funzione (1.3) diventa:

$$\mathbf{u}: [s_0, s_\ell] \to \mathcal{V}, \quad s \mapsto \mathbf{u}(s),$$
 (1.4)

dove  $s_0$  e  $s_\ell$  sono le coordinate dei punti di prima e, rispettivamente, seconda estremità sulla linea d'asse indeformata.

La descrizione della cinematica delle sezioni rette per il tramite di funzioni definite sulla linea d'asse implica invece una scelta del modello cinematico di trave che si vuole utilizzare.

#### 1.2.1 Modello cinematico di sezione indeformata

Il più semplice, e quindi più comune, modello cinematico utilizzato in ambito tecnico per la modellizzazione della trave deformabile è quello di richiedere che le sezioni rette restino indeformate. Ne consegue che la generica sezione deformata può essere individuata da una trasformazione rigida che porta la sua configurazione indeformata in quella deformata. Per evitare equivoci si sottolinea ancora una volta che la trasformazione rigida ha unicamente lo scopo di individuare, rispetto alla configurazione di riferimento, la configurazione deformata ad un dato istante e quindi non si tratta di un moto rigido che porta la configurazione di riferimento in quella deformata.

Conseguentemente a tale scelta, il campo degli spostamenti e le associate deformazioni della trave, quale solido tridimensionale, dipendono esclusivamente dalle trasformazioni rigide delle sezioni rette. Le funzioni da cui dipendono i campi di spostamento delle singole sezioni rette sono quindi i parametri delle trasformazioni rigide delle sezioni stesse che, a differenza del caso di una trave rigida, variano in generale lungo la linea d'asse, potendo quindi produrre una deformazione della trave.

La richiesta di sezione retta indeformata equivale alle due seguenti ipotesi:

- 1. Le sezioni rette si conservano piane;
- 2. Le sezioni rette si conservano indeformate nel proprio piano;

ed è in guesta forma che spesso viene citata tale ipotesi cinematica.

Posto il problema in questi termini, ne consegue immediatamente che le sezioni rette dopo la deformazione non sono in generale "sezioni rette" della configurazione deformata, salvo il caso particolare in cui si richieda che si conservino piane e ortogonali alla linea d'asse deformata, richiesta che è alla base del modello di trave *inflessa* o di *Eulero-Bernoulli*. Il caso generale in cui le sezioni rette non restano ortogonali alla linea d'asse deformata non crea nessuna particolare difficoltà se si assume l'ipotesi di piccoli spostamenti e piccole deformazioni, poiché in tal caso la configurazione deformata è approssimata da quella indeformata. Nel caso in cui gli spostamenti siano grandi la trave deformata è ancora un solido monodimensionale e come tale descrivibile geometricamente da una linea d'asse e da delle associate sezioni rette, che però in generale non corrisponderanno, tramite la deformazione, alle sezioni rette della configurazione di riferimento.

 $\Diamond$   $\Diamond$   $\Diamond$ 

**Teoria di Vlasov.** Vi sono casi in cui l'ipotesi cinematica di indeformabilità delle sezioni rette è troppo restrittiva e necessita quindi di essere allentata. Tra questi per esempio il problema della *torsione di travi di sezione sottile aperta*. In tal caso, agli spostamenti dovuti al moto rigido della sezione retta viene sommato un campo di spostamenti ortogonale alla sezione stessa che la ingobbano, pur conservandola indeformata nel proprio piano. Il campo di spostamenti ortogonale alla sezione viene ottenuto moltiplicando una funzione definita sulla linea d'asse, costituente una delle incognite del problema, con una funzione definita sulla sezione retta, detta *funzione di ingobbamento*<sup>6</sup> e dipendente solo dalla forma geometrica della sezione.

 $\diamond$   $\diamond$   $\diamond$ 

#### 1.2.2 Variabili cinematiche

La trasformazione rigida di una generica sezione retta può essere descritta dalla composizione di una traslazione e di una rotazione. In particolare, la traslazione può essere scelta di entità pari allo spostamento del

<sup>&</sup>lt;sup>5</sup>Bernoulli-Euler theory of bending nella letteratura inglese.

<sup>&</sup>lt;sup>6</sup> Warping function nella letteratura inglese.

punto della sezione posto sulla linea d'asse con la conseguenza che l'asse di rotazione contiene tale punto. Si noti che la scelta del punto sulla linea d'asse quale polo della descrizione cinematica non è obbligata, per cui sarà sempre possibile modificare tale scelta nel momento in cui se ne presenterà la necessità. È indifferente l'ordine in cui si effettuano la traslazione e la rotazione, per cui, con riferimento alla fig. 1.8, può prima effettuarsi

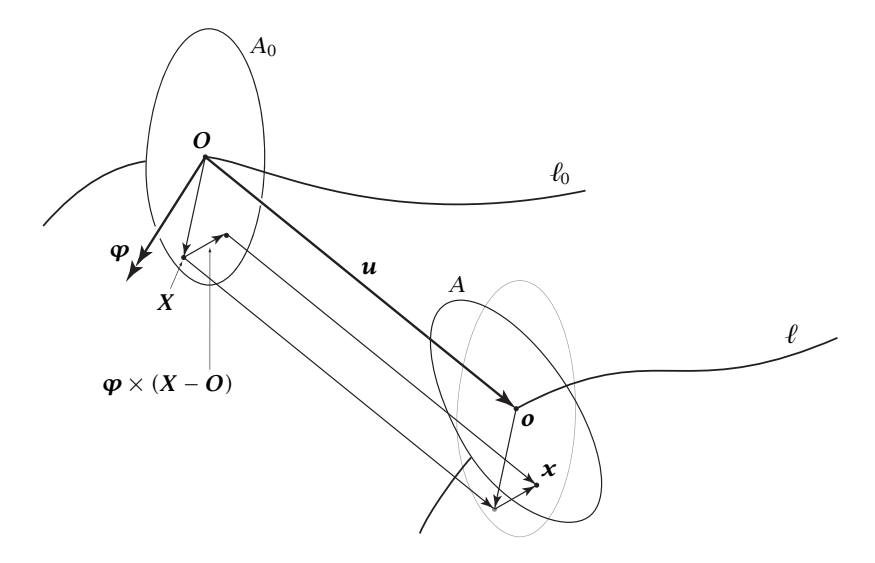


Figura 1.8: Descrizione cinematica di una trave

la traslazione che porta O su o e indi la rotazione con asse passante per il punto o della configurazione deformata, oppure prima la rotazione con asse passante per il punto o della configurazione indeformata e indi traslare la sezione così ruotata.

Il campo delle traslazioni delle sezioni rette coincide allora con il campo (1.3) degli spostamenti  $\boldsymbol{u}$  dei punti della linea d'asse indeformata  $\ell_0$  (fig. 1.7 p. 14). Nell'ambito dell'ipotesi di piccoli spostamenti, e quindi di piccole rotazioni, le rotazioni sono poi descritte da un vettore rotazione  $\boldsymbol{\varphi}$ . Ancora con riferimento alla fig. 1.8, lo spostamento  $\boldsymbol{u}_X$  del generico punto  $\boldsymbol{X}$  della sezione retta dovuto alla rototraslazione di polo il punto  $\boldsymbol{O}$  vale approssimativamente:

$$\mathbf{u}_{\mathrm{X}} \approx \mathbf{u} + \boldsymbol{\varphi} \times (\mathbf{X} - \mathbf{O}).$$
 (1.5)

### 1.2.3 Componenti locali degli spostamenti e delle rotazioni

Lo spostamento  $\boldsymbol{u}$  di un punto  $\boldsymbol{O}$  della linea d'asse indeformata può decomporsi rispetto alla base locale  $\boldsymbol{e}_x$ ,  $\boldsymbol{e}_y$ ,  $\boldsymbol{e}_z$  individuata dal sistema  $\boldsymbol{O}xyz$  associato allo stesso punto. Ne risulta una componente scalare di spostamento  $\boldsymbol{w}$  nella direzione della linea d'asse (e quindi ortogonale alla sezione retta indeformata) e una componente vettoriale di spostamento  $\boldsymbol{v}$  sulla sezione retta indeformata (fig. 1.9a), che a sua volta può scomporsi secondo

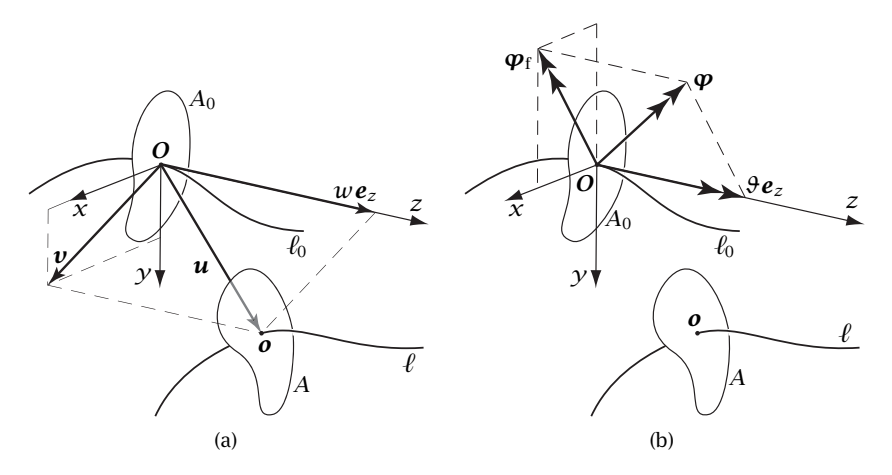


Figura 1.9: Decomposizione locale di spostamenti e rotazioni

i due assi x e y di riferimento prescelti sulla sezione stessa:

$$\boldsymbol{u} = \boldsymbol{v} + w \boldsymbol{e}_z = u \boldsymbol{e}_x + v \boldsymbol{e}_y + w \boldsymbol{e}_z. \tag{1.6}$$

Analogamente può essere decomposta la rotazione  ${\pmb \varphi}$  della sezione retta (fig. 1.9b):

$$\boldsymbol{\varphi} = \boldsymbol{\varphi}_{f} + \vartheta \boldsymbol{e}_{z} = \varphi_{x} \boldsymbol{e}_{x} + \varphi_{y} \boldsymbol{e}_{y} + \vartheta \boldsymbol{e}_{z}. \tag{1.7}$$

La componente  $\theta$  rappresenta una rotazione della sezione nel proprio piano e viene detta *rotazione torsionale*.<sup>7</sup> La componente vettoriale  $\phi_f$ , così

<sup>&</sup>lt;sup>7</sup> Torsional rotation nella letteratura inglese.

come le sue due componenti scalari  $\varphi_x$  e  $\varphi_y$ , rappresentano invece delle rotazioni della sezione attorno ad assi che le appartengono e vengono dette *rotazioni flessionali.*<sup>8</sup>

È bene ribadire che la base utilizzata per decomporre i vettori spostamento e rotazione è locale, cioè varia in generale da sezione a sezione. Si ricorda che l'unica eccezione possibile si presenta nel caso di asse indeformato della trave rettilineo, circostanza che di per sé rende invariante lungo la linea d'asse la sua tangente, e quindi il versore normale  $e_z$  alla sezione retta, e che inoltre permette di assumere gli assi x e y nelle diverse sezioni in modo tale da assicurare anche l'invarianza dei versori  $e_x e y$ .

#### 1.3 Dinamica delle travi

Come già per il campo degli spostamenti anche le quantità dinamiche, ovverossia il sistema delle forze esterne ed interne e la quantità di moto, dovranno essere ridotte alla linea d'asse. In sintonia con la scelta di descrivere la cinematica per il tramite di un moto rigido delle sezioni rette, le quantità dinamiche che competono ad un tronco di trave infinitesimo saranno descritte dalla loro risultante e del loro momento risultante rispetto al polo della descrizione cinematica. Come già detto, la scelta del punto sulla linea d'asse quale polo della descrizione cinematica, e quindi della descrizione dinamica, non è obbligata e potrà essere modificata quando necessario.

A differenza del campo degli spostamenti, riferito alla linea d'asse indeformata, le quantità dinamiche dovrebbero essere riferite alla linea d'asse deformata, dato che le equazioni di bilancio in cui intervengono sono valide in tale configurazione. Tuttavia nel caso si sviluppi una teoria del primo ordine, come sarà fatto nel seguito, la configurazione deformata coincide approssimativamente con la configurazione indeformata per cui anche le quantità dinamiche costituiranno dei campi definiti lungo la linea d'asse indeformata (anche se solo approssimativamente).

#### 1.3.1 Forze esterne

Come detto in precedenza, tali forze vanno calcolate quali risultanti e momenti risultanti rispetto ai punti della linea d'asse delle forze esterne applicate al solido trave, e cioè delle forze che agiscono sulla superficie esterna, delle forze di volume oltre ad eventuali forze concentrate oppure distribuite su superfici interne, su linee interne e su linee esterne. Vengono in tal modo generati i seguenti tipi di forze (fig. 1.10):

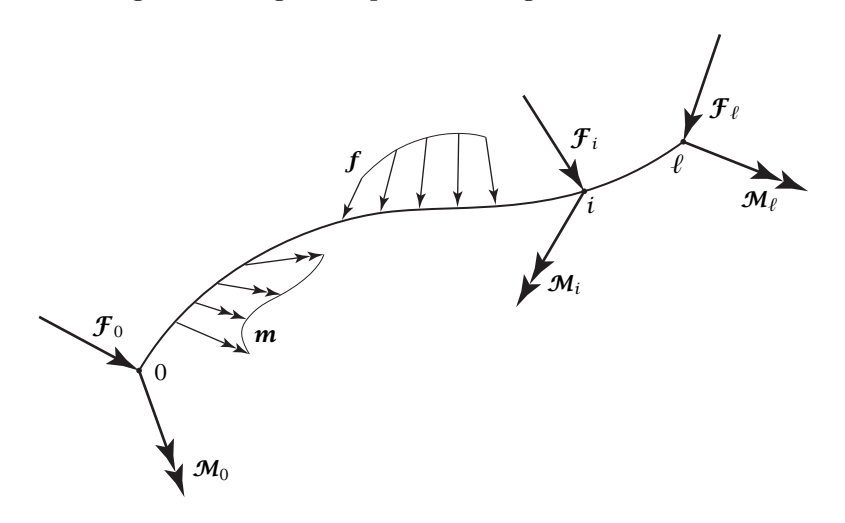


Figura 1.10: Forze esterne applicate alla linea d'asse di una trave

- forze distribuite *f* sulla linea d'asse;
- coppie distribuite *m* sulla linea d'asse;
- forze concentrate  $\mathcal{F}_0$ ,  $\mathcal{F}_\ell$  e  $\mathcal{F}_i$  agenti rispettivamente nei punti di estremità, 0 iniziale e  $\ell$  finale, e in punti interni i della linea d'asse;
- coppie concentrate  $\mathcal{M}_0$ ,  $\mathcal{M}_\ell$  e  $\mathcal{M}_i$  agenti rispettivamente nei punti di estremità, 0 iniziale e  $\ell$  finale, e in punti interni i della linea d'asse.

Le forze e le coppie distribuite per unita di linea sono generate dalle forze distribuite nel volume della trave, dalle forze distribuite sulla superficie laterale della trave e infine dalle forze distribuite su superfici interne e su

<sup>&</sup>lt;sup>8</sup> Bending rotation nella letteratura inglese.

<sup>&</sup>lt;sup>9</sup>Se ci si servisse di una cinematica più ricca, come nel caso della teoria di Vlasov citata p. 15, occorrerebbe arricchire in modo opportuno anche la descrizione delle quantità dinamiche.

linee, esterne o interne, della trave che abbiano un andamento longitudinale, ovverosia che siano al più tagliate, rispettivamente, in una o più linee e in uno o più punti da una generica sezione retta.

Le forze e le coppie concentrate in un punto della linea d'asse, compresi i due punti di estremità, sono invece generate da forze distribuite lungo la corrispondente sezione retta, da forze distribuite su linee che appartengono alla stessa sezione retta e infine dalle forze concentrate in un punto della stessa sezione retta.

Relazioni tra le forze e le coppie distribuite sulla linea d'asse e le forze distribuite nel volume e sulla superficie laterale della trave. Con riferimento alla fig. 1.11, si ricavano nel seguito le relazioni tra le forze esterne

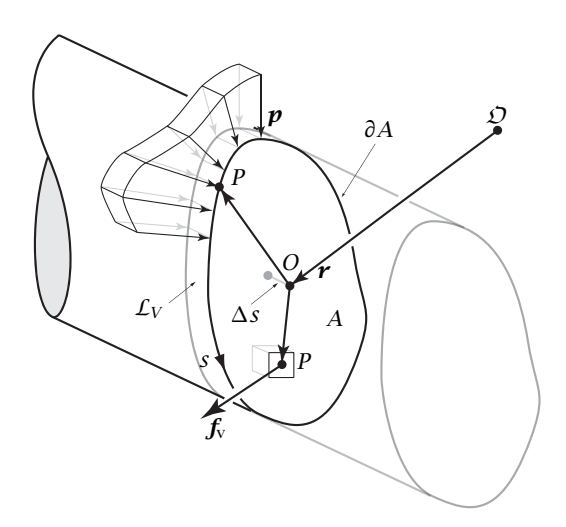


Figura 1.11: Forze applicate al solido trave

di superficie p e di volume  $f_V$  agenti sul corpo solido monodimensionale e le forze f e coppie m distribuite lungo la linea d'asse. La forza globale F(V) e il momento globale M(V) valutato rispetto ad un dato polo  $\mathcal{D}$ , forza e momento che competono ad un tronco di trave  $\Delta s$ , valgono:

$$F(V) = \int_{\mathcal{L}_V} \boldsymbol{p} \, \mathrm{d}s + \int_{V} f_{V} \, \mathrm{d}A = \int_{\Delta s} \left( \int_{\partial A} \boldsymbol{p} \, \mathrm{d}s + \int_{A} f_{V} \, \mathrm{d}A \right) \mathrm{d}s. \tag{1.8a}$$

$$M(V) = \int_{\mathcal{L}_{V}} (P - \mathcal{D}) \times \boldsymbol{p} \, ds + \int_{V} (P - \mathcal{D}) \times \boldsymbol{f}_{V} \, dA$$

$$= \int_{\Delta s} \left\{ \boldsymbol{r} \times \left( \int_{\partial A} \boldsymbol{p} \, ds + \int_{A} \boldsymbol{f}_{V} \, dA \right) + \int_{\partial A} (P - O) \times \boldsymbol{p} \, ds + \int_{A} (P - O) \times \boldsymbol{f}_{V} \, dA \right\} ds, \qquad (1.8b)$$

dove  $\mathcal{L}_V$  è la superficie laterale del tronco di trave, ovverossia la parte della sua superficie di contorno che appartiene alla superficie laterale della trave,  $\boldsymbol{r}$  è il vettore posizione del punto O sulla linea d'asse rispetto al polo  $\mathcal D$  per il calcolo dei momenti e avendo utilizzato la riduzione (1.1) dell'integrale di volume e l'analoga riduzione dell'integrale sulla superficie laterale  $\mathcal L_V$ . Ne risultano quindi le relazioni:

$$f = \int_{\partial A} \mathbf{p} \, \mathrm{d}s + \int_{A} f_{\mathrm{v}} \, \mathrm{d}A, \tag{1.9a}$$

$$\boldsymbol{m} = \int_{\partial A} (P - O) \times \boldsymbol{p} \, \mathrm{d}s + \int_{A} (P - O) \times \boldsymbol{f}_{V} \, \mathrm{d}A. \tag{1.9b}$$

Si noti che gli integrali sono estesi alla generica sezione retta A oppure al suo contorno  $\partial A$  e P-O è il vettore posizione del generico punto P, interno alla sezione oppure posto sul suo contorno, rispetto al punto O della linea d'asse. Si noti inoltre che la forza f e il momento m distribuiti per unita di linea permettono poi di recuperare la forza F(V) e il momento M(V) globali nella forma:

$$F(V) = \int_{\Delta s} f \, \mathrm{d}s, \qquad M(V) = \int_{\Delta s} (\mathbf{r} \times \mathbf{f} + \mathbf{m}) \, \mathrm{d}s.$$
 (1.10)

#### 1.3.2 Caratteristiche della sollecitazione

Le caratteristiche della sollecitazione  $^{10}$  rappresentano la risultante F e il momento risultante M delle forze interne, cioè delle tensioni t, che agiscono in corrispondenza delle sezioni della trave, con il momento valutato rispetto al punto O della linea d'asse. Con riferimento alla fig. 1.12 si ha quindi:

$$\mathbf{F} = \int_{A} \mathbf{t} \, \mathrm{d}A, \qquad \mathbf{M} = \int_{A} (P - O) \times \mathbf{t} \, \mathrm{d}A. \tag{1.11}$$

Poiché una sezione retta divide il solido trave in due parti, occorre distin-

<sup>&</sup>lt;sup>10</sup>Nella letteratura inglese normalmente non si usano termini specifici per tale concetto, ma piuttosto termini descrittivi tipo *resultant contact force and resultant contact couple.* 

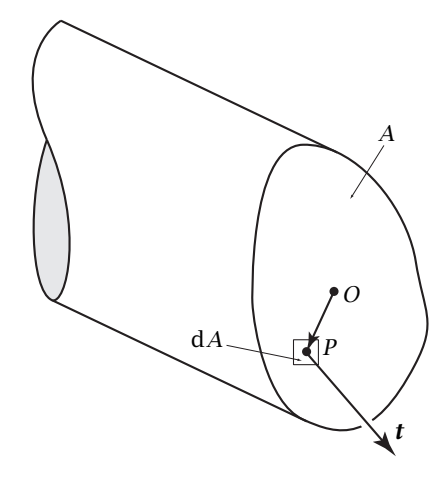


Figura 1.12: Tensioni agenti su una sezione retta

guere tra le due azioni che tali parti si trasmettono reciprocamente e che per il principio di azione e reazione sono uguali ed opposti. Come già per le tensioni interne si ottiene tale distinzione orientando la sezione retta per il tramite del suo versore normale  $e_z$ , sottintendendo che la forza F e la coppia M che le competono sono quelle che agiscono sulla parte di trave di normale  $e_z$  uscente (fig. 1.13). Ne consegue che sulla parte di trave di

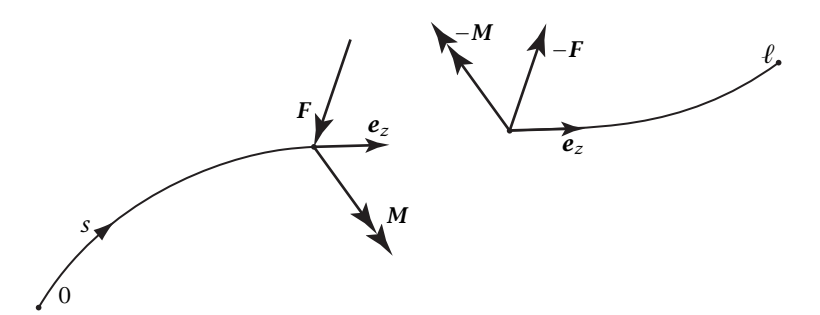


Figura 1.13: Caratteristiche della sollecitazione

normale  $e_z$  entrante agiscono la forza -F e la coppia -M opposte delle precedenti.

L'orientazione della linea d'asse orienta le sezioni rette e permette quindi di definire senza ambiguità le caratteristiche della sollecitazione come quelle azioni che agiscono sulla faccia avente la normale uscente, quando questa sia stata orientata dalla orientazione dell'asse.

## 1.3.3 Componenti locali delle forze e delle caratteristiche della sollecitazione

Le forze e le caratteristiche della sollecitazione, come già gli spostamenti e le rotazioni delle sezioni rette (par. 1.2.3), possono decomporsi localmente. Se si approssima la configurazione deformata con quella indeformata, anche in tal caso una componente ha la direzione della linea d'asse indeformata (ortogonale alla sezione retta indeformata) mentre l'altra giace sulla sezione retta indeformata.

Per quel che riguarda le forze esterne, si useranno le lettere p e q per indicare le componenti tangenti e rispettivamente ortogonali alla linea d'asse, minuscole oppure maiuscole se forze distribuite oppure rispettivamente concentrate, per cui risulterà:

$$f = \mathbf{q} + p\mathbf{e}_z = q_x \mathbf{e}_x + q_y \mathbf{e}_y + p\mathbf{e}_z, \tag{1.12}$$

$$\mathcal{F} = Q + P\boldsymbol{e}_z = Q_x \boldsymbol{e}_x + Q_y \boldsymbol{e}_y + P\boldsymbol{e}_z. \tag{1.13}$$

Non si useranno invece particolari convenzioni per quel che riguarda le coppie esterne, distribuite e concentrate:

$$\boldsymbol{m} = m_X \boldsymbol{e}_X + m_Y \boldsymbol{e}_Y + m_Z \boldsymbol{e}_Z, \tag{1.14}$$

$$\mathcal{M} = \mathcal{M}_{\mathcal{X}} \boldsymbol{e}_{\mathcal{X}} + \mathcal{M}_{\mathcal{Y}} \boldsymbol{e}_{\mathcal{Y}} + \mathcal{M}_{\mathcal{Z}} \boldsymbol{e}_{\mathcal{Z}}. \tag{1.15}$$

Per quel che riguarda le caratteristiche della sollecitazione, la componente normale N della forza risultante  $\mathbf{F}$  è detta *forza normale*, <sup>11</sup> mentre la sua componente  $\mathbf{T}$  nel piano della sezione è detta *forza tagliante*, *forza di taglio* o, più semplicemente, *taglio*<sup>12</sup> (fig. 1.14a):

$$F = T + N\boldsymbol{e}_z = T_x \boldsymbol{e}_x + T_y \boldsymbol{e}_y + N\boldsymbol{e}_z. \tag{1.16}$$

La componente normale  $M_t$  del momento risultante M, equivalente ad una

<sup>&</sup>lt;sup>11</sup>Normal force oppure axial force nella letteratura inglese.

<sup>&</sup>lt;sup>12</sup> Shearing force, shear force oppure shear nella letteratura inglese.

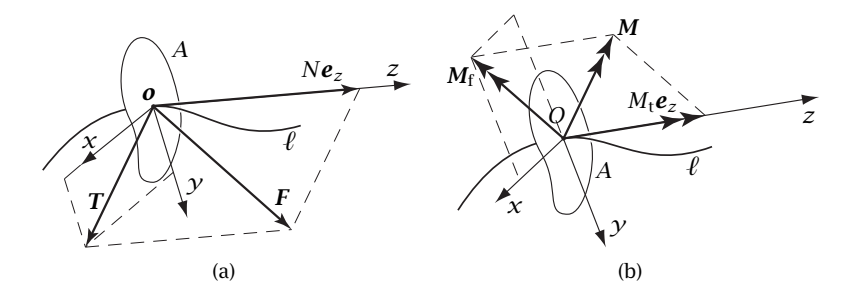


Figura 1.14: Decomposizione locale delle caratteristiche della sollecitazione

coppia agente nel piano della sezione, è invece detta *momento torcente*<sup>13</sup> e infine la sua componente  $M_{\rm f}$  nel piano della sezione, equivalente ad una coppia agente in un piano ortogonale alla sezione retta, è detta *momento flettente* (fig. 1.14b):<sup>14</sup>

$$\mathbf{M} = \mathbf{M}_{\mathrm{f}} + M_{\mathrm{f}} \mathbf{e}_{z} = M_{x} \mathbf{e}_{x} + M_{y} \mathbf{e}_{y} + M_{\mathrm{f}} \mathbf{e}_{z}. \tag{1.17}$$

## 1.3.4 Relazione tra le componenti delle caratteristiche della sollecitazione e le componenti di tensione

Come visto, le caratteristiche della sollecitazione sono la risultante e il momento risultante delle tensioni interne t che agiscono su una sezione retta. Nel sistema Oxyz locale le componenti di tensione risultano (fig. 1.15):

$$t = \tau_z + \sigma_z e_z = \tau_{xz} e_x + \tau_{yz} e_y + \sigma_z e_z, \qquad (1.18)$$

dove  $\sigma_z$  è la componente normale di tensione e  $\tau_z$  quella tangenziale. Dalle (1.11) si ottiene allora:

$$\mathbf{F} = \left( \int_{A} \tau_{xz} \, \mathrm{d}A \right) \mathbf{e}_{x} + \left( \int_{A} \tau_{yz} \, \mathrm{d}A \right) \mathbf{e}_{y} + \left( \int_{A} \sigma_{z} \, \mathrm{d}A \right) \mathbf{e}_{z}, \tag{1.19}$$

e:

$$\mathbf{M} = \int_{A} \det \begin{bmatrix} \mathbf{e}_{x} & \mathbf{e}_{y} & \mathbf{e}_{z} \\ x & y & 0 \\ \tau_{xz} & \tau_{yz} & \sigma_{z} \end{bmatrix} dA =$$

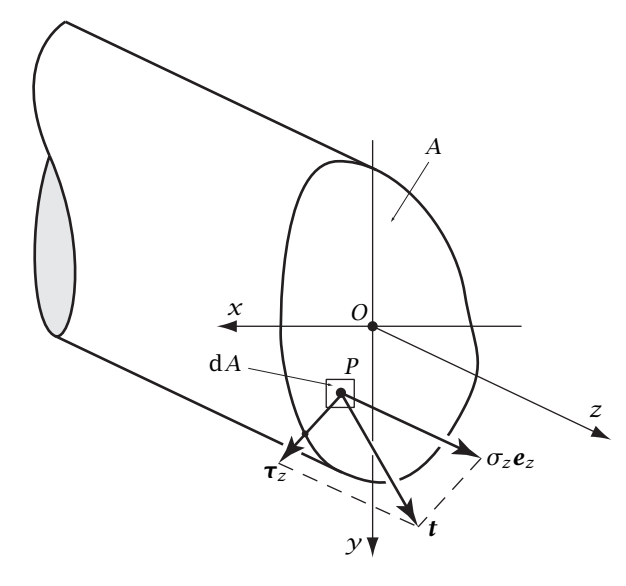


Figura 1.15: Componenti di tensione sulla sezione retta

$$\left(\int_{A} \sigma_{z} y \, dA\right) \boldsymbol{e}_{x} - \left(\int_{A} \sigma_{z} x \, dA\right) \boldsymbol{e}_{y} + \left(\int_{A} (\tau_{yz} x - \tau_{xz} y) \, dA\right) \boldsymbol{e}_{z}, \quad (1.20)$$

avendo tenuto conto che  $P-O=x\boldsymbol{e}_x+y\boldsymbol{e}_y$ , dove x e y sono le coordinate del generico punto P della sezione retta. Ne conseguono immediatamente le componenti locali delle caratteristiche della sollecitazione, componenti che si possono dividere in due gruppi, di cui il primo dipendente dalla tensione normale:

$$N = \int_{A} \sigma_{z} dA, \qquad M_{X} = \int_{A} \sigma_{z} y dA, \qquad M_{y} = -\int_{A} \sigma_{z} x dA, \qquad (1.21)$$

e l'altro da quella tangenziale:

$$M_{\rm t} = \int_A (\tau_{yz} x - \tau_{xz} y) \, dA, \quad T_x = \int_A \tau_{xz} \, dA, \quad T_y = \int_A \tau_{yz} \, dA. \quad (1.22)$$

## 1.3.5 Massa, quantità di moto e momento della quantità di moto

La velocità  $\mathbf{v}_P$  del generico punto P della sezione retta viene dedotta derivando materialmente lo spostamento  $\mathbf{u}_P$  dello stesso punto espresso,

<sup>&</sup>lt;sup>13</sup> Twisting moment, torsional moment oppure torque nella letteratura inglese.

<sup>&</sup>lt;sup>14</sup> Bending moment oppure flexural moment nella letteratura inglese.

tramite la (1.5), in funzione dei campi di spostamento  $\boldsymbol{u}$  e rotazione  $\boldsymbol{\varphi}$  sulla linea d'asse:

$$\boldsymbol{v}_P = \dot{\boldsymbol{u}} + \dot{\boldsymbol{\varphi}} \times (P - O), \tag{1.23}$$

dove O è il punto sulla linea d'asse. Utilizzando la (1.2), la quantità di moto per unità di linea varrà allora:

$$\int_{A} \rho_{\mathbf{v}} \boldsymbol{v}_{P} \, \mathrm{d}A = \rho \, \dot{\boldsymbol{u}} + \dot{\boldsymbol{\varphi}} \times \boldsymbol{S},\tag{1.24}$$

dove  $\rho_{\rm v}$  è la massa per unità di volume,  $\rho$  è la massa per unità di linea:

$$\rho = \int_{A} \rho_{V} \, \mathrm{d}A,\tag{1.25}$$

e S è il *vettore dei momenti statici* della distribuzione di massa  $\rho_{v}$  sulla sezione retta A, valutato rispetto al punto O sulla linea d'asse:

$$S = \int_{A} \rho_{V}(P - O) \, \mathrm{d}A. \tag{1.26}$$

Si noti che la massa  $\rho$  per unità di linea e il vettore S dei momenti statici rappresentano due campi definiti sulla linea d'asse della trave, di cui il primo scalare e il secondo vettoriale. La quantità di moto  $P(\Delta s)$  associata ad un tratto finito  $\Delta s$  di trave varrà quindi:

$$\mathbf{P}(\Delta s) = \int_{\Delta s} \left( \rho \dot{\mathbf{u}} + \dot{\mathbf{\varphi}} \times \mathbf{S} \right) ds. \tag{1.27}$$

Per quel che riguarda poi il momento della quantità di moto per unità di linea, si ottiene in modo analogo:

$$\int_{A} \rho_{V} \{ \boldsymbol{r} + (P - O) \} \times \boldsymbol{v}_{P} \, dA = \boldsymbol{r} \times \left( \rho \, \dot{\boldsymbol{u}} + \dot{\boldsymbol{\varphi}} \times \boldsymbol{S} \right) + \boldsymbol{S} \times \dot{\boldsymbol{u}} + \boldsymbol{J} \, \dot{\boldsymbol{\varphi}}, \quad (1.28)$$

dove r è il vettore posizione del punto O posto sulla linea d'asse rispetto al punto di calcolo del momento della quantità di moto, J è il *tensore di inerzia* della distribuzione di massa  $\rho_{\rm v}$  sulla sezione retta A, valutato rispetto al punto O sulla linea d'asse:

$$\mathbf{J} = \int_{A} \rho_{\mathbf{v}} \left\{ (P - O) \cdot (P - O) \mathbf{I} - (P - O) \otimes (P - O) \right\} dA, \tag{1.29}$$

mentre  $\rho_v$ ,  $\rho$  e S sono ancora la massa per unità di volume, la massa per unità di linea e il vettore dei momenti statici rispettivamente. Si noti che

il tensore di inerzia J rappresenta un campo tensoriale definito sulla linea d'asse della trave. Il momento della quantità di moto  $L(\Delta s)$  associata ad un tratto finito  $\Delta s$  di trave varrà quindi:

$$L(\Delta s) = \int_{\Delta s} \left\{ r \times \left( \rho \dot{\boldsymbol{u}} + \dot{\boldsymbol{\varphi}} \times \boldsymbol{S} \right) + \boldsymbol{S} \times \dot{\boldsymbol{u}} + \boldsymbol{J} \dot{\boldsymbol{\varphi}} \right\} ds.$$
 (1.30)

Se i punti della linea d'asse coincidono con i *centri di massa* o *baricentri*<sup>15</sup> G delle distribuzioni di massa  $\rho_v$  sulle sezione rette A, definiti dalle:

$$\int_{A} \rho_{\mathbf{v}}(P - G) \, \mathrm{d}A = \mathbf{0},\tag{1.31}$$

nelle (1.27) e (1.30) i vettori dei momenti statici si annullano e si ottiene quindi:

$$\mathbf{P}(\Delta s) = \int_{\Delta s} \rho \dot{\mathbf{u}} \, \mathrm{d}s,\tag{1.32a}$$

$$L(\Delta s) = \int_{\Delta s} \left( \rho \, \mathbf{r} \times \dot{\mathbf{u}} + \mathbf{J} \, \dot{\boldsymbol{\varphi}} \right) \, \mathrm{d}s. \tag{1.32b}$$

#### 1.3.6 Vincoli e reazioni vincolari

Nello spirito della teoria delle travi, descritte da una cinematica che lascia indeformate le sezioni rette, in luogo delle limitazioni cinematiche imposte ai singoli punti si devono considerare quelle imposte complessivamente alle sezioni rette. Ne consegue che un vincolo di una trave riguarderà un'intera sezione retta e come tale limiterà l'incremento della trasformazione rigida (eventualmente media) di tale sezione. A un tale vincolo corrispondono quindi delle reazioni vincolari che riguardano l'intera sezione vincolata e che ridotte alla linea d'asse generano una reazione risultante e una reazione momento risultante. L'incremento della trasformazione rigida della sezione retta vincolata può essere descritto in termini di incremento dello spostamento del punto posto sulla linea d'asse e di incremento di rotazione attorno ad un asse passante per lo stesso punto. Se questo è il caso, la reazione risultante può avere quale retta d'azione una qualunque delle rette passanti dal punto posto sulla linea d'asse e che sia ortogonale agli incrementi di traslazione ammissibili, mentre la reazione momento risultante può avere quale direzione dell'asse momento una qualunque direzione ortogonale agli assi degli incrementi di rotazione possibili.

<sup>&</sup>lt;sup>15</sup>Nella letteratura inglese baricentro si rende con *centroid*.

### 1.4 Equazioni di equilibrio

Ci si limita nel seguito a considerare le sole equazioni di equilibrio delle forze, equivalenti alle equazioni di bilancio se non si hanno variazioni della quantità di moto e del momento della quantità di moto. Si noti che affinché una trave sia equilibrata, le equazioni di equilibrio devono essere soddisfatte per ogni tronco di trave. Si determineranno innanzitutto le equazioni indefinite di equilibrio, 16 ottenute localizzando in un punto non soggetto a forze e coppie concentrate l'equilibrio di un qualunque tronco di trave contenente il punto in questione. Si determineranno poi le equazioni di discontinuità, valide nei punti di applicazione di forze e coppie concentrate. Si scriveranno infine le condizioni statiche al contorno in corrispondenza delle due basi di estremità, equivalenti a imporre delle equazioni di equilibrio al contorno.

#### 1.4.1 Equazioni indefinite di equilibrio

Detta s una coordinata curvilinea lunghezza d'arco, sia O(s) un punto della linea d'asse dove non sono applicate forze e coppie concentrate. Siano poi  $s_1$  e  $s_2$  le coordinate di due sezioni tali che l'intervallo  $[s_1, s_2]$  contenga il punto O e non contenga punti soggetti a forze e coppie concentrate. Con riferimento la fig. 1.16, l'equilibrio delle forze e dei momenti

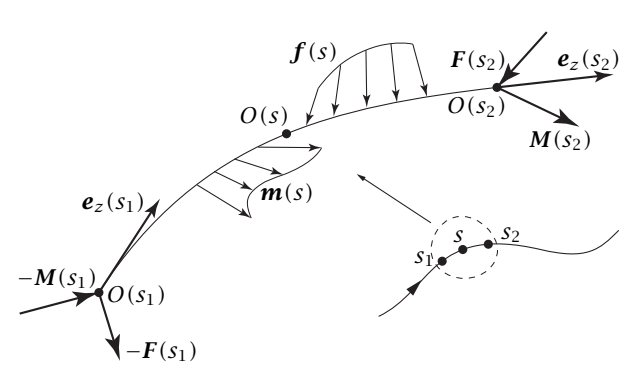


Figura 1.16: Equilibrio indefinito

delle forze agenti sul tronco di trave individuato dall'intervallo  $[s_1, s_2]$  si

scrivono:

$$\int_{s_1}^{s_2} f \, \mathrm{d}s + F(s_2) - F(s_1) = 0, \tag{1.33a}$$

$$\int_{s_1}^{s_2} (\mathbf{m} + \mathbf{r} \times \mathbf{f}) \, \mathrm{d}s +$$

$$\mathbf{M}(s_2) - \mathbf{M}(s_1) + \mathbf{r}(s_2) \times \mathbf{F}(s_2) - \mathbf{r}(s_1) \times \mathbf{F}(s_1) = \mathbf{0}.$$
(1.33b)

dove r è il vettore posizione di un generico punto rispetto al polo dei momenti. Si tenga ora conto che per il teorema fondamentale del calcolo integrale risulta:

$$F(s_2) - F(s_1) = \int_{s_1}^{s_2} \frac{dF}{ds} ds,$$
 (1.34a)

$$M(s_2) - M(s_1) = \int_{s_1}^{s_2} \frac{dM}{ds} ds,$$
 (1.34b)

$$\mathbf{r}(s_{2}) \times \mathbf{F}(s_{2}) - \mathbf{r}(s_{1}) \times \mathbf{F}(s_{1}) = \int_{s_{1}}^{s_{2}} \frac{\mathrm{d}}{\mathrm{d}s} (\mathbf{r} \times \mathbf{F}) \, \mathrm{d}s =$$

$$\int_{s_{1}}^{s_{2}} \left( \frac{\mathrm{d}\mathbf{r}}{\mathrm{d}s} \times \mathbf{F} + \mathbf{r} \times \frac{\mathrm{d}\mathbf{F}}{\mathrm{d}s} \right) \mathrm{d}s = \int_{s_{1}}^{s_{2}} \left( \mathbf{e}_{z} \times \mathbf{F} + \mathbf{r} \times \frac{\mathrm{d}\mathbf{F}}{\mathrm{d}s} \right) \mathrm{d}s,$$
(1.34c)

avendo tenuto conto che se s è una coordinata lunghezza d'arco allora  $\frac{d\mathbf{r}}{ds} = \mathbf{e}_z$ . Utililizzando le (1.34) nelle (1.33) e tenuto conto che affinché queste siano valide per ogni intervallo  $[s_1, s_2]$  contenente il punto O allora le funzioni integrande devono essere nulle nel dato punto, si ottengono infine le seguenti equazioni indefinite di equilibrio:

$$\frac{\mathrm{d}F}{\mathrm{d}s} + f = 0,\tag{1.35a}$$

$$\frac{\mathrm{d}M}{\mathrm{d}s} + m + e_z \times F = 0. \tag{1.35b}$$

Allo scopo di mettere in componenti le due equazioni vettoriali (1.35) nel caso più generale possibile di linea d'asse sghemba, si supponga che gli assi x e y coincidano rispettivamente con la binormale e la normale principale della linea d'asse e si indichino con c e  $\tau$  rispettivamente la curvatura e la torsione della linea d'asse. Tenuto conto del modo di variare della base locale:

$$\frac{\mathrm{d}\boldsymbol{e}_{x}}{\mathrm{d}s} = \tau\boldsymbol{e}_{y}, \qquad \frac{\mathrm{d}\boldsymbol{e}_{y}}{\mathrm{d}s} = c\boldsymbol{e}_{z} - \tau\boldsymbol{e}_{x}, \qquad \frac{\mathrm{d}\boldsymbol{e}_{z}}{\mathrm{d}s} = -c\boldsymbol{e}_{y}, \qquad (1.36)$$

<sup>&</sup>lt;sup>16</sup>Local equilibrium equation oppure local force balance nella letteratura inglese.

e delle definizioni delle componenti delle caratteristiche della sollecitazione: $^{17}$ 

$$F = T_{\mathcal{X}} \boldsymbol{e}_{\mathcal{X}} + T_{\mathcal{V}} \boldsymbol{e}_{\mathcal{Y}} + N \boldsymbol{e}_{\mathcal{Z}}, \qquad M = M_{\mathcal{X}} \boldsymbol{e}_{\mathcal{X}} + M_{\mathcal{V}} \boldsymbol{e}_{\mathcal{Y}} + M_{\mathbf{t}} \boldsymbol{e}_{\mathcal{Z}}, \tag{1.37}$$

si ha:

$$\frac{\mathrm{d}F}{\mathrm{d}s} = \left(\frac{\mathrm{d}T_x}{\mathrm{d}s} - \tau T_y\right) \boldsymbol{e}_x + \left(\frac{\mathrm{d}T_y}{\mathrm{d}s} - cN + \tau T_x\right) \boldsymbol{e}_y + \left(\frac{\mathrm{d}N}{\mathrm{d}s} + cT_y\right) \boldsymbol{e}_z,\tag{1.38a}$$

$$\frac{\mathrm{d}M}{\mathrm{d}s} = \left(\frac{\mathrm{d}M_{x}}{\mathrm{d}s} - \tau M_{y}\right) \boldsymbol{e}_{x} + \left(\frac{\mathrm{d}M_{y}}{\mathrm{d}s} - cM_{t} + \tau M_{x}\right) \boldsymbol{e}_{y} + \left(\frac{\mathrm{d}M_{t}}{\mathrm{d}s} + cM_{y}\right) \boldsymbol{e}_{z}.$$
(1.38b)

Inoltre risulta:

$$\boldsymbol{e}_z \times \boldsymbol{F} = \boldsymbol{e}_z \times \left( T_x \boldsymbol{e}_x + T_y \boldsymbol{e}_y + N \boldsymbol{e}_z \right) = T_x \boldsymbol{e}_y - T_y \boldsymbol{e}_x. \tag{1.39}$$

Inserendo nelle (1.35) le (1.38) e (1.39) insieme con le definizioni delle componenti delle forze esterne:  $^{18}$ 

$$f = q_x \mathbf{e}_x + q_y \mathbf{e}_y + p, \qquad \mathbf{m} = m_x \mathbf{e}_x + m_y \mathbf{e}_y + m_z \mathbf{e}_z, \tag{1.40}$$

si ottengono infine le sei equazioni scalari indefinite di equilibrio seguenti:

$$\frac{\mathrm{d}N}{\mathrm{d}s} + cT_{\mathcal{Y}} + p = 0,\tag{1.41a}$$

$$\frac{\mathrm{d}T_X}{\mathrm{d}s} - \tau T_Y + q_X = 0,\tag{1.41b}$$

$$\frac{\mathrm{d}T_{y}}{\mathrm{d}s} - cN + \tau T_{x} + q_{y} = 0, \tag{1.41c}$$

$$\frac{\mathrm{d}M_X}{\mathrm{d}s} - \tau M_Y - T_Y + m_X = 0,\tag{1.41d}$$

$$\frac{dM_{y}}{ds} - cM_{t} + \tau M_{x} + T_{x} + m_{y} = 0, \qquad (1.41e)$$

$$\frac{\mathrm{d}M_{\mathrm{t}}}{\mathrm{d}s} + cM_{y} + m_{z} = 0. \tag{1.41f}$$

L'analisi precedente è senz'altro valida se gli spostamenti e le deformazioni sono piccoli, poiché in tal caso l'equilibrio viene scritto nella configurazione indeformata. Nel caso gli spostamenti siano grandi, l'equilibrio deve essere invece scritto nella configurazione deformata e affinchè l'analisi precedente sia valida anche in tal caso occorre che la configurazione deformata sia descritta, come quella indeformata, da una linea d'asse e da delle sezioni rette associate ad ogni punto della stessa linea. Tali sezioni rette della configurazione deformata non corrisponderanno però alle sezioni rette della configurazione indeformata poiché queste in generale non saranno ortogonali alla linea d'asse deformata, salvo che non si assuma l'ipotesi di trave inflessa. 19

### 1.4.2 Equazioni di discontinuità

Si consideri ora un punto  $O_i$  della linea d'asse soggetto ad una forza  $\mathcal{F}_i$  e ad una coppia  $\mathcal{M}_i$  concentrate e si isoli un tronco elementare ds di trave contenente il dato punto (fig. 1.17). Facendo tendere ds al punto  $O_i$ ,

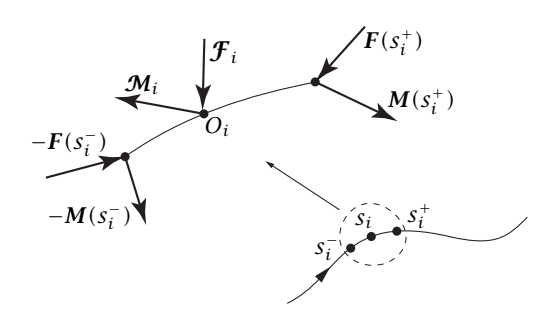


Figura 1.17: Punto di discontinuità

le caratteristiche della sollecitazione applicate nelle sezioni precedente e seguente il punto tendono al loro limite sinistro  $F(s_i^-)$  e  $M(s_i^-)$  e rispettivamente destro  $F(s_i^+)$  e  $M(s_i^+)$ . Tenendo conto che le forze distribuite sono infinitesime dello stesso ordine di ds, l'equilibrio delle forze che agiscono

<sup>&</sup>lt;sup>17</sup>Cfr. la (1.16) p. 19 e la (1.17) p. 20.

<sup>&</sup>lt;sup>18</sup>Cfr. la (1.12) p. 19 e la (1.14) p. 19.

<sup>&</sup>lt;sup>19</sup>Cfr. il par. 1.2.1. p. 15.

sul dato tronco al limite per d $s \rightarrow O_i$  diventa:

$$F(s_i^+) - F(s_i^-) + \mathcal{F}_i = 0.$$
 (1.42)

Sotto l'ipotesi che valga la (1.42) e tenendo conto che i momenti distribuiti sono infinitesimi dello stesso ordine di ds, l'equilibrio dei momenti delle forze che agiscono sul dato tronco al limite per d $s \rightarrow O_i$  diventa:

$$M(s_i^+) - M(s_i^-) + \mathcal{M}_i = 0.$$
 (1.43)

Scomponendo la forza e la coppia concentrata nelle loro componenti  $Q_i$  e  $\mathcal{M}_i^{\text{f}}$  normali alla linea d'asse e  $P_i$  e  $\mathcal{M}_i^{\text{t}}$  nella direzione della linea d'asse:

$$\mathbf{\mathcal{F}}_i = \mathbf{Q}_i + P_i \mathbf{e}_z, \qquad \mathbf{\mathcal{M}}_i = \mathbf{\mathcal{M}}_i^{\mathrm{f}} + \mathbf{\mathcal{M}}_i^{\mathrm{t}} \mathbf{e}_z, \tag{1.44}$$

le (1.42) e (1.43) diventano:

$$\begin{cases}
T(s_i^+) - T(s_i^-) + Q_i = \mathbf{0} \\
N(s_i^+) - N(s_i^-) + P_i = 0
\end{cases}, 
\begin{cases}
M_f(s_i^+) - M_f(s_i^-) + \mathcal{M}_i^f = \mathbf{0} \\
M_t(s_i^+) - M_t(s_i^-) + \mathcal{M}_i^t = 0
\end{cases}, (1.45)$$

avendo al solito indicato con T il taglio, con N la forza normale, con  $M_f$  il momento flettente e infine con  $M_t$  il momento torcente.

#### 1.4.3 Condizioni statiche al contorno

Le caratteristiche della sollecitazione corrispondenti alle due sezioni di estremità della trave devono uguagliare le forze effettivamente applicate a tali estremità. Sulla sezione di prima estremità, di normale positiva entrante, agiscono le caratteristiche della sollecitazione cambiate di segno mentre su quella di seconda estremità, di normale positiva uscente, agiscono le caratteristiche della sollecitazione con il loro segno. Ne consegue che deve aversi:

$$\begin{cases}
F(s_0) = -\mathcal{F}_0 \\
M(s_0) = -\mathcal{M}_0
\end{cases}, \qquad
\begin{cases}
F(s_\ell) = \mathcal{F}_\ell \\
M(s_\ell) = \mathcal{M}_\ell
\end{cases}, \qquad (1.46)$$

dove  $\mathcal{F}_0$  e  $\mathcal{F}_\ell$  sono le forze e  $\mathcal{M}_0$  e  $\mathcal{M}_\ell$  i momenti agenti rispettivamente nelle sezioni di prima e seconda estremità.

Le relazioni (1.46) sono a volte citate quali *equazioni di equilibrio al contorno*, esprimendo l'equilibrio di due intorni elementari delle due sezioni di estremità. Se per esempio ds è la misura dell'intorno della sezione di prima

estremità su tale intorno agiscono, a meno di termini dell'ordine di ds, le forze esterne  $\mathcal{F}_0$  e le coppie esterne  $\mathcal{M}_0$  corrispondenti alla sezione di prima estremità  $s_0$  e le caratteristiche della sollecitazione, con il loro segno, corrispondenti alla sezione  $s_0 + ds$ . L'equilibrio delle forze e dei momenti del dato intorno al limite per  $ds \rightarrow 0$  fornisce la prima delle (1.46).

#### 1.5 Polo di calcolo del momento

Si ricorda che le caratteristiche della sollecitazione sono per definizione la risultante F e il momento risultante M, valutato rispetto al punto O intersezione tra linea d'asse e sezione retta, delle tensioni agenti sulla faccia della sezione retta di normale uscente positiva. Nella decomposizione locale individuata dalla normale alla sezione retta (coincidente con la tangente alla linea d'asse) vengono generate da una parte la forza normale N e il Momento flettente  $M_{\rm f}$ , risultante e momento risultante della tensione normale, dall'altra parte il taglio T e il momento torcente  $M_{\rm t}$ , risultante e momento risultante della tensione tangenziale. Si noti che le tensioni normali sono un sistema di forze parallele e quindi equivalenti, se  $N \neq 0$ , ad un'unica forza perpendicolare alla sezione retta. Analogamente, le tensioni tangenziali sono un sistema di forze piane e quindi equivalenti, se  $T \neq 0$ , ad un'unica forza giacente sulla sezione retta.

Il momento risultante M e le sue componenti  $M_{\rm f}$  e  $M_{\rm t}$  dipendono dalla scelta del punto O, mentre la risultante F e le sue componenti N e T ne sono indipendenti.

#### 1.5.1 Cambiamento del polo di calcolo del momento

Detto P un punto posto sul piano della sezione distinto dal punto O posto sulla linea d'asse risulta:

$$\mathbf{M}_P = \mathbf{M} + (O - P) \times \mathbf{F},\tag{1.47}$$

oppure:

$$\mathbf{M}_{\mathrm{f}}^{P} = \mathbf{M}_{\mathrm{f}} + (O - P) \times (N\mathbf{e}_{z}), \qquad (1.48a)$$

<sup>&</sup>lt;sup>20</sup>Cfr. par. 1.3.2 p. 18.

<sup>&</sup>lt;sup>21</sup>Cfr. la (1.21), p. 20.

<sup>&</sup>lt;sup>22</sup>Cfr. la (1.22), p. 20.

$$M_t^P \boldsymbol{e}_z = M_t \boldsymbol{e}_z + (O - P) \times \boldsymbol{T}, \tag{1.48b}$$

dove si sono indicati con il simbolo P i momenti valutati rispetto al generico polo (fig. 1.18). Scelto un sistema di riferimento Oxy sulla sezione retta

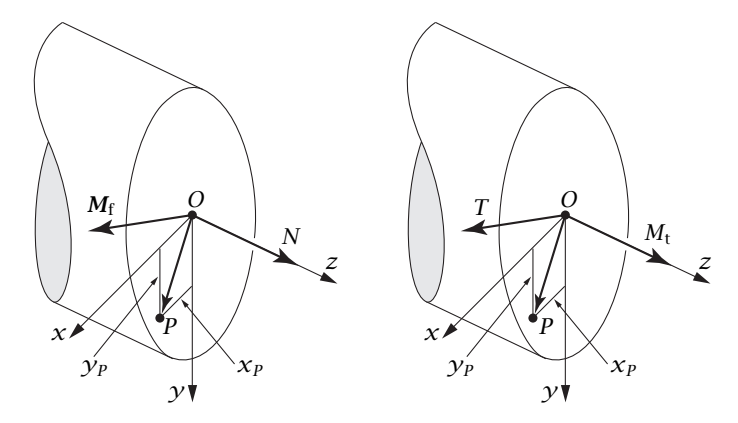


Figura 1.18: Cambiamento del polo statico

della trave si ottengono le componenti delle (1.48) nella forma:

$$M_{\chi}^{P} = M_{\chi} - N \gamma_{P}, \tag{1.49a}$$

$$M_{\gamma}^{P} = M_{\gamma} + N \chi_{P}, \tag{1.49b}$$

$$M_{\rm t}^P = M_{\rm t} - T_{\mathcal{V}} x_P + T_{\mathcal{X}} y_P. \tag{1.49c}$$

dove  $x_P$  e  $y_P$  sono le coordinate del punto P nel dato sistema Oxy.

Si noti che, allo stato attuale, la scelta della linea d'asse è, almeno fino a un certo punto, arbitraria e che quindi non esiste nessun motivo particolare per la scelta del punto O quale polo per il calcolo dei momenti. Si noti anche che i sistemi delle tensioni normali e delle tensioni tangenziali che si generano dalla scomposizione delle tensioni agenti sulla sezione retta sono indipendenti l'uno dall'altro e non esiste nessun motivo particolare per la scelta di un unico punto quale polo per il calcolo dei momenti dei due sistemi di forze, se non quello della semplicità. Nel caso più generale possibile i due poli,  $\mathcal G$  per il calcolo del momento flettente e  $\mathcal G$  per il calcolo del momento torcente, saranno distinti tra loro ed entrambi distinti dal punto O posto sulla linea d'asse. Se questo è il caso, dalle (1.48) risulta

allora:

$$M_{\rm f}^{\mathscr{G}} = M_{\rm f} + (O - \mathscr{G}) \times (N \boldsymbol{e}_z),$$
 (1.50a)

$$M_{t}^{\mathscr{C}}\boldsymbol{e}_{z} = M_{t}\boldsymbol{e}_{z} + (O - \mathscr{C}) \times \boldsymbol{T}, \tag{1.50b}$$

dove  $M_{\mathrm{f}}^{\mathcal{G}}$  è il momento flettente valutato rispetto al polo  $\mathcal{G}$  e  $M_{\mathrm{t}}^{\mathcal{C}}$  il momento torcente valutato rispetto al polo  $\mathcal{C}$ .

#### 1.5.2 Vettore algebrico di sollecitazione

Essendo 6 il numero delle componenti scalari delle caratteristiche di sollecitazione, risulta possibile definire un *vettore (algebrico) di sollecitazione* S di dimensione 6 contenente tali componenti scalari. Le (1.49) definiscono due gruppi di tre componenti di sollecitazione ciascuno,  $(N, M_x, M_y)$  e  $(M_t, T_x, T_y)$ , tali che le componenti di sollecitazione di ogni gruppo siano legate tra loro e indipendenti da quelle dell'altro gruppo. Per tale motivo si definiranno due sottovetori algebrici di S di dimensione 3,  $S_f$  e  $S_t$  rispettivamente, e si ordineranno di conseguenza le componenti di deformazione nel vettore algebrico complessivo S:

$$S = \frac{\begin{pmatrix} N \\ M_X \\ M_y \\ M_t \\ T_X \\ T_y \end{pmatrix}}{M_t}, \qquad S_f = \begin{Bmatrix} N \\ M_X \\ M_y \end{Bmatrix}, \qquad S_t = \begin{Bmatrix} M_t \\ T_X \\ T_y \end{Bmatrix}. \tag{1.51}$$

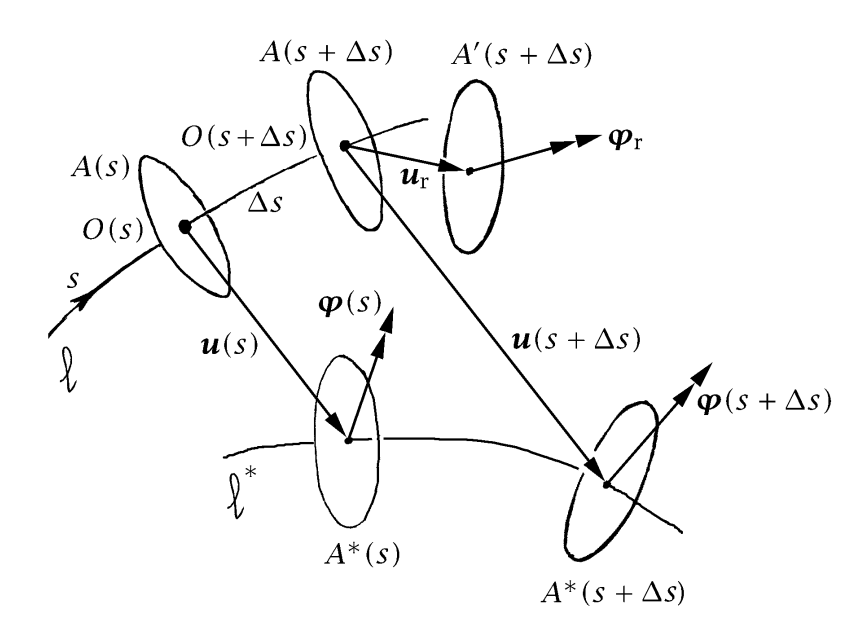
Nel caso più generale possibile  $M_X$  e  $M_Y$  saranno valutati rispetto ad un polo  $\mathcal G$  e  $M_t$  rispetto ad un polo  $\mathcal G$  distinti tra loro e dal punto O sulla linea d'asse. I poli utilizzati distinti da O saranno espressamente indicati tutte le volte che sarà necessario. In tal caso i momenti flettenti valutati rispetto al polo  $\mathcal G$  saranno indicati con  $M_X^{\mathcal G}$  e  $M_Y^{\mathcal G}$ , il momento torcente valutato rispetto al polo  $\mathcal G$  sarà indicato con  $M_t^{\mathcal G}$  e i due sottovettori algebrici di sollecitazione con  $S_f^{\mathcal G}$  e  $S_t^{\mathcal G}$ :

$$\mathbf{S}_{\mathrm{f}}^{\mathscr{G}} = \begin{Bmatrix} N \\ M_{x}^{\mathscr{G}} \\ M_{y}^{\mathscr{G}} \end{Bmatrix}, \qquad \mathbf{S}_{\mathrm{t}}^{\mathscr{C}} = \begin{Bmatrix} M_{\mathrm{t}}^{\mathscr{C}} \\ T_{x} \\ T_{y} \end{Bmatrix}. \tag{1.52}$$

#### 1.6 Deformazioni nelle travi

#### 1.6.1 Trasformazione rigida relativa per unità di linea

Si consideri, nella configurazione di riferimento  $\ell$  di una generica trave, una sezione retta fissa A(s) e una seconda sezione retta variabile  $A(s+\Delta s)$ , individuata dall'incremento  $\Delta s$  della coordinata curvilinea s che individua la sezione fissa. La posizione  $A^*(s)$  della sezione fissa nella configurazione deformata  $\ell^*$  sarà individuata dallo spostamento  $\boldsymbol{u}(s)$  e dalla rotazione  $\boldsymbol{\varphi}(s)$  mentre quella della seconda sezione dallo spostamento  $\boldsymbol{u}(s+\Delta s)$  e dalla rotazione  $\boldsymbol{\varphi}(s)$  mentre quella della seconda sezione deformata della trave si applica la trasformazione inversa di quella che mappa A(s) in  $A^*(s)$ , quindi di polo O(s), di traslazione  $-\boldsymbol{u}(s)$  e di rotazione  $-\boldsymbol{\varphi}(s)$ , la sezione  $A^*(s)$  si ritrova nella posizione di partenza A(s) mentre la sezione  $A^*(s+\Delta s)$  viene a trovarsi in una posizione  $A'(s+\Delta s)$  distinta in generale da quella iniziale  $A(s+\Delta s)$ , salvo il caso in cui la trave subisca una trasformazione rigida complessiva e quindi non si abbiano deformazioni.



La trasformazione rigida che mappa  $A(s + \Delta s)$  in  $A'(s + \Delta s)$  è detta *tra*-

sformazione rigida relativa e si presta a descrivere la deformazione associata alla parte  $\Delta s$  di linea d'asse compresa tra le due sezioni rette. I parametri  $\boldsymbol{u}_{\mathrm{r}}(\Delta s)$  e  $\boldsymbol{\varphi}_{\mathrm{r}}(\Delta s)$  della trasformazione rigida relativa, di polo  $O(s+\Delta s)$ , sono detti rispettivamente spostamento relativo e rotazione relativa.

Rapportando i parametri della trasformazione rigida relativa alla lunghezza  $\Delta s$  della parte di linea si ottengono lo *spostamento relativo per unità di linea*  $\boldsymbol{d}(\Delta s)$  e la *rotazione relativa per unità di linea*  $\boldsymbol{k}(\Delta s)$ , detta anche *curvatura* (*di deformazione*):

$$d(\Delta s) = \frac{u_{\rm r}(\Delta s)}{\Delta s}, \qquad k(\Delta s) = \frac{\varphi_{\rm r}(\Delta s)}{\Delta s}.$$
 (1.53)

I rapporti (1.53), dipendenti dalla parte di linea  $\Delta s$ , definiscono una deformazione media nell'intorno della sezione A(s). Lo spostamento relativo per unità di linea e la curvatura in corrispondenza della sezione retta A(s), ancora indicati con i simboli  $\boldsymbol{d}$  e  $\boldsymbol{k}$  rispettivamente, saranno allora definiti dal limite per  $\Delta s \rightarrow 0$  di tali rapporti:

$$d(s) = \lim_{\Delta s \to 0} \frac{u_{r}(\Delta s)}{\Delta s}, \qquad k(s) = \lim_{\Delta s \to 0} \frac{\varphi_{r}(\Delta s)}{\Delta s}.$$
 (1.54)

Si vogliono ora determinare le equazioni di congruenza, ovverossia le relazioni che determinano la trasformazione rigida relativa per unità di linea in funzione dei campi degli spostamenti  $\boldsymbol{u}$  e delle rotazioni  $\boldsymbol{\varphi}$ . Come specificato, la trasformazione rigida relativa si ottiene dalla differenza tra la trasformazione rigida della sezione variabile  $A(s+\Delta s)$  e quella della sezione fissa A(s). Poiché la trasformazione rigida della sezione variabile ha quale polo il punto  $O(s+\Delta s)$  della linea d'asse appartenente alla stessa sezione variabile, mentre il polo della trasformazione rigida della sezione fissa coincide con il punto O(s) della linea d'asse appartenente alla stessa sezione fissa, si ottengono i seguenti parametri della trasformazione rigida relativa, di polo  $O(s+\Delta s)$ :

$$\mathbf{u}_{\mathbf{r}}(\Delta s) = \mathbf{u}(s + \Delta s) - \mathbf{u}(s) - \mathbf{\varphi}(s) \times (O(s + \Delta s) - O(s)), \quad (1.55a)$$

$$\varphi_{r}(\Delta s) = \varphi(s + \Delta s) - \varphi(s).$$
 (1.55b)

Sostituendo le (1.55) nelle (1.54) si ottengono infine le equazioni di congruenza:

$$\boldsymbol{d} = \frac{\mathrm{d}\boldsymbol{u}}{\mathrm{d}s} - \boldsymbol{\varphi} \times \boldsymbol{e}_{z},\tag{1.56a}$$

$$\mathbf{k} = \frac{\mathrm{d}\boldsymbol{\varphi}}{\mathrm{d}s},\tag{1.56b}$$

dove  $\boldsymbol{e}_z$  è il versore tangente alla linea d'asse indeformata nel punto di coordinata s, coincidente con la normale alla sezione retta. Si noti che la (1.56a) vale sotto la condizione che s coincida con la lunghezza d'arco. Si noti anche che le (1.56) valgono esclusivamente sotto l'ipotesi di piccoli spostamenti e piccole deformazione, avendo utilizzato il vettore rotazione in luogo del tensore rotazione.

La trasformazione rigida relativa infinitesima di parametri ds d e ds k e di polo O(s+ds) porta la sezione A(s+ds) nella configurazione intermedia A'(s+ds) che a sua volta la trasformazione rigida della sezione A(s) di parametri u(s) e  $\varphi(s)$  e di polo O(s) porta, a meno di infinitesimi di ordine superiore in ds, nella sua posizione finale  $A^*(s+ds)$ , ovverossia nella posizione che la sezione A(s+ds) occupa nella configurazione deformata.

$$\diamond$$
  $\diamond$   $\diamond$ 

**Trasformazione rigida relativa in cinematica finita.** In cinematica finita le rotazioni delle sezioni rette sono individuate da un tensore rotazione *R* funzione del punto. Risulta quindi:

$$\boldsymbol{u}_{\Gamma}(\Delta s) = \boldsymbol{u}(s + \Delta s) - \boldsymbol{u}(s) - \left(\boldsymbol{R}(s) - \boldsymbol{I}\right) \left(O(s + \Delta s) - O(s)\right), \tag{1.57}$$

e ne consegue:

$$d = \frac{\mathrm{d}\boldsymbol{u}}{\mathrm{d}s} - (\boldsymbol{R} - \boldsymbol{I}) \, \boldsymbol{e}_z. \tag{1.58}$$

La rotazione rigida relativa  $R_r - I$  vale invece:

$$\mathbf{R}_{r} - \mathbf{I} = \mathbf{R}^{T}(s) \left( \left( \mathbf{R}(s + \Delta s) - \mathbf{I} \right) - \left( \mathbf{R}(s) - \mathbf{I} \right) \right)$$
(1.59)

e si ottiene:

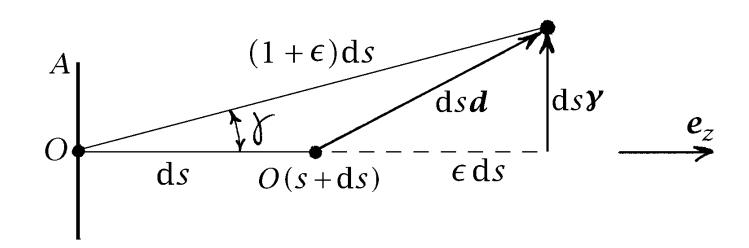
$$\lim_{\Delta s \to 0} \frac{\mathbf{R}_{r} - \mathbf{I}}{\Delta s} = \mathbf{R}^{T} \frac{d\mathbf{R}}{ds}.$$
 (1.60)

Dato che  $\mathbf{R}^{\mathrm{T}} \frac{\mathrm{d}\mathbf{R}}{\mathrm{d}s}$  è emisimmetrico, come si può dimostrare differenziando l'identità  $\mathbf{R}^{\mathrm{T}}\mathbf{R} = \mathbf{I}$ , avrà un vettore assiale  $\mathbf{k}$  che può essere definito quale vettore curvatura, analogamente a quanto ottenuto in cinematica linearizzata.

$$\Diamond$$
  $\Diamond$   $\Diamond$ 

#### 1.6.2 Componenti di deformazione

Nel seguito ci si riferisce allo schema di figura, che rappresenta, a meno di infinitesimi di ordine superiore al primo in ds, la deformazione nell'intorno della sezione A nel piano individuato dalla normale  $e_z$  alla sezione retta e dallo spostamento relativo d. Si noti che l'angolo tra la normale  $e_z$  e



il vettore ds ( $e_z+d$ ) individua lo scorrimento massimo  $\gamma$  tra la linea d'asse della trave e la sezione retta. Nell'ipotesi di piccoli spostamenti e piccole deformazioni risulta:

$$\mathbf{d} \cdot \mathbf{e}_z = (1 + \epsilon) \cos \gamma - 1 \approx \epsilon. \tag{1.61a}$$

$$|\mathbf{d} - (\mathbf{d} \cdot \mathbf{e}_z) \, \mathbf{e}_z| = (1 + \epsilon) \sin \gamma \approx \gamma.$$
 (1.61b)

La componente del vettore d sulla direzione normale alla sezione retta nella configurazione indeformata coincide quindi con la *dilatazione della linea d'asse*, indicata nel seguito con il simbolo  $\epsilon$ , mentre la sua proiezione nel piano della sezione retta coincide con lo *scorrimento tra linea d'asse e sezione retta*, indicato nel seguito con il simbolo  $\gamma$ . Dalla (1.56a) si ottiene quindi:

$$\epsilon = \mathbf{d} \cdot \mathbf{e}_z = \frac{\mathrm{d}\mathbf{u}}{\mathrm{d}s} \cdot \mathbf{e}_z. \tag{1.62a}$$

$$\mathbf{y} = \mathbf{d} - (\mathbf{d} \cdot \mathbf{e}_z) \, \mathbf{e}_z = \left(\frac{\mathrm{d}\mathbf{u}}{\mathrm{d}s} - \epsilon \mathbf{e}_z\right) - \mathbf{\varphi} \times \mathbf{e}_z.$$
 (1.62b)

In funzione della dilatazione  $\epsilon$  e dello scorrimento  $\gamma$  lo spostamento relativo d risulta quindi:

$$\boldsymbol{d} = \boldsymbol{\gamma} + \epsilon \boldsymbol{e}_{z}, \tag{1.63}$$

e ne consegue:

$$\epsilon \boldsymbol{e}_z + \boldsymbol{\gamma} = \frac{\mathrm{d}\boldsymbol{u}}{\mathrm{d}s} - \boldsymbol{\varphi} \times \boldsymbol{e}_z. \tag{1.64}$$

Il vettore  $\gamma$  giace nel piano della sezione e lo si può quindi scomporre in due componenti:

$$\boldsymbol{\gamma} = \gamma_{\mathcal{X}} \boldsymbol{e}_{\mathcal{X}} + \gamma_{\mathcal{V}} \boldsymbol{e}_{\mathcal{V}}, \tag{1.65}$$

dove  $\gamma_x$  e  $\gamma_y$  sono gli scorrimenti tra la linea d'asse e gli assi coordinati x e  $\gamma$  giacenti sulla sezione retta. Inoltre:

$$\boldsymbol{\varphi} \times \boldsymbol{e}_{z} = \begin{vmatrix} \boldsymbol{e}_{x} & \boldsymbol{e}_{y} & \boldsymbol{e}_{z} \\ \varphi_{x} & \varphi_{y} & \vartheta \\ 0 & 0 & 1 \end{vmatrix} = \varphi_{y} \boldsymbol{e}_{x} - \varphi_{x} \boldsymbol{e}_{y}. \tag{1.66}$$

Ouindi si ottiene:

$$\gamma_{x} = \frac{\mathrm{d}\boldsymbol{u}}{\mathrm{d}s} \cdot \boldsymbol{e}_{x} - \varphi_{y},\tag{1.67a}$$

$$\gamma_{\mathcal{Y}} = \frac{\mathrm{d}\boldsymbol{u}}{\mathrm{d}s} \cdot \boldsymbol{e}_{\mathcal{Y}} + \varphi_{\mathcal{X}}.\tag{1.67b}$$

La curvatura globale k si scompone in una quota flettente  $k_f$ , detta *curvatura flessionale* e giacente sulla sezione retta, ed in una quota torcente  $\Theta$ , detta *angolo unitario di torsione* e perpendicolare alla sezione retta:

$$\mathbf{k} = \mathbf{k}_{\mathrm{f}} + \Theta \mathbf{e}_{z}. \tag{1.68}$$

La curvatura flessionale  $k_f$  può poi scomporsi nelle componenti rispetto agli assi  $x \in \gamma$  posti nel piano della sezione:

$$\mathbf{k}_{\mathrm{f}} = k_{x} \mathbf{e}_{x} + k_{y} \mathbf{e}_{y}. \tag{1.69}$$

### 1.6.3 Integrazione delle equazioni di congruenza

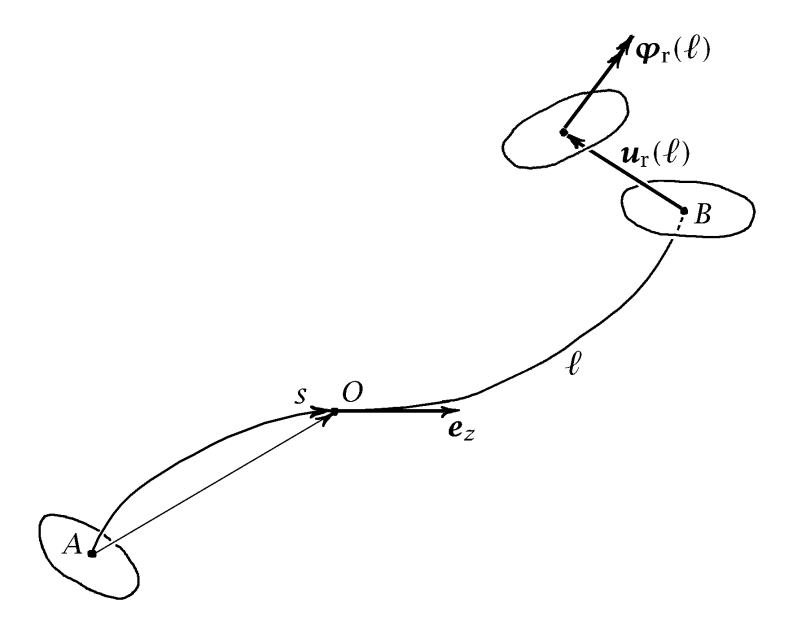
Nel par. 1.6.1 si sono dedotte le deformazioni, ossia i parametri  $\boldsymbol{d}$  e  $\boldsymbol{k}$  della trasformazione rigida relativa per unità di linea, dalla conoscenza delle trasformazioni rigide relative delle sezioni rette, ovverossia dei loro spostamenti  $\boldsymbol{u}$  e rotazioni  $\boldsymbol{\varphi}$ . Si vuole ora fare l'operazione inversa, ovverossia dedurre gli spostamenti e le rotazioni delle sezioni rette supponendo note le deformazioni. A tale scopo, le equazioni di conguenza:

$$\frac{\mathrm{d}\boldsymbol{\varphi}}{\mathrm{d}s} = \boldsymbol{k},\tag{1.70a}$$

$$\frac{\mathrm{d}\boldsymbol{u}}{\mathrm{d}s} - \boldsymbol{\varphi} \times \boldsymbol{e}_z = \boldsymbol{d},\tag{1.70b}$$

si possono interpretare come equazioni differenziali nelle funzioni incognite u e  $\varphi$ .

Si consideri allora un generica trave, o parte di trave, di linea d'asse  $\ell$  compresa tra i due punti A, di prima estremità, e B, di seconda estremità, di coordinate curvilinee  $s_A$  e  $s_B$  rispettivamente. Integrando la (1.70a) lungo



la linea d'asse si ottiene:

$$\boldsymbol{\varphi}_B - \boldsymbol{\varphi}_A = \int_{s_A}^{s_B} \boldsymbol{k} \, \mathrm{d}s, \qquad (1.71)$$

dove  $\varphi_A = \varphi(s_A)$  e  $\varphi_B = \varphi(s_B)$ . Per integrare la (1.70b), si tenga conto innanzitutto che  $e_z = dO/ds$ , dove O è il generico punto della linea d'asse. Si tenga quindi conto che risulta:

$$\boldsymbol{\varphi} \times \boldsymbol{e}_{z} = \frac{\mathrm{d}}{\mathrm{d}s} (\boldsymbol{\varphi} \times (O - B)) - \boldsymbol{k} \times (O - B),$$
 (1.72)

avendo utilizzato il polo B per rendere più agevoli gli sviluppi seguenti. Integrando per parti si ottiene allora:

$$\int_{s_A}^{s_B} \boldsymbol{\varphi} \times \boldsymbol{e}_z \, \mathrm{d}s = \left[ \boldsymbol{\varphi} \times (O - B) \right]_{s_A}^{s_B} - \int_{s_A}^{s_B} \boldsymbol{k} \times (O - B) \, \mathrm{d}s$$
$$= \boldsymbol{\varphi}_A \times (B - A) - \int_{s_A}^{s_B} \boldsymbol{k} \times (O - B) \, \mathrm{d}s, \quad (1.73)$$

avendo tenuto conto che  $O(s_A) = A$  e  $O(s_B) = B$ . Integrando la (1.70b) si ottiene infine:

$$\boldsymbol{u}_{B} - \boldsymbol{u}_{A} - \boldsymbol{\varphi}_{A} \times (B - A) = \int_{s_{A}}^{s_{B}} \boldsymbol{d} \, \mathrm{d}s + \int_{s_{A}}^{s_{B}} \boldsymbol{k} \times (B - O) \, \mathrm{d}s, \qquad (1.74)$$

dove  $\mathbf{u}_A = \mathbf{u}(s_A)$  e  $\mathbf{u}_B = \mathbf{u}(s_B)$ . Si noti che al primo membro delle (1.71) e (1.74) compaiono i parametri  $\mathbf{u}_r(\ell)$  e  $\boldsymbol{\varphi}_r(\ell)$  della trasformazione rigida relativa associata alla trave di linea d'asse  $\ell$ , ovverossia la trasformazione rigida della sezione di seconda estremità a meno della trasformazione rigida della sezione di prima estremità:

$$\mathbf{u}_{\mathbf{r}}(\ell) = \mathbf{u}_{B} - \mathbf{u}_{A} - \mathbf{\varphi}_{A} \times (B - A), \tag{1.75a}$$

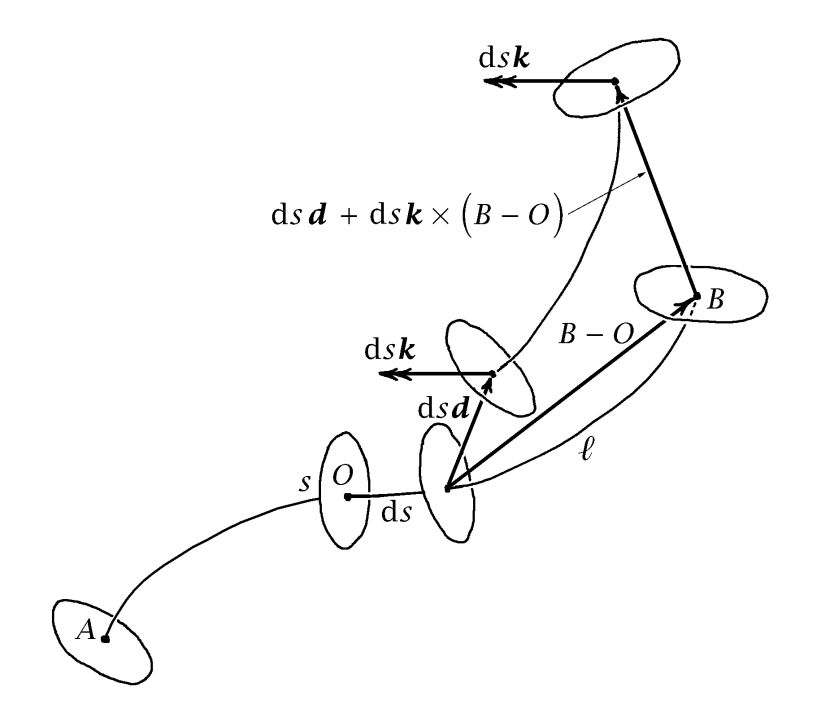
$$\boldsymbol{\varphi}_{\mathbf{r}}(\ell) = \boldsymbol{\varphi}_{B} - \boldsymbol{\varphi}_{A}. \tag{1.75b}$$

Si noti che se la sezione iniziale in A ha rotazioni e spostamenti nulli i parametri  $\boldsymbol{u}_{\mathrm{r}}(\ell)$  e  $\boldsymbol{\varphi}_{\mathrm{r}}(\ell)$  della trasformazione rigida relativa forniscono rispettivamente lo spostamento  $\boldsymbol{u}_B$  e la rotazione  $\boldsymbol{\varphi}_B$  della sezione finale in B.

Si noti inoltre che le (1.71) e (1.74) hanno una semplicissima interpretazione fisica. Infatti per calcolare la trasformazione rigida relativa si tenga fissa la prima estremità della trave e si sommino al limite, cioè si integrino sulla linea d'asse, i contributi allo spostamento e alla rotazione della seconda estremità dei singoli elementi di trave ds che compongono il tratto finito di trave  $\ell$ . Poiché per l'ipotesi di piccoli spostamenti il contributo di un elemento è indipendente dal fatto che gli altri elementi siano già deformati oppure no e poiché la deformazione del generico elemento di trave ds genera una trasformazione rigida relativa, della seconda estremità dell'elemento di trave e quindi di tutto il tratto di trave che segue l'elemento di trave, di parametri ds d e dsd, ne conseguono immediatamente le (1.71) e (1.74).

#### 1.6.4 Travi inflesse

L'ipotesi di trave inflessa richiede alle sezioni rette *di conservarsi ortogo*nali alla linea d'asse. Questa ipotesi equivale a trascurare gli scorrimenti tra



*linea d'asse e sezioni rette.*<sup>23</sup> Ricordando l'espressione dello scorrimento, il vincolo di trave inflessa si scrive:

$$\boldsymbol{\varphi} \times \boldsymbol{e}_z = \frac{\mathrm{d}\boldsymbol{u}}{\mathrm{d}s} - \epsilon \boldsymbol{e}_z,\tag{1.76}$$

<sup>&</sup>lt;sup>23</sup> Si noti che senza l'ipotesi di trave inflessa le sezioni inizialmente "rette" sono ortogonali alla linea d'asse in generale solo nella configurazione indeformata, la cui descrizione risulta dunque particolare e non conforme alla configurazione deformata generica. Questo fatto non crea problemi nell'ambito di una teoria del primo ordine che permette di confondere la configurazione deformata con quella indeformata, dove le sezioni "rette" sono ortogonali alla linea d'asse. Ma già nell'ambito di una teoria del secondo ordine, quindi ancora basata sull'ipotesi di piccoli spostamenti e piccole deformazioni, l'equilibrio viene scritto nella configurazione deformata dove in generale la normale ad una sezione "retta" deformata non è tangente alla linea d'asse. Dato che le definizioni delle componenti delle caratteristiche della sollecitazione sono relative alle sezioni "rette", è evidente che per conformità anche nella configurazione deformata dovranno essere valutate con riferimento alle sezioni "rette" di tale configurazione, quindi ortogonali alla tangente alla linea d'asse deformata e quindi distinte dalle sezioni "rette" originali.

e rappresenta un legame tra campo delle rotazioni e campo degli spostamenti. D'altronde se le sezioni restano ortogonali alla linea d'asse allora il campo degli spostamenti determina i piani delle sezioni nella configurazione deformata, in quanto determina la linea deformata a cui tali piani sono ortogonali. Ovverossia viene determinata in modo univoco la rotazione flessionale, restando indeterminata la sola rotazione torsionale della sezione. In componenti la (1.76) fornisce infatti:

$$\varphi_{\mathcal{Y}} = \frac{\mathrm{d}\boldsymbol{u}}{\mathrm{d}s} \cdot \boldsymbol{e}_{\mathcal{X}}, \qquad \varphi_{\mathcal{X}} = -\frac{\mathrm{d}\boldsymbol{u}}{\mathrm{d}s} \cdot \boldsymbol{e}_{\mathcal{Y}}.$$
 (1.77)

Lo scorrimento  $\gamma$  tra linea d'asse e sezioni rette, insieme alla dilatazione della linea d'asse  $\epsilon$ , compone lo spostamento relativo d per unità di linea. Questi, in base all'analisi del paragrafo precedente, provoca in generale degli spostamenti relativi tra le due sezioni di estremità di una trave trascurabili rispetto a quelli provocati dalla rotazione relativa k per unità di linea. Infatti la quota degli spostamenti provocati dalla rotazione relativa che si sviluppa in un elemento di trave sono proporzionali alla distanza dell'elemento dalla sezione di seconda estremità, a differenza di quelli dovuti alla sola traslazione relativa. Più la trave è snella maggiori sono gli effetti amplificanti delle distanze in gioco sugli spostamenti dovuti alle rotazioni relative. Si tenga comunque conto che tale analisi è qualitativa e che l'effettiva trascurabilità dello spostamento relativo per unità di linea nel calcolo degli spostamenti di una trave o di un sistema di travi dipenderà da varie circostanze che andranno valutate di volta in volta e che in ogni caso dipenderà dal rapporto tra curvatura di deformazione e spostamento relativo per unità di linea.

Tutte le volte che sarà lecito trascurare tutto lo spostamento relativo d per unità di linea, alle condizioni (1.77) si dovrà aggiungere quella che corrisponde all'annullarsi della dilatazione della linea d'asse  $\epsilon$ :

$$\frac{\mathrm{d}\boldsymbol{u}}{\mathrm{d}s} \cdot \boldsymbol{e}_z = 0. \tag{1.78}$$

Si consideri ora che intuitivamente la rotazione relativa per unità di linea è associata all'azione dei momenti flettenti e torcente mentre lo scorrimento tra linea d'asse e sezioni rette a quella del taglio. Le prime due equazioni scalari di equilibrio alla rotazione mostrano inanzitutto che il taglio è nullo se è nullo il momento totale salvo il caso particolare in cui agiscano delle coppie flettenti esterne distribuite lungo la linea d'asse. Escluso tale caso particolare, ne consegue che gli scorrimenti tra linea d'asse e sezioni

rette sono sempre accompagnati da rotazioni relative per unità di linea e gli effetti di queste ultime sono in generale predominanti su quelle degli scorrimenti. In secondo luogo le prime due equazioni scalari di equilibrio alla rotazione permettono di determinare il taglio dalla conoscenza dei momenti flettenti e del momento torcente, ovverossia il problema del taglio è staticamente determinato dai momenti flettenti e dal momento torcente. È quindi escluso che l'ipotesi di trave inflessa, che corrisponde ad un vincolo di rigidità interna, renda indeterminato il problema del taglio.

Si noti che un tale risultato non vale per la dilatazione della linea d'asse, associata intuitivamente all'azione della forza normale. Infatti la forza normale non compare nelle equazioni scalari di equilibrio alla rotazione ed è quindi indipendente dalla presenza di momenti o meno. Potrebbe comunque essere determinato dai tagli grazie alla seconda equazione scalare di equilibrio alla traslazione, salvo che la curvatura geometrica della linea d'asse non sia nulla. L'effetto della dilatazione della linea d'asse sarà spesso trascurabile, ma potrebbero esserci delle situazioni che riguardano le travi ad asse rettilineo in cui il trascurare i suoi effetti potrebbe rendere indeterminato il problema della forza normale.

### 1.7 Polo della trasformazione rigida relativa

Nella descrizione della trasformazione rigida relativa interviene quale polo il punto O della sezione retta posto sulla linea d'asse. Lo spostamento relativo per unità di linea d e le sue componenti  $\epsilon$  e  $\gamma$  dipendono dalla scelta del punto O, mentre la curvatura k e le sue componenti  $k_f$  e  $\Theta$  ne sono indipendenti. Si ricordi che, come già detto, allo stato attuale delle cose la scelta della linea d'asse è, almeno in parte, arbitraria e ne consegue che la scelta del punto O quale polo per il calcolo dello spostamento relativo d non è obbligata. Si potrebbero anzi presentare delle circostanze particolari che potrebbero suggerire la scelta di un polo avente un significato fisico ben preciso.

## 1.7.1 Cambiamento del polo della trasformazione rigida relativa

Per non perdere in generalità ci si riferisca allora ad un polo *P*, distinto dal punto *O* posto sulla linea d'asse, e alla fibra longitudinale passante per

tale nuovo polo, ovverossia l'elemento di linea per P ortogonale alla sezione retta e avente quindi la direzione della linea d'asse. Lo spostamento relativo per unità di linea d'asse  $d_P$ , di polo P, valutato per il tramite dei parametri della trasformazione rigida relativa di polo O, risulta:

$$\mathbf{d}_{P} = \mathbf{d} + \mathbf{k} \times (P - O). \tag{1.79}$$

La dilatazione  $\epsilon_P$  e lo scorrimento  $\gamma_P$ , per unità di linea d'asse, della fibra longitudinale passante per il nuovo polo P della sezione retta soddisfano allora la relazione:

$$\epsilon_P \mathbf{e}_z + \mathbf{\gamma}_P = (\epsilon \mathbf{e}_z + \mathbf{\gamma}) + \mathbf{k} \times (P - O), \tag{1.80}$$

dalla quale si ottengono infine i valori di  $\epsilon_P$  e  $\gamma_P$ , per unità di linea d'asse:

$$\epsilon_P \mathbf{e}_z = \epsilon \mathbf{e}_z + \mathbf{k}_f \times (P - O), \qquad (1.81a)$$

$$\boldsymbol{\gamma}_{\boldsymbol{P}} = \boldsymbol{\gamma} + \boldsymbol{\Theta} \boldsymbol{e}_{\boldsymbol{z}} \times (\boldsymbol{P} - \boldsymbol{O}). \tag{1.81b}$$

Scelto infine un sistema di riferimento Oxy sulla sezione retta della trave le (1.89) diventano:

$$\epsilon_P = \epsilon + k_x y_P - k_y x_P,$$
 (1.82a)

$$\gamma_{Px} = \gamma_x - \Theta \gamma_P, \tag{1.82b}$$

$$y_{P\gamma} = y_{\gamma} + \Theta x_{P}, \tag{1.82c}$$

dove  $x_P$  e  $y_P$  sono le coordinate del punto P nel dato sistema Oxy.

Le equazioni (1.81) e (1.82) mostrano che la dilatazione  $\epsilon_P$  della fibra longitudinale, per unità di linea d'asse, dipende dalla dilatazione della linea d'asse e dalla curvatura flessionale così come lo scorrimento  $\gamma_P$  della fibra longitudinale, per unità di linea d'asse, dipende dallo scorrimento della linea d'asse e dall'angolo unitario di torsione. Ne consegue che dilatazione e scorrimento sono indipendenti tra loro cosicché nulla obbliga a scegliere lo stesso polo, e quindi la stessa fibra longitudinale, al fine della definizione di tali deformazioni. Come già nello studio della sollecitazione, per non perdere generalità, quando e se sarà necessario, ci si riferirà a due poli distinti,  $\mathscr G$  per il calcolo della dilatazione e  $\mathscr C$  per il calcolo dello scorrimento, distinti a loro volta in generale dal punto O sulla linea d'asse. Se questo è il caso risulta allora:

$$\epsilon^{\mathscr{G}} \boldsymbol{e}_{z} = \epsilon \boldsymbol{e}_{z} + \boldsymbol{k}_{f} \times (\mathscr{G} - O),$$
 (1.83a)

$$\boldsymbol{\gamma}^{\mathscr{C}} = \boldsymbol{\gamma} + \boldsymbol{\Theta}\boldsymbol{e}_{z} \times (\mathscr{C} - O), \tag{1.83b}$$

dove  $\epsilon^{\mathscr{G}}$  è la dilatazione, per unità di linea d'asse, della fibra longitudinale per il polo  $\mathscr{G}$  mentre  $\gamma^{\mathscr{C}}$  è lo scorrimento, per unità di linea d'asse, tra la fibra longitudinale per il polo  $\mathscr{C}$  e la sezione retta.

Si noti che la traslazione relativa  $\epsilon e_z$  dovuta alla sola dilatazione  $\epsilon$  della fibra longitudinale, ortogonale alla sezione retta, e la rotazione relativa dovuta alla sola curvatura di flessione  $k_{\rm f}$ , di asse giacente sulla sezione retta e passante per il polo  $\mathscr G$ , si combinano, se  $k_{\rm f} \neq 0$ , in una rotazione relativa  $k_{\rm f}$  di asse parallelo al precedente e ancora appartenente alla sezione retta. Analogamente la traslazione relativa dovuta al solo scorrimento  $\gamma$  della fibra longitudinale con la sezione retta, giacente nel piano della sezione retta, e la rotazione relativa  $\Theta e_z$  dovuta al solo angolo unitario di torsione  $\Theta$ , di asse ortogonale alla sezione retta e passante per il polo  $\mathscr C$ , definiscono una trasformazione rigida relativa nel piano della sezione e si combinano, se  $\Theta \neq 0$ , in una rotazione relativa  $\Theta e_z$  di asse parallelo al precedente.

#### 1.7.2 Vettore algebrico di deformazione

Essendo 6 il numero delle componenti scalari delle caratteristiche della deformazione, risulta possibile rappresentare la deformazione nelle travi tramite un *vettore* (algebrico) di deformazione  $\mathbf{D}$  di dimensione 6. Ma si noti che le (1.82) definiscono due gruppi di tre componenti di deformazione ciascuno,  $(\epsilon, k_x, k_y)$  e  $(\Theta, \gamma_x, \gamma_y)$ , tali che le componenti di deformazioni di ogni gruppo siano legate tra loro e indipendenti da quelle dell'altro gruppo. È quindi possibile definire due sottovetori algebrici di  $\mathbf{D}$  di dimensione 3,  $\mathbf{D}_{\rm f}$  e  $\mathbf{D}_{\rm t}$  rispettivamente, e ordinare di conseguenza le componenti di deformazione nel vettore algebrico complessivo  $\mathbf{D}$ :

$$\mathbf{D} = \frac{\begin{pmatrix} \epsilon \\ k_x \\ k_y \\ \Theta \\ \gamma_x \\ \gamma_y \end{pmatrix}}{\langle \mathcal{O} \rangle}, \qquad \mathbf{D}_{f} = \begin{pmatrix} \epsilon \\ k_x \\ k_y \end{pmatrix}, \qquad \mathbf{D}_{t} = \begin{pmatrix} \Theta \\ \gamma_x \\ \gamma_y \end{pmatrix}. \tag{1.84}$$

Nel caso più generale possibile  $\epsilon$  sarà valutato rispetto ad un polo  $\mathcal{G}$  e  $\gamma_x$  e  $\gamma_y$  rispetto ad un polo  $\mathcal{G}$  distinti tra loro e dal punto O sulla linea d'asse.

I poli utilizzati distinti da O saranno espressamente indicati tutte le volte che sarà necessario. In tal caso la dilatazione, per unità di linea d'asse, della fibra longitudinale per il polo  $\mathscr G$  sarà indicata con  $\epsilon_{\mathscr G}$ , le componenti dello scorrimento, per unità di linea d'asse, tra la fibra longitudinale per il polo  $\mathscr C$  e la sezione retta saranno indicati con  $\gamma_x^{\mathscr C}$  e  $\gamma_y^{\mathscr C}$  e i due sottovettori algebrici di deformazione con  $\mathcal D_f^{\mathscr C}$  e  $\mathcal D_t^{\mathscr C}$ :

$$\mathbf{D}_{\mathrm{f}}^{\mathscr{G}} = \begin{Bmatrix} \epsilon^{\mathscr{G}} \\ k_{x} \\ k_{y} \end{Bmatrix}, \qquad \mathbf{D}_{\mathrm{t}}^{\mathscr{C}} = \begin{Bmatrix} \Theta \\ \gamma_{x}^{\mathscr{C}} \\ \gamma_{y}^{\mathscr{C}} \end{Bmatrix}. \tag{1.85}$$

#### 1.7.3 Deformazione locale

Si consideri ora l'elemento di linea longitudinale in corrispondenza di un generico punto P di una data sezione retta, ovverossia l'elemento di linea ortogonale alla sezione retta nel dato punto. La deformazione discussa nel seguito è *locale*, ovverossia riguarda l'intorno di una data sezione, e non implica quindi l'assunzione di una linea longitudinale passante per P e ortogonale ad ogni sezione retta, analogamente alla linea d'asse. Se l'asse y coincide con la normale principale alla linea d'asse, ad un elemento ds di linea d'asse corrisponde un elemento ds di linea longitudinale per P tale che:

$$ds' = \frac{a + y_P}{a} ds = (1 + cy_P) ds, \qquad (1.86)$$

dove a è il raggio di curvatura e c la curvatura della linea d'asse. Se con  $\epsilon'_P$  e  $\gamma'_P$  si indicano le deformazioni locali nel punto P, ovverossia dilatazione e, rispettivamente, scorrimento nel punto P, per unità di linea per P, si ha:

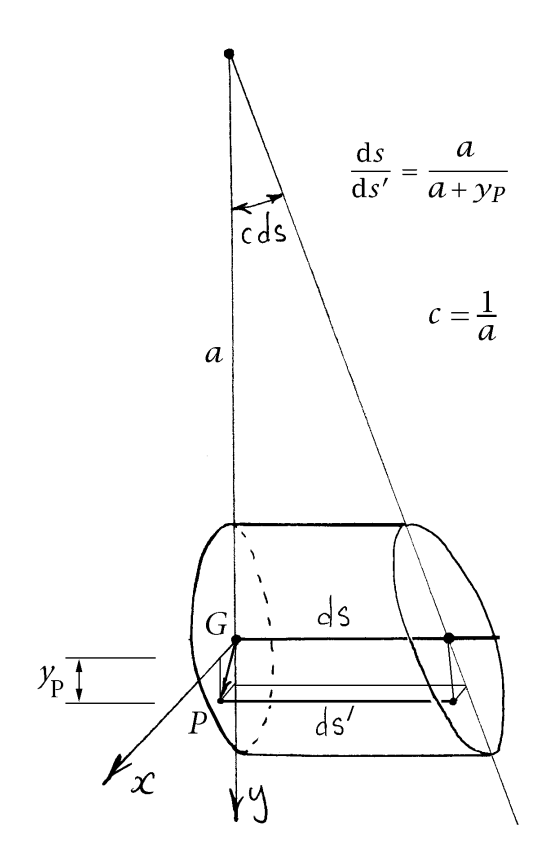
$$\epsilon_P' \, \mathrm{d}s' = \epsilon_P \, \mathrm{d}s, \qquad \gamma_P' \, \mathrm{d}s' = \gamma_P \, \mathrm{d}s, \qquad (1.87)$$

Dalla (1.86) e dalle (1.87) si ottiene allora la deformazione locale nella forma:

$$\epsilon'_{p} = \frac{1}{1 + c y_{p}} \epsilon_{p}, \qquad \mathbf{y}'_{p} = \frac{1}{1 + c y_{p}} \mathbf{y}_{p}.$$
 (1.88)

Se la trave è snella, che poi è quello che una trave deve normalmente essere per essere una trave, cioè se  $cy_P \ll 1$ , si ha  $1 + cy_P \approx 1$  e risulta:

$$\epsilon_{p}' \approx \epsilon_{p}, \qquad \boldsymbol{\gamma}_{p}' \approx \boldsymbol{\gamma}_{p}.$$
 (1.89)



Le (1.89) valgono in modo esatto, a parte naturalmente l'approssimazione dei piccoli spostamenti e delle piccole deformazioni, nel caso di trave ad asse rettilineo.



**Linea longitudinale definita da un generico punto.** L'insieme dei punti P, uno per ogni sezione, di coordinate  $(x_P, y_P)$  indipendenti dalla coordinata s della linea d'asse definiscono una linea longitudinale che in generale non è ortogonale alle sezioni rette della trave e che quindi non si presta a descrivere la trave quale linea d'asse conservando le "sezioni rette".

Ciò non toglie che possa essere utilizzata quale alternativa linea d'asse, ma a tale scopo occorre associarle delle "sezioni rette" alternative, che globalmente genereranno un solido monodimensionale diverso da quello generato dalle precedenti "sezioni rette", ma entrambi approssimanti se non coincidenti con il solido monodimensionale oggetto di studio. Comunque le due descrizioni cinematiche genereranno due campi di spostamento la cui differenza, in generale, non sarà nulla, anche se lo sarà almeno approssimativamente.

*Dimostrazione.* La linea longitudinale dei punti *P* è definita dall'equazione:

$$P(s) = O + x_P \boldsymbol{e}_x + y_P \boldsymbol{e}_y. \tag{1.90}$$

Se  $e'_t$  indica il versore tangente alla linea longitudinale dei punti P, risulta:

$$\boldsymbol{e}_{t}' = \frac{dP}{ds'} = \frac{dP}{ds} \frac{ds}{ds'} = \frac{ds}{ds'} \left\{ (1 + cy_{P})\boldsymbol{e}_{t} + \tau(x_{P}\boldsymbol{e}_{y} - y_{P}\boldsymbol{e}_{x}) \right\}, \quad (1.91)$$

dove c e  $\tau$  sono rispettivamente la curvatura e la torsione della linea d'asse baricentrica. Poiché  $e'_i$  è un versore, deve risultare:

$$\left(\frac{\mathrm{d}s}{\mathrm{d}s'}\right)^2 \left\{ (1 + cy_P)^2 + \tau^2 (x_P^2 + y_P^2) \right\} = 1,\tag{1.92}$$

e quindi:

$$\frac{ds}{ds'} = \frac{1}{\sqrt{(1 + cy_P)^2 + \tau^2 r^2}},$$
(1.93)

dove:

$$r = |P - O| = \sqrt{x_P^2 + y_P^2}.$$
 (1.94)

Si ha allora:

$$\mathbf{e}_{t}' = \frac{1 + cy_{P}}{\sqrt{(1 + cy_{P})^{2} + \tau^{2}r^{2}}} \mathbf{e}_{t} + \frac{x_{P}\mathbf{e}_{y} - y_{P}\mathbf{e}_{x}}{\sqrt{(1 + cy_{P})^{2} + \tau^{2}r^{2}}} \tau,$$
(1.95)

e, se  $\tau \neq 0$ , risulta  $\boldsymbol{e}_{t}' \neq \boldsymbol{e}_{t}$ .

Si noti che nel caso di trave piana risulta  $\tau=0$  e quindi per la (1.95) il versore  $\boldsymbol{e}_t'$ , tangente alla fibra longitudinale per P, coincide con il versore  $\boldsymbol{e}_t$  tangente alla linea d'asse baricentrica. In tal caso le due descrizioni coincidono. Si noti anche che se  $\tau\neq0$  la (1.93) e la (1.86) differiscono come deve essere, in quanto la prima riguarda una fibra non ortogonale mentre la seconda una fibra ortogonale.

 $\diamond$   $\diamond$   $\diamond$ 

## 1.8 Travi piane

Limitandosi al caso di una cinematica della sezione retta descritta da un moto rigido (ipotesi di sezione indeformata), una trave è detta *cinematicamente piana* se esiste un piano tale che (fig. 1.19):

- 1. L'asse indeformato e l'asse deformato della trave appartengono a tale piano;
- 2. Le rotazioni delle sezioni rette avvengono attorno ad assi perpendicolari a tale piano.

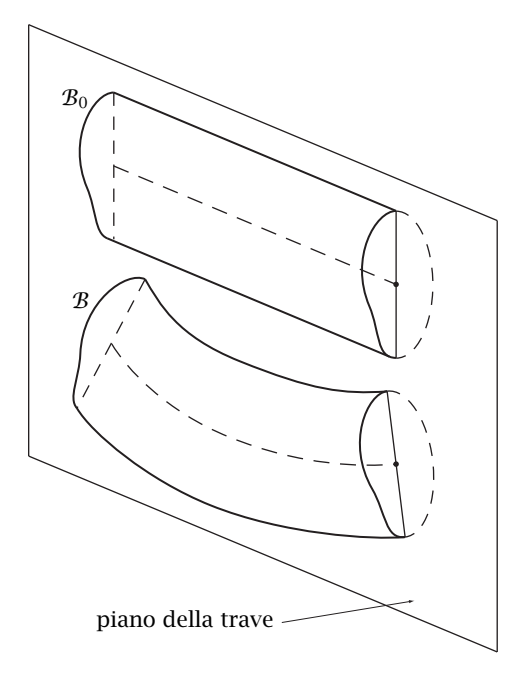


Figura 1.19: Trave cinematicamente piana

Si noti che in tal modo gli spostamenti dei punti della trave avvengono parallelamente al piano della trave. Si noti poi che la definizione fa riferimento alla configurazione indeformata, configurazione che nel caso piano non può quindi essere completamente arbitraria. Si noti infine che se

l'asse indeformato della trave è rettilineo il piano della trave può essere uno qualunque dei piani di sostegno l'asse, mentre nel caso di asse curvo indeformato l'unica possibilità è quella del piano che contiene l'asse.

Una trave è invece detta *staticamente piana* se esiste un piano tale che:

- 1. L'asse deformato della trave appartiene a tale piano;
- 2. Le forze, interne ed esterne, ridotte ai punti della linea d'asse generano risultanti appartenenti al piano della trave e momenti risultanti ortogonali a tale piano.

Con l'avvertenza che un momento ortogonale a un piano è equivalente ad una coppia di forze appartenenti allo stesso piano, si può anche affermare che tutte le forze ridotte ai punti della linea d'asse appartengono al piano della trave. Si noti poi che, a differenza del caso cinematicamente piano, la definizione fa riferimento alla sola configurazione deformata e che quindi non dipende dalla configurazione di riferimento. Tuttavia, si ricordi che nell'ambito di una teoria del primo ordine ai fini dell'equilibrio la configurazione deformata si fa coincidere con quella indeformata. In tal caso al piano della trave è richiesto di contenere l'asse indeformato, e la configurazione deformata risulta ininfluente ai fini statici.

Si dice infine che una trave è *piana* se è contemporaneamente piana sia dal punto di vista cinematico che da quello statico. Nel caso di una trave ad asse indeformato curvilineo i piani cinematico e statico devono coincidere con il piano dell'asse e quindi coincidono tra loro. Nell'ambito di una teoria del primo ordine e se l'asse indeformato della trave è rettilineo può invece presentarsi il caso di trave piana con piani cinematico e statico non coincidenti. Una condizione sufficiente ad assicurare che una trave sia piana, con piani cinematico e statico coincidenti anche se la linea d'asse indeformata è rettilinea, è che le forze applicate e le sezioni rette siano simmetriche rispetto al piano dell'asse indeformato, oppure ad un piano contenente l'asse indeformato se questi è rettilineo. Si noti che la simmetria delle sezioni rette deve riguardare anche il materiale di cui la trave è composta.

#### 1.8.1 Statica della trave piana

Se la trave è staticamente piana le forze interne ed esterne, ridotte ai punti della linea d'asse, appartengono al piano dell'asse oppure appartengono tutte ad un piano nel caso l'asse della trave sia rettilineo. Le coppie

interne ed esterne generate dalla riduzione ai punti della linea d'asse devono invece avere asse ortogonale al piano della trave, per poter essere rappresentate da due forze uguali ed opposte appartenenti al piano della trave. L'asse momento appartiene di conseguenza al piano della sezione retta e quindi nel caso piano i momenti torcenti sono nulli. Da quanto detto le forze esterne f e le coppie esterne m distribuite, le forze esterne  $\mathcal{F}_i$ e le coppie esterne  $\mathcal{M}_i$  concentrate in un numero discreto di punti  $O_i$ , le forze esterne  $\mathcal{F}_0$  e  $\mathcal{F}_\ell$  e le coppie esterne  $\mathcal{M}_0$  e  $\mathcal{M}_\ell$  applicate nelle sezioni di estremità risultano, supponendo l'asse x ortogonale al piano della trave (fig. 1.20):

$$\begin{cases}
\mathbf{f} = q\mathbf{e}_{y} + p\mathbf{e}_{z} \\
\mathbf{m} = m\mathbf{e}_{x}
\end{cases}, \qquad
\begin{cases}
\mathbf{f}_{i} = Q_{i}\mathbf{e}_{y} + P_{i}\mathbf{e}_{z} \\
\mathbf{M}_{i} = \mathcal{M}_{i}\mathbf{e}_{x}
\end{cases}, \qquad (1.96a)$$

$$\begin{cases} \mathbf{f} = q\mathbf{e}_{y} + p\mathbf{e}_{z} \\ \mathbf{m} = m\mathbf{e}_{x} \end{cases}, \qquad \begin{cases} \mathbf{F}_{i} = Q_{i}\mathbf{e}_{y} + P_{i}\mathbf{e}_{z} \\ \mathbf{M}_{i} = \mathbf{M}_{i}\mathbf{e}_{x} \end{cases}, \qquad (1.96a)$$

$$\begin{cases} \mathbf{F}_{0} = Q_{0}\mathbf{e}_{y} + P_{0}\mathbf{e}_{z} \\ \mathbf{M}_{0} = \mathbf{M}_{0}\mathbf{e}_{x} \end{cases}, \qquad \begin{cases} \mathbf{F}_{\ell} = Q_{\ell}\mathbf{e}_{y} + P_{\ell}\mathbf{e}_{z} \\ \mathbf{M}_{\ell} = \mathbf{M}_{\ell}\mathbf{e}_{x} \end{cases}. \qquad (1.96b)$$

Analogamente per quel che riguarda le caratteristiche della sollecitazione

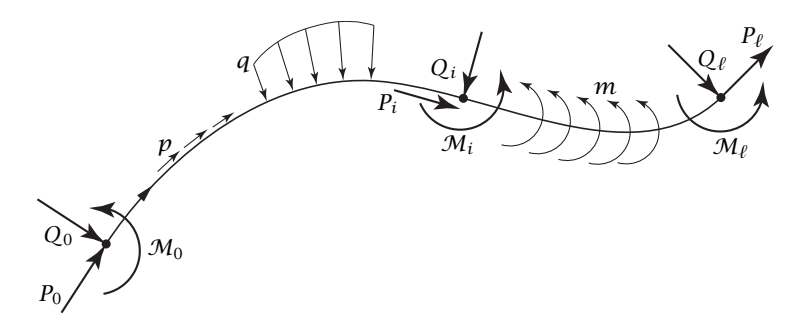


Figura 1.20: Forze esterne (trave piana)

**F** e **M** si ha (fig. 1.21):

$$\begin{cases} \mathbf{F} = T\mathbf{e}_{\mathcal{Y}} + N\mathbf{e}_{\mathcal{Z}} \\ \mathbf{M} = M\mathbf{e}_{\mathcal{X}} \end{cases}$$
 (1.97)

Tenuto anche conto che se l'asse della trave è piano la sua torsione geometrica  $\tau$  è nulla, delle sei equazioni indefinite di equilibrio scalari (1.41) tre sono identicamente nulle. Le tre equazioni indefinite di equilibrio

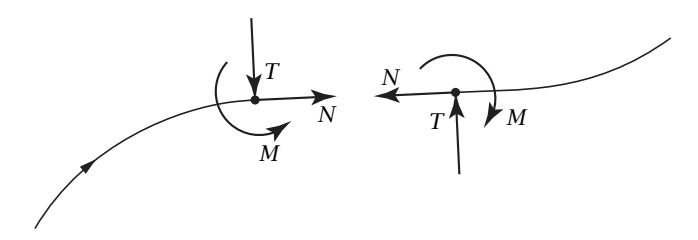


Figura 1.21: Caratteristiche della sollecitazione (trave piana)

rimanenti diventano:

$$\frac{\mathrm{d}N}{\mathrm{d}s} + cT + p = 0,\tag{1.98a}$$

$$\frac{\mathrm{d}T}{\mathrm{d}s} - cN + q = 0,\tag{1.98b}$$

$$\frac{\mathrm{d}M}{\mathrm{d}s} - T + m = 0. \tag{1.98c}$$

In generale l'asse deformato della trave è curvo anche se l'asse indeformato è rettilineo. Dato che le equazioni indefinite di equilibrio si devono scrivere nella configurazione deformata ne consegue che dipenderanno in generale dalla curvatura geometrica dell'asse deformato. Se gli spostamenti sono piccoli l'asse deformato si confonde però con quello indeformato e, se questo è rettilineo, nelle (1.98) si può approssimativamente annullare la curvatura geometrica c ottenendo:

$$\frac{\mathrm{d}N}{\mathrm{d}s} + p = 0,\tag{1.99a}$$

$$\frac{\mathrm{d}T}{\mathrm{d}s} + q = 0,\tag{1.99b}$$

$$\frac{\mathrm{d}M}{\mathrm{d}s} - T + m = 0. \tag{1.99c}$$

Tali equazione di equilibrio potrebbero essere ottenute in modo diretto scrivendo la equazioni di equilibrio nel piano, due equazioni di equilibrio per le forze ed una per i momenti, di un tronco di trave di lunghezza elementare dz. Con riferimento la fig. 1.22, non mettendo in conto gli infinitesimi di ordine superiore al primo in dz, si ha:

$$-N + N + dN + p dz = 0, (1.100a)$$

$$-T + T + dT + q dz = 0, (1.100b)$$

$$-M + M + dM - T dz + m dz = 0, (1.100c)$$

Dividendo per dz e al limite per d $z \rightarrow 0$  si ottengono le (1.99).

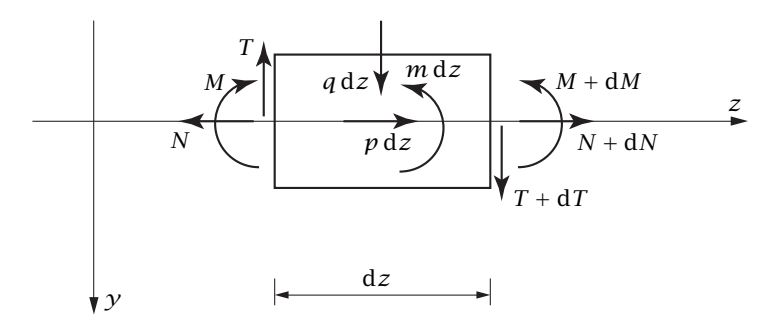


Figura 1.22: Equilibrio nel piano di un tronco di trave rettilinea

Se in corrispondenza di un punto sulla linea d'asse, in generale curva, agiscono una forza concentrata P diretta come la linea d'asse, una forza concentrata Q ortogonale alla linea d'asse e una coppia concentrata  $\mathcal{M}$ , le caratteristiche della sollecitazione, in accordo con le (1.45), subiscono le seguenti discontinuità:

$$N^+ - N^- + P = 0,$$
  $\Delta N + P = 0,$  (1.101a)

$$T^{+} - T^{-} + Q = 0,$$
  $\Delta T + Q = 0,$  (1.101b)

$$M^{+} - M^{-} + \mathcal{M} = 0,$$
  $\Delta M + \mathcal{M} = 0,$  (1.101c)

dove si sono indicati con i segni + e - rispettivamente i limiti destro e sinistro e con il simbolo  $\Delta$ l'incremento delle caratteristiche della sollecitazione in corrispondenza del dato punto. Si noti che per la validità delle (1.101), a differenza delle (1.99), non è necessario ipotizzare che la linea d'asse sia rettilinea. D'altronde se si scrivessero le equazioni di equilibrio in modo diretto (fig. 1.23) entrerebbero in gioco dei termini finiti, le forze concen-

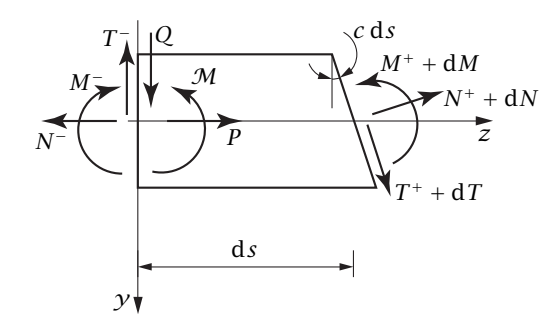


Figura 1.23: Tronco di trave piana in presenza di forze concentrate

trate e le caratteristiche della sollecitazione, mentre i contributi dovuti alla curvatura geometrica c sono infinitesimi per d $s \rightarrow 0$ .

Infine, con immediato significato dei simboli, le condizioni al contorno (1.46) diventano:

$$N(s_0) = -P_0,$$
  $N(s_\ell) = P_\ell,$  (1.102a)

$$T(s_0) = -Q_0,$$
  $T(s_\ell) = Q_\ell,$  (1.102b)

$$M(s_{\ell}) = -\mathcal{M}_0, \qquad M(s_{\ell}) = \mathcal{M}_{\ell}. \tag{1.102c}$$

Si noti che nel caso di asse rettilineo, così come prescritto dalle (1.99a), (1.101a) e (1.102a), la forza normale dipende solo dalle componenti p, P,  $P_0$  e  $P_\ell$  in direzione z delle forze esterne, componenti che sono dette forze esterne di tipo assiale. Dalla equazione (1.99c) risulta invece che taglio e momento flettente non sono indipendenti tra loro. Da questa e dalle restanti equazioni di equilibrio scalari risulta infine che taglio e momento flettente dipendono dalle componenti q, Q,  $Q_0$  e  $Q_\ell$  in direzione y delle forze esterne e dalle coppie esterne m,  $\mathcal{M}$ ,  $\mathcal{M}_0$  e  $\mathcal{M}_\ell$ , che sono congiuntamente dette forze esterne di tipo flessionale.

#### 1.8.2 Cinematica della trave piana

Nel caso piano gli spostamenti u avvengono nel piano yz della trave e le rotazioni attorno all'asse x ortogonale al piano della trave:

$$\boldsymbol{u} = v\boldsymbol{e}_{v} + w\boldsymbol{e}_{z}, \qquad \boldsymbol{\varphi} = \varphi\boldsymbol{e}_{x}. \tag{1.103}$$

Ne consegue che il vettore scorrimento y ha la sola componente in direzione y e la curvatura k la sola componente flessionale relativa all'asse x:

$$\mathbf{y} = y \mathbf{e}_{y}, \qquad \mathbf{k} = k \mathbf{e}_{x}. \tag{1.104}$$

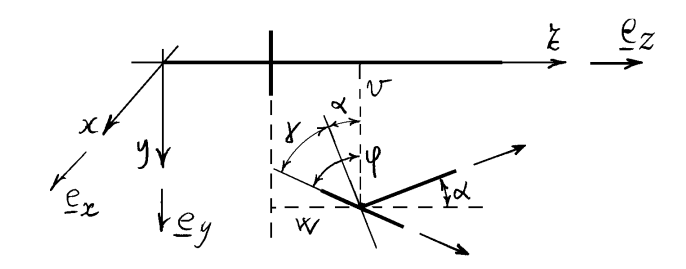
Per quel che riguarda le equazioni di congruenza, si tenga conto che:

$$\frac{\mathrm{d}\boldsymbol{u}}{\mathrm{d}s} = \left(\frac{\mathrm{d}v}{\mathrm{d}s} - cw\right)\boldsymbol{e}_{y} + \left(\frac{\mathrm{d}w}{\mathrm{d}s} + cv\right)\boldsymbol{e}_{z},\tag{1.105}$$

e che quindi si riducono alle tre equazioni scalari seguenti:

$$\epsilon = \frac{\mathrm{d}w}{\mathrm{d}s} + cv, \qquad \gamma = \frac{\mathrm{d}v}{\mathrm{d}s} - cw + \varphi, \qquad k = \frac{\mathrm{d}\varphi}{\mathrm{d}s},$$
 (1.106)

dove c è la curvatura geometrica della linea d'asse.



**Trave piana ad asse rettilineo.** Se la trave, oltre che ad essere piana, è anche ad asse rettilineo le equazioni di congruenza si semplificano, essendo c=0:

$$\epsilon = \frac{\mathrm{d}w}{\mathrm{d}z}, \qquad \gamma = \frac{\mathrm{d}v}{\mathrm{d}z}, \qquad k = \frac{\mathrm{d}\varphi}{\mathrm{d}z}.$$
 (1.107)

L'angolo di rotazione della tangente  $\alpha$  vale:

$$\alpha = \varphi - \gamma = -\frac{\mathrm{d}v}{\mathrm{d}z}.\tag{1.108}$$

La curvatura geometrica  $c^*$  dell'asse deformato, nell'ipotesi di piccoli spostamenti e piccole deformazioni, vale:

$$c^* = \frac{\mathrm{d}\alpha}{\mathrm{d}z} = -\frac{\mathrm{d}^2 v}{\mathrm{d}z^2}.\tag{1.109}$$

**Trave piana inflessa.** Nel caso di trave piana inflessa si ha:

$$\varphi = -\frac{\mathrm{d}v}{\mathrm{d}s} + cw, \qquad k = -\frac{\mathrm{d}^2v}{\mathrm{d}s^2} + \frac{\mathrm{d}(cw)}{\mathrm{d}s}.$$
 (1.110)

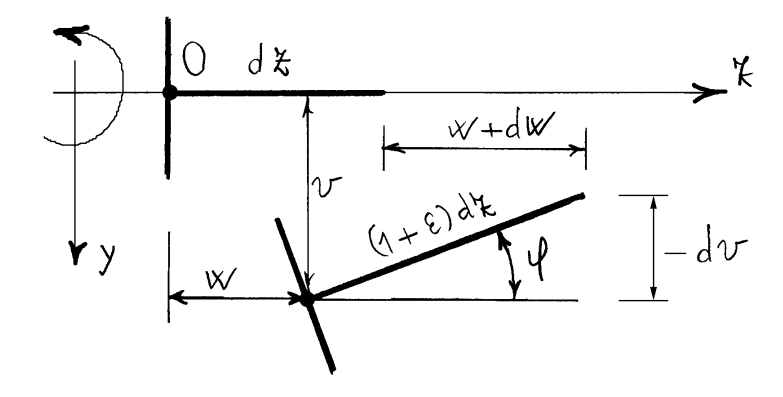
Se si trascura anche la dilatazione della linea d'asse risulta inoltre:

$$\frac{\mathrm{d}w}{\mathrm{d}s} = -cv. \tag{1.111}$$

Nel caso l'asse sia rettilineo si ha infine:

$$\varphi = -\frac{\mathrm{d}v}{\mathrm{d}s}, \qquad k = -\frac{\mathrm{d}^2v}{\mathrm{d}s^2}.$$
 (1.112)

Determinazione diretta del vincolo di trave inflessa e della dilatazione della linea d'asse nel caso di trave inflessa piana ad asse rettilineo. Si consideri una generica sezione retta in corrispondenza del punto O sulla linea d'asse, la cui traccia è indicata in figura, sezione iniziale di un elemento di linea dz. Poiché l'elemento dz deve restare ortogonale alla sezione



retta, tale elemento deve subire la stessa rotazione  $\phi$  della sezione retta e quindi risulta:

$$-dv = (1+\epsilon) dz \sin \varphi, \qquad (1.113)$$

poiché la lunghezza dell'elemento dz dopo la deformazione vale d $z+\epsilon$  dz, per definizione di dilatazione lineare. Si ottiene quindi:

$$(1+\epsilon)\sin\varphi = -\frac{\mathrm{d}v}{\mathrm{d}z}.\tag{1.114}$$

Se le rotazioni e le dilatazioni sono piccole si può porre  $\sin \varphi \approx \varphi$  e trascurare il termine del secondo ordine  $\epsilon \varphi$  riottenendo la prima delle (1.112).

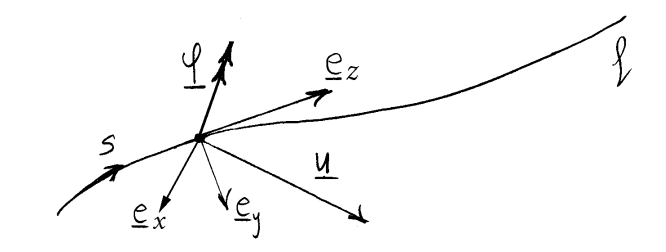
Ancora con riferimento la figura, risulta anche:

$$w + (1 + \epsilon) dz \cos \varphi = dz + w + dw. \tag{1.115}$$

Nell'ipotesi di piccole rotazioni si ha  $\cos \varphi \approx 1$  e si riottiene la prima delle (1.107).

## 1.9 Principio dei lavori virtuali per le travi

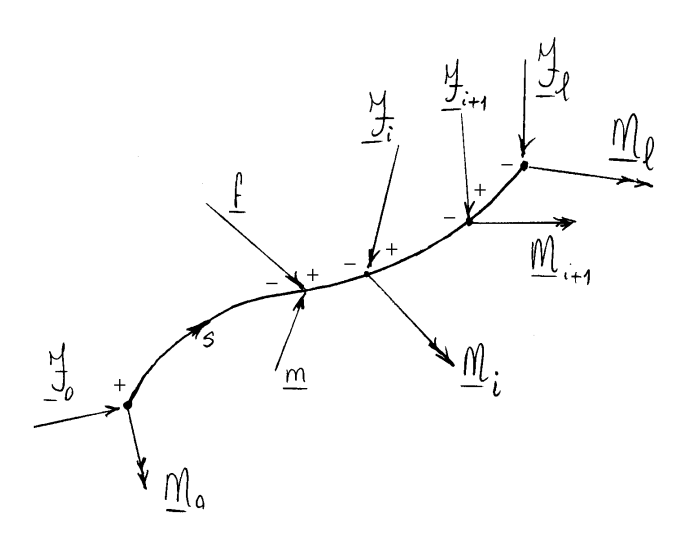
Sia data una possibile configurazione  $\ell$  di una trave non vincolata. Tale configurazione può essere una qualunque configurazione deformata che, comunque, nell'ipotesi di piccoli spostamenti coincide con la configurazione indeformata.



Sia poi dato un *sistema di forze esterne* distribuite f(s) e m(s), agenti nella sezione di prima estremità  $\mathcal{F}_0$  e  $\mathcal{M}_0$ , agenti nella sezione di seconda estremità  $\mathcal{F}_\ell$  e  $\mathcal{M}_\ell$ , concentrate in sezioni intermedie  $\mathcal{F}_i$  e  $\mathcal{M}_i$  ( $i=1,\ldots,n$ ) e di *caratteristiche della sollecitazione* F(s) e M(s). Il dato sistema di forze e di caratteristiche della sollecitazione è *equilibrato* se sono soddisfatte le equazioni si equilibrio indefinite (1.35), di discontinuità (1.42) e (1.43) e di di equilibrio al contorno (1.46):

$$\frac{\mathrm{d}F}{\mathrm{d}s} + f = 0, \qquad \frac{\mathrm{d}M}{\mathrm{d}s} + m + e_z \times F = 0, \qquad (1.116a)$$

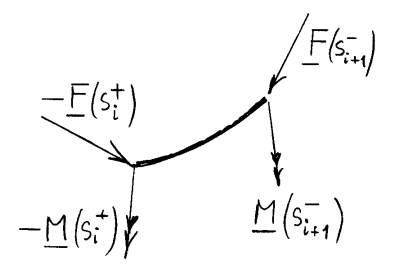
$$F(s_i^+) - F(s_i^-) + \mathcal{F}_i = 0, \qquad M(s_i^+) - M(s_i^-) + \mathcal{M}_i = 0,$$
 (1.116b)



$$F(s_0) = -\mathcal{F}_0,$$
  $M(s_0) = -\mathcal{M}_0,$  (1.116c)

$$F(s_{\ell}) = \mathcal{F}_{\ell}, \qquad M(s_{\ell}) = \mathcal{M}_{\ell}, \qquad (1.116d)$$

Sia infine dato un *campo di spostamenti virtuali* u(s) e un *campo di rotazioni virtuali*  $\varphi(s)$  insieme alle *deformazioni virtuali*  $\epsilon(s)$ ,  $\gamma(s)$  e k(s). Si ricorda che il termine virtuale è sinonimo di lineare (o infinitesimo) e congruente. Sono quindi soddisfatte le equazioni di congruenza



linearizzate (1.56):

$$d = \frac{\mathrm{d}\boldsymbol{u}}{\mathrm{d}s} - \boldsymbol{\varphi} \times \boldsymbol{e}_z, \qquad \boldsymbol{k} = \frac{\mathrm{d}\boldsymbol{\varphi}}{\mathrm{d}s}$$
(1.117)

Ancora una volta si sottolinea il fatto che il termine infinitesimo non è sinonimo di piccolo ma di parte prima o parte lineare. Uno spostamento virtuale non è approssimato dalla parte prima di uno spostamento, uno spostamento virtuale è la parte prima di uno spostamento.

Il lavoro  $L_{ve}$  del sistema di forze e coppie esterne per gli spostamenti e le rotazioni virtuali viene detto *lavoro virtuale esterno*:

$$L_{\text{ve}} = \int_{s_0}^{s_{\ell}} \left( \boldsymbol{f} \cdot \boldsymbol{u} + \boldsymbol{m} \cdot \boldsymbol{\varphi} \right) ds$$

$$+ \boldsymbol{\mathcal{F}}_0 \cdot \boldsymbol{u}(s_0) + \boldsymbol{\mathcal{M}}_0 \cdot \boldsymbol{\varphi}(s_0) + \boldsymbol{\mathcal{F}}_{\ell} \cdot \boldsymbol{u}(s_{\ell}) + \boldsymbol{\mathcal{M}}_{\ell} \cdot \boldsymbol{\varphi}(s_{\ell})$$

$$+ \sum_{i=1}^{n} \left( \boldsymbol{\mathcal{F}}_i \cdot \boldsymbol{u}(s_i) + \boldsymbol{\mathcal{M}}_i \cdot \boldsymbol{\varphi}(s_i) \right). \tag{1.118}$$

Il lavoro  $L_{vi}$  delle caratteristiche della sollecitazione per le deformazioni virtuali viene detto *lavoro virtuale interno*:

$$L_{\text{vi}} = \int_{s_0}^{s_{\ell}} \left( \mathbf{F} \cdot \mathbf{d} + \mathbf{M} \cdot \mathbf{k} \right) ds. \tag{1.119}$$

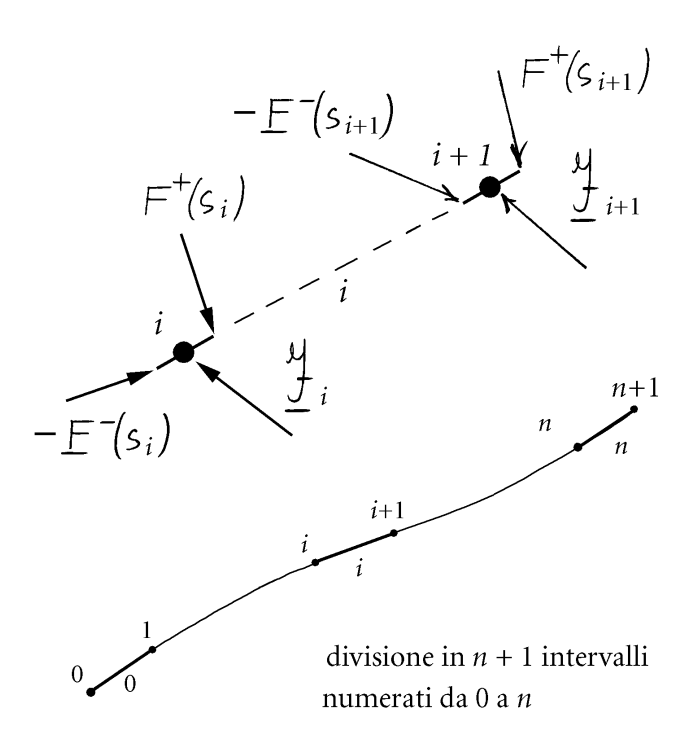
Per definizione, un sistema di forze esterne e di caratteristiche della sollecitazione soddisfa il *principio dei lavori virtuali* se il lavoro virtuale  $L_{ve}$  delle forze esterne uguaglia il lavoro virtuale  $L_{vi}$  delle caratteristiche della sollecitazione per ogni campo di spostamenti, rotazioni e deformazioni virtuali:

$$L_{\rm ve} = L_{\rm vi}. \tag{1.120}$$

Equivalenza tra principio dei lavori virtuali ed equilibrio di forze e caratteristiche della sollecitazione. Il sistema di forze e caratteristiche della sollecitazione è equilibrato se e solo se soddisfa il principio dei lavori virtuali.

*Dimostrazione.* Infatti, posto  $s_{n+1} = s_{\ell}$ , dalla (1.118) si ottiene:

$$L_{\text{ve}} = \int_{s_0}^{s_{\ell}} \left( f \cdot \boldsymbol{u} + \boldsymbol{m} \cdot \boldsymbol{\varphi} \right) ds$$
$$+ \sum_{i=0}^{n} \left( F(s_{i+1}^{-}) \cdot \boldsymbol{u}(s_{i+1}) - F(s_{i}^{+}) \cdot \boldsymbol{u}(s_{i}) \right)$$



$$+ \sum_{i=0}^{n} \left( \mathbf{M}(s_{i+1}^{-}) \cdot \boldsymbol{\varphi}(s_{i+1}) - \mathbf{M}(s_{i}^{+}) \cdot \boldsymbol{\varphi}(s_{i}) \right)$$

$$+ \left( \sum_{i=1}^{n} \left( \mathbf{F}(s_{i}^{+}) - \mathbf{F}(s_{i}^{-}) + \boldsymbol{\mathcal{F}}_{i} \right) \right) \cdot \boldsymbol{u}(s_{i})$$

$$+ \left( \sum_{i=1}^{n} \left( \mathbf{M}(s_{i}^{+}) - \mathbf{M}(s_{i}^{-}) + \boldsymbol{\mathcal{M}}_{i} \right) \right) \cdot \boldsymbol{\varphi}(s_{i})$$

$$+ \left( \mathbf{F}(s_{0}) + \boldsymbol{\mathcal{F}}_{0} \right) \cdot \boldsymbol{u}(s_{0}) + \left( \mathbf{F}(s_{\ell}) - \boldsymbol{\mathcal{F}}_{\ell} \right) \cdot \boldsymbol{u}(s_{\ell})$$

$$+ \left( \mathbf{M}(s_{0}) + \boldsymbol{\mathcal{M}}_{0} \right) \cdot \boldsymbol{\varphi}(s_{0}) + \left( \mathbf{M}(s_{\ell}) - \boldsymbol{\mathcal{M}}_{\ell} \right) \cdot \boldsymbol{\varphi}(s_{\ell})$$

$$= \int_{s_0}^{s_{\ell}} \left( \mathbf{F} \cdot \left( \frac{\mathrm{d} \mathbf{u}}{\mathrm{d} s} - \boldsymbol{\varphi} \times \boldsymbol{e}_z \right) + \mathbf{M} \cdot \frac{\mathrm{d} \boldsymbol{\varphi}}{\mathrm{d} s} \right) \mathrm{d} s$$

$$+ \int_{s_0}^{s_{\ell}} \left( \left( \frac{\mathrm{d} \mathbf{F}}{\mathrm{d} s} + \boldsymbol{f} \right) \cdot \boldsymbol{u} + \left( \frac{\mathrm{d} \mathbf{M}}{\mathrm{d} s} + \boldsymbol{m} + \boldsymbol{e}_z \times \boldsymbol{F} \right) \cdot \boldsymbol{\varphi} \right) \mathrm{d} s$$

$$+ \left( \sum_{i=1}^{n} \left( \mathbf{F}(s_i^+) - \mathbf{F}(s_i^-) + \boldsymbol{\mathcal{F}}_i \right) \right) \cdot \boldsymbol{u}(s_i)$$

$$+ \left( \sum_{i=1}^{n} \left( \mathbf{M}(s_i^+) - \mathbf{M}(s_i^-) + \boldsymbol{\mathcal{M}}_i \right) \right) \cdot \boldsymbol{\varphi}(s_i)$$

$$+ \left( \mathbf{F}(s_0) + \boldsymbol{\mathcal{F}}_0 \right) \cdot \boldsymbol{u}(s_0) + \left( \mathbf{F}(s_{\ell}) - \boldsymbol{\mathcal{F}}_{\ell} \right) \cdot \boldsymbol{u}(s_{\ell})$$

$$+ \left( \mathbf{M}(s_0) + \boldsymbol{\mathcal{M}}_0 \right) \cdot \boldsymbol{\varphi}(s_0) + \left( \mathbf{M}(s_{\ell}) - \boldsymbol{\mathcal{M}}_{\ell} \right) \cdot \boldsymbol{\varphi}(s_{\ell}). \tag{1.121}$$

Nell'ipotesi di piccoli spostamenti la configurazione  $\ell$  del corpo può essere fatta coincidere con la configurazione indeformata di riferimento, che diventa quindi la configurazione nella quale si definiscono approssimativamente sia le forze e le caratteristiche della sollecitazione che gli spostamenti, le rotazioni e le deformazioni virtuali e dove si impongono sia l'equilibrio delle forze e caratteristiche della sollecitazione che la congruenza degli spostamenti, rotazioni e deformazioni virtuali. In tal caso degli spostamenti, rotazioni e deformazioni reali, cioè conseguenti all'applicazione sul corpo di certe forze, possono essere assunti quali spostamenti, rotazioni e deformazioni virtuali congruenti, poiché nel caso di piccoli spostamenti tali quantità devono soddisfare le equazioni di congruenza linearizzate.

In funzione delle componenti di sollecitazione e di deformazione il lavoro virtuale interno si esprime nei modi seguenti:

$$L_{vi} = \left(N\epsilon + M_{f} \cdot k_{f} + M_{t}\Theta + T \cdot \gamma\right) ds$$

$$= \int_{s_{0}}^{s_{\ell}} \left(N\epsilon + M_{x}k_{x} + M_{y}k_{y} + M_{t}\Theta + T_{x}\gamma_{x} + T_{y}\gamma_{y}\right) ds$$

$$= \int_{s_{0}}^{s_{\ell}} \mathbf{S}^{T} \mathbf{D} ds = \int_{s_{0}}^{s_{\ell}} \left(\mathbf{S}_{f}^{T} \mathbf{D}_{f} + \mathbf{S}_{t}^{T} \mathbf{D}_{t}\right) ds. \tag{1.122}$$

Si noti che l'espressione (1.122) del lavoro virtuale interno resta valido anche nel caso si faccia riferimento ai poli generici  $\mathscr{G}$  e  $\mathscr{C}$ , dato che il lavoro di un sistema di forze per un sistema di spostamenti rigidi infinitesimi non dipende dal polo rispetto al quale è valutato il momento risultante e che definisce la traslazione del sistema di spostamenti rigidi infinitesimi. Risultano allora le seguenti espressioni del lavoro virtuale interno:

$$L_{vi} = \int_{\ell} \left( N \epsilon^{\mathcal{G}} + M_{f}^{\mathcal{G}} \cdot \boldsymbol{k}_{f} + M_{t}^{\mathcal{G}} \boldsymbol{\Theta} + \boldsymbol{T} \cdot \boldsymbol{\gamma}^{\mathcal{C}} \right) ds$$

$$= \int_{\ell} \left( N \epsilon^{\mathcal{G}} + M_{x}^{\mathcal{G}} k_{x} + M_{y}^{\mathcal{G}} k_{y} + M_{t}^{\mathcal{C}} \boldsymbol{\Theta} + T_{x} \boldsymbol{\gamma}_{x}^{\mathcal{C}} + T_{y} \boldsymbol{\gamma}_{y}^{\mathcal{C}} \right) ds.$$

$$= \int_{s_{0}}^{s_{\ell}} \left( \boldsymbol{S}_{f}^{\mathcal{G}^{T}} \boldsymbol{D}_{f}^{\mathcal{G}} + \boldsymbol{S}_{f}^{\mathcal{C}^{T}} \boldsymbol{D}_{f}^{\mathcal{C}} \right) ds.$$

$$(1.123)$$

D'altronde utilizzando le (1.50a) e (1.83a) si ottiene:

$$N\epsilon + \mathbf{M}_{f} \cdot \mathbf{k}_{f}$$

$$= (N\mathbf{e}_{z}) \cdot (\epsilon \mathbf{e}_{z}) + \left\{ \mathbf{M}_{f}^{\mathscr{G}} + (\mathscr{G} - O) \times (N\mathbf{e}_{z}) \right\} \cdot \mathbf{k}_{f}$$

$$= (N\mathbf{e}_{z}) \cdot (\epsilon \mathbf{e}_{z}) + (N\mathbf{e}_{z}) \cdot \left\{ \mathbf{k}_{f} \times (\mathscr{G} - O) \right\} + \mathbf{M}_{f}^{\mathscr{G}} \cdot \mathbf{k}_{f}$$

$$= (N\mathbf{e}_{z}) \cdot \left\{ \epsilon \mathbf{e}_{z} + \mathbf{k}_{f} \times (\mathscr{G} - O) \right\} + \mathbf{M}_{f}^{\mathscr{G}} \cdot \mathbf{k}_{f}$$

$$= (N\mathbf{e}_{z}) \cdot \left( \epsilon^{\mathscr{G}} \mathbf{e}_{z} \right) + \mathbf{M}_{f}^{\mathscr{G}} \cdot \mathbf{k}_{f} = N\epsilon^{\mathscr{G}} + \mathbf{M}_{f}^{\mathscr{G}} \cdot \mathbf{k}_{f}$$

$$(1.124)$$

Utilizzando poi le (1.50b) e (1.83b) si ottiene analogamente:

$$M_{t}\Theta + T \cdot y$$

$$= (M_{t}e_{z}) \cdot (\Theta e_{z}) + T \cdot \left\{ y^{\mathscr{C}} - \Theta e_{z} \times (C - O) \right\}$$

$$= (M_{t}e_{z}) \cdot (\Theta e_{z}) - (\Theta e_{z}) \cdot \left\{ (C - O) \times T \right\} + T \cdot y^{\mathscr{C}}$$

$$= \left\{ M_{t}e_{z} - (C - O) \times T \right\} \cdot (\Theta e_{z}) + T \cdot y^{\mathscr{C}}$$

$$= \left( M_{t}^{\mathscr{C}}e_{z} \right) \cdot (\Theta e_{z}) + T \cdot y^{\mathscr{C}} = M_{t}^{\mathscr{C}}\Theta + T \cdot y^{\mathscr{C}}.$$

$$(1.125)$$



# TRAVI ELASTICHE LINEARI

#### 2.1 Teoria tecnica delle travi

Con riferimento al caso di un legame costitutivo locale, la sollecitazione nell'intorno di una sezione retta di una trave dipenderà solo dalla deformazione agente nello stesso intorno. Il modo più semplice di ottenere un legame costitutivo locale è quello di descrivere la deformazione e la sollecitazione nell'intorno di una sezione retta tramite lo spostamento relativo per unità di linea d e la curvatura di deformazione k e, rispettivamente, le caratteristiche della sollecitazione F e M:

$$d(\tau), k(\tau), -\infty < \tau \le t \quad \Rightarrow \quad F(t), M(t).$$
 (2.1)

Se la trave è elastica la sollecitazione F e M ad un dato istante dipenderà solo dalla deformazione d e d allo stesso istante:

$$F = F(d, k), \qquad M = M(d, k). \tag{2.2}$$

Con riferimento ai vettori algebrici di sollecitazione  $\boldsymbol{S}$  e di deformazione  $\boldsymbol{D}$  la (2.2) si scrive:

$$S = S(D). (2.3)$$

Il legame elastico lineare più generale possibile si scrive allora, in forma matriciale:

$$S = ED, (2.4)$$

dove  $\mathbf{E}$  è una *matrice di elasticità* di dimensione  $6 \times 6$ .

Si è visto nel capitolo precedente che alle trasformazioni rigide delle sezioni rette, che descrivono la cinematica del solido trave, corrisponde innanzitutto una dilatazione della generica fibra longitudinale che dipende esclusivamente dalla dilatazione della fibra di riferimento e dalla curvatura flessionale, ovverossia dalla parte assiale e flessionale  $D_f$  della deformazione. Alle trasformazioni rigide delle sezioni rette corrisponde poi uno scorrimento della generica fibra longitudinale che dipende esclusivamente dall'angolo unitario di torsione e dallo scorrimento della fibra di riferimento, ovverossia dalla parte di scorrimento e torsionale  $D_t$  della deformazione. Si tenga poi conto che nella prova di trazione semplice, che genera uno stato di tensione monoassiale ed una dilatazione longitudinale omogenei, si è messa in relazione la dilatazione con la tensione normale, mentre nella prova di torsione, che genera uno stato di tensione di taglio semplice ed uno scorrimento omogenei, si è messo in relazione lo scorrimento con la tensione tangenziale. Si ricordi infine che alla tensione normale corrispondono la forza normale e il momento flettente, ovverossia la parte assiale e flessionale  $S_f$  della sollecitazione, mentre alla tensione tangenziale il momento torcente e il taglio, ovverossia quella tagliante e torsionale  $S_{t}$ . Risulta allora realistico un legame costitutivo elastico lineare in cui la parte assiale e flessionale della sollecitazione non dipenda dalla parte tagliante e torsionale della deformazione e, viceversa, la parte tagliante e torsionale della sollecitazione non dipenda dalla parte assiale e flessionale della deformazione. Il legame costitutivo si scinde in tal caso in due parti indipendenti, una assiale flessionale:

$$\begin{cases}
N \\
M_X \\
M_Y
\end{cases} = 
\begin{bmatrix}
E_z^f & E_{zx}^f & E_{zy}^f \\
E_{xz}^f & E_x^f & E_{xy}^f \\
E_{yz}^f & E_{yx}^f & E_y^f
\end{bmatrix} 
\begin{cases}
\epsilon \\
k_X \\
k_y
\end{cases},$$
(2.5)

e una *tagliante torsionale*:

$$\begin{cases}
M_{t} \\
T_{x} \\
T_{y}
\end{cases} = 
\begin{bmatrix}
E_{z}^{t} & E_{zx}^{t} & E_{zy}^{t} \\
E_{xz}^{t} & E_{x}^{t} & E_{xy}^{t} \\
E_{yz}^{t} & E_{yx}^{t} & E_{y}^{t}
\end{bmatrix} 
\begin{cases}
\Theta \\
\gamma_{x} \\
\gamma_{y}
\end{cases}.$$
(2.6)

Con il termine *teoria tecnica delle travi* sarà inteso nel seguito un particolare legame costitutivo elastico lineare di tale tipo, cioè composto dalle due parti indipendenti (2.5) e (2.6), per il quale esista innanzitutto l'energia elastica di deformazione e che sia poi una approssimazione "accettabile" del corrispondente solido elastico lineare. Non solo, ma si suppone anche che nell'intorno di una sezione retta A, di normale l'asse z, la matrice delle componenti del tensore degli sforzi nel riferimento locale sia almeno approssimativamente del tipo:

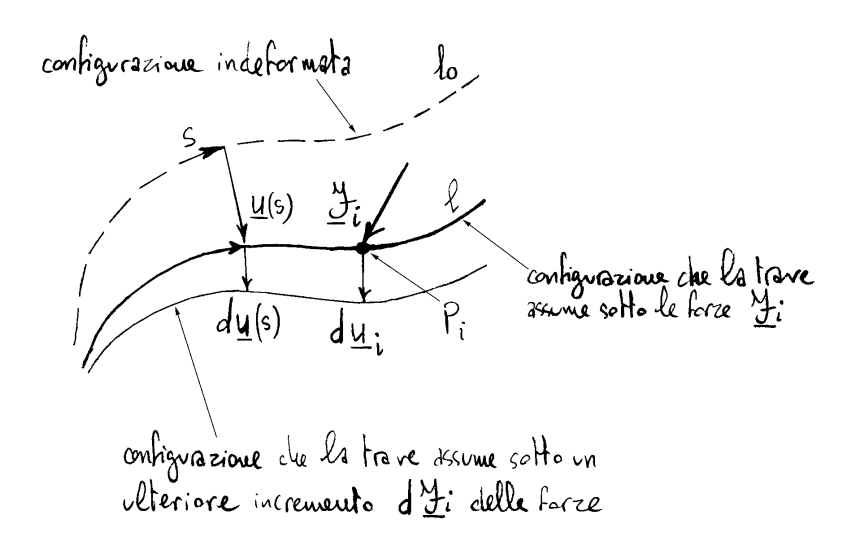
$$[\boldsymbol{\sigma}] = \begin{bmatrix} 0 & 0 & \tau_{xz} \\ 0 & 0 & \tau_{yz} \\ \tau_{zx} & \tau_{zy} & \sigma_z \end{bmatrix}.$$
 (2.7)

Ne risulta che la distribuzione delle componenti di tensione  $\tau_{xz}$ ,  $\tau_{yz}$  e  $\sigma_z$  su una sezione retta è tutto quello che è necessario conoscere per avere il quadro completo dello stato tensionale nell'intorno della stessa sezione retta.

## 2.2 Lavoro di deformazione nelle travi

Si ricorda che il <u>lavora di deformazione</u> rappresenta l'effettivo lavora che le forze applicate compiono per effetto degli spostamenti che le stesse forze provocano. Sotto l'azione dei carichi <u>f</u>, <u>m</u>, <u>H</u>; (i = 0,1,...n, l) la trave assume una configurazione equilibrata distinta da quella naturale di riferimento.

Tale configurazione e' individuata dagli sportamenti



 $\underline{U}(\varsigma)$  dei profi della linea d'asse e dalle rotazioni  $\underline{\varphi}(\varsigma)$  delle sezioni rette.

Siano S(N, T, Mf, Mf) e D(E, Y, O, Kf)

le caratteristiche della solleciazione e della deformazione

consequenti ai dati carichi esterni, e siano dD

(dE, dY, dO, dKf) gli incrementi di deformazione

consequenti ad un incremento df, dm, dHi, dMi

dei carichi esterni. Per il principio dei lavori virtuali

l'incremento del lavoro dei carichi esterni che

rappresenta il lavoro di deformazione:

$$dL_{\mathbf{d}} = \int_{0}^{\ell} \left( \underline{\mathbf{f}} \cdot d\underline{\mathbf{u}} + \underline{\mathbf{m}} \cdot d\underline{\mathbf{f}} \right) ds$$

$$+ \sum_{i=0}^{n+1} \left( \underline{\mathbf{f}} \cdot d\underline{\mathbf{u}} + \underline{\mathbf{m}} \cdot d\underline{\mathbf{f}} \right) + \underline{\mathbf{M}}_{i} \cdot d\underline{\mathbf{f}} \left( s_{i} \right) \right),$$

sle:

$$\begin{split} dL_d &= \int_0^{\varrho} \underline{S}^T d\underline{D} dS \\ &= \int_0^{\varrho} (N d\varrho + \underline{T} \cdot d\underline{\varrho} + M_t d\Theta + \underline{M}_{\varrho} \cdot d\underline{k}_{\varrho}) dS \,. \end{split}$$

Questa espressione differenziale è effettivamente nota se e noto il percorso di carico e deformazione a cui e soggetta la trave. Infatti, anche nel caso in cui le forze applicate sono indipendenti dalla deformazione e quindi note a priori, gli incrementi di spostamento dei pruti caricati, in corrispondenza ad un certo livello raggiunto dai carichi, sono noti solo se e noto il percorso di deformazione susseguente all'applicazione di quei carichi.

Se il percorso di carico-deformazione a partire da una configurazione la fino ad una configurazione la, su sseguente all'applicazione di certi carichi, e' nota, l'espressione disserenziale puo' essere integrata (lungo il percorso) attenendone il lavoro di deformazione tatale lungo il dato percorso:

$$L_{d} = \int_{\ell_{1}}^{\ell_{2}} \left( \int_{0}^{\ell} \underline{S}^{T} d\underline{D} \right) dS.$$

## 2.3 Energia elastica di deformazione nelle travi

Affinché esista una energia elastica di deformazione il lavoro di deformazione non deve dipendere dal percorso, ma solo dagli stati iniziale e finale. Questo significa che il differenziale d $L_{\rm d}$  deve essere esatto e quindi che esiste una funzione energia potenziale elastica per unità di linea  $\phi(\boldsymbol{D})$  funzione della sola deformazione tale che:

$$d\phi = \mathbf{S}^{\mathrm{T}} d\mathbf{D}, \tag{2.8}$$

o, per esteso:

$$d\phi = N d\epsilon + M_f \cdot dk_f + M_t d\Theta + T \cdot d\gamma.$$
 (2.9)

Ne consegue:

$$S = \frac{\partial \phi}{\partial \mathbf{D}},\tag{2.10}$$

oppure per esteso:

$$N = \frac{\partial \phi}{\partial \epsilon},\tag{2.11a}$$

$$M_{\rm f} = \frac{\partial \phi}{\partial k_{\rm f}}, \Rightarrow M_{\chi} = \frac{\partial \phi}{\partial k_{\chi}},$$

$$M_{\chi} = \frac{\partial \phi}{\partial k_{\chi}},$$

$$M_{\chi} = \frac{\partial \phi}{\partial k_{\chi}},$$
(2.11b)

$$M_{\rm t} = \frac{\partial \phi}{\partial \Theta},$$
 (2.11c)

$$T = \frac{\partial \phi}{\partial y}, \qquad \Rightarrow \qquad T_{x} = \frac{\partial \phi}{\partial y_{x}}, \qquad T_{y} = \frac{\partial \phi}{\partial y_{y}}.$$
 (2.11d)

Nel caso di elasticità lineare deve risultare:

$$\frac{\partial \phi}{\partial \mathbf{D}} = \mathbf{E} \mathbf{D}, \qquad \frac{\partial \phi}{\partial D_i} = \sum_j E_{ij} D_j, \tag{2.12}$$

e quindi:

$$E_{ij} = \frac{\partial^2 \phi}{\partial D_i \partial D_j}. (2.13)$$

L'integrazione è possibile se e solo se:

$$\frac{\partial^2 \phi}{\partial D_i \partial D_j} = \frac{\partial^2 \phi}{\partial D_j \partial D_i},\tag{2.14}$$

cioè se e solo se la matrice di elasticità è simmetrica:

$$\boldsymbol{E} = \boldsymbol{E}^{\mathrm{T}}, \qquad E_{ii} = E_{ii}. \tag{2.15}$$

Si integri allora dallo stato naturale allo stato finale caratterizzato dalla deformazione D e dalla sollecitazione S = ED. Uno stato intermedio vale

 $\lambda D$  e  $\lambda S$ , con  $\lambda \in [0,1]$ . Ad un incremento  $dD = (d\lambda)D$  di deformazione corrisponde l'incremento  $d\phi = \lambda(S^TD) d\lambda$  dell'energia elastica di deformazione. Integrando si ottiene quindi:

$$\phi = \int_0^1 \lambda(\mathbf{S}^T \mathbf{D}) \, d\lambda = \frac{1}{2} \mathbf{S}^T \mathbf{D}, \qquad (2.16)$$

avendo scelto di porre  $\phi(0) = 0$ . Inserendo il legame costitutivo elastico lineare si ottiene infine:

$$\phi = \frac{1}{2} \mathbf{D}^{\mathsf{T}} \mathbf{E} \mathbf{D}. \tag{2.17}$$

La richiesta che il lavoro di deformazione sia positivo, a partire dalla configurazione naturale, implica la definitezza positiva di  $\boldsymbol{E}$  e la sua invertibilità.

Detta  $oldsymbol{C}$  la matrice inversa della  $oldsymbol{E}$  :

$$C = E^{-1}$$

si ha quindi:

$$\underline{\mathbf{D}} = \mathbf{C} \underline{\mathcal{S}}$$
.

È anche assicurata l'existenza dell'energia complementare per unità di linea che vale:

$$\Psi = \frac{1}{2} \underline{S}^{\mathrm{T}} \mathbf{C} \underline{S}$$

tale che:

$$\underline{\mathbf{D}} = \frac{\partial \Psi}{\partial \underline{\mathbf{S}}} \, \, / \,$$

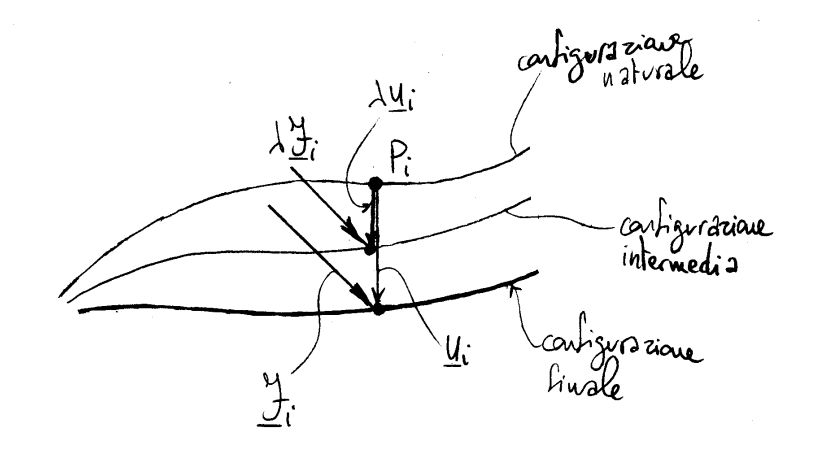
oppure, per esteso:

$$\begin{cases}
\xi = \frac{\partial \Psi}{\partial N} \\
\delta_{x} = \frac{\partial \Psi}{\partial T_{x}}
\end{cases}, \qquad \begin{cases}
\Theta = \frac{\partial \Psi}{\partial M_{t}} \\
k_{x} = \frac{\partial \Psi}{\partial M_{x}}
\end{cases}, \\
k_{y} = \frac{\partial \Psi}{\partial M_{y}}
\end{cases}$$

## 2.4 Teoremi sul lavoro di deformazione

## 2.4.1 Teorema di Clapeyron

Nell'ambito della elasticità lineare gli spostamenti sono proporzionali alle forze applicate. Se le forze Fi provocsuo gli spostamenti !! dei pruti di applicazione, le Poire à Ji, dave 2 e' un generico scalare, provocano gli spostamenti du. Poiche il Cavoradi deformazione et indipendente dal percorse, le si puo' calcolare sceglience di incrementare totte le Parce in modo proporzionale fa loro, da zero fino al loro valore finale Fi. une stato intermedio è dunque individuato delle form 15; can 0<1<1.



Se alle forze fivali corrispondono gli spostamenti Li allora alle forze d'Li corrispondono gli spostamenti d'Li. L'incremento dei carichi lungo il percorso scelto vale dd Li e il conse= quente incremento degli spostamenti risulta dd Li. Ne consegue:

$$L_{d} = \sum_{i} \int_{0}^{1} (\lambda \mathcal{L}_{i}) \cdot (d\lambda \mathbf{u}_{i}) = \sum_{i} (\mathcal{L}_{i} \cdot \mathbf{u}_{i}) \int_{0}^{1} \lambda d\lambda$$

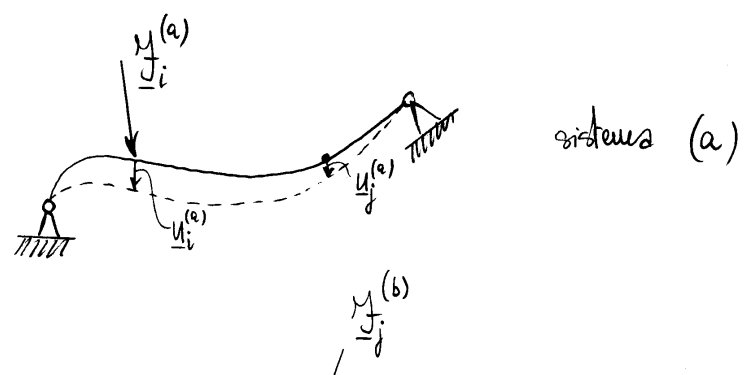
e infine:

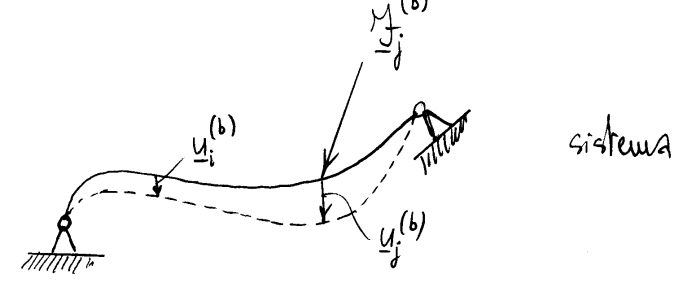
$$L_d = \frac{1}{2} \sum_{i} \mathcal{Y}_i \cdot y_i \qquad \text{(levens di Clayperon)}.$$

A parale, il baroro di deformazione du le force applicate compiono a partire da zero Lino al Coro valore Linale e' pari a meta del baroro compiuto dalle stesse forze se avessero dall'inizio alla line il loro valore linale.

#### 2.4.2 Teorema di Betti

Per il lavaro di deformazione non vale il principio di sovrapposizione degli effetti. Infatti ad un cistema di bora  $J_i$  compete il seguente lavoro di deformazione:

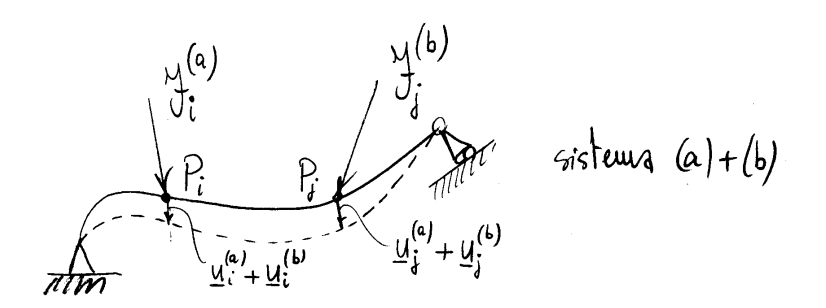




neutre ad un sistema di forze  $\mathcal{L}_{\delta}^{(b)}$  compete il lavora di deformazione:

$$\Gamma_{(p)}^{q} = \frac{1}{4} \quad \Sigma_{i} \quad \overline{\gamma}_{(p)}^{(p)} \cdot \underline{\gamma}_{i}^{(p)} \quad .$$

Al sistema di force sommes dei due sistemi precedenti compete quindi il lavoro:



dove:

$$L_{ab} = \sum_{i} \underbrace{\mathcal{Y}_{i}^{(b)}}_{i} \cdot \underline{\mathcal{Y}_{i}^{(b)}}$$

$$L_{ba} = \sum_{j} \underbrace{\mathcal{Y}_{i}^{(b)}}_{i} \cdot \underline{\mathcal{Y}_{j}^{(a)}}$$

I lavori Lab e Loa rappresentano il bavoro mutuo due le force del sistema (a) campirebbero per effetto degli spotamenti dovuti al sistema (b) se avessero sempre il loro valore simale e, rispettivamente, il lavoro mutuo che le force del sistema (b) campirebbero per effetto degli spostamenti dovuti al sistema (a) se avessero sempre il loro valore finale.

Vogliamo mostrare du i due lavori mutui Lab e La coincidono (teorema di Betti).

Inhalti, paicher il lavoro di deformazione non dipende dal perorso, il lavoro Ld puo essere calcolato applicando prima le forze del gisterns (a) sino el loro velore sinele, poi le forze del sistems (b) Ano al loro valere liurale. Alla line dell'applicazione del sistema (a) il lavoro di deformazione vale L'a). L'applicazione del sistems (b) non solo genera il bavoro di desorussione Ld, ma, brende l'avorare auche il sistema di forze (a), che sono già al loro valore hiusle, genera audie il termine Lab:

 $L_d^{(a+b)} = L_d^{(a)} + L_d^{(b)} + L_{ab}$ .

D'altroude, se si applica primes il sistema di

force (b) fino al loro valore finale e incli il sistema di force (a), si officue dualogamente:  $L_{d}^{(a+b)} = L_{d}^{(b)} + L_{d}^{(a)} + L_{ba}.$ 

Ne risulta quindi:

 $L_{ab} = L_{ba}$  .

# 2.5 Energia potenziale totale nelle travi

Se all'energia elastica di deformazione \$ 51 somma l'energia potenziale delle forze applicate, vell'ipetesi che tali forze siano conservative, si ottiene l'energia potenciale totale. Se le forze applicate alla strettura sono indipendenti dagli spostamenti e rotazioni che la strettura puo' subire (forze morte, oppur "dead badings", nella terminologia inglese) allora il potenziale delle forze associato a dati spostamenti e rotazioni due, on ma opportus scella della zero del potenziste, coincide con il lavoro delle forze, risulta:

$$V\left(\underline{\mathbf{u}},\underline{\mathbf{q}}\right) = \int_{S_0} \left(\underline{\mathbf{f}}\cdot\underline{\mathbf{u}} + \underline{\mathbf{m}}\cdot\underline{\mathbf{q}}\right) ds$$

$$+ \sum_{i=0}^{n} \left(\underline{\mathbf{f}}\cdot\underline{\mathbf{u}} + \underline{\mathbf{m}}\cdot\underline{\mathbf{q}}\right) + \underline{\mathbf{M}}_{i}\cdot\underline{\mathbf{q}}\left(s_{i}\right).$$

Tenendo conto du le deformazioni dipendono, tramite le egrazioni di congruenza, dagli spostamenti e dalle rotazioni, risulta la sognente espressione dell'energia potenziale tatale:

$$\frac{1}{\sqrt{\underline{u}}} \left( \underline{u}, \underline{q} \right) = - \int_{\xi_0}^{\underline{u}} \left( \underline{\underline{f}} \cdot \underline{\underline{u}} + \underline{\underline{m}} \cdot \underline{\underline{q}} \right) ds + \\
- \sum_{i=0}^{n} \left( \underline{\underline{f}} \cdot \underline{\underline{u}} + \underline{\underline{m}} \cdot \underline{\underline{q}} \right) + \int_{\xi_0}^{\underline{u}} \sqrt{\underline{\underline{u}}} \cdot \underline{\underline{q}} ds .$$

Notiano che tale energia cappresenta ma funzione scalare degli spostamenti e delle rotazioni. A lora volta gli spostamenti <u>u</u>(s) e le rotazioni <u>e</u>(s) rappresentano due funzioni vettoriali dell'ascissa curvilinea s lungo l'asse della trave. Quinchi la funzione <u>m</u> (<u>u</u>, <u>e</u>) rappresenta una <u>funzione</u> di

<u>funzione a valori scalari</u>. Un tale tipo di funzione e chiamata <u>funcionale</u>.

## 2.5.1 Variazione del funzionale energia potenziale totale

L'incremento di  $\pi(\underline{u},\underline{q})$  al passare la una configurazione individuale dagli apostamenti e rotazioni  $\underline{u}_1$  e  $\underline{q}_1$  ad un'altra configurazione individuale dagli apostamenti e rotazioni  $\underline{u}_2$  e  $\underline{q}_2$  vale:

$$\Delta T = T \left( \underline{u}_{2}, \underline{\ell}_{2} \right) - T \left( \underline{u}_{1}, \underline{\ell}_{1} \right).$$

configurazione indeformata

lo se configurazione deformata

configurazione variata

(ongruente coni vincoli)  $\underline{u}(0)=0$   $\underline{u}(0)=\underline{u}_0$   $\underline{u}(0)+\underline{Su}(0)=\underline{u}_0$ 

Si ausiderino degli spostamenti 4 (5) e delle rotazioni of (5), che individuano una configurazione deformata congruente con i vincoli. Si incrementino tali spostamenti e rotazioni tamite due funcioni du (s) e de (s). Se si vuole du le somme  $\underline{U}(s) + \underline{\delta u}(s) = \underline{V}(s) + \underline{\delta V}(s)$ soddistino le condizioni geometrique il contorno, occorre che le <u>variazioni</u> su degli spostmenti e sy delle rotazioni soddistino le condizioni geometriche omegener al contorno. Per escupia, se in corrispondenza di  $s = S_0$  deve essere  $\underline{U}(S_0) = \underline{U}_0$  (cedimento anelastic)  $\underline{u}(s_0) + \underline{su}(s_0) = \underline{u}_0$  e' soddishatta la condizione se e solo se  $\frac{du}{ds}(s_0) = 0$  (oudicione omagenea). l'incremento dell'energia potenziale totale conseguente alle variazioni Su e Sy dei compi degli

spostamenti e delle rotazioni a partire dalla configurazione individuata dagli capatamenti  $\underline{u}$  e dalle rotazioni  $\underline{q}$ , vale  $\Delta \pi (\delta \underline{u}, \delta \underline{q}) =$ 

 $= \pi \left( \underline{u} + \delta \underline{u}, \underline{\ell} + \delta \underline{\ell} \right) + \pi \left( \underline{u}, \underline{\ell} \right).$ 

Consideriamo una data "direzione" relle "spazio delle delle variazioni", ovverossia nello spazio delle funzioni di 3 seddisfacenti le condizioni omogenee el contarno. Una direzione el individuata da tutte le variazioni du sono proporzionali ad una varia: zione data, e che quindi possono mettersi nella forma:

$$\delta \underline{u} = \alpha \delta \underline{u}_{o}$$
,  $\delta \underline{q} = \alpha \delta \underline{q}_{o}$ ,

dove du e de sono delle date variazioni e « è uno scalare indipendente da s. Al variare di « si medifica

l'entità degli spostamenti un non la loro forma. Lungo una direzione cosiffatta, il funzionale TT risultà una funzione della sola  $\angle$  e se ne prolocalare per  $\alpha=0$ , la parte lineare in  $\alpha$ , che, per  $\alpha=1$ , viene della variazione prima ed indicata con  $\delta TT$ :

$$\int T = \frac{dT}{d\alpha}\Big|_{\alpha=0}$$
.

Poicher rigulta:

$$\pi = -V + \Phi ,$$

ne consegue  $[F = G + H \implies SF = SG + SH]$ :

$$\delta \pi = -\delta V + \delta \Phi$$
.

Risulta poi [F = aG ->> SF=aSG e

$$\delta \int_{\mathbf{R}_{o}} F \, ds = \int_{\mathbf{R}_{o}} \delta F \, ds \, \int_{\mathbf{S}_{o}} .$$

$$\delta V = - \int_{\mathbf{R}_{o}} \left( \underbrace{F \cdot \delta \mathbf{u}}_{i} + \underbrace{\mathbf{m} \cdot \delta \mathbf{u}}_{i} + \underbrace{\mathbf{M}}_{i} \cdot \delta \mathbf{u}_{i} \right) \, ds +$$

$$- \underbrace{\sum_{i=0}^{n}}_{i=0} \left( \underbrace{\mathcal{Y}}_{i} \cdot \delta \mathbf{u}_{i} + \underbrace{\mathbf{M}}_{i} \cdot \delta \mathbf{u}_{i} \right) \, .$$

Inolfre:

$$\oint \Phi = \iint_{\ell_0} \oint ds ,$$

ed anora  $\left[ F = G(H) \Rightarrow \delta F = \frac{\partial G}{\partial H} \delta H \right]$ :

Risulta dunque:

$$\delta \pi = - \int_{\ell_0} (\underline{f} \cdot \delta \underline{u} + \underline{m} \cdot \delta \underline{\ell}) ds +$$

$$- \sum_{i=0}^{n} (\underline{\mathcal{I}}_i \cdot \delta \underline{u}_i + \underline{M}_i \cdot \delta \underline{\ell}_i) + \int_{\ell_0} (\underline{s} \cdot \delta \underline{D}) ds .$$

Utilizzando infine il legame elastico-lineare si pior anche scrivere:

$$\delta \pi = - \int_{\ell_0} (\underline{f} \cdot \delta \underline{u} + \underline{m} \cdot \delta \underline{\ell}) ds + \\ - \sum_{i=0}^{n} (\underline{\mathcal{F}}_i \cdot \delta \underline{u}_i + \underline{M}_i \cdot \delta \underline{\ell}_i) + \int_{\ell_0} (\underline{E}[\underline{D}] \cdot \delta \underline{D}) ds.$$

Le variazioni delle deformazioni D, Milizzando le epazioni (liveari) di congruenza, visultano:

$$\begin{cases}
\delta \mathbf{y} + \delta \epsilon \mathbf{e}_{t} = \frac{\mathrm{d} \delta \mathbf{u}}{\mathrm{d} s} - \delta \mathbf{\varphi} \times \mathbf{e}_{t} \\
\delta \underline{\kappa} = \frac{\mathrm{d} \delta \underline{\mathcal{Y}}}{\mathrm{d} s}
\end{cases}$$

Si noti che il risultato non sarebbe cambiato se si fosse partiti delle epazioni di congruenza non lineari, poiche "variare" significa linearizzare.

## 2.5.2 Principio di stazionarietà dell'energia potenziale totale

La variazione STT del huzionelle energia potenziale totale si annulla in corrispondenza della soluzione del problems elastico.

Inhatti, le force applicate sono in equilibrio on le caratteristiche della sollecitazione solutione  $\underline{S}^*$  che, tramite i legami costitutivi, dipendono dal caratteristiche della deformazione solutione  $\underline{D}^*$ :

$$\underline{S}^* = \frac{\partial \emptyset}{\partial \underline{D}} \bigg|_{D = D^*} .$$

Siano poi  $\underline{J}\underline{U}$  e  $\underline{J}\underline{U}$  delle variazioni degli spostamenti e delle rotazioni e siano  $\underline{J}\underline{D}$  le associate variazioni delle deformazioni. Si proi allora scrivere il

principio dei lavori virtuali nella forma:

$$\int_{\ell_0} \left( \underline{\mathbf{f}} \cdot \underline{\mathbf{S}} \underline{\mathbf{u}} + \underline{\mathbf{m}} \cdot \underline{\mathbf{S}} \underline{\mathbf{f}} \right) d\mathbf{s} + \sum_{i=0}^{n} \left( \underline{\underline{\mathbf{J}}}_i \cdot \underline{\mathbf{S}} \underline{\mathbf{u}}_i + \underline{\mathbf{M}}_i \cdot \underline{\mathbf{S}} \underline{\mathbf{f}}_i \right) + \\
+ \int_{\ell_0} \left( \underline{\mathbf{s}}^* \cdot \underline{\mathbf{S}} \underline{\mathbf{D}} \right) d\mathbf{s} = 0.$$

tenendo contro che le variazioni su e sel sono emogenel in corrispondenza dei vincoli e che quindi le reazioni vincolari soluzione R\* hanno un contributo nullo.

Quindi risulta:

$$\int_{\ell_0} \left( \underline{f} \cdot \underline{\delta} \underline{\mathbf{u}} + \underline{\mathbf{m}} \cdot \underline{\delta} \underline{\ell} \right) d\mathbf{s} + \sum_{i=0}^{n} \left( \underline{\underline{\mathcal{J}}}_i \cdot \underline{\delta} \underline{\mathbf{u}}_i + \underline{\underline{\mathbf{M}}}_i \cdot \underline{\delta} \underline{\ell}_i \right) + \\
+ \int_{\ell_0} \left( \frac{\partial \underline{\emptyset}}{\partial \underline{\mathbf{D}}} \Big|_{\underline{\mathbf{D}} = \underline{\mathbf{D}}^*} \cdot \underline{\delta} \underline{\mathbf{D}} \right) d\mathbf{s} = 0.$$

ciol:

$$\delta\pi|_{D=D^*}=0$$
,

come volevasi dimostrare. Poiche si sono itilicaste, nella dimostrazione, espressioni formalmente valide anche in elasticità finità, tale feorema ha ma validità generale.

## 2.5.3 Principio di minimo dell'energia potenziale totale

Nell'ambito della sola elasticità infinitesima si dimestra ineltre che il <u>funcionale energia</u> potenziale totale ha un minimo assoluto in corrispondenza della soluzione.

Infatti, utilizzando la forma quadatica del funzionale emergia potenziale totale, propria del legame elastico-lineare:  $\pi(\underline{u},\underline{q}) - \pi(\underline{u}^*,\underline{q}^*) = -\int_{S_0} (\underline{f} \cdot (\underline{u} - \underline{u}^*) + \underline{m} \cdot (\underline{q} - \underline{q}^*)) ds +$ 

$$-\sum_{i=0}^{n} \left( \underbrace{\mathcal{I}}_{i} \cdot \left( \underline{\mathbf{u}}_{i} - \underline{\mathbf{u}}_{i}^{*} \right) + \underbrace{\mathbb{M}}_{i} \cdot \left( \underline{\mathbf{I}}_{i} - \underline{\mathbf{I}}_{i}^{*} \right) \right)$$

$$+ \int_{\ell_{0}} \frac{1}{2} \left\{ D \cdot \mathbb{E}[D] - D^{*} \cdot \mathbb{E}[D^{*}] \right\} dS =$$

$$= -\int_{\ell_{0}} \left( \underbrace{\mathbf{I}}_{i} \cdot \left( \underline{\mathbf{u}}_{i} - \underline{\mathbf{u}}_{i}^{*} \right) + \underbrace{\mathbb{M}}_{i} \cdot \left( \underline{\mathbf{I}}_{i} - \underline{\mathbf{I}}_{i}^{*} \right) \right) dS +$$

$$- \sum_{i=0}^{n} \left( \underbrace{\mathcal{I}}_{i} \cdot \left( \underline{\mathbf{u}}_{i} - \underline{\mathbf{u}}_{i}^{*} \right) + \underbrace{\mathbb{M}}_{i} \cdot \left( \underline{\mathbf{I}}_{i} - \underline{\mathbf{I}}_{i}^{*} \right) \right)$$

$$+ \int_{\ell_{0}} D^{*} \cdot \mathbb{E}[D - D^{*}] dS + \frac{1}{2} \int_{\ell_{0}} [D - D^{*}] \cdot \mathbb{E}[D - D^{*}] dS.$$

Le constreristique della sollectionique  $S^* = \mathbb{E}[D^*]$  sons in equilibris on le forze f, m,  $\mathcal{F}_i$  e  $M_i$  mentre gli spostomenti  $\underline{u} - \underline{u}^*$ , le rotazioni  $\underline{f} - \underline{f}^*$  e le deformazioni  $D - D^*$  soldistano le equazioni chi carguenza linearizzate ed in altre gli spostomenti  $\underline{u} - \underline{u}^*$  e le rotazioni  $\underline{f} - \underline{f}^*$  si annullano in corrispondenza dei

vincoli. Per il principio dei lavori virtuali la somma dei primi due termini si annulla e risulta:

$$\mathcal{T}\left(\underline{\mathbf{U}},\underline{\mathbf{\ell}}\right) - \mathcal{T}\left(\underline{\mathbf{U}}^*,\underline{\mathbf{\ell}}^*\right) = \frac{1}{2} \int_{\mathbf{\ell}_o} [\mathbf{D} - \mathbf{D}^*] \cdot \mathbb{E}\left[\mathbf{D} - \mathbf{D}^*\right] \, ds.$$

La definitezza positiva di E assicua dungue:

$$\pi(\underline{u},\underline{\ell}) - \pi(\underline{u}^*,\underline{\ell}^*) > 0$$

 $\mathcal{L} = \mathcal{L}^*$ , cioè se gli spostamenti  $\mathcal{L} = \mathcal{L}^*$  e le rotazioni  $\mathcal{L} = \mathcal{L}^*$  differiscono da un moto rigido. In tal caso  $\mathcal{L} = \mathcal{L}$  differiscono dalla soluzione e il teorema resta dimostrato.

## 2.6 Centri di flessione e di taglio

Nel seguito si suppone che esista l'energia elastica di deformazione e che quindi il legame costitutivo elastico lineare sia invertibile e le matrici di elasticità e di elasticità inversa siano simmetriche. Come già detto si suppone inoltre che la parte assiale e flessionale sia indipendente da quella tagliante e torsionale. Si faccia poi riferimento, per il momento, al punto O della linea d'asse per il calcolo di tutte le quantità che intervengono nel legame costitutivo. Si scelga infine, nel piano della sezione, un generico sistema di riferimento Oxy (fig. 2.1).

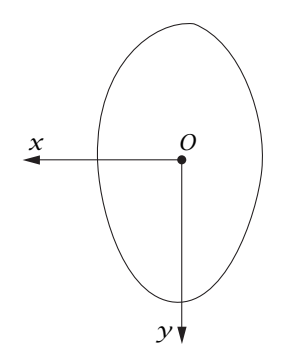


Figura 2.1: Sistema di riferimento

#### 2.6.1 Centro di flessione

Si consideri ora una deformazione assiale e flessionale tale che  $\mathbf{k}_{\mathrm{f}}=0$  e  $\epsilon\neq0$ . Tramite il relativo legame costitutivo elastico lineare a tale deformazione corrisponderà una forza normale N e un momento flettente  $\mathbf{M}_{\mathrm{f}}$ , valutato rispetto al polo O, equivalenti ad un'unica forza normale avente retta d'azione che intersecherà la sezione retta in un punto G, detto *centro di flessione* (fig. 2.2). Si ha:

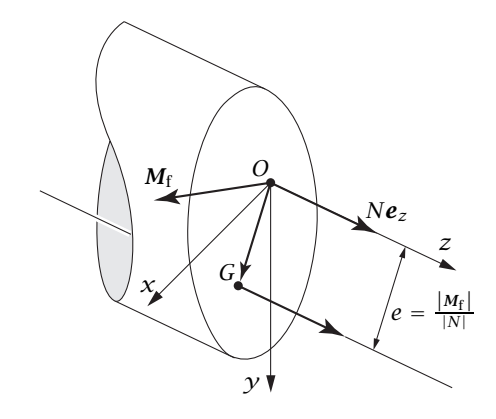


Figura 2.2: Centro di flessione

$$G - O = \frac{1}{N} \boldsymbol{e}_z \times \boldsymbol{M}_{\mathrm{f}} \tag{2.18}$$

Il centro di flessione G esiste poiché  $N \neq 0$  in quanto non deve essere nulla l'energia elastica di deformazione pari a  $\phi = \frac{1}{2}N\epsilon$  e poiché per via della linearità del legame la retta d'azione che definisce G non dipende dal valore di  $\epsilon$ . Inoltre se il centro di flessione viene scelto quale polo del legame assiale flessionale, il legame assiale e quello flessionale vengono disaccoppiati in quanto ad una generica curvatura flessionale  $\mathbf{k}_f$  deve corrispondere una forza normale N nulla. Infatti si considerino due deformazioni assiali e flessionali  $\mathbf{D}_1^f = \begin{bmatrix} \epsilon^G & 0 & 0 \end{bmatrix}^T \mathbf{e} \ \mathbf{D}_2^f = \begin{bmatrix} 0 & k_X & k_Y \end{bmatrix}^T$ . Alla dilatazione  $\epsilon^G$  corrisponde un momento flettente  $\mathbf{M}_{f1}^G$  nullo, per cui risulta  $\begin{pmatrix} \mathbf{D}_2^f \end{pmatrix}^T \mathbf{E}^f \mathbf{D}_1^f = \begin{pmatrix} \mathbf{D}_2^f \end{pmatrix}^T \mathbf{S}_1^f = \mathbf{M}_{f1}^G \cdot \mathbf{k}_f = 0$ . Per via della simmetria del legame dovuta alla esistenza dell'energia elastica di deformazione deve allora risultare  $N_2\epsilon^G = \begin{pmatrix} \mathbf{D}_1^f \end{pmatrix}^T \mathbf{S}_2^f = \begin{pmatrix} \mathbf{D}_1^f \end{pmatrix}^T \mathbf{E}^f \mathbf{D}_2^f = 0$  e infine  $N_2 = 0$ . Scelto allora G quale polo del legame assiale flessionale, le due parti indipendenti, una assiale e una flessionale, possono scriversi:

$$N = \mathcal{M}\epsilon^G, \tag{2.19}$$

$$\boldsymbol{M}_{\mathrm{f}}^{G} = \boldsymbol{J} \boldsymbol{k}_{\mathrm{f}}. \tag{2.20}$$

La costante di proporzionalità  $\mathcal{M}$ , *rigidezza assiale* di un elemento di trave, ha dimensione F e può essere misurata per esempio in N. Poiché  $M_f^G$  e  $k_f$  sono vettori nel piano della sezione, l'operatore lineare J che ne definisce il legame elastico lineare è di consenguenza un tensore del secondo ordine piano, il *tensore di rigidezza flessionale* di un elemento di trave, e le sue componenti hanno dimensione  $FL^2$  e possono quindi essere misurate per esempio in N  $m^2$ .

#### 2.6.2 Centro di taglio

Sia data una prima deformazione torsionale e tagliante tale che  $\Theta_1 = 0$  e  $\mathbf{y}_1 \neq 0$ . Tramite il relativo legame costitutivo elastico lineare a tale deformazione corrisponderà un momento torcente  $M_{t1}$ , valutato rispetto al polo O, e un taglio  $T_1$ . Il sistema di forze è equivalente ad un'unica forza di taglio avente retta d'azione  $r_1$  non ortogonale a  $\mathbf{y}_1$  in quanto l'energia elastica di deformazione, pari a  $\phi = \frac{1}{2}T_1 \cdot \mathbf{y}_1$ , non deve annullarsi (fig. 2.3). Sia data poi una seconda deformazione torsionale e tagliante tale che  $\Theta_2 = \frac{1}{2}T_1 \cdot \mathbf{y}_1$ 

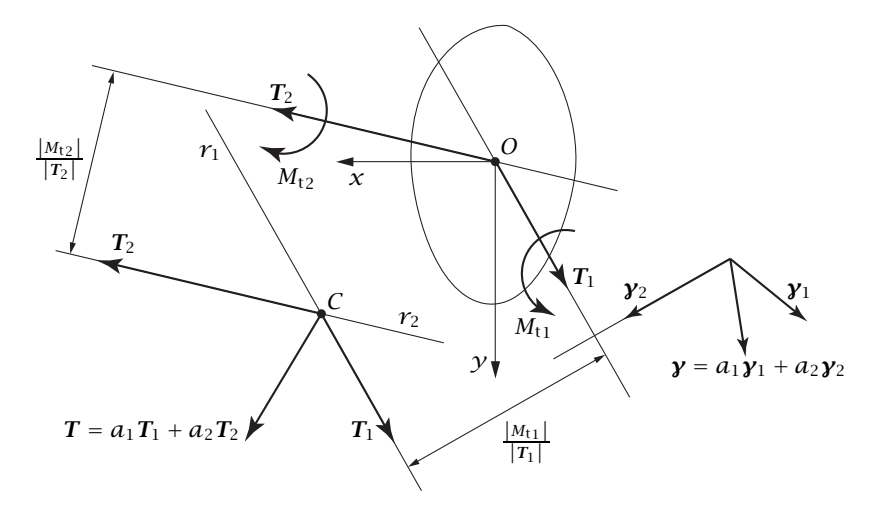


Figura 2.3: Centro di taglio

0 e  $\mathbf{y}_2 \neq 0$ , con  $\mathbf{y}_2$  ortogonale a  $\mathbf{T}_1$ . A tale deformazione corrisponderà un momento torcente  $M_{t2}$ , ancora valutato rispetto al polo O, e un taglio  $\mathbf{T}_2$  pure equivalenti ad un'unica forza di taglio avente retta d'azione  $r_2$  non ortogonale a  $\mathbf{y}_2$  poiché anche in tal caso l'energia elastica di deformazione, pari a  $\phi = \frac{1}{2}\mathbf{T}_2 \cdot \mathbf{y}_2$ , non deve annullarsi. Quindi  $r_2$  non è parallela a  $r_1$  e le due rette si intersecano in un punto C detto *centro di taglio*.

Si osservi innanzitutto che C esiste, in quanto la sua posizione non dipende dallo scorrimento iniziale  $\gamma_1$  prescelto. Infatti essendo  $\gamma_1$  e  $\gamma_2$  non paralleli, un qualunque scorrimento  $\gamma$  può scriversi come loro combinazione lineare. Per la linearità del legame a  $\gamma$  corrisponderà un taglio T combinazione lineare di  $T_1$  e di  $T_2$ , quindi passsante per C. Se poi il centro di taglio viene scelto quale polo del legame tagliante torsionale, il legame tagliante e quello torsionale vengono disaccoppiati, in quanto ad un angolo unitario di torsione  $\Theta$  generico deve corrispondere un taglio T nullo. Infatti si considerino due deformazioni taglianti e torcenti  $D_1^t = \begin{bmatrix} 0 & \gamma_x^C & \gamma_y^C \end{bmatrix}^T$  e  $D_2^t = \begin{bmatrix} \Theta & 0 & 0 \end{bmatrix}^T$ . Allo scorrimento  $\gamma^C$  corrisponde un momento torcente  $M_{t1}^C$  nullo, per cui risulta  $(D_2^t)^T E^t D_1^t = (D_2^t)^T S_1^t = M_{t1}^C \Theta = 0$ . Per via della simmetria del legame dovuta alla esistenza dell'energia elastica di deformazione deve allora risultare  $T_2 \cdot \gamma^C = (D_1^t)^T S_2^t = (D_1^t)^T E^t D_2^t = 0$  e

infine  $T_2 = 0$ . Scelto allora C quale polo del legame tagliante torcente, le due parti indipendenti, una tagliante e una torcente, possono scriversi:

$$M_{\rm t}^{\rm C} = J_{\rm t}\Theta,\tag{2.21}$$

$$T = \Gamma \gamma^{\mathsf{C}}. \tag{2.22}$$

In tal caso la costante di proporzionalità  $J_t$ , *rigidezza torsionale* di un elemento di trave ha dimensioni  $FL^2$  e può essere misurata per esempio in N  $m^2$ , mentre l'operatore lineare  $\Gamma$  che è un tensore del secondo ordine piano, il *tensore di rigidezza tagliante* di un elemento di trave, e le sue componenti hanno dimensione  $\Gamma$  e possono quindi essere misurate per esempio in N.

#### 2.6.3 Energia elastica di deformazione

A seguito della scelta dei centri di flessione G e di taglio C quali poli per la descrizione del legame costitutivo delle travi l'espressione del lavoro virtuale interno che compare nel principio dei lavori virtuali resta, come già visto, formalmente immutata da cui consegue la stessa proprietà sia per l'energia elastica di deformazione che per l'energia complementare:

$$\phi = \frac{1}{2} \left\{ \mathcal{M} \left( \boldsymbol{\epsilon}^{G} \right)^{2} + \boldsymbol{k}_{f} \cdot \boldsymbol{J} \boldsymbol{k}_{f} + J_{t} \boldsymbol{\Theta}^{2} + \boldsymbol{\gamma}^{C} \cdot \boldsymbol{\Gamma} \boldsymbol{\gamma}^{C} \right\}, \tag{2.23a}$$

$$\psi = \frac{1}{2} \left\{ \frac{1}{\mathcal{M}} N^2 + M_{\rm f}^G \cdot J^{-1} M_{\rm f}^G + \frac{1}{J_{\rm t}} \left( M_{\rm t}^C \right)^2 + T \cdot \Gamma^{-1} T \right\}. \tag{2.23b}$$

Se x e y sono direzioni principali di flessione, ovverossia direzioni principali del tensore di rigidezza flessionale J, e analogamente se x' e y' sono direzioni principali di taglio, ovverossia direzioni principali del tensore di rigidezza tagliante  $\Gamma$ , l'energia elastica di deformazione e l'energia complementare si scrivono:

$$\phi = \frac{1}{2} \left\{ \mathcal{M} \left( \epsilon^G \right)^2 + J_X k_X^2 + J_Y k_Y^2 + J_t \Theta^2 + \Gamma_{X'} \left( \gamma_{X'}^C \right)^2 + \Gamma_{Y'} \left( \gamma_{Y'}^C \right)^2 \right\},$$
(2.24a)

$$\psi = \frac{1}{2} \left\{ \frac{N^2}{\mathcal{M}} + \frac{(M_X^G)^2}{J_X} + \frac{(M_Y^G)^2}{J_Y} + \frac{(M_t^C)^2}{J_t} + \frac{T_{X'}^2}{\Gamma_{X'}} + \frac{T_{Y'}^2}{\Gamma_{Y'}} \right\}, \tag{2.24b}$$

dove  $J_x$  e  $J_y$  sono i valori principali di J e  $\Gamma_{x'}$  e  $\Gamma_{y'}$  quelli di  $\Gamma$ .

$$\diamond$$
  $\diamond$   $\diamond$ 

**Coordinate dei centri di flessione e di taglio.** Si vogliono valutare le coordinate dei centri di flessione e di taglio in funzione delle componenti della matrice di elasticità relativa al punto *O* della linea d'asse.

Al fine del calcolo delle coordinate del centro di flessione, si inseriscano le formule di trasformazione della dilatazione delle fibre longitudinali e del momento flettente nel legame costitutivo della parte assiale e flessionale, scritto con riferimento al centro  $\mathcal O$  sulla linea d'asse. Lo sviluppo del legame costitutivo fornisce:

$$N = E_z^{f} \left( \epsilon^G - k_x y_G + k_y x_G \right) + E_{zx}^{f} k_x + E_{zy}^{f} k_y, \tag{2.25}$$

che si riduce nella forma (2.19):

$$N = E_z^f \epsilon^G, \tag{2.26}$$

se e solo se si pone:

$$x_G = -\frac{E_{ZY}^f}{E_z^f}, \qquad y_G = \frac{E_{ZX}^f}{E_z^f}.$$
 (2.27)

Si noti che inoltre è possibile ricavare le componenti del tensore di rigidezza flessionale. Infatti si ha:

$$M_X^G + Ny_G = E_{XZ}^f (\epsilon^G - k_X y_G + k_Y x_G) + E_X^f k_X + E_{XY}^f k_Y$$
 (2.28)

che con le (2.26) e (2.27) diventa:

$$M_{x}^{G} = \left(E_{x}^{f} - \frac{\left(E_{zx}^{f}\right)^{2}}{E_{z}^{f}}\right) k_{x} + \left(E_{xy}^{f} - \frac{E_{zx}^{f} E_{zy}^{f}}{E_{z}^{f}}\right) k_{y}. \tag{2.29}$$

Analogamente si ottiene:

$$M_{y}^{G} = \left(E_{xy}^{f} - \frac{E_{zy}^{f} E_{zx}^{f}}{E_{z}^{f}}\right) k_{x} + \left(E_{y}^{f} - \frac{\left(E_{zy}^{f}\right)^{2}}{E_{z}^{f}}\right) k_{y}. \tag{2.30}$$

Al fine del calcolo delle coordinate del centro di taglio, conviene utilizzare il legame costitutivo inverso scritto con riferimento al centro *O* sulla linea d'asse:

$$\begin{cases}
\Theta \\
\gamma_x \\
\gamma_y
\end{cases} = \begin{bmatrix}
C_z^t & C_{zx}^t & C_{zy}^t \\
C_{xz}^t & C_x^t & C_{xy}^t \\
C_{yz}^t & C_{yx}^t & C_y^t
\end{bmatrix} \begin{bmatrix} M_t \\ T_x \\ T_y \end{bmatrix},$$
(2.31)

poichè si ottengono così degli sviluppi formalmente analoghi a quelli precedenti. Infatti, si inseriscano nella (2.31) le formule di trasformazione dello scorrimento delle fibre longitudinali e del momento torcente. Lo sviluppo della (2.31) fornisce innanzitutto l'analoga della (2.25):

$$\Theta = C_z^{\mathsf{t}} \left( M_{\mathsf{t}}^{\mathsf{C}} - T_x y_{\mathsf{C}} + T_y x_{\mathsf{C}} \right) + C_{zx}^{\mathsf{t}} T_x + C_{zy}^{\mathsf{t}} T_y, \tag{2.32}$$

che si riduce nella forma inversa della (2.21):

$$\Theta = C_z^{\dagger} M_t^{C}, \tag{2.33}$$

se e solo se si pone, analogamente alle (2.27):

$$x_C = -\frac{C_{zy}^t}{C_z^t}, \qquad y_C = \frac{C_{zx}^t}{C_z^t}.$$
 (2.34)

Si noti che inoltre è possibile ricavare le componenti del tensore di rigidezza tagliante inverso. Infatti si ha:

$$y_{x}^{C} + \Theta y_{C} = C_{xz}^{t} \left( M_{t}^{C} - T_{x} y_{C} + T_{y} x_{C} \right) + C_{x}^{t} T_{x} + C_{xy}^{t} T_{y}, \tag{2.35}$$

che con le (2.33) e (2.34) diventa:

$$\gamma_{x}^{C} = \left(C_{x}^{t} - \frac{\left(C_{zx}^{t}\right)^{2}}{C_{z}^{t}}\right) T_{x} + \left(C_{xy}^{t} - \frac{C_{zx}^{t} C_{zy}^{t}}{C_{z}^{t}}\right) T_{y}.$$
 (2.36)

Analogamente si ottiene:

$$\gamma_{y}^{C} = \left(C_{xy}^{t} - \frac{C_{zy}^{t}C_{zx}^{t}}{C_{z}^{t}}\right)T_{x} + \left(C_{y}^{t} - \frac{\left(C_{zy}^{t}\right)^{2}}{C_{z}^{t}}\right)T_{y}.$$
(2.37)

$$\Diamond$$
  $\Diamond$   $\Diamond$ 

Capitolo 3

# MODELLO DI EULERO-BERNOULLI

Si costruirà nel seguito la teoria di Eulero-Bernoulli della trave elastica inflessa, innestando una semplice assunzione costitutiva nel quadro cinematico sviluppato in precedenza. La prima versione di tale teoria è dovuta a Giacomo Bernoulli.<sup>1</sup> In seguito Eulero,<sup>2</sup> su suggerimento di Daniele Bernoulli,<sup>3</sup> risolse basandosi sulla teoria di Giacomo il problema della determinazione della *elastica*, cioè della forma che una trave elastica molto snella assume sotto diverse condizioni di carico.

Le più ampie applicazioni in sede tecnica della teoria della trave inflessa si riferiscono alla sua versione ristretta alle ipotesi di un legame costitutivo di tipo elastico lineare inserito nel quadro cinematico valido sotto l'ipotesi di piccoli spostamenti. Tuttavia, come vedremo, nello spirito della teoria delle travi inflesse risulta possibile considerare anche altri tipi di legami costitutivi, per esempio elastici non lineari oppure elastoplastici od ancora viscoelastici. D'altronde spesso non è possibile prescindere da tali tipi

più generali di legami costitutivi, per esempio se si vogliono eseguire delle verifiche agli stati limite ultimi.

La teoria della trave inflessa si presta bene ad affrontare lo studio delle travi piane, travi che non sono soggette a deformazione di tipo torsionale. In tal caso si potrebbe anche considerare, senza problemi, un quadro cinematico di riferimento non limitato ai piccoli spostamenti. Nel caso di travi spaziali, si presta invece ad affrontare lo studio della sola parte flessionale della deformazione. In tal caso l'ipotesi di piccoli spostamenti diventa indispensabile, o comunque di difficoltosa rimozione, per la necessità di separare la deformazione nella parte flessionale e in quella torsionale, agevole solo sotto l'ipotesi di piccoli spostamenti.

La versione della teoria ristretta ad un legame elastico lineare, alle piccole deformazioni ed alle travi ad asse rettilineo omogenee e a sezioni rette costanti (solido cilindrico) è in accordo con la soluzione flessionale del problema di Saint-Venant. Osserviamo subito che le due teorie si intrecciano senza che l'una sia compresa nell'altra, dato che il problema di Saint-Venant è ristretto a tali assunzioni e quindi, da questo punto di vista, meno generale della teoria della trave inflessa, e nello stesso tempo risulta più generale in quanto è in grado di descrivere anche le parti tagliante e torsionale del legame costitutivo che invece uno schema analogo a quello della trave inflessa non è in grado di descrivere in forma accettabile.

Si conclude osservando che un pregio della teoria delle travi inflesse elastiche lineari è anche quello di mostrare esplicitamente le analogie esistenti tra la deformazione di una trave elastica inflessa ed il moto di un corpo ri-

<sup>&</sup>lt;sup>1</sup>Giacomo [Jakob, Jacob, Jacques] Bernoulli (1654-1705), nato a Basilea. La versione definitiva della teoria della trave inflessa fu da lui pubblicata in "Histoire de l'Académie des Sciences de Paris," 1705.

<sup>&</sup>lt;sup>2</sup>Leonardo [Leonhard, Leonard] Eulero [Euler] (1707–1783), nato a Basilea. I suoi principali risultati sullo studio delle travi elastiche sono riportati in appendice al suo libro "Methodus inveniendi lineas curvas maximi minimive propietate gaudentes", pubblicato nel 1744, nel quale le soluzioni di svariati problemi sono ottenute sistematicamente con metodi variazionali.

<sup>&</sup>lt;sup>3</sup>Daniele [Daniel] Bernoulli (1700–1782), figlio di Giovanni [Johann] Bernoulli (1667–1748), fratello di Giacomo. Daniele propose ad Eulero il problema della determinazione della forma di una trave inflessa con una lettera del 1742.

gido. Risulta allora chiaro perché la flessione di una trave dipende, come si vedrà più avanti, da un *vettore dei momenti statici* e da un *tensore di inerzia*, analogamente al moto di un corpo rigido, da cui la necessità dello sviluppo di una "geometria delle masse" nell'ambito della teoria delle travi inflesse.

## 3.1 Legame costitutivo nell'intorno di un punto

Al fine di implementare le parti assiale e flessionale del legame costitutivo si suppone innanzitutto che le trasformazioni rigide delle sezioni rette, che come detto descrivono mediamente la cinematica della trave, diano una descrizione sufficientemente accurata delle dilatazioni puntuali delle fibre longitudinali. In secondo luogo si suppone che un elemento di fibra longitudinale si comporti come una barra sottoposta a trazione semplice (fig. 3.1). Questa ipotesi caratterizza dunque il legame costitutivo nell'in-

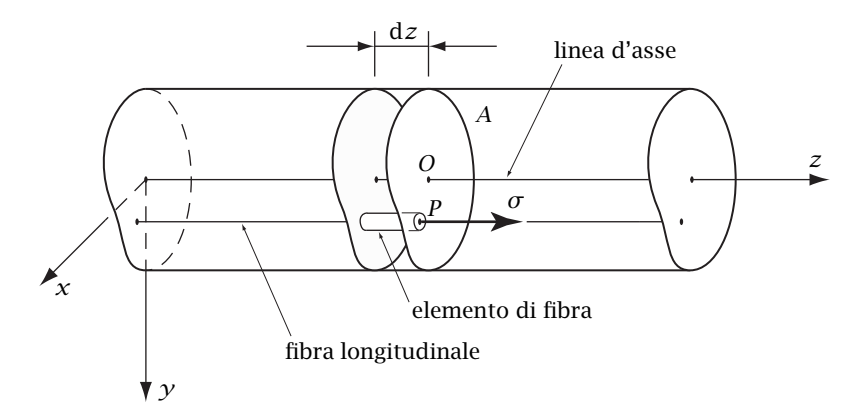


Figura 3.1: Generica fibra longitudinale

torno di un punto per il tramite di un diagramma tensione-dilatazione. La dilatazione è quella, calcolata nel dato punto, della fibra longitudinale passante dal punto stesso mentre la tensione è quella agente, in corrispondenza del punto, sulla giacitura di normale la direzione della fibra stessa. Naturalmente la dilatazione delle fibre longitudinali, così come le corrispondenti tensioni, varieranno in generale sia lungo una data fibra che su una data sezione retta.

Si ricordi che nell'ipotesi di piccoli spostamenti l'equilibrio viene scritto nella configurazione indeformata, nella quale le fibre longitudinali sono sempre ortogonali alla sezione retta. In tale ipotesi la tensione è dunque ortogonale alla sezione retta, e ne consegue che alla dilatazione  $\epsilon$  di una fibra longitudinale corrisponde una tensione normale  $\sigma$  agente sulla sezione retta in corrispondenza della sua intersezione con la fibra stessa.

Nel caso più generale possibile, la tensione normale agente in un dato punto ad un dato istante dipenderà dalla storia della corrispondente dilatazione fino a quell'istante (*legge di determinismo*). Qui ci si limiterà a considerare due legami costitutivi particolari, quello elastico, e in particolare elastico lineare, e quello elastoplastico. Nel seguito si svilupperà poi in forma completa il solo caso elastico lineare.

#### 3.1.1 Legame costitutivo elastico

Se il materiale è elastico il diagramma *tensione normale-dilatazione* è univoco e viene seguito sia durante la fase di carico che in quella di scarico (fig. 3.2a). In altri termini ad una data dilatazione viene a corrispondere una ben precisa tensione normale. Dette  $\epsilon$  la dilatazione, in un dato punto, della fibra longitudinale passante dallo stesso punto e  $\sigma$  la corrispondente tensione normale agente sulla sezione retta nello stesso punto, il più generale legame costitutivo elastico si scriverà pertanto nella forma:

$$\sigma = \sigma(\epsilon). \tag{3.1}$$

Si noti che tale legame rappresenta il comportamento del materiale di cui è composta la trave. Se la trave non è omogenea tale legame varierà da punto a punto.

Se il diagramma è lineare il legame costitutivo (3.1) diventa poi (fig. 3.2b):

$$\sigma = E\epsilon$$
, (3.2)

dove il coefficiente di proporzionalità E rappresenta il modulo di Young del dato materiale. Se la trave non è omogenea il modulo di Young può in

<sup>&</sup>lt;sup>4</sup>Nel caso di *spostamenti finiti*, ovverossia se gli spostamenti non sono piccoli, le tensioni devono considerarsi agenti nella configurazione deformata. Le tensioni sono allora ortogonali alla sezione retta deformata solo se le fibre restano perpendicolari alla sezione retta anche dopo la deformazione. Per la trave che soddisfa il vincolo interno di ortogonalità tra asse e sezioni rette questa condizione è senz'altro vera solo in assenza di deformazione di torsione, come si verifica per esempio nel caso cinematicamente piano.

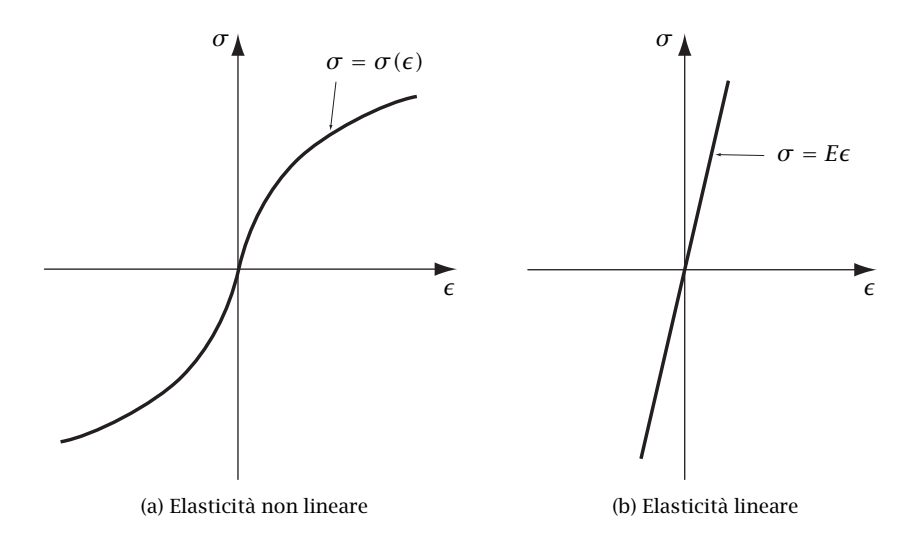


Figura 3.2: Elasticità

generale variare da punto a punto, sia lungo una data fibra che nella sezione retta. Casi tecnicamente importanti di travi non omogenee si hanno, per esempio, nel caso di travi in *cemento armato*, realizzate con una gettata di calcestruzzo di cemento all'interno della quale sono annegate delle barre di acciaio, oppure nel caso di travi *laminate*, composte da strati di diverso materiale. In tutti questi casi il modulo di Young è costante a tratti.

#### 3.1.2 Legame costitutivo elastoplastico

Se il materiale è elastoplastico il diagramma *tensione normale-dilatazione* non è più univoco poiché allo scarico, una volta superata la tensione di snervamento, viene seguito un diverso percorso elastico lineare. Il caso più semplice possibile è quello di un diagramma bilineare, elastico lineare prima e perfettamente plastico dopo lo snervamento, con uguale limite di snervamento a trazione e compressione (fig. 3.3), utilizzato per modellare sia gli acciai per cemento armato che quelli per strutture metalliche.<sup>5</sup>

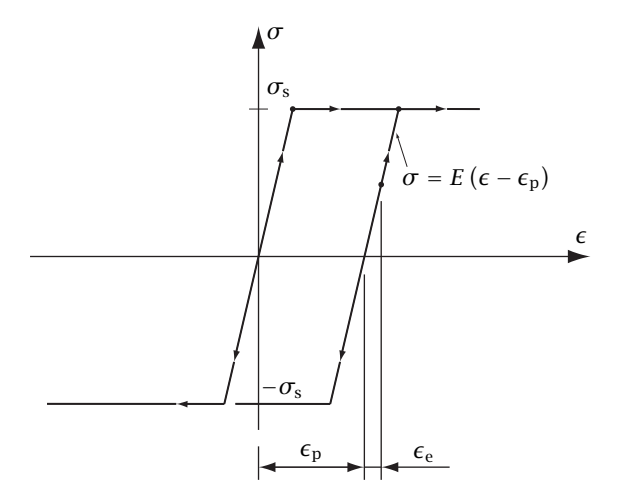


Figura 3.3: Elastoplasticità

Se in un percorso di carico viene superato il limite di snervamento la tensione normale non è più determinata univocamente dal valore attuale della dilatazione della fibra longitudinale, ma viene a dipendere dalla storia della dilatazione stessa precedente l'istante di tempo attuale. Si noti che risulta possibile scaricare una deformazione permanente sviluppatasi per il superamento del limite di snervamento per esempio a trazione, scaricando prima e ricaricando poi fino a superare il limite di snervamento a compressione.

Le dilatazioni elastica  $\epsilon_{\rm e}$ , permanente  $\epsilon_{\rm p}$  e totale  $\epsilon$  sono legate dalla relazione:

$$\epsilon = \epsilon_{\rm e} + \epsilon_{\rm p}.$$
 (3.3)

Ne consegue la validità della seguente relazione elastica lineare allo scarico:

$$\sigma = E\left(\epsilon - \epsilon_{\rm p}\right),\tag{3.4}$$

relazione che coincide con la (3.2) nel caso di provino vergine.

<sup>&</sup>lt;sup>5</sup>Al fine di eseguire verifiche agli stati limite gli eurocodici 2 e 3 permettono l'uso di diagrammi bilineari per gli acciai per cemento armato e, rispettivamente, per strutture metalliche. Il limite di snervamento in tali diagrammi è riferito allo snervamento caratteristico

 $f_{yk}$ , eventualmente modificato tramite un opportuno coefficiente moltiplicativo  $\alpha$  e opportunamente ridotto tramite un coefficiente di sicurezza  $y_s$ :  $\sigma_s = \alpha f_{yk}/y_s$ . Analogamente a qualunque valore caratteristico, lo *snervamento caratteristico* rappresenta il livello tensionale al disotto del quale ci si aspetta di trovare al più il 5% delle tensioni di snervamento relative a prove di trazione su provini del dato tipo di acciaio.

Un altro esempio di diagramma elastoplastico può essere quello riguardante il calcestruzzo compresso che, allo scopo di coglierne la forte non linearità, può essere modellato con un tratto parabolico nella parte elastica seguito da un tratto perfettamente plastico,<sup>6</sup> come indicato in fig. 3.4.

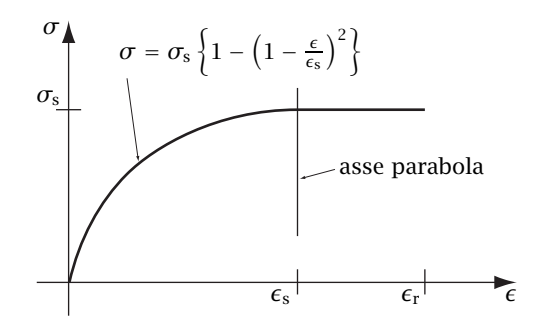


Figura 3.4: Calcestruzzo compresso

Occorre a questo punto precisare che un diagramma del tipo di quello riportato in fig. 3.3 risulta valido se sulla sezione retta non agiscono tensioni tangenziali, ovverossia se sono nulle le azioni taglianti e il momento torcente. Nel caso ciò non sia vero il diagramma è ancora valido fino al raggiungimento dello snervamento, quindi in fase elastica. Il livello tensionale che provoca lo snervamento dipende invece dalla contemporanea presenza della tensione normale e di quella tangenziale, così come il comportamento che ne consegue a seguito dello sviluppo delle deformazioni plastiche. Comunque tale dipendenza è spesso trascurabile quando si tratta di tensioni tangenziali dovute ad un'azione tagliante, almeno se il valore di questa azione è contenuto.

# 3.2 Legame costitutivo assiale-flessionale elastico lineare

Allo scopo di implementare una teoria della trave, occorre trasformare il legame costitutivo locale descritto al paragrafo precedente in un legame costitutivo tra le caratteristiche di sollecitazione e di deformazione della trave. A tal fine occorre innanzitutto inserire la relazione:<sup>7</sup>

$$\epsilon_P = \epsilon + k_X \gamma_P - k_V \chi_P, \tag{3.5}$$

che lega la dilatazione  $\epsilon_P$  della fibra longitudinale passante dal generico punto P della sezione retta in funzione della dilatazione  $\epsilon$  della linea d'asse e della curvatura k della trave (fig. 3.5) nella opportuna equazione co-

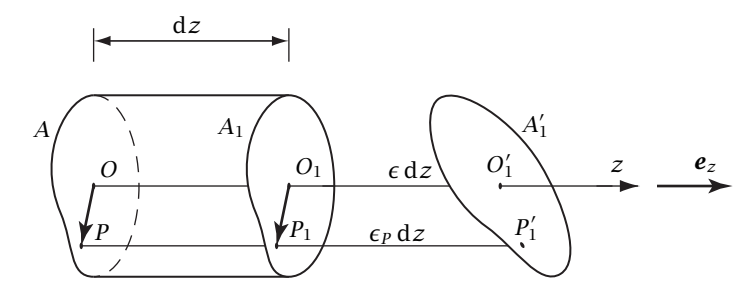


Figura 3.5: Dilatazione delle fibre longitudinali

stitutiva locale, per esempio la (3.2) nel caso della elasticità lineare. L'integrazione sulla sezione retta della tensione normale  $\sigma$  e del suo momento rispetto al polo prescelto permetterà infine di ottenere le cercate equazioni costitutive.

 $<sup>^6</sup>$ L'eurocodice 2, al fine di eseguire verifiche agli stati limite, permette l'uso per il calcestruzzo compresso di un diagramma del tipo di quello indicato in fig. 3.4. Il livello di snervamento  $\sigma_{\rm S}$  del calcestruzzo compresso, come già per l'acciaio, è riferito allo snervamento caratteristico  $f_{\rm ck}$ , eventualmente modificato tramite un opportuno coefficiente moltiplicativo α e opportunamente ridotto tramite un coefficiente di sicurezza  $\gamma_{\rm c}$ :  $\sigma_{\rm S} = \alpha f_{\rm ck}/\gamma_{\rm C}$ .

<sup>&</sup>lt;sup>7</sup>Cfr. la (1.82a), p. 31.

## 3.2.1 Legame costitutivo assiale

Integrando la teusione normale sulla serione retta si ottiene la forza normale:

$$Ne_{k} = \int_{A} \sigma e_{k} dA =$$

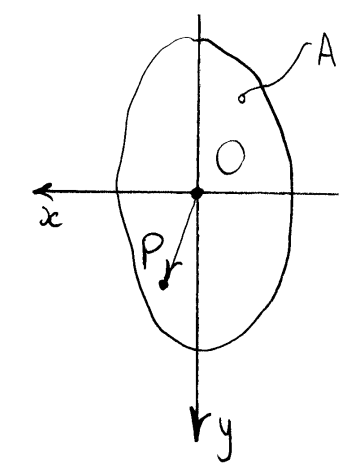
$$= \varepsilon e_{k} \int_{A} E dA + K_{f} \times \int_{A} E(P-O) dA.$$

Utilizzando il linguaggio della geometria delle masse, riferendosi al modulo di Young quale "distribuzione di massa", si pone:

$$\mathcal{M} = \int_{A} E dA$$
, (Massa totale)  
 $\underline{J}_{0} = \int_{A} E (P-O) dA$ , (Vettor dei momenti statici)

Il <u>baricentro</u> G della serioue retta e poi

definite ane quel
pente del piano
della sezione tele che
sia nullo il suo vettore
dei momenti statici:



$$\int_{A} E(P-G) dA = \underline{O}.$$

Notismo che al baricentro viene solo chiesto di appartenere al pizno della sezione e non alla sezione stessa. Questo e perfettamente coerente poiche la trasformazione rigida della sezione puo estenderci a totto il suo piano.

Se l'asse della trave ci la coincidere con l'asse dei baricentri si attiene la seguente semplice espressione per la forza normale:

$$N = \mathcal{M} \varepsilon_{c}$$

dove & rappresenta la dilatacione dell'asse baricentrio. In seguito, salvo arriso contrario, l'asse della trave coincidera sempre on l'asse dei baricentri.

Nel contesto del particolare legame costitutivo che si sta sviluppando il baricentro assume dunque il significato di centro di flessione e la massa totale quello di rigidezza assiale.

Nel caso di travi a forte curvatura, il modulo di Young va diviso per il coefficiente 1+cy. La massa totale risulta in tal caso:

$$M = \int_{A} \frac{E}{1+cy} dA.$$

## 3.2.2 Legame costitutivo flessionale

Il momento flettente di polo il baricentro cisulta:

$$\underline{\mathbf{M}}_{f} = \int_{A} (P - G) \times (\sigma \underline{e}_{\mathbf{z}}) dA =$$

$$= \left( \int_{A} E (P - G) dA \right) \times (\varepsilon_{G} \underline{e}_{\mathbf{z}})$$

$$+ \int_{A} E(P-G) \times \left\{ \underline{K}_{f} \times (P-G) \right\} dA.$$

Tenendo conto della proprietà de definisce il baricentro G e sviluppando il doppio prodotto vettoriale si ottiene poi:

$$\underline{\mathbf{M}}_{f} = \int_{A} \mathbf{E} \left\{ (P-G) \cdot (P-G) dA \right) \underline{\mathbf{I}} + (P-G) \cdot (P-G) \right\} \underline{\mathbf{K}}_{f} dA$$

Introducendo il tensore di inerzia (relativo al baricentro):

$$\underline{J} = \int_{A} E\left\{ (P-G) \cdot (P-G) dA \right) \underline{\mathbf{I}} - (P-G) \cdot (P-G) \right\} dA$$

si attieue infine:

$$\overline{M} f = \overline{J} \, \overline{K} f$$
.

Il tensore di inerzia assume quindi il ruolo di tensore di rigidezza flessionale.

Nel caso di travi a forte curvatura, il modulo di Young va diviso per il coefficiente 1+cy e risulta:

$$\underline{J} = \int_{A} \frac{E}{1+cy} \left( (P-G) \cdot (P-G) \underline{\mathbf{I}} - (P-G) \cdot (P-G) \right) dA.$$

#### 3.2.3 Travi omogenee a piccola curvatura

Se la trave e' a piccola curvatura ed amogenea wella sezione retta (E = cost) si puo' scrivere:  $\int_{C} N = EA \mathcal{E}_{G}$   $M_{C} = E \mathcal{J}^{(A)} \kappa_{C}$ 

dove ora:

$$A = \int_A dA$$
,

appresenta l'area totale della sersione e

$$\underline{J}^{(A)} = \int_{A} \left\{ (P-G) \cdot (P-G) \underline{I} - (P-G) \otimes (P-G) \right\} dA$$

dipende solo dalla forma della sezione retta e non dal materiale. Si ottiene in tal caso una geometria delle aree.

#### 3.2.4 Travi piane

Se la trave e piana, con coincidenza dei piani di flessione e di sollecitazione, risulta:

$$\begin{cases}
\underline{M}_{f} = \underline{M}_{e_{x}}, \\
\underline{K}_{f} = \underline{K}_{e_{x}},
\end{cases}$$

e quindi:

$$M \underline{e}_{x} = K \underline{J} \underline{e}_{x} \implies \underline{J} \underline{e}_{x} = \frac{M}{K} \underline{e}_{x}.$$

Quindi nel caso piano ex rappresenta un autovettore di J con autovalore J tale che:

$$J = \frac{M}{k} .$$

Risulta quindi:

$$M = J K$$
.

appure, nel casa omogeneo:

$$M = EJK$$
.

La direzione associata ad un autovettore di J viene della direzione principale di inerzia.

 $\diamond$   $\diamond$   $\diamond$ 

Legame costitutivo tagliante e torcente.

Si suppongs la validità di un legame ostitutivo, valide localmente, del tipo:

$$\underline{\zeta} = G \underline{\gamma}_{\mathbf{P}} .$$

Utilizzando la relazione tra  $\mathcal{L}_{P}$  e lo scorrimento  $\mathcal{L}$  tra linea d'asse e sezione retta:

$$\underline{1} = G \underline{Y} + G \underline{\Theta} \underline{e}_{\mathbf{z}} \times (P - O) ,$$

e quindi integrando sulla sezione retto si ottiene:

$$\underline{T} = \int_{A} \underline{\tau} dA$$

$$= \left( \int_{A} G dA \right) \underline{Y} + \underline{\Theta} \underline{e}_{\mathbf{z}} \times \int_{A} G(P-O) dA.$$

Utilizzando ancora il lingvaggio della geometria delle masse, riferendosi ora al modulo di elasticita tangenziale G quale "distribuzione di massa", si pone:

$$\mathfrak{M} = \int_{A} G \, dA$$
(Massa totale)

 $\underline{J}_{o} = \int_{A} G (P-O) dA$ 
(Vettore dei manuali statici)

Il centro di taglio C della serioue retta e' poi definito one quel punto del piano della serione tele due sia millo il suo vettore dei momenti atatici:

$$\int_{A} G(P-C) dA = \underline{0}.$$

Se il legame costitutivo viene riferito al centro di taglio si attiene la seguente semplice espressione per la forza di taglio:

$$\underline{T} = M \underline{Y} \implies \underline{X} = \frac{1}{M} \underline{T}.$$

Il momento torcente di polo il centro di taglio (isulta:

$$M_{\dagger} \underline{e}_{\xi} = \int_{A} (P - C) \times \underline{C} dA = \left( \int_{A} G(P - C) dA \right) \times \underline{Y}$$

$$+ \Theta \int_{A} G(P - C) \times \left\{ \underline{e}_{\xi} \times (P - C) \right\} dA$$

$$= \left( \Theta \int_{A} G(P - C) \cdot (P - C) dA \right) \underline{e}_{\xi}$$

$$- \Theta \int_{A} G(P - C) \cdot \underline{e}_{\xi} \left\{ (P - C) dA \right\} = \Theta \int_{C} \underline{e}_{\xi},$$

cioè:

$$\mathsf{M}_{\mathsf{k}} = \mathsf{J}_{\mathsf{C}} \Theta \qquad \Longrightarrow \qquad \Theta = \frac{\mathsf{M}_{\mathsf{k}}}{\mathsf{J}_{\mathsf{C}}} \;,$$

dove:

$$J_C = \int_A G (P-C) \cdot (P-C) dA ,$$

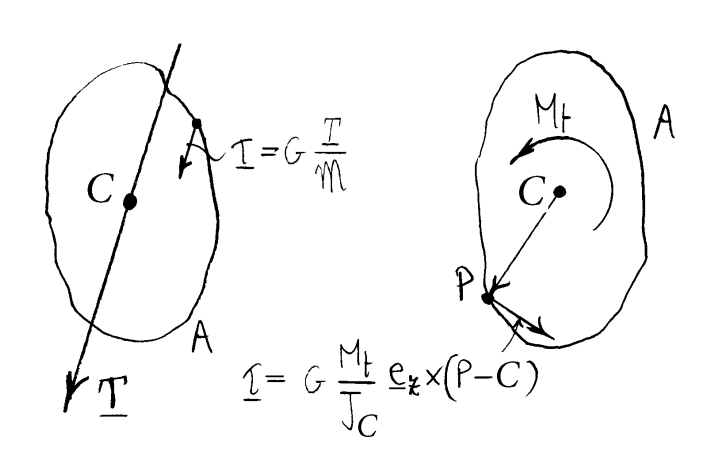
viene detto momento di inerzia polare (di polo il centro di taglio).

Quindi:

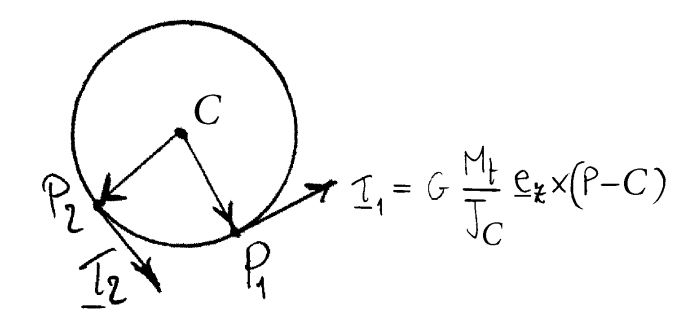
$$\underline{\zeta} = G \frac{\underline{T}}{M} + G \frac{Mt}{J_C} \underline{e}_{k} \times (P-C).$$

Si noti che in tal caso il centro di taglio coincide con il baricentro (del modulo di elasticità tangenziale), il fattore torsionale di rigidezza con il momento di inerzia polare rispetto al centro di taglio e infine il tensore di rigidezza tagliante è sferico.

La  $\underline{T}$  du si è osi ottenta soddista le condizioni al contorno solo nel caso di serione circulare non soggetta a teglio  $(\underline{T}=\underline{Q})$ . Infatti, le tensioni tengenziali associate ad un taglio  $\underline{T}$  risultano di direzione costante e quindi non possono essere tangenti ovenque al contorno. La stessa casa succede per le tensioni tangenziali associate al momento torcente, tensioni che hanno



la direzione ortogonale al vettore posizione P-C, Salvo che per la sezione circolare.



E evidente che il legame costitutivo costottembo non e accettabile,

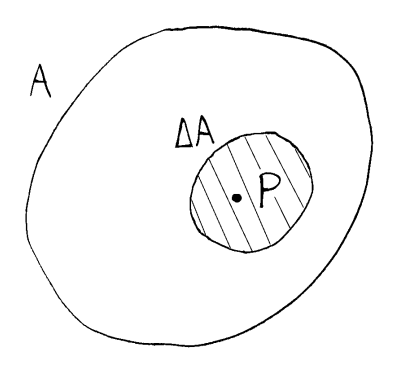
salvo nel caso della torsione di una sezione circolare.

 $\Diamond$   $\Diamond$   $\Diamond$ 

## 3.3 Geometria delle masse

## 3.3.1 Masse distribuite su un'area piana

Sia data un'area piaua A. Una <u>massa</u> m distribuita nell'area e' una funzione di "insieme"



che ad ogni parte  $\Delta A$  di A associa uno scalare  $m(\Delta A)$ . La <u>massa per unità di superficie</u>:

$$\mu(P) = \lim_{\Delta A \to P} \frac{m(\Delta A)}{\Delta A}$$
,

appresenta una funcione del punto. La massa

71

associata all'area DA et recuperabile tramite ma integrazione:

$$m(\Delta A) = \int_{\Delta A} \mu dA$$
.

le studio del legame costitutivo delle trani inflesse si ingvadra in questo contesto "astratto" tradizionale, gualora il modulo di Young E delle fibre longitudiuali della trave, definito quindi in tetti i punti di una sezione retta, sia interpretata quale massa per unità di superficie. Le dimensioni di E sono quelle di ma forza per milà di superficie: E = FL-2. Quindi la massa associata ad un'area ha le dimensioni di una forza.

In consequeurs dells derivation del legame ostitutiva delle trans inflesse da una trasformazione rigida

della sezione retta, permane una struttura formale analogo a quella alla base della descrizione del moto rigido. Tettàvia occorre tenere presente che i significati fisici in gioco sono del tetto diversi e che in consequenza di ciò gli sviluppi nei due così possono notevolumente divergere.

La massa totale rappresenta la massa associala all'intera area:

$$\mathbb{M} = m(A) = \int_{A} \mu dA .$$

#### 3.3.2 Vettore dei momenti statici

Si definisce <u>vettore</u> <u>dei nomenti statici</u> rispetto ad un generico punto O del piano il vettore:

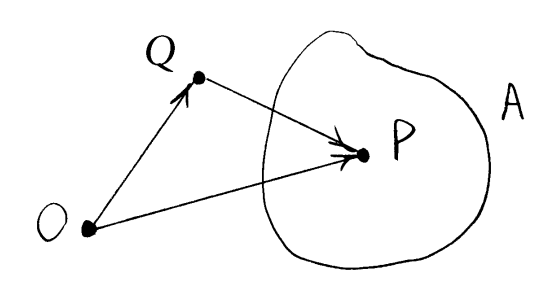
$$\underline{s} = \int_{A} \mu(P-O) dA$$
.

Si e' così costruito un sompo rettoriale definito nel piono della sezione. Se O e Q sono due pruti del piono, della identità rettoriale:

$$P-Q = (P-O) - (Q-O),$$

si trae la relazione:

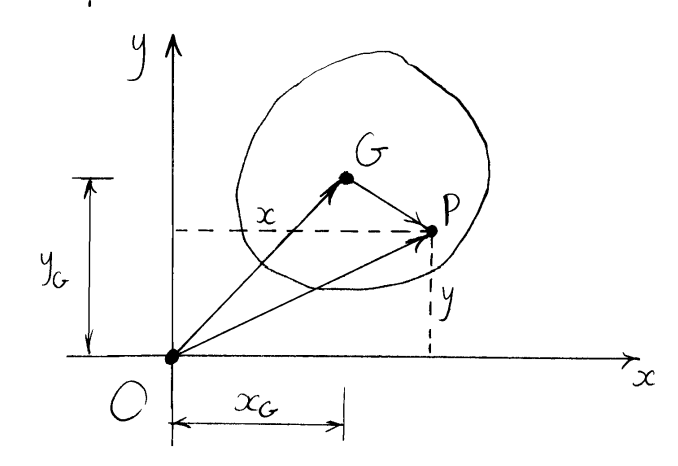
$$\underline{s}(Q) = \underline{s}(0) - \mathbb{N}(Q-0),$$



che descrive il campo vettoriale noto il suo valore in un puto O. Se  $M \neq O$  (come nel caso di un sistema di masse titte positive) il vettore dei momenti statici si annulla in uno e un sol punto del piano G, detto baricentro del sistema di masse. Posto Q = G, della condizione S(G) = O si trae:

$$G - O = \frac{1}{M} \leq (O) .$$

In componenti in un sistema cortesiano



ortogouale Oxy risulta:

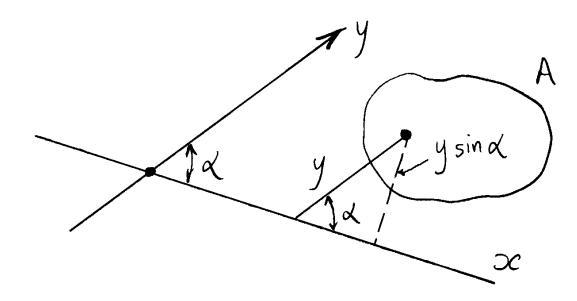
$$\left\{ \begin{array}{c} P - O \end{array} \right\} \equiv \left\{ \begin{array}{c} x \\ y \end{array} \right\} , \quad \left\{ G - O \right\} \equiv \left\{ \begin{array}{c} x_G \\ y_G \end{array} \right\}.$$

Se ne deduce

$$\left\{ \leq (0) \right\} = \left\{ \int_{A} \mu x dA \right\}.$$

#### Momenti statici

Data una retta on non orientata nel piono delle masse ed una associata retta orientata y, non



parallels à ze, si définisce nomento statico del sistems di masse rispetto all'asse ze la somma delle singole masse noltiplicate agnuna per la distanza con segno da x, valutata vella clirezione di y:

$$S_{\infty} = \int_{A} \mu y \, dA$$
.

Si dice che la retta y orienta esternamente la retta x, e, in contra prosizione, che la retta y e' orientata internamente. Se con  $S_x$  indichiamo il momento statico ottenuto valutando le distanze nella direzione ortogonale ad x, sempre con l'orientazione esterna indotta da y, si ottiene:

$$\overline{S}_{x} = \int_{A} \mu y \sin dA = S_{x} \sin d$$
.

Iu un sistema cartesiano ortogonale Oxy, gli assi cartesiani si orientano esternamente vicendevoluente e i relativi mamenti statici risultano:

$$\begin{cases} S_x = \int_A \mu y dA \\ S_y = \int_A \mu x dA \end{cases}$$

da cui l'interpretazione delle companenti del vettore dei momenti statici:

$$\left\{\underline{s}\right\} \equiv \left\{\begin{array}{c} S_y \\ S_x \end{array}\right\} \quad .$$

Le coordinate del baricentro risultano dunque:

$$\begin{cases} x_G = \frac{S_g}{M} \\ y_G = \frac{S_x}{M} \end{cases}$$

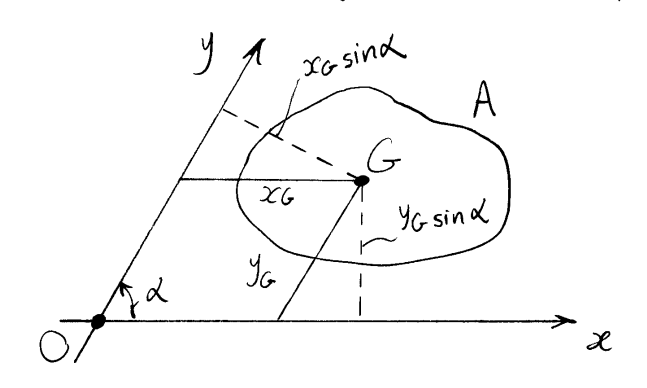
Queste relazioni restano valide anche in un sistema di riferimento obliquo. Infatti in tal caso risulta:

$$y_{G}\sin \lambda = \frac{\overline{S}_{x}}{M} = \frac{S_{x}\sin \lambda}{M}$$

e auslognmente:

$$x_c \sin \lambda = \frac{\overline{S}_y}{M} = \frac{Sy \sin \lambda}{M}$$
,

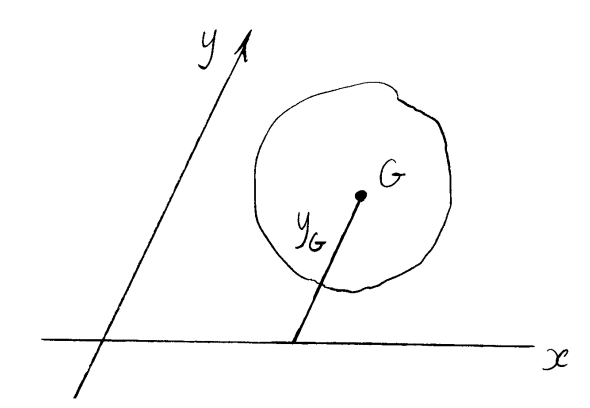
dove, auora,  $\overline{S}_{x}$  e  $\overline{S}_{y}$  sono i moment i statici valutat: ou distanze ortogonali a x e y rispettivamente.



## Proprietà del baricentro

Ricavando i nomenti statici rispetto agli
assi in fuzione delle coordinate del baricentro
si ottiene il teorema di Varignon, che afferma:

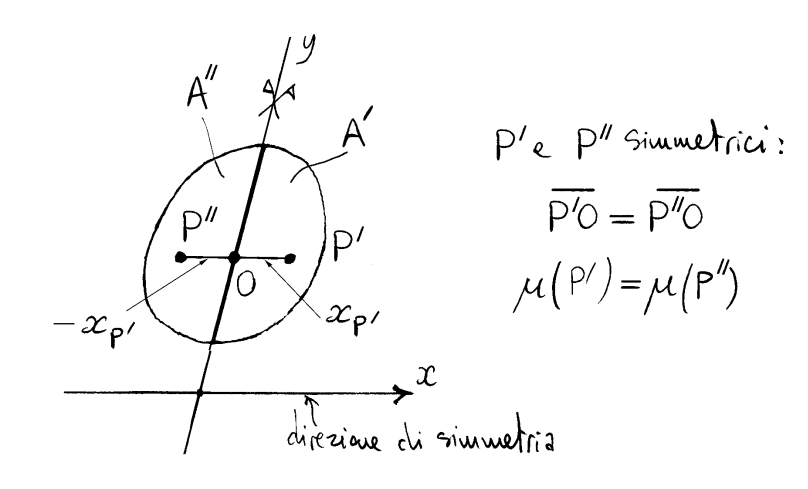
Noto il baricentro, e quindi nota la sua distanza
da una qualunque retta del piano, per es. la



cettà x, il manento statico rispetto a tale cettà, orientata esternamente da ma retta y, si attiene moltiplicando la massa totale per la distanza dotata del segno indotto da y:

$$S_{x} = M y_{G}$$
.

E' evidente da tale risultato che il memento statico si annulla in orrispondenza e solo in orrispondenza delle rette baricentriche, e questo indipendentemente dalla direzione rispetto alla quale sono valutate le distanze. possiede un asse di simmetria (anche obliqua)
allora tale asse contiene il baricentro. Infatti,
sia y un asse di simmetria dell'area piana A
e sia x un asse avente la direzione di simmetria.



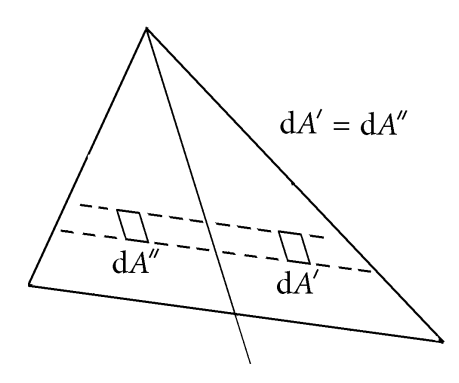
L'asse y divide l'area in due parti A' e A" tali che:

$$\int_{A'} \mu x dA = -\int_{A''} \mu x dA,$$

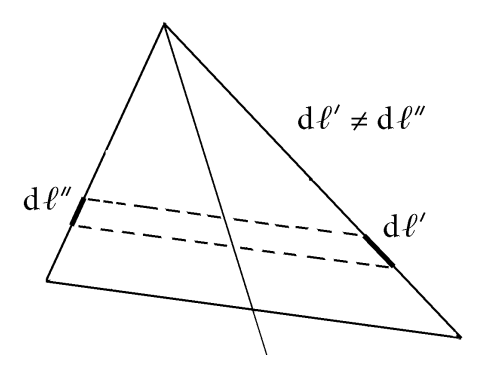
poiché ad ogni punto P' in A' avente distanza con segno xp' da y e massa m', corrisponde il punto simmetri= co P" in A" avente stessa massa e distanza con segno opposto. Risulta quindi:

$$S_y = \int_{\mathbf{A}'} \mu \, x \, d\mathbf{A} + \int_{\mathbf{A}''} \mu \, x \, d\mathbf{A} = 0.$$

Se la sezione non è omogenea occorre che in posizione simmetrica ci sia la stessa massa elementare, ovverossia in posizione simmetrica devono essere uguali il prodotto della distribuzione di massa per la misura dell'elemento geometrico. Se la sezione è omogenea occorre che in posizione simmetrica ci siano elementi geometrici di uguale misura. In quest'ultimo caso è quello che succede in un generico triangolo rispetto ad una mediana. Ma se si considera una sezione sottile di linea media triangolare, con lo

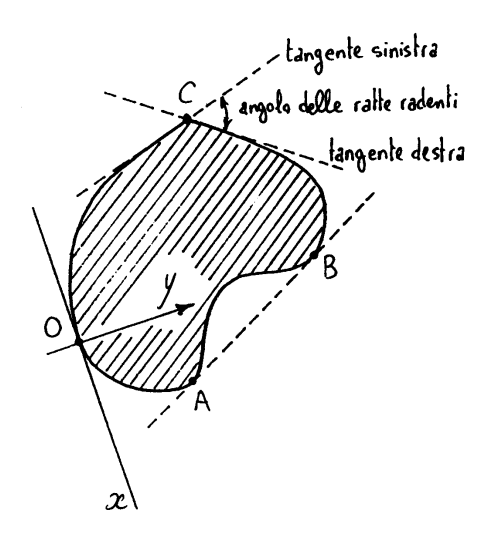


spessore concentrato sulla linea media, gli elementi di linea media in posizione simmetrica rispetto ad una mediana non hanno in generale la stessa misura. Se allora lo spessore è costante la sezione sottile non è in generale simmetrica rispetto ad una mediana. Questo è in accordo col fatto che se la sezione sottile omogenea la si considera come area, per avere simmetria rispetto alla mediana occorre che gli spessori siano uguali in posizione simmetrica ma valutati nella direzione della simmetria. Questo comporta che in generale, se c'è simmetria, gli spessori ortogonali alla linea media in posizione simmetrica non sono uguali tra loro.



Vale infine la proprietà: se le masse sono tutte positive e non allineate allora il baricentro è interno all'inviluppo delle rette radenti, ovverossia di quelle rette che toccano la figura senza tagliarla.

*Dimostrazione.* Infatti data una qualunque retta radente x orientata esternamente da una retta y entrante nel semipiano contenente le masse risulta  $S_x > 0$  e dunque  $y_G = \frac{S_x}{M} > 0$ . Quindi il baricentro si trova, rispetto all'asse

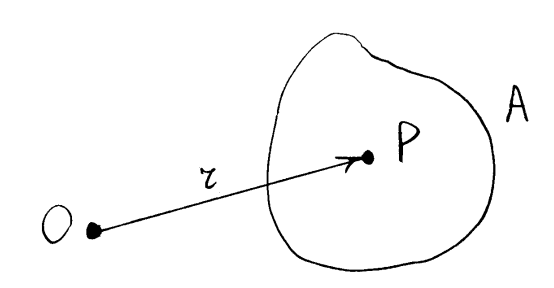


x, dalla parte delle masse. Poiché questo deve valere per ogni retta radente, il baricentro è interno al loro inviluppo, come volevasi dimostrare.

## 3.3.3 Tensore di inerzia

Si definisce <u>tensore</u> di inercia, relativo ad un gene = rico punto O del piano, il seguente tensore doppio:

$$\underline{J} = \int_{A} u \left\{ (P-O) \cdot (P-O) \underline{I} - (P-O) \cdot (P-O) \right\} dA .$$



Si definiscono poi, relativamente allo stesso punto O del piano, il tensore di Eulero:

$$\underline{\mathcal{I}} = \int_{\mathbf{A}} \mu(P-0) \otimes (P-0) d\mathbf{A} ,$$

e il maneuto di inerzia polare:

$$J_o = \int_A \mu (P-O) \cdot (P-O) dA = \int_A \mu \chi^2 dA ,$$

dove r e' la distanza del generico purto dal polo O. Con queste convenzioni il tensore di inerzia risulta:

$$\underline{J} = J_0 \underline{I} - \underline{J} .$$

In componenti, in un sistema cartesiano ortagonale Oxy, risulta:

$$\left\{ \begin{array}{c} P-O \end{array} \right\} = \left\{ \begin{array}{c} x \\ y \end{array} \right\} ,$$

$$[(P-O)\otimes(P-O)] = \begin{cases} x \\ y \end{cases} [x \ y] = \begin{bmatrix} x^2 & xy \\ xy & y^2 \end{bmatrix},$$

$$(P-O) \cdot (P-O) = \begin{bmatrix} x & y \end{bmatrix} \begin{Bmatrix} x \\ y \end{Bmatrix} = x^2 + y^2,$$

$$[(P-O)\cdot(P-O)\underline{I}] = \begin{bmatrix} x^2+y^2 & 0 \\ 0 & x^2+y^2 \end{bmatrix}.$$

Si officue quindi:

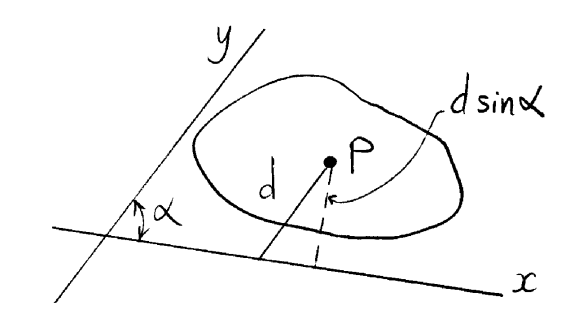
$$\begin{bmatrix} J \end{bmatrix} = \begin{bmatrix} \int \mu y^2 dA & -\int_A \mu xy dA \\ -\int_A \mu xy dA & \int_A \mu x^2 dA \end{bmatrix},$$

$$\begin{bmatrix} \mathcal{L} \end{bmatrix} = \begin{bmatrix} \int_A \mu x^2 dA & \int_A \mu xy dA \\ \int_A \mu xy dA & \int_A \mu y^2 dA \end{bmatrix},$$

$$J_0 = \int_A \mu (x^2 + y^2) dA.$$

## Momenti di inerzia

Data una retta non orientata x nel piano delle masse ed una direzione y non parallela ad x si definisce momento di inerzia del sistema di masse rispetto all'asse x la somma delle singole masse moltiplicate agnuna per il quadrato della

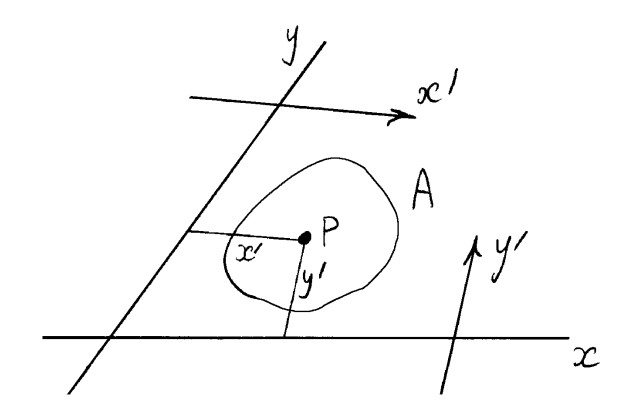


distanza dall'asse x valutata vella direzione y:  $J_x = \int_A \mu d^2 dA$ 

Se ca Jz si indica il momento di inerzia che si ottiene valutando le distanze nella direzione ortogonale ad x si ottiene poi:

$$\overline{J}_{x} = \int_{A} \mu \left( d \sin \lambda \right)^{2} dA = J_{x} \sin^{2} \lambda .$$

Avalogamente, dati due assi x e y orientati esternamente dalle rette orientate y' e x' rispettivamente, si definisce mamento centritugo del sistema di masse rispetto agli assi x e y la



sources delle singule masse nottiplicate agnuns per le distanze degli assi x e y valutate, in segno, nella direzione di y'e x' rispettivamente:

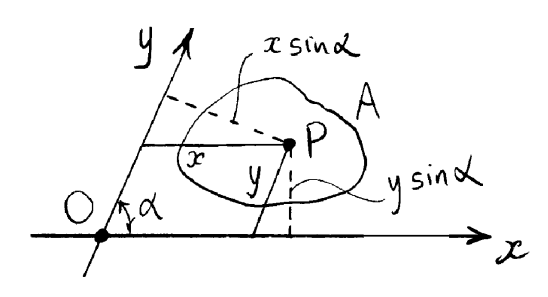
$$J_{xy} = \int_{A} \mu \, x'y' \, dA \quad .$$

Data un sistema cartesiano Oxy, in generale obliquo, ciascono degli assi orienta esternamente l'altro. Valutando il momento centrifugo legato a tali orientazioni si attiene:

$$J_{xy} = \int_{A} \mu xy dA$$

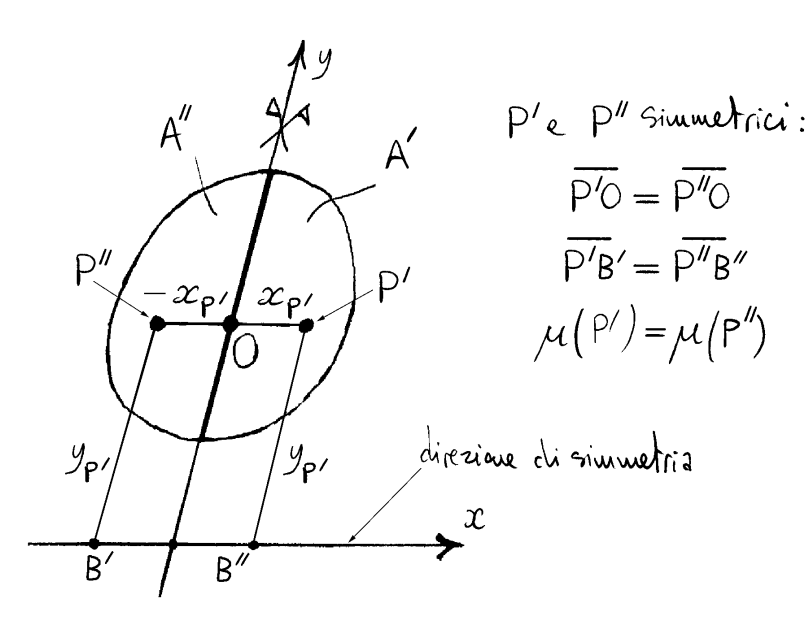
Valutando poi il momento centrifigo J<sub>xy</sub> legato alle direzioni ortogonali agli assi x e y, con le orienta= zioni indette da bali assi, si ha:

 $\overline{J}_{xy} = \int_{A} M(x \sin \alpha)(y \sin \alpha) dA = J_{xy} \sin^2 \alpha$ .



Se la sezione possiede un asse di simmetria anche obliqua, il momento centrifigo rispetto all'asse di simmetria e ad un qualunque asse avente la direzione della simmetria e nullo.

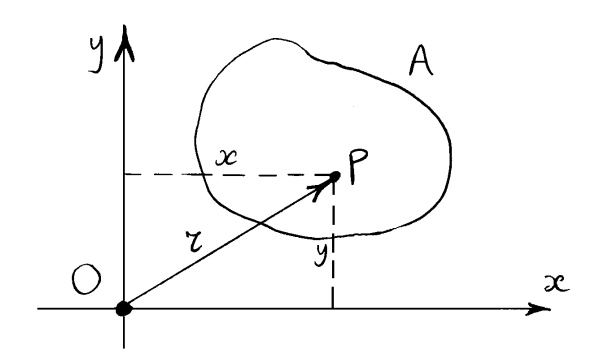
Infatti sia y un asse di simmetria dell'area piana A e sia x un asse avente la direzione di simmetria e si considerino le due aree A' e A" in cui l'area A e' divisa dall'asse y. Poiche' ad aqui punto P'di A'



corrisponde il punto simmetrico P'avente stessa massa, uguale distanza con segno dall'asse x e distanza con segno opposta dall'asse y risulta:

$$\int_{A''} \mu xy dA = -\int_{A'} \mu xy dA,$$

da cui segue immediatamente che  $J_{zy}=0$ . Cio prevesso, le appresentazioni dei tensori di inerzia J e di Eulero J e del momento di inerzia



polare Jo in un sistema di riferimento cartesiano ortogonale Oxy diventano:

$$\left[\begin{array}{c} \overline{J} \end{array}\right] \equiv \left[\begin{array}{cc} J_{x} & -J_{xy} \\ -J_{xy} & J_{y} \end{array}\right],$$

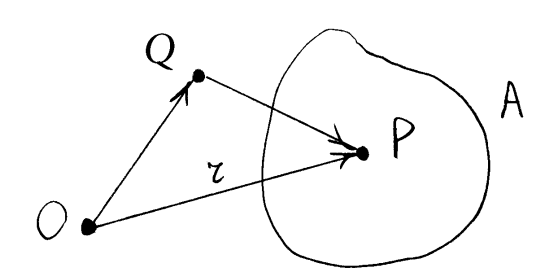
$$\begin{bmatrix} \mathcal{J} \\ - \mathcal{J} \end{bmatrix} \equiv \begin{bmatrix} J_y & J_{xy} \\ J_{xy} & J_x \end{bmatrix},$$

$$J_o = J_x + J_y ,$$

dove i nomenti di inerzia Ix e Jy e il nomento centrituzo Jzy sono relativi agli assi coordinati.

## Formule di trasposizione o del trasporto (Teorema di Huyghens-Steiner)

Il tensore di inerzia J e il tensore di Eulero <u>J</u> costituiscone due compi tensoriali definiti in tutti i punti del pisuo delle masse.



Se O e Q sono due pruti del piano, dalla identità vettoriale.

$$P - O = (P - Q) + (Q - O),$$

risulta:

$$(P-O) \otimes (P-O) = (P-Q) \otimes (P-Q) + (Q-O) \otimes (Q-O) +$$

$$+ (P-Q) \otimes (Q-O) + (Q-O) \otimes (P-Q),$$

Ne consegue:

$$\underline{\mathcal{I}}(O) = \underline{\mathcal{I}}(Q) + \mathcal{M}(Q-O)\otimes(Q-O) +$$

$$+ \underline{\mathcal{I}}(Q)\otimes(Q-O) + (Q-O)\otimes\underline{\mathcal{I}}(Q).$$

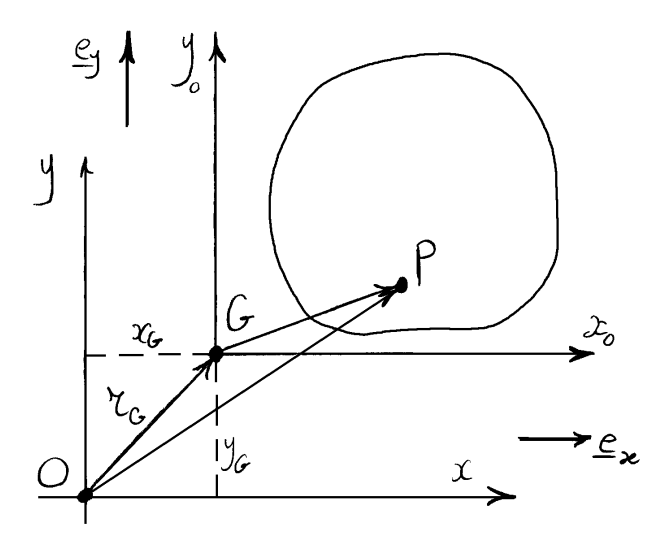
In particulare, se si la coincidere il punto Q con il bariceutro G, si ottiene:

$$\underline{\underline{\mathcal{I}}}(0) = \underline{\mathcal{I}}(G) + \mathcal{M}(G-O) \otimes (G-O),$$

poiche  $\underline{s}(G) = \underline{Q}$ .

Noti i momenti d'inerzia  $J_{\infty}$ ,  $J_{y_0}$  e il momento centrifugo  $J_{\infty}y_0$  relativi ad una coppia  $G_{\infty}y_0$  di assi baricentrici, componenti del tensore di Eulero  $\underline{J}(G)$ , e' quindi possibile determinare i momenti  $J_{\infty}$ ,  $J_{y}$  e  $J_{\infty}y$  relativamente ad una coppia di assi  $O_{\infty}y$  paralleli ai precedenti, componenti del tensore di Eulero  $\underline{J}(O)$ . A tal fine basta mettere in componenti la relazione: precedente, tenendo conto che:

$$\left\{ \left(G-O\right)\right\} = \left\{\begin{array}{c} \chi_{G} \\ y_{G} \end{array}\right\},$$



$$\left[ (G-O) \otimes (G-O) \right] = \begin{bmatrix} x_G^2 & x_G y_G \\ & x_G & y_G \end{bmatrix},$$

dove za e ya sono le coordinate del baricentro nel sistema non baricentrico Ozy, risulta:

$$\begin{bmatrix} J_{y} & J_{xy} \\ J_{xy} & J_{x} \end{bmatrix} = \begin{bmatrix} J_{y_o} & J_{x_0y_o} \\ J_{x_0y_o} & J_{x_o} \end{bmatrix} + M \begin{bmatrix} x_0^2 & x_0 y_o \\ x_0 y_o & y_o^2 \end{bmatrix}.$$

Si attengano così le formule di trasposizione per i momenti di inerzia e centrifugo:

$$\int_{x} = \int_{x_{o}} + M y_{o}^{2}$$

$$\int_{y} = \int_{y_{o}} + M x_{o}^{2}$$

$$\int_{xy} = \int_{x_{o}y_{o}} + M x_{o}y_{o}$$

Da queste formule e evidente che in un fascio di rette parallele il minimo momento di inerzia si ha rispetto all'asse baricentrico, almeno nel caso di sistemi di masse positive.

Sommando le due formule di trasposizione relative ai momenti di inerzia si ottiene la formula di trasposi= zione per il momento polare:

$$J_o = J_G + M \chi_c^2,$$

dove  $\zeta_c^2 = \chi_c^2 + y_c^2$  e' il quadrata della distanza del punto O dal baricentro e dove si e' tenuto conto che

$$J_o = J_x + J_y \quad e \quad J_G = J_{xo} + J_{yo} .$$

#### Direzioni e momenti principali di inerzia

Le direzioni principali  $\xi$  e  $\eta$  del tensore di inerzia sono dette *direzioni* principali di inerzia, il sistema principale  $O\xi\eta$  è detto sistema principale di inerzia, mentre i valori principali di inerzia coincidono con i momenti di inerzia rispetto agli assi principali  $J_{\xi}$  e  $J_{\eta}$ , che per tale motivo vengono detti momenti principali di inerzia. Nel sistema principale di inerzia la rappresentazione del momento di inerzia polare  $J_{O}$  e dei tensori di inerzia J e di Eulero  $\mathfrak I$  risultano:

$$J_{O} = J_{\xi} + J_{\eta}, \qquad [\mathbf{J}] = \begin{bmatrix} J_{\xi} & 0 \\ 0 & J_{\eta} \end{bmatrix}, \qquad [\mathfrak{I}] = \begin{bmatrix} J_{\eta} & 0 \\ 0 & J_{\xi} \end{bmatrix}$$
 (3.6)

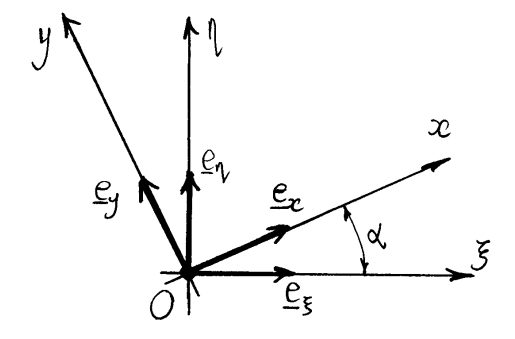
Si noti che nel caso di un sistema di masse positive i momenti principali  $J_{\xi}$  e  $J_{\eta}$  sono entrambi positivi e il determinante del tensore di inerzia  $\boldsymbol{J}$  è quindi positivo:

$$\det \mathbf{J} = J_{\xi}J_{\eta} > 0.$$

Ne consegue che in tal caso il tensore di inerzia J è simmetrico e definito positivo, in accordo con l'analoga richiesta per la matrice di elasticità.

#### Formule di rotazione

Siono Ožn e Oxy rispettivamente il sistema principale e un generico sistema di riferimento, entrambi di centro O.



Noti i momenti principali  $J_{\xi}$  e  $J_{\eta}$  e l angolo  $\alpha$  che l asse  $\infty$  forma con l asse  $\xi$ , positivo se antiorario, le <u>formule di rotazione</u> forniscono in tal caso i momenti di inerzia  $J_{x}$  e  $J_{y}$  e il momento centri figo  $J_{xy}$  in funzione dell'angolo  $\alpha$ :

$$\int_{\mathcal{Z}} J_{z} = \int_{z} \cos^{2} x + \int_{\eta} \sin^{2} x$$

$$\int_{y} J_{z} = \int_{z} \sin^{2} x + \int_{\eta} \cos^{2} x$$

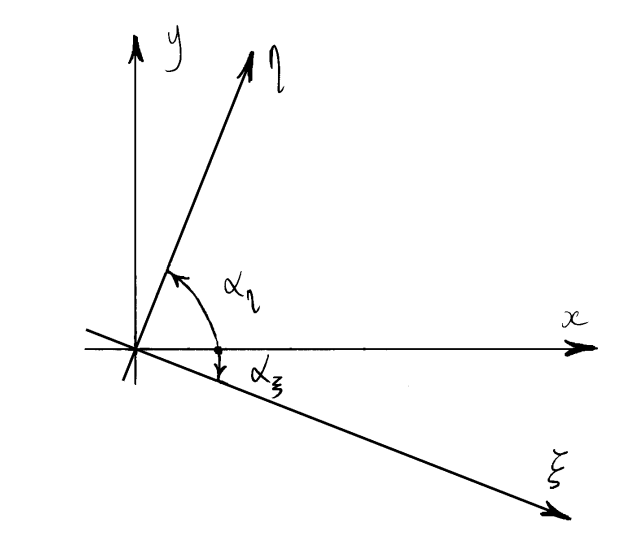
$$\int_{zy} J_{z} = (J_{z} - J_{\eta}) \sin x \cos x$$

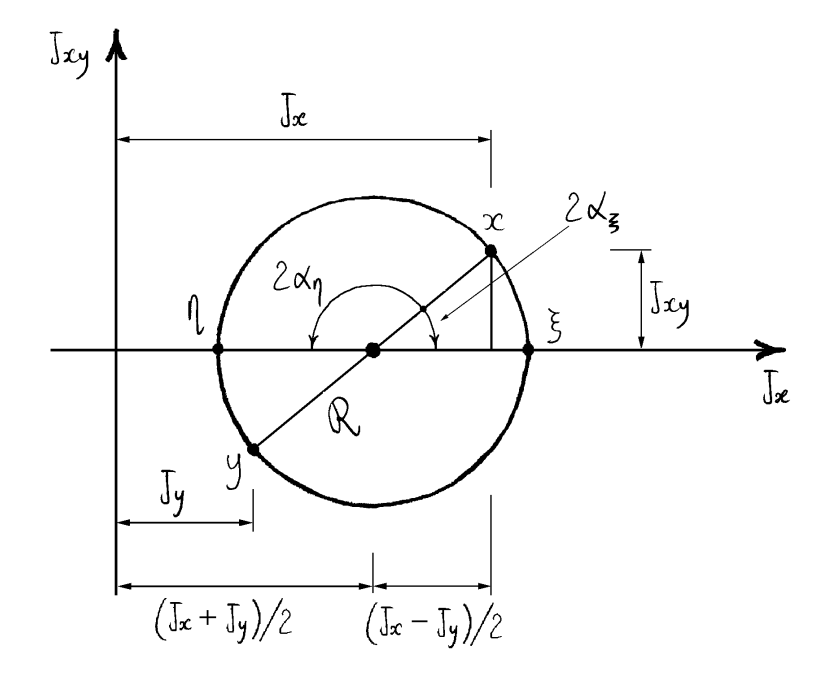
#### Circonferenza di Mohr

Per costruire la circonferenza a partire dai momenti di inerzia Jx e Jy e dal mamanto contrifugo Jxy relativi ad un generico sistema Ozy occorre considerare che il punto x e' individuato dalla coppia (Jx, Jxy) mentre il punto y dalla coppia (Jy, - Jzy). Unendo i due punti si ottiene un diametro, la sua inter= serione con l'asse delle ascisse determina il centro e in= fine l'intersezione della circonferenza con l'asse delle ascisse individua i punti & e 1/ corrispondenti degli assi principali. Tenendo poi carto che le rotazioni nel piano delle masse sous concordi in segno e pari alla meta di quelle nel piano di Mohr, e' possibile individuare le direzioni principali z e 1 a partire dagli assi x e y. Dalla circonferenza si ottiene inoltre che:

$$R = \sqrt{\left(\frac{J_{x} - J_{y}}{2}\right)^{2} + J_{xy}^{2}}$$

$$C = \frac{J_{x} + J_{y}}{2}$$





e si riottengono i momenti principali di inerzia:

Sempre dalla circonferenza si offiene infine che:

$$\tan 2\alpha_0 = -\frac{2Jxy}{J_x - J_y} ,$$

dove  $\alpha_0$  indica uno qualsiasi dei due angoli che indi= viduano le direzioni principali di inerzia.

Si noti che la circonferenza di Mohr associata ad un tensore di inerzia è sempre situata dalla parte positiva dell'asse dei momenti di inerzia, essendo questi sempre positivi.

## Raggi di inerzia

Un momenta di inerzia  $J_x$ , valutato rispetto ad un generico asse x, ha le dimensioni di una massa per una lunghezza al quadrato. Se lo si divide per la massa totale e si estase la radice quadrata si ottiene una quantità omogenea ad una lunghezza che prende il

nome di raggio di inercia (relativo all'asse x):  $\int_{x} = \sqrt{\frac{J_{x}}{m}}.$ 

Il significato fisico di raggio di inerzia la è quello di distanza dall'asse x a cui occorre concentrare la massa totale M per ottenere lo stesso momento di inerzia rispetto all'asse x.

Dividendo le due formule di trasposizione e le due formule di rotazione relative ai momenti di inerzia per la massa totale  $\mathbb{N}$  si ottengono le analoghe formule di trasposizione:

$$\begin{cases}
\int_{x}^{2} = \int_{x_{o}}^{2} + y_{o}^{2} \\
\int_{y}^{2} = \int_{y_{o}}^{2} + x_{o}^{2}
\end{cases}$$

e di rotazione:

$$\int_{x}^{2} f_{x}^{2} = \int_{\xi}^{2} \cos^{2} x + \int_{\eta}^{2} \sin^{2} x$$

$$\int_{y}^{2} f_{y}^{2} = \int_{\xi}^{2} \sin^{2} x + \int_{\eta}^{2} \cos^{2} x$$

per i raggi di inerzia.

#### Ellisse centrale di inerzia (o ellisse di Culmann)

L'ellisse centrale di inerzia o ellisse di Culmann è la curva di equazione:

$$\mathbb{M}(P-G)\cdot \underline{\mathcal{I}}^{-1}(P-G)=1,$$

dore <u>M</u><sup>-1</sup> e l'inverso del tensore di Eulero relativo al baricentro.

Infatti, in componenti nel sistema principale Gxy risulta:

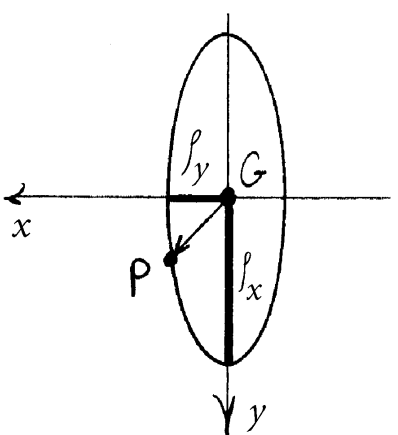
$$\begin{bmatrix} \mathcal{I}^{-1} \end{bmatrix} = \begin{bmatrix} 1/J_y & O \\ O & 1/J_x \end{bmatrix}, \quad \{P-G\} = \begin{cases} x \\ y \end{cases},$$

e l'equazione diviene:

Poiche  $M/J_y = 1/f_y^2$  e  $M/J_x = 1/f_x^2$  si attiene infine:

$$\frac{x^2}{f_y^2} + \frac{y^2}{f_x^2} = 1 \quad .$$

Tale relazione rappresenta l'egrazione di m'ellisse, che la giali semidiametri  $f_y$  lingo l'asse x e  $f_x$  lingo l'asse y.

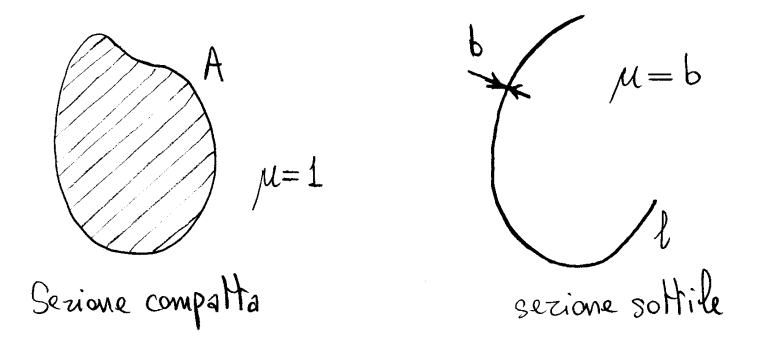


Occorre prestare attenzione al fatto che il raggio di inerzia  $\rho_x$  rispetto all'asse x è calcolato con le distanze valutate nella direzione dell'asse y. Coerentemente con tale circostanza  $\rho_x$  coincide con il semidiametro lungo l'asse y. Un'analoga considerazione vale per il raggio di inerzia  $\rho_y$  rispetto all'asse y.

# 3.4 Sezioni omogenee

Nel seguito si considerano delle sezioni omogenee. Questo significa che i calcoli vengono fatti a meno del modulo di Young, che nel nostro caso rappresenta la distribuzione di massa. In definitiva si considera una "geometria delle aree", in cui la "massa" e' costituità dalla stessa area e la distribuzione di massa e' adimensionale e vale 1. Ne risulta che i momenti statici hanno dimensione L<sup>3</sup> e i momenti di inerzia, centrifighi e polari L<sup>4</sup>.

Nel caso delle sezioni sottili la lunghezza della gene= rica corda si concentra, approssimativamente, sulla



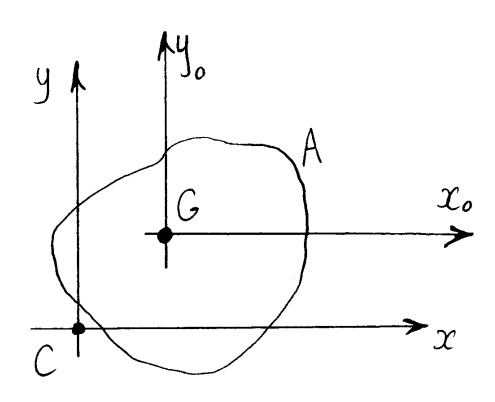
linea media. Ne risulta che tale caso viene studiato come quello di una massa distribuita su di una linea piana l con distribuzione di massa pari alle spessore b. Quindi la distribuzione di massa, in talcaso su una linea, ha la dimensione di una lunghezza.

Scopo della studio di una sezione e' innanzititto quello della determinazione del baricentro, del sistema principale di inerzia baricentrico e del calcolo dei momenti principali di inerzia baricentrici.

La conoscenza del baricentro e della massa totale permette di determinare il momento statico rispet= to ad un qualunque asse, grazie al teorenia di Varignon. La conoscenza del sistema e dei momenti principali di inerzia permette di determinare i momenti di inerzia e centrifughi di oppie di assi ortogonali generici, grazie alle formule di rotazione e del trasporto.

Nell'applicare le formule del trasporto si tenga conto che il momento di inerzia diminuisce se da assi non baricentrici si passa ad assi baricentrici mentre aumenta nel caso contrario. Si tenga poi conto che e indifferente riferirsi alle coordinate del baricentro  $(x_0, y_0)$  nel sistema Cxy non baricentrico oppure alle coordinate  $(x_0, y_0)$  del punto C nel sistema baricentrico  $Gx_0y_0$ , poiche tali coordinate sono v-gudi in module e opposte in segno e conducono pertan= to agli stessi risultati:

$$x_G^2 = x_C^2$$
,  $y_G^2 = y_C^2$ ,  $x_G y_G = x_C y_C$ .



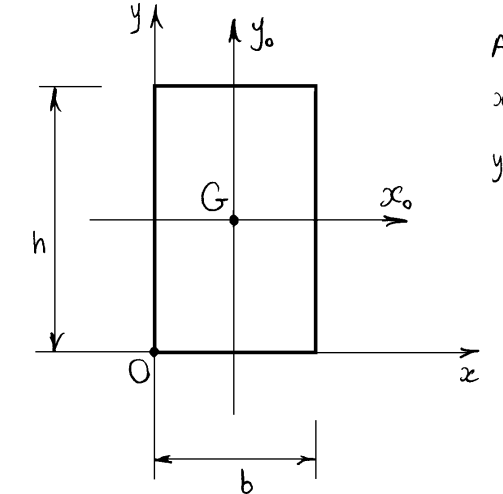
# 3.4.1 Sezioni tipiche

## Rettangolo

Un rettangolo ha due assi di simmetria. Il ba= ricentro coincide con la loro intersezione e i due assi sono principali di inerzia. Se  $\infty$  e y, rappresentano gli assi principali di inerzia si ha quindi:

$$J_{x_0y_0} = 0 .$$

Si calcoli innanzitutto il momento di inerzia rispet=



$$A = bh$$

$$x_{c} = \frac{b}{2}$$

$$y_{c} = \frac{h}{2}$$

$$J_{x_{0}} = \frac{b^{3}h}{12}$$

$$J_{x} = \frac{b^{3}h}{3}$$

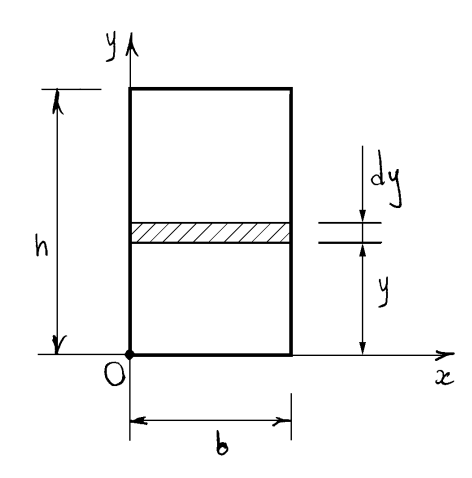
$$J_{y} = \frac{b^{3}h}{3}$$

$$J_{x} = \frac{b^{3}h}{3}$$

$$J_{x} = \frac{b^{3}h}{3}$$

to ad una base:

$$J_x = \int_A y^2 dA = \int_0^h by^2 dy = \frac{bh^3}{3}.$$



Utilizzando le formule del trasporto e poi possibile calcolare il momento principale di inerzia  $J_{xo}$  e il momento centrifugo  $J_{xy}$  rispetto alle basi:

$$J_{x_0} = \frac{bh^3}{3} - (bh)(\frac{h}{2})^2 = \frac{bh^3}{12},$$

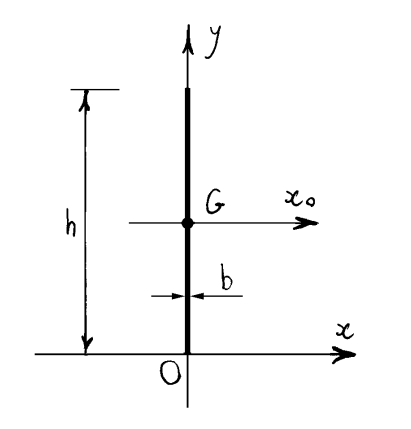
$$J_{xy} = 0 + (bh) \frac{b}{2} \frac{h}{2} = \frac{b^2h^2}{4}.$$

Invertendo infine il ruolo di base e altezza si hanno le analoghe formule per Jy e Jy.:

$$J_y = \frac{b^3 h}{3}$$
 ,  $J_{y_0} = \frac{b^3 h}{12}$  .

## Rettangolo sottile

Nol caso di un rettangolo sottile, il momento di inerzia Ty, relativo all'asse di simmetria che contiene la linea media, e' nullo, se si concentra lo spessore lungo



A = bh
$$J_{x_0} = \frac{bh^3}{12}$$

$$J_{x_0} = \frac{bh^3}{12}$$

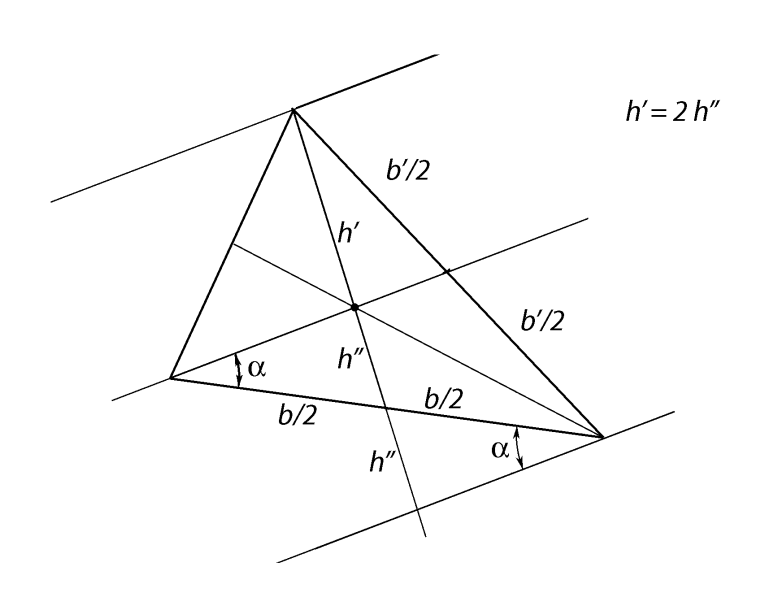
$$J_{x_0} = \frac{bh^3}{12}$$

$$J_{x_0} = \frac{bh^3}{12}$$

la linea media. E chiaro che per un effettivo rettangolo sottile la quantità b3h/12, anche se piccola, e l'unica che contribuisse al momento d'inercia Jy. In tal caso si potra ritemere Jy = 0 solo se gli effetti flessionali che ne dipendono sono trascurabili. Se invece il rettangale sottile fa parte di una sezione sottile complessa la quantità b3h/12 e' solo una delle tante che contribuisce al calcolo delle quantità inerziali e come tale e ta= scurabile se b << h, indipendentemente dagli effetti che tale quantità avrebbe per il singolo rettan= golo.

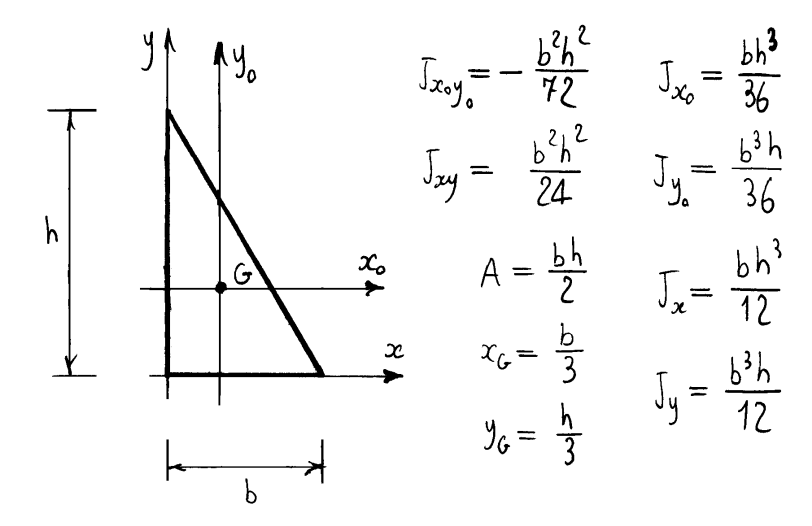
## Triangolo rettangolo

Poiche le mediane di un triangolo sono assi di sim= metria obliqua, nel loro punto di incontro si trova il baricentro. La mediana viene divisa nelle proporzioni 1/3 e 2/3, come si può dedurre dallo schema seguente.



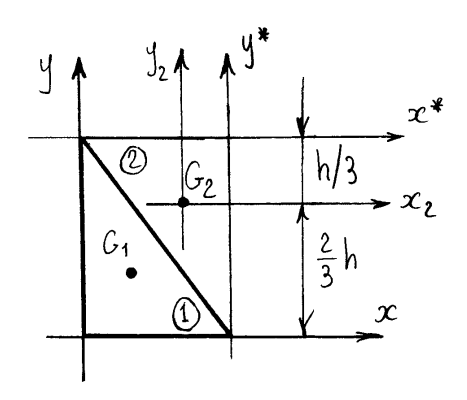
Ne consegue che nel sistema di riferimento Oxy individuato dalle basi, le coordinate del baricentro valgono:

$$x_G = \frac{b}{3}$$
,  $y_G = \frac{h}{3}$ .



Si tenga ora conto che dalla somma di due triangoli rettangoli di uguali dimensioni si attiene un rettangolo di uguale base e altezza. Con le convenzioni di figura, si ha:

$$J_{x}^{0} = J_{x^{*}}^{0} , \quad J_{xy}^{0} = J_{x^{*}y^{*}}^{0}$$



Tenendo allora conto che le quantità relative al rettangolo, già note, possono calcalarsi sommando i contributi dovuti ai due triangoli si ha:

$$\frac{bh^3}{3} = 2J_x - \left(\frac{bh}{2}\right)\left(\frac{h}{3}\right)^2 + \left(\frac{bh}{2}\right)\left(\frac{2}{3}h\right)^2 \Longrightarrow$$

$$\Rightarrow J_z = \frac{1}{2}\left(\frac{1}{3} + \frac{1}{18} - \frac{4}{18}\right)bh^3 = \frac{bh^3}{12},$$

$$\frac{b^{2}h^{2}}{4} = 2J_{xy} - \left(\frac{bh}{2}\right)\frac{b}{3}\frac{h}{3} + \left(\frac{bh}{2}\right)\frac{2}{3}b\frac{2}{3}h \implies$$

$$\Rightarrow J_{xy} = \frac{1}{2}\left(\frac{1}{4} + \frac{1}{18} - \frac{4}{18}\right)b^{2}h^{2} = \frac{b^{2}h^{2}}{24},$$

dove il trasporto del contributo del triangalo ② dagli assi  $x^*e$   $y^*$  a quelli x e y è stato fatto per il transite degli assi bariceutrici  $x_2$  e  $y_2$  del triangolo ②. Utilizzando le formule del trasporto e poi possibile calculare i momenti  $J_{x_0}$  e  $J_{x_0}$ , relativi ad assi bariceutrici:

$$J_{x_0} = \frac{bh^3}{12} - \left(\frac{bh}{2}\right)\left(\frac{h}{3}\right)^2 = \frac{bh^3}{36} ,$$

$$J_{x_0y_0} = \frac{b^2h^2}{24} - \left(\frac{bh}{2}\right)\frac{b}{3}\frac{h}{3} = -\frac{b^2h^2}{72} .$$

Poiche  $\int_{x_0} y_0 \neq 0$ , gli assi  $x_0$  e  $y_0$  nou sous principali di inerzia.

Infine, i momenti Jy e Jy, si ottengono invertendo il ruolo di base e altezza:

$$J_y = \frac{b^3 h}{12}$$
 ,  $J_{y_0} = \frac{b^3 h}{36}$  .

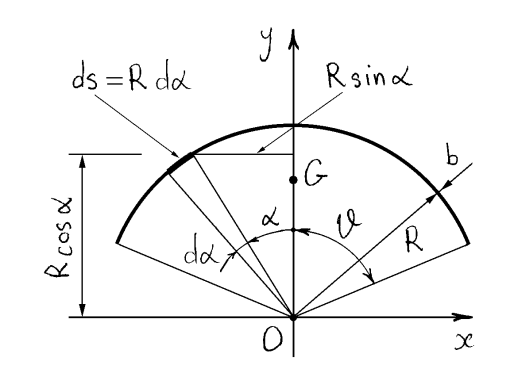
#### Arco circolare sottile

L'arco circolare sottile possiede un asse di simmetria che contiene quindi il baricentro ed e' principale di inerzia. Per calcolare la posizione del baricentro si consideri il siste= ma di riferimento Oxy, con y coincidente con l'asse di simmetria e il punto O con il centro dell'arco. Detta U la semiampiezza dell'arco, risulta:

$$A = 2bRV$$

$$S_x = 2 \int_0^{0} (bds) R \cos \alpha =$$

$$2 \int_0^{0} bR^2 \cos \alpha d\alpha = 2bR^2 \sin \theta$$



$$A = 20Rb$$

$$y_{G} = R \frac{\sin \theta}{\theta}$$

$$J_{x} = b R^{3} \left( \vartheta + \frac{\sin 2 \vartheta}{2} \right)$$

$$J_{y} = bR^{3} \left( \theta - \frac{\sin 2\theta}{2} \right)$$

93

e dunque:

$$y_{c} = \frac{S_{x}}{A} = R \frac{\sin \theta}{\theta}$$

Poiche e sempre tan U > U (per  $0 < U < \frac{\pi}{2}$ )
visulta:

$$\frac{\sin \theta}{\theta} > \cos \theta \Rightarrow y_6 > R\cos \theta$$
,

e ne consegue che G e' interno all'invilippo delle rette radeuti, come deve essere.

Infine risulta:

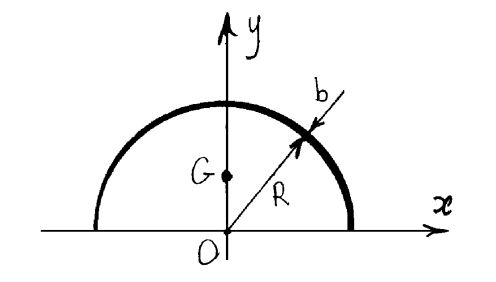
$$J_{x} = 2 \int_{0}^{\mathcal{Q}} b R^{3} \cos^{2} \alpha d\alpha =$$

$$= 2 b R^{3} \int_{0}^{\mathcal{Q}} \frac{1 + \cos 2\alpha}{2} d\alpha = b R^{3} \left( \mathcal{Q} + \frac{\sin 2\mathcal{Q}}{2} \right),$$

$$J_{y} = 2 \int_{0}^{\mathcal{Q}} b R^{3} \sin^{2} \alpha d\alpha =$$

$$=2bR^{3}\int_{0}^{\ell}\frac{1-\cos2\alpha}{2}d\alpha=bR^{3}(\ell-\frac{\sin2\ell}{2}).$$

Come casi particolari si ottengono la semicircon = ferenza sottile ponendo  $U = \frac{\pi}{2}$ :

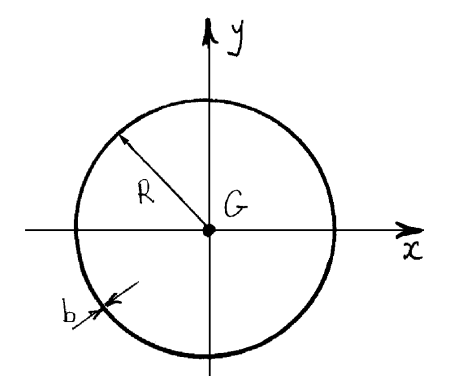


$$A = \pi R b$$

$$y_{G} = \frac{2R}{\pi}$$

$$J_{x} = J_{y} = \frac{\pi b R^{3}}{2}$$

e la circonferenza sottile ponendo  $V = \pi$ :



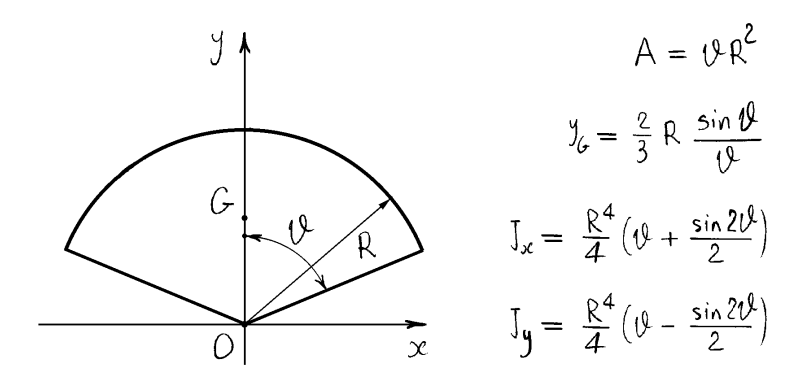
$$A = 2\pi Rb$$

$$J_x = J_y = \pi b R^3$$

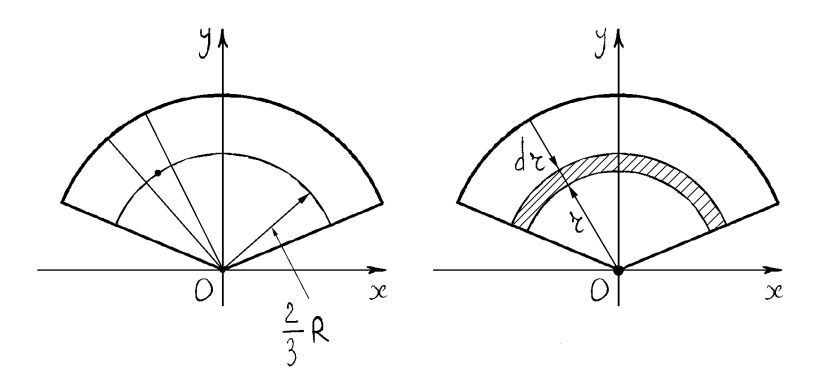
#### Settore circolare

Anche il settore circolare possiede un asse di sim=
metria, che risulta quindi principale di inerzia e contiene
il baricentro. Tenendo conto che il settore puo pensarsi
suddiviso in triangoli infinitesimi che hanno baricentro
a (2/3) R dal centro del settore, il suo baricentro
puo calcolarsi concentrando l'area dei triangoli nel
loro baricentro ottenendo così un arco circolare di rag=
gio (2/3) R:

$$y_c = \frac{2}{3} R \frac{\sin \theta}{\theta} ,$$



dove l'e' ancora la semiampiezza e avendo anche in questo caso assunto un sistema di riferimento Oxy con l'asse y coincidente con l'asse di simmetria e il punto O con il centro del settore.

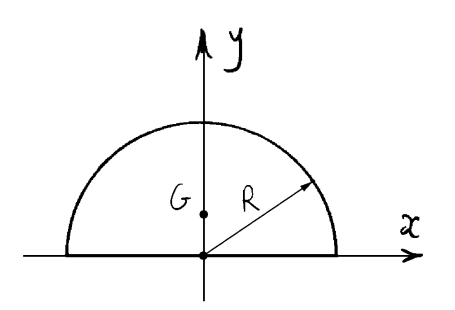


I momenti di inerzia Je e Jy possono calcolarsi dividendo il settore in archi circolari di spessore de e di raggio e variabile da O a R:

$$J_{x} = \int_{0}^{R} z^{3} \left( \vartheta + \frac{\sin 2\vartheta}{2} \right) dr = \frac{R^{4}}{4} \left( \vartheta + \frac{\sin 2\vartheta}{2} \right),$$

$$J_{y} = \int_{0}^{R} z^{3} \left( \vartheta - \frac{\sin 2\vartheta}{2} \right) dr = \frac{R^{4}}{4} \left( \vartheta - \frac{\sin 2\vartheta}{2} \right).$$

Come casi particolari si ottengeno il <u>semicerchio</u> ponendo  $U=\pi/2$ :

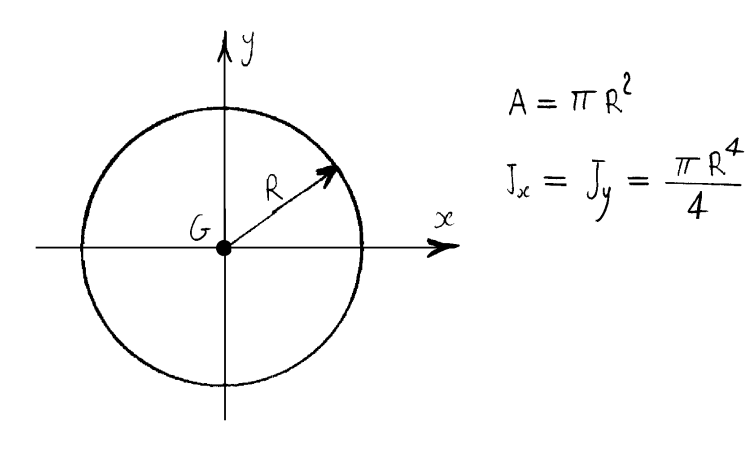


$$A = \frac{\pi R^2}{2}$$

$$J_G = \frac{4}{3\pi} R$$

$$J_x = J_y = \frac{\pi R^4}{8}$$

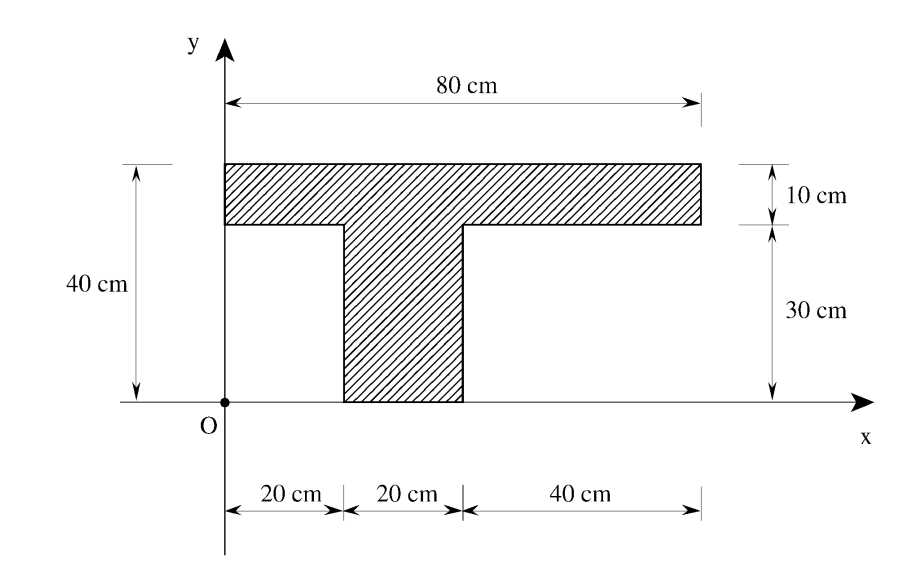
e il cerchio ponendo U= TT:



# 3.4.2 Sezioni Composte di parti semplici

Le quantità inerziali sono additive, ovverossia possono essere calcolate sommando i contributi delle singole parti che compongono la sezione. Se allora la sezione e composta di parti semplici, delle quali siamo note le quantità inerziali, questa proprieta permette di calcolare le quantità inerziali di tutta la sezione.

# Sezione composta di due rettangoli



$$A^{\circ} = 10 \times 80 = 800 \text{ cm}^{2}$$

$$A^{\circ} = 20 \times 30 = 600 \text{ cm}^{2}$$

$$A = 1400 \text{ cm}^{2}$$

$$\frac{S_x^0 = A^0 \times 35 = 28000 \text{ cm}^3}{S_x^0 = A^0 \times 15 = 9000 \text{ cm}^3}$$

$$\frac{S_x^0 = A^0 \times 15 = 9000 \text{ cm}^3}{S_{xx}^0 = 37000 \text{ cm}^3}$$

$$y_6 = \frac{S_x}{A} = 26.43 \text{ cm}$$

$$y_G = \frac{S_x}{A} = 26.43 \text{ cm}$$

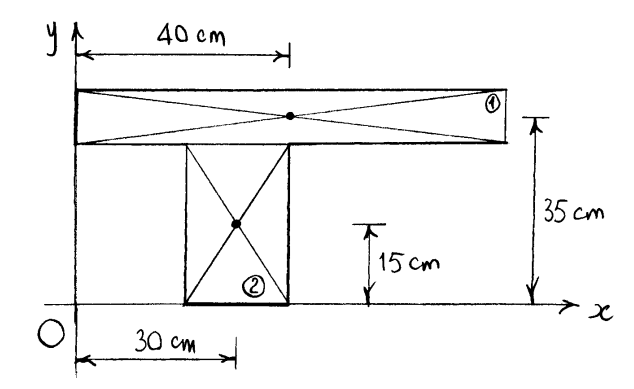
$$S_y^{0} = A^{0} \times 40 = 32000 \text{ cm}^{3}$$

$$S_y^{0} = A^{0} \times 30 = 18000 \text{ cm}^{3}$$

$$S_y = 50000 \text{ cm}^{3}$$

$$\mathcal{L}_G = \frac{S_y}{A} = 35.71 \text{ cm}$$

$$x_G = \frac{S_y}{A} = 35.71 \, \text{cm}$$



$$J_{x_o}^{0} = \frac{80 \times 10^{3}}{12} + A^{0}(35 - y_G)^{2} = 65442 \text{ cm}^{4}$$

$$J_{x_o}^{0} = \frac{20 \times 30^{3}}{12} + A^{0}(15 - y_G)^{2} = 123367 \text{ cm}^{4}$$

$$J_{x_o} = 188810 \text{ cm}^{4}$$

$$J_{y_o}^{0} = \frac{10 \times 80^{3}}{12} + A^{0} (40 - x_{G})^{2} = 441361 \text{ cm}^{4}$$

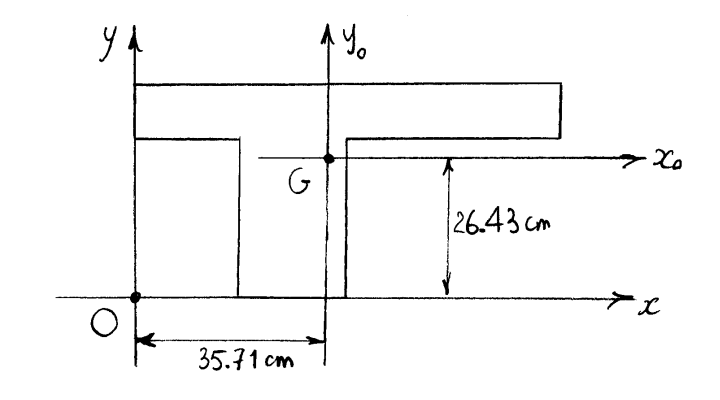
$$J_{y_o}^{0} = \frac{30 \times 20^{3}}{12} + A^{0} (30 - x_{G})^{2} = 39592 \text{ cm}^{4}$$

$$J_{y_o} = 480952 \text{ cm}^{4}$$

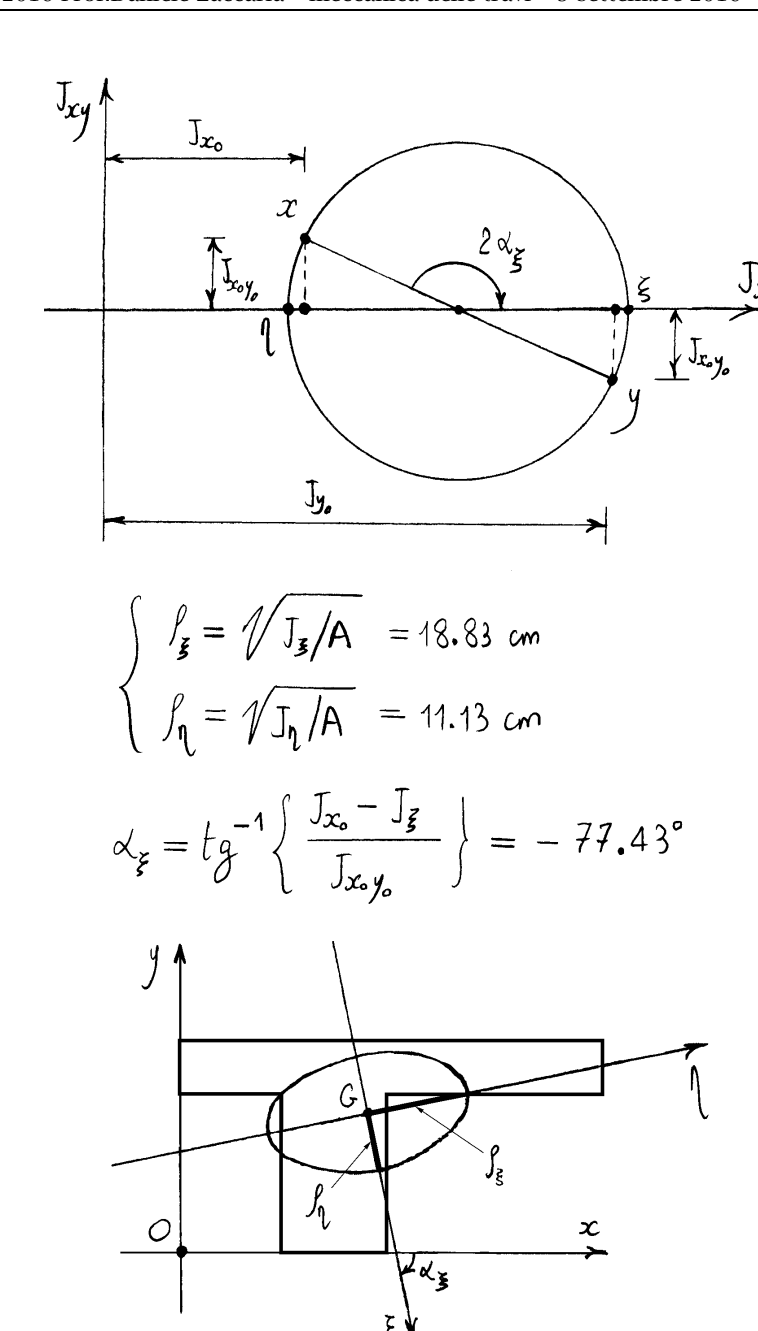
$$J_{x_o y_o}^{0} = A^{0} (35 - y_{G})(40 - x_{G}) = 29388 \text{ cm}^{4}$$

$$J_{x_o y_o}^{0} = A^{0} (15 - y_{G})(30 - x_{G}) = 39184 \text{ cm}^{4}$$

$$J_{x_o y_o} = 68571 \text{ cm}^{4}$$

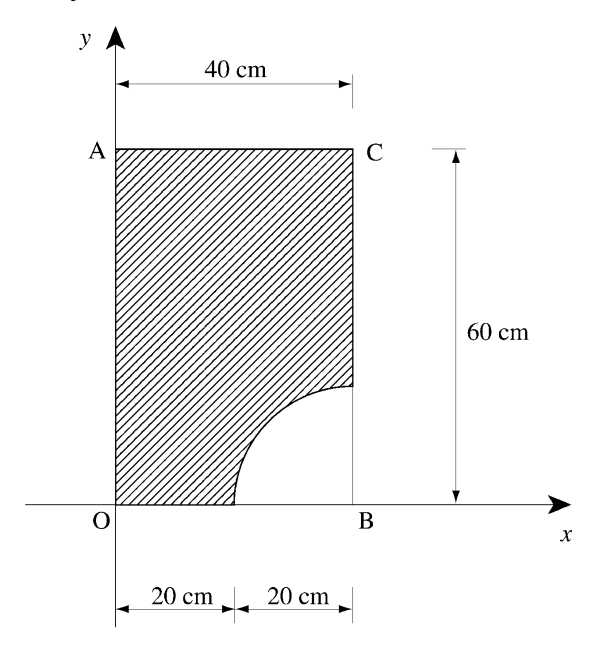


$$\left. \begin{array}{c} J_{\tilde{x}} \\ J_{\eta} \end{array} \right\} = \frac{J_{x_{o}} + J_{y_{o}}}{2} + \frac{1}{2} \sqrt{\left(J_{x_{o}} - J_{y_{o}}\right)^{2} + 4J_{x_{o}}^{2}} \\ = \begin{cases} 496247 \text{ cm}^{4} \\ 173515 \text{ cm}^{4} \end{cases}$$



## Sezione rettangolare con un intaglio

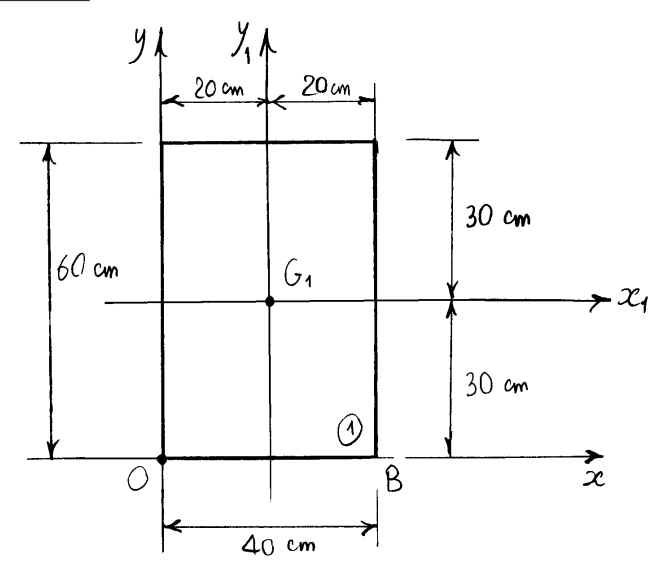
La sezione seguente non è la samus ma la differenza di due parti semplici, una rettangolare e una in forma di settore circolare di semiampiezza pari a T/4 radianti. Quindi tutti i contributi del settore circolare



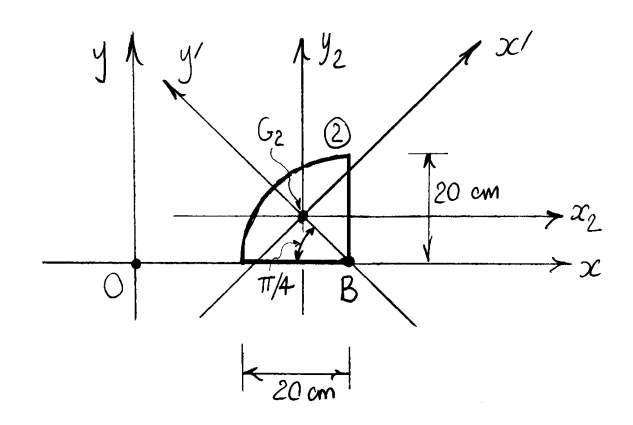
vanno sottratti da quelli del rettangolo. In tali casi a volte si parla di masse negative e i calcoli si svol=gono, in conseguenza, associando una distribuzione di massa -1 alla parte che va sottratta.

Questo ultimo modo di procedere è senz'altro indicato se si deve scrivere un programma di calcolo. Nel caso si debba manualmente risolvere un problema è più indicato sottrarre direttamente le quantità, come fatto nel seguito.

# Rettangolo



# Settore circolare (da sottrarre)



$$A^{0} = 40 \times 60 = 2400 \text{ cm}^{2}$$

$$A^{0} = \frac{\pi}{4} 20^{2} = 314.16 \text{ cm}^{2}$$

$$A = A^{0} - A^{0} = 2085.8 \text{ cm}^{2}$$

$$\overline{BG_{2}} = \frac{2}{3} 20 \frac{\sin(\pi/4)}{\pi/4} = 12.00 \text{ cm}$$

$$\begin{cases} x_{G1} = 20 \text{ cm} \\ y_{G1} = 30 \text{ cm} \end{cases} \begin{cases} x_{G2} = 40 - \overline{BG_{2}} \cos \frac{\pi}{4} = 31.51 \text{ cm} \\ y_{G2} = \overline{BG_{2}} \cos \frac{\pi}{4} = 8.488 \text{ cm} \end{cases}$$

$$S_{x}^{0} = A^{0} y_{G1} = 72000 \text{ cm}^{3}$$

$$S_{x}^{0} = A^{0} y_{G2} = 2666.7 \text{ cm}^{3}$$

$$S_{x}^{0} = A^{0} x_{G1} = 48000 \text{ cm}^{3}$$

$$S_{y}^{0} = A^{0} x_{G2} = 9899.7 \text{ cm}^{3}$$

$$S_{y}^{0} = A^{0} x_{G2} = 9899.7 \text{ cm}^{3}$$

$$S_{y}^{0} = S_{y}^{0} - S_{y}^{0} = 38100 \text{ cm}^{3} \implies x_{G} = \frac{S_{y}}{A} = 18.27 \text{ cm}$$

$$J_{x'}^{Q} = \frac{R^{4}}{4} \left\{ \frac{\pi}{4} + \frac{1}{2} \sin(2\frac{\pi}{4}) \right\} - A^{Q} \overline{BG}_{2}^{2} = 6145.2 \text{ cm}^{4}$$

$$J_{y'}^{Q} = \frac{R^{4}}{4} \left\{ \frac{\pi}{4} - \frac{1}{2} \sin(2\frac{\pi}{4}) \right\} = 11416 \text{ cm}^{4}$$

$$J_{x_{o}}^{\emptyset} = \frac{40 \times 60^{3}}{12} + A^{\emptyset} (y_{G} - y_{G1})^{2} = 745190 \text{ cm}^{4}$$

$$J_{x_{o}}^{\emptyset} = J_{x'}^{\emptyset} \cos^{2}(-\frac{\pi}{4}) + J_{y'}^{\emptyset} \sin^{2}(-\frac{\pi}{4}) + A^{\emptyset} (y_{G} - y_{G2})^{2} = 201250 \text{ cm}^{4}$$

$$J_{x_{o}} = J_{x_{o}}^{\emptyset} - J_{x_{o}}^{\emptyset} = 543940 \text{ cm}^{4}$$

$$J_{y_o}^{0} = \frac{60 \times 40^{3}}{12} + A^{0} (x_6 - x_{G1})^{2} = 327210 \text{ cm}^{4}$$

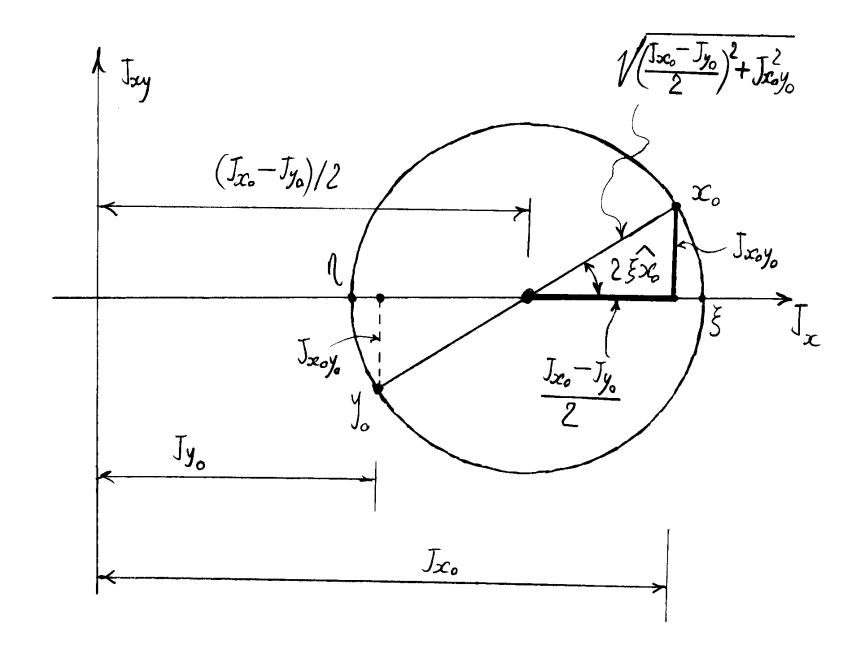
$$J_{y_o}^{0} = J_{x'}^{0} \sin^{2}(-\frac{\pi}{4}) + J_{y'}^{0} \cos^{2}(-\frac{\pi}{4}) + A^{0} (x_6 - x_{G2})^{2} = 63898 \text{ cm}^{4}$$

$$J_{y_o} = J_{y_o}^{0} - J_{y_o}^{0} = 263320 \text{ cm}^{4}$$

$$J_{x_{0}y_{0}}^{0} = A^{0}(x_{c} - x_{c1})(y_{c} - y_{c1}) = -13482 \text{ cm}^{4}$$

$$J_{x_{0}y_{0}}^{0} = (J_{x'}^{0} - J_{y'}^{0})\sin(-\frac{\pi}{4})\cos(-\frac{\pi}{4}) + A^{0}(x_{c} - x_{c2})(y_{c} - y_{c2}) = -100360 \text{ cm}^{4}$$

$$J_{x_{0}y_{0}} = J_{x_{0}y_{0}}^{0} - J_{x_{0}y_{0}}^{0} = 86880 \text{ cm}^{4}$$

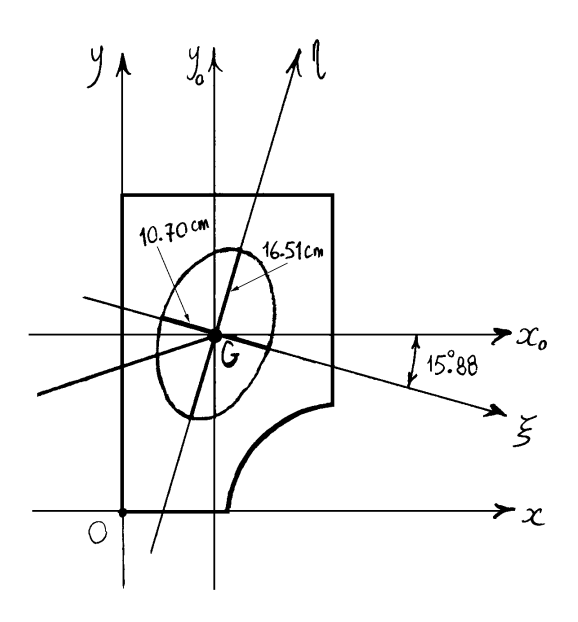


$$t_{dn}(2\hat{\xi}x_0) = \frac{J_{x_0y_0}}{(J_{x_0}-J_{y_0})/2} \implies \alpha_{\xi} = 15.88^{\circ} \left(\text{orario}\right)$$

oppure:

$$d_{z} = tan^{-1} \left\{ \frac{J_{x_0} - J_{z}}{J_{x_0 y_0}} \right\} = -15.88^{\circ}.$$

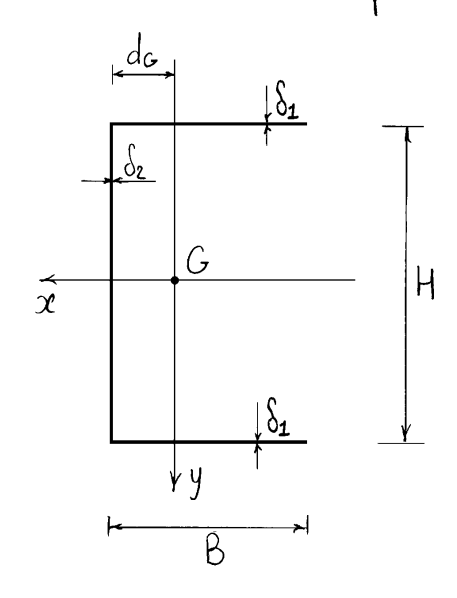
$$f_{\xi} = 1/J_{\xi}/A = 16.51$$
 cm  
 $f_{\eta} = 1/J_{\eta}/A = 10.70$  cm



#### La sezione a C sottile

La sezione a C ha un asse di simmetria che contiene il baricontro ed è principale di inerzia.

La sezione risulta inoltre composta di tre rettangoli sottili. Si fa riferimento alla linea media della sezione sottile dove viene concentrato lo spessore.



$$A=2\delta_1B+\delta_2H$$
.

Determination del barianto ( $S_y = 0$ ):  $H S_2 d_C - 2 B S_1 \left( \frac{B}{7} - d_C \right) = 0 \implies$ 

$$\implies d_G = \frac{\xi_1 B^2}{2 \delta_1 B + H \delta_2} .$$

Momenti di inerzia:

$$J_{xe} = \frac{\delta_2 H^3}{12} + 2(\delta_1 B)(\frac{H}{2})^2,$$

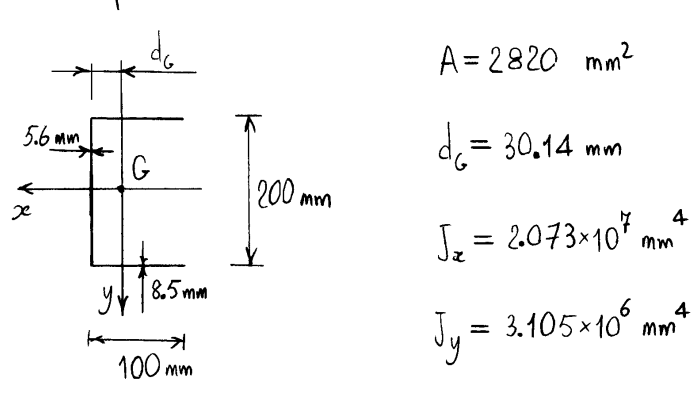
$$J_{y} = 2\left\{\frac{\delta_1 B^3}{12} + (\delta_1 B)(\frac{B}{2} - \delta_C)^2\right\} + \delta_2 H d_C^2,$$
termine di tasporto

cioe:

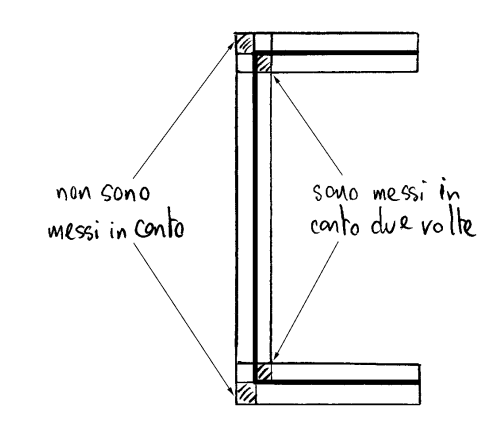
$$J_{x} = \frac{\delta_{1}BH^{2}}{2} + \frac{\delta_{2}H^{3}}{12},$$

$$J_{y} = \frac{\delta_{1}B^{3}}{6} + 2\delta_{1}B(\frac{B}{2} - d_{G})^{2} + \delta_{2}Hd_{G}^{2}.$$

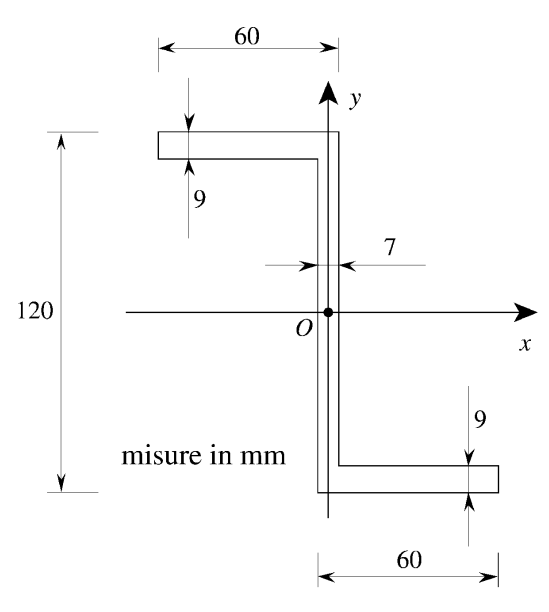
Per esempio:



Si noti che l'approssimazione di sezione sottile ha condotto a tenere conto due volte di due rettangoli di dimensione  $\frac{S_1}{2} \times \frac{S_2}{2}$  e a non tenere conto di altri due rettangoli di uguali dimensioni. Inoltre nel calcolo dei momenti di inerzia si sono troscurati i manenti  $bS_1^3/12$  e  $HS_2^3/12$  relativi agli assi baricentrici dei singoli rettangoli, quantità che sono piccole rispetto ai termini di trosporto.

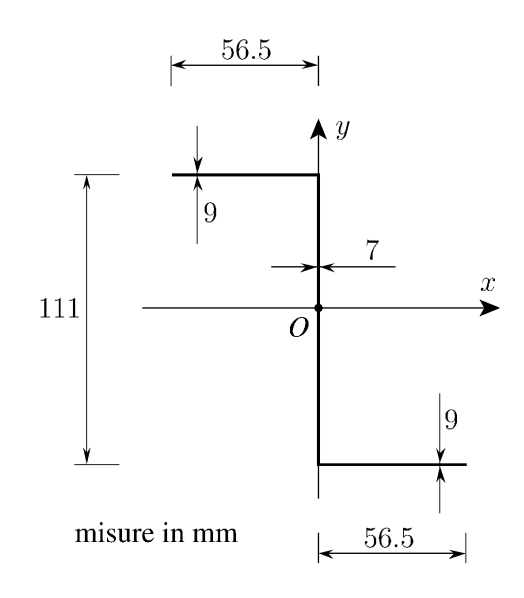


#### La sezione a Z sottile



Si risolve la sezione concentrando lo spessore sulla linea media. La figura presenta una simmetria polare di polo O (invarianza per rotazioni di 180° attorno al punto O). Questa condizione e sufficiente per affer= mare che il baricentro coincide con il polo O, poiche il suo vettore dei momenti statici:

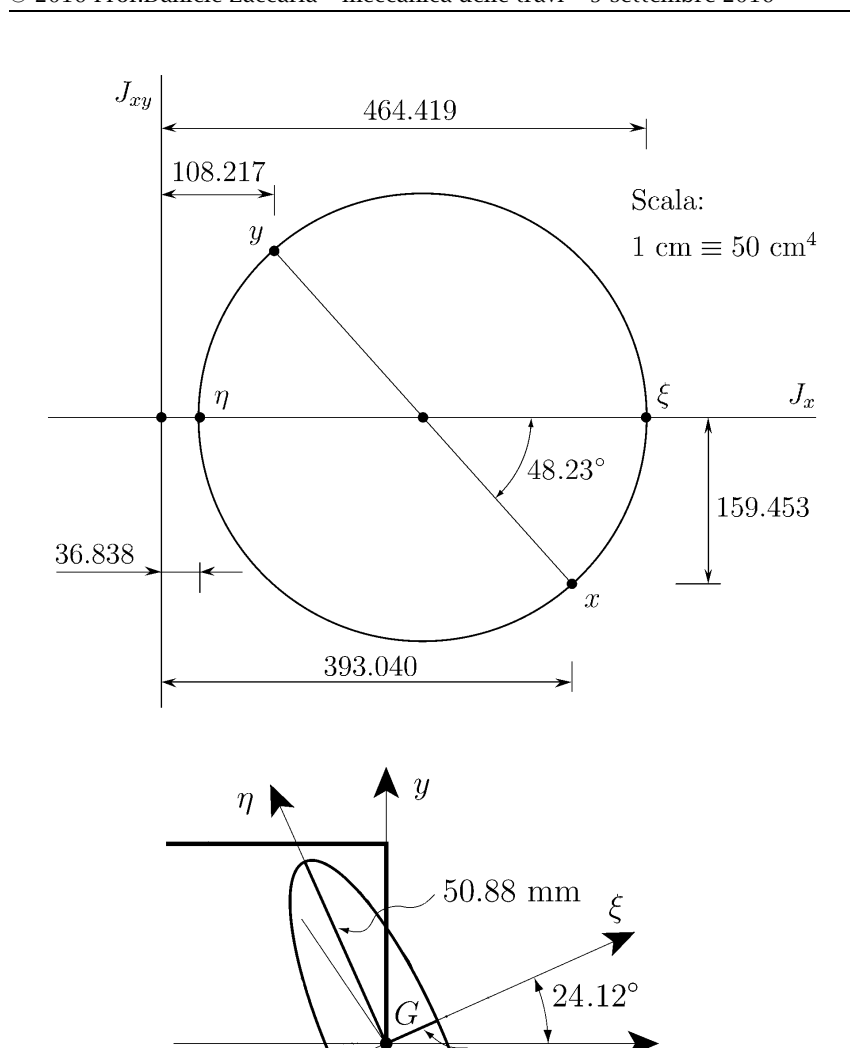
$$\underline{S}(0) = \int_{A} (P - O) dA$$



e' senzialtro nullo dato che ad ogni vettore posizione (P-O) ne corrisponde uno uguale ed opposto per la con= dizione di polar simmetria.

Quantità inerziali:

$$\begin{cases} A = 17.94 \text{ cm}^2 \\ J_X = 393.040 \text{ cm}^4 \\ J_Y = 108.217 \text{ cm}^4 \\ J_{XY} = -159.453 \text{ cm}^4 \end{cases} \begin{cases} J_{\xi} = 464.419 \text{ cm}^4 \\ J_{\eta} = 36.838 \text{ cm}^4 \\ \rho_{\xi} = 50.88 \text{ mm} \\ \rho_{\eta} = 14.33 \text{ mm} \end{cases} \begin{cases} 2\alpha_{\xi} = 48.23^{\circ} \\ \alpha_{\xi} = 24.12^{\circ} \end{cases}$$



Capitolo 4

# DISTRIBUZIONE DELLA TENSIONE NORMALE

Nel seguito si studierà la distribuzione della tensione normale su una sezione retta generica conseguente ai vari tipi di *sollecitazioni semplici*, ovverossia di caratteristiche della sollecitazione, che possono trovarsi ad agire sulla stessa sezione retta, limitatamente a quelle che generano una tensione normale. Si consideri che in ogni caso la soluzione conseguente all'applicazione di più caratteristiche della sollecitazione si può ottenere in generale per sovrapposizione degli effetti. Ciò non toglie comunque che a volte sia auspicabile anche lo studio diretto della distribuzione delle componenti di tensione conseguente a più caratteristiche della sollecitazione agenti contemporaneamente.

Ricordando le (3.2) e (3.5), la tensione normale  $\sigma_z$  è determinata dalla relazione costitutiva locale:

$$\sigma_z \mathbf{e}_z = E \epsilon \mathbf{e}_z + E \mathbf{k}_f \times (P - G), \tag{4.1}$$

dove  $e_z$  è il versore ortogonale alla sezione retta,  $\epsilon$  è la dilatazione lineare della linea d'asse baricentrica e  $k_{\rm f}$  è la curvatura flessionale. La semplicità della relazione (4.1) rende possibile sviluppare una casistica completa delle possibili distribuzioni di tensione normale.

Per individuare le distribuzioni della tensione normale corrispondenti alla forza normale N e al momento flettente  $M_{\rm f}$  occorre associare alla (4.1) i legami costitutivi assiale:

$$N = \mathcal{M}\epsilon, \qquad \Rightarrow \qquad \epsilon = \frac{N}{\mathcal{M}},$$
 (4.2)

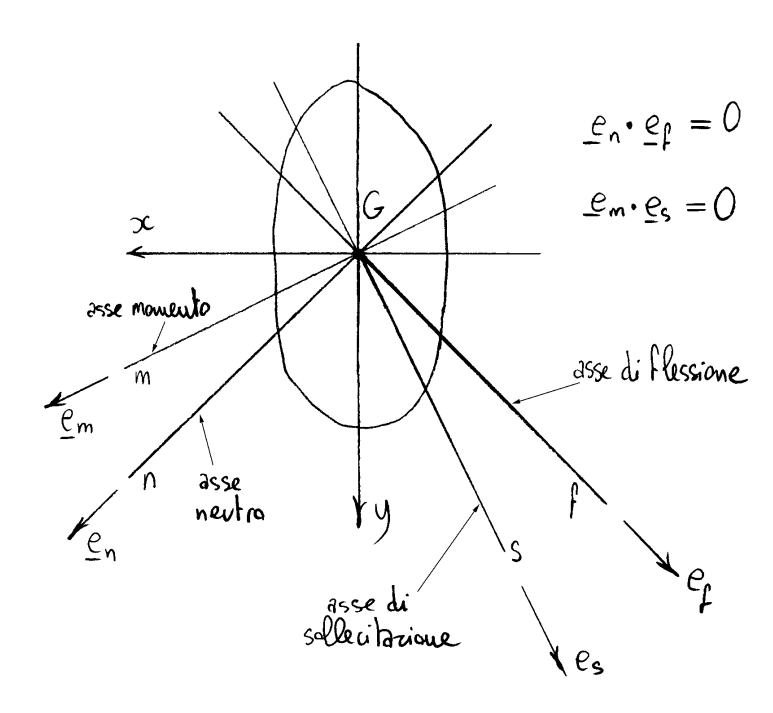
e flessionale:

$$M_{\rm f} = J k_{\rm f}, \qquad \Rightarrow \qquad k_{\rm f} = J^{-1} M_{\rm f}. \tag{4.3}$$

Si ricorda che la validità delle (4.2) e (4.3) richiede la scelta del baricentro G quale polo per il calcolo sia del momento flettente  $M_{\rm f}$  che della dilatazione  $\epsilon$ . Sostituendo le (4.2) e (4.3) nella (4.1) si ottiene infine:

$$\sigma_z \boldsymbol{e}_z = E \frac{N}{\mathcal{M}} \boldsymbol{e}_z + E \left( \boldsymbol{J}^{-1} \, \boldsymbol{M}_{\mathrm{f}} \right) \times (P - G), \tag{4.4}$$

L'asse baricentrico m, avente la direzione di  $M_{\rm f}$ , è detto *asse momento*, mentre l'asse baricentrico s ortogonale all'asse momento è detto *asse di sollecitazione*. Si noti che l'asse di sollecitazione è individuato dall'intersezione della sezione retta con il *piano di sollecitazione*, piano baricentrico contenente la coppia flettente  $M_{\rm f}$ . L'asse baricentrico n, avente la direzione di  $k_{\rm f}$ , è detto *asse neutro*, mentre l'asse baricentrico f ortogonale all'asse neutro è detto *asse di flessione*. Si ricordi che  $k_{\rm f}$  è il vettore della rotazione relativa mentre  $\epsilon e_z$  è quello della traslazione relativa. Ne consegue che in presenza di sola flessione, cioè se N=0, la sezione subisce una rotazione relativa attorno all'asse neutro e ne risulta che le fibre longitudinali individuate da tale asse hanno dilatazione nulla e quindi, in accordo con la (4.1), tensione normale nulla. Questa doppia circostanza, statica e cinematica, giustifica il nome di asse neutro (della flessione). Si noti infine che l'asse di flessione è individuato dall'intersezione della sezione retta con il *piano di flessione*, piano baricentrico ortogonale all'asse neutro e quindi contenente,



nell'intorno del baricentro, la linea d'asse deformata per effetto della sola flessione.

# 4.1 Criterio di snervamento

La distribuzione delle tensioni normali dedotta precedentemente dipende strettamente dall'assunzione di un legame costitutivo locale elastico lineare. È già stato detto a suo tempo (si veda il par. 3.1 a p. 62) come implementare altri tipi di legame costitutivo nell'ambito del modello della trave inflessa. Se si vogliono effettuare delle verifiche di resistenza agli stati limite ultimi può essere indispensabile mettere in conto lo sviluppo di deformazioni plastiche oppure di danneggiamenti del materiale. In tal caso occorre quindi valutare il livello di snervamento, o di danneggiamento, corrispondente al dato stato tensionale, livello a partire dal quale iniziano a svilupparsi le plasticizzazioni, oppure i danneggiamenti, del materiale. Se si assume un comportamento elastico lineare nella fase precedente lo

snervamento del materiale, come è sempre lecito fare per esempio nel caso di acciaio strutturale laminato a caldo, lo stato tensionale precedente il raggiungimento di tale limite è quello deducibile dalla (4.1).

Per quel che riguarda il limite di snervamento, si noti che se sulla sezione retta della trave è presente la sola tensione normale allora la tensione nell'intorno di un punto risulta monoassiale, ovverossia dello stesso tipo di quella che si ha in un provino soggetto a trazione o a compressione semplice. In tal caso si suppone che lo snervamento nell'intorno di un punto avvienga quando la tensione normale coincide con la tensione di snervamento. Se con  $\sigma_s^+$  e  $\sigma_s^-$  si indicano i moduli della tensione di snervamento, rispettivamente a trazione e a compressione, lo snervamento viene quindi raggiunto quando la tensione normale  $\sigma$  soddisfa una delle due uguaglianze seguenti:

$$\sigma = \sigma_{\rm s}^+, \qquad \sigma = -\sigma_{\rm s}^-, \tag{4.5}$$

mentre per la stretta appartenenza al dominio di elasticità si richiede che sia:

$$-\sigma_{\rm s}^- < \sigma < \sigma_{\rm s}^+. \tag{4.6}$$

Se il materiale presenta un uguale livello di snervamento  $\sigma_s$  a trazione e a compressione, come nel caso dei materiali metallici, è sufficiente confrontare con tale valore il modulo della tensione normale. Il criterio di snervamento e la stretta appartenenza al dominio di elasticità si esprimono quindi rispettivamente come segue:

$$|\sigma| = \sigma_{\rm s}, \qquad |\sigma| < \sigma_{\rm s}.$$
 (4.7)

Poiché la tensione normale varia in generale da punto a punto della sezione retta, la verifica del raggiungimento della condizione di snervamento va eseguita nei punti maggiormente sollecitati.

La conoscenza del livello di snervamento del materiale e dello stato tensionale dedotto nell'ipotesi di materiale indefinitamente elastico, con la sola aggiunta di un "opportuno" coefficiente di sicurezza, permette anche di effettuare in modo molto semplice una verifica di resistenza alle tensioni ammissibili. Basta a tale scopo sfruttare la condizione (4.6) di appartenenza al dominio di elasticità, e richiedere quindi che la tensione normale  $\sigma$  soddisfi la condizione:

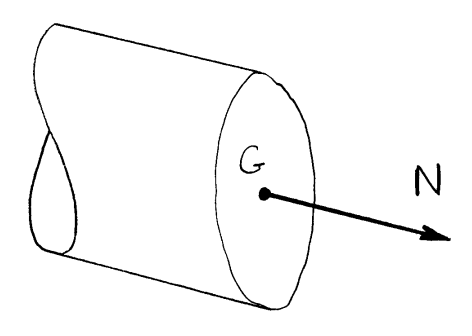
$$\frac{-\sigma_{s}^{-}}{\gamma} \le \sigma \le \frac{\sigma_{s}^{+}}{\gamma},\tag{4.8}$$

dove  $\gamma$  è un coefficiente di sicurezza maggiore dell'unità. È opportuno a questo punto ricordare che la semplicità della verifica (4.8) è figlia delle

stesse ragioni che hanno reso obsoleto il metodo di verifica alle tensioni ammissibili.

#### 4.2 Forza normale centrata

Si dice che una sezione è soggetta ad una forza normale centrata se l'unica caratteristica della sollecitazione che agisce nella sezione è la forza normale, avendo scelto quale polo di riduzione il baricentro della sezione stessa. Essendo  $M_{\rm f}=0$  la tensione normale vale:



$$\sigma_z = E \frac{N}{\mathcal{M}}.\tag{4.9}$$

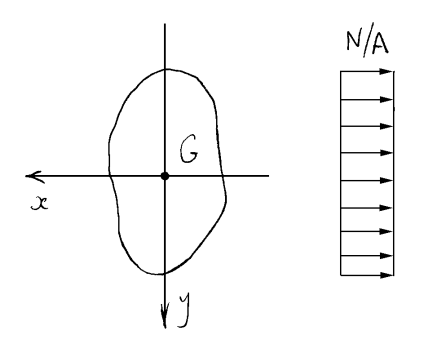
# 4.2.1 Sezioni omogenee

Nel caso di sezione omogenea, la tensione normale è costante nella sezione:

$$\sigma_Z = \frac{N}{A},\tag{4.10}$$

e rappresenta dunque la più semplice distribuzione di tensioni normali sulla sezione retta.

Si ricorda che se la forza normale è positiva è detta di trazione, se negativa di compressione.



# 4.2.2 Sezioni composte di più materiali

Se la sezione e composta di più materiali, la ten= sione normale nel materiale i-esimo vale:

$$\mathcal{L}_{i} = E_{i} \frac{N}{N}$$

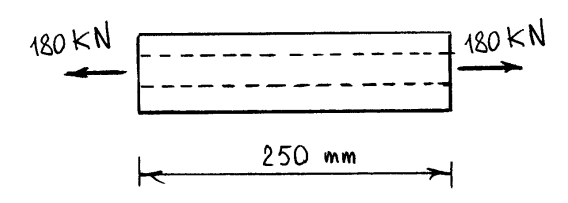
dove E; e il modulo di Young dell'i-esimo mate = riale e la massa totale vale:

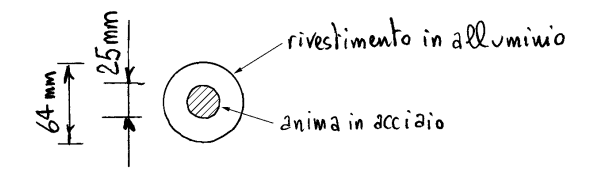
$$M = \Sigma_i E_i A_i$$

dove A; e l'area dell'i-esimo materiale

Come esempio, si consideri una barretta circolare costituita da un'anima in acciaio e da un rivestimento in alluminio, di moduli di Young rispettivamente:

$$\begin{cases} E_{ac} = 210 \text{ GPa} = 2.1 \times 10^5 \text{ N/mm}^2 \\ E_{al} = 70 \text{ GPa} = 7 \times 10^4 \text{ N/mm}^2 \end{cases}.$$





Risulta:

$$\begin{cases} A_{ac} = \frac{\pi}{4} (25 \text{ mm})^2 = 491 \text{ mm}^2 \\ A_{al} = \frac{\pi}{4} (64 \text{ mm})^2 - A_{ac} = 2726 \text{ mm}^2 \end{cases}$$

e quindi:

$$M = E_{ac} A_{ac} + E_{al} A_{al} = 2.94 \times 10^8 N.$$

Le teusioni normali Jac nell'accisio e Jal nell'alle= mivio valgano allora:

$$G_{ac} = E_{ac} \frac{N}{M} = 129 \text{ N/mm}^2,$$

$$G_{al} = E_{al} \frac{N}{M} = 42.9 \text{ N/mm}^2,$$

e le quote Nac e Nal di forza normale assorbite rispettivamente dall'area di acciaio e da quella di allu= minio valgono infine:

$$N_{ac} = G_{ac} A_{ac} = 63131 N$$

P

Si noti che a seguito della maggior rigidezza, ovverossia del modulo di Young più elevato, l'anima in acciaio assorbe una quota di carico più che proporzionale ri = spetto all'area.

## 4.2.3 Concentrazioni di sforzo

Oli sforzi vicino ai punti di applicazione di carichi concentrati possono superare anche di molto lo sforzo medio. Stessa cosa succede quando un elemento strutturale contiene una discontinuità, come un foro oppure una brusca variazione di sezione. Spesso sono proprio le concentrazioni di sforzo che innescano la propagazione di una frattura.

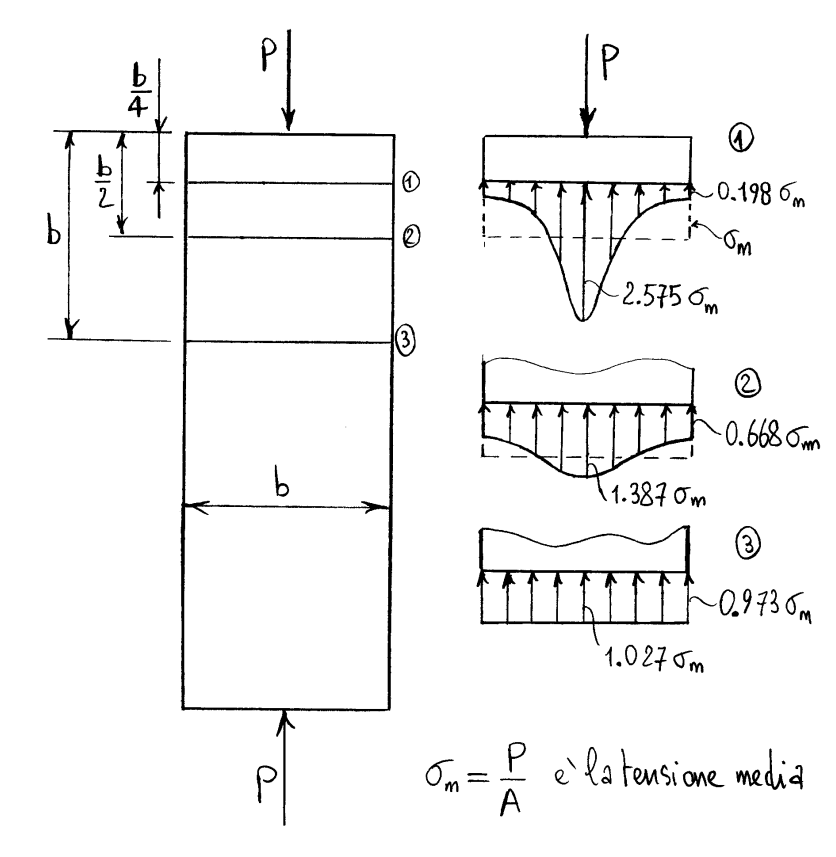
Per quel che riguarda i carichi concentrati, prendiamo quale esempio una lastra di larghezza b e soggetta ad una estremita ad un carico concentrato.

Nella figura seguente sono illustrati gli andamenti de= gli sforzi agenti in tre sezioni poste a distanze crescenti dal punto di applicazione del carico concentrato, an= damenti dedotti nell'ambito della teoria matematica del l'elasticità e confermati qualitativamente dall'analisi fotoelastica condotta su provini di materiale apposito.

L'andamento tensionale illustrato e' in accordo con il

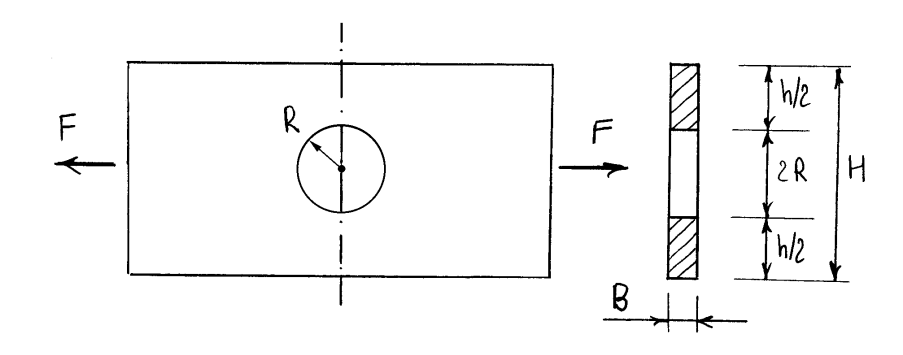
## <u>Principio di Saint Veuant:</u>

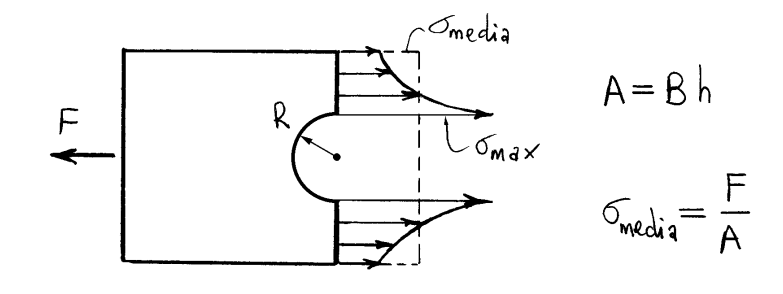
la distribuzione degli sforzi conseguente alla applicazione di carichi staticamente equivalenti e praticamente indi= pendente dalle effettive modalità di applicazione del carico, ad eccezione delle immediate vicinanze della zona di applicazione del carico.

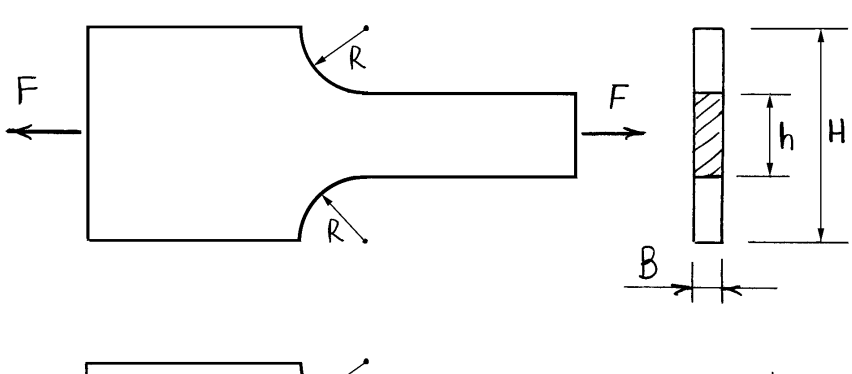


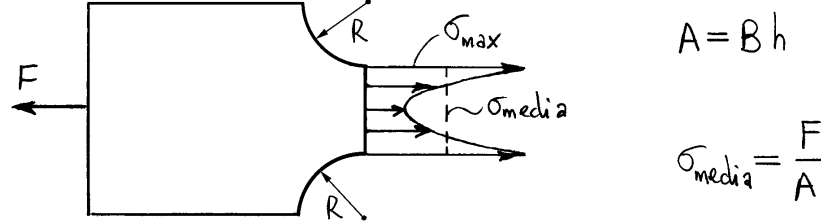
Si ricorda che è la validità di tale principio che consente di fondare una teoria della trave sulle caratteristiche della solllecitazione.

Nelle figure sequenti sono invece riportati gli anda = menti tensionali in corrispondenza di un foro in una lastra e di una brusca variazione di sezione rispettivamente, dovuti all'applicazione di una forza normale centrata.









Per trattare questi casi di concentrazione di sforzo si introduce il concetto di <u>fattore di concentrazione degli sforzi</u>:

$$S = \frac{\sigma_{\text{max}}}{\sigma_{\text{media}}}$$

che si ritrova tabellato in manuali o in testi sull'ar= gomento.

## 4.2.4 Condizioni di snervamento (sezioni omogenee)

La situazione statica è quella che si ha in un provino soggetto a trazione o a compressione semplice. Per tale motivo occorre quindi confrontare direttamente la tensione normale agente sulla sezione con quella di snervamento (tensione al limite di elasticità), effettiva o convenzionale). Se il materiale presenta un diverso livello di snerva= mento a trazione e a compressione, a seconda che N sia di trazione oppure di compressione occorre confrontarsi con la corrispondente tensione di snervamento, a trazione oppure a compressione. Le condizioni di appartenenza al dominio di elasticità risultano quindi:

$$\frac{N}{A} \leq \sigma_s^{\dagger}$$
 se  $N > 0$ ,

$$\frac{N}{A} \ge -\sigma_s^-$$
 se  $N < 0$ ,

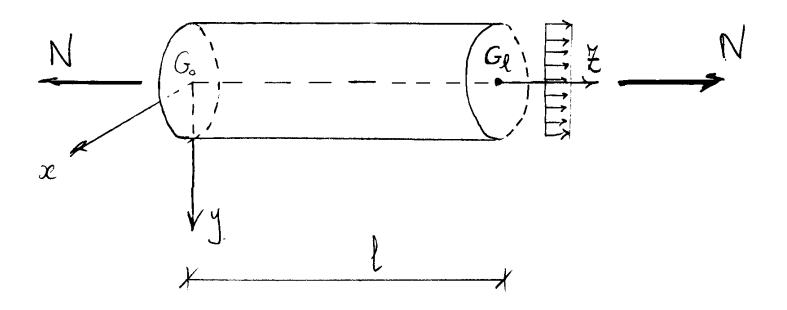
dove  $\sigma_s^+$  e  $\sigma_s^-$  sous le tension disnervaments à trazione e à compressione rispettivamente.

Nel caso di sezioni composte di più materiali, la condizione di sner-

vamento va imposta per ogni materiale, relativamente alla tensione di snervamento del singolo materiale.



**Integrazione in un campo di spostamenti.** Si consideri ora un cilindro omogeneo soggetto al campo di tensioni sopra descritto. Si vuole mostrare nel seguito che tale campo di tensioni è integrabile in un campo di spostamenti. A tale scopo si trasforma innanzitutto il campo di tensioni in un campo di deformazioni applicando la legge di Hooke inversa, per poi integrare il campo di deformazioni così ottenuto in un campo di spostamenti.



Il campo tensionale soluzione risulta:

$$\sigma_z = \frac{N}{A}, \qquad \tau_{xz} = \tau_{yz} = 0. \tag{4.11}$$

Il campo delle deformazioni si ottiene dalla relazione inversa di Hooke:

$$\boldsymbol{\epsilon} = \frac{1}{E} \left( (1 + \nu) \, \boldsymbol{\sigma} - \nu \, (\text{tr} \, \boldsymbol{\sigma}) \, \boldsymbol{I} \right). \tag{4.12}$$

Poiché:

$$[\boldsymbol{\sigma}] = \begin{bmatrix} 0 & 0 & 0 \\ 0 & 0 & 0 \\ 0 & 0 & \frac{N}{A} \end{bmatrix}, \quad \text{tr } \boldsymbol{\sigma} = \frac{N}{A}, \tag{4.13}$$

risulta:

$$\begin{bmatrix} \underline{\mathbf{E}} \end{bmatrix} = \frac{N}{\mathsf{EA}} \begin{bmatrix} -V & O & O \\ O & -V & O \\ O & O & 1 \end{bmatrix}.$$

Oradiente della votazione locale rigida:

$$\frac{\partial w_{ij}}{\partial x_{k}} = \frac{\partial \varepsilon_{ik}}{\partial x_{j}} - \frac{\partial \varepsilon_{jk}}{\partial x_{i}} = 0, \quad (i,j) = \begin{cases} (x,y) \\ (y,z) \end{cases}.$$

A meno di una inessenziale rotazione rigida globale di tutto il cilindro risulta:

$$\begin{cases} \underline{\omega} = \underline{0} \\ \text{grad } \underline{\mathbf{u}} = \underline{\varepsilon} \end{cases}, \qquad \underline{\mathbf{u}} = \begin{cases} \mathbf{u} \\ \mathbf{v} \\ \mathbf{w} \end{cases}.$$

Integrando si ottiene quindi:

$$u = -V \frac{N}{EA} \times + f(y, x).$$

Risulta:

$$\frac{\partial u}{\partial y} = \frac{\partial f}{\partial y} = 0 \implies f = g(x)$$

$$\frac{\partial u}{\partial x} = \frac{\partial g}{\partial x} = 0 \implies g = \cos t$$
.

Una costante rappresenta una traslazione rigida, in tal caso nella direzione dell'asse x. A meno di tale traslazione rigida, la componente dello spostamento in direzione dell'asse x vale:

$$u = -\nu \frac{N}{EA}x .$$

Procedende surlegamente per ve x, si offiche

definitivamente il qu'adro completo delle componenti di spostamento:

$$u = -\frac{\sqrt{N}}{EA}x,$$

$$v = -\frac{\sqrt{N}}{EA}y,$$

$$w = \frac{N}{EA} X$$

Tale compo di spostamenti pro'essere separato in due quote:

$$\underline{u} = \frac{N}{EA} \left\{ \begin{array}{c} 0 \\ 0 \\ \xi \end{array} \right\} - \frac{N}{EA} \left\{ \begin{array}{c} x \\ y \\ Q \end{array} \right\},$$

oppure, in forma vettoriale:

$$\underline{u} = \frac{N}{EA} \not\in \underline{e}_{\not k} - \frac{\nu N}{EA} (P-G)$$
.

Il primo termine è indipendente da x ed y e quindi rappresenta una taslazione rigida della sezione (in direzione dell'asse z).

$$\begin{cases} P - G \end{cases} = \begin{cases} x \\ y \\ 0 \end{cases}$$

Il secondo termine ha componente w = 0 e dipende da x e da y. Rappresenta quindi una deformazione della sezione nel proprio piano.

Tale deformazione sposta un punto P in direzione della congiungente di P con G, e poiché il rapporto:

$$\frac{|P-P'|}{|P-G|} = \frac{VN}{EA},$$

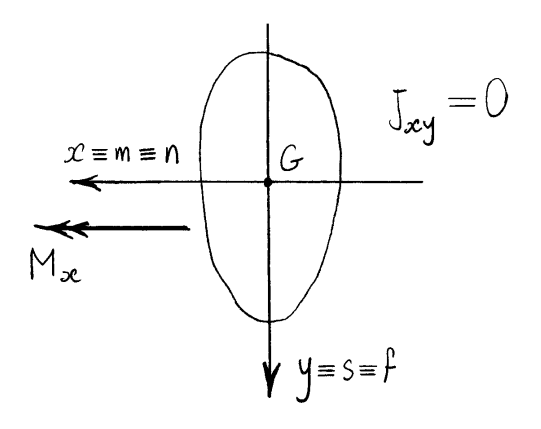
è costante, cioé non dipende da P, tale deformazione rappresenta una *omotetia*.

Da tale decomposizione del campo degli spostamenti risulta evidente che la sezione resta piana.

 $\Diamond$   $\Diamond$   $\Diamond$ 

## 4.3 Flessione retta

Si dice che una sezione è soggetta a *flessione retta* se l'unica caratteristica della sollecitazione che agisce nella sezione è un momento flettente con asse momento coincidente con una direzione principale di inerzia. Se l'asse



momento m coincide con l'asse x del sistema principale Gxy, risulta:

$$\mathbf{k}_{\mathrm{f}} = k_{X} \mathbf{e}_{X} = \frac{M_{X}}{J_{X}} \mathbf{e}_{X},\tag{4.14}$$

e quindi:2

$$\sigma_z = E \frac{M_x}{J_x} y,\tag{4.15}$$

avendo tenuto conto che  $P - G = x e_x + y e_y$  e che  $e_x \times e_y = e_z$ .

Si noti che nel caso descritto l'asse di sollecitazione s coincide con l'altro asse principale y, l'asse neutro n con l'asse momento e l'asse di flessione f con l'asse di sollecitazione.

## 4.3.1 Sezioni omogenee

Nel caso di sezione omogenea risulta:

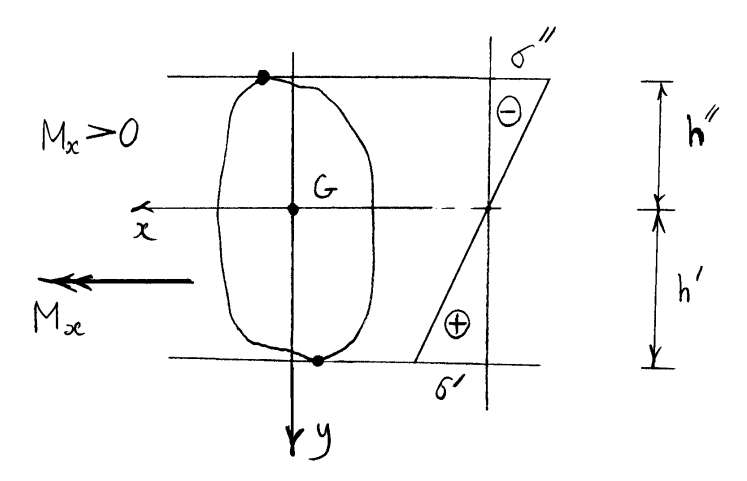
$$\sigma_Z = \frac{M_X}{J_X} \gamma,\tag{4.16}$$

<sup>&</sup>lt;sup>1</sup>Cfr. la (4.3), p. 105.

<sup>&</sup>lt;sup>2</sup>Cfr. la (4.1), p. 105.

sottintendendo che in tal caso con  $J_x$  si indica il momento di inerzia della sola area. Si ricordi che con tale convenzione il momento di inerzia che compare nella (4.15) vale  $EJ_x$ .

L'andamento delle tensioni normali è lineare e queste si annullano sull'asse x. Se  $M_x > 0$  le tensioni normali sono positive per y > 0 e negative



per y < 0, viceversa se  $M_x < 0$ .

Inevitabilmente ci saranno delle tensioni positive e delle tensioni negative. In corrispondenza dei punti più lontani dall'asse x si avranno le massime tensioni (in modulo). Se h'e h'' indicano tali di = stanze nella direzione delle y positive e negative ri= spettivamente le corrispondenti tensioni, in modulo,

valgono:

$$\delta' = \frac{|M_x|}{J_x} h' = \frac{|M_x|}{W_x'} ,$$

$$\sigma'' = \frac{|\mathsf{M}_x|}{\mathsf{J}_x} \, \mathsf{h}'' = \frac{|\mathsf{M}_x|}{\mathsf{W}_x''} \, ,$$

dove :

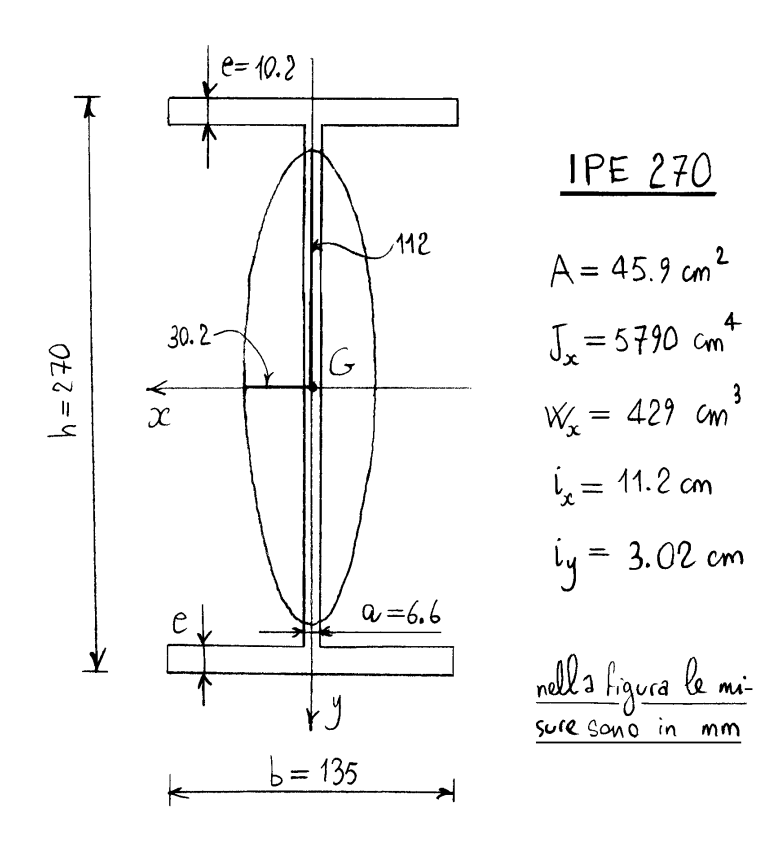
$$W_x' = \frac{J_x}{h'} , \qquad W_x'' = \frac{J_x}{h''} ,$$

sono detti <u>moduli di resistenza</u> della sezione. Si osservi che la dimensione di un modulo di resistenza, nell'attuale contesto di sezioni omogenee, e' di una lun= ghezza al cubo (L³).

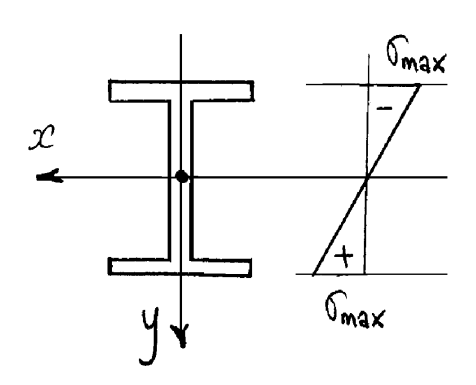
## Sezione a doppio T tipo IPE

Si valutano nel seguito le tensioni normali massime nel caso della sezione IPE 270 di figura soggetta ad un momento flettente  $M_\chi=60~\rm kN~m~.^3$  Le misure riportate in figura sono tratte dalle apposite tabelle riguardanti i profilati tipo IPE. In tali tabelle è consuetudine indicare i raggi di inerzia con il simbolo i.

<sup>&</sup>lt;sup>3</sup>I profilati in acciaio commerciali tipo IPE sono di sezione sottile a doppio T allungata, cioè di altezza prevalente rispetto alla base, e sono adatti ad assorbire le sollecitazioni dovute ad un momento flettente. Una sezione sottile di tale tipo può essere indicata con la lettera "I" diritta, maiuscola e con le grazie, il che giustifica la prima lettera della sigla "IPE". Il resto della sigla sta per "Profilo Europeo".



$$G_{\text{max}} = \frac{M_{\text{max}}}{W_{\infty}} = \frac{60 \times 10^6 \,\text{N} \,\text{mm}}{429 \times 10^3 \,\text{mm}^3} = 140 \,\text{N/mm}^2.$$



## 4.3.2 Sezioni composte di più materiali

Se la sezione è composta di più materiali, la tensione normale nell'*i*-esimo materiale vale:

$$\sigma_z = E_i \frac{M_X}{J_X} \gamma. \tag{4.17}$$

Nella (4.17)  $E_i$  è il modulo di Young dell'*i*-esimo materiale mentre  $J_x$ , di dimensione  $FL^2$ , è il momento di inerzia generato dalla distribuzione nella sezione dei moduli di Young dei vari materiali e vale:

$$J_X = \sum_i E_i J_{Xi},\tag{4.18}$$

dove  $J_{xi}$  è il momento di inerzia della sola area  $A_i$  dell'*i*-esimo materiale, ovverossia calcolato a meno della massa:

$$J_{xi} = \int_{A_i} y^2 \, \mathrm{d}A,\tag{4.19}$$

#### Omogeneizzazione

In alternativa è possibile omogeneizzare l'area rispetto a uno dei materiali, per esempio il primo di modulo di Young  $E_1$ . Si definiscono allora i coefficienti di omogeneizzazione  $n_i$  degli altri materiali:

$$n_i = \frac{E_i}{E_1},\tag{4.20}$$

l'area omogeneizzata  $A^{o}$ :

$$A^{0} = A_{1} + \sum_{i} n_{i} A_{i}, \tag{4.21}$$

e il momento di inerzia omogeneizzato  $J_x^{\rm o}$ 

$$J_X^0 = J_{X1} + \sum_i n_i J_{Xi}, \tag{4.22}$$

dove la somma è estesa agli altri materiali. Con queste definizioni, il momento di inerzia generato dalla distribuzione nella sezione dei moduli di Young dei vari materiali vale:

$$J_{\mathcal{X}} = E_1 J_{\mathcal{X}}^{0}. {4.23}$$

In un punto di coordinata y appartenente all'area  $A_1$  del materiale rispetto al quale è fatta l'omogeneizzazione la tensione normale vale allora:

$$\sigma_Z = \frac{M_X}{J_X^0} \mathcal{Y},\tag{4.24}$$

mentre in un punto di coordinata y appartenente all'area  $A_i$  dell'i-esimo materiale si ha invece:

$$\sigma_z = n_i \frac{M_X}{I_X^0} y, \tag{4.25}$$

#### Sezione rettangolare in cemento armato

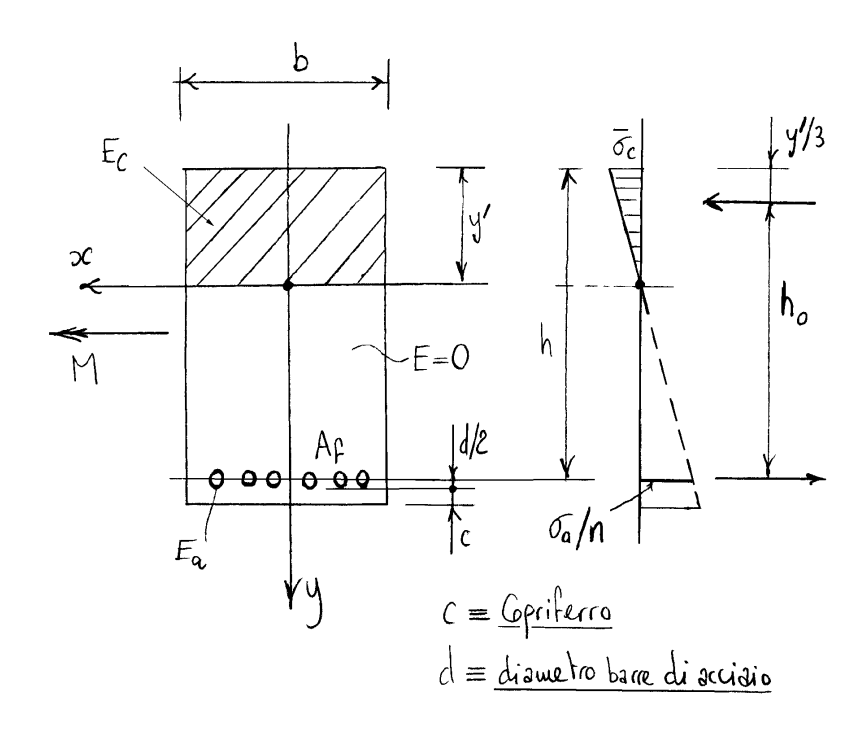
Come esempio di sezione composta di più materiali, si considera una sezione rettangolare in cemento armato a semplice armatura.

Per il calcolo degli spostamenti e della deformazione una struttura in cemento armato è equiparata ad una struttura omogenea resistente anche a trazione e con modulo di Young pari al modulo del calcestruzzo.

le barre di armatura, assorbendo le tensioni di trazione che il calcestruzzo non el in grado di assorbire e limitando od eliminando, in tal modo, lo sviluppo delle fessurazioni, assicurano tale comportamento.

Il discorso cambia quando si voglia verificare, oppure progettare, una struttura in cemento armato.

In tal caso non si puo prescindere dalla presenza delle armature e dallo sviluppo di eventrali fessiazioni. Il modo più semplice per tenere conto della scarza resistenza a trazione del calcestruzzo, di himi della verifica di resistenza, e quello di trascurarla del tho. Si la allora ciferimento ad un modello deformativo nel quale la sezione rettà reagisce solo in corrispondenza delle sibre compresse del calcestruro e non di quelle tese. Ne risulta che l'asse neutro divide in due zone la sezione cetta, ad una delle quali compete il modulo Ec del calcestruzzo mentre all'altra compete il modulo nullo (E=0). All'area di armatura, che pro' consi= derarsi concentrata nei baricentri delle singole barre, compete il modulo En dell'accidio. La posizione y



dell'asse neutro risulta un'incognità del problema.

Naturalmente si suppone la perfetta aderenza acciaiocalcestruzzo e, in accordo con le assunzioni cinematiche
fatte, che le sezioni restino piane. Il momento statico
rispetto all'asse neutro vale:

$$S_{z}=-E_{c}\frac{by'^{2}}{2}+E_{\alpha}A_{f}(h-y').$$

Nella flessione retta l'asse neutro deve essere baricon = trico. Imponendo tale condizione si ottiene un'equa = zione di secondo grado in y':

$$S_x = 0 \implies y'^2 + 2 \frac{n A f}{b} y' - 2 \frac{n A f}{b} h = 0,$$

dove  $n = E_a/E_c$  e' il <u>coefficiente di omogeneizzazione</u> dell'acciaio rispetto al calcestruzzo e h e' l'altezza utile della sezione, cioè la distanza del baricentro delle barre di armatura dal lembo superiore del calcestruzzo compresso. Delle due saluzioni dell'equazione di secondo grado l'una, negativa, e' priva di significato per il nostro problema mentre l'altra, positiva, vale:

$$y' = \frac{nAf}{b} \left\{ -1 + \sqrt{1 + \frac{2bh}{nAf}} \right\}.$$

Se con J<sub>x</sub> si indica il <u>momento di inerzia omogeneizzato</u> all'area di calcestruzzo:

$$J_{x} = \frac{by'^{3}}{3} + n A_{f}(h-y')^{2},$$

la distribuzione della tensione normale nella sezione retta vale:

$$\sigma = \frac{M}{J_{\infty}} y , \quad (y < 0),$$

in corrispondenza del calcestruzzo compresso,

$$\sigma = \sigma_{a} = n \frac{M}{J_{x}} (h - y'),$$

in corrispondenza delle barre di armatura, ed infine è nulla in corrispondenza del colcestruzzo teso. Se con oc si indica poi la tensione di compressione (in modulo) al lembo superiore del colcestruzzo compresso, risulta anche:

$$\sigma_{\rm c} = \frac{M}{J_{\rm x}} y' .$$

Il <u>braccio della coppia interna</u> (risultante nel calcentruzzo compresso — ricultante nell'acciaio teso), vale:

$$h_0 = h - \frac{y'}{3}$$
.

La coppia interna ha dunque il valore:

$$M = \frac{1}{2} \sigma_c b y' h_o = \sigma_a A_f h_o ,$$

da cui si ottiene, in alternativa:

$$\delta_{\alpha} = \frac{M}{A_{\beta} h_{o}}$$
,
 $\delta_{c} = \frac{2M}{by' h_{o}}$ .

Uguagliande le due diverse espressioni di va e di va si offiene:

$$\frac{M}{A_f h_o} = n \frac{M}{J_x} (h - y') \implies h_o = \frac{J_x}{n A_f (h - y')},$$

$$\frac{2M}{by'h_0} = \frac{M}{J_x} y' \qquad \Longrightarrow h_0 = \frac{2J_x}{by'^2} .$$

Le due espressioni sono senzialtro equivalenti, poiche la cardizione  $S_{\infty}=0$  può essere posta nella forma:

$$-\frac{by'^2}{2} + n \operatorname{Ar}(h-y') = 0.$$

#### 4.3.3 Condizioni di snervamento

La condizione di appartenenza al dominio di elasticità richiede che le massime tensioni a trazione e a compressione non superino, in modulo, le corrispondenti tensioni di snervamento:

$$\begin{cases} \frac{M_{x}}{W_{x}'} \leq \delta_{s}^{+} e & \frac{M_{x}}{W_{x}''} \leq \delta_{s}^{-} & \text{se } M_{x} > 0 \\ -\frac{M_{x}}{W_{x}''} \leq \delta_{s}^{+} e & -\frac{M_{x}}{W_{x}'} \leq \delta_{s}^{-} & \text{se } M_{x} < 0 \end{cases}$$

Se il materiale presenta lo stesso livello di snervamen= to a trazione e compressione si confrontera semplicemente la massima tensione in modulo con la tensione di snervamento:

$$\max\left\{\frac{|\mathsf{M}_{\boldsymbol{x}}|}{\mathcal{W}_{\boldsymbol{x}}'}\;,\;\frac{|\mathsf{M}_{\boldsymbol{x}}|}{\mathcal{W}_{\boldsymbol{x}}''}\right\} \leq \sigma_{s} \quad.$$

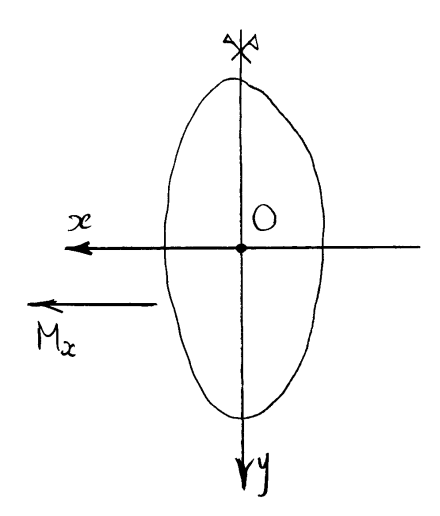
Se poi la sezione e simmetrica rispetto all'asse x, ovverossia se  $W_x'=W_x''=W_x''=W_x$ , le tensioni massime a tazione e compressione sono uguali in modulo

#### Cenni al calcolo a rottura.

Quanto detto finora vale nell'ipotesi di legame co= stitutivo elastico lineare:

Come già detto tale legame lineare, sempre nell'ambito delle ipotesi cinematiche della trave inflessa, puo' essere so= stituito da uno più generale in cui non solo l'elasticità puo' essere non lineare, ma il legame stesso puo' essere elastoplastico. E' chiaro che generalizzazioni di questo tipo sono a volte indispensabili se si vogliono eseguire delle verifiche agli stati limite ultimi.

In tale outesto più generale, flessione retta significa asse neutro ortogonale all'asse di sollecitazione. Se la sezione ha un asse di simmetria e l'asse momento e' ortogonale all'asse di simmetria (ovverossia la oppia agisce sul piano di simmetria) tale condizione e', per simmetria, senz'altro soddisfatta.



La condizione che individua l'asse neutro e' N=0:

$$\int_{A} \sigma dA = 0.$$

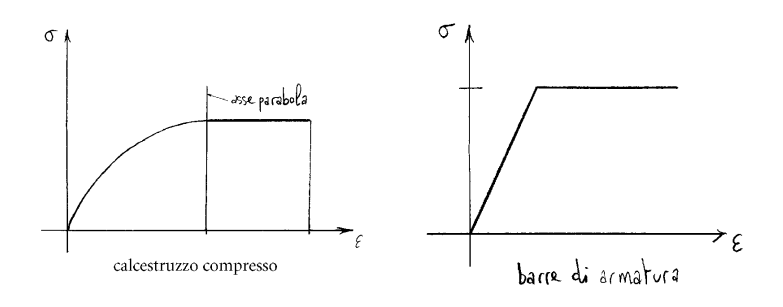
Si noti a tale proposito che i cancetti di baricentro e di assi principali di inerzia sono strettamente connessi al legame lineare e non possono essere utilizzati in un contesto più generale. Assumendo un sistema di riferimento Oxy, con l'asse y coincidente con l'asse di simmetria, la coppia flettente risulta poi:

$$M_{x} = \int_{A} \sigma y \, dA .$$

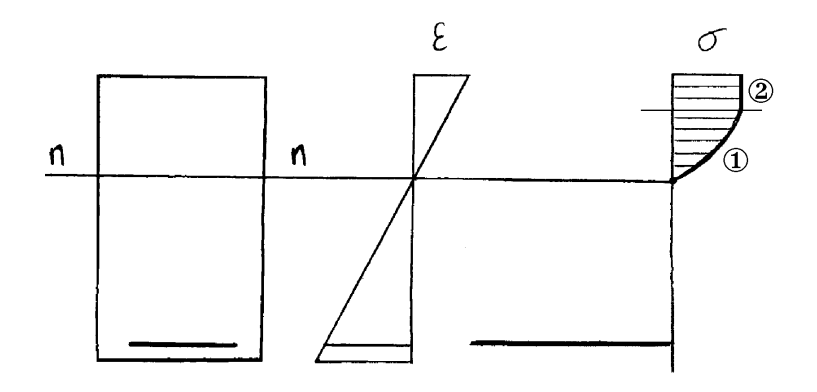
Inaltre, il legame tra la dilatazione & della generica fibra longitudinale e le carafteristiche della deformazione Eo e Kx risulta:

$$\xi = \xi_0 + k_x y .$$

Per es., nel caso del calcestruzzo armato si può utilizzare, come già detto, un diagramma  $\sigma$ -E parabolico nella parte elastica seguito da un tratto perfettamente plastico, per quel che riguarda il calcestruzzo compresso, mentre per le barre di armatura può essere scelto un diagramma bili= neare.



La distribuzione delle tensioni normali nel calcestruzzo compresso è quindi non lineare nella parte di calcestruzzo in fase elastica e costante nella parte in fase plastica.



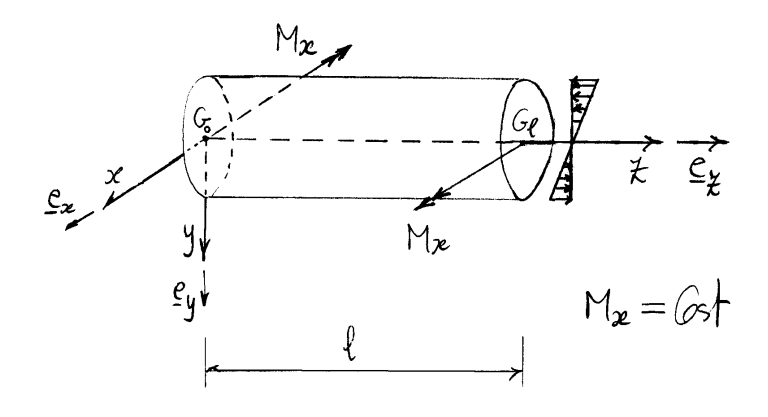
- (1) fase elastica non lineare
- 2 fase perfettamente plastica

 $\Diamond$   $\Diamond$   $\Diamond$ 

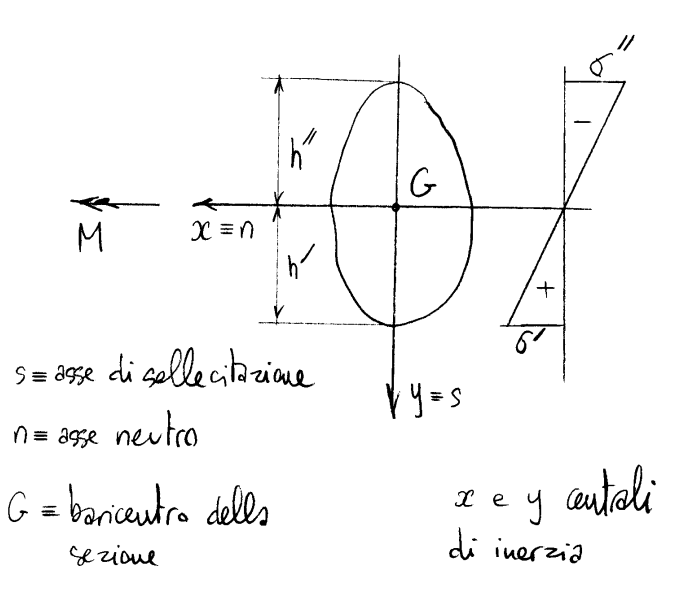
### Integrazione in un campo di spostamenti.

Si consideri ora un cilindro omogeneo soggetto al campo di tensioni sopra descritto. Si vuole mostrare nel seguito che tale campo di tensioni è integrabile in

un campo di spostamenti. A tale scopo si trasforma innanzitutto il campo di tensioni in un campo di deformazioni applicando la legge di Hooke inversa, per poi integrare il campo di deformazioni così ottenuto in un campo di spostamenti.



Il campo tensionale soluzione (isulta: 
$$\zeta_{\chi} = \frac{M_{\chi}}{J_{\chi}} y, \quad \zeta_{\chi \chi} = \zeta_{\chi \chi} = 0.$$



Tenendo conto che:

$$\underline{\varepsilon} = \frac{1}{E} \{ (1+\nu) \underline{\sigma} - \nu \operatorname{tr} \underline{\sigma} \mathbf{I} \},$$

e che in componenti risulta:

$$\begin{bmatrix} \underline{C} \end{bmatrix} = \frac{M_{xx}}{J_{xx}} \begin{bmatrix} 0 & 0 & 0 \\ 0 & 0 & 0 \\ 0 & 0 & y \end{bmatrix},$$

 $tr \underline{\sigma} = \sigma_{z}$ 

$$\begin{bmatrix} (tr \underline{\sigma})\underline{I} = \frac{M_z}{J_z} & y & 0 & 0 \\ 0 & y & 0 \\ 0 & 0 & y \end{bmatrix},$$

ne consegue il seguente tensore di deformazione infinitarina:

$$\left[\underline{\varepsilon}\right] = \frac{M_x}{EJ_x} \begin{bmatrix} -\nu y & 0 & 0 \\ 0 & -\nu y & 0 \\ 0 & 0 & y \end{bmatrix}.$$

Notore che &=0 per y =0 overoxia lungo l'asse neutro.

Ricordiamo che la rotazione rigida dell'intorna di un punto
e' appresentata dal tensore di rotazione w emisimmetrico
appure dal vettore rotazione y:

$$\begin{bmatrix} \underline{\omega} \end{bmatrix} = \begin{bmatrix} 0 - \omega_{yx} & \omega_{xz} \\ \omega_{yx} & 0 - \omega_{zy} \\ -\omega_{xz} & \omega_{zy} & 0 \end{bmatrix}, \qquad \{ \underline{\psi} \} = \begin{cases} \omega_{xy} \\ \omega_{xz} \\ \omega_{yx} \end{cases}.$$

Gradiente di ce:

$$\frac{\partial \omega_{ij}}{\partial x_{k}} = \frac{\partial \ell_{ik}}{\partial x_{j}} - \frac{\partial \ell_{jk}}{\partial x_{i}}.$$

Si noti che le componenti non nulle di  $\underline{\ell}$  sono  $\ell_{\alpha}$ ,  $\ell_{y}$ ,  $\ell_{\xi}$  e che queste dipendono solo da y. Ne consegue che per avere derivate diverse dallo zero occorre che  $x_{\hat{i}} = y$  oppure  $x_{\hat{i}} = y$ . Risulta:

$$\left[ \operatorname{grad} \varphi \right] = \frac{\operatorname{M}_{x}}{\operatorname{E} J_{x}} \left[ \begin{array}{ccc} 0 & 0 & 1 \\ 0 & 0 & 0 \\ \end{array} \right] \begin{array}{c} *y \\ x \notin \end{array},$$

e quindi:

$$\omega_{xy} = \frac{M_{x}}{EJ_{x}} ,$$

$$\omega_{xk} = O ,$$

$$\omega_{yx} = V \frac{M_{x}}{EJ_{x}} \chi ,$$

a meno di inessenziali rotazioni rigide complessive di tutto il cilindro.

In definitiva:

$$\left[ \underline{\omega} \right] = \frac{M_x}{EJ_x} \begin{bmatrix} 0 & -\nu x & 0 \\ \nu x & 0 & -\xi \\ 0 & \xi & 0 \end{bmatrix},$$

e quindi:

$$\left[ \operatorname{grad} \underline{u} \right] = \left[ \underline{\mathcal{E}} + \underline{\omega} \right] = \frac{M_{x}}{E J_{x}} \left[ \begin{array}{ccc} -\nu y & -\nu z & 0 \\ \nu x & -\nu y & -\frac{\chi}{z} \\ 0 & \frac{\chi}{z} & y \end{array} \right].$$

Integrando negli spostamenti si ottiene:

$$\begin{cases} \frac{\partial u}{\partial x} = -\nu \frac{M_x}{EJ_x} y \implies u = -\nu \frac{M_x}{EJ_x} x y + f(y, x) \\ \frac{\partial u}{\partial y} = -\nu \frac{M_x}{EJ_x} x \implies -\nu \frac{M_x}{EJ_x} x + \frac{\partial f}{\partial y} = -\nu \frac{M_x}{EJ_x} x \implies \frac{\partial f}{\partial y} = 0 \\ \frac{\partial u}{\partial x} = 0 \implies \frac{\partial f}{\partial x} = 0 \end{cases}$$

$$u = -\nu \frac{M_z}{EJ_x} xy + 6st$$

$$\begin{cases}
\frac{\partial v}{\partial x} = V \frac{M_x}{EJ_x} x \implies v = \frac{v}{2} \frac{M_x}{EJ_x} x^2 + f(y, \xi) \\
\frac{\partial v}{\partial y} = -v \frac{M_x}{EJ_x} y \implies \frac{\partial f}{\partial y} = -v \frac{M_x}{EJ_x} y \implies f = -\frac{v}{2} \frac{M_x}{EJ_x} y^2 + g(\xi) \\
\frac{\partial v}{\partial \xi} = -\frac{M_x}{EJ_x} \xi \implies \frac{dy}{d\xi} = -\frac{M_x}{EJ_x} \chi \implies y = -\frac{1}{2} \frac{M_x}{EJ_x} \chi^2
\end{cases}$$

$$\frac{\int v = \frac{M_x}{2EJ_x} \left\{ -\frac{\chi^2}{2} + V(x^2 - y^2) \right\} + 6x}{\left[ \frac{M_x}{2EJ_x} \right]} = \frac{\sqrt{M_x}}{2} \frac{M_x}{2} \frac{\sqrt{M_x}}{2} \frac{\sqrt{M_x}}{2} \frac{\sqrt{M_x}}{2} \frac{\sqrt{M_x}}{2} \frac{\sqrt{M$$

$$\begin{cases} \frac{\partial w}{\partial x} = () \implies w = w(y, \xi) \\ \frac{\partial w}{\partial y} = \frac{M_x}{EJ_x} \xi \implies w = \frac{M_x}{EJ_x} y \xi + f(\xi) \\ \frac{\partial w}{\partial \xi} = \frac{M_x}{EJ_x} y \implies \frac{M_x}{EJ_x} y + \frac{df}{d\xi} = \frac{M_x}{EJ_x} y \implies \frac{df}{d\xi} = 0 \end{cases}$$

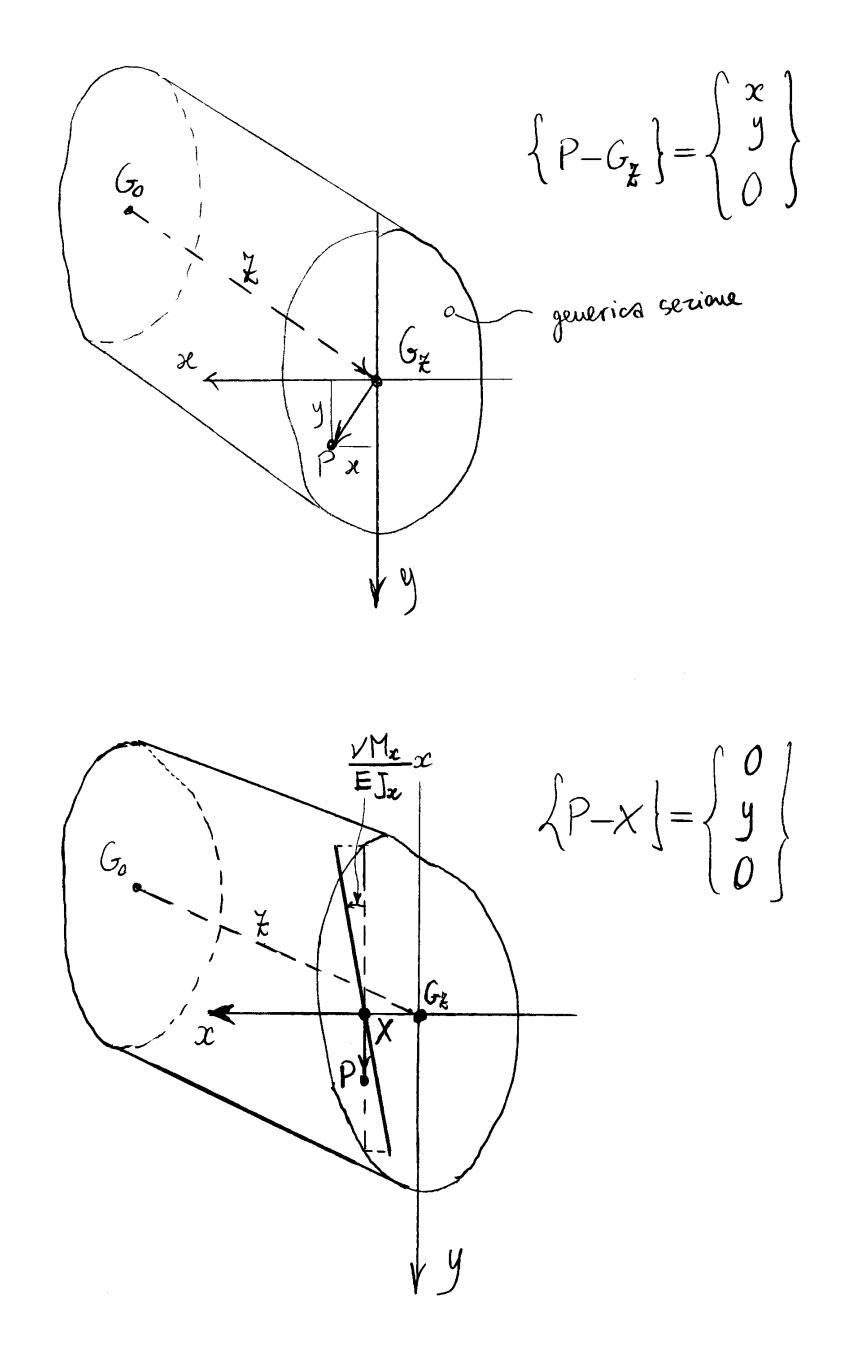
$$\boxed{w = \frac{M_x}{EJ_x} y \xi + Cost}$$

Quindi, à meno di un inessenziale moto rigido complexivo di traslazione, si officue il segvente campo continuo di spostamenti:

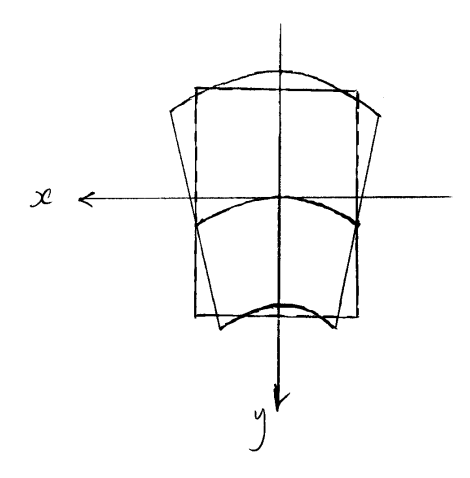
$$\begin{cases}
v = -\nu \frac{M_x}{EJ_x} xy \\
v = \frac{M_x}{2EJ_x} \left\{ -\xi^2 + \nu (x^2 - y^2) \right\} \\
w = \frac{M_x}{EJ_x} y \xi
\end{cases}$$

Separando i vari contributi, e' possibile scrivere tale campo di spostamenti in forma matriciale nel modo seguente:

$$\left\{ \begin{array}{l} \underline{U} \\ \underline{V} \\$$



# Deformazione della sezione nel proprio piano:



È possibile scrivere il compo di spostamenti, in forma vettoriale, nel mado segvente:

$$\underline{U} = -\frac{M_{x}}{2EJ_{x}} + \frac{M_{x}}{EJ_{x}} + \frac{M_{x}}{EJ_{x}} + \frac{e_{x} \times (P-G_{x})}{EJ_{x}}$$

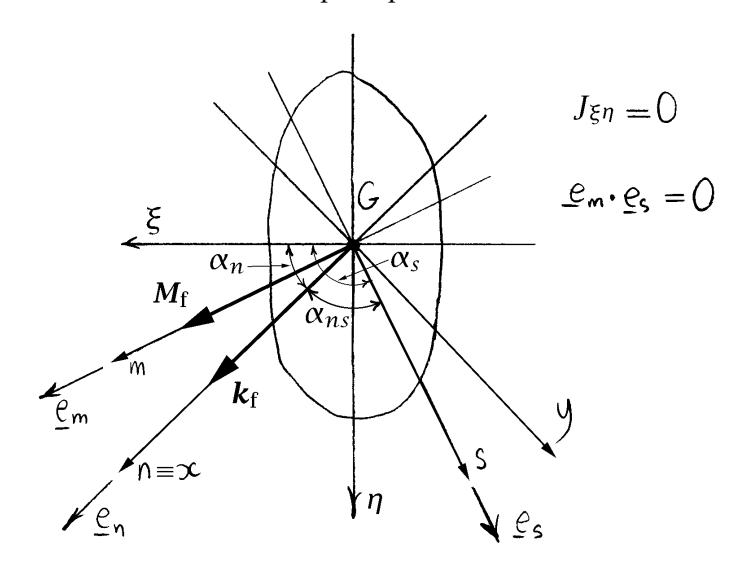
$$+ \frac{\nu}{2} \frac{M_{x}}{EJ_{x}} x^{2} \underline{e_{y}} + \nu \frac{M_{x}}{EJ_{x}} x \underline{e_{x}} \times (P-X)$$

$$- \frac{\nu}{2} \frac{M_{x}}{EJ_{x}} y^{2} \underline{e_{y}}$$

 $\diamond$   $\diamond$   $\diamond$ 

## 4.4 Flessione Deviata

Si ha flessione deviata quando la sezione è soggetta a solo momento flettente, di asse momento m non coincidente con un asse principale di inerzia. In tal caso l'asse neutro n e quello di sollecitazione s sono sempre distinti e mai ortogonali. Infatti sia  $\alpha_{ns}$  l'angolo compreso tra l'asse neutro n e quello di sollecitazione s. Se  $M_{\rm f}$  e  $k_{\rm f}$  sono rispettivamente il momento flettente e la curvatura flessionale, la condizione  $\alpha_{ns}=0$  è equivalente alla condizione  $M_{\rm f} \cdot k_{\rm f}=0$  e quindi, tenuto conto del legame costitutivo flessionale, alla condizione  $k_{\rm f} \cdot Jk_{\rm f}=0$ . Dato che il tensore di inerzia J è definito positivo ne risulta che è sempre  $\alpha_{ns}\neq 0$ . Inoltre non può che essere  $\alpha_{ns}\neq \frac{\pi}{2}$ , poiché se fosse  $\alpha_{ns}=\frac{\pi}{2}$  allora  $k_{\rm f}$  avrebbe la direzione di  $M_{\rm f}$  e l'asse momento m sarebbe principale d'inerzia.



Gli assi n e s, sempre distinti e mai ortogonali, sono detti *assi coniugati* e costituiscono un sistema Gns baricentrico di assi cartesiani non ortogonali detto *sistema coniugato*. Gli assi  $\xi$  e  $\eta$  baricentrici e principali centrali di inerzia costituiranno a loro volta un sistema  $G\xi\eta$  baricentrico ortogonale. Si considererà inoltre un secondo sistema ortogonale Gxy non principale di inerzia, strumentale per i calcoli nel sistema non ortogonale Gns, avente l'asse x coincidente con l'asse neutro n e quindi l'asse y con l'asse di flessione f.

## 4.4.1 Relazione tra asse neutro e asse di sollecitazione (coniugio)

Il momento flettente  $M_{\rm f}$  e la curvatura flessionale  $k_{\rm f}$  si possono scrivere nella forma:

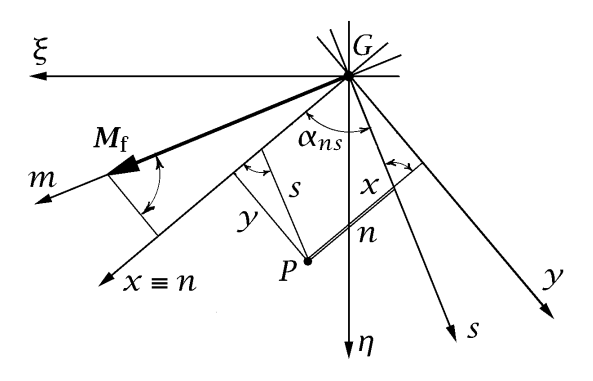
$$\mathbf{M}_{\mathrm{f}} = M\mathbf{e}_{m}, \qquad \mathbf{k}_{\mathrm{f}} = k\mathbf{e}_{n}. \tag{4.26}$$

Le componenti del momento flettente e della curvatura flessionale nel sistema non principale di inerzia Gxy risultano allora rispettivamente:

$$M_X = M \sin \alpha_{ns}, \qquad M_V = -M \cos \alpha_{ns}, \qquad (4.27)$$

e:

$$k_X = k, \qquad k_Y = 0.$$
 (4.28)



Valutando l'equazione costitutiva flessionale nel sistema non principale Gxy:

$$\begin{cases}
M \sin \alpha_{ns} \\
-M \cos \alpha_{ns}
\end{cases} = \begin{bmatrix}
J_x & -J_{xy} \\
-J_{xy} & J_y
\end{bmatrix} \begin{Bmatrix} k \\
0 \end{Bmatrix},$$
(4.29)

si ottiene allora:

$$M\sin\alpha_{ns} = J_x k, \qquad -M\cos\alpha_{ns} = -J_{xy} k. \tag{4.30}$$

Dal rapporto tra le (4.30) si ottiene la relazione definente l'angolo  $\alpha_{ns}$  tra asse neutro e asse di sollecitazione nel sistema non principale Gxy:

$$\tan \alpha_{ns} = \frac{J_x}{J_{xy}}. (4.31)$$

**Proprietà del coniugio.** L'asse n è l'asse neutro corrispondente all'asse di sollecitazione s se e solo se  $J_{ns} = 0$ .

*Dimostrazione.* Il generico punto P della sezione ha coordinate (x,y) e (n,s), rispettivamente nel sistema non principale Gxy e in quello coniugato Gns, che soddisfano le seguenti formule di trasformazione:

$$n = x - \frac{y}{\tan \alpha_{ns}}, \qquad s = \frac{y}{\sin \alpha_{ns}}.$$
 (4.32)

Il momento di inerzia  $J_{ns}$  rispetto agli assi n e s vale quindi:

$$J_{ns} = \int_{A} E ns \, dA = \int_{A} E \left( x - \frac{y}{\tan \alpha_{ns}} \right) \frac{y}{\sin \alpha_{ns}} \, dA$$
$$= \frac{1}{\sin \alpha_{ns}} \left( J_{xy} - \frac{J_{x}}{\tan \alpha_{ns}} \right), \quad (4.33)$$

da cui discende che  $J_{ns}=0$  è equivalente alla (4.31), come volevasi dimostrare.

È evidente da questo risultato che se s è coniugato di n, allora n è coniugato di s, cioè la relazione è reciproca. Inoltre è possibile estendere il concetto di rette coniugate anche a rette non baricentriche, richiedendo appunto che il loro momento centrifugo sia nullo. Ne consegue che le rette coniugate della retta baricentrica n individuano un fascio di rette parallele.

*Dimostrazione.* Infatti sia n una retta baricentrica e s la coniugata di n per G. Sia poi O' un punto di n e si considerino i due sistemi ortogonali Gxy e O'x'y' con gli assi x e x' coincidenti con n.

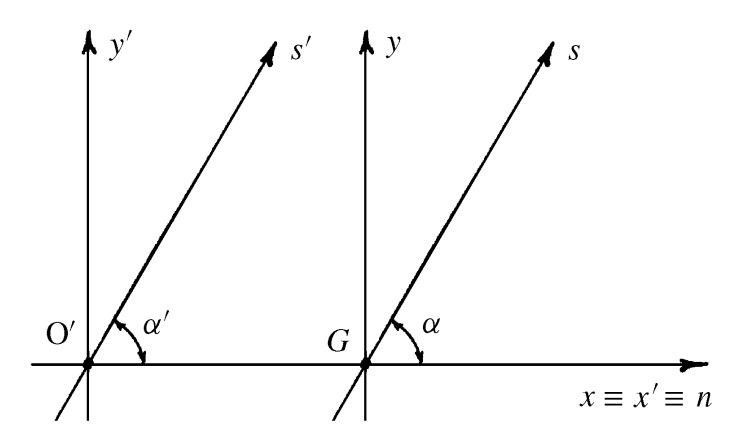
Dette  $\alpha$  e  $\alpha'$  le inclinazioni di s e s' rispetto ad n, con s' retta coniugata di n per O', risulta:

$$\tan \alpha = \frac{J_x}{J_{xy}} = \frac{J_{x'}}{J_{x'y'}} = \tan \alpha',$$

dato che il trasporto da  $J_{xy}$  a  $J_{x'y'}$  è nullo, come volevasi dimostrare.

**Legame costitutivo nel sistema coniugato.** Si consideri ora la formula di trasformazione tra i momenti di inerzia  $J_x$  e  $J_n$  rispetto all'asse neutro valutati con distanze rispettivamente ortogonali e in direzione dell'asse di sollecitazione s:

$$J_x = J_n \sin^2 \alpha_{ns}. \tag{4.34}$$



Utilizzando tale trasformazione, dalla prima delle (4.30) si ottiene il legame costitutivo nel sistema coniugato:

$$M = J_n k \sin \alpha_{ns}, \tag{4.35}$$

dove, per quanto detto,  $J_n = \int_A E s^2 dA$  è il momento di inerzia rispetto all'asse neutro valutato con le distanze prese in direzione dell'asse di sollecitazione s.

**Formula del coniugio.** Si consideri ora il sistema principale di inerzia  $G\xi\eta$ . Siano poi  $\alpha_n$  e  $\alpha_s$  gli angoli che determinano rispettivamente l'asse neutro n e l'asse di sollecitazione s nel sistema principale. L'angolo  $\alpha_{ns}$  compreso tra l'asse neutro n e quello di sollecitazione s vale allora:

$$\alpha_{ns} = \alpha_s - \alpha_n. \tag{4.36}$$

L'angolo  $\alpha_m$  che determina l'asse momento m nel sistema principale vale invece:

$$\alpha_m = \alpha_s - \frac{\pi}{2}.\tag{4.37}$$

Le componenti del momento flettente e della curvatura flessionale nel sistema principale di inerzia  $G\xi\eta$  risultano allora rispettivamente:

$$M_{\mathcal{E}} = M \sin \alpha_{\mathcal{S}}, \qquad M_{\mathcal{D}} = -M \cos \alpha_{\mathcal{S}}, \qquad (4.38)$$

e:

$$k_{\xi} = k \cos \alpha_n, \qquad k_n = k \sin \alpha_n.$$
 (4.39)

Valutando l'equazione costitutiva flessionale nel sistema principale di inerzia:

$$\begin{cases}
M_{\xi} \\
M_{\eta}
\end{cases} = \begin{bmatrix}
J_{\xi} & 0 \\
0 & J_{\eta}
\end{bmatrix} \begin{cases}
k_{\xi} \\
k_{\eta}
\end{cases},$$
(4.40)

si ottiene:

$$M_{\xi} = J_{\xi} k_{\xi}, \qquad M_{\eta} = J_{\eta} k_{\eta}. \tag{4.41}$$

Dal rapporto tra le (4.41), tenendo conto delle (4.38) e (4.39), discende la cosiddetta *formula del coniugio* tra gli angoli  $\alpha_n$  e  $\alpha_s$  che determinano rispettivamente la posizione dell'asse neutro e dell'asse di sollecitazione nel sistema principale di inerzia:

$$\tan \alpha_n \tan \alpha_s = -\frac{J_{\xi}}{J_{\eta}} = -\frac{\rho_{\xi}^2}{\rho_{\eta}^2}.$$
 (4.42)

Si noti che il segno negativo a secondo membro della (4.42) indica che gli angoli  $\alpha_n$  e  $\alpha_s$  hanno tangente di segno opposto. Da ciò consegue che le due direzioni coniugate appartengono a quadranti diversi tra quelli individuati dalle direzioni principali.

#### 4.4.2 Tensioni normali

Per valutare la tensione normale  $\sigma_z$  nel sistema obliquo Gns, si utilizza il sistema ortogonale Gxy, grazie al quale, tenendo conto che  $\epsilon=0$ , si ottiene:<sup>4</sup>

$$\sigma_z \mathbf{e}_z = E \mathbf{k}_f \times (P - G) = E k \mathbf{e}_x \times (x \mathbf{e}_x + y \mathbf{e}_y) = E k y \mathbf{e}_x \times \mathbf{e}_y.$$
 (4.43)

Dalla (4.43), con l'ausilio della (4.35), si ha poi:

$$\sigma_z = E \frac{M}{J_n} \frac{y}{\sin \alpha_{ns}},\tag{4.44}$$

e per via della seconda delle (4.32), si ha infine la *formula monomia della flessione deviata*:

$$\sigma_z = E \frac{M}{J_n} s. (4.45)$$

<sup>&</sup>lt;sup>4</sup>Cfr. la (4.1), p. 105.

Valutando la tensione normale  $\sigma_z$  nel sistema principale di inerzia, si ottiene invece:

$$\sigma_{z}\boldsymbol{e}_{z} = E\boldsymbol{k}_{f} \times (P - G) = E \begin{bmatrix} \boldsymbol{e}_{\xi} & \boldsymbol{e}_{\eta} & \boldsymbol{e}_{z} \\ k_{\xi} & k_{\eta} & 0 \\ \xi & \eta & 0 \end{bmatrix} = E \left( k_{\xi}\eta - k_{\eta}\xi \right) \boldsymbol{e}_{z}. \tag{4.46}$$

Utilizzando le (4.41) si ottiene infine la seguente *formula binomia della flessione deviata*:

$$\sigma_{z} = E \frac{M_{\xi}}{J_{\xi}} \eta - E \frac{M_{\eta}}{J_{\eta}} \xi, \tag{4.47}$$

dove  $J_{\xi}$  e  $J_{\eta}$  sono i momenti principali. La (4.47) è equivalente alla sovrapposizione di due flessioni rette, una secondo l'asse  $\xi$  e l'altra secondo l'asse  $\eta$ . Il segno negativo del secondo addendo dipende dal fatto che invertendo l'ordine degli assi  $\xi$  e  $\eta$ , la coppia di assi diventa sinistra. D'altronde un momento  $M_{\eta}$  positivo tende le fibre dalla parte delle  $\xi$  negative. Con l'ausilio delle (4.38) la (4.47) si può anche scrivere nella forma:

$$\sigma_z = EM\left(\frac{\sin\alpha_s}{J_{\xi}}\eta + \frac{\cos\alpha_s}{J_{\eta}}\xi\right) \tag{4.48}$$

Annullando la (4.47) oppure la (4.48) si ottiene l'equazione dell'asse neutro:

$$\frac{M_{\xi}}{J_{\xi}}\eta - \frac{M_{\eta}}{J_{\eta}}\xi = 0, \quad \text{oppure} \quad \frac{\sin \alpha_{s}}{J_{\xi}}\eta + \frac{\cos \alpha_{s}}{J_{\eta}}\xi = 0. \quad (4.49)$$

Dal confronto con la formula monomia (4.45) si ottiene l'identità:

$$\frac{s}{J_n} = \frac{\sin \alpha_s}{J_{\xi}} \eta + \frac{\cos \alpha_s}{J_{\eta}} \xi. \tag{4.50}$$

In un punto *P* appartenente all'asse di sollecitazione risulta:

$$\xi = s \cos \alpha_s, \qquad \eta = s \sin \alpha_s, \qquad (4.51)$$

e sostituendo nella (4.50) si ha infine:

$$\frac{1}{J_n} = \frac{\cos^2 \alpha_s}{J_n} + \frac{\sin^2 \alpha_s}{J_{\varepsilon}},\tag{4.52}$$

relazione che permette il calcolo del momento di inerzia  $J_n$  nel sistema principale. Alternativamente si possono utilizzare le formule di rotazione

che forniscono il momento di inerzia  $J_x$  rispetto all'asse neutro valutato con distanze ortogonali:

$$J_{x} = J_{\xi} \cos^{2} \alpha_{n} + J_{\eta} \sin^{2} \alpha_{n}, \qquad (4.53)$$

dove  $\alpha_n$  è l'angolo che determina l'asse neutro n nel sistema principale. Il momento di inerzia  $J_n$  rispetto all'asse neutro valutato con distanze in direzione dell'asse di sollecitazione s, tenendo conto della (4.34) e della (4.36), vale allora:

$$J_n = \frac{J_{\xi} \cos^2 \alpha_n + J_{\eta} \sin^2 \alpha_n}{\sin^2 (\alpha_s - \alpha_n)},$$
(4.54)

dove  $\alpha_s$  è l'angolo che determina l'asse di sollecitazione s nel sistema principale. Si consideri poi che tra le coordinate  $(\xi, \eta)$  principali e quelle (x, y) nel sistema non principale Gxy vale la seguente formula di trasformazione:

$$y = \eta \cos \alpha_n - \xi \sin \alpha_n. \tag{4.55}$$

Tenendo allora conto della seconda delle (4.32) e della (4.36) si ottiene la coordinata s nel sistema coniugato Gns:

$$s = \frac{\eta \cos \alpha_n - \xi \sin \alpha_n}{\sin (\alpha_s - \alpha_n)}.$$
 (4.56)

$$\Diamond$$
  $\Diamond$   $\Diamond$ 

La (4.52) può anche essere ottenuta a partire dalla (4.54), utilizzando la formula di coniugio (4.42) nella forma:

$$\frac{J_{\xi}}{J_{\eta}} = -\frac{\sin \alpha_n \sin \alpha_s}{\cos \alpha_n \cos \alpha_s},\tag{4.57}$$

e la relazione trigonometrica:

$$\sin(\alpha_s - \alpha_n) = \sin\alpha_s \cos\alpha_n - \cos\alpha_s \sin\alpha_n. \tag{4.58}$$

Si ottiene infatti:

$$J_n \left( \frac{\cos^2 \alpha_s}{J_\eta} + \frac{\sin^2 \alpha_s}{J_\xi} \right)$$

$$= \frac{1}{\sin^2 (\alpha_s - \alpha_n)} \left( \frac{J_\xi}{J_\eta} \cos^2 \alpha_n \cos^2 \alpha_s + \sin^2 \alpha_n \cos^2 \alpha_s \right)$$

$$+\cos^{2}\alpha_{n}\sin^{2}\alpha_{s} + \frac{J_{\eta}}{J_{\xi}}\sin^{2}\alpha_{n}\sin^{2}\alpha_{s}$$

$$= \frac{1}{\sin^{2}(\alpha_{s} - \alpha_{n})} \left( -\sin\alpha_{n}\sin\alpha_{s}\cos\alpha_{n}\cos\alpha_{s} + \sin^{2}\alpha_{n}\cos^{2}\alpha_{s} + \cos^{2}\alpha_{n}\sin^{2}\alpha_{s} - \sin\alpha_{n}\sin\alpha_{s}\cos\alpha_{n}\cos\alpha_{s} + \sin^{2}\alpha_{n}\cos^{2}\alpha_{s} + \cos^{2}\alpha_{n}\sin^{2}\alpha_{s} - \sin\alpha_{n}\sin\alpha_{s}\cos\alpha_{n}\cos\alpha_{s} \right)$$

$$= \frac{1}{\sin^{2}(\alpha_{s} - \alpha_{n})} \left\{ -\cos\alpha_{s}\sin\alpha_{n} \left( \sin\alpha_{s}\cos\alpha_{n} - \cos\alpha_{s}\sin\alpha_{n} \right) + \sin\alpha_{s}\cos\alpha_{n} \left( \sin\alpha_{s}\cos\alpha_{n} - \cos\alpha_{s}\sin\alpha_{n} \right) \right\}$$

$$= \frac{\sin^{2}(\alpha_{s} - \alpha_{n})}{\sin^{2}(\alpha_{s} - \alpha_{n})} = 1, \quad (4.59)$$

e ne risulta allora la (4.52).

 $\diamond$   $\diamond$   $\diamond$ 

## 4.4.3 Sezioni omogenee

Nel caso di sezione omogenea la formula binomia (4.47), valida nel sistema principale  $G\xi\eta$ , si scrive:

$$\sigma_z = \frac{M_{\xi}}{J_{\xi}} \eta - \frac{M_{\eta}}{J_{\eta}} \xi,\tag{4.60}$$

dove ora è sottinteso che  $J_{\xi} = \int_A \eta^2 \, dA$  e  $J_{\eta} = \int_A \xi^2 \, dA$  sono i momenti di inerzia principali della sola area, ovverossia calcolati a meno del modulo di Young. L'equazione (4.60) è lineare in  $\xi$  e  $\eta$ . Nel caso di sezione composta da più materiali, quindi omogenea a tratti, la tensione normale è invece lineare solo limitatamente alle aree dei vari materiali.

Ancora nel caso di sezione omogenea, valida nel sistema coniugato *Gns*, la formula monomia (4.45) si scrive:

$$\sigma_z = \frac{M}{J_n} s,\tag{4.61}$$

avendo sottinteso che  $J_n=\int_A s^2\,\mathrm{d}A$  è il momento di inerzia rispetto all'asse neutro della sola area, quindi calcolato a meno del modulo di Young. Dalla (4.61) consegue immediatamente che le tensioni normali, che si annullano sull'asse neutro, sono costanti su linee parallele all'asse neutro, linee di equazioni  $s=\cos t$ .

Si usa disegnare il diagramma delle tensioni normali prendendo quale fondamentale una parallela all'asse di sollecitazione e mandando le parallele all'asse neutro. Le rette radenti la sezione parallele all'asse neutro individuano i punti dove le tensioni normali sono massime e minime, mentre l'asse neutro individua i punti dove le tensioni sono nulle.

Il segno del momento stabilisce da quale parte rispetto all'asse neutro le tensioni normali sono positive. Nella figura e' illustrato il caso di una sezione a doppio T. Data la doppia simmetria le tensioni normali massime e minime hanno lo stesso modulo e valgono:

$$G_{\chi \text{ max}} = \frac{M_{\chi}}{J_{\chi}} \frac{H}{2} + \frac{M_{y}}{J_{y}} \frac{B}{2} = \frac{M_{\chi}}{W_{\chi}} + \frac{M_{y}}{W_{y}},$$

$$G_{\chi \text{ min}} = -\frac{M_{\chi}}{J_{\chi}} \frac{H}{2} - \frac{M_{y}}{J_{y}} \frac{B}{2} = -\frac{M_{\chi}}{W_{\chi}} - \frac{M_{y}}{W_{y}}.$$

Se la sezione e in acciaio, avente uguele snervamento a trazione e compressione, la condizione che assicura alla tensione di essere interna al dominio di elasticità si scrive:

$$\frac{|M_{x}|}{|W_{x}|} + \frac{|M_{y}|}{|W_{y}|} \leq 6_{s}$$

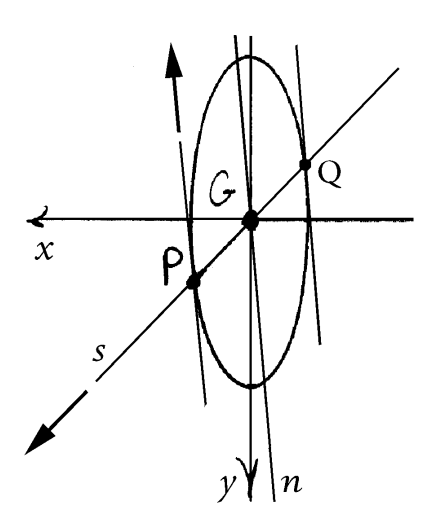
$$\frac{|M_{x}|}{|Q_{x}|} + \frac{|M_{y}|}{|Q_{x}|} + \frac{|M_{y}|}{|$$

## 4.4.4 Proprietà dell'ellisse centrale di inerzia

L'ellisse centrale d'inerzia, di cui al par. 3.3.3 alla p. 86, racchiude in sé le proprietà di coniugio e inerziali delle rette baricentriche, proprietà che sono alla base, come visto, dello studio della flessione nelle travi. Nel seguito l'unico sistema di riferimento utilizzato è quello principale di inerzia che per semplicità sarà indicato con Gxy.

**Proprietà delle tangenti.** La direzione n, coniugata di una retta s che interseca l'ellisse nei punti P e Q, è fornita dalle tangenti all'ellisse negli stessi punti P e Q (che, per la simmetria dell'ellisse rispetto ai propri assi, sono parallele tra loro).

*Dimostrazione.* Infatti, siano  $\mathbf{e}_s$  e  $\mathbf{e}_n$  i versori rispettivamente della direzione orientata del vettore P-G e della tangente all'ellisse nel punto P. Derivando l'equazione dell'ellisse rispetto alla coordinata lunghezza d'arco



definita a partire da un punto arbitrario dell'ellisse, si ottiene allora:

$$2\mathcal{M}\overline{PG}\,\boldsymbol{e}_{s}\cdot\left(\mathfrak{I}^{-1}\,\boldsymbol{e}_{n}\right)=0,\tag{4.62}$$

avendo tenuto conto della simmetria del tensore di Eulero  $\mathfrak{I}$ , del fatto che la derivata del punto uguaglia il versore  $\boldsymbol{e}_n$  e avendo indicato con  $\mathcal{M}$  la

massa totale e con  $\overline{PG}$  il modulo del vettore P-G. Se  $\alpha_n$  e  $\alpha_s$  sono gli angoli che individuano, nel sistema principale di inerzia Gxy, le direzioni orientate dei versori  $e_n$  e  $e_s$  rispettivamente, la rappresentazione algebrica della (4.62) nel sistema principale si scrive:

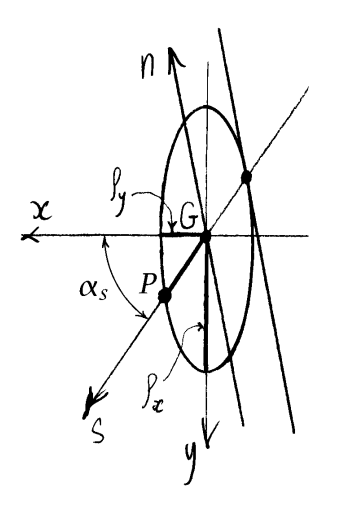
$$\begin{bmatrix} \cos \alpha_s & \sin \alpha_s \end{bmatrix} \begin{bmatrix} \frac{1}{J_y} & 0 \\ 0 & \frac{1}{J_x} \end{bmatrix} \begin{bmatrix} \cos \alpha_n \\ \sin \alpha_n \end{bmatrix} = 0.$$
 (4.63)

Lo sviluppo della (4.63) conduce alla relazione di coniugio:

$$\tan \alpha_n \tan \alpha_s = -\frac{J_x}{J_y},\tag{4.64}$$

come volevasi dimostrare.

**Proprietà dei semidiametri.** Il generico semidiametro dell'ellisse, individuato dal generico punto P, ha quale valore il raggio di inerzia  $\rho_n$  relativo all'asse n coniugato dell'asse n contenente il semidiametro stesso, raggio di inerzia calcolato con distanze valutate in direzione n.



lisse nel sistema principale di inerzia Gxy si scrive:

$$\mathcal{M}\overline{PG}^{2}\left[\cos\alpha_{s} \quad \sin\alpha_{s}\right]\begin{bmatrix} \frac{1}{J_{y}} & 0\\ 0 & \frac{1}{J_{x}} \end{bmatrix}\begin{bmatrix} \cos\alpha_{s}\\ \sin\alpha_{s} \end{bmatrix} = 1. \tag{4.65}$$

Lo sviluppo della (4.65) conduce alla relazione:

$$\overline{PG}^2 \left( \frac{\cos^2 \alpha_s}{\rho_y^2} + \frac{\sin^2 \alpha_s}{\rho_x^2} \right) = 1. \tag{4.66}$$

Tenendo conto che moltiplicando la (4.52) per la massa totale  $\mathcal{M}$ , nell'attuale contesto in cui il sistema principale è indicato con Gxy, risulta:

$$\frac{1}{\rho_n^2} = \frac{\cos^2 \alpha_s}{\rho_y^2} + \frac{\sin^2 \alpha_s}{\rho_x^2},\tag{4.67}$$

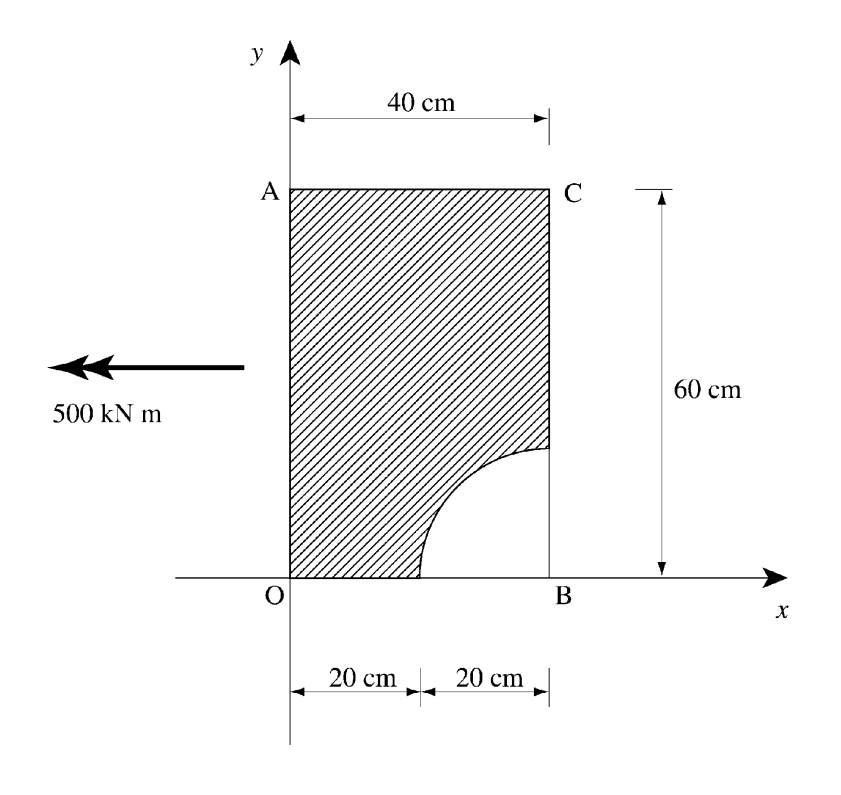
dalla (4.66) si ottiene:

$$\overline{PG}^2 = \rho_n^2, \tag{4.68}$$

come volevasi dimostrare.

## 4.4.5 Sezione rettangolare con un intaglio

Si consideri la seguente sezione rettangolare con un intaglio in forma di settore circolare, già in precedenza risolta per quel che riguarda le sue proprieta inerziali. Si supponga agente una coppia flettente di 500 KNm di asse momento orizzontale.

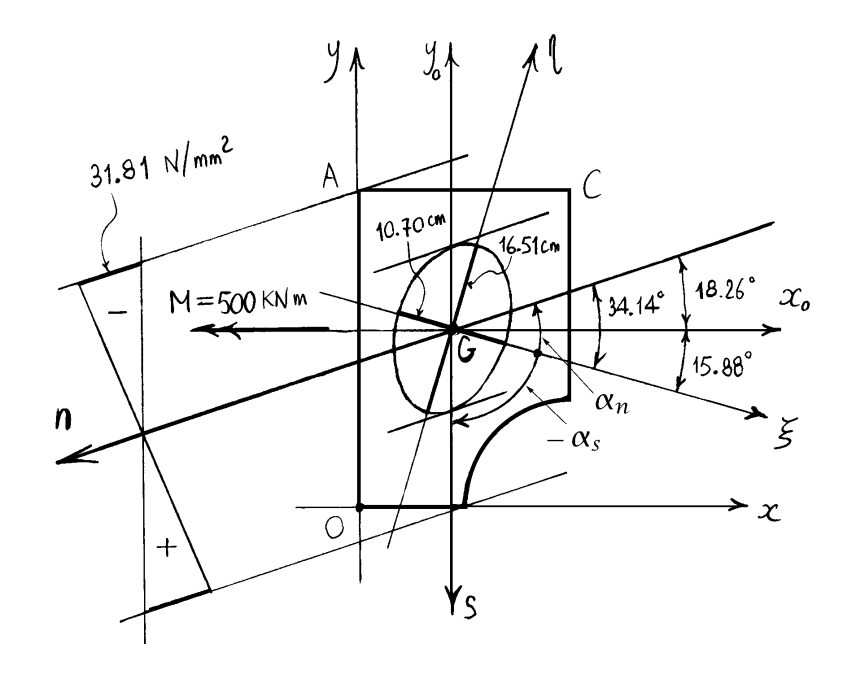


Poiche le direzioni principali sono inclinate rispetto alla orizzontale, la flessione e deviata.

L'asse di solleutazione e' verticale e la sua incli= nazione α<sub>s</sub> rispetto alla direzione principale ξ vale:

$$\alpha_s = -(90^{\circ} - \xi x_{\circ}) = -74.12^{\circ},$$

essendo  $\tilde{x}_{o} = 15.88^{\circ}$ . L'inclinazione  $\alpha_{n}$  dell'asse neutro si ottiene allora applicando la formula di coniugio:



$$\tan \alpha_n \tan \alpha_s = -\frac{J\xi}{J_\eta}$$
  $\Longrightarrow$   $\alpha_n = 34.14^{\circ}$ .

avendo territo conto che:

$$\begin{cases}
J_{\xi} = 568660 \text{ cm}^4 \\
J_{1} = 238600 \text{ cm}^4
\end{cases}$$

Le componenti della coppia flettente nel riferimento principale valgono:

$$\begin{cases} M_{\xi} = -M \cos \hat{\xi} x_{o} = -480.91 \text{ KNm} \\ M_{\eta} = -M \sin \hat{\xi} x_{o} = -136.83 \text{ KNm} \end{cases}$$

L'equazione della tensione normale si puo scrivere nella forma:

$$\sigma_{\xi} = \frac{M_{\xi}}{J_{\xi}} \left( - \frac{M_{\xi}}{J_{\eta}} \xi \right).$$

Uguagliando a zero si ottiene l'equazione dell'asse neutro e indi, in accordo con la formula di comiugio:

$$tan \alpha_n = \frac{M_0}{M_3} \frac{J_3}{J_0} \implies \alpha_n = 34.14^\circ$$

avendo tenuto conto che se il punto di coordinate  $(\xi, \eta)$  sta sull'asse neutro allora  $\frac{\eta}{\xi} = \tan \alpha_n$ .

Il punto con la massima tensione di compressione è il punto A, di coordinate:

$$\begin{cases} x_{\rm A} = 0 \\ y_{\rm A} = 60 \text{ cm} \end{cases}$$

nel sistema di coordinate Oxy. Ricordando che le coordinate del baricentro, sempre nel sistema Oxy, valgono:

$$\begin{cases} x_G = 18.27 \text{ cm} \\ y_G = 33.24 \text{ cm} \end{cases}$$

si ottengono immediatamente per traslazione le coordinate del punto A nel sistema baricentrico  $Gx_0y_0$ :

$$\begin{cases} x_{0A} = x_A - x_G = -18.27 \text{ cm} \\ y_{0A} = y_A - y_G = 27.76 \text{ cm} \end{cases}$$

Per determinare le coordinate del punto A nel sistema principale baricentrico si consideri il vettore  $\mathbf{A}-G$  di componenti:

$$\{A - G\} = \begin{cases} x_{0A} \\ y_{0A} \end{cases} = \begin{cases} -18.27 \text{ cm} \\ 27.76 \text{ cm} \end{cases},$$

rispetto alla base  $e_i$  associata al sistema  $Gx_0y_0$ . Detta  $e_i^*$  la base associata al sistema principale  $G\xi\eta$  risulta:

$$e_i^* = R_{\alpha_{\mathcal{E}}}e_i$$

dove  $\mathbf{R}_{\alpha_{\xi}}$  è la rotazione di  $\alpha_{\xi}=-15.88^{\circ}$  dal sistema  $Gx_{0}y_{0}$  a quello principale  $G\xi\eta$ . Si ha allora:

$$(\mathbf{A} - G) \cdot \boldsymbol{e}_{i}^{*} = (\mathbf{A} - G) \cdot (\boldsymbol{R}_{\alpha_{\xi}} \boldsymbol{e}_{i}) = \{\boldsymbol{R}_{\alpha_{\xi}}^{\mathsf{T}} (\mathbf{A} - G)\} \cdot \boldsymbol{e}_{i},$$

e le coordinate di A-G nel sistema principale coincidono, come già si sapeva, con quelle di  $\mathbf{R}_{\alpha_{\mathbb{F}}}^{T}(A-G)$  nel sistema  $Gx_{0}y_{0}$ .

La matrice rotazione  $R_{\alpha\xi}$  del sistema  $Gx_0y_0$  al sistema  $Gx_1y_0$  vale:

$$\underline{\underline{R}}_{\alpha_{\xi}} = \begin{bmatrix} \cos \alpha_{\xi} & -\sin \alpha_{\xi} \\ \sin \alpha_{\xi} & \cos \alpha_{\xi} \end{bmatrix} = \begin{bmatrix} 0.9618 & 0.2737 \\ -0.2737 & 0.9618 \end{bmatrix}.$$

e dunque le coordinate (3A, lA) valgono:

$$\begin{cases}
\xi_{A} \\
\eta_{A}
\end{cases} = \begin{bmatrix}
0.9618 - 0.2737 \\
0.2737 & 0.9618
\end{bmatrix} \begin{cases}
-18.27 \text{ cm} \\
27.76 \text{ cm}
\end{cases} = \begin{cases}
-24.89 \text{ cm} \\
20.74 \text{ cm}
\end{cases},$$

La teusione of vale infine:

$$\sigma_{A} = \frac{M_{\xi}}{J_{\xi}} \eta_{A} - \frac{M_{\eta}}{J_{\eta}} \xi_{A} = -31.81 \text{ N/mm}^{2}$$

Se si vuole invece applicare la formula monomia occorre calcolare il momento di inerzia Jn rispetto all'as= se neutro. Utilizzando le formule di rotazione si ot= tiene:

$$J_n = \frac{J_{\xi} \cos^2 \alpha_n + J_{\eta} \sin^2 \alpha_n}{\sin^2 \hat{ns}} = 515280 \text{ cm}^4$$

con  $\alpha_n = 34.14^\circ$  e dove si è tenuto conto che la for= nula di rotazione fornisce il momento di inerzia valutato con distanze ortogonali mentre nella formula mono= mia interviene il momento di inerzia valutato con di= stanze nella direzione dell'asse di sollecitazione. L'an= golo n̂s tra asse di sollecitazione e asse neutro vale:

$$\hat{ns} = (90^{\circ} - \hat{x_o}n) = 71.74^{\circ},$$

essendo:

$$x_o \hat{\mathbf{n}} = \hat{\xi} \hat{\mathbf{n}} - \hat{\xi} \hat{x}_o = 34.14^\circ - 15.88^\circ = 18.26^\circ$$
.

La coordinata di A in direzione s nel sistema Gns vale:

$$s_A = -(60 cm - y_G) - x_G tan x_o n = -32.79 cm.$$

Risulta guindi:

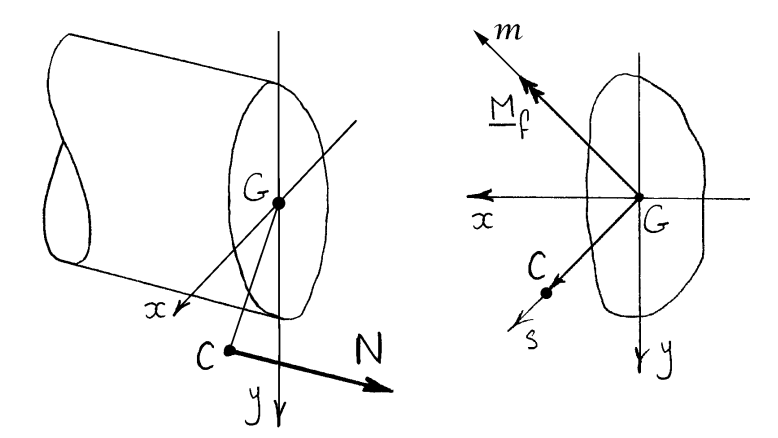
$$\sigma_{A} = \frac{M}{J_{n}} S_{A} = -\frac{5 \times 10^{8} \,\text{N mm}}{5.1528 \times 10^{9} \,\text{mm}^{4}} 327.9 \,\text{mm} =$$

$$= -31.81 \,\text{N/mm}^{2},$$

in accordo con il risultato della formula binomia.

#### 4.5 Forza normale eccentrica

Si ha *forza normale eccentrica* quando la sezione è soggetta ad una forza normale N con retta d'azione non baricentrica. Si ricorda che il punto C intersezione tra sezione e retta d'azione è detto *centro di sollecitazione*.



La forza normale eccentrica si compone della somma di una forza normale centrata di uguale valore N e di una flessione, in generale deviata, dovuta al momento  $M_f$  di N rispetto al baricentro:

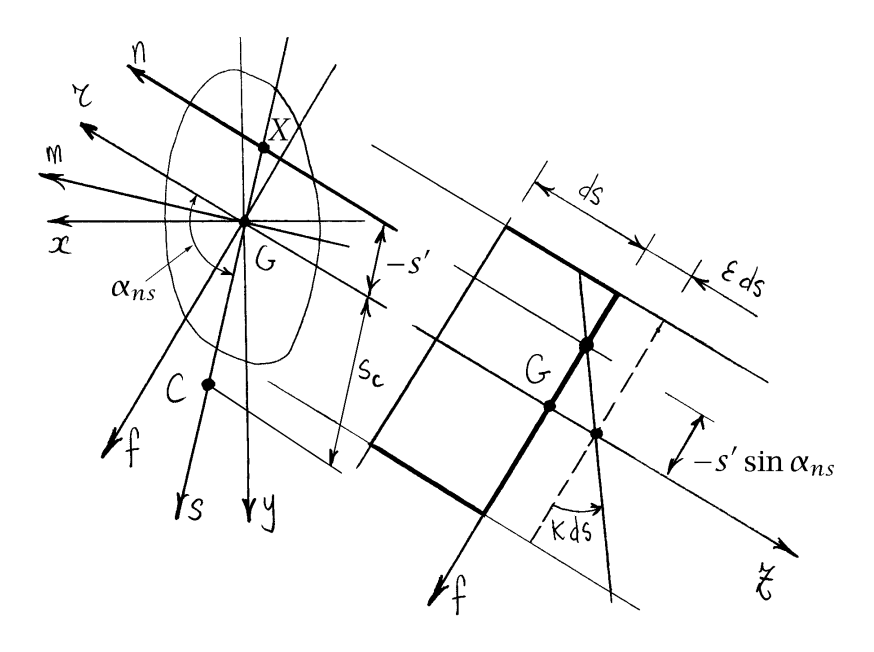
$$\mathbf{M}_{\mathrm{f}} = M\mathbf{e}_{m} = (C - G) \times N\mathbf{e}_{z},\tag{4.69}$$

dove  $e_z$  è il versore normale alla sezione retta e m quello dell'asse momento. Dalla (4.69) risulta che  $M_{\rm f}$  è ortogonale al vettore C-G, il che comporta che la direzione di tale vettore individua l'asse s di sollecitazione della flessione dovuta alla forza normale eccentrica. L'asse coniugato di s, cioè l'asse neutro della flessione associata alla forza normale eccentrica, nel presente contesto sarà indicato con il simbolo r.

#### 4.5.1 Asse neutro

Si assume come riferimento il sistema baricentrico coniugato non ortogonale *Grs* definito dalla flessione associata alla forza normale eccentrica. La trasformazione rigida relativa di una sezione retta vicina a quella considerata si compone di una traslazione nella direzione ortogonale z di ampiezza  $\epsilon$  ds, con  $\epsilon$  dilatazione della linea d'asse baricentrica, e di una rotazione  $k_f$  ds attorno all'asse neutro r baricentrico della flessione associata alla forza normale eccentrica:

$$\mathbf{k}_{\mathbf{f}} = k\mathbf{e}_{r}.\tag{4.70}$$



La dilatazione della fibra longitudinale per il generico punto P della sezione vale allora:

$$\epsilon_P = \epsilon + k \left( s \sin \alpha_{ns} \right), \tag{4.71}$$

dove  $s \sin \alpha_{ns}$  è la coordinata f del punto P nel sistema ortogonale Grf individuato dall'asse neutro della flessione associata alla forza normale eccentrica. La (4.71) si annulla nei punti di una retta n di equazione:

$$s = -\frac{\epsilon}{k \sin \alpha_{ns}},\tag{4.72}$$

che assume quindi il significato di *asse neutro della forza normale eccentrica*. Si noti che tale asse risulta essere parallelo all'asse neutro r della

flessione associata alla forza normale eccentrica. Si noti anche che globalmente la sezione ruota di k ds attorno a tale asse. Inoltre l'intersezione X tra asse neutro n e asse di sollecitazione s è individuata, sull'asse di sollecitazione, dalla coordinata s' che per la (4.72) vale:

$$s' = -\frac{\epsilon}{k \sin \alpha_{ns}}. (4.73)$$

Da quanto detto e se si assume quale riferimento il sistema non ortogonale Xns, consegue che:

$$\epsilon_P = k \left( s \sin \alpha_{ns} \right). \tag{4.74}$$

Si faccia attenzione al fatto che ora s indica la coordinata del generico punto P ancora in direzione dell'asse di sollecitazione ma nel sistema non ortogonale Xns.

Valutando la relazione (4.69) nel sistema ortogonale *Gms*:

$$M\boldsymbol{e}_{m} = \begin{bmatrix} \boldsymbol{e}_{m} & \boldsymbol{e}_{s} & \boldsymbol{e}_{z} \\ 0 & s_{C} & 0 \\ 0 & 0 & N \end{bmatrix}, \tag{4.75}$$

si ottiene:

$$M = Ns_C, (4.76)$$

dove  $s_C$  è la coordinata del centro di sollecitazione C sia nel sistema ortogonale Gms che nel sistema coniugato Grs. Dai legami costitutivi assiale e flessionale, tenendo anche conto della (4.76), si ottiene:

$$\epsilon = \frac{N}{\mathcal{M}}, \qquad k = \frac{M}{J_r \sin \alpha_{ns}} = \frac{N}{\mathcal{M}} \frac{s_C}{\rho_r^2 \sin \alpha_{ns}},$$
 (4.77)

dove  $\mathcal{M}$  è la massa totale della sezione retta e  $J_r = \int_A E s^2 \, \mathrm{d}A$  il momento di inerzia rispetto all'asse r con distanze valutate nella direzione coniugata s. Inserendo le (4.77) nella (4.73) si ottiene infine l'intersezione tra asse neutro e asse di sollecitazione nella forma:

$$s' = -\frac{\rho_r^2}{s_C}.\tag{4.78}$$

Si noti che il segno negativo a secondo membro dell'uguaglianza significa che il centro di sollecitazione e l'asse neutro sono da parte opposta rispetto al baricentro.

#### 4.5.2 Tensione normale

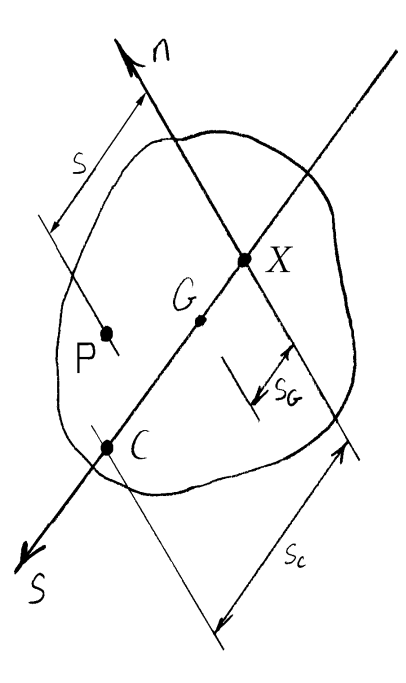
Nel generico punto P della sezione retta la tensione normale risulta  $\sigma_z = E\epsilon_P$ . Dalle (4.71) e (4.77) si ottiene allora la seguente *formula binomia della forza normale eccentrica*, valida nel sistema Grs:

$$\sigma_z = E\left(\frac{N}{\mathcal{M}} + \frac{M}{I_r}s\right). \tag{4.79}$$

Dalla (4.74), valida nel sistema Xns, si ottiene invece:

$$\sigma_z = E(k \sin \alpha_{ns}) s. \tag{4.80}$$

Detta  $\sigma_z^r$  la tensione normale in corrispondenza dell'asse neutro r della



flessione associata alla forza normale eccentrica, asse definito da s = 0 nel sistema Grs e da  $s = s_G$  nel sistema Xns, si ha, come si evince dalla (4.79):

$$\sigma_z^r = E \frac{N}{M}. (4.81)$$

Valutando allora la (4.80), valida nel sistema Xns, per  $s = s_G$  e ricordando il teorema di Varignon, si ottiene:

$$k\sin\alpha_{ns} = \frac{N}{\mathcal{M}s_G} = \frac{N}{S_n},\tag{4.82}$$

dove  $S_n = \int_A Es \, dA$  rappresenta il momento statico rispetto all'asse neutro n della forza normale eccentrica, con distanze valutate nella direzione coniugata s. Inserendo la (4.82) nella (4.80) si ottiene infine la seguente formula monomia della forza normale eccentrica, valida nel sistema Xns:

$$\sigma_Z = E \frac{N}{S_n} s. \tag{4.83}$$

Alla relazione (4.83) si arriva più semplicemente imponendo che la tensione normale sia proporzionale alla forza normale N applicata, alla distanza s dall'asse neutro e al modulo di Young:

$$\sigma_z = aENs, \tag{4.84}$$

e che inoltre valga  $EN/\mathcal{M}$  in corrispondenza di un punto P posto sull'asse baricentrico parallelo all'asse neutro:

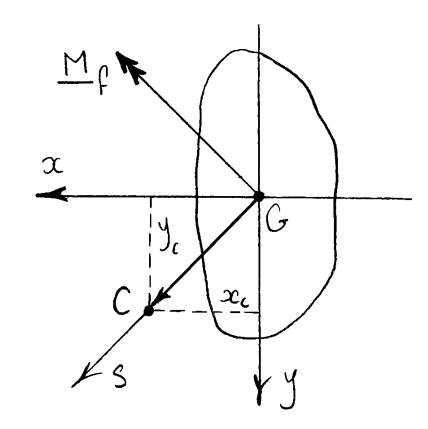
$$aENs_G = E\frac{N}{\mathcal{M}}. (4.85)$$

Si noti anche che adottando un sistema di riferimento cartesiano ortogonale Xxy, con l'asse x coincidente con l'asse neutro n, si ottiene la formula:

$$\sigma_Z = E \frac{N}{S_X} \gamma. \tag{4.86}$$

In componenti nel sistema principale di inerzia  $G \propto Y$ risulta:

$$\underline{M}_{f} = \begin{vmatrix} \underline{e}_{x} & \underline{e}_{y} & \underline{e}_{x} \\ x_{c} & y_{c} & 0 \\ 0 & 0 & N \end{vmatrix} = Ny_{c} \underline{e}_{x} - Nx_{c} \underline{e}_{y},$$



La tensione normale può quindi essere espressa, relati= vamente al sistema Grey principale di inerzia, tramite la seguente formula trinomia:

$$\delta_{z} = E \frac{N}{M} + E \frac{M_{x}}{J_{x}} y - E \frac{M_{y}}{J_{y}} x . \qquad (16)$$

Questa può poi porsi nella forma:

$$\mathcal{O}_{\xi} = E\left(\frac{N}{m} + \frac{Ny_c}{J_x}y + \frac{Nx_c}{J_y}x\right) =$$

$$= E \frac{N}{M} \left( 1 + \frac{y_c}{f_x^2} y + \frac{x_c}{f_y^2} x \right), \qquad (17)$$

dove  $\int_{x}^{2} = J_{x}/M$  e  $\int_{y}^{2} = J_{y}/M$  rappresentano i quadrati dei raggi di inercia principali.

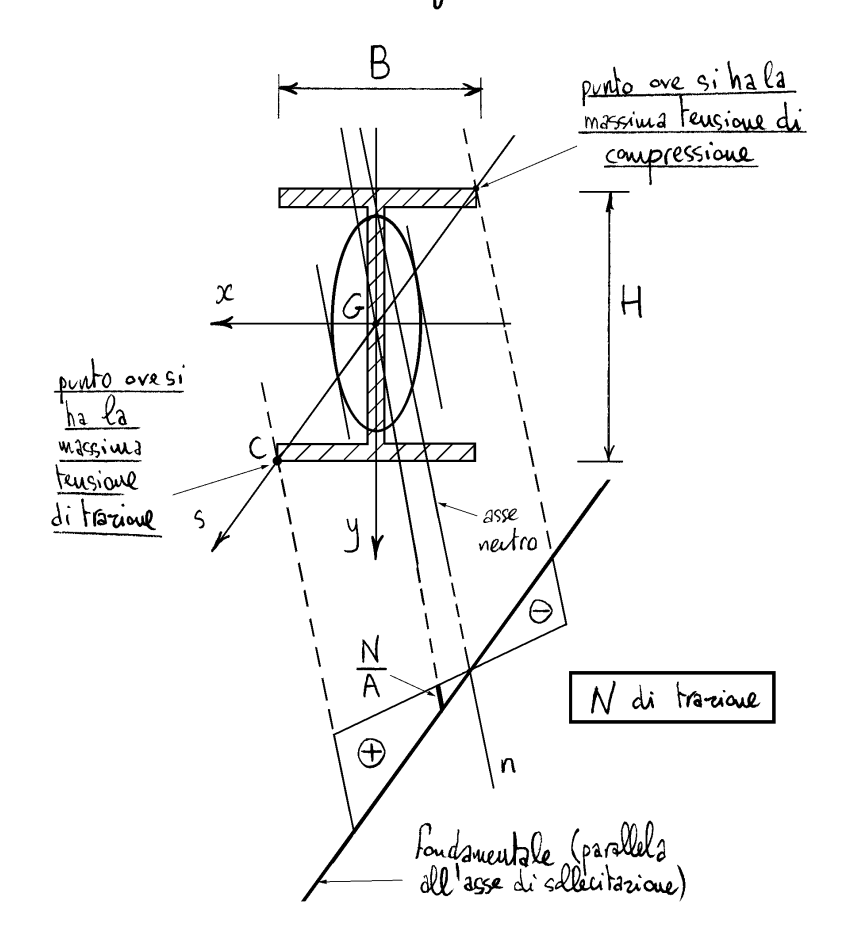
Nel caso omogeneo la (16) prende il nome di <u>Formula</u> di Navier e assume la Forma:

$$\sigma_{\chi} = \frac{N}{A} + \frac{M_x}{J_x} y - \frac{M_y}{J_y} x , \qquad (18)$$

deve era  $J_x$  e  $J_y$  sous i momenti di inerzia della sola area (con distribuzione di massa  $\mu = 1$ ).

## 4.5.3 Sezioni omogenee

Le teusioni normali si annullano sull'asse neutro e sono costanti su rette parallele all'asse neutro. E'al= lora consuetudine di riportare tale valore costante nella direzione dell'asse neutro a partire da una retta parallela all'asse di sollecitazione, presa quale riferimento. Le rette radenti parallele all'asse neutro individuano i punti di massima tensione normale a trazione e a compressione, nel caso l'asse neutro tagli la sezione. Se invece l'asse neutro non taglia la sezione, allora le



tensioni normali sono tutte dello stesso segmo, positivo se lo sforzo normale e' positivo e negativo nel caso opposto. In tal caso la tensione normale massima si ha in corrispondenza del punto (o dei punti) individuati dalla retta radente più lontana dall'asse nentro.

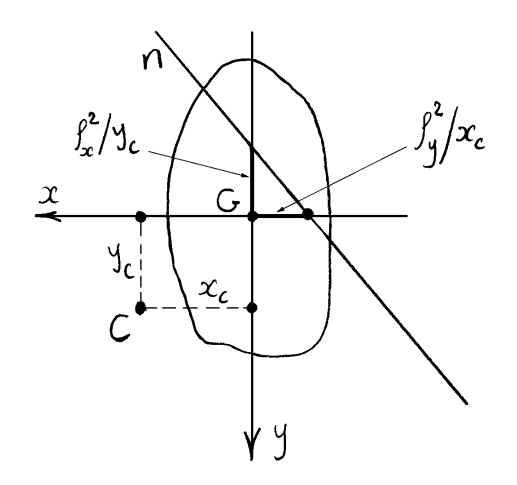
L'appartenenza al dominio di elasticità richiede alle massime fensioni, di torione e di compressione, di essere inferiori alle rispettive tensioni di snervamento.

## 4.5.4 Antipolarità di inerzia

Equazione segmentaria dell'asse neutro.

L'equazione dell'asse neutro nel sistema baricentrico Gxy si può ottenere uguagliando a zero la (17) ottenendo così la seguente equazione segmentaria dell'asse neutro:

$$\frac{x}{-f_y^2/x_c} + \frac{y}{-f_x^2/y_c} = 1 .$$



Le intersezioni  $x' \in y'$  dell'asse neutro con gli assi x (di equazione y=0) e y (di equazione x=0) (ispetti=vamente, valgono:

$$\begin{cases} x' = -\frac{\int_y^2}{x_c} \\ y' = -\frac{\int_x^2}{y_c} \end{cases}.$$

## Corrispondenza tra rette e punti.

Si noti che, data una retta n non baricentrica, e) possibile ricavare le coordinate del centro di sollecitazione C al quale corrisponde n quale asse neutro:

$$\begin{cases} x_c = -\frac{\int_y^2}{x'} \\ y_c = -\frac{\int_x^2}{y'} \end{cases}$$

dove auxors x' e y' som le intersezioni con gli assi x e y dell'asse n.

Si vede così che sussiste una relazione biunivora fa titte le rette non baricentriche del piano e titti i pinti del piano (escluso il baricentro).

Questa corrispondenza tra punti e rette è detta <u>antipo</u>= <u>Parita</u> di inerzia. La retta n corrispondente ad un punto C e detta <u>antipolare</u> di C, mentre il punto C corrispondente di una retta n è detto <u>antipolo</u> o <u>centro</u> <u>relativo</u> della retta n.

Una prima proprietà dell'antipolarità di inerzia si ha notando che le intersezioni x'e y' dell'asse neutro hanno sempre segmo opposto rispetto alle coordinate xc e y del centro di sollecitazione, per cui l'asse neutro e sempre situato dalla parte opposta di C rispetto al baricentro, come d'altronde era già stato stabilito in precedenza.

Inoltre, come già visto, l'asse neutro n corrispondente al centro di sollecitazione C ha la direzione dell'asse conivgato dell'asse di sollecitazione s (direzione fornita dal vettore C-G). D'altronde l'asse neutro

ha equazione:

$$\frac{N}{M} + \frac{Mx}{J_x} y - \frac{My}{J_y} x = 0$$

neutre la sua parallela & per il bariceutro risulta:

$$\frac{M_x}{J_x} y - \frac{My}{J_y} x = 0 ,$$

equazione dell'asse neutro nel caso in cui agisce il solo momento  $\underline{M}_{\Gamma}$ .

Una conseguenza di questa proprietà è che tutte le rette parallele ad r hanno centro di sollecitazione sull'asse s coniugato di r.

## Teorema di reciprocità.

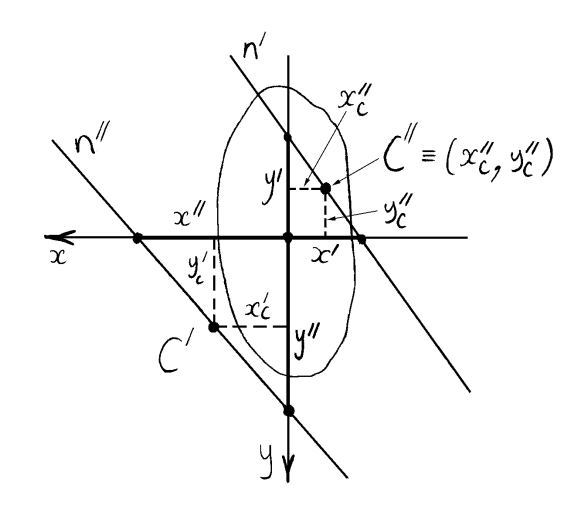
Si vuole poi mostrare che vale il teorema di reci=

procità: "Se una retta n' contiene il centro relativo

C' di n'allora n' contiene il centro relativo C' di n'".

Sia quindi n'' una generica retta passante per C'

ed arente intersezioni x'' e y'' on gli assi z e y. La



sua equazione segmentaria vale

$$\frac{x}{x''} + \frac{y}{y''} = 1 ,$$

e quindi per ipotesi vale la condizione:

$$\frac{x_c'}{x''} + \frac{y_c'}{y''} = 1 \qquad ,$$

poiche n' contiene C'. Il centro relativo C' di n''
ha coordinate:

$$\begin{cases} x_c'' = -\frac{y_y^2}{x''} \\ y_c'' = -\frac{y_x^2}{y''} \end{cases}$$

Poiche:

$$\frac{-\int_{y}^{2}/x''}{-\int_{y}^{2}/x'_{c}} + \frac{-\int_{x}^{2}/y''}{-\int_{x}^{2}/y'_{c}} = \frac{x'_{c}}{x''} + \frac{y'_{c}}{y''} = 1 ,$$

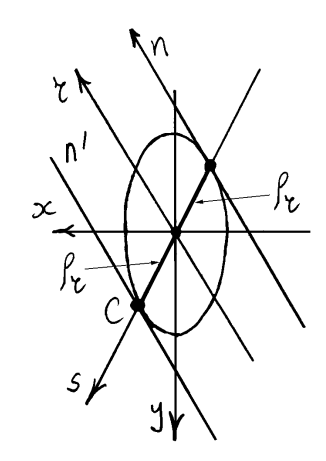
le coordinate del punto C'soddisfano l'equazione di n':

$$\frac{x}{-\int_y^2/x_c'} + \frac{y}{-\int_x^2/y_c'} = 1 ,$$

e la retta n' contiene C", come volevasi dimostrare.

### Polarità di inerzia.

Infine, la condizione  $S'=-\frac{1}{2}/S_c$  mostra che se  $S_c=f_c$ , cioè se C si trova sull'ellisse contrale di inerzia, allora  $S'=f_c$ , ovverossia la retta n e' tangente all'ellisse nel punto opposto in diametro a C. Se al punto C facciamo corrispondere la retta n' simmetrica alla n rispetto al baricentro, la retta n' contiene il punto C. In questa nuova corrispondenza,



detta polarita di inerzia, i punti contenuti nella retta corrispondente individuano l'ellisse centrale di inerzia (che assume quindi il ruolo di conica fonda = mentale nella polarita di inerzia).

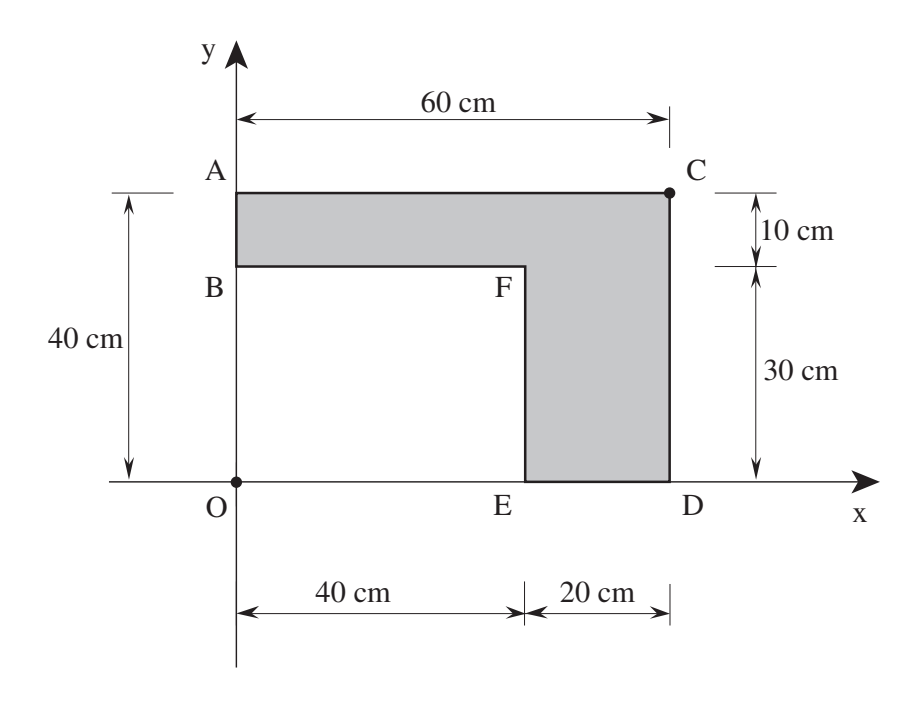
Non solo, ma la condizione  $S'=-f_r^2/s_c$  ci infor= ma anche del fatto che se  $S_c > f_r$  (c esterno all'ellisse) elisse) allora  $S' < f_r$  (n taglia l'ellisse) e viceversa.

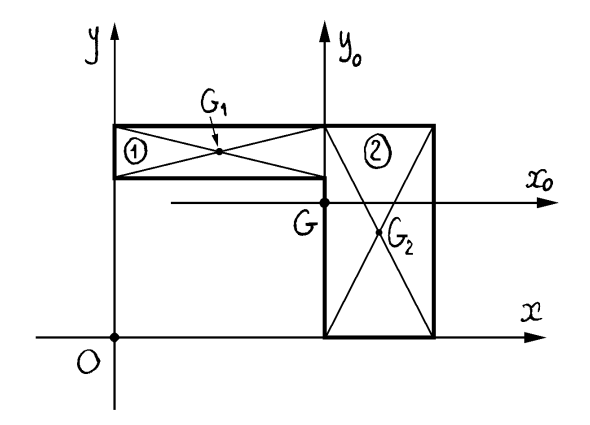
## 4.5.5 Sezione composta di due rettangoli

Si suppone che la sezione in figura sia soggetta ad uno sforzo normale di compressione di 200 kN, applicato in corrispondenza del punto *C*:

1. determinare le caratteristiche inerziali della figura piana (baricentro G, assi principali di inerzia  $\xi$  e  $\eta$  e momenti principali di inerzia  $J_{\xi}$  e  $J_{\eta}$ );

- 2. disegnare in scala la circonferenza di Mohr e l'ellisse centrale di inerzia e determinare graficamente la posizione dell'asse neutro;
- 3. determinare le intersezioni dell'asse neutro con gli assi principali  $\xi$  e  $\eta$ ;
- 4. disegnare il diagramma qualitativo delle tensioni normali;
- 5. calcolare le tensioni normali massime a trazione e a compressione;
- 6. determinare l'inclinazione dell'asse neutro e la sua intersezione con l'asse di sollecitazione;
- 7. calcolare la tensione normale massima a compressione utilizzando la formula monomia.





Arec e momenti statici (sistema Oxy):

	A/cm <sup>2</sup>	x <sub>c</sub> /cm	y <sub>G</sub> /cm	$S_x/cm^3$	Sy/cm³
(1)	400	20	35	14 000	8000
0	800	50	20	16000	40 000
Тот	1 200	40	25	30 000	48 000

Coordinate del baricentro:

$$x_G = \frac{48000 \text{ cm}^3}{1200 \text{ cm}} = 40 \text{ cm},$$

$$y_G = \frac{30000 \text{ cm}^3}{1200 \text{ cm}} = 25 \text{ cm}.$$

Momenti di inerzia e centrifugo rispetto agli assi xo e y baricentrici:

$$\int_{x_0}^{0} = \frac{40 \operatorname{cm} \times (10 \operatorname{cm})^3}{12} + A^{0} (y_G - y_{G1})^2$$

$$\int_{x_0}^{0} = \frac{20 \operatorname{cm} \times (40 \operatorname{cm})^3}{12} + A^{0} (y_G - y_{G2})^2$$

$$\begin{cases}
J_{y_o}^{\oplus} = \frac{10 \text{ cm} \times (40 \text{ cm})^3}{12} + A^{\oplus} (x_G - x_{G1})^2 \\
J_{y_o}^{\oplus} = \frac{40 \text{ cm} \times (20 \text{ cm})^3}{12} + A^{\oplus} (x_G - x_{G2})^2
\end{cases}$$

$$\begin{cases}
J_{x_0 y_0}^{\emptyset} = A^{\emptyset} (y_G - y_{G1}) (x_G - x_{G1}) \\
J_{x_0 y_0}^{\emptyset} = A^{\emptyset} (y_G - y_{G2}) (x_G - x_{G2})
\end{cases}$$

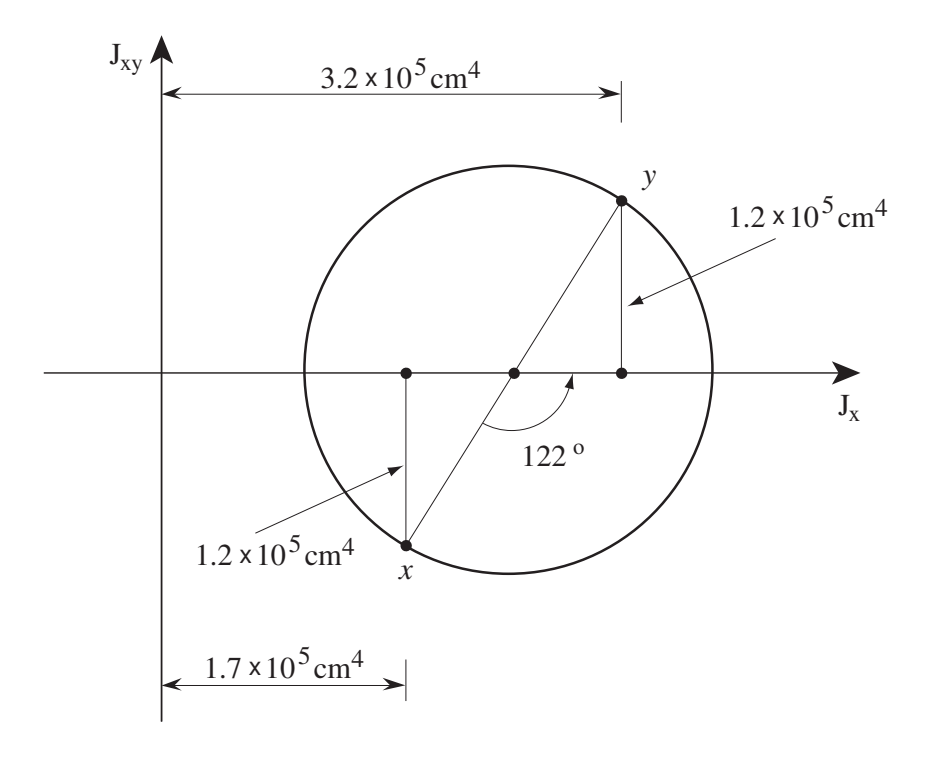
	$J_{x_o}/c_m^4$	Jyo/cm4	Josepa /cm4
<b>①</b>	43 333	213 333	- 80 000
0	126667	106 667	-40000
TOT	170 00 0	320 000	-120000

Coordinate del baricentro:

$$A = 1200 \text{ cm}^2$$
  
 $S_X = 30000 \text{ cm}^3 \implies x_G = 40 \text{ cm}$   
 $S_Y = 48000 \text{ cm}^3 \implies y_G = 25 \text{ cm}$ 

Momenti di inerzia nel sistema baricentrico  $Gx_0y_0$ :

$$J_{x0} = 170\,000 \text{ cm}^4$$
  
 $J_{y0} = 320\,000 \text{ cm}^4$   
 $J_{x0y0} = -120\,000 \text{ cm}^4$ 



Momenti principali di inerzia:

$$\frac{J_{\xi}}{J_{\eta}} = \frac{J_{x0} + J_{y0}}{2} \pm \frac{1}{2} \sqrt{(J_{x0} - J_{y0})^2 + 4J_{x0y0}^2} = \begin{cases} 386510 \text{ cm}^4 \\ 103490 \text{ cm}^4 \end{cases}.$$

Raggi principali di inerzia:

$$\rho_{\xi} = \sqrt{\frac{J_{\xi}}{A}} = 17.95 \text{ cm},$$

$$\rho_{\eta} = \sqrt{\frac{J_{\eta}}{A}} = 9.29 \text{ cm}.$$

Posizione degli assi principali di inerzia:

$$\alpha_{\xi} = \tan^{-1} \left\{ \frac{J_{x0} - J_{\xi}}{J_{x0y0}} \right\} = 61.00^{\circ}$$

Rotazione dal sistema  $Gx_0y_0$  al sistema  $G\xi\eta$ :

$$\mathbf{R} = \begin{bmatrix} \cos \alpha_{\xi} & -\sin \alpha_{\xi} \\ \sin \alpha_{\xi} & \cos \alpha_{\xi} \end{bmatrix} = \begin{bmatrix} 0.4848 & -0.8746 \\ 0.8746 & 0.4848 \end{bmatrix}$$

Coordinate dei punti C, B, E nel sistema principale:

$$\{C - G\} = \mathbf{R}^{\mathrm{T}} \begin{cases} 60 - 40 \\ 40 - 25 \end{cases} = \begin{cases} 22.81 \text{ cm} \\ -10.22 \text{ cm} \end{cases}$$

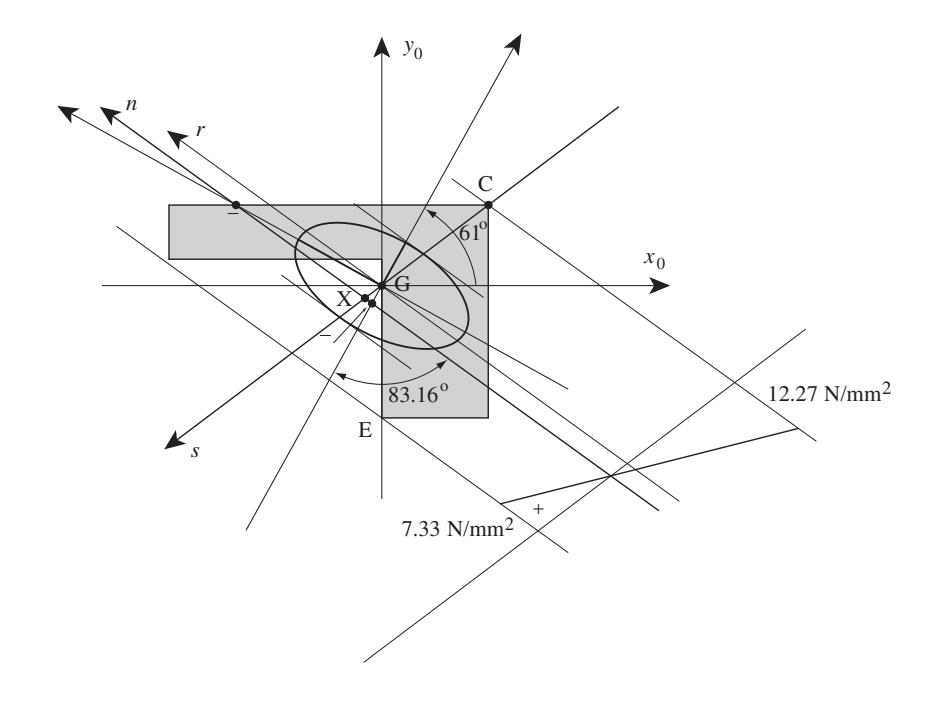
$$\{B - G\} = \mathbf{R}^{\mathrm{T}} \begin{cases} 0 - 40 \\ 30 - 25 \end{cases} = \begin{cases} -15.02 \text{ cm} \\ 37.41 \text{ cm} \end{cases}$$

$${E - G} = \mathbf{R}^{T} \begin{cases} 40 - 40 \\ 0 - 25 \end{cases} = \begin{cases} -21.87 \text{ cm} \\ -12.12 \text{ cm} \end{cases}$$

Intersezioni dell'asse neutro con gli assi principali di inerzia:

$$\overline{\xi} = \frac{-\rho_{\eta}^2}{\xi_C} = -3.78 \text{ cm}$$

$$\overline{\eta} = \frac{-\rho_{\xi}^2}{\eta_{\text{C}}} = 31.51 \text{ cm}$$



Tensioni normali nei punti C, B, E:

$$N = -200 \text{ kN}$$

$$M_{\mathcal{E}} = N\eta_{\rm C} = 2044 \text{ kN cm}$$

$$M_{\eta} = -N\xi_{\rm C} = 4563 \text{ kN cm}$$

$$\sigma_{\rm C} = \frac{N}{A} + \frac{M_{\rm \xi}}{J_{\rm E}} \eta_{\rm C} - \frac{M_{\rm \eta}}{J_{\rm n}} \xi_{\rm C} = -12.27 \,{\rm N/mm^2}$$

$$\sigma_{\rm B} = \frac{N}{A} + \frac{M_{\xi}}{I_{\xi}} \eta_{\rm B} - \frac{M_{\eta}}{I_{\rm B}} \xi_{\rm B} = 6.93 \text{ N/mm}^2$$

$$\sigma_{\rm E} = \frac{N}{A} + \frac{M_{\xi}}{J_{\xi}} \eta_{\rm E} - \frac{M_{\eta}}{J_{\eta}} \xi_{\rm E} = 7.33 \text{ N/mm}^2$$

Inclinazione dell'asse di sollecitazione nel sistema principale:

$$\alpha_s = \tan^{-1} \left\{ \frac{\eta_C}{\xi_C} \right\} = -24.13^{\circ}$$

Inclinazione dell'asse neutro nel sistema principale (due calcoli alternativi):

$$\alpha_r = \tan^{-1} \left\{ -\frac{J_{\xi}}{J_{\eta} \tan \alpha_s} \right\} = 83.16^{\circ}$$

$$\alpha_r = \tan^{-1}\left\{-\frac{\overline{\eta}}{\overline{\xi}}\right\} = 83.16^{\circ}$$

Angolo compreso tra l'asse di sollecitazione e l'asse neutro:

$$\widehat{sr} = \alpha_r - \alpha_s = 107.29^{\circ}$$

Momento e raggio di inerzia rispetto all'asse baricentrico parallelo all'asse neutro (distanze valutate nella direzione dell'asse di sollecitazione):

$$J_r = \frac{J_{\xi} \cos^2 \alpha_n + J_{\eta} \sin^2 \alpha_n}{\sin^2 \widehat{sr}} = \frac{1}{\frac{\cos^2 \alpha_s}{J_{\eta}} + \frac{\sin^2 \alpha_s}{J_{\xi}}} = 117920 \text{ cm}^4$$

$$\rho_r = \sqrt{\frac{J_r}{A}} = 9.91 \text{ cm}$$

Intersezione tra asse neutro e asse di sollecitazione:

$$\overline{CG} = \sqrt{\xi_{\rm C}^2 + \eta_{\rm C}^2} = 25 \text{ cm}$$

$$\overline{GX} = \frac{\rho_r^2}{\overline{CG}} = 3.93 \text{ cm}$$

Momento statico rispetto all'asse neutro e tensione normale nel punto C(coordinate riferite al sistema Xns):

$$S_n = As_G - = -4717 \text{ cm}^3$$
 dove  $s_G = -\overline{GX}$   
 $\sigma_C = \frac{N}{S_n} s_C = -12.27 \text{ N/mm}^2$  dove  $s_C = -(\overline{CG} + \overline{GX})$ 

#### 4.5.6 Sezione circolare composta di due materiali

Data la sezione circolare di figura composta di due materiali di modulo di Young:

$$E_1 = 70 \text{ GPa}$$
,  $E_2 = 210 \text{ GPa}$ ,

e soggetta ad una forza normale N eccentrica di compressione di 250 kN applicata nel punto C:

- 1. calcolare il momento d'inerzia rispetto a un diametro (eventualmente omogeneizzato all'area di uno dei due materiali);
- 2. calcolare il raggio dell'ellisse centrale di inerzia;
- disegnare l'asse di sollecitazione, l'asse neutro della flessione associata alla forza normale eccentrica (quotando la sua inclinazione) e l'asse neutro della forza normale eccentrica (quotando la sua intersezione con l'asse di sollecitazione);
- 4. valutare il momento statico rispetto all'asse neutro (della forza normale eccentrica);
- 5. disegnare il diagramma quotato delle tensioni normali.
- 1. Tutti gli assi contenenti i diametri sono di simmetria e inoltre la sezione è invariante per rotazioni generiche attorno al centro comune delle due circonferenze. Ne consegue che tutti gli assi contenenti i diametri sono principali di inerzia e che i momenti di inerzia rispetto a questi assi sono uguali.

Siano:

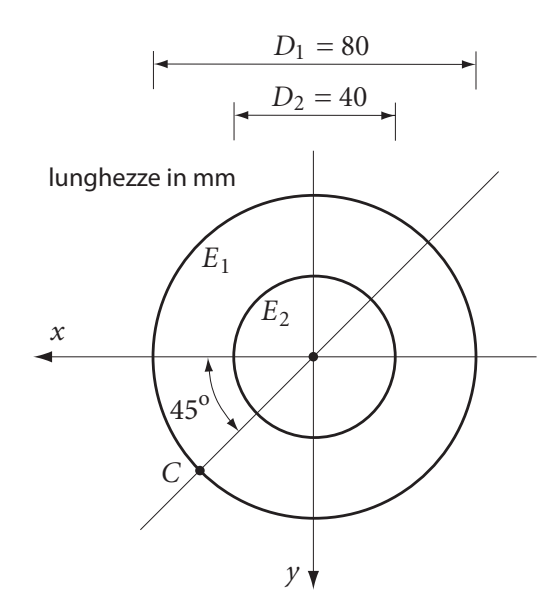
$$R_1 = \frac{D_1}{2} = 40 \text{ mm}, \qquad R_2 = \frac{D_2}{2} = 20 \text{ mm},$$

i raggi del cerchio esterno ed interno rispettivamente. Il momento di inerzia della sola area  $J_1$  della corona circolare 1 si valuta per differenza del contributo tra il cerchio esterno e quello interno:

$$J_1 = \frac{\pi}{4} \left( R_1^4 - R_2^4 \right) = 1.8850 \times 10^6 \text{ mm}^4$$
 ,

mentre il momento di inerzia  $J_2$  della sola area del cerchio 2 vale:

$$J_2 = \frac{\pi}{4} R_2^4 = 1.2566 \times 10^5 \text{ mm}^4.$$



Il momento di inerzia J rispetto ad un asse contenente un diametro vale allora:

$$J = \sum_{i} E_{i} J_{i}$$

$$= (70 \times 10^{3}) (1.8850 \times 10^{6}) + (70 \times 10^{3}) (1.8850 \times 10^{6})$$

$$= 1.5834 \times 10^{11} \text{ N mm}^{2}.$$

Se si omogeneizza all'area del materiale 1, il coefficiente di omogeneizzazione vale:

$$n = \frac{E_2}{E_1} = \frac{210}{70} = 3.$$

Il momento di inerzia  $J^{o}$  dell'area omogeneizzata rispetto ad un asse contenente un diametro vale allora:

$$J^{0} = J_{1} + nJ_{2} = 1.8850 \times 10^{6} + 3 \times (1.8850 \times 10^{6})$$
  
= 2.2619×10<sup>6</sup> mm<sup>4</sup>.

**2.** Le aree  $A_2$  e  $A_1$  dei materiali 2 e 1 rispettivamente valgono:

$$A_2 = \pi R_2^2 = 1256.6 \text{ mm}^2$$
,  $A_1 = \pi R_1^2 - A_2 = 3769.9 \text{ mm}^2$ .

Ne risulta la seguente massa totale  $\mathcal{M}$ :

$$\mathcal{M} = \sum_{i} E_{i} A_{i} = (70 \times 10^{3}) \times 3769.9 + (210 \times 10^{3}) \times 1256.6$$

$$= 5.2779 \times 10^{8} \text{ N},$$

oppure la seguente area omogeneizzata:

$$A^{0} = A_{1} + nA_{2} = 3769.9 + 3 \times 1256.6 = 7539.8 \text{ mm}^{2}.$$

L'ellisse centrale di inerzia nel caso in esame è una circonferenza di raggio:

$$\rho = \sqrt{\frac{J}{\mathcal{M}}} = \sqrt{\frac{J^{o}}{A^{o}}} = 17.32 \text{ mm}.$$

3. L'asse di sollecitazione s coincide con la congiungente il baricentro s con il centro di sollecitazione s con il centro di sollecitazione s con il centro di sollecitazione s della flessione associate alla forza normale eccentrica è baricentrico e ortogonale all'asse di sollecitazione e quindi inclinato di 45° rispetto all'asse s. L'asse neutro s della forza normale eccentrica è parallelo all'asse s, è situato dalla parte opposta rispetto al baricentro e taglia l'ellisse centrale di inerzia dato che il centro di sollecitazione s ne è esterno.

L'intersezione X tra asse neutro n e asse di sollecitazione s è posta alla seguente distanza  $\overline{GX}$  da G:

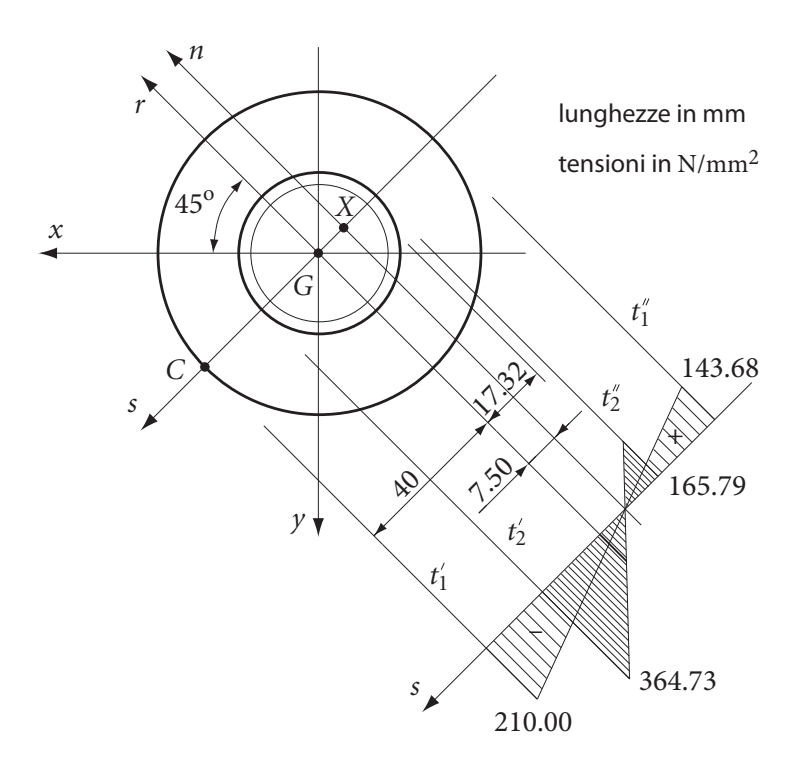
$$\overline{GX} = \frac{\rho^2}{\overline{GC}} = \frac{17.32^2}{40} = 7.50 \text{ mm},$$

dove  $\overline{GC}$  è la distanza del centro di sollecitazione C dal baricentro G.

**4.** Per il teorema di Varignon il momento statico si ottiene concentrando la massa totale nel baricentro:

$$S_n = \mathcal{M}S_G = (5.2779 \times 10^8) \times 7.50 = 3.9584 \times 10^9 \text{ N mm},$$

dove  $s_G$  è la coordinata del baricentro G in direzione s nel sistema Xns, che con le convenzioni di figura è positiva.



Se si procede omogeneizzando, si ottiene il momento statico  $S_n^o$  omogeneizzato all'area del materiale 2:

$$S_n^0 = A^0 s_G = 7539.8 \times 7.50 = 56549 \text{ mm}^3$$
.

**5.** Si considerino le radenti  $t_1'$  e  $t_1''$  all'area del materiale 1, parallele all'asse neutro, di coordinate rispettivamente:

$$s'_1 = \overline{GX} + R_1 = 7.5 + 40 = 47.5 \text{ mm},$$
  
 $s''_1 = \overline{GX} - R_1 = 7.5 - 40 = -32.5 \text{ mm}.$ 

e quelle  $t_2'$  e  $t_2''$  radenti all'area del materiale 2, sempre parallele all'asse neutro, di coordinate rispettivamente:

$$s_2' = \overline{GX} + R_2 = 7.5 + 20 = 27.5 \text{ mm}$$

$$s_2^{\prime\prime} = \overline{GX} - R_2 = 7.5 - 20 = -12.5 \text{ mm},$$

Tenendo conto che  $N=-250\times10^3\,\mathrm{N}$ , la tensione normale in corrispondenza di tali radenti vale rispettivamente:

$$\sigma_1' = E_1 \frac{N}{S_n} s_1' = -\left(70 \times 10^3\right) \times \frac{250 \times 10^3}{3.9584 \times 10^9} \times 47.5$$

$$= -210.00 \text{ N/mm}^2,$$

$$\sigma_1'' = E_1 \frac{N}{S_n} s_1'' = \left(70 \times 10^3\right) \times \frac{250 \times 10^3}{3.9584 \times 10^9} \times 32.5$$

$$= 143.68 \text{ N/mm}^2,$$

e:

$$\sigma_2' = E_2 \frac{N}{S_n} s_2' = -\left(210 \times 10^3\right) \times \frac{250 \times 10^3}{3.9584 \times 10^9} \times 27.5$$

$$= -364.73 \text{ N/mm}^2,$$

$$\sigma_2'' = E_2 \frac{N}{S_n} s_2'' = \left(210 \times 10^3\right) \times \frac{250 \times 10^3}{3.9584 \times 10^9} \times 12.5$$

$$= 165.79 \text{ N/mm}^2.$$

Se si procede omogeneizzando si ottiene:

$$\sigma_1' = \frac{N}{S_n^0} s_1' = -\frac{250 \times 10^3}{56549} \times 47.5 = -210.00 \text{ N/mm}^2,$$

$$\sigma_1'' = \frac{N}{S_n^0} s_1'' = \frac{250 \times 10^3}{56549} \times 32.5 = 143.68 \text{ N/mm}^2,$$

e:

$$\sigma_2' = n \frac{N}{S_n^0} s_2' = -3 \times \frac{250 \times 10^3}{56549} \times 27.5 = -364.73 \text{ N/mm}^2,$$

$$\sigma_2'' = n \frac{N}{S_n^0} s_2'' = 3 \times \frac{250 \times 10^3}{56549} \times 12.5 = 165.79 \text{ N/mm}^2.$$

# 4.5.7 Nocciolo centrale di inerzia

Il nocciolo centrale di inerzia rappresenta il luogo dei centri di sollecitazione il cui asse neutro non taglia la figura.

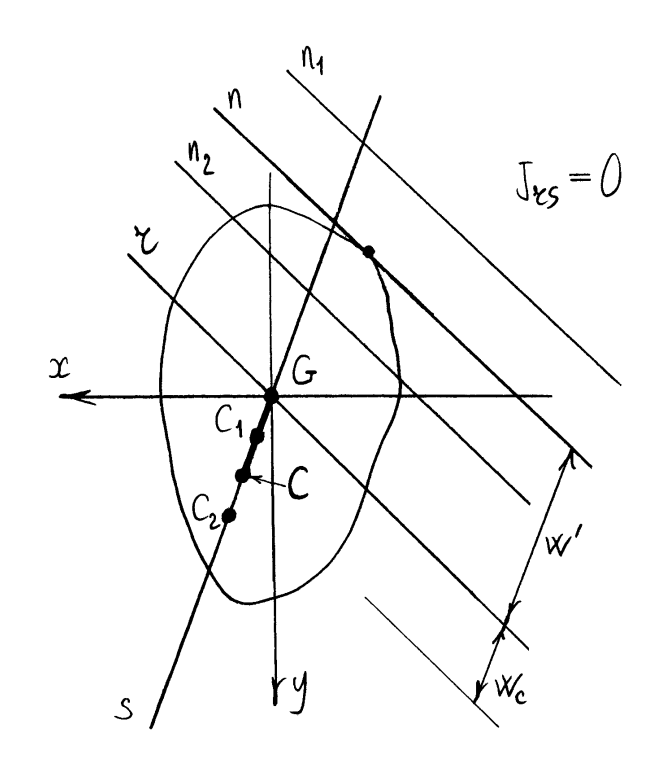
Ne consegue che se la forza normale eccentrica e' di compressione ed applicata in un punto del nocciolo centrale di inerzia allora la sezione e' tutta compressa (viceversa, se la forza normale e' di trazione, allora la sezione e' tutta tesa).

La conoscenza del nocciolo centrale di inerzia e' importante nel caso di materiali che hanno scarsa resistenza a trazione. Infatti, se il dimensionamento di una struttura e' esegnito in modo tale da far cadere il centro di sollecitazione (detto centro di pressione nel caso di strutture compresse) all'interno del nocciolo centrale di inerzia, allora si ha la certezza che non si sviluppano sollecitazioni di tazione.

# Contorno del nocciolo quale luogo di punti

Il contorno del vocciolo è ostituito dai centri relativi alle rette che toccano la figura senza tagliarla (rette radenti).

Infatti, sia n ma retta radeute e sia e la parallela a n per il bariceutro G. Detta s la retta conjugata



di r allora il contro relativo C di n si trova su si dalla parte opposta di n rispetto al bariceutro. Se la retta n viene alloutanata dalla ligura il punto C percerre il segmento CG e quindi tale segmento appartiene al nocciolo poiche se n si alloutana dalla ligura allora non la taglia. Viceversa, se n si muove verso il baricentro, tagliando quindi la figura, C si muove su si alloutanandosi dal baricentro generando un tratto di si che non appartiene al nocciolo. Quindi il punto C e sul contorno del nocciolo, come volevasi dimostrare.

La lunghezza Wc del segmento CG e detta raggio di nocciolo. Se W' e la distanza, nella direzione dell'asse di sollecitazione s, della retta radente n dal bariæntro, risulta:

$$w_c = \frac{\int_{\varepsilon}^{\ell}}{w'}.$$

# Contorno del nocciolo quale inviluppo di rette

Il nocciole centrale di inerzia rappresenta anche l'invi=

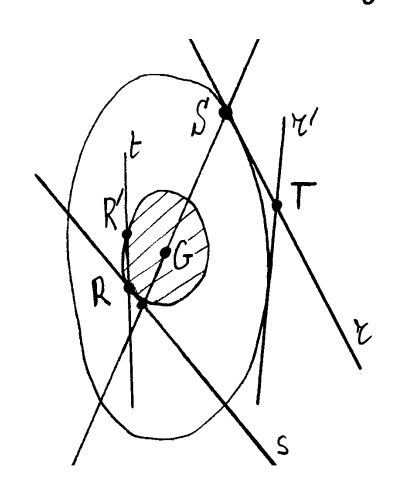
luppo delle antipolari dei punti dell'inviluppo delle rette

radenti la figura, ovverossia se S e'un punto dell'invi=

luppo delle rette radenti la figura allora la sua

antipolare s e' tangente al nocciolo.

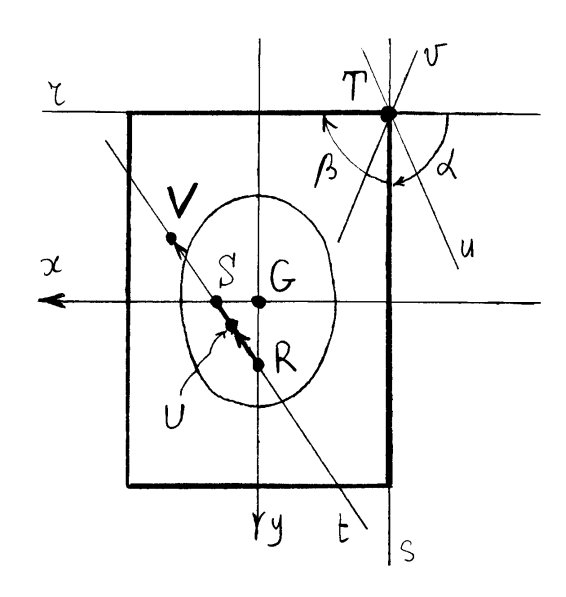
Infatti sia & una retta per S radeute la figura e sia R il suo antipolo. Si prenda una seconda retta radeute & e siano T la sua intersezione con & e R' il suo antipolo. Per costruzione, R e R'stanno sul cantorno del nocciolo e la loro cangiungente t, per



reciprocità, e' l'autipolare del punto T. Si faccia tendere Y a Z. Allora T tende ad S e quindi la retta t tende all'antipolare s di S. Ma poiche risulta anche che R' tende ad R, la retta t tende alla tangente al nocciolo in R, come volevasi dimo = strare.

# Corrispondenza tra vertici e segmenti

Si supponga che sul contorno della figura di cui si vuole determinare il nocciolo centrale di inerzia vi sia un vertice T e siano r e s le due tangenti in corrispondenza del vertice. Con riferimento alla figura seguente, che



relativi delle rette r e s rispettivamente. Nel caso del rettangolo di figura i due centri relativi precedenti sono posti rispettivamente sugli assi y e x rispettivamente, ma ciò è inessenziale.

I punti R ed S individuano, per reciprocità, la retta t coningata del vertice T. Sempre per recipro= cità, ogni rettà contenente il vertice Tha antipolo che giace su t. Muovendo allea con continuità una retta u all'interno dell'angolo & individuato delle rette per T che non tagliano la figura a partire dolla retta z, il punto U ceutro relativo alla retta u si muore, a partire dal punto R, in direzione del purto S. Tale movimento e continuo poiche il baricentro appartiene all'inviluppo delle rette radenti e gvindi una retta u per T che na taglia la figura non conterra mai il baricentro.

Si tenga conto che l'unica discontinuità si ha quando la retta passa per il baricentro, poiche in tal caso la di= stanza della retta dal baricentro si annulla e quindi la distanza del suo antipolo dal baricentro diventa in= finita.

Una retta v che invece si muove all'interno dell'angolo B curtenente il baricentro ha centro re= lativo v che si mvove, a partire da S' fino a tendere all'infinito quando la retta tende a divenire bari= centrica, poiche in bal caso la distanza di v dal bari= centro tende a zero. Superato il baricentro, il punto V campare dall'altra parte della retta t e tende al punto R al tendere di v alla retta v.

Se ne conclude che il segmento RS appartiene al contorno del nocciolo. Si è quindi ottenuto il risultato generale che ogni volta che l'inviluppo delle rette radenti presenta un vertice, a tale vertice corrisponde un segmento sul nocciolo. Poiché vale anche il risultato reciproco, e cioè che *a un segmento sul contorno della figura corrisponde un vertice sul contorno del nocciolo*, come può facilmente verificarsi, ne consegue che a una figura poligonale corrisponde un nocciolo centrale di inerzia poligonale.

# Sezione rettangolare

Si consideri un rettangolo di base b e di altezza h. Paidre risulta:

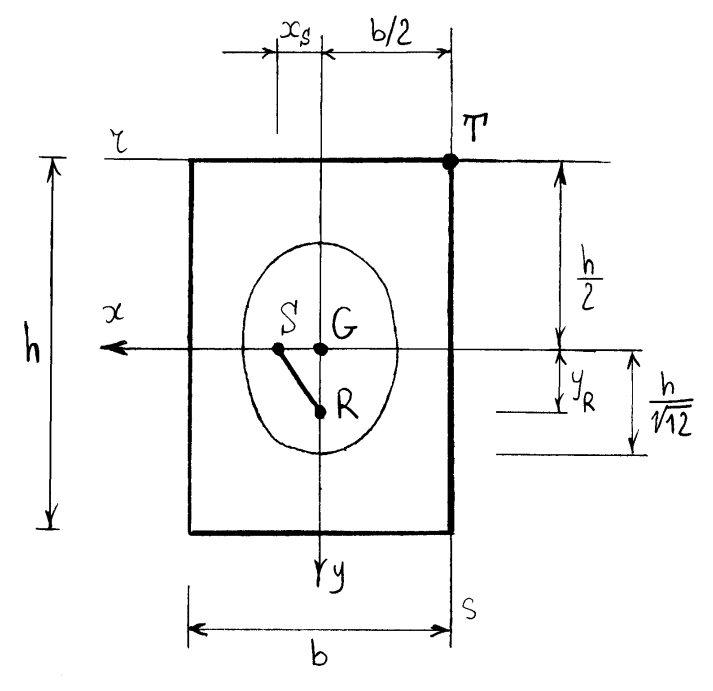
$$J_x = \frac{bh^3}{12} , \quad J_y = \frac{b^3h}{12} , \quad A = bh,$$

i raggi di inerzia principali valgano:

$$f_{x} = \frac{h}{\sqrt{12}} , \qquad f_{y} = \frac{b}{\sqrt{12}} .$$

Alle rette z ed 3 che contengono due lati

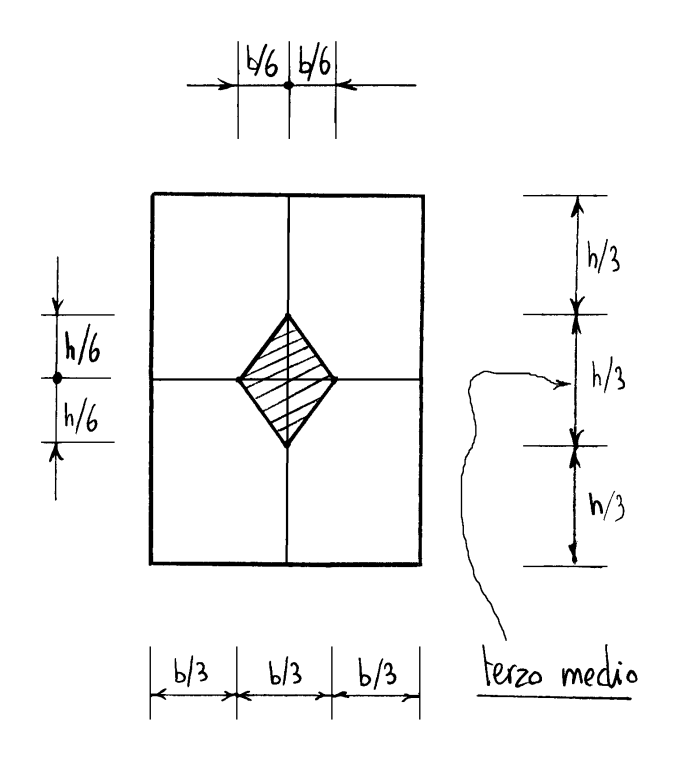
del rettangolo vocanti dal vertice T corrispondono i centri relativi R, posto sull'asse y ed S, posto



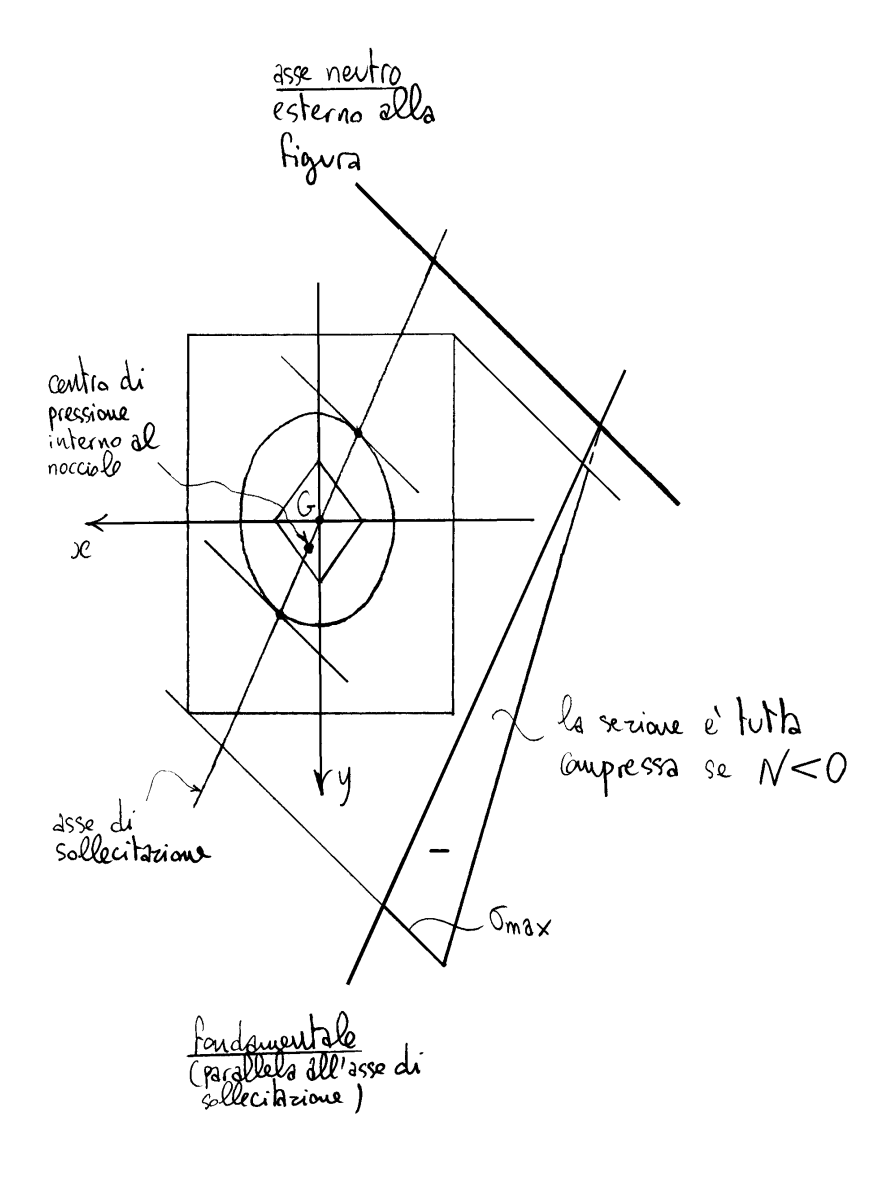
sull asse x. Risulta:

$$\begin{cases} y_{R} = -\int_{x}^{2} / (-\frac{h}{2}) = \frac{h}{6}, \\ x_{S} = -\int_{y}^{2} / (-\frac{b}{2}) = \frac{b}{6}. \end{cases}$$

Per via della deppia simmetria, il nocciola centrale di inerzia del rettangolo e'un rambo.



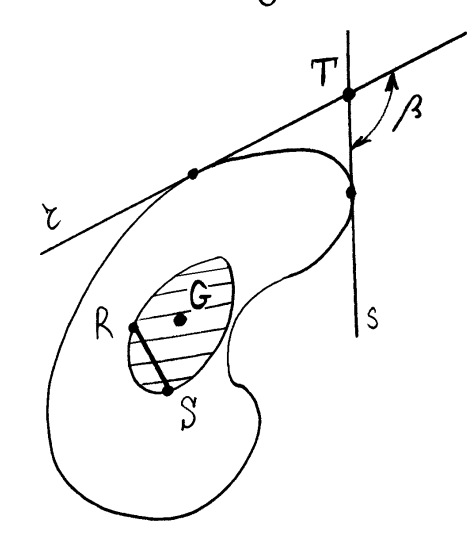
Come detto, se il centro di pressione appartiene al noccido allora tutta la sezione risulta compressa come indicato nella figura seguente.



#### Convessità del nocciolo centrale di inerzia

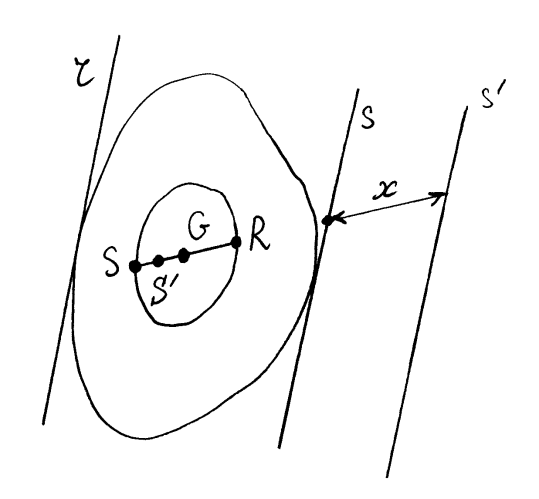
Un'ulteriore proprietà del nocciolo ceutrale di inerzia è che esso rappresenta una figura convessa. Ricordiamo che una figura e convessa se, dati due punti R ed S sul suo contorno, il segmento RS e tutto interno alla figura.

Siano allora Red S due punti sul contorno del nocciole centrale di inerzia e siano 7 ed s le rispettive antipolari radeuti la figura. Sia poi T il punto inter= secione di 2 e s. Le rette per T che non tagliano la figura definiscono l'angolo B che non contiene il



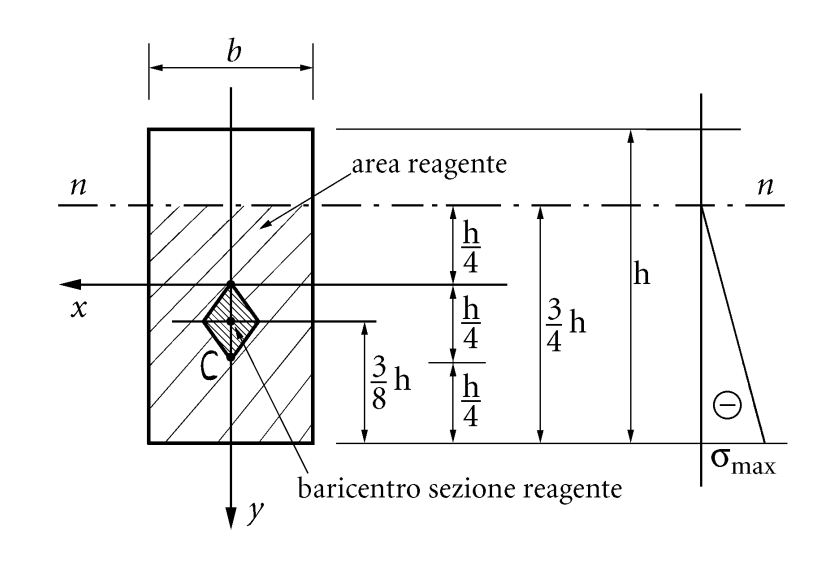
bariceutro, essendo questo interno all'inviluppo delle rette radeuti. Le rette dell'angolo B generano il segmento RS, che quindi e' interno al nocciolo, come volevati dimostrare. Nel caso particulare in cui il se=gmento RS contiene il bariceutro, le due rette re sono parallele, e ta le rette parallele ad red s che non tagliano la figura c'e' anche la retta impropria, di centro relativo il bariceutro:

$$x \to \infty \implies \begin{cases} s' \to \text{retta impropria} \\ s' \to G \end{cases}$$



# Sezione non reagente a trazione

Se la sezione di una trave, di materiale non reasente a trazione, e' soggetta ad una forza normale eccentrica di campressione, con centro di pressione non appartente al nocciolo centrale di inerzia, la sezione si parzializza, dividendosi in una parte che non reagisce ed in una parte solo compressa.



l'asse che separa le due parti deve soddisfare l'equazione  $\sigma_{\mathbf{z}} = 0$  e quindi rappresenta l'asse neutro. Tale asse deve dunque essere l'antipolare del punto C, nella corrispondenza individuata dalla sola area reagente. Per tale area, l'asse neutro rappresenta una retta radente e dunque C deve appartenere al contorno del nocciolo centrale di inerzia della sola area reagente.

Per esempio, se, data ma sezione rettangolare, il centro di pressione giace sull'asse y alla distanza h/4 dal latopiù vicino, allora h/4 deve uguagliare la terza parte dell'altezza totale della sezione reagente du risulta durque essere  $\frac{3}{4}$ h.

le capitéristique della sezione reagente sono:

$$\int A^{*} = \frac{3}{4} bh$$

$$\int_{x}^{*} = \frac{1}{12} b(\frac{3}{4}h)^{3} = \frac{9}{4 \times 64} bh^{3}$$

ed inoltre il momento (rispetto al baricentro della sezione resgente) vale:

$$M_x^* = -\frac{1}{8} N h$$

dove N e la forza di caupressione (N>0). La tensione Guax vale dunque:

$$G_{\text{max}} = -\frac{N}{A^*} + \frac{M_x^*}{J_x^*} y^* /$$

dove.

$$y^{*/} = \frac{3}{8} h,$$

e la distanza del baricentro (della sezione reagente) dal lembo compresso. Risulta quindi:

$$G_{\text{max}} = -\frac{4}{3} \frac{N}{bh} - \frac{4 \times 64}{9 \times 8} \frac{3}{8} \frac{N}{bh} = -\frac{8}{3} \frac{N}{bh}$$

Se la sezione fosse reagente anche a trazione risulterebbe invere:

$$G_{\text{max}} = -\frac{N}{bh} - \frac{N\frac{h}{4}}{\frac{1}{12}bh^3} \frac{h}{2} = -\frac{5}{2}\frac{N}{bh}$$

Si potera più relocemente valutare la tensione massima facendo riferimento alla formula monomia:

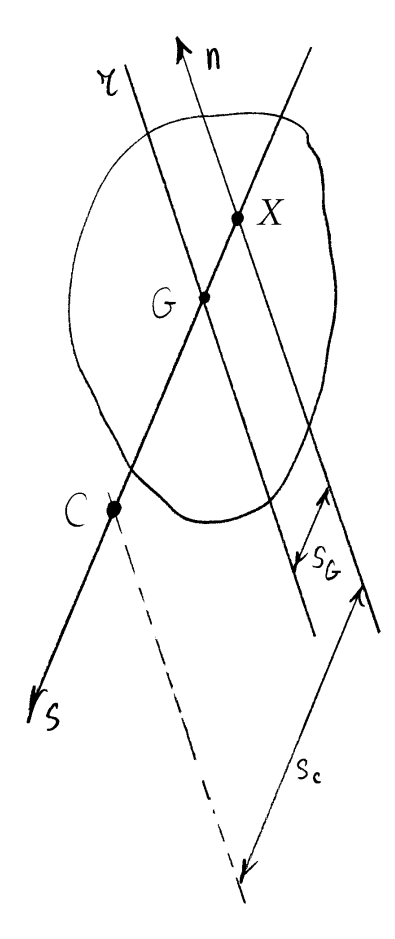
$$\delta_{\text{max}} = -\frac{N}{S_n^*} S''$$

dove :

$$S_n = (b \frac{3}{4} h) (\frac{1}{2} \frac{3}{4} h) = \frac{9}{32} b h^2$$
  
 $s'' = \frac{3}{4} h$ .

# 4.5.8 Sistema di masse-momenti statici

Si consideri la sezione retta della trave soggetta a sforzo normale eccentrico e siano n ed s l'asse neutro e l'asse di sollecitazione, rispettivamente.



Preso come riferimento il sistema Xns, e dette so ed Sc le coordinate del baricentro e del centro di pressione in tale sistema, la relazione tra la posizione della retta ne del suo contro relativo C risulta:

$$S_G\left(S_C - S_G\right) = \int_{\mathcal{C}}^2 ,$$

dove r e' la retta parallela ad n per G. Si ottiene:

$$S_{G}S_{C} = \int_{\gamma}^{\gamma} + S_{G}^{\gamma} = \int_{0}^{\gamma} ,$$

avendo tenuto conto delle formule di trasposizione relative ai raggi di inerzia. Moltiplicando per la massa totale della sezione retta (l'area, nel caso omogeneo) si ottiene:

$$M S_{G} S_{c} = J_{n} ,$$

da cui :

$$S_n S_c = J_n$$
,

dove Sn rappresenta il momento statico rispetto all'asse nentro.

Si consideri ora in luogo del sistema di masse originario, di distribuzione di massa masse originario, di distribuzione di massa malla E, dove E e' il modulo di Young, nel caso della teoria delle travi), il sistema di masse momenti-statici che si ottiene moltiplicando le masse unitarie me per le loro distanze si dall'as= se neutro. Se si calcolano i momenti statici Sn e Scon di tale sistema di masse rispetto agli assi neutro e di sollecitazione rispettivamente, si ottiene:

$$S_{\mathbf{n}}^{(\mathbf{n})} = \int_{A} (\mu s) s dA = J_{\mathbf{n}}$$
,

$$S_s^{(n)} = \int_A (\mu s) n dA = J_{ns}.$$

Poiche  $J_{ns} = 0$ , il baricentro  $G^{(n)}$  di tale sistema di masse-momenti statici, detto centro relativo della retta n, appartiene alli) asse di sollecitazione s. Inoltre, la massa totale  $M^{(n)}$  del nuovo sistema di masse risulta:

$$\mathbb{N}^{(n)} = \int_{A} (\mu s) dA = S_n .$$

Quindi, la relazione tra C ed n si sqive:  $\mathbb{M}^{(n)} S_{C} = S_{\mathbf{n}}^{(n)} ,$ 

e tale relazione mostra che il centro di solleci=
tazione C coincide con il centro relativo della retta n,
cioè con il baricentro del sistema di masse – momenti
statici (relativi all'asse neutro).

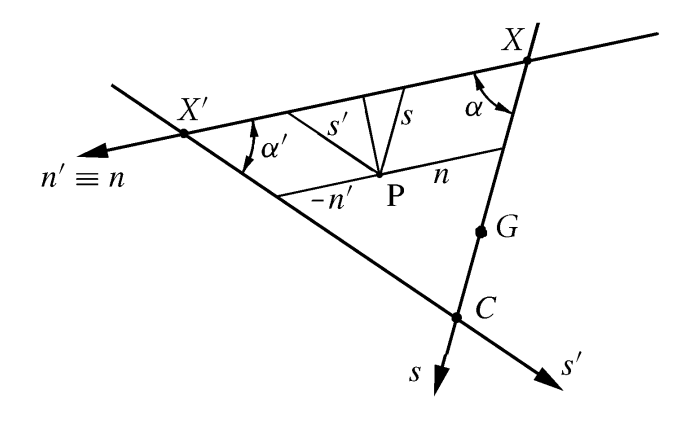
Le masse-momenti statici sono distrituite sulla figura originaria.

Se la retta n à radeute la figura le masse-momenti statici hanno tette lo stesso segno e ne conseque che il ceutro relativo C, quale loro bariceutro,

deve essere interno all'inviluppo delle rette radeuti.

Questo significa che il contorno del nocciolo centrale di
inerzia, e quindi tutto il nocciolo, e' interno all'in=
viluppo delle rette radenti.

Inoltre, se n è una retta non baricentrica allora le rette coniugate della retta n passano per l'antipolo C di n, e viceversa se una retta s' passa per l'antipolo C di n allora s' è coniugata di n. In altre parole il fascio di rette di sostegno l'antipolo C di n individua tutte e solo le rette coniugate di n.



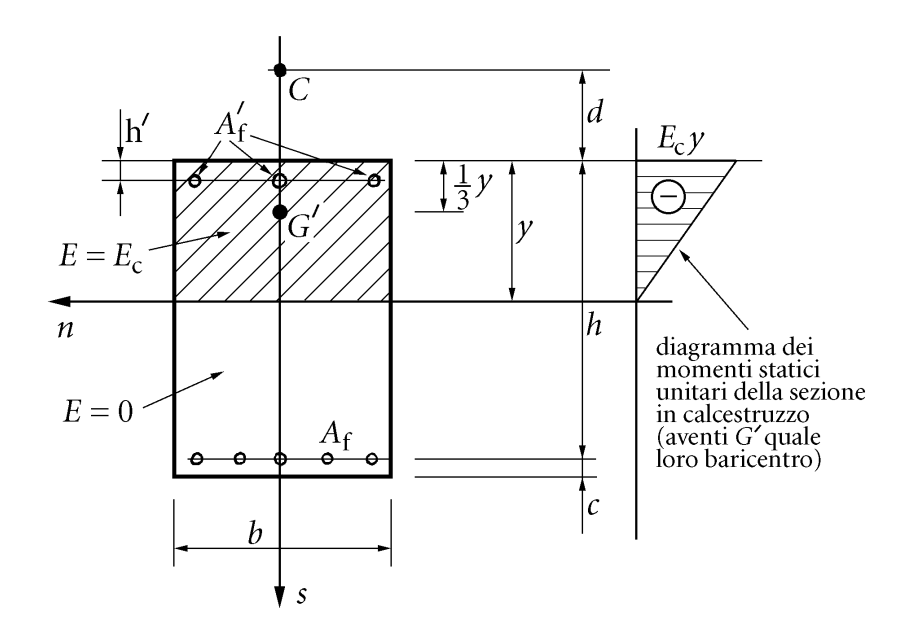
Infatti sia s' una retta per C. Il generico punto P ha coordinate (n, s) nel sistema Xns e (n', s') nel sistema X'n's' (con  $n' \equiv n$ ), come indicato in figura. Risulta  $s' = s \sin \alpha / \sin \alpha'$  e quindi:

$$J_{n's'} = \int_{A} E n's' \, dA = \frac{\sin \alpha}{\sin \alpha'} \int_{A} (Es) \, n' \, dA = \frac{\sin \alpha}{\sin \alpha'} S_{s'}^{(n)} = 0, \quad (4.87)$$

poiché il momento statico  $S_{s'}^{(n)}$  rispetto all'asse s' del sistema di masse momenti statici relativi all'asse n è nullo dato che la retta s' è baricentrica di tale sistema di masse.

# Sezione rettangolare in cemento armato a doppia armatura

Se il centro di pressione e' esterno al nocciole centrale di inerzia dell'intera sezione omoge= neizzata (ottenuta moltiplicando per  $n = E_a/E_c$  le aree di acciaio), la sezione di colcestruzzo risulta



pareializzata dall'asse neutro. Sia y la distauza dell'asse neutro dal lembo del calstruzzo compresso, posto dalla parte del centro di pressiane.

Allora risulta che la massa totale dei momenti statici rispetto a *n* dell'area di calcestruzzo reagente vale:

$$-\frac{1}{2}b(E_cy)y$$

mentre la distanza del baricentro dalle masse momenti statici dell'area di calcestruzzo reagente dal centro di sollecitazione risulta:

$$\frac{1}{3}y + d.$$

Impoulude la condizione che C sia baricentrice del sistema di masse-momenti statici (relativi all'asse nentro stesso), si attiene:

$$\left\{ -\frac{1}{2}b(E_{c}y)y\right\} \left(\frac{1}{3}y+d\right) + \\ + E_{a}A_{f}(h-y)(h+d) - E_{a}A_{f}'(y-h')(h'+d) = 0.$$
 Ne visulta la seguente equazione di terzo grado:

$$\frac{b}{6}y^{3} + \frac{bd}{2}y^{2} + n\left\{A_{f}(h+d) + A_{f}'(h'+d)\right\}y +$$

$$-n\left\{A_{f}h(h+d) + A_{f}'h'(h'+d)\right\} = 0.$$

Tale equazione ha una sola variazione di segno e questo implica che ammette una sola radice reale.

Nota y, e nota la sezione reagente e pro' essere calcolato il momento statico rispetto all'asse neutro dell'area reagente, omogeneizzata all'area di calcestruzzo:

$$S_n = -\frac{by^2}{2} + nA_f(h-y) - nA_f'(y-h'),$$

seuz'altro negativo nel caso in esame poiche il baricentro della sezione reagente si deve trovare tra C e n.

La tensione massima nel calcestruzzo compresso risulta:

$$\delta_c = -\frac{N}{S_n} y ,$$

la tensione nell'acciaio teso risulta:

$$G_{q} = n \frac{N}{S_{n}} (h-y),$$

ed infine la tensione nell'acciaio compresso risulta:

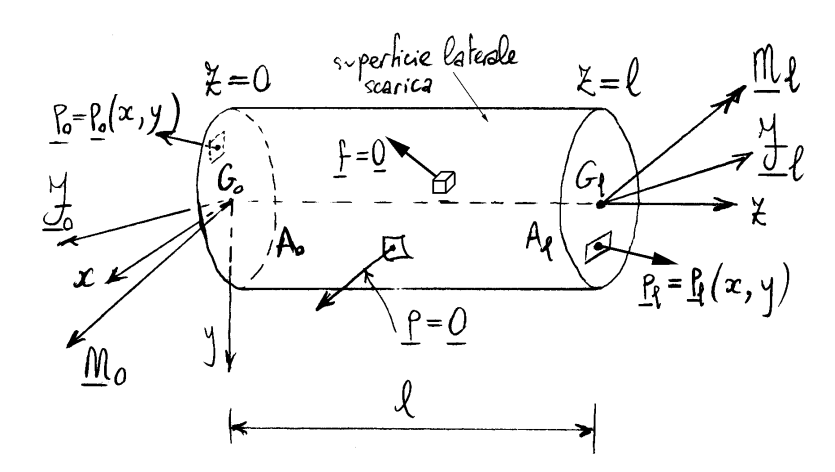
$$\sigma_{a}' = -n \frac{N}{S_{n}} (y - h')$$
.

Si noti che non e' possibile risolvere il caso della forza normale eccentrica per una sezione in cemento armato sovrapponendo gli effetti di una forza normale centrata con quello di una (o due) Alessioni rette, poi = che' nei diversi casi le sezioni reagenti sono diverse.

# Capitolo 5

# **MODELLO DI SAINT-VENANT**

Quale modello semplificato di trave nell'ambito della meccanica dei solidi elastici lineari isotropi (*teoria matematica dell'elasticità*) si studierà un corpo cilindrico di sezione generica non vincolato e caricato solo nelle due sezioni di estremità. Un corpo cilindrico è un caso particolare di trave ad asse rettilineo ed a sezione costante. Anche se caricato solo alle estremità è comunque possibile assoggettarlo a forze esterne in grado di generare tutte e sei le componenti di sollecitazione. La linea d'asse della trave viene



scelta coincidente con il baricentro, mentre gli assi x e y sono scelti coin-

cidenti con gli assi principali di inerzia. Questo significa che i momenti statici  $S_x$  e  $S_y$ , così come il momento centrifugo  $J_{xy}$ , sono nulli.

Poiché la trave non è vincolata occorre imporre le condizioni di equilibrio globale. L'equilibrio delle forze richiede:

$$\int_{A_0} \boldsymbol{p}_0 \, \mathrm{d}A + \int_{A_{\ell}} \boldsymbol{p}_{\ell} \, \mathrm{d}A = \boldsymbol{0}, \tag{5.1}$$

da cui:

$$\boldsymbol{\mathcal{F}}_0 + \boldsymbol{\mathcal{F}}_\ell = \boldsymbol{0},\tag{5.2}$$

dove  $\mathcal{F}_0$  e  $\mathcal{F}_\ell$  sono le risultanti globali sulla sezione di prima e, rispettivamente, di seconda estremità. L'equilibrio dei momenti richiede invece:

$$\int_{A_0} (P - G_0) \times \boldsymbol{p}_0 \, \mathrm{d}A + \int_{A_\ell} (P - G_0) \times \boldsymbol{p}_\ell \, \mathrm{d}A = \boldsymbol{0}. \tag{5.3}$$

Tenendo conto che su  $A_{\ell}$  risulta:

$$P - G_0 = (P - G_{\ell}) + (G_{\ell} - G_0). \tag{5.4}$$

si ha infine:

$$\mathcal{M}_0 + \mathcal{M}_{\ell} + (G_{\ell} - G_0) \times \mathcal{F}_{\ell} = \mathbf{0}, \tag{5.5}$$

dove  $\mathcal{M}_0$  e  $\mathcal{M}_\ell$  sono i momenti risultanti globali sulla sezione di prima e, rispettivamente, di seconda estremità. Ne risulta che la risultante  $\mathcal{F}_0$ 

e il momento risultante  $\mathcal{M}_0$  agenti sulla base di prima estremità dipendono dalla risultante  $\mathcal{F}_\ell$  e dal momento risultante  $\mathcal{M}_\ell$  agenti sulla base di seconda estremità:

$$\mathcal{F}_0 = -\mathcal{F}_\ell,\tag{5.6a}$$

$$\mathcal{M}_0 = -\mathcal{M}_{\ell} - (G_{\ell} - G_0) \times \mathcal{F}_{\ell}. \tag{5.6b}$$

#### 5.1 Caratteristiche della sollecitazione

Siano  $\mathcal{F}_X$ ,  $\mathcal{F}_Y$  e  $\mathcal{F}_Z$  le componenti della risultante  $\mathcal{F}_\ell$  agente sulla sezione di seconda estremità e, analogamente,  $\mathcal{M}_X$ ,  $\mathcal{M}_Y$  e  $\mathcal{M}_Z$  le componenti del momento risultante  $\mathcal{M}_\ell$ . L'equilibrio del generico tronco di trave compreso tra la sezione retta generica e la sezione di seconda estremità conduce ai seguenti valori delle caratteristiche della sollecitazione:

$$N = \mathcal{F}_{z}, \tag{5.7a}$$

$$M_{X} = \mathcal{M}_{X} - \mathcal{F}_{Y} \left( \ell - z \right), \tag{5.7b}$$

$$M_{\mathcal{V}} = \mathcal{M}_{\mathcal{V}} + \mathcal{F}_{\mathcal{X}} \left( \ell - z \right), \tag{5.7c}$$

$$M_{\uparrow} = \mathcal{M}_{z}, \tag{5.7d}$$

$$T_X = \mathcal{F}_X,\tag{5.7e}$$

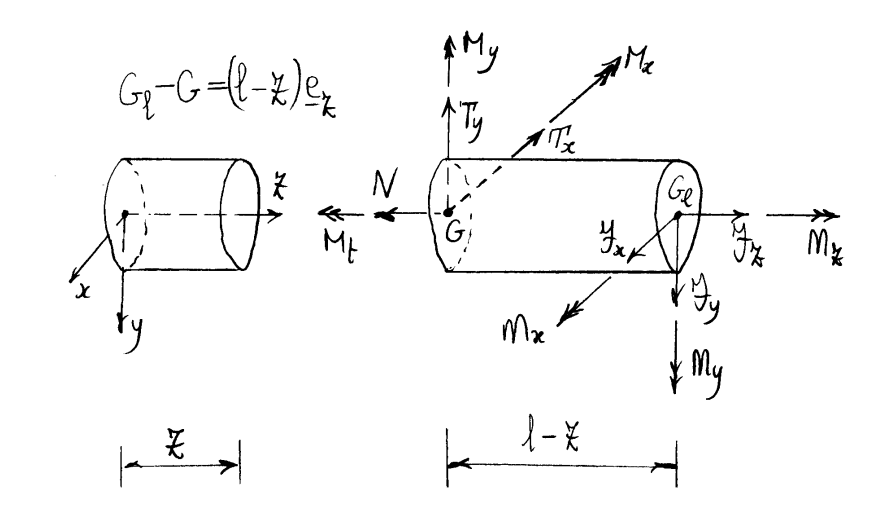
$$T_{\mathcal{Y}} = \mathcal{F}_{\mathcal{Y}}.\tag{5.7f}$$

Si noti che lo sforzo normale e le componenti di taglio sono costanti lungo l'asse della trave e che tali valori uguagliano le corrispondenti componenti  $F_z$ ,  $F_x$  e  $F_y$  della forza risultante agente sulla base di seconda estremità. Analogamente, il momento torcente è costante lungo l'asse della trave e tale valore uguaglia la corrispondente componente  $\mathcal{M}_z$  del momento risultante agente sulla base di seconda estremità. Le uniche caratteristiche della sollecitazione in generale variabili (linearmente) lungo l'asse della trave sono dunque le componenti del momento flettente, componenti che per i risultati precedenti possono porsi nella forma:

$$M_{x} = \mathcal{M}_{x} - T_{y} \left( \ell - z \right), \tag{5.8a}$$

$$M_{\mathcal{V}} = \mathcal{M}_{\mathcal{V}} + T_{\mathcal{X}} \left( \ell - z \right). \tag{5.8b}$$

Ne risulta che occorre tenere distinte dalle caratteristiche della sollecitazione le sole componenti  $\mathcal{M}_x$  e  $\mathcal{M}_y$  del momento risultante  $\mathcal{M}_\ell$  agente sulla base di seconda estremità.



# 5.2 Principio e ipotesi di Saint-Venant

Il problems così impostato si presenta di difficile solvaione se un si pongono limit, alla distribuzione dei carichi nelle due sezioni di estremità. Sacre, a tale proposito, il principio di Saint-Venont. Tale principio afferma che due diverse distribuzioni di forze sulle sezioni di estremità avent: ugrali risultante

e momento risultante provocano effetti sensibilmente differenti sala in prossimità delle sezioni di estremità:

Pro'essere albra possibile scegliere, fra le diverse soluzioni corrispondenti a distribuzioni di forze sulle due bassi arenti uguali risultante e mamento risultante, una soluzione particular mente semplice.

Precisamente, si cercano quelle soluzioni de soddisfano le seguenti candizioni restrittive sul tensor degli sforzi (ipotesi di Szint-Venant):

$$G_x = G_y = G_{xy} = O_y$$

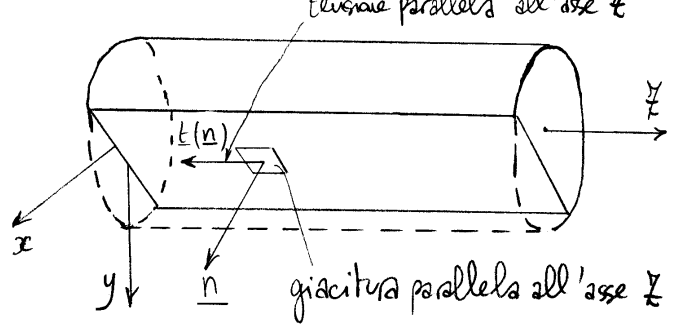
ovverossia:

$$[\boldsymbol{\sigma}] = \begin{bmatrix} 0 & 0 & \tau_{xz} \\ 0 & 0 & \tau_{yz} \\ \tau_{xz} & \tau_{yz} & \sigma_z \end{bmatrix}$$
 (5.9)

Tale richiesta è giustificata innanzitutto dal fatto che le componenti della terza colonna del tensore degli sforzi devono essere in generale diverse dallo zero per poter generare delle caratteristiche della sollecitazione generiche sulle sezioni rette (di normale *z*). Se poi le altre componenti sono nulle il problema delle tensioni tangenziali viene drasticamente semplifica-

to dal fatto che queste (come si vedrà nel seguito) diventano indipendenti dalla coordinata z sulla linea d'asse. Si noti anche che la (5.9) equivale fisicamente a richiedere che le fibre della trave, stese parallelamente all'asse z, interagiscano tra loro con un vettore di tensione di direzione z. Infatti se  $\boldsymbol{n}$ , di componenti  $(n_x, n_y, 0)$ , è la normale di un elemento di area parallelo all'asse z, allora:

$$\left\{ \underline{\sigma} \, \underline{n} \right\} = \begin{bmatrix} 0 & 0 & \tau_{xx} \\ 0 & 0 & \tau_{yx} \\ \tau_{xx} \, \tau_{yx} & \sigma_{x} \end{bmatrix} \begin{cases} n_{x} \\ n_{y} \\ 0 \end{cases} = \begin{cases} 0 \\ \tau_{xx} \, n_{x} + \tau_{yx} \, n_{y} \end{cases}.$$
tensione parallela all'asse  $x$ 



È chiaro che a priori non è detto che tra le soluzioni "equivalenti" nel senso del principio di Saint-Venant ce ne sia una avente la forma (5.9), ciò che giustifica la denominazione di ipotesi data a tale condizione.

# Problema di Saint-Venant

Possiano, a questo punto, enunciare il problema di Saint-Veusut:

"Dato un corpo cilinarico B caricata solo alle estremita" determinare un campo di tensioni o , di deformazioni ¿ e di spostamenti u tali che siano soddistatte le segrenti equazioni nel valeme B:

div 
$$\underline{\sigma} = \underline{O}$$
 (equational indefinite di equilibrio)
$$\underline{\mathcal{E}} = \frac{1}{2} \left( \operatorname{grad} \underline{u} + \operatorname{grad} \underline{u}^{\mathsf{T}} \right) \qquad (\text{ougreenza})$$

$$\underline{\mathcal{E}} = \frac{1}{E} \left\{ (1+\nu) \underline{\sigma} - \nu (t \underline{\sigma}) \underline{I} \right\} \quad (\text{legame ostitutivo})$$

$$\underline{\mathcal{E}} = \underline{\sigma}_{y} = \underline{\tau}_{xy} = \underline{O} \qquad (\text{ipotesidiSaint-Venant})$$

$$\underline{\mathcal{E}} = \underline{\sigma}_{y} = \underline{\tau}_{xy} = \underline{O} \qquad (\text{ipotesidiSaint-Venant})$$

$$\underline{\mathcal{E}} = \underline{\sigma}_{y} = \underline{\tau}_{xy} = \underline{O} \qquad (\text{ipotesidiSaint-Venant})$$

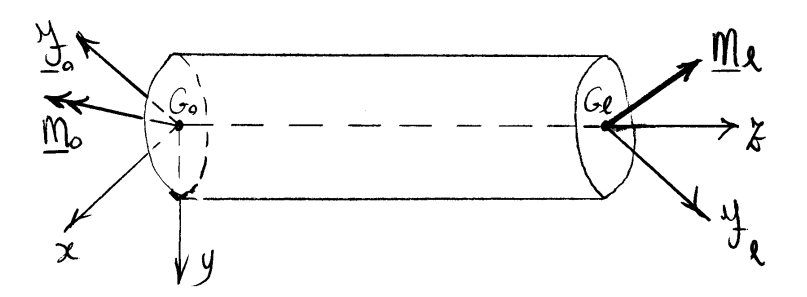
laterale:

$$\underline{\sigma}\underline{n}=\underline{0}$$

e le seguenti condizioni di equivalenza statica nelle sezioni rette delle travi:

$$F = \int_A \boldsymbol{\sigma} \, \boldsymbol{e}_z \, dA, \qquad \boldsymbol{M} = \int_A (P - G) \times (\boldsymbol{\sigma} \, \boldsymbol{e}_z) \, dA,$$

dove F e M sono le caratteristiche della sollecitazione. Si noti che tali condizioni scritte per le due basi del cilindro equivalgono alle condizioni globali di equilibrio al contorno sulle stesse basi. D'altronde le condi-



zioni globali di equilibrio al contorno sulle basi del cilindro insieme alle equazioni indefinite di equilibrio impongono la validità delle condizioni di equivalenza statica nelle sezioni rette delle travi.

Nel seguito si esprimeranno in componenti le varie equazioni del problema, sempre nell'ipotesi che l'asse z coincida con l'asse della trave e l'origine con il baricentro di una sezione di estremità.

# Equacioni indefinite di agrilibrio $(\sigma_x = \sigma_y = \tau_{zy} = 0)$ :

$$\begin{cases}
\frac{\partial t_{xx}}{\partial x} = 0 & \Rightarrow t_{xx} = t_{xx}(x, y) \\
\frac{\partial t_{yx}}{\partial x} = 0 & \Rightarrow t_{yx} = t_{yx}(x, y) \\
\frac{\partial t_{xx}}{\partial x} + \frac{\partial t_{yx}}{\partial y} + \frac{\partial t_{xx}}{\partial x} = 0
\end{cases}$$

Legame ostiblivo (tro = ox):

$$\begin{bmatrix} \underline{\mathcal{E}} \end{bmatrix} = \frac{1}{E} \left\{ \begin{pmatrix} 1+\nu \end{pmatrix} \begin{bmatrix} 0 & 0 & \nabla_{x_{k}} \\ 0 & 0 & \nabla_{y_{k}} \\ \nabla_{x_{k}} & \nabla_{y_{k}} & \sigma_{k} \end{bmatrix} - \nu \begin{bmatrix} \sigma_{k} & 0 & 0 \\ 0 & \sigma_{k} & 0 \\ 0 & 0 & \sigma_{k} \end{bmatrix} \right\},$$

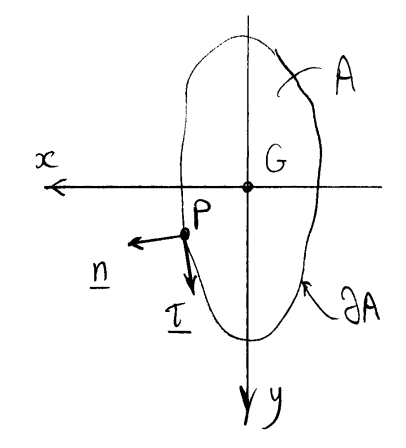
e quindi:

$$\begin{bmatrix} \underline{\varepsilon} \end{bmatrix} = \frac{1}{E} \begin{bmatrix} -\nu \sigma_{\chi} & 0 & (1+\nu) \sigma_{\chi\chi} \\ 0 & -\nu \sigma_{\chi} & (1+\nu) \sigma_{\chi\chi} \\ (1+\nu) \sigma_{\chi\chi} & (1+\nu) \sigma_{\chi\chi} & \sigma_{\chi} \end{bmatrix}.$$

# Equilibrio sulla superficie laterale

$$\left\{ \begin{array}{c} \underline{\sigma} \, \underline{n} \end{array} \right\} = \begin{bmatrix} 0 & 0 & \tau_{xz} \\ 0 & 0 & \tau_{yz} \\ \tau_{xz} & \tau_{yz} & \sigma_{z} \end{bmatrix} \begin{bmatrix} n_{z} \\ n_{y} \\ 0 \end{bmatrix} = \begin{bmatrix} 0 \\ 0 \\ \tau_{zz} \, n_{x} + \tau_{yz} \, n_{y} \end{bmatrix}$$

$$\underline{\sigma}\underline{n} = \underline{0} \implies \boxed{\tau_{xx} n_x + \tau_{yx} n_y = 0} \Rightarrow \underline{\tau \cdot \underline{n}} = 0$$



normale <u>n</u> alla superficie laterale:

$$\left\{ \underline{\cap} \right\} = \left\{ \begin{array}{c} \mathbf{n}_{\mathbf{x}} \\ \mathbf{n}_{\mathbf{y}} \\ O \end{array} \right\}$$

La tensione tangenziale totale  $\underline{T}$  in un punto P appartenente al outorno  $\partial A$  di una generica sezione rettà deve essere tangente al outorno della sezione.

# Equivalenza statica nelle sezioni rette

La tensione  $\sigma e_z$  ha le segrenti componenti:

$$\left\{\boldsymbol{\sigma}\boldsymbol{e}_{z}\right\} = \left\{\begin{matrix} \tau_{xx} \\ \tau_{yx} \\ \sigma_{x} \end{matrix}\right\}.$$

Il momento della tensione  $\sigma e_z$  rispetto al baricentro risulta:

$$(P-G)\times \boldsymbol{\sigma} \boldsymbol{e}_z = \begin{vmatrix} \underline{e}_x & \underline{e}_y & \underline{e}_{x} \\ x & y & 0 \\ \tau_{xx} & \tau_{yx} & \tau_{x} \end{vmatrix},$$

e quinchi si haur le componenti:

$$\left\{ (P-G) \times \boldsymbol{\sigma} \boldsymbol{e}_{z} \right\} = \left\{ \begin{array}{c} \sigma_{z} \, y \\ -\sigma_{z} \, x \\ \tau_{yz} x - \tau_{xz} y \end{array} \right\}.$$

Si ottiene quindi:

$$\begin{cases}
\int_{A_{\ell}} G_{\chi} dA = N \\
\int_{A_{\ell}} G_{\chi} y dA = M_{\chi} - T_{\chi} (\ell - z)
\end{cases};$$

$$\int_{A_{\ell}} G_{\chi} x dA = -M_{\chi} - T_{\chi} (\ell - z)$$

$$\int_{A} (T_{\chi \chi} x - T_{\chi \chi} y) dA = M_{t}$$

$$\int_{A} T_{\chi \chi} dA = T_{\chi}$$

$$\int_{A} T_{\chi \chi} dA = T_{\chi}$$

# 5.4 Estensione del problema di Saint-Venant

Sotto l'ipotesi di Saint-Venant ( $\zeta_{xy} = \delta_x = \delta_y = 0$ ) l'energia complementare elastica per unita di volume assume l'aspetto:

$$\Psi_{\nu} = \frac{1}{2E} \left( \frac{1}{\Gamma \sigma} \right)^{2} - \frac{1+\nu}{E} \sigma_{\pi}$$

$$= \frac{\sigma_{\chi}^{2}}{2E} + \frac{\tau_{\chi\chi}^{2} + \tau_{\chi\chi}^{2}}{2G}.$$

L'energia complementare elssics per unità di linea si attiene integrando nell'area la 4.

$$\Psi_{\ell} = \int_{A} \frac{\sigma_{\chi}^{2}}{2E} dA + \int_{A} \frac{\tau_{\chi\chi}^{2} + \tau_{\chi\chi}^{2}}{2G} dA.$$

Per via delle (5.7), le forze esterne applicate al cilindro di Saint-Venant dipendono linearmente dalle caratteristiche della sollecitazione:

$$\mathcal{F}_z = N,\tag{5.10a}$$

$$\mathcal{M}_{x} = M_{x} + T_{y} \left( \ell - z \right), \tag{5.10b}$$

$$\mathcal{M}_{\mathcal{V}} = M_{\mathcal{V}} - T_{\mathcal{X}} \left( \ell - z \right), \tag{5.10c}$$

$$\mathcal{M}_Z = M_{\mathsf{t}},\tag{5.10d}$$

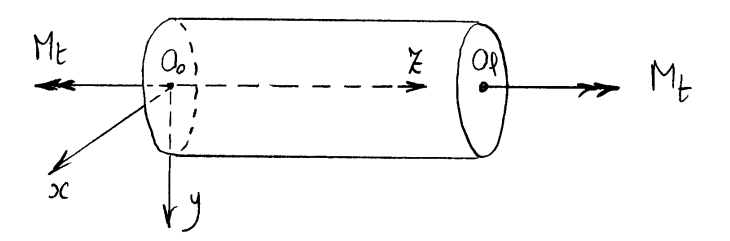
$$\mathcal{F}_{x} = T_{x},\tag{5.10e}$$

$$\mathcal{F}_{\mathcal{V}} = T_{\mathcal{V}}.\tag{5.10f}$$

Ne consegue che le tensioni soluzioni del problema di Saint-Venant, e quindi l'energia complementare per unità di linea, sono funzioni delle caratteristiche della sollecitazione. È quindi possibile estendere la soluzione del problema di Saint-Venant al caso della trave generica, in generale sia ad asse curvo che a sezione retta variabile e inoltre caricata sulla superficie laterale e nel volume, estendendo al caso generico l'energia complementare per unità di linea ottenuta nel caso particolare del problema di Saint-Venant. Tale estensione è equivalente a ritenere che, almeno approssimativamente, l'energia elastica di deformazione per unità di linea dipenda dalla geometria della trave e dai carichi applicati solo attraverso il valore delle caratteristiche della sollecitazione. Si ricordi che dalla energia elastica di deformazione per unità di linea si ottengono le equazioni costitutive via differenziazione, per cui avere l'una è equivalente ad avere le altre.

# 5.5 Problema della torsione

Si ha sollecitazione di torsione quando il cilindro di Saint-Venant è soggetto alle due estremità ad una coppia torcente  $M_t$ . Poiché il momento tor-



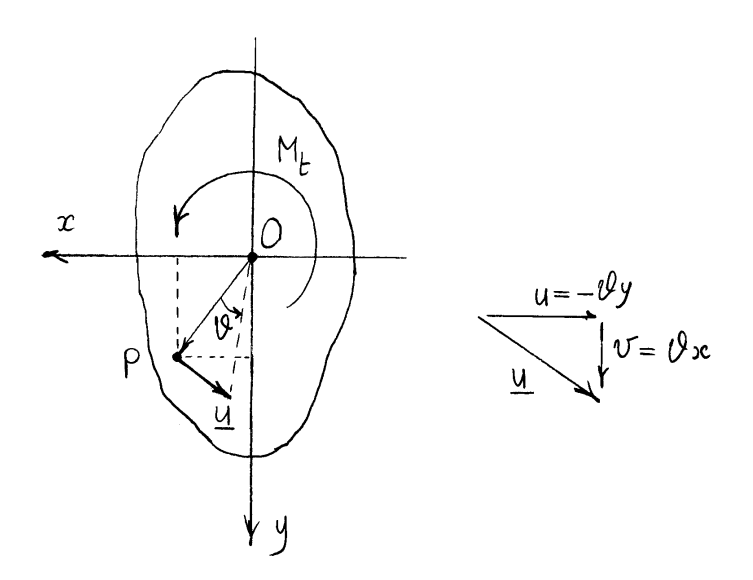
cente dipende solo dalla tensione tangenziale è lecito ipotizzare che non vi siano tensioni normali agenti su una qualunque sezione retta del cilindro.

# 5.5.1 Funzione di ingobbamento

Per l'ipotesi fatta sulle tensioni risultano nulle le dilatazioni delle linee appartenenti alla sezione retta. Dato che la condizione  $\tau_{xy}=0$  impone  $\gamma_{xy}=0$ , sono nulli anche gli scorrimenti di tali linee. Questo significa che non vi è deformazione della sezione nel proprio piano. Tuttavia ciò non esclude un ingobbamento della sezione al di fuori del proprio piano.

Si assuma allora che la sezione retta generica, quindi dipendente dalla coordinata z, subisca una rotazione rigida nel proprio piano più una componente di spostamento nella direzione ortogonale alla sezione retta variabile da punto a punto, componente che in generale provocherà un ingobbamento della stessa sezione. Quindi, se la componente di spostamento ortogonale alla sezione non risulterà nulla a meno di una trasformazione rigida la sezione non si conserverà piana.

Tenuto conto che in tale problema la risultante agente sulla base di seconda estremità è nulla, il momento torcente non dipende dal polo prescelto per la sua valutazione. Si assume allora quale asse z della trave un asse generico che individuerà il punto O nella generica sezione, il centro  $O_0$  degli assi di riferimento nella sezione di prima estremità e il punto  $O_\ell$  nella sezione di seconda estremità. Si ipotizza inoltre che la rotazione torsionale della generica sezione nel proprio piano abbia quale polo il punto O e un'ampiezza  $\vartheta$  in generale funzione di z.



Poichè, come detto, tutte le tensioni normali sono nulle per ipotesi, deve essere nulla anche la dilatazione  $\epsilon_z$  delle fibre parallele a z e quindi:

$$\xi_{k} = \frac{\partial w}{\partial k} = 0 \implies w = w(x, y).$$

la componente di spostamento w e dinque indipen= dente da Z. Le componenti di spostamento risultano:

$$u = - \psi y,$$

$$v = \psi x,$$

$$w = \psi(x, y).$$

Le unide auponent: di deformazione van nulle sono (come deve essere) gli scorrimenti V<sub>xx</sub> e tyx:

$$\begin{cases} \lambda_{xx} = -\Theta y + \frac{\partial w}{\partial x} \\ \lambda_{yx} = \Theta x + \frac{\partial w}{\partial y} \end{cases}$$

dove:

$$\Theta = \frac{dV}{dk}$$

le corrispondenti tensioni tongenziali risultano:

$$\begin{cases}
\zeta_{xx} = G\left(-\Theta y + \frac{\partial w}{\partial x}\right) \\
\zeta_{yx} = G\left(\Theta x + \frac{\partial w}{\partial y}\right)
\end{cases}$$

Poiche tali tensioni devono essere indipendenti da Z deve essere:

$$\Theta = Ost$$
.

Quindi la rotazione  $\ell$  può porsi nella forma:

$$\mathcal{O} = \Theta \not\in$$
,

a meno di inessenziali rotazioni e traslazioni globali.

La costanza con  $\chi$  di  $\Theta$  permette poi di serivere:  $W = \Theta(\omega(x,y))$ ,

dove la funzione  $\omega(x,y)$  viene delta funzione di

ingo bbamento. Il campo degli spostamenti diventa quindi:

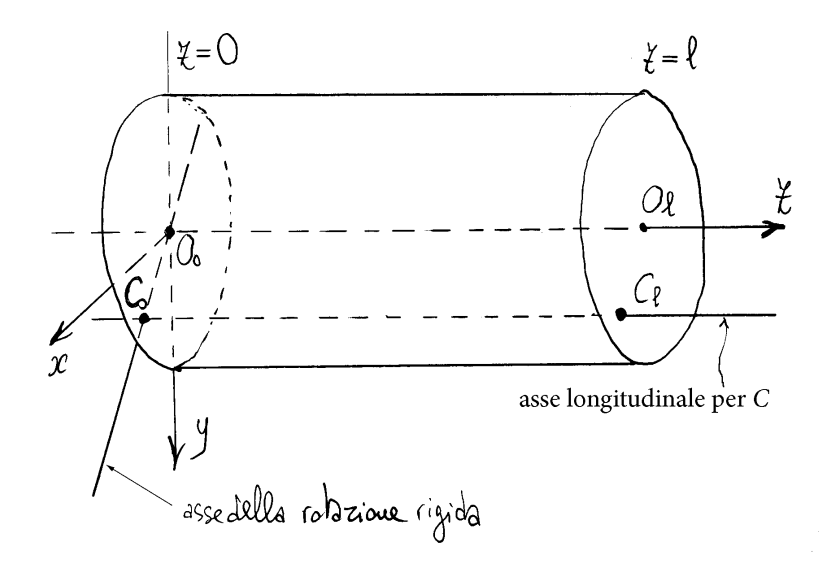
$$u = - \widehat{\Theta} \quad y \not \xi,$$

$$v = \widehat{\Theta} \quad x \not \xi,$$

$$w = \widehat{\Theta} \quad \omega (x, y).$$

Si noti che a causa della rotazione attorno al punto O la generica linea longitudinale passante per un punto C si inclina di un angolo O |C-O| nella direzione ortogonale al vettore posizione C-O. Risulta quindi possibile raddrizzare tale linea longitudinale, rendendola in tal modo centro della rotazione torsionale, aggiungendo al campo degli spostamenti precedenti una rotazione di asse passante per il punto O della sezione di prima estremità caratterizzata dal vettore rotazione:

$$\boldsymbol{\varphi} = \Theta(C - O). \tag{5.11}$$



Si ottiene il seguente campo di spostamenti:

$$\begin{cases} u \\ v \\ w \end{cases} = \Theta \begin{bmatrix} 0 & 0 & y_c \\ 0 & 0 & -x_c \\ -y_c & x_c & 0 \end{bmatrix} \begin{bmatrix} x \\ y \\ y \end{bmatrix} + \Theta \begin{cases} -y \not \xi \\ x \not \xi \\ \omega \end{bmatrix}$$

e cioè:

dove:

$$\omega_{\rm C} = \omega - \gamma_{\rm C} \chi + x_{\rm C} \gamma$$

è la funzione di ingobbamento relativa al centro C.

Utilizzando, come visto senza perdita di generalità, il campo di spostamenti relativo alla scelta del centro *O* quale centro di rotazione delle sezioni rette, si ottengono allora i seguenti campi di deformazione e di tensione:

$$\begin{cases} \chi_{x\xi} = \Theta\left(\frac{\partial w}{\partial x} - y\right) & \int \tau_{x\xi} = G\Theta\left(\frac{\partial w}{\partial x} - y\right) \\ \chi_{y\xi} = \Theta\left(\frac{\partial w}{\partial y} + x\right)' & \int \tau_{y\xi} = G\Theta\left(\frac{\partial w}{\partial y} + x\right)' \end{cases}$$

oppure, in forma vettoriale:

$$\underline{Y} = \Theta \left\{ \operatorname{grad} w + \underline{R}_{\frac{\pi}{2}} \left( P_{-} G_{-} \right) \right\},$$

$$\underline{Y} = G \Theta \left\{ \operatorname{grad} w + \underline{R}_{\frac{\pi}{2}} \left( P_{-} G_{-} \right) \right\},$$

dove  $\frac{R_{\frac{\pi}{2}}}{2}$  e'il tensore robazione di 90° in direzione autioraria. La terza equazione indefinità di equilibrio richiede:

$$\frac{\partial \mathcal{T}_{xx}}{\partial x} + \frac{\partial \mathcal{T}_{yx}}{\partial y} = \operatorname{div} \underline{\tau} = 0,$$

do che  $\sigma_{\mathbf{z}} = 0$ . Quindi:

$$G\Theta\left(\frac{\partial^2 \omega}{\partial x^2} + \frac{\partial^2 \omega}{\partial y^2}\right) = G\Theta \operatorname{div}(\operatorname{grad} \omega) = 0,$$

gvverossi a

$$\nabla^2 \omega = \operatorname{div}(\operatorname{grad} \omega) = 0$$
.

Alla surviour di ingobbamento e dunque richiesto di soddisfare l'equazione di Laplace. Le condizioni al contorno sulla superficie laterale richiedano invece:

$$\underline{\zeta} \cdot \underline{n} = \tau_{xx} \eta_x + \tau_{yx} \gamma_y = 0$$
,

quindi deve risultare:

$$G\Theta\left(\operatorname{grad}\omega\cdot\underline{n} + \left[\underline{R}_{\frac{\pi}{2}}(p_{-0})\right]\cdot\underline{n}\right) = 0,$$

e in definitiva:

$$\frac{\partial \boldsymbol{\omega}}{\partial \boldsymbol{n}} = \left[ \underline{R}_{\frac{\pi}{2}}^{T} \left( P_{-} O_{-} \right) \right] \cdot \underline{\boldsymbol{n}} = y \, \boldsymbol{n}_{\boldsymbol{x}} - x \, \boldsymbol{n}_{\boldsymbol{y}} .$$

In conclusione, la funzione ce deve soddisfare il seguente problems di Neumann (dipendente solo

dalla soma geometrica della sezione retta):

$$\begin{cases} \nabla^2 \boldsymbol{w} = 0 & \text{in } A \\ \frac{\partial \boldsymbol{w}}{\partial \boldsymbol{n}} = \boldsymbol{y} \, \boldsymbol{n}_{\boldsymbol{x}} - \boldsymbol{x} \, \boldsymbol{n}_{\boldsymbol{y}} & \text{so } \partial A \end{cases}.$$

La soluzione del problems di Neumann esiste ed e'unica (a meno di una inessenziale contante arbitaria) se e' soddisfatta la condizione:

$$\int_{\partial A} \frac{\partial \omega}{\partial n} ds = 0 \qquad .$$

Verifichiamo che tole condizione e' soddisfatta:

$$\int_{\partial A} \frac{\partial \omega}{\partial n} ds = \int_{\partial A} (y n_x - x n_y) ds = (formula di Green)$$

$$= \int_{A} (\frac{\partial y}{\partial x} - \frac{\partial x}{\partial y}) dA = 0.$$

La relazione tra funzione di ingobbamento  $\boldsymbol{\omega}$  relativa al baricentro e quella  $\boldsymbol{\omega_c}$  relativa al generico punto C permette poi di affermare che  $\boldsymbol{\omega_c}$  è soluzione del seguente problema di Neumann:

$$\begin{cases} \frac{\partial^2 \omega_c}{\partial \chi^2} + \frac{\partial^2 \omega_c}{\partial y^2} = 0 \\ \frac{\partial \omega_c}{\partial n} = (y - y_c) n_x - (x - x_c) n_y \end{cases}$$

Inoltre, dato che la sezione circolare è l'unica nella quale il modello costitutivo locale alla Eulero-Bernoulli, la cui cinematica dipende dalle trasformazioni rigide delle sezioni rette, conduce a delle tensioni tangenziali soddisfacenti le condizioni al contorno, ci si può aspettare che questo sia l'unico caso in cui la funzione di ingobbamento si annulli, cioè che risulti  $\omega=0$ , naturalmente a meno di una costante additiva. Infatti nel caso, e solo nel caso, di sezione circolare, assumendo il centro del cerchio quale punto di riferimento O, risulta:

$$\left(\mathbf{R}_{\frac{\pi}{2}}^{\mathrm{T}}\left(P-O\right)\right)\cdot\mathbf{n}=0.$$

Nella condizione al contorno il termine non omogeneo di conseguenza si annulla, le condizioni al contorno diventano omogenee e il problema di Neumann ammette di conseguenza la soluzione nulla, come volevasi dimostrare.

# 5.5.2 Legame costitutivo torsionale

A questo punto resta solo da imporre la condizione globale di equilibrio sulle basi:

$$\int_{A} \left( \tau_{yx} x - \tau_{xx} y \right) dA = M_{t}.$$

Si attiene:

$$G\Theta \int_{A} \left\{ \left( \frac{\partial \omega}{\partial y} + x \right) x - \left( \frac{\partial \omega}{\partial x} - y \right) y \right\} dA = M_{t}.$$

Definendo il fattore tersionale di rigidezza:

$$J_{t} = \int_{A} \left\{ \left( \frac{\partial \omega}{\partial y} + x \right) x - \left( \frac{\partial \omega}{\partial x} - y \right) y \right\} dA$$

$$= \int_{A} \left( \frac{\partial \omega}{\partial y} x - \frac{\partial \omega}{\partial x} y + x^{2} + y^{2} \right) dA,$$

risulta:

$$\Theta = \frac{M_t}{GJ_t} \cdot$$

Nel caso di sezione circolare in cui, come visto,  $\omega = 0$ , risulta:

$$J_t = \int_A (x^2 + y^2) dA = J_0,$$

dove Jo è il <u>momento di inerzia polare (ispetto al</u> centro del cerchio O.

La soluzione del problema della torsione (via Ponzione di ingolomento) risulta quindi:

$$\begin{cases}
u = -\frac{M_t}{GJ_t} \neq y \\
v = \frac{M_t}{GJ_t} \neq x
\end{cases},$$

$$w = \frac{M_t}{GJ_t} \omega(x, y)$$

$$\begin{cases}
\tau_{x\xi} = \frac{M_t}{J_t} \left(\frac{\partial \omega}{\partial x} - y\right) \\
\tau_{y\xi} = \frac{M_t}{J_t} \left(\frac{\partial \omega}{\partial y} + x\right)
\end{cases},$$

oppure:

$$\underline{\underline{f}} = \frac{M!}{J_1!} \left\{ \operatorname{grad} \omega + \underline{R}_{\frac{\pi}{2}} (P-O) \right\}.$$

Si noti che la funzione di ingobbamento ce e il fattere di rigidezza torsionale dipendono solo dalla Terma geometrica della sezione retta.

Energia cauplementare per unità di linea:

$$\psi_{\ell} = \frac{1}{2G} \int_{A} (\tau_{xx}^{2} + \tau_{yx}^{2}) dA =$$

$$= \frac{M_{\ell}^{2}}{2GJ_{\ell}^{2}} \int_{A} \left[ \left( \frac{\partial w}{\partial x} - y \right)^{2} + \left( \frac{\partial w}{\partial y} + x \right)^{2} \right] dA$$

$$= \frac{M_{\ell}^{2}}{2GJ_{\ell}^{2}} \left\{ \int_{A} \left[ \left( \frac{\partial w}{\partial y} + x \right) x - \left( \frac{\partial w}{\partial x} - y \right) y \right] dA$$

$$+ \int_{A} \left[ \frac{\partial w}{\partial x} \left( \frac{\partial w}{\partial x} - y \right) + \frac{\partial w}{\partial y} \left( \frac{\partial w}{\partial y} + x \right) \right] dA \right\}.$$

Poichè risulta:

$$\begin{split} & \int_{A} \left[ \frac{\partial w}{\partial x} \left( \frac{\partial w}{\partial x} - y \right) + \frac{\partial w}{\partial y} \left( \frac{\partial w}{\partial y} + x \right) \right] dA \\ & = \int_{A} \left\{ \frac{\partial}{\partial x} \left( w \frac{\partial w}{\partial x} - w y \right) + \frac{\partial}{\partial y} \left( w \frac{\partial w}{\partial y} + w x \right) \right\} dA \\ & = \int_{\partial A} \left( \frac{\partial w}{\partial x} n_{x} + \frac{\partial w}{\partial y} n_{y} - y n_{x} + x n_{y} \right) dA = 0 , \end{split}$$

l'energia couplementare assume l'aspetto:

$$\Psi_{\ell} = \frac{M_{\ell}^2}{2G J_{\ell}} .$$

Derivando l'energia complementare rispetto a  $M_t$  si ottiene il legame costitutivo torsionale (2.21) nella forma:

$$M_{t} = GJ_{t}\Theta. \tag{5.12}$$

Estendendo la soluzione di Saint-Venant, che contempla solo il caso omogeneo, la rigidezza torsionale viene quindi a coincidere con il prodotto  $GJ_{\rm t}$  tra il modulo di elasticità tangenziale e il fattore torsionale di rigidezza (indicato nel presente contesto con lo stesso simbolo usato a suo tempo per la rigidezza torsionale).

#### 5.5.3 Funzione delle tensioni

La terza condizione indefinita di equilibrio richiede:

$$\frac{\partial \tau_{xz}}{\partial x} + \frac{\partial \tau_{yz}}{\partial y} = 0. {(5.13)}$$

Una qualunque funzione scalare F(x, y) tale che:

$$\tau_{xz} = \frac{\partial F}{\partial y}, \qquad \tau_{yz} = -\frac{\partial F}{\partial x},$$
(5.14)

o, equivalentemente:

$$\boldsymbol{\tau} = \boldsymbol{R}_{\frac{\pi}{2}}^{\mathrm{T}} \operatorname{grad} F, \tag{5.15}$$

ove al solito  $\mathbf{R}_{\frac{\pi}{2}}$  è il tensore rotazione di 90° in senso antiorario, rende automaticamente soddisfatta l'equazione indefinita di equilibrio. Una funzione F cosiffatta è detta *funzione delle tensioni*.

Dal confronto con la soluzione in termini di funzione di ingobbamento si ottiene:

$$\operatorname{grad} \omega = \frac{J_{t}}{M_{t}} \boldsymbol{\tau} + \boldsymbol{R}_{\frac{\pi}{2}}^{T} (P - O) = \boldsymbol{R}_{\frac{\pi}{2}}^{T} \left\{ \frac{J_{t}}{M_{t}} \operatorname{grad} F + (P - O) \right\}, \quad (5.16)$$

oppure, in componenti:

$$\int \frac{\partial \omega}{\partial x} = \frac{J_t}{M_t} \frac{\partial F}{\partial y} + y$$

$$\frac{\partial \omega}{\partial y} = -\frac{J_t}{M_t} \frac{\partial F}{\partial x} - x$$

Derivando la prima rispetto ad y e la seconda rispetto ad x ed uguagliando si attiene la conclizione necessaria (e sufficiente se la sezione e monoconnessa) di integrabilità nella funzione  $\alpha$  di ingobbamento (congruenza). Si attiene:

$$\frac{J_{t}}{M_{t}} \frac{\partial^{2} F}{\partial y^{2}} + 1 = -\frac{J_{t}}{M_{t}} \frac{\partial^{2} F}{\partial x^{2}} - 1,$$

ovverossia F deve soddisfare la seguente equazione di Poisson:

$$\nabla^2 F = -2 \frac{M_t}{J_t} .$$

Per quel che riguarda la condizione al contorno:

$$\boldsymbol{\tau} \cdot \boldsymbol{n} = 0, \tag{5.17}$$

questa diventa:

$$\left(\mathbf{R}_{\frac{\pi}{2}}^{\mathrm{T}} \operatorname{grad} F\right) \cdot \mathbf{n} = 0. \tag{5.18}$$

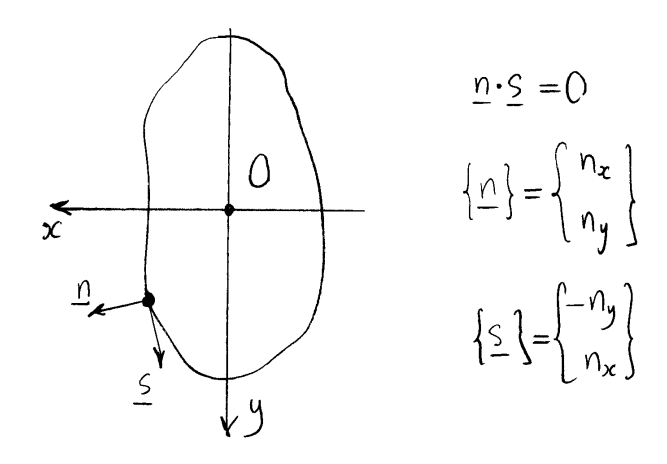
Applicando la definizione di tensore trasposto si ha poi:

$$\operatorname{grad} F \cdot \mathbf{R}_{\frac{\pi}{2}} \mathbf{n} = 0, \tag{5.19}$$

e poiché ruotando il versore normale al contorno della sezione retta di  $90^\circ$  in senso antiorario si ottiene il versore tangente  $\pmb{s}$  si ha infine:

$$\operatorname{grad} F \cdot \mathbf{s} = 0 \qquad \Rightarrow \qquad \frac{\partial F}{\partial s} = 0.$$
 (5.20)

Quindi F e' ostante sul contorno, e, posiche una costante non modifica la stato tensionale, puol essere annullata.

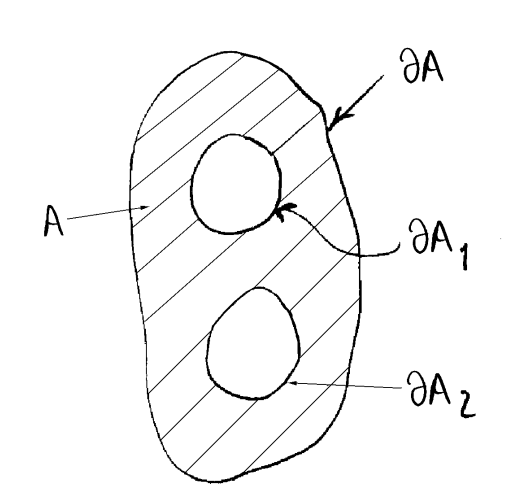


del seguente problème di Dirichlet:

$$\int \nabla^2 F = -2 \frac{Mt}{J_t} \quad \text{in A}$$

$$F = 0 \quad \text{so } \partial A$$

Notianno che se la serioue e pluriconnessa, si può porre F=0 sul outorno esterno, ma non sugli altri contorni, dave a questo punto e solo possibile dire che F=cost.



La condizione di integrabilità in una funzione  $\omega$  di ingobbamento richiede che sia soddisfatta la condizione di circolazione sui contorni interni:

$$\int_{\partial A_i} \operatorname{grad} \omega \cdot \mathbf{s} \, \mathrm{d}s = 0, \tag{5.21}$$

dove l'indice *i* si riferisce all'*i*-esimo contorno interno.

Tenendo conto delle relocioni esistenti to a e F si ottiene infine:

$$\int_{\partial A_{\mathbf{i}}}^{\uparrow} \frac{J_{\mathbf{k}}}{M_{\mathbf{k}}} \operatorname{grad} F + (P - O) \cdot \mathbf{R}_{\frac{\pi}{2}}^{\mathsf{T}} s \, ds = 0.$$

Quindi ogni outorno interno introduce una incognita (il sobre della F sul contorno) ed una equazione. Con n circuiti interni si puo' procedere risolvendo il problema di Dirichlet in funzione dei valori F; incogniti sui conterni interni, dopodiche le n condizioni di circolazione diventano n equazioni nelle n incognite F;

Per determinare il fattore torsionale di rigidezza  $J_t$  per il mezzo della funzione delle tensioni F, si imponga la condizione di equivalenza statica:

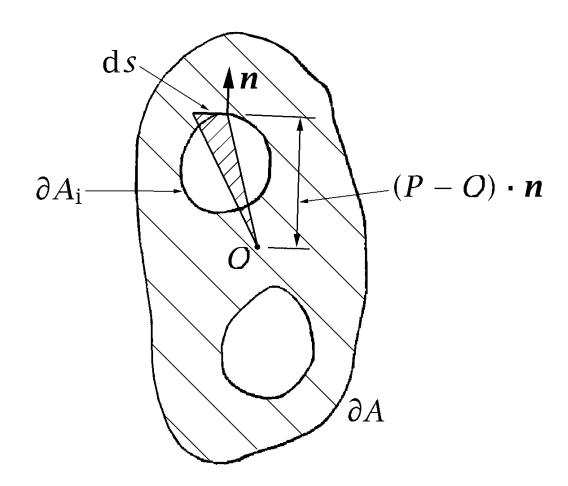
$$M_{t} = \int_{A} \left( \tau_{yz} x - \tau_{xz} y \right) dA$$
$$= \int_{A} \left( -\frac{\partial F}{\partial x} x - \frac{\partial F}{\partial y} y \right) dA$$

$$= \int_{A} \left\{ 2F - \left[ \frac{\partial (Fx)}{\partial x} + \frac{\partial (Fy)}{\partial y} \right] \right\} dA$$

$$= \int_{A} \left\{ 2F - \operatorname{div} \left[ F(P - O) \right] \right\} dA$$

$$= 2 \int_{A} F dA - \int_{\partial A} F(P - O) \cdot \boldsymbol{n} ds. \tag{5.22}$$

Nel caso generale di una sezione pluriconnessa, tenendo conto che sul con-



torno esterno  $\partial A$  si è posto F=0 e che sui contorni interni  $\partial A_i$  risulta  $F=F_i=\cos t$ , si ottiene:

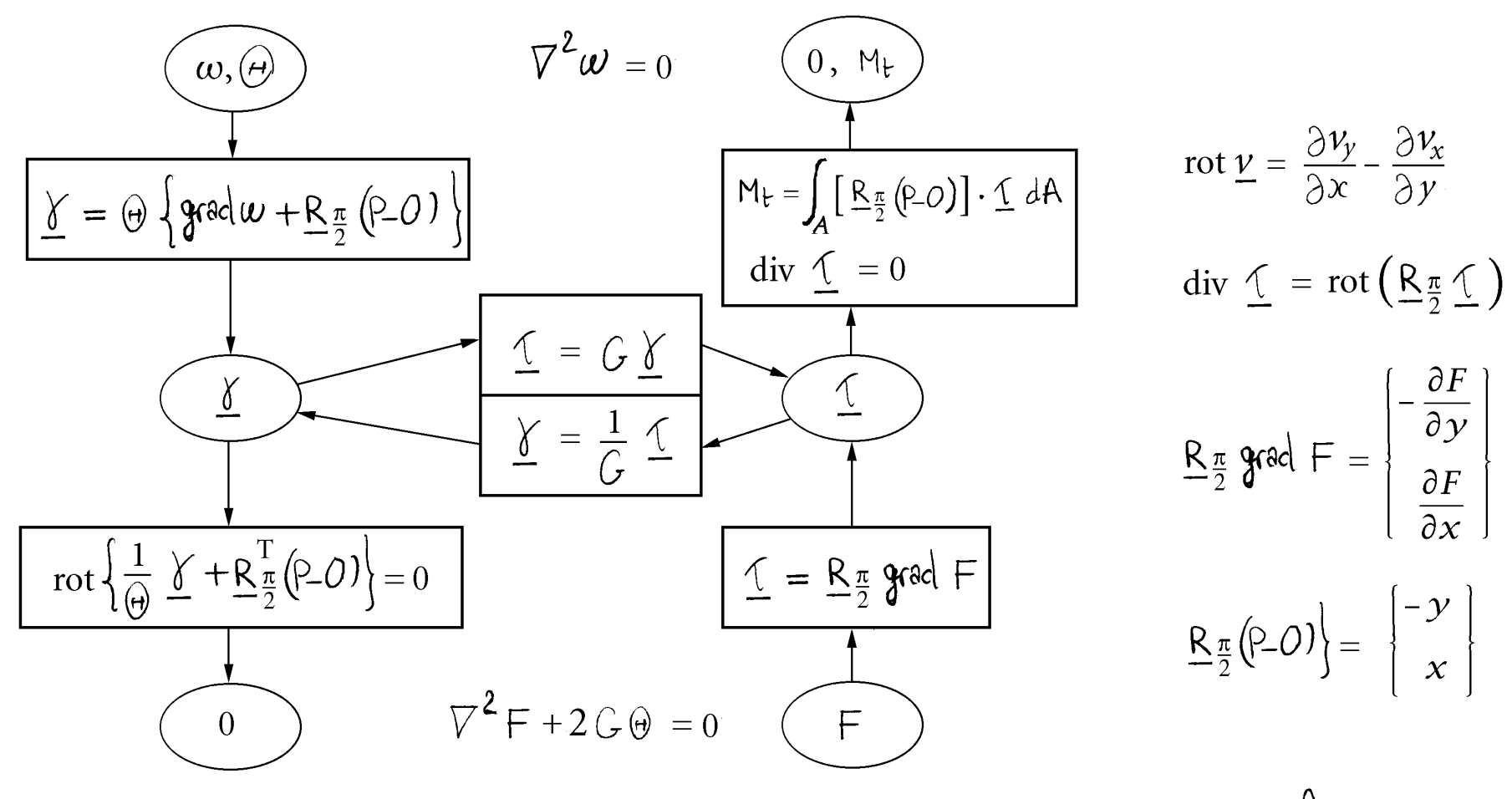
$$M_{t} = 2 \int_{A} F \, dA - \sum_{i} F_{i} \oint_{\partial A_{i}} (P - O) \cdot \boldsymbol{n} \, ds.$$
 (5.23)

Dato che:

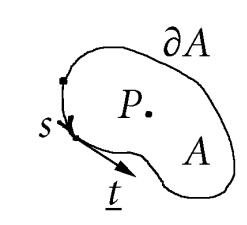
$$\oint_{\partial A_i} F_i(P - O) \cdot \mathbf{n} \, \mathrm{d}s = 2A_i, \tag{5.24}$$

dove  $A_i$  è l'area racchiusa dal contorno interno  $\partial A_i$ , ovverossia l'area dell'*i*-esimo foro, si ottiene infine:

$$M_{t} = 2\left(\int_{A} F \, \mathrm{d}A - \sum_{i} F_{i} A_{i}\right). \tag{5.25}$$



Campo vettoriale  $\underline{\nu}$  piano Area piana A



Circolazione di  $\underline{v}$  sul contorno  $\partial A$  di A:  $c(A) = \int_{\partial A}^{\mathbf{v}} \cdot \underline{t} \, ds$ 

Rotore di  $\underline{v}$  (circolazione per unità di area): rot  $\underline{v} = \lim_{A \to P} \frac{c(A)}{A}$ 

Nel caso di sezione monoconnessa la condizione diventa:

$$M_{\rm t} = 2 \int_A F \, \mathrm{d}A. \tag{5.26}$$

La soluzione in F del problema di Dirichlet è data in termini di  $M_t$  che è noto e di  $J_t$  che è incognito. La condizione (5.26), oppure (5.25) se la sezione è pluriconnessa, permette di determinare il fattore di rigidezza torsionale  $J_t$ .

Verifichiame infine che la soluzione ottenuta soddisha la condizione 
$$\underline{T} = \underline{O}$$
.

Infatti, da  $\underline{T} = \underline{R}^T$  grad  $F$  si officie:

$$\underline{T} = \int_A \underline{R}^T$$
 grad  $F dA = \underline{R}^T \int_A grad F dA =$ 

$$= \mathbf{R}^T \left( \int_{\partial A} F \mathbf{n} ds + \sum_i \int_{\partial A_i} F \mathbf{n} ds \right)$$

$$= \mathbf{R}^T \sum_i F_i \int_{\partial A_i} 1 \mathbf{n} ds$$

$$= \mathbf{R}^T \sum_i F_i \int_A \operatorname{grad} 1 dA = \underline{O},$$

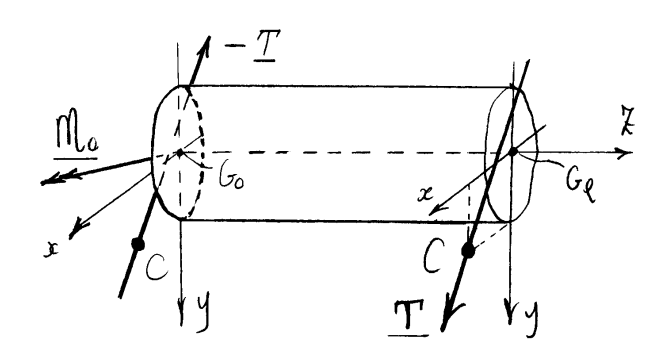
come volevasi dimostrare.

# 5.6 Centro di taglio

Nel seguito si determinerà il *centro di taglio* quale centro che renda ortogonali energeticamente il momento torcente  $M_{\rm t}$  e le componenti di taglio  $T_x$  e  $T_y$  e a tale scopo si imposterà innanzitutto, nell'ambito del problema di Saint-Venant e nel modo più semplice possibile, un problema che preveda l'applicazione di un taglio generico. Poiché il centro di taglio disaccoppia l'effetto della torsione e del taglio, l'energia complementare del problema complessivo, momento torcente più taglio passante per il centro di taglio, non deve contenere termini mutui di torsione e taglio. Si sfrutterà quindi tale condizione per determinare la posizione del centro di taglio.

# 5.6.1 Problema di flessione, taglio e torsione

Si ha sollecitazione di flessione, taglio e torsione se la sezione di estremità X = l e soggetta ad un taglio I generico, non necessariamente passante per il baricentro. Sulla base X = l sono dunque presenti le due componenti I e I della forza di taglio e il

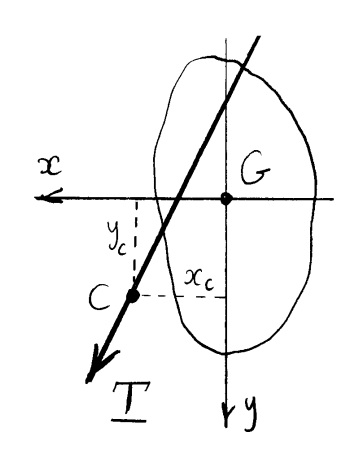


momento torcente Mt dovoto all'eccentrità della forza di taglio rispetto al bariantro. Se  $C = (x_c, y_c)$  e' un punto appartenente alla retta d'azione del taglio il momento torcente risulta:

$$M_{\downarrow} = T_{y} x_{c} - T_{x} y_{c} .$$

Inoltre, per l'equilibrio alla rotazione del cilindro, sulla base X = 0 e' presente un momento esterno  $M_0$  di espressione:

$$M_o = -(G_\ell - G_o) \times T,$$



e di componenti:

$$\begin{cases} M_x^o = T_y l \\ M_y^o = -T_x l \end{cases}$$
 (component i dell'azione globale Mo spente sulla prima)

Inaltre la caratteristica della sollecitazione momento

flettente ha component::

$$\begin{cases} M_{x}(x) = -T_{y}(l-x) \\ M_{y}(x) = T_{x}(l-x) \end{cases}$$
 (coratteristicle follows sollections)

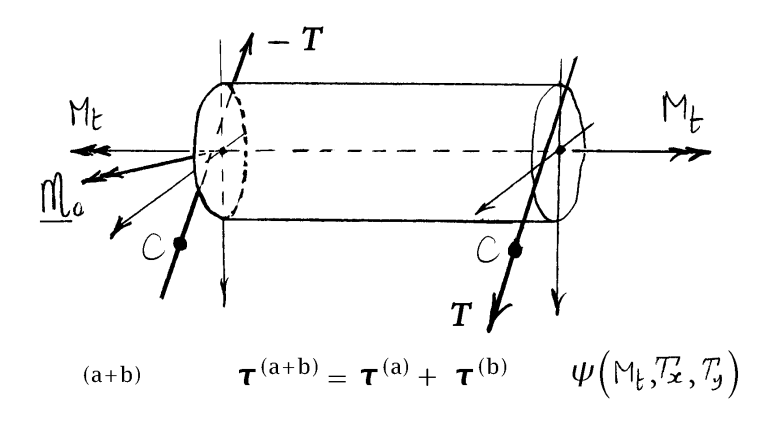
## 5.6.2 Energia complementare mutua

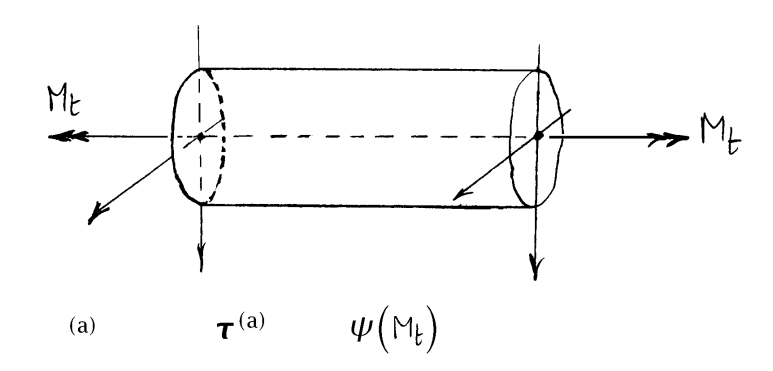
Come detto, si determinerà il centro di taglio C quale punto per il quale occorre far passare la sollecitazione di taglio T affinché i due problemi della torsione e della flessione, taglio e torsione siano ortogonali energeticamente. Si considerino allora i due problemi (a) della torsione e (b) di flessione taglio e torsione e siano  $\boldsymbol{\tau}^{(a)}$  e  $\boldsymbol{\tau}^{(b)}$  le tensioni tangenziali associate ai problemi (a) e (b) rispettivamente. Per la sovrapposizione degli effetti al problema (a)+(b), somma dei due problemi precedenti corrisponderanno le tensioni somma e l'energia complementare  $\psi$  per unità di linea dovuta alle sole tensioni tangenziali vale quindi:

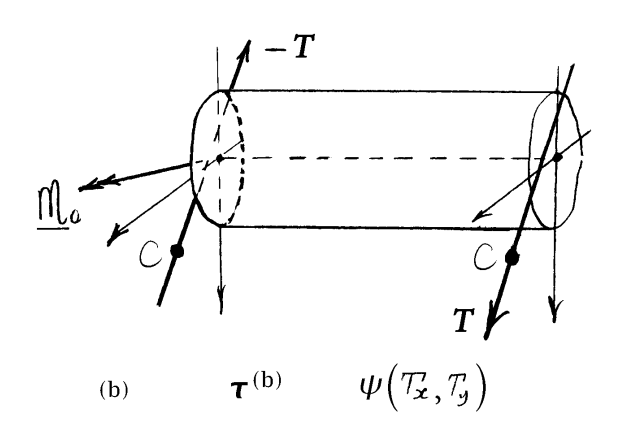
$$\psi = \frac{1}{2G} \int_{A} \boldsymbol{\tau}^{(a+b)} \cdot \boldsymbol{\tau}^{(a+b)} \, dA$$

$$= \frac{1}{2G} \int_{A} \boldsymbol{\tau}^{(a)} \cdot \boldsymbol{\tau}^{(a)} \, dA + \frac{1}{2G} \int_{A} \boldsymbol{\tau}^{(b)} \cdot \boldsymbol{\tau}^{(b)} \, dA$$

$$+ \frac{1}{G} \int_{A} \boldsymbol{\tau}^{(a)} \cdot \boldsymbol{\tau}^{(b)} \, dA \qquad (5.27)$$







Il problema della determinazione del centro di taglio richiede allora di annullare il termine mutuo dell'energia:

$$\int_{A} \boldsymbol{\tau}^{(a)} \cdot \boldsymbol{\tau}^{(b)} \, \mathrm{d}A = 0. \tag{5.28}$$

La tensione normale nel problema di flessione, taglio e torsione vale:

$$G_{\xi}^{(b)} = \frac{M_{x}}{J_{x}} y - \frac{M_{y}}{J_{y}} x$$

$$= -\frac{T_{y}(\ell - \xi)}{J_{x}} y - \frac{T_{x}(\ell - \xi)}{J_{y}} x .$$

Le  $\tau^{(b)}$  sono ostanti on  $\chi$  e devono soddistare la terza equazione indefinita di equilibrio:

$$\frac{\partial \mathcal{T}_{xx}^{(b)}}{\partial x} + \frac{\partial \mathcal{T}_{yx}^{(b)}}{\partial y} = -\frac{\mathcal{T}_{y}}{\mathcal{J}_{x}}y - \frac{\mathcal{T}_{x}}{\mathcal{J}_{y}}x ,$$

ovverossia:

$$\operatorname{div} \, \boldsymbol{\tau}^{(b)} \, = - \, \frac{T_{\mathcal{G}}}{J_{\mathcal{E}}} \, \boldsymbol{y} - \frac{T_{\mathcal{E}}}{J_{\mathcal{G}}} \, \boldsymbol{x} \, .$$

Le  $\tau^{(b)}$  devous inoltre soddishor la condizione al contorno:

$$\boldsymbol{\tau}^{(b)} \cdot \boldsymbol{n} = 0,$$

e alle condizioni globali di quilibrio sulle sezioni rette:

$$\int_{A} \boldsymbol{\tau}^{(b)} dA = \boldsymbol{T},$$

$$\left\{ \int_{A} (P - G) \times \boldsymbol{\tau}^{(b)} dA \right\} \cdot \boldsymbol{e}_{z} = T_{y} x_{c} - T_{x} y_{c}.$$

Le tensioni associate alla sollecità zi one semplice di torsi one valgono invece:

$$\tau^{(a)} = \frac{M!}{J_t} \left\{ \operatorname{grad} \omega + \underline{R}_{\frac{\pi}{2}} \left( P_- G_- \right) \right\}.$$

L'equazione determinatrice del contro di taglio risulta dunque:

$$\frac{\mathsf{M}!}{\mathsf{J}_{\mathsf{L}}}\,\int_{A}\left\{\mathsf{grad}\,\omega+\underline{\mathsf{R}}_{\frac{\pi}{2}}\left(\mathsf{P}_{\!\!-}\!\!\mathcal{G}\right)\right\}\!\cdot\underline{\tau}^{(\mathsf{b})}\,\mathrm{d}A\,=0.$$

Poiché:

$$\operatorname{div}(\boldsymbol{\omega} \boldsymbol{\tau}^{(b)}) = \operatorname{grad} \boldsymbol{\omega} \cdot \underline{\boldsymbol{\tau}}^{(b)} + \boldsymbol{\omega} \operatorname{div} \boldsymbol{\tau}^{(b)},$$
$$\underline{R}_{\frac{\pi}{2}}(P-G) = \boldsymbol{e}_z \times (P-G),$$

come è facile verificare, si ottiene:

$$\int_{A} \left\{ \mathbf{y} \operatorname{ed} \omega + \underline{R}_{\frac{\pi}{2}} \left( P_{-} G_{-} \right) \right\} \cdot \boldsymbol{\tau}^{(b)} \, dA$$

$$= \int_{A} \left\{ \operatorname{div} \left( \omega \, \boldsymbol{\tau}^{(b)} \right) - \omega \, \operatorname{div} \, \boldsymbol{\tau}^{(b)} \right\} \, dA$$

$$+ \int_{A} \left\{ \left( P_{-} G_{-} \right) \times \boldsymbol{\tau}^{(b)} \right\} \cdot \boldsymbol{e}_{z} \, dA$$

$$= \int_{\partial A} \omega \, \boldsymbol{\tau}^{(b)} \cdot \boldsymbol{n} \, ds + \int_{A} \omega \left\{ \frac{T_{y}}{J_{x}} y + \frac{T_{x}}{J_{y}} \times \right\} \, dA$$

$$+ T_{y} x_{c} - T_{x} y_{c}$$

$$= \frac{T_{x}}{J_{y}} \int_{A} \omega \times dA + \frac{T_{y}}{J_{x}} \int_{A} \omega y \, dA$$

$$+ T_{y} x_{c} - T_{x} y_{c}$$

L'equazione determinatrice del contro di taglio

$$T_y \left( x_c + \frac{1}{J_x} \int_A \omega y \, dA \right) - T_x \left( y_c - \frac{1}{J_y} \int_A \omega x \, dA \right) = 0.$$

Per l'arbitrarietà delle componenti Tx e Ty si ottengono infine le coordinate del centro di toglio:

$$x_c = -\frac{1}{J_x} \int_A \omega y \, dA,$$

$$y_c = \frac{1}{J_y} \int_A \omega x \, dA.$$

Si noti che tali coordinate dipendono solo dalla forma della sezione retta.

Verifichiamo che, nel coso di sezione dotata di un asse di simmetria il centro di taglio deve appartenere all'asse di simmetria. Infatti in tal caso il momento torcente risulta una sollecitazione emisimmetrica e quindi tali risultano sia le deformazioni iche la funzione di ingoloamento.

Se l'asse di simmetria coincide con l'asse y la sunzione

A G Y Y Y N Ty

ce y risulta emisimmetrica e dunque il suo integrale sull'area e' nullo.

Oppure, si assaggetti la sezione à un taglio Ty passante per il baricentro G. Tale sollecitazione e

cimmetrics e dunque cimmetriche risultano le tensioni tangenziali  $\underline{T}^{(a)}$  dovute al momento torcente sono emisimmetriche. La funzione  $\underline{T}^{(b)}$ ,  $\underline{T}^{(a)}$  du esprime il termine mutuo dell'energia complementare e dunque emisimmetrica e il suo integrale sull'area e' mullo. Risulta quindi mullo il termine mutuo dell'energia complementare e dunque la retta y cutiene il contro di taglio.

 $\diamond$   $\diamond$   $\diamond$ 

Soluzione del problema di Saint-Venanta

Il tensore degli sforzi, soluzione del problema di Saint-Venant, può essere attenuto integrando le egvazioni di Beltrami:

$$(1+r)\left(\frac{\partial x_{1}}{\partial x_{2}} + \frac{\partial y_{2}}{\partial x_{1}} + \frac{\partial y_{2}}{\partial x_{2}} + \frac{\partial x_{2}}{\partial x_{1}}\right) + \frac{\partial x_{1}}{\partial x_{2}}\left(r\sigma\right) = 0.$$

Le egrazioni di Beltrami rappresentano le condizioni necessarie (e sufficienti nel caso di sezione nonoconnessa) per l'integrazione, in termini di spostamento, del tensore di deformazione attenibile dal tensore degli sforzi via legame costititivo.

Le equazioni di Beltrami, scritte per esteso tenendo conto delle ipotesi di Saint-Venant (cioe

$$G_{\mathbf{x}} = G_{\mathbf{y}} = \tau_{\mathbf{x}\mathbf{y}} = 0 \quad \text{e quindi} \quad \text{tr } \underline{\sigma} = G_{\mathbf{x}} \quad \text{diventions}:$$

$$i = j = \chi \Rightarrow \frac{\partial^{2}G_{\mathbf{x}}}{\partial x^{2}} = 0 \quad ,$$

$$i = j = \chi \Rightarrow (1 + \nu) \left( \frac{\partial^{2}G_{\mathbf{x}}}{\partial x^{2}} + \frac{\partial^{2}G_{\mathbf{x}}}{\partial y^{2}} + \frac{\partial^{2}G_{\mathbf{x}}}{\partial x^{2}} \right) + \frac{\partial^{2}G_{\mathbf{x}}}{\partial x^{2}} = 0 \quad ,$$

$$i = \chi, j = \chi \Rightarrow \frac{\partial^{2}G_{\mathbf{x}}}{\partial x \partial y} = 0 \quad ,$$

$$i = \chi, j = \chi \Rightarrow (1 + \nu) \left( \frac{\partial^{2}G_{\mathbf{x}\mathbf{x}}}{\partial x^{2}} + \frac{\partial^{2}G_{\mathbf{x}\mathbf{x}}}{\partial y^{2}} + \frac{\partial^{2}G_{\mathbf{x}\mathbf{x}}}{\partial x^{2}} \right) + \frac{\partial^{2}G_{\mathbf{x}}}{\partial x \partial x} = 0 \quad ,$$

$$i = \chi, j = \chi \Rightarrow (1 + \nu) \left( \frac{\partial^{2}G_{\mathbf{x}\mathbf{x}}}{\partial x^{2}} + \frac{\partial^{2}G_{\mathbf{x}\mathbf{x}}}{\partial y^{2}} + \frac{\partial^{2}G_{\mathbf{x}\mathbf{x}}}{\partial x^{2}} \right) + \frac{\partial^{2}G_{\mathbf{x}}}{\partial x \partial x} = 0 \quad ,$$

$$i = y, j = \chi \Rightarrow (1 + \nu) \left( \frac{\partial^{2}G_{\mathbf{x}\mathbf{x}}}{\partial x^{2}} + \frac{\partial^{2}G_{\mathbf{x}\mathbf{x}}}{\partial y^{2}} + \frac{\partial^{2}G_{\mathbf{x}\mathbf{x}}}{\partial x^{2}} \right) + \frac{\partial^{2}G_{\mathbf{x}}}{\partial x \partial x} = 0 \quad .$$

Utilizzando le prime due, la terza equazione diventa:

$$\frac{\partial^2 \sigma_{\xi}}{\partial \xi^2} = 0.$$

Utilizzando la prima e la seconda equazione indefinita di equilibrio, la quinta e la sesta equazione di Beltrami divengono:

$$(1+\nu)\left(\frac{\partial^2 \tau_{xz}}{\partial x^2} + \frac{\partial^2 \tau_{xz}}{\partial y^2}\right) + \frac{\partial^2 \tau_{zz}}{\partial x \partial z} = 0,$$

$$(1+\nu)\left(\frac{\partial^2 \tau_{y\xi}}{\partial x^2} + \frac{\partial^2 \tau_{y\xi}}{\partial y^2}\right) + \frac{\partial^2 \sigma_{\xi}}{\partial y \partial \xi} = 0.$$

Le equazioni di Beltrami definenti la sola tensione normale sono:

$$\frac{\partial^{2} G_{\xi}}{\partial x^{2}} = 0$$

$$\frac{\partial^{2} G_{\xi}}{\partial y^{2}} = 0$$

$$\Rightarrow G_{\xi} \text{ lineare in } x, y \in \xi$$
separatamente
$$\frac{\partial^{2} G_{\xi}}{\partial \xi^{2}} = 0$$

$$\frac{\partial^2 \sigma_z}{\partial x \partial y} = 0 \implies \text{nell espressione di } \sigma_z \text{ non esistemo}$$
 termini misti in  $x \in y$ 

Integrale generale per la tensione normale:

$$G_{\frac{1}{2}} = (b_{1} + a_{1})x + (b_{2} + a_{2})y + b_{3} + a_{3}$$

Le costanti di integrazione possono essere determinate imponendo le condizioni di equivalenza statica nelle sezioni rette:

$$\int_{A} \sigma_{\xi} dA = N,$$

$$\int_{A} \sigma_{\xi} y dA = M_{x} - T_{y}(\ell - \xi),$$

$$\int_{A} \sigma_{\xi} x dA = -M_{y} - T_{x}(\ell - \xi),$$

Dalla prima condizione si ottiene:

$$(b_3 + a_3) A = N,$$

e quindi:

$$a_3 = \frac{N}{A} \quad , \qquad b_3 = O \quad .$$

Dalla seconda condizione si ottiene poi:

$$(b_2 \xi + a_2) \int_{x} = M_x - T_y(\ell - \xi)$$
,

per cui:

$$a_z = \frac{M_x - T_y \ell}{J_x}$$
,  $b_z = \frac{T_y}{J_x}$ .

Dalla terza condizione si ottiene infine:

$$(b_1 + a_1) \int_y = - M_y - T_x(\ell - \xi),$$

e quindi:

$$a_1 = -\frac{M_y + T_x \ell}{J_y}, \quad b_1 = \frac{T_x}{J_y}.$$

La tensione normale vale allora:

$$\sigma_{\mathbf{z}} = \frac{N}{A} + \frac{M_{\mathbf{x}} - T_{\mathbf{y}}(\ell - \mathbf{z})}{J_{\mathbf{x}}} \mathbf{y} - \frac{M_{\mathbf{y}} + T_{\mathbf{x}}(\ell - \mathbf{z})}{J_{\mathbf{y}}} \mathbf{z}.$$

L'espressione della tensione normale, scritta in funzione delle caratteristiche della sollecitazione, disenta dunque:

$$\mathcal{I}_{\chi} = \frac{N}{A} + \frac{M_{x}}{J_{x}}y - \frac{M_{y}}{J_{y}}x.$$

Tenuto conto che il sistema di riferimento prescelto è quello baricentrico e principale di inerzia, la soluzione di Saint-Venant nella tensione normale è in perfetto accordo con la soluzione del modello di Eulero-Bernoulli specializzata al caso omogeneo. Per quel che riguarda il legame costitutivo assiale-flessionale, si calcoli l'energia complementare elastica per unità di linea associata alla tensione normale:

$$\begin{split} \Psi_{\mathbf{z}} &= \frac{1}{2E} \int_{A} \mathcal{S}_{\mathbf{z}}^{2} dA \\ &= \frac{1}{2E} \int_{A} \left\{ \frac{N^{2}}{A^{2}} + \frac{M_{\mathbf{z}}^{2}}{J_{\mathbf{z}}^{2}} y^{2} + \frac{M_{\mathbf{y}}^{2}}{J_{\mathbf{y}}^{2}} x^{2} + \frac{2N}{A} \frac{M_{\mathbf{z}}}{J_{\mathbf{x}}} y - 2\frac{N}{A} \frac{M_{\mathbf{y}}}{J_{\mathbf{y}}} x - \frac{M_{\mathbf{z}}}{J_{\mathbf{z}}} \frac{M_{\mathbf{y}}}{J_{\mathbf{y}}} x y \right\} dA . \end{split}$$

Tevendo conto che sono nulli i momenti statici rispetto ad assi baricentrici e il nomento centritigo rispetto agli assi principali, risulta:

$$\int_{A} x dA = \int_{A} y dA = \int_{A} xy dA = 0,$$

e dunque:

$$Y_{\ell} = \frac{1}{2} \left( \frac{N^2}{EA} + \frac{M_{x}^2}{EJ_{x}} + \frac{M_{y}^2}{EJ_{y}} \right) .$$

Tale espressione coincide con quella ottenuta nel caso omogeneo nell'ambito

del modello di Eulero-Bernoulli e quindi anche riguardo al legame costitutivo vi è pieno accordo tra i due modelli.

Le equazioni di Beltrami definenti le tensioni tangenziali sono:

$$\left\{
\frac{\partial^{2} T_{xx}}{\partial x^{2}} + \frac{\partial^{2} T_{xx}}{\partial y^{2}} = -\frac{1}{1+\nu} \frac{\partial^{2} \sigma_{x}}{\partial x \partial x} \right\| \begin{array}{c} equation i \\ equation i \\ \frac{\partial^{2} T_{yx}}{\partial x^{2}} + \frac{\partial^{2} T_{yx}}{\partial y^{2}} = -\frac{1}{1+\nu} \frac{\partial^{2} \sigma_{x}}{\partial y \partial x} \end{array}$$

$$\left\{
\frac{\partial^{2} T_{xx}}{\partial x^{2}} + \frac{\partial^{2} T_{yx}}{\partial y^{2}} = -\frac{1}{1+\nu} \frac{\partial^{2} \sigma_{x}}{\partial y \partial x} \right\| \begin{array}{c} equation e \\ equation i \\ equation i \\ equation e \\ equati$$

Utilizzando la soluzione nella Gz:

$$\begin{cases} \frac{\partial^2 T_{xx}}{\partial x^2} + \frac{\partial^2 T_{xx}}{\partial y^2} = -\frac{1}{1+\nu} \frac{T_x}{J_y} \\ \frac{\partial^2 T_{yx}}{\partial x^2} + \frac{\partial^2 T_{yx}}{\partial y^2} = -\frac{1}{1+\nu} \frac{T_y}{J_x} \\ \frac{\partial T_{xx}}{\partial x} + \frac{\partial T_{yx}}{\partial y} = -\frac{T_y}{J_x} y - \frac{T_x}{J_y} x \end{cases}$$

Condizione il contorne sulla superficie laterale:

$$\mathcal{L}_{xx} n_x + \mathcal{L}_{yx} n_y = 0$$

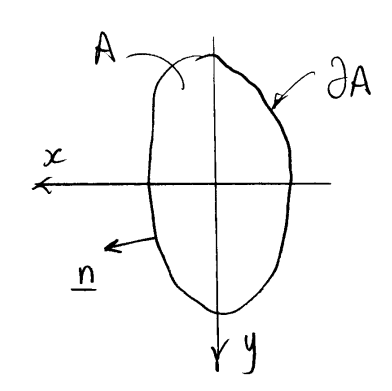
Condizioni di equivalenza statica nelle sezioni rette:

$$\begin{cases}
\int_{A} \tau_{xx} dA = T_{x} \\
\int_{A} \tau_{yx} dA = T_{y} \\
\int_{A} (\tau_{yx} x - \tau_{xx} y) dA = M_{t}
\end{cases}$$

Ricordare due  $T_{xx}$  e  $T_{yx}$  sono indipendenti da X.

Per la costanza on X di  $T_{xx}$  e  $T_{yx}$  si

Wa dunque a che fare con un problema piano
definito sulla sezione normale della trave.



Notare che nelle equacioni definenti Tre Tyr compaione solo le caratteristiche della sollecitazione Tx, Ty e Mt. L'energia complementare associata alle tensioni tangenziali:

$$\Psi_{\ell} = \frac{1}{2G} \int_{A} \left( \tau_{xx}^{2} + \tau_{yx}^{2} \right) dA \quad ,$$

e' d'unque indipendente de N, Mx e My e quinchi i due gruppi di caratteristiche della sollecitazione sono ortogonali energeticamente.

Quindi il modello di Saint-Venant è pienamente in linea con la richiesta che i legami costitutivi assiale-flessionale e torcente-tagliante siano indipendenti tra loro.

Derivando la terza equazione indefinità di equilibrio prima rispetto à x e pai rispetto à y si ottiene:

$$\begin{cases}
\frac{\partial^2 T_{xx}}{\partial x^2} + \frac{\partial^2 T_{yx}}{\partial x \partial y} = -\frac{T_x}{J_y} \\
\frac{\partial^2 T_{xx}}{\partial x \partial y} + \frac{\partial^2 T_{yx}}{\partial y^2} = -\frac{T_y}{J_x}
\end{cases},$$

e cioè :

$$\begin{cases}
\frac{\partial^2 I_{xx}}{\partial x^2} = -\frac{T_x}{J_y} - \frac{\partial^2 I_{yx}}{\partial x \partial y} \\
\frac{\partial^2 I_{yx}}{\partial y^2} = -\frac{T_y}{J_x} - \frac{\partial^2 I_{xx}}{\partial x \partial y}
\end{cases},$$

Sostituendo nelle due egracioni di Beltramisi ottiene:

$$\begin{cases} \frac{\partial}{\partial y} \left( \frac{\partial \tau_{xx}}{\partial y} - \frac{\partial \tau_{yx}}{\partial x} \right) = \frac{\nu}{1 + \nu} \frac{T_z}{J_y} \\ \frac{\partial}{\partial x} \left( \frac{\partial \tau_{yx}}{\partial x} - \frac{\partial^2 \tau_{xx}}{\partial y} \right) = \frac{\nu}{1 + \nu} \frac{T_y}{J_x} \end{cases}.$$

Integrando nella differenza  $\frac{\partial t_{yx}}{\partial x} - \frac{\partial t_{xx}}{\partial y}$ 

190

e poueudo:

$$\overline{V} = \frac{V}{1+V}$$

si attiene:

$$\frac{\partial \tau_{yz}}{\partial x} - \frac{\partial \tau_{xz}}{\partial y} = \overline{V} \left( \frac{T_y}{T_x} x - \frac{T_x}{J_y} y \right) + c,$$

dove C e' una ostante di integrazione.

Ci siano dunque ridotti ad un sistema di due equazioni differenziali del primo ordine:

$$\begin{cases} \frac{\partial T_{yx}}{\partial x} - \frac{\partial T_{xx}}{\partial y} = \overline{r} \left( \frac{T_{y}}{J_{x}} x - \frac{T_{x}}{J_{y}} y \right) + c \\ \frac{\partial T_{xx}}{\partial x} + \frac{\partial T_{yx}}{\partial y} = -\frac{T_{y}}{J_{x}} y - \frac{T_{x}}{J_{y}} x \end{cases}$$

definite su A, on ils condizione el contorno su DA:

$$\tau_{x\xi} \, n_x + \tau_{y\xi} \, n_y = 0$$
 .

Per risolvere il sistema poniume la soluzione nella forma:

$$\begin{cases} \tau_{x\xi} = \tau_{x\xi}^{o} + \overline{\tau}_{x\xi} \\ \tau_{y\xi} = \tau_{y\xi}^{o} + \overline{\tau}_{y\xi} \end{cases},$$

dove  $T_{xx}$  e  $T_{yx}$  rappresentano un integrale particulare mentre  $T_{xx}^{c}$  e  $T_{yx}^{c}$  sono soluzione del sistema omogeneo:

$$\begin{cases}
\frac{\partial \tau_{yx}}{\partial x} - \frac{\partial \tau_{xx}}{\partial y} = 0 \\
\frac{\partial \tau_{xx}}{\partial x} + \frac{\partial \tau_{yx}}{\partial y} = 0
\end{cases}$$

car la condizione al contorno:

$$\left( \overrightarrow{\zeta}_{x\xi}^{o} + \overline{\zeta}_{x\xi} \right) n_{x} + \left( \overrightarrow{\zeta}_{y\xi}^{o} + \overline{\zeta}_{y\xi} \right) n_{y} = 0.$$

Per ricercare un integrale particulare notionache la prima equazione e' soddisfatta se  $T_{yx}$  contiene il termine  $\frac{1}{2} \frac{T_y}{J_x} x^2$  e il termine  $\frac{1}{2} cx$  e se  $T_{xx}$  contiene il termine  $\frac{1}{2} \frac{T_x}{J_y} y^2$  e il termine  $-\frac{1}{2} cy$ . Tutti questi termini non channo contributi alla seconda equazione che risulta pertanto soddisfatto se a  $T_{yx}$  si againge  $-\frac{1}{2} \frac{T_y}{J_x} y^2$  e se a  $T_{xx}$ 

si agginge  $-\frac{1}{2}\frac{T_x}{J_y}x^2$ . In definition si e oftento il seguente integrale particolare:

$$\begin{cases} \overline{\zeta}_{x \neq z} = -\frac{1}{2} \left\{ \frac{T_{x}}{J_{y}} \left( x^{2} - \overline{\nu} y^{2} \right) + c y \right\} \\ \overline{\zeta}_{y \neq z} = -\frac{1}{2} \left\{ \frac{T_{y}}{J_{x}} \left( y^{2} - \overline{\nu} x^{2} \right) - c x \right\} \end{cases}$$

l'equazione omogenea:

$$\frac{\partial \tau_{yx}}{\partial x} - \frac{\partial \tau_{xx}}{\partial y} = 0$$

e' condicione necessaria (e sufficiente se la sezione e' monocomnessa) per l'esistenza di ma finzione scalare y tale che:

$$\begin{cases}
\tau_{xx} = \frac{\partial \varphi}{\partial x} \\
\tau_{yx} = \frac{\partial \varphi}{\partial y}
\end{cases}$$

la se onda equazione omogenea diventa:

$$\frac{\partial^2 \varphi}{\partial x^2} + \frac{\partial^2 \varphi}{\partial y^2} = 0 \quad \text{in } A,$$

neutre l'egrazione al contorno diviene:

$$\frac{\partial \psi}{\partial x} n_x + \frac{\partial \psi}{\partial y} n_y = -\overline{\tau}_{xx} n_x - \overline{\tau}_{yx} n_y \quad \text{so } \partial A.$$

Ne risulta quindi il seguente problema di Neumann per l'egrazione di Laplace:

$$\begin{cases}
\nabla^2 \varphi = 0 \\
\frac{\partial \varphi}{\partial n} = -\overline{\zeta}_{x_{\frac{1}{2}}} n_x - \overline{\zeta}_{y_{\frac{1}{2}}} n_y
\end{cases}$$

La soluzione esiste ed è unica, a meno di una costante additiva, se e solo se:

$$\int_{\partial \mathbf{A}} \frac{\partial \psi}{\partial n} \, ds = 0,$$

relazione senz'altro soddisfatta:

$$\int_{\partial A} \frac{\partial \psi}{\partial n} ds = -\int_{\partial A} (\overline{\tau}_{xk} n_x + \overline{\tau}_{yk} n_y) ds =$$

$$= -\int_{A} \left( \frac{\partial \overline{\tau}_{xk}}{\partial x} + \frac{\partial \overline{\tau}_{yk}}{\partial y} \right) dA =$$

$$= \int_{A} \left( \frac{T_x}{J_y} x + \frac{T_y}{J_x} y \right) dA = 0.$$

Sostituendo i valori di Txx e Tyx:

$$\begin{cases}
\nabla^2 \varphi = 0 & \text{in } A \\
\frac{\partial \psi}{\partial n} = \frac{1}{2} \frac{T_x}{J_y} \left( x^2 - \overline{\nu} y^2 \right) n_x + \frac{1}{2} \frac{T_y}{J_x} \left( y^2 - \overline{\nu} x^2 \right) n_y \\
+ \frac{1}{2} c \left( y n_x - x n_y \right) & \text{so } \partial A
\end{cases}$$

Se Ix, ly e If sono tali che:

$$\begin{cases}
\nabla^2 \psi_{\mathbf{x}} = 0 & \text{in } A \\
\frac{\partial \psi_{\mathbf{x}}}{\partial n} = (x^2 - \overline{\nu} y^2) n_{\mathbf{x}} & \text{sv} \partial A
\end{cases}$$

$$\begin{cases}
\int_{\partial A} \frac{\partial \psi_{\mathbf{x}}}{\partial n} ds = \int_{A} 2x dA = 0
\end{cases}$$

$$\begin{cases} \nabla^2 \Psi_y = 0 & \text{in } A \\ \frac{\partial \Psi_y}{\partial n} = (y^2 - \nabla x^2) n_y & \text{so } \partial A \end{cases} \left( \int_{\partial A} \frac{\partial \Psi_y}{\partial n} ds = \int_A 2y dA = 0 \right)$$

$$\begin{cases}
\nabla^2 \varphi_t = 0 & \text{in } A \\
\frac{\partial \varphi_t}{\partial n} = y n_x - x n_y & \text{so } \partial A
\end{cases} \left( \int_{\partial A} \frac{\partial \varphi_t}{\partial n} c | s = 0 \right)$$

ci officue:

$$\varphi = \frac{1}{2} \frac{T_x}{J_y} \varphi_x + \frac{1}{2} \frac{T_y}{J_x} \psi_y + \frac{1}{2} c \psi_t$$

$$\int \tau_{xx} = \frac{\partial \psi}{\partial x} + \overline{\tau}_{xx}$$

$$\tau_{yx} = \frac{\partial \psi}{\partial y} + \overline{\tau}_{yx}$$

e cioe:

$$\int \tau_{xx} = \frac{1}{2} \left\{ \frac{T_x}{J_y} \left[ \frac{\partial \Psi_x}{\partial x} - \left( x^2 - \overline{\nu} y^2 \right) \right] + \frac{T_y}{J_x} \frac{\partial \Psi_y}{\partial x} + c \left( \frac{\partial \Psi_t}{\partial x} - y \right) \right\}$$

$$\tau_{yx} = \frac{1}{2} \left\{ \frac{T_x}{J_y} \frac{\partial \Psi_x}{\partial y} + \frac{T_y}{J_x} \left[ \frac{\partial \Psi_y}{\partial y} - \left( y^2 - \overline{\nu} x^2 \right) \right] + c \left( \frac{\partial \Psi_t}{\partial y} + x \right) \right\}$$

Risulto:

$$\int_{A} (\tau_{y\xi} x - \tau_{z\xi} y) dA =$$

$$= \frac{c}{2} \int_{A} \left\{ \left( \frac{\partial \psi_{t}}{\partial y} + x \right) x - \left( \frac{\partial \psi_{t}}{\partial x} - y \right) y \right\} dA +$$

$$- T_{x} \frac{1}{2J_{y}} \int_{A} \left[ \frac{\partial f_{x}}{\partial x} - (x^{2} - \overline{\nu}y^{2}) \right] y - \frac{\partial f_{x}}{\partial y} x \right] dA +$$

$$+ T_{y} \frac{1}{2J_{x}} \int_{A} \left[ \frac{\partial f_{y}}{\partial y} - (y^{2} - \overline{\nu}x^{2}) \right] x - \frac{\partial f_{y}}{\partial x} y \right] dA +$$

Dato che  $\psi_{\xi}$  coincide con la funzione ingobbamento  $\omega$ , il fattore torsionale di rigidezza  $\mathbb{J}_{\xi}$  vale:

$$J_{t} = \iint_{A} \left( \frac{\partial \varphi_{t}}{\partial y} + x \right) x - \left( \frac{\partial \varphi_{t}}{\partial x} - y \right) y dA.$$

Posto allora:

$$\begin{cases} x_{\mathcal{S}} = \frac{1}{2J_{\mathbf{x}}} \int_{A} \left[ \frac{\partial \ell_{\mathbf{y}}}{\partial \mathbf{y}} - (y^{2} - \overline{\nu}x^{2}) \right] x - \frac{\partial \ell_{\mathbf{y}}}{\partial \mathbf{x}} y \right] dA \\ y_{5} = \frac{1}{2J_{\mathbf{y}}} \int_{A} \left[ \frac{\partial \ell_{\mathbf{x}}}{\partial x} - (x^{2} - \overline{\nu}y^{2}) \right] y - \frac{\partial \ell_{\mathbf{x}}}{\partial y} x \right] dA \end{cases}$$

deve risultare (condizione globale di equilibrio):

$$\frac{c}{c} J_t - T_x y_s + T_y x_s = M_t$$

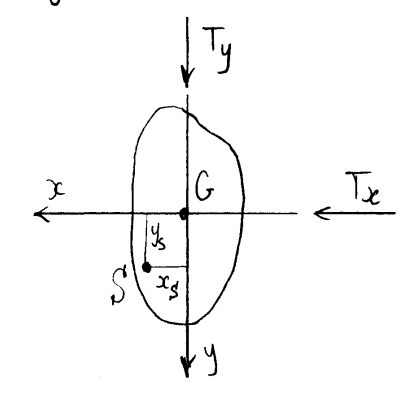
e cial:

$$\frac{c}{2} = \frac{M_t + T_x y_s - T_y x_s}{J_t} = \frac{M_s}{J_t}$$

hove:

$$M_{S} = M_{f} + T_{x} y_{S} - T_{y} x_{S}$$

e' il maneuto torcente valutato rispetto al punto S di coordinate x, ed y, (punto che per v≠0 non coincide con il coutra di taglio, come si vedrà più avanti).



Le tensioni tangenziali valgono quindi:

$$\left\{
\tau_{xy} = \frac{T_x}{2J_y} \left\{ \frac{\partial \mathcal{Y}_x}{\partial x} - \left( x^2 - \overline{\nu} y^2 \right) \right\} + \frac{T_y}{2J_x} \frac{\partial \mathcal{Y}_y}{\partial x} + \frac{M_s}{J_t} \left( \frac{\partial \mathcal{Y}_t}{\partial x} - y \right) \right.$$

$$\left\{
\tau_{yz} = \frac{T_x}{2J_y} \frac{\partial \mathcal{Y}_x}{\partial y} + \frac{T_y}{2J_x} \left\{ \frac{\partial \mathcal{Y}_y}{\partial y} - \left( y^2 - \overline{\nu} x^2 \right) \right\} + \frac{M_s}{J_t} \left( \frac{\partial \mathcal{Y}_t}{\partial y} + x \right)$$

Verifichiamo che le tensioni oz, Txx, Tyz soddistano la terza egistique indefinita di equilibrio:

$$\frac{\partial \tau_{xx}}{\partial x} + \frac{\partial \tau_{yx}}{\partial y} + \frac{\partial \sigma_{z}}{\partial z} = 0 .$$

Risulb:

$$\frac{\partial \tau_{xx}}{\partial x} = \frac{T_{x}}{2J_{y}} \left( \frac{\partial^{2} \ell_{x}}{\partial x^{2}} - 2x \right) + \frac{T_{y}}{2J_{x}} \frac{\partial^{2} \ell_{y}}{\partial x^{2}} + \frac{M_{s}}{J_{t}} \frac{\partial^{2} \ell_{t}}{\partial x^{2}} 
\frac{\partial \tau_{yx}}{\partial y} = \frac{T_{x}}{2J_{y}} \frac{\partial^{2} \ell_{x}}{\partial y^{2}} + \frac{T_{y}}{2J_{x}} \left( \frac{\partial^{2} \ell_{y}}{\partial y^{2}} - 2y \right) + \frac{M_{s}}{J_{t}} \frac{\partial^{2} \ell_{t}}{\partial y^{2}} 
\frac{\partial \sigma_{x}}{\partial t} = \frac{T_{x}}{J_{y}} x + \frac{T_{y}}{J_{x}} y$$

Crindi, tenende onto che  $\nabla^2 f_x = \nabla^2 f_y = \nabla^2 f_t = 0$ l'equazione indefinità di equilibrio sisultà identicamente soddistattà.

Moltiplicandols per y e integrando sull'ères della generica sezione retta si ottiene:

$$\iint_{A} \frac{\partial (\tau_{xx}y)}{\partial x} + \frac{\partial (\tau_{yx}y)}{\partial y} - \tau_{yx} + \frac{\partial (\sigma_{xy})}{\partial x} = 0$$

e quindi:

$$\int_{\partial A} (\tau_{xx} n_x + \tau_{yx} n_y) y \, dA - \int_{A} \tau_{yx} \, dA + \frac{d}{dx} \int_{A} \sigma_{xy} \, dA = 0.$$

Tenende outo della condizione al contorne sulla superficie Caterale:

della relazione:

$$\frac{d}{d\xi}\int_{A}G_{\xi}\,y\,dA=\frac{dM_{\xi}}{d\xi}=\frac{d}{d\xi}\left\{M_{\xi}^{\ell}-T_{y}\left(\ell-\xi\right)\right\}=T_{y}^{r},$$

si attiene infine l'identità:

$$\int_{A} \tau_{yx} dA = T_{y}$$

Procededento in mode analogo (moltiplicando per x la condizione indefinità di equilibrio e integrando) si ottiene poi la verifica della condizione:

$$\int_{A} \tau_{xx} dA = T_{x} .$$

# 5.7 Legame costitutivo tagliante

Nel caso di materiale omogeneo, che comunque è l'unico contemplato nel problema di Saint-Venant, è prassi comune quella di porre il tensore di rigidezza tagliante nella forma:

$$\Gamma = \frac{1}{GA} \mathbf{X}^{-1},\tag{5.29}$$

dove A è l'area della sezione retta e X è detto *tensore dei fattori di taglio*. Si noti che le componenti del tensore X, dette *fattori di taglio*, sono dei numeri puri. Il legame costitutivo tagliante, in termini del tensore dei fattori di taglio, si scrive:

$$T = GAX^{-1} Y^{C}, \qquad Y^{C} = \frac{1}{GA}XT, \tag{5.30}$$

dove lo scorrimento  $\gamma^{C}$  è valutato rispetto alla fibra longitudinale per il centro di taglio. L'energia elastica di deformazione e quella complementare corrispondenti alla sola parte torcente e tagliante e supponendo il materiale omogeneo, si scriverà quindi:

$$\phi = \frac{1}{2} \left\{ G J_{t} \Theta^{2} + G A \mathbf{y}^{C} \cdot \mathbf{X}^{-1} \mathbf{y}^{C} \right\}, \tag{5.31a}$$

$$\psi = \frac{1}{2} \left\{ \frac{\left( M_{\rm t}^{\rm C} \right)^2}{GJ_{\rm t}} + \frac{1}{GA} \boldsymbol{T} \cdot \boldsymbol{X} \, \boldsymbol{T} \right\}. \tag{5.31b}$$

Come ogni tensore doppio simmetrico, anche il tensore dei fattori di taglio ha in generale due direzioni principali, dette di taglio, ortogonali tra loro e che diagonalizzano la matrice delle componenti. Si noti che le direzioni principali del tensore  $\boldsymbol{X}$  dei fattori di taglio coincidono con quelle del tensore  $\boldsymbol{\Gamma}$  di rigidezza tagliante, già denominate a suo tempo direzioni principali di taglio. Un asse di simmetria, come già noto, contiene il baricentro e il centro di taglio ed è principale di inerzia. Inoltre risulta essere anche principale di taglio. Infatti un taglio diretto come l'asse di simmetria è simmetrico e non può quindi generare uno scorrimento nella direzione ortogonale all'asse di simmetria, essendo tale scorrimento emisimmetrico.

Data l'importanza del baricentro nel problema della flessione, dato che a differenza di questa la torsione è nulla nei problemi piani e dato inoltre che il problema del taglio è spesso di secondaria importanza, normalmente l'asse della trave viene fatta coincidere con l'asse dei baricentri e nella

sezione retta vengono spesso assunti quali assi di riferimento gli assi principali di inerzia. Se i calcoli che riguardano il taglio si eseguono rispetto alle direzioni principali di inerzia, che in generale non coincidono con quelle principali di taglio, la matrice delle componenti del tensore dei fattori di taglio sarà piena e il legame costitutivo inverso in forma algebrica risulterà:

$$y_x^{\mathsf{C}} = \chi_x \frac{T_x}{GA} + \chi_{xy} \frac{T_y}{GA},\tag{5.32a}$$

$$\gamma_{y}^{C} = \chi_{xy} \frac{T_{x}}{GA} + \chi_{y} \frac{T_{y}}{GA}, \tag{5.32b}$$

dove gli scorrimenti  $\gamma_x^C$  e  $\gamma_y^C$  sono valutati rispetto alla fibra longitudinale per il centro di taglio.

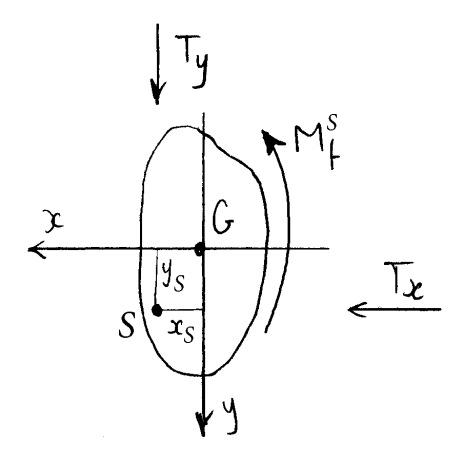
I valori dei fattori di taglio  $\chi_x$ ,  $\chi_y$  e  $\chi_{xy}$  dipendono dalla soluzione del problema di flessione, taglio e torsione. Nei casi in cui almeno approssimativamente si conoscono le tensioni tangenziali dovute ad un taglio passante per il centro di taglio, è possibile valutare i fattori di taglio valutando l'energia complementare (5.31b) associata alle date tensioni tangenziali, energia che per esteso si scrive:

$$\psi = \frac{1}{2} \left\{ \frac{\left(M_{\rm t}^{\rm C}\right)^2}{GJ_{\rm t}} + \chi_X \frac{T_X^2}{GA} + \chi_Y \frac{T_Y^2}{GA} + 2\chi_{XY} \frac{T_X T_Y}{GA} \right\}.$$
 (5.33)

 $\diamond$   $\diamond$   $\diamond$ 

**Fattori di taglio.** Per valutare in generale i fattori di taglio si potrebbe valutare l'energia complementare associata alle tensioni tangenziali soluzioni di quel particolare problema di flessione, taglio e torsione in cui il taglio passa per il centro di taglio. Ma per il fatto che la soluzione nelle tensioni tangenziali definisce un polo privilegiato S rispetto al quale la soluzione stessa è più semplice, si preferisce valutare l'energia complementare del problema generale di polo S, il che conduce ad un legame costitutivo torsionale-tagliante pieno del tipo (2.31). Di conseguenza si utilizzeranno le (2.36) e (2.37) per determinare i fattori di taglio e le (2.34) per valutare il centro di taglio. Al legame costitutivo torsionale-tagliante del tipo (2.31) corrisponde la seguente forma dell'energia complementare per unità di linea, espressa rispetto al polo S:

$$\psi = \frac{1}{2} \left\{ C_z^t \left( M_t^S \right)^2 + 2 C_{zx}^t M_t^S T_x + 2 C_{zy}^t M_t^S T_y + C_x^t T_x^2 + C_y^t T_y^2 + 2 C_{xy}^t T_x T_y \right\}. \tag{5.34}$$



Inserendo la soluzione nelle tensioni tangenziali del problema generale nella espressione dell'energia complementare per unità di linea:

$$\psi = \frac{1}{2G} \int_{A} \left( \tau_{xz}^{2} + \tau_{yz}^{2} \right) dA, \tag{5.35}$$

si ottengono i seguenti valori dei coefficienti che compaiono nella (5.34):

$$C_{z}^{t} = \frac{1}{GJ_{t}^{2}} \int_{A} \left\{ \left( \frac{\partial \varphi_{t}}{\partial x} - y \right)^{2} + \left( \frac{\partial \varphi_{t}}{\partial y} + x \right)^{2} \right\} dA$$

$$C_{zx}^{t} = \frac{1}{2GJ_{t}J_{y}} \int_{A} \left\{ \left( \frac{\partial \varphi_{t}}{\partial x} - y \right) \left( \frac{\partial \varphi_{x}}{\partial x} - \left( x^{2} - \overline{v}y^{2} \right) \right) + \left( \frac{\partial \varphi_{t}}{\partial y} + x \right) \frac{\partial \varphi_{x}}{\partial y} \right\} dA.$$

$$(5.36b)$$

$$C_{zy}^{t} = \frac{1}{2GJ_{t}J_{x}} \int_{A} \left\{ \left( \frac{\partial \varphi_{t}}{\partial x} - y \right) \frac{\partial \varphi_{y}}{\partial x} + \left( \frac{\partial \varphi_{t}}{\partial y} + x \right) \left( \frac{\partial \varphi_{y}}{\partial y} - \left( y^{2} - \overline{v}x^{2} \right) \right) \right\} dA.$$

$$(5.36c)$$

$$C_{x}^{t} = \frac{1}{4GJ_{y}^{2}} \int_{A} \left\{ \left( \frac{\partial \varphi_{x}}{\partial x} - \left( x^{2} - \overline{v}y^{2} \right) \right)^{2} + \left( \frac{\partial \varphi_{x}}{\partial y} \right)^{2} \right\} dA.$$

$$(5.36c)$$

$$C_{y}^{t} = \frac{1}{4GJ_{x}^{2}} \int_{A} \left\{ \left( \frac{\partial \varphi_{y}}{\partial x} \right)^{2} + \left( \frac{\partial \varphi_{y}}{\partial y} - \left( y^{2} - \overline{v}x^{2} \right) \right)^{2} \right\} dA.$$

$$(5.36e)$$

$$C_{xy}^{t} = \frac{1}{4GJ_{x}J_{x}} \int_{A} \left\{ \left( \frac{\partial \varphi_{y}}{\partial x} \right)^{2} + \left( \frac{\partial \varphi_{y}}{\partial y} - \left( y^{2} - \overline{v}x^{2} \right) \right)^{2} \right\} dA.$$

$$(5.36e)$$

$$+ \frac{\partial \varphi_{x}}{\partial y} \left( \frac{\partial \varphi_{y}}{\partial y} - \left( y^{2} - \overline{v}x^{2} \right) \right) dA. \tag{5.36f}$$

Si nota innanzitutto che, come già verificato nell'ambito del problema della torsione, vale la relazione:

$$\int_{A} \left\{ \left( \frac{\partial \varphi_{t}}{\partial x} - y \right)^{2} + \left( \frac{\partial \varphi_{t}}{\partial y} + x \right)^{2} \right\} dA = J_{t}.$$
 (5.37)

Si ha quindi conferma del fatto, già assodato, che la rigidezza torsionale, inversa della  $C_z^t$ , vale  $GJ_t$ :

$$C_z^{\mathsf{t}} = \frac{1}{GJ_{\mathsf{t}}} \tag{5.38}$$

Tenuto poi conto che le coordinate del centro di taglio fornite dalle (2.34) riguardano il sistema di assi centrato sul polo iniziale, che nel caso presente coincide con S, ne consegue che nel sistema centrato sul baricentro forniranno le differenze delle coordinate tra il centro di taglio C e il polo S:

$$x_{C} - x_{S} = -\frac{C_{zy}^{t}}{C_{z}^{t}}$$

$$= -\frac{1}{2J_{x}} \int_{A} \left\{ \left( \frac{\partial \varphi_{t}}{\partial x} - y \right) \frac{\partial \varphi_{y}}{\partial x} + \left( \frac{\partial \varphi_{t}}{\partial y} + x \right) \left( \frac{\partial \varphi_{y}}{\partial y} - \left( y^{2} - \overline{v}x^{2} \right) \right) \right\} dA,$$
(5.39a)

$$y_{C} - y_{S} = \frac{C_{2X}^{t}}{C_{z}^{t}}$$

$$= \frac{1}{2J_{y}} \int_{A} \left\{ \left( \frac{\partial \varphi_{t}}{\partial x} - y \right) \left( \frac{\partial \varphi_{x}}{\partial x} - \left( x^{2} - \overline{v}y^{2} \right) \right) + \left( \frac{\partial \varphi_{t}}{\partial y} + x \right) \frac{\partial \varphi_{x}}{\partial y} \right\} dA.$$
(5.39b)

D'altronde utilizzando le coordinate del centro di taglio, già determinate, e le coordinate di *S* si ottiene:

$$x_C - x_S = \frac{1}{2J_x} \int_A \left\{ \left( \frac{\partial \varphi_y}{\partial x} - 2\varphi_t \right) y - \left( \frac{\partial \varphi_y}{\partial y} - \left( y^2 - \overline{v}x^2 \right) \right) x \right\} dA, \quad (5.40a)$$

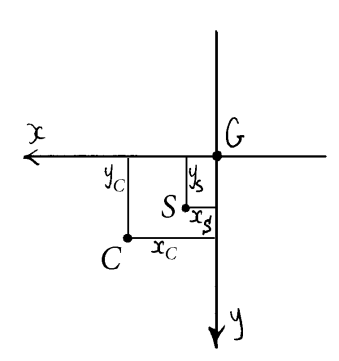
$$y_C - y_S = \frac{1}{2J_y} \int_A \left\{ \left( \frac{\partial \varphi_X}{\partial y} + 2\varphi_t \right) x - \left( \frac{\partial \varphi_X}{\partial x} - \left( x^2 - \overline{v}y^2 \right) \right) y \right\} dA, \quad (5.40b)$$

e poiché valgono le relazioni:

$$2\int_{A} \varphi_{t} y \, dA = \int_{A} \left\{ \frac{\partial \varphi_{y}}{\partial x} \frac{\partial \varphi_{t}}{\partial x} + \left( \frac{\partial \varphi_{y}}{\partial y} - \left( y^{2} - \overline{v}x^{2} \right) \right) \frac{\partial \varphi_{t}}{\partial y} \right\} dA, \quad (5.41a)$$

$$2\int_{A} \varphi_{t} x \, dA = \int_{A} \left\{ \frac{\partial \varphi_{x}}{\partial y} \frac{\partial \varphi_{t}}{\partial y} + \left( \frac{\partial \varphi_{x}}{\partial x} - \left( x^{2} - \overline{y} y^{2} \right) \right) \frac{\partial \varphi_{t}}{\partial x} \right\} dA, \tag{5.41b}$$

si ha conferma della validità delle (5.39).



*Dimostrazione della* (5.41a). Nel seguito si dimostra la (5.41a) e in modo analogo può poi dimostrarsi la (5.41b). Integrando per parti, portando uno dei due termini che si ottiene sul contorno e infine utilizzando le condizioni sul contorno e nell'area di  $\varphi_{\gamma}$ , si ottiene successivamente:

$$2\int_{A} \varphi_{t} y \, dA = \int_{\partial A} \varphi_{t} y^{2} n_{y} \, ds - \int_{A} \frac{\partial \varphi_{t}}{\partial y} y^{2} \, dA$$

$$= \int_{\partial A} \varphi_{t} \left( y^{2} - \overline{v} x^{2} \right) n_{y} \, ds + \overline{v} \int_{\partial A} \varphi_{t} x^{2} n_{y} \, ds - \int_{A} \frac{\partial \varphi_{t}}{\partial y} y^{2} \, dA$$

$$= \int_{\partial A} \varphi_{t} \left( \frac{\partial \varphi_{y}}{\partial x} n_{x} + \frac{\partial \varphi_{y}}{\partial y} n_{y} \right) ds + \overline{v} \int_{A} \frac{\partial \varphi_{t}}{\partial y} x^{2} \, dA - \int_{A} \frac{\partial \varphi_{t}}{\partial y} y^{2} \, dA$$

$$= \int_{A} \left( \frac{\partial \varphi_{t}}{\partial x} \frac{\partial \varphi_{y}}{\partial x} + \frac{\partial \varphi_{t}}{\partial y} \frac{\partial \varphi_{y}}{\partial y} \right) dA + \overline{v} \int_{A} \frac{\partial \varphi_{t}}{\partial y} x^{2} \, dA - \int_{A} \frac{\partial \varphi_{t}}{\partial y} y^{2} \, dA$$

$$(5.42)$$

e ne consegue immediatamente la (5.41a), come volevasi dimostrare.

Con quanto precede e ricordando le (2.36) e (2.37) si ottengono infine i fattori di taglio:

$$\chi_X = GA\left(C_X^{\mathsf{t}} - \frac{\left(C_{ZX}^{\mathsf{t}}\right)^2}{C_Z^{\mathsf{t}}}\right) = GA\left(C_X^{\mathsf{t}} - C_Z^{\mathsf{t}}\left(y_C - y_S\right)^2\right),\tag{5.43a}$$

$$\chi_{\mathcal{Y}} = GA\left(C_{\mathcal{Y}}^{\mathsf{t}} - \frac{\left(C_{\mathcal{Z}}^{\mathsf{t}}\right)^{2}}{C_{\mathcal{Z}}^{\mathsf{t}}}\right) = GA\left(C_{\mathcal{Y}}^{\mathsf{t}} + C_{\mathcal{Z}}^{\mathsf{t}}\left(x_{\mathcal{C}} - x_{\mathcal{S}}\right)^{2}\right),\tag{5.43b}$$

$$\chi_{xy} = GA\left(C_{xy}^{\dagger} - \frac{\left(C_{zy}^{\dagger}\right)^{2}}{C_{z}^{\dagger}}\right) = GA\left(C_{xy}^{\dagger} + C_{z}^{\dagger}\left(x_{C} - x_{S}\right)\left(y_{C} - y_{S}\right)\right). \tag{5.43c}$$

Capitolo 6

# DISTRIBUZIONE DELLA TENSIONE TANGENZIALE

Si studieranno ora le distribuzioni sulle sezioni rette delle componenti della tensione tangenziale conseguenti ai vari tipi di sollecitazioni semplici che possono trovarsi ad agire sulle stesse sezioni rette, limitatamente a quelle che generano una tensione tangenziale. La distribuzione della tensione tangenziale  $\tau_z$ , oppure delle sue due componenti  $\tau_{xz}$  e  $\tau_{yz}$ , è determinata dalla soluzione generale del problema di Saint-Venant o, equivalnetemente, dalle soluzioni del problema della torsione e di quel particolare problema di torsione, taglio e flessione avente il taglio passante per il centro di taglio. Si ricorda che tale distribuzione è "esatta" se la trave soddisfa le condizioni del problema. Poiché queste soluzioni dipendono dalla integrazione della equazione di Laplace con opportune condizioni al contorno, integrazione quasi mai eseguibile in forma chiusa, non solo non è possibile uno studio esauriente come nel caso della tensione normale, ma anche lo studio di un singolo caso può presentare notevoli difficoltà. Per tale motivo si preferisce, quando possibile, utilizzare dei metodi approssimati. Tenendo poi conto del fatto che il taglio, per via delle equazioni indefinite di equilibrio, si presenta quasi sempre in associazione col momento flettente a cui corrispondono dei valori di tensione prevalenti rispetto a quelli dovuti al taglio stesso, a volte è sufficiente che i metodi approssimati forniscano delle indicazioni di massima sui valori delle tensioni tangenziali dovute al taglio.

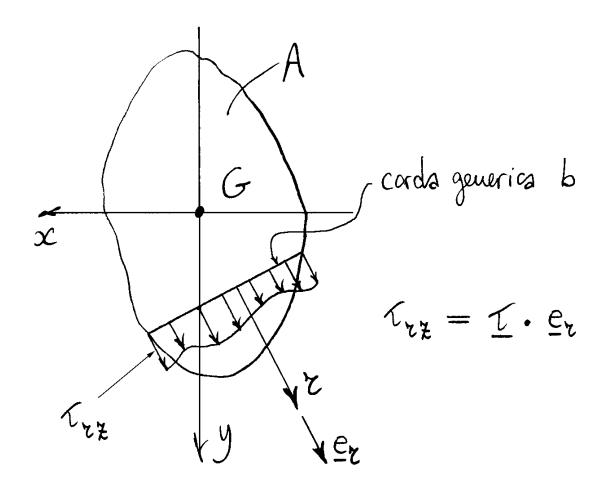
Nel seguito ci si limiterà allo studio di alcuni casi tecnicamente importanti. Per quel che riguarda la distribuzioni della tensione tangenziale conseguente ad un dato momento torcente, non è possibile prescindere dalla soluzione del problema della torsione, indispensabile tra l'altro per la determinazione generale del centro di taglio. I casi particolari di torsione che si svilupperanno nel seguito saranno quindi basati sulla soluzione, eventualmente approssimata, del problema della torsione. Per quel che riguarda invece la distribuzione della tensione tangenziale conseguente ad una data forza di taglio, non ci si baserà sulla soluzione generale del problema, ma piuttosto sul fatto che una semplice equazione di equilibrio, nota col nome di *formula di Jourawski*, associata alla soluzione (4.1) nelle tensioni normali, sarà in grado di fornire, nel cilindro di Saint-Venant, la tensione tangenziale media lungo una corda qualunque della sezione retta, anche se solo per quel che riguarda la componente della tensione in direzione ortogonale alla corda stessa.

# 6.1 Formula di Jourawski

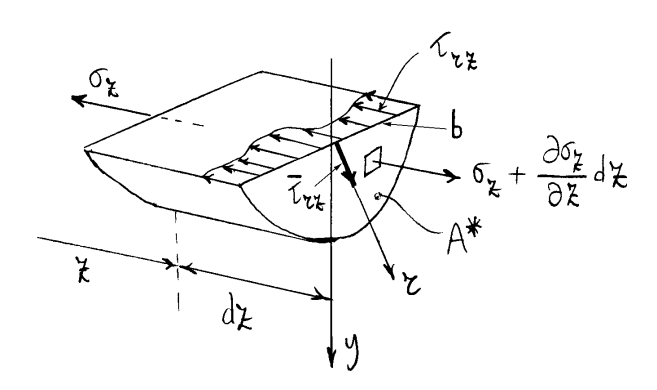
Allo scopo di ottenere la formula di Jourawski, si consideri una generica corda b (di lunghezza b) e sia  $\overline{\tau}_{rz}$  la tensione tangenziale media su tale corda, relativamente alla componente nella direzione r ortogonale alla corda:

$$\overline{\tau}_{rz} = \frac{1}{b} \int_{b} \tau_{rz} \, \mathrm{d}b. \tag{6.1}$$

Nella (6.1)  $\tau_{rz}$  è la componente ortogonale alla corda della tensione tangenziale puntuale. Si consideri poi l'equilibrio alla traslazione in direzione



dell'asse del cilindro di una sua porzione che si ottiene sezionando un elemento dz di cilindro (intorno della generica sezione di coordinata z) con un piano longitudinale passante per la corda b. Delle due porzioni si sceglie quella avente la direzione r positiva entrante e che nel seguito sarà indicata con  $A^*$ . Le componenti in direzione dell'asse z delle forze che



agiscono sulla porzione di trave così individuata sono:

 $-\sigma_z$ , sulla porzione  $A^*$  della sezione di coordinata z;

 $\sigma_z + \frac{\partial \sigma_z}{\partial z} dz$ , sulla porzione  $A^*$  della sezione di coordinata z + dz;

 $-\tau_{rz}$ , sulla sezione longitudinale, avendo tenuto conto del teorema di reciprocità delle tensioni tangenziali.

L'equilibrio si scrive pertanto:

$$-\int_{A^*} \sigma_z \, dA + \int_{A^*} \left( \sigma_z + \frac{\partial \sigma_z}{\partial z} \, dz \right) dA - \int_b \left( \tau_{rz} \, dz \right) db = 0, \tag{6.2}$$

e cioè:

$$\int_{b} \tau_{rz} \, \mathrm{d}b = \int_{A^*} \frac{\partial \sigma_z}{\partial z} \, \mathrm{d}A. \tag{6.3}$$

In virtù della (6.1), la tensione tangenziale media  $\overline{\tau}_{rz}$  risulta pertanto:

$$\overline{\tau}_{rz} = \frac{1}{b} \int_{A^*} \frac{\partial \sigma_z}{\partial z} \, \mathrm{d}A. \tag{6.4}$$

La relazione (6.4) e le relazioni (4.1) e (4.2) relative alla tensione normale rendono determinato il problema del calcolo della tensione tangenziale media  $\overline{\tau}_{rz}$ .

# 6.2 Criteri di snervamento

Nel caso che sulla sezione retta della trave sia presente anche la tensione tangenziale, non è possibile confrontarsi direttamente con la tensione di snervamento, definita nel caso di uno stato di tensione monoassiale. Introducendo la tensione ideale  $\sigma_{\rm i}$ , ovverossia la tensione monoassiale equivalente, dal punto di vista dello snervamento, al dato stato tensionale, la condizione di appartenenza al dominio elastico richiede, analogamente alle (4.5) e (4.6):

$$-\sigma_{s}^{-} \leq \sigma_{i} \leq \sigma_{s}^{+}. \tag{6.5}$$

Limitandosi al caso dei materiali metallici, ovverossia dei materiali duttili, ed utilizzando il criterio di Huber-von Mises, nel caso in cui sia presente la sola tensione tangenziale si ha:

$$\sigma_{\rm i} = \sqrt{3}\,\tau,\tag{6.6}$$

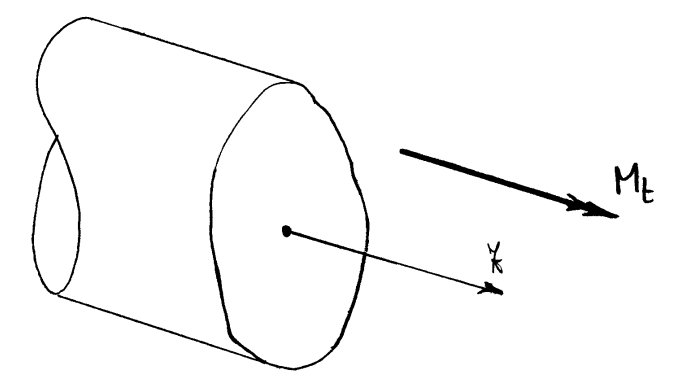
dove t e'il module della tensione tangenziale che agisce sulla sezione retta. Naturalmente la tensione tangenziale varia da punto a punto e quindi la verifica del raggiungimento della condizione di snervamento va eseguita nei punti mazziormente sollecitati. Se oltre al taglio e al momento torcente agiscano anche dei momenti flettenti e delle forze normali nella sezione e anche presente una tensione normale o. In tal caso la tensione ideale, sempe utilizezande il criterio di Huber-von Mises, si calcala come segue:

$$\sigma_i = \sqrt{\sigma^2 + 3 \, \ell^2} \quad .$$

Si noti che tale formula, come d'altronde la precedente, formisce sempre un valore positivo, il che non el limitativo poiche i materiali metallici hanno uguale snervamento a trazione e compressione.

# 6.3 Torsione

Una sezione retta e soggetta a torsione se l'unica ca= ratteristica della sollecitazione agente e un momento torcente, ovverossia una coppia agente nel piano della sezione, con



del problema di Saint Venant si e' ottenuta la soluzione generale del problema della torsione. Qui ci limiteremo a discutere la torsione per le sezioni circolari e per le sezioni sottili, aperte e chiuse.

#### 6.3.1 La sezione circolare

Nel caso della sezione circolare la funzione di ingobbamento è nulla, conformemente a quanto già discusso.

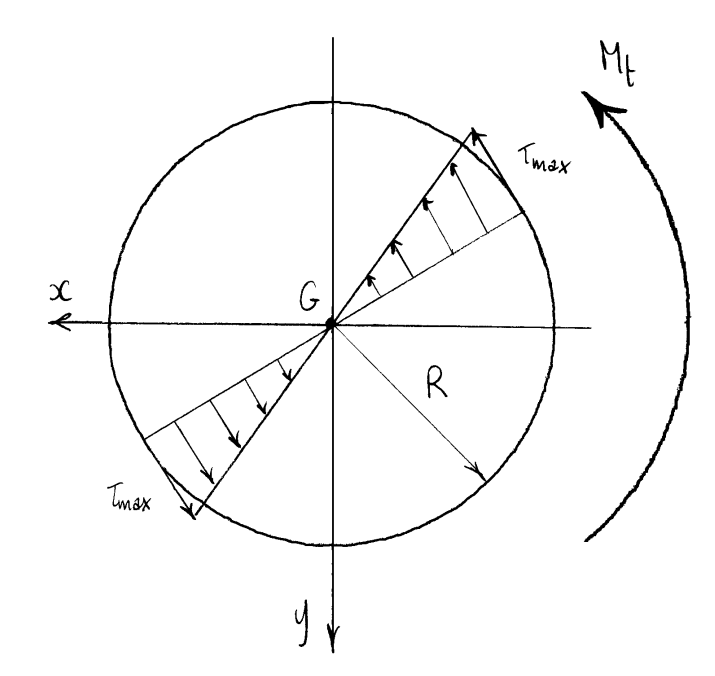
Quindi la tensione tongenziale risulta:

$$\underline{\zeta} = \frac{M_t}{J_G} \, \underline{R} \frac{\pi}{2} (P - G) \implies \begin{cases} \zeta_{xx} = -\frac{M_t}{J_G} y \\ \zeta_{yx} = \frac{M_t}{J_G} x \end{cases}$$

dove il momento di inerzia polare vale:

$$\int_{\mathcal{G}} = \frac{\pi}{2} R^4.$$

Con riferimento ad un diametro della sezione circolare, la tensione tangenziale risulta in agni punto ortogonale al diametro mentre il suo modulo e' proporzionale alla distanza dal baricentro. Il diagramma rappresentativo lungo un diametro e' dunque lineare, e risulta lo stesso per agni diametro.



Indicando ancora con  $Y = \sqrt{x^2 + y^2}$  la distanza dal baricanto, il modulo  $I = \sqrt{T_{xx}^2 + T_{yx}^2}$  della tensione tangenziale totale vale:

$$\tau = \frac{M_t}{J_G} \Upsilon = \frac{2M_t}{\pi R^4} \Upsilon ,$$

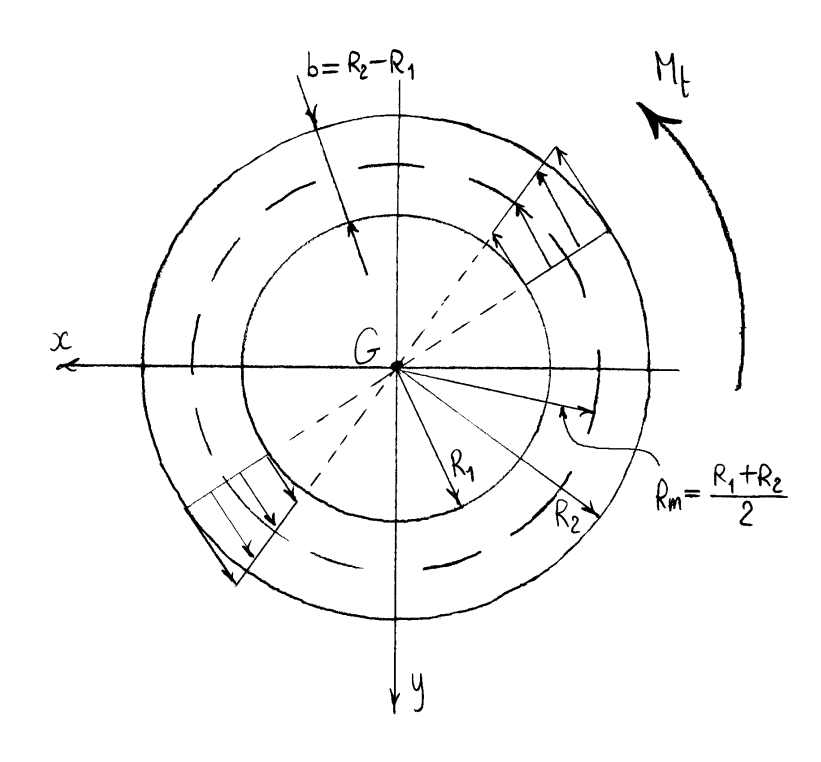
La teurique tangenziale massines e'quella lungs il contorno dore r=R:

$$T_{\text{max}} = \frac{2 Mt}{77 R^3} .$$

#### 6.3.2 La sezione circolare cava

la soluzione precedente resta valida nel caso di sezione circolare cava, poidre le condizioni al contorno sono soddisfatte anche lungo il contorno interno. In tal caso risulta:

$$J_{G} = \frac{\pi}{2} \left( R_{2}^{4} - R_{1}^{4} \right) = \pi \left( R_{2}^{2} + R_{1}^{2} \right) \frac{R_{1} + R_{2}}{2} \left( R_{2} - R_{1} \right),$$



$$\mathcal{T} = \frac{2 \, Mt}{\pi \left(R_2^4 - R_1^4\right)} \, Y , \qquad R_1 \leq \mathcal{T} \leq R_2 ,$$

$$\mathcal{T}_{\text{max}} = \frac{2 \, Mt}{\pi \left(R_2^4 - R_1^4\right)} , \qquad \left(\mathcal{T} = R_2\right) .$$

Notiano du inaltre risulta:

$$\frac{T(R_2) - T(R_1)}{T(\frac{R_1 + R_2}{2})} = \frac{R_2 - R_1}{(R_1 + R_2)/2}$$

La differenza  $b=R_2-R_1$  appresenta le <u>spessore</u> della sezione cara mentre  $R_m=(R_1+R_2)/2$  rappresenta il aggio della <u>linea media</u> della sezione cara.

Dungue, se:

$$\frac{b}{R_m} \ll 1$$
,

allora la tensione tangenziale risulta praticomente

costante nella spessore (sezione circolare sottile chiisa). Sotto la validità di tale condizione risulta:

$$R_{1}^{2} + R_{2}^{2} = \left(R_{m} - \frac{b}{2}\right)^{2} + \left(R_{m} + \frac{b}{2}\right)^{2} =$$

$$= 2R_{m}^{2} + \frac{b^{2}}{2} = 2R_{m}^{2} \left(1 + \frac{b^{2}}{4R_{m}^{2}}\right) \approx 2R_{m}^{2},$$

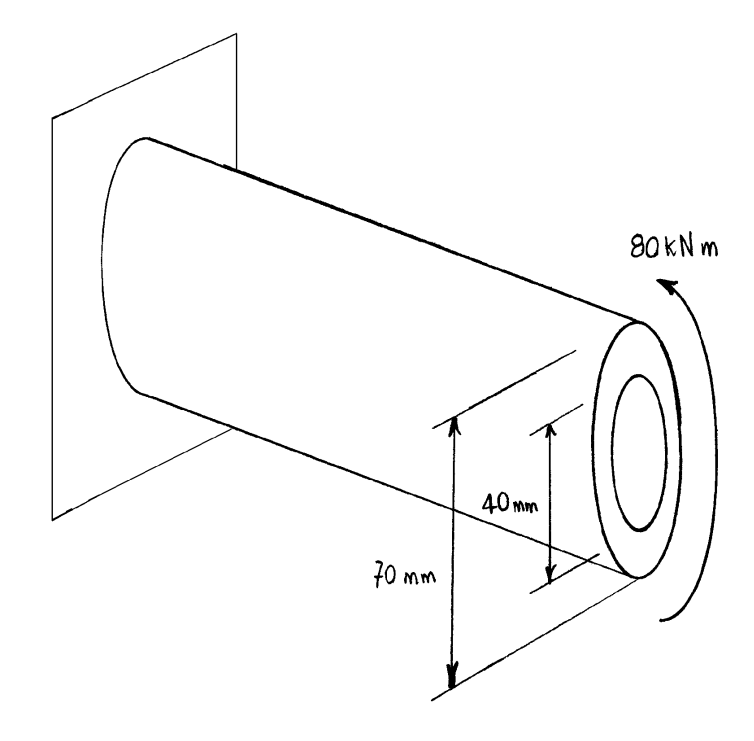
e dunque:

$$J_{\mathcal{C}}\cong 2\pi \, b \, R_{m}^{3}$$
,

di Paggio Rm on distribuzione di massa per unitali di linea pari allo spessore b.

#### 6.3.3 Mensola di sezione circolare cava

Si consideri la mensola in acciaio di sezione circolare cava illustrata in figura e soggetta ad una coppia torcente di 80 kN all'estremità libera.



Il momento di inerzia polare vale:

$$J_G = \frac{\pi}{2} \left\{ \left( \frac{70 \, \text{mm}}{2} \right)^4 - \left( \frac{40 \, \text{mm}}{2} \right)^4 \right\} = 3.369 \times 10^7 \, \text{mm}^4$$

e quindi la tensione tangenziale massima risulta:

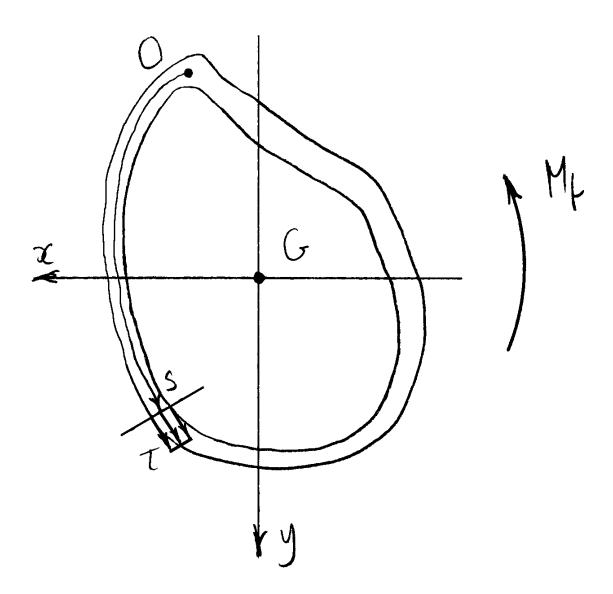
$$\tau_{\text{max}} = \frac{8 \times 10^{7} \text{N mm}}{3.369 \times 10^{7} \text{mm}^{4}} \frac{70 \text{ mm}}{2} = 83.10 \text{ N/mm}^{2}.$$

La tensione ideale massima vale:

$$G_i = \sqrt{3} \tau_{\text{max}} = 143.94 \text{ N/mm}^2$$
.

#### 6.3.4 La torsione nelle travi di sezione sottile chiusa

Si consideri una sezione sottile chiusa biconnessa. Se lo spessore è co-



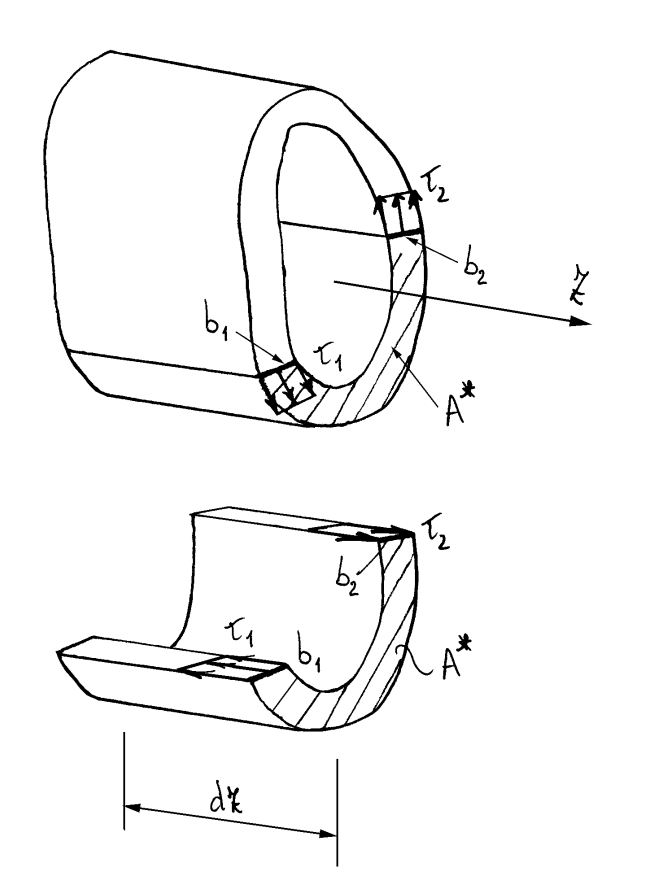
stante oppure "moderatamente" variabile si può assumere, senza grande errore, che le tensioni tangenziali lungo una corda siano parallele alla linea media. Infatti in tal caso il "flusso" delle tensioni sul contorno ha, almeno approssimativamente, la direzione del contorno stesso. Inoltre ci si può aspettare, analogamente alla sezione circolare sottile, che le tensioni tangenziali si mantengano costanti lungo una corda generica.

Si separi ora un pezzo di cilindro di lunghezza d'E

(intorno della generica sezione retta) e si eseguano

due ulteriori sezioni con due piani paralleli all'asse

E (piani longitudinali) e passanti per due corde generiche



di cordinata currilinea (sulla linea media della serioue sottile chiusa) rispettivamente s, e s2. Siano poi tre la le tensioni tangenziali agenti lungo le corde di coordinata s, e sz rispettivamente. Il segmento di torre che osi si ottiene e'sozzetto, sulle due sezioni longitudinali, ad una tensione tangenziale du per il teorema di reciprocità delle tensioni tangenziali vale to nella sezione corrispondente alla corda so e T2 vells serioue orrispondente ells ords 52. l'equilibrio alla traslazione lungo la direzione Z del segmento di trave richiede allora:

$$\zeta_1b_1=\zeta_2b_2$$
,

e cioè:

$$tb = cost$$
,

lugo la livea media.

Questo risultato e' in accordo con la formula di Jourauxski, poiche se agisce il solo momento torceute allora il taglio e' nullo e' la teusione tangenziale media lungo le due corde deve essere nulla:

$$\frac{\zeta_1 b_1 - \zeta_2 b_2}{b_1 + b_2} = 0 .$$

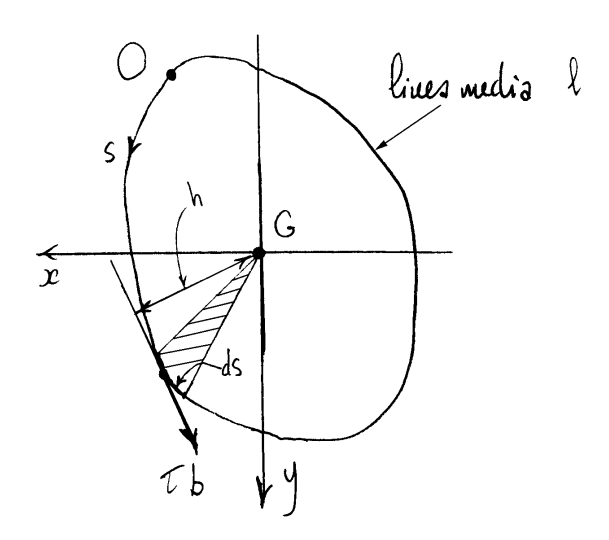
Si noti che la tensione T2 e uscente dall'area A\* e questo giustifica il segno negativo utilizzato.

l'equivaleurs statics delle tensioni tangenziali car il namento tarcente M<sub>t</sub> applicato richiede poi:

$$M_t = \oint_{\ell} \tau \, b \, h \, ds = \tau \, b \oint_{\ell} h \, ds \, ,$$

poiche  $\tau$  b = cost. Si noti che, detta  $\Omega$  l'area racchisa della livea media  $\ell$ , risulta:

$$\Omega = \frac{1}{2} \oint_{\ell} h \, ds .$$



Si officue così la formuladi Bredt:

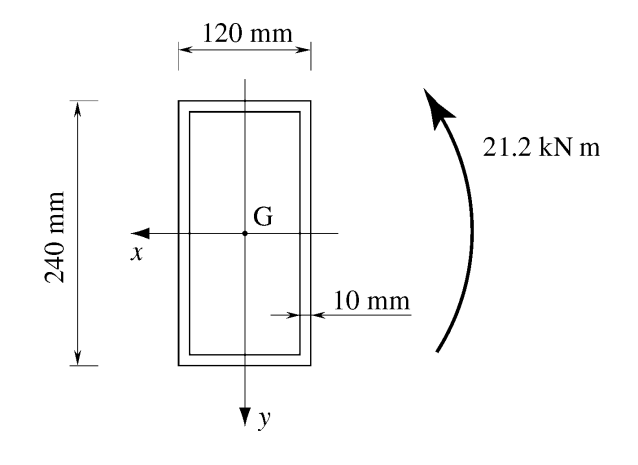
$$\zeta = \frac{M_t}{2 \Omega b}$$

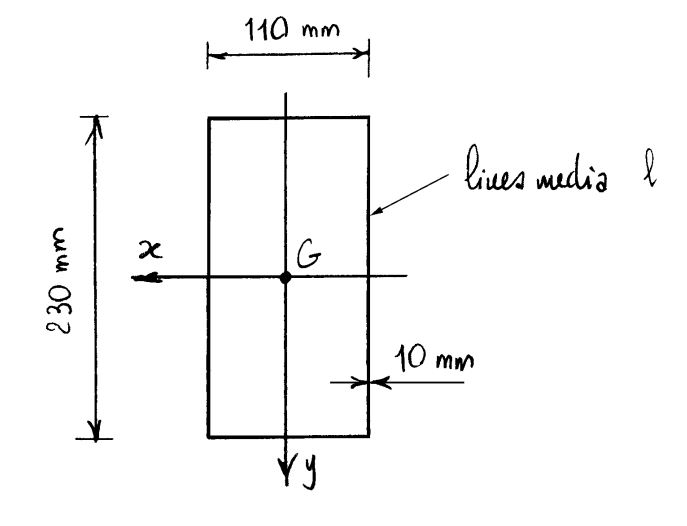
La tensione tangenziale mossima si raggionge dunque quando le spessore e minimo:

$$t_{\text{max}} = \frac{M_t}{2 \Omega b_{\text{min}}}$$
.

## Sezione scatolare di forma rettangolare

Quale esempio si consideri la sezione scatolare di figura, soggetta ad un momento torcente positivo di 21.2 KNm.



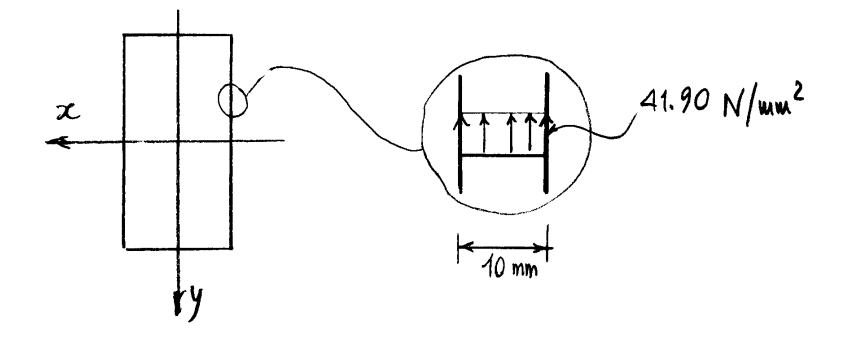


Estraendo la linea media, si offiene il seguente valore dell'area racchiusa:

$$\int_{2} = 110 \text{ mm} \times 230 \text{ mm} = 25300 \text{ mm}^{2}$$

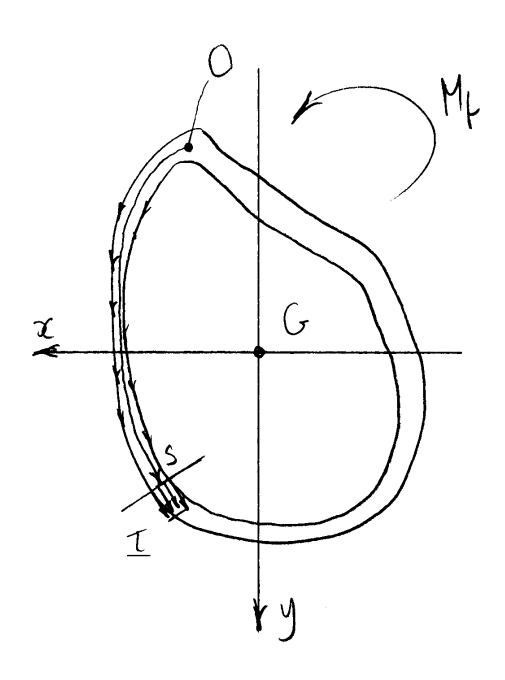
Poiche la spessore e costante lungo tetta la linea media, la tensione tangenziale e pure costante e vale:

$$\chi = \frac{21.2 \times 10^6 \,\mathrm{N}\,\mathrm{mm}}{2 \times 25300 \,\mathrm{mm}^2 \times 10 \,\mathrm{mm}} = 41.90 \,\mathrm{N/mm}^2.$$



#### Fattore torsionale di rigidezza

Si consideri una sezione sottile chiusa biconnessa e si ricordi che la tensione lungo una corda di spessore b è costante ed è fornita dalla formula di Bredt. Si ricordi inoltre la relazione tra tensione tangenziale e funzione



di ingobbamento:

$$\boldsymbol{\tau} = \frac{M_{\rm t}}{J_{\rm t}} \left\{ \operatorname{grad} \omega + \boldsymbol{R}_{\frac{\pi}{2}} \left( P - G \right) \right\} \tag{6.7}$$

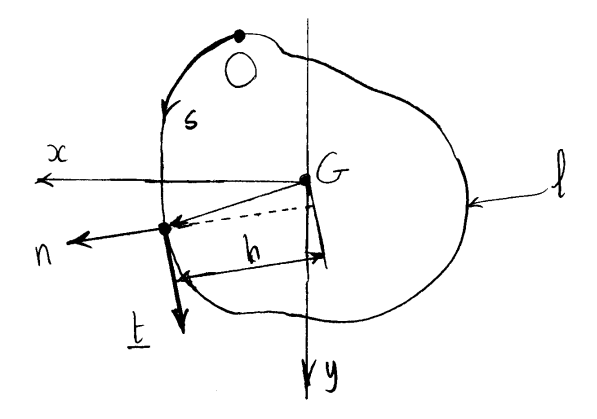
dove  $\mathbf{R}_{\frac{\pi}{2}}$  è il tensore rotazione di 90° in senso antiorario. Dalle tensioni tangenziali è quindi possibile risalire al gradiente della funzione di ingobbamento:

$$\operatorname{grad} \omega = \frac{J_{t}}{M_{t}} \boldsymbol{\tau} - \boldsymbol{R}_{\frac{\pi}{2}} (P - G). \tag{6.8}$$

Per poter integrare tale espressione nella funzione di ingobbamento  $\omega$  la sua circuitazione lungo la linea media chiusa deve essere nulla:

$$\oint_{\ell} \operatorname{grad} \boldsymbol{\omega} \cdot \boldsymbol{t} \, \mathrm{d} s = 0. \tag{6.9}$$

Questa espressione rappresenta quindi una condizione di congruenza.



Si attiene:

$$\oint_{\ell} \underbrace{\tau \cdot \underline{t}}_{dS} dS = \oint_{\ell} \frac{1}{b} \tau_{SX} b dS = \tau_{SX} b \oint_{\ell} \frac{dS}{b},$$

$$\oint_{\ell} \underbrace{\{\underline{R}_{\frac{\pi}{2}}(P-G)\} \cdot \underline{t}}_{dS} dS = \oint_{\ell} \underbrace{\{P-G\} \cdot \underline{n}}_{dS} dS$$

$$= \oint_{\ell} h dS = 2\Omega.$$

dove  $\Omega$  è l'area racchiusa dalla linea media.

Dinque, la condizione:

$$\oint_{\ell} \underline{\tau} \cdot \underline{t} \, ds - \frac{M_{t}}{\overline{J}_{t}} \oint_{\ell} \{ \underline{R}_{\frac{\pi}{2}}(P-G) \} \cdot \underline{t} \, ds = 0 ,$$

impone:

$$\tau_{s_{\sharp}} b \oint_{\mathbf{A}} \frac{ds}{b} - 2 \frac{Mt}{J_{t}} \Omega = 0,$$

e infine:

$$J_{t} = \frac{4 \Omega^{2}}{\oint_{\ell} \frac{ds}{b}} .$$

Lo stesso risultato si sarebbe polito attenere dalla ugazglianza (lavoro di deformazione):

$$\oint_{\ell} \frac{\zeta_{sk}^2}{2G} b ds = \frac{M_t^2}{2G J_t},$$

tenendo anto che risulta:

$$\oint_{\ell} \frac{\tau_{sk}^2}{2G} b ds = \frac{\tau_{sk}^2 b^2}{2G} \oint_{\ell} \frac{ds}{b} = \frac{M_{\ell}^2}{2G} \frac{\oint_{\ell} \frac{ds}{b}}{4 \Omega^2}.$$

Verifichismo che la soluzione ottenuta soddisha la condizione di taglio nullo  $(\underline{T}=\underline{0})$ . Infatti:

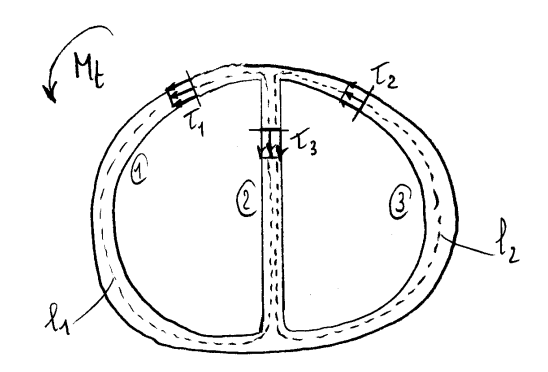
$$T = \oint_{\ell} \underline{\zeta} \, b \, ds = \oint_{\ell} \tau_{s\xi} \, b \, \underline{t} \, ds$$

$$= \tau_{s\xi} \, b \, \oint_{\ell} \underline{t} \, ds = \tau_{s\xi} \, b \, \underline{R}_{\frac{\pi}{2}} \oint_{\ell} \underline{n} \, ds$$

$$= \tau_{s\xi} \, b \, \underline{R}_{\frac{\pi}{2}} \int_{\Omega} q_{r} \, ad \, 1 \, d\Omega = \underline{0} \quad .$$

### La torsione nelle sezioni sottili chiuse pluriconnesse

Analizziamo nel seguito, quale esempio facilmente generalizzabile, la sezione sottile chiusa triconnessa.



4 incognite: T1, T2, T3, Jt,

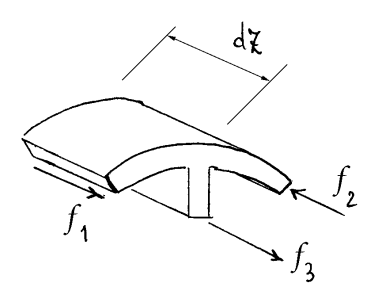
1 egrazione di equilibrio di nodo,

1 equazione di equivalenza statica la le T e Mf.

è equazioni di circuitazione lungo le linee chiuse  $\partial\Omega_1$  e  $\partial\Omega_2$  .

I flussi delle tensioni tangenziali nei vari tratti valgono:

$$f_1 = \mathcal{L}_1 b_1, \quad f_2 = \mathcal{L}_2 b_2, \quad f_3 = \mathcal{L}_3 b_3,$$



L'equazione di equilibrio del nodo alla traslazione nella direzione della linea d'asse richiede:

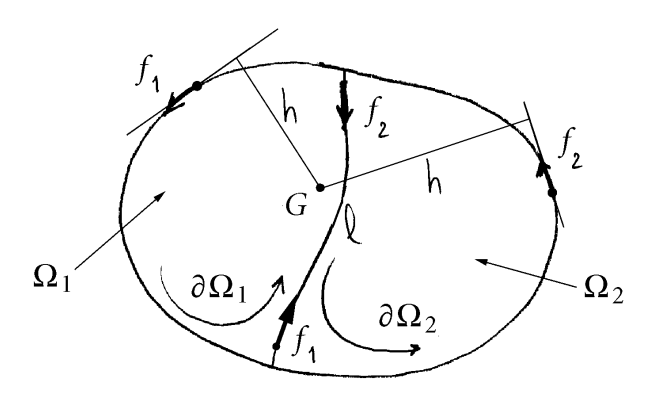
$$f_1 d\xi - f_2 d\xi + f_3 d\xi = 0$$

e si ottiene:

$$f_3 = f_2 - f_1$$
.

L'equivalenza statica richiede:

$$\mathsf{M}_{\mathsf{L}} = \oint_{\partial \Omega_1} f_1 \, \mathsf{h} \, \mathsf{d} \mathsf{S}_1 \, + \oint_{\partial \Omega_2} f_2 \, \mathsf{h} \, \mathsf{d} \mathsf{S}_2 \, ,$$



e si ottiene:

$$M_{t} = 2 \Omega_{1} f_{1} + 2 \Omega_{2} f_{2} ,$$

dove  $\Omega_1$  e  $\Omega_2$  sono le aree racchiuse dalle linee medie  $\partial \Omega_1$  e  $\partial \Omega_2$  rispettivamente.

La circuitazione lungo la generica linea  $\partial \Omega_i$  si scrive:

$$\oint_{\partial \Omega_i} \operatorname{grad} \omega \cdot \underline{\mathsf{t}} \, d\mathsf{s} = 0 ,$$

e quindi:

$$\frac{\bar{J}_{t}}{M_{t}} \left\{ \oint_{\partial \Omega_{1}} \frac{f_{1}}{b} \, d\varsigma - \int_{\ell} \frac{f_{2}}{b} \, d\varsigma \right\} - \oint_{\partial \Omega_{1}} h \, d\varsigma = 0,$$

$$\frac{J_{t}}{M_{t}} \left\{ \oint_{\partial \Omega_{2}} \frac{f_{2}}{b} \, d\varsigma - \int_{\ell} \frac{f_{1}}{b} \, d\varsigma \right\} - \oint_{\partial \Omega_{2}} h \, d\varsigma = 0,$$

e infine:

$$f_1 \oint_{\partial \Omega_1} \frac{d\varsigma}{b} - f_2 \int_{\ell} \frac{d\varsigma}{b} = \frac{M_{\ell}}{J_{\ell}} \oint_{\partial \Omega_1} h d\varsigma,$$

$$-f_1 \int_{\mathbf{l}} \frac{ds}{b} + f_2 \oint_{\partial \Omega_2} \frac{ds}{b} = \frac{M_t}{J_t} \oint_{\partial \Omega_2} h ds.$$

Verifichieme infine che anche nel coso di sezione soffile bionnessa vale  $\sqrt{2}$  condizione T=0:

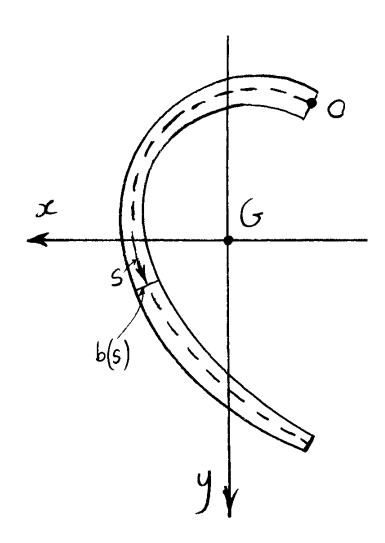
$$T = \sum_{i} \oint_{\partial \Omega_{i}} f_{i} \underline{t} dS$$

$$= \sum_{i} f_{i} \underline{R}_{\frac{\pi}{2}} \oint_{\partial \Omega_{i}} \underline{n} dS$$

$$= \sum_{i} f_{i} \underline{R}_{\frac{\pi}{2}} \int_{\Omega_{i}} \operatorname{ad} 1 d\Omega = \underline{0}.$$

## 6.3.5 La torsione nelle travi di sezione sottile aperta

Si consideri una sezione sottile aperta generica. Come già per le sezioni sottili chiuse, le tensioni tangenziali lungo una corda possono assumersi parallele alla linea media per garantire che il "flusso" delle tensioni sul contorno abbia, almeno approssimativamente, la direzione del contorno stesso. Inoltre lungo una corda generica la tensione tangenziale media



deve essere nulla in conseguenza della formula di Jourawski:

$$\frac{1}{b} \int_{-\frac{b}{2}}^{\frac{b}{2}} \tau \, \mathrm{d}n. \tag{6.10}$$

Ricordiamo che
tale formula e' ottenuta facendo l'equilibrio alla trasla=
zione nella direzione dell'asse Z di una porzione di trave
attenuta sezionando un concio di trave di larghezza
d'E con una sezione longitudinale passante per la
corda considerata. Ne consegue che la tensione
tangenziale deve cambiare di segno lungo la corda e,

nell'ipoteci di un'andamento lineare, la tencione

tangenziale lungo la corda deve essere emisimmetrica

Sezione longitudinale

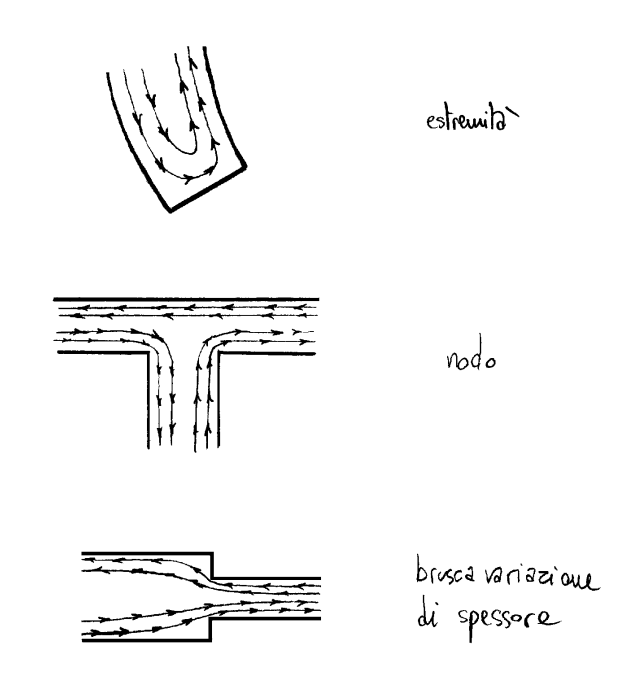
dit

corda generica
di spessore b

porzione di trave a cui
e' imposto l'equilibrio
in direzione it

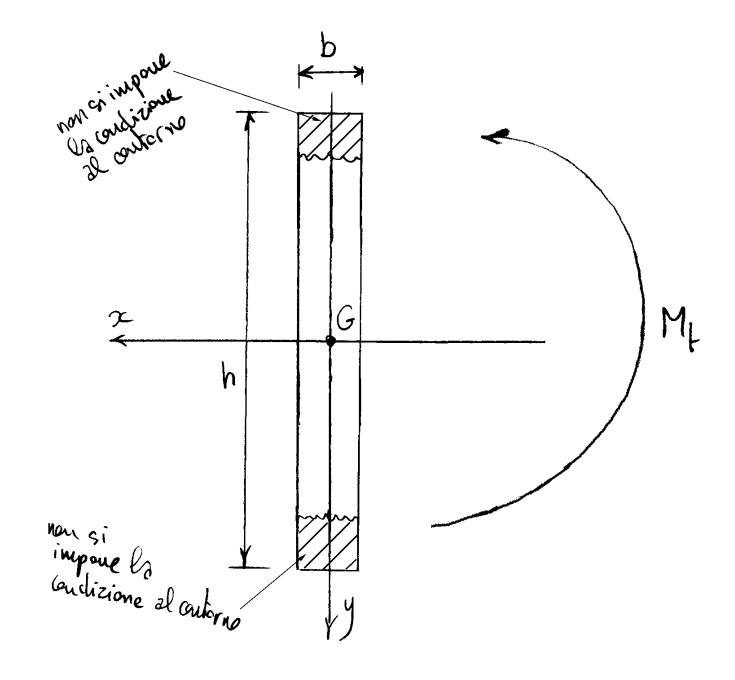
rispetto alla linea media.

Naturalmente, in prossimità dei bordi terminali della sezione oppure in corrispondenza di nodi della sezione o di brusche variazioni di spessore l'andamento delle tensioni tangenziali si discostera anche noterolmente da quello illustrato. Ne consegue che la soluzione approssimata che andiamo ad illustrare ha validità solo ad una certa distanza da tali zone.



#### La sezione rettangolare sottile

Prescindendo d'all'audamento delle tensioni tangenziali nelle due zone di estremito, ci limitianno a imporre le cardizioni al contorno solo per i lati maggiori del rettangolo. Assento



il riferimento Grey principale di inerzia, con l'asse y avente la direzioni dei lati maggiori, le equazioni di tali lati risultano:

$$x - \frac{b}{2} = 0 \qquad e \qquad x + \frac{b}{2} = 0 \quad ,$$

essendo b la spessore del rettangolo.

Procediano car la funzione delle tensioni. La confizione al contorno:

$$F=0$$
,

e' seuz'altro soddistatta sui lati maggiori se si pone:

$$F = c \left( x - \frac{b}{2} \right) \left( x + \frac{b}{2} \right)$$
$$= c \left( x^2 - \frac{b^2}{4} \right),$$

dove c e us costante de determinaisi.

L'equazione di Poisson:

$$\nabla^2 F = -2 \frac{M_t}{J_t} ,$$

impone allors la condizione:

$$2c = -2\frac{M_t}{J_t},$$

condizione che impone il valore della costante c:

$$C = -\frac{M t}{J_L}$$
.

La finzione:

$$F = -\frac{M_f}{J_f} \left( x^2 - \frac{b^2}{4} \right) ,$$

soddisha quindi l'equazione di Poisson per la horzione delle tensioni e, transe du nelle due estremita, le condi=zioni al contorno. Resta da soddishare la condizione:

$$2\int_{A} F dA = M_{t} ,$$

condizione che si scrive:

$$-\frac{2Mt}{J_{\ell}}\int_{\frac{b}{\ell}}^{\frac{b}{\ell}} (x^2 - \frac{b^2}{4}) h dx = M_{\ell},$$

dove h e' l'alters del rettangolo.

Si e' così attenuta una equazione che permette di determinare

il valore de l'attore di rigidezza torsionale  $J_{\rm t}$ :

$$-\frac{2h}{J_t} \left[ \frac{x^3}{3} - \frac{b^2x}{4} \right]_{-\frac{b}{7}}^{\frac{b}{2}} = 1,$$

e quindi:

$$J_{l} = \frac{1}{3} h b^{3}.$$

La finzione delle tensioni diventa:

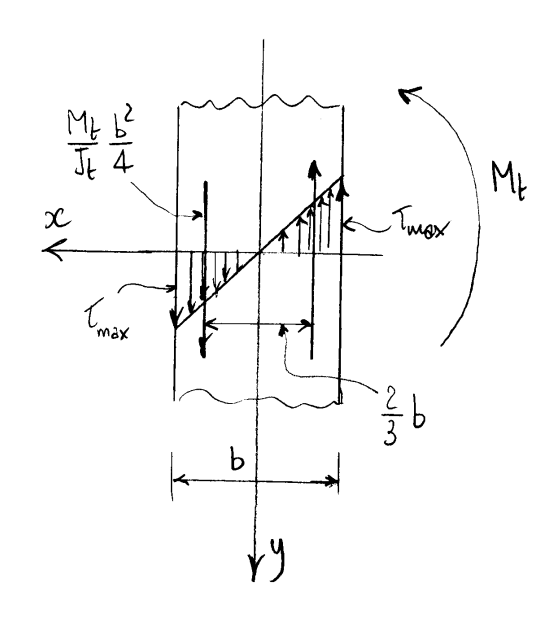
$$F = -\frac{3 M_{t}}{b^{3} h} (x^{2} - \frac{b^{2}}{4}),$$

e le tensioni tangenziali valgono:

$$\tau_{yk} = \frac{2Mt}{J_t} x = \frac{6Mt}{b^3 h} x ,$$

$$\tau_{xy} = 0 .$$

La tensione tangenziale massima si ha in corrispondenza dei lati maggiori e vale:



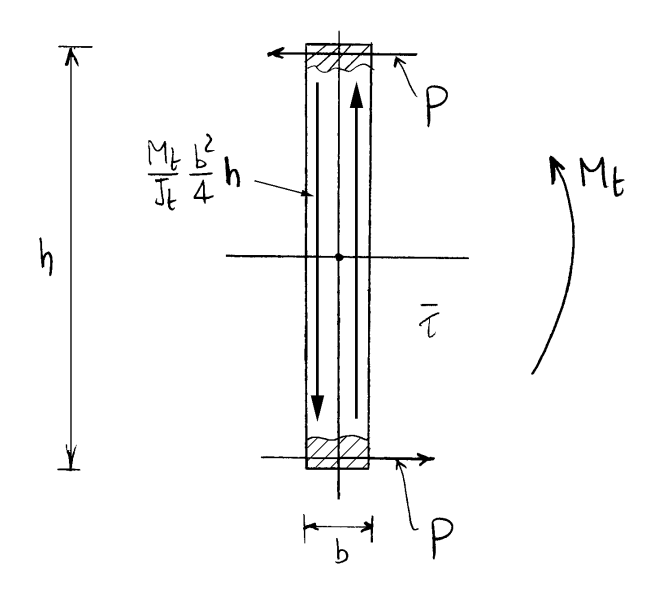
$$\langle x_{\text{max}} = \left| \mathcal{I}_{yz} \left( \pm \frac{b}{2} \right) \right| = \frac{M_{t}}{J_{t}} b = \frac{3M_{t}}{b^{2} h}$$

Il momento torcente totale generato dalle  $au_{yz}$  vale:

$$\frac{M_{t}}{J_{h}} \frac{b^{2}}{4} \frac{2}{3} b h = \frac{3M_{t}}{b^{3}h} \frac{bh}{6} = \frac{M_{t}}{2} .$$

Quindi solo meto del nomento torcente Mt e generato delle Tyx.

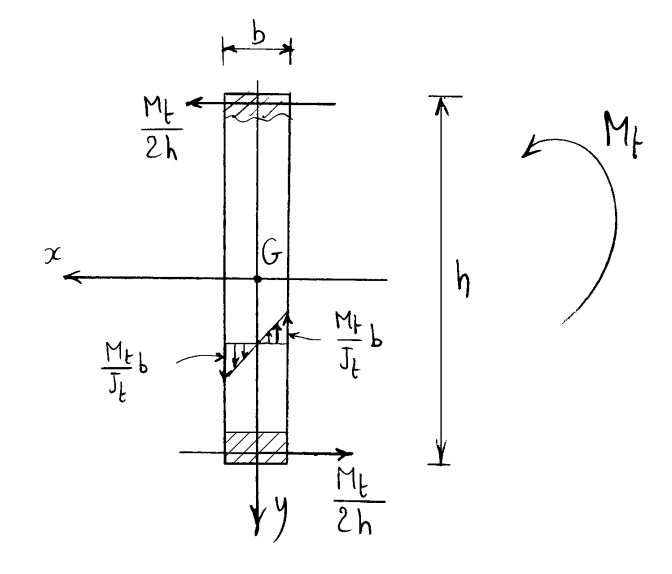
Si consideri ora che sulle due basi del rettangolo sottile le tensioni tangenziali si devono disporre pa= rallalamente alle basi stesse affinche, sul contorno, tali tensioni siano tangenti al contorno stesso. Ne con= segue che in prossimità delle due basi vengono generate due forze camplessive P parallele alle basi stesse costituen= ti una coppia di braccio h, cioè pari all'altezza del rettangolo. Queste due forze sono "piccole" ma hanno un braccio "grande", in opposizione alle due forze paral= lele all'altezza del rettangolo a venti un "grande" mo=



dulo ma un piccolo "braccio". Non deve quindi stupire che la coppia Ph generi approssimativamente un momento uguale a Mt/2, cioè uguale al momento generato dalle tensioni tangenziali parallele all'altezza del rettangolo.

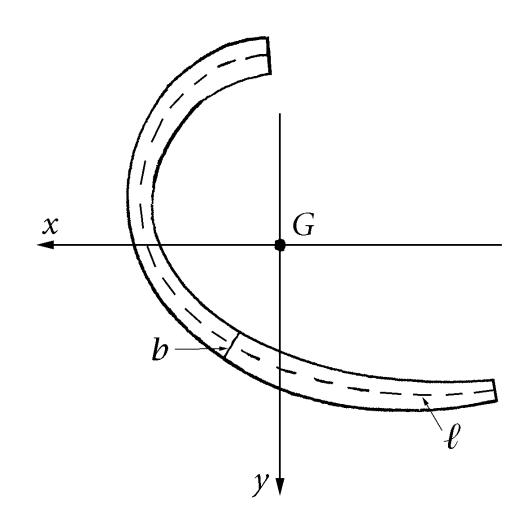
Tenendo conto di quanto detto deve dunque risultare:

$$P = \frac{M_t}{2h}$$



#### La sezione sottile generica

Si consideri una trave di sezione sottile aperta di linea media  $\ell$  in generale curva e di spessore b in generale variabile. Si assuma poi un'ascissa curvilinea s sulla linea media  $\ell$ , espressa dalla distanza misurata sulla linea media da un punto preso come origine. È allora possibile individuare



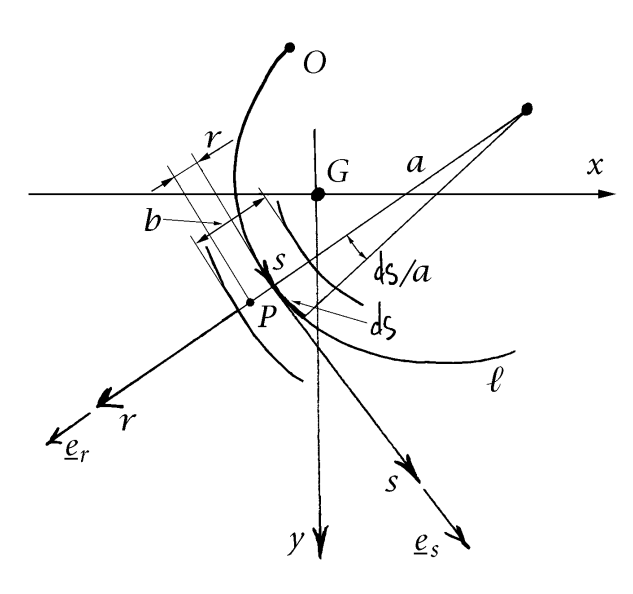
il punto generico P della sezione sottile per il tramite dell'ascissa s e della distanza r del punto dalla linea media, misurata nella direzione ortogonale alla linea media stessa. La funzione P(r,s) rappresenta un sistema di coordinate generali. Le linee coordinate r di equazione s = cost sono le rette ortogonali alla linea media, mentre quelle s di equazione r = cost sono le linee parallele alla linea media.

Si supponga poi che il raggio di curvatura a della linea media della sezione sia grande rispetto allo spessore b:

$$\frac{b}{a} \ll 1. \tag{6.11}$$

Sotto tale ipotesi il laplaciano che compare nell'equazione di Poisson che regge il problema della funzione delle tensioni F si scrive in modo approssimato:

$$\nabla^2 \mathbf{F} \approx \frac{\partial^2 F}{\partial r^2} + \frac{\partial^2 F}{\partial s^2}.$$
 (6.12)



L'equazione di Poisson diventa allora:

$$\frac{\partial^2 F}{\partial r^2} + \frac{\partial^2 F}{\partial s^2} = -2\frac{M_t}{J_t}.$$
 (6.13)

Si trascuri, come per la sezione rettangolare sottile, il soddisfacimento delle condizioni al contorno nelle estremità della sezione e in più negli eventuali nodi e si supponga che lo spessore b vari lentamente lungo la linea media della sezione. In tali ipotesi la funzione:

$$F = -\frac{M_{\rm t}}{J_{\rm t}} \left( r^2 - \frac{b^2}{4} \right),\tag{6.14}$$

soddisfa, in modo approssimato, sia l'equazione di Poisson (1) che le condizioni al contorno F(b/2)=0 e F(-b/2)=0 e rappresenta dunque la soluzione, approssimata, del problema della torsione per le travi di sezione sottile aperta, naturalmente sotto le ipotesi dette.

Dato che localmente il sistema generale di coordinate origina approssimativamente una base di vettori ortonormali le tensioni tangenziali valgono:

$$\tau_{sz} = -\frac{\partial F}{\partial r} = 2\frac{M_{\rm t}}{J_{\rm t}}r,\tag{6.15}$$

$$\tau_{rz} = \frac{\partial F}{\partial s} \approx 0, \tag{6.16}$$

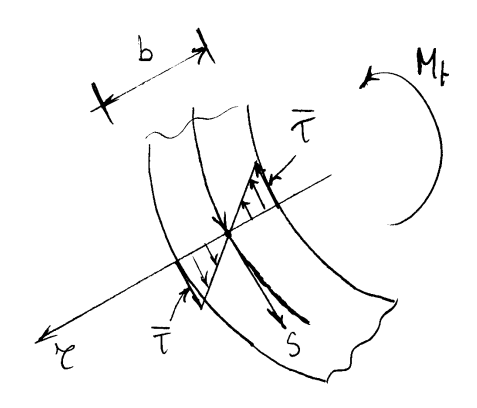
dove nella  $\tau_{rz}$  si sono trascurati i contributi della derivata dello spessore b per l'ipotesi di lenta variazione di questo lungo la linea media. Lungo una corda la tensione tangenziale assume il valore massimo in modulo sul contorno. Detto  $\overline{\tau}$  tale valore, risulta:

$$\overline{\tau} = \left| \tau_{sz}(\pm \frac{b}{2}) \right| = \frac{M_{\rm t}}{I_{\rm t}} b. \tag{6.17}$$

Dato che Mt e Jt rondipendono da s, la tensione tangenziale macrima la si ha in corrispendenza delle spessore

wasino:

$$\label{eq:tmax} \text{$\int_{t}$} b_{\text{max}} \, .$$



Di moro, Je si attiene imponendo:

$$2\int_{A}FdA=M_{f},$$

cise:

$$-2 \frac{Mt}{Jt} \int_{\mathbf{A}} ds \int_{-\frac{b}{l}}^{\frac{b}{l}} \left( r^2 - \frac{b^2}{4} \right) dr = Mt,$$

e quindi:

$$J_{t} = \frac{1}{3} \int_{\mathbf{k}} b^{3} ds \quad .$$

Se b = cost, questo divento (come nel coso della sezione settingolare sottile):

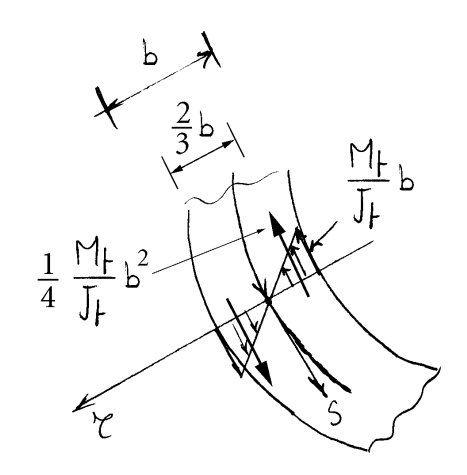
$$T_t = \frac{1}{3}b^3\ell$$

dove l e' la longhezza complessiva della linea media.

Da ultimo, occorre notare che di nuovo le tsz riproducano solo la metà del momento torcente, se si trascura, nello spirito delle sezioni sottili, l'effetto curvatura:

$$\int_{\ell} \frac{1}{6} \frac{M_{+}}{J_{+}} b^{3} ds = \frac{1}{2} \frac{M_{+}}{J_{+}} \frac{1}{3} \int_{\ell}^{3} ds = \frac{M_{+}}{2}.$$

Tuttàvia, tenendo conto dell'effetto curvatura, le tencioni langenziali ridotte alla linea media



generano non solo delle coppie distribuite

lungo la linea media, ma anche delle forze aventi

la direzione della linea media. Questo perche le

tensioni tangenziali dalla parte del centro di curva=

tura agiscono su aree più piccole rispetto a quelle agenti

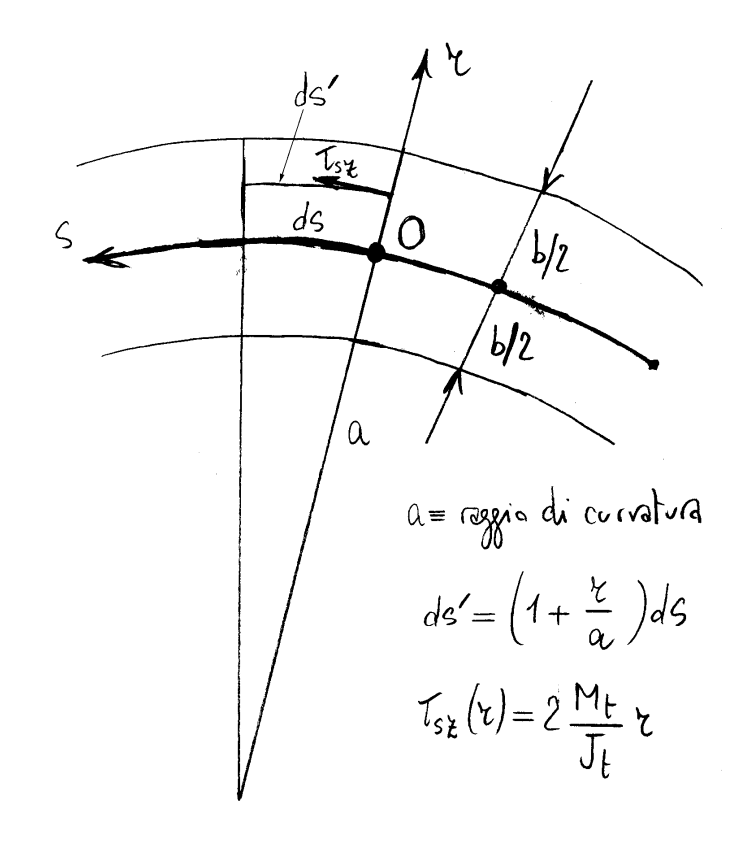
dalla parte opposta. Queste forze risultanti, anche se

piccole, non sono trascuratili agli effetti del calcolo

del momento torcente, per l'effetto ampli ficante della

loro distanza dal polo di riduzione del momento toccente.

La risultante, per unità di linea media, delle tensioni agenti lungo una corcha vale:



$$f = \frac{1}{ds} \int_{-\frac{b}{l}}^{+\frac{b}{2}} \tau_{s_{k}} ds' dr = \int_{-\frac{b}{l}}^{\frac{b}{2}} \frac{M_{l}}{J_{l}} \tau \left(1 + \frac{\tau}{a}\right) d\tau,$$

e infine:

$$f = \frac{M + b^3}{6 J_t a} .$$

In mode suslege si attiene il momento tarcente risultante, per unità di linea, rispetto al polo O intersezione della corda con la linea media:

$$m_{t} = \frac{1}{ds} \int_{-\frac{b}{2}}^{+\frac{b}{2}} \tau_{sk} \tau ds' d\tau$$

$$= \int_{-\frac{b}{2}}^{\frac{b}{2}} 2 \frac{Mt}{J_{t}} \tau^{2} (1 + \frac{\tau}{\alpha}) d\tau ,$$

e infine:

$$m_{t} = \frac{M_{t} b^{3}}{6 J_{t}} .$$

Ne risulta che m<sub>f</sub> non risente dell'effetto curvatura.

#### Semicirconferenza sottile

mmore in

liveare

Sia data una semicirconferenza sottile di raggio R e di spessore b costante. Il fattore torsionale di rigidezza e la tensione tangenziale sul contorno valgono:

$$\overline{J}_{t} = \frac{1}{3}\pi R b^{3}, \qquad \overline{I}_{\text{max}} = \frac{3M_{t}}{\pi R b^{2}} \cdot \frac{1}{(1-\frac{2}{\pi})R}$$

$$\overline{J}_{t} = \frac{1}{3}\pi R b^{3}, \qquad \overline{I}_{\text{max}} = \frac{3M_{t}}{\pi R b^{2}} \cdot \frac{1}{(1-\frac{2}{\pi})R}$$

$$\overline{J}_{t} = \frac{1}{3}\pi R b^{3}, \qquad \overline{I}_{\text{max}} = \frac{3M_{t}}{\pi R b^{2}} \cdot \frac{1}{(1-\frac{2}{\pi})R}$$

$$\overline{J}_{t} = \frac{1}{3}\pi R b^{3}, \qquad \overline{I}_{\text{max}} = \frac{3M_{t}}{\pi R b^{2}} \cdot \frac{1}{(1-\frac{2}{\pi})R}$$

Il raggio di curvatura e' costante e vale R. Le tensioni ridotte alla linea media donno origine alle forze e nomenti seguenti:

$$f = \frac{M_{\xi} b^{3}}{6J_{f}R} \quad , \quad m_{\xi} = \frac{M_{\xi} b^{3}}{6J_{f}} \quad .$$

Il momento torcente dovoto alle tensioni tangenziali Txs, colcolato con polo di riduzione il contro O della semicionferenza, vale, tenende conto della emisimmetria del problema:

$$M_{t}' = 2 \int_{0}^{\pi/2} f R(Rdx) + 2 \int_{0}^{\pi/2} m_{t} (Rdx)$$

$$= 2 f R^{2} \frac{\pi}{2} + 2 m_{t} R \frac{\pi}{2}$$

$$= \frac{M_{t} b^{3} R \pi}{6 J_{t}} + \frac{M_{t} b^{3} R \pi}{6 J_{t}} = M_{t}.$$

La tensione tangenziale tox genera quinchi tutto il momento torcente (metà attaverso f e metà attaverso m<sub>t</sub>). L'equilibrio alla traslazione crizzontale determina poi le forze P crizzontali generate dalle tensioni tangenziali T<sub>xx</sub> nelle due zone di estremità:

$$\int_{0}^{\pi/2} f G_{SX} R dx = P .$$

Si officue:

$$P = f R = \frac{M_b b^3}{6J_t} = \frac{M_b}{2\pi R} .$$

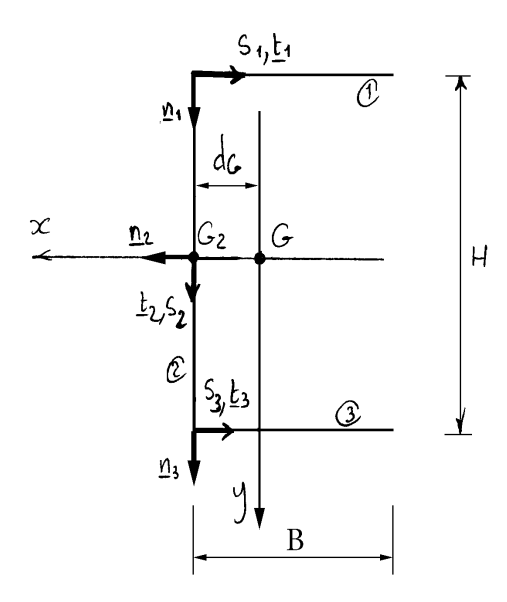
#### La sezione a C

Funzione di ingobbamento.

Sulla lives media dove 
$$\underline{T}=0$$
:

 $\operatorname{grad} \omega = -\underline{R}_{\frac{\pi}{2}}(P-G) = \underline{R}_{\frac{\pi}{2}}^{T}(P-G),$ 

deve 
$$\underline{R}_{\frac{\pi}{2}} \equiv \text{Robatione di } 90^{\circ}$$
 in senso antiorario  $\left(\underline{R}_{\frac{\pi}{2}}^{\mathsf{T}} = -\underline{R}_{\frac{\pi}{2}}\right)$ .



1) tatto (1:

$$\frac{\partial \omega}{\partial S_{1}} = \operatorname{grad}\omega \cdot \underline{t}_{1} = -\underline{R}_{\frac{\pi}{2}}(P-G) \cdot \underline{t}_{1}$$

$$= -(P-G) \cdot (\underline{R}_{\frac{\pi}{2}}^{\mathsf{T}}\underline{t}_{1}) = -(P-G) \cdot \underline{n}_{1} = \underline{H}_{2}.$$

2) hathor 2: 
$$\frac{\partial \omega_2}{\partial S_2} = -(P-G) \cdot \underline{n}_2 = -d_G$$

3) take 3: 
$$\frac{\partial \omega_3}{\partial S_3} = -(P-G) \cdot \underline{n}_3 = -\frac{H}{2}$$

Integrando, si ottiene quindi:

$$\begin{cases} \omega_{1} = \frac{H}{2} s_{1} + C_{1} = \frac{H}{2} \left( s_{1} + d_{G} \right) \\ \omega_{2} = -d_{G} s_{2} + C_{2} \\ \omega_{3} = -\frac{H}{2} s_{3} + c_{3} = -\frac{H}{2} \left( s_{3} + d_{G} \right) \end{cases}$$

Poiché la sezione è simmetrica, la funzione di ingobbamento  $\omega$  è emisimmetrica a meno di un moto rigido globale di traslazione nella direzione dell'asse della trave. Imponendo l'emisimmetria, deve risultare:

$$\omega_2(0) = 0$$
  $\Rightarrow$   $c_2 = 0,$   
 $\omega_3(s) = -\omega_1(s)$   $\Rightarrow$   $c_3 = -c_1.$ 

Imponendo infine la condizione di continuità in uno dei due spigoli della sezione si ottiene poi:

$$\omega_1(0) = \omega_2(-\frac{H}{2}) \quad \Rightarrow \quad c_1 = \frac{H}{2}d_G.$$

Centro di taglio.

Si ricordi che risulta:

$$x_c = -\frac{1}{J_2} \int_A \omega y dA$$

Trascurando la variabilità di ce vallo spessore e tenendo conto che:

$$y = \begin{cases} -\frac{H}{2} & \text{tratho } @ \\ \frac{H}{2} & \text{tratho } @ \\ \frac{H}{2} & \text{tratho } @ \end{cases}$$

risulta:

$$x_{c} = -\frac{1}{J_{x}} \left\{ -\int_{0}^{B} \frac{H}{2} (s_{1} + d_{G}) \frac{H}{2} s_{1} ds_{1} - \int_{0}^{H} \frac{H}{2} (s_{2} + d_{G}) \frac{H}{2} s_{1} ds_{2} - \int_{0}^{B} \frac{H}{2} (s_{3} + d_{G}) \frac{H}{2} s_{1} ds_{3} \right\}$$

$$= \frac{1}{J_{x}} \left\{ \left( \frac{\delta_{1}B^{2}H^{2}}{8} + \frac{d_{G}\delta_{1}BH^{2}}{4} \right) + \frac{d_{G}\delta_{1}BH^{2}}{12} + \left( \frac{\delta_{1}B^{2}H^{2}}{8} + \frac{d_{G}\delta_{1}BH^{2}}{4} \right) \right\}$$

$$= \frac{1}{J_{x}} \left\{ \frac{\delta_{1}B^{2}H^{2}}{4} + d_{G}\left( \frac{\delta_{2}H^{3}}{12} + \frac{\delta_{1}BH^{2}}{2} \right) \right\}.$$

Ricordando che:

$$J_{x} = \frac{\delta_{2}H^{3}}{12} + \frac{\delta_{1}BH^{2}}{2},$$

si ottiene infine:

$$x_c = \frac{1}{J_x} \frac{\delta_1 B^2 H^2}{4} + \delta_c.$$

La distanza  $\mathbf{d}_{\mathcal{C}}$  del centro di taglio dalla linea media dell'anima vale quindi:

$$d_c = \frac{1}{J_x} \frac{S_1 B^2 H^2}{4} .$$

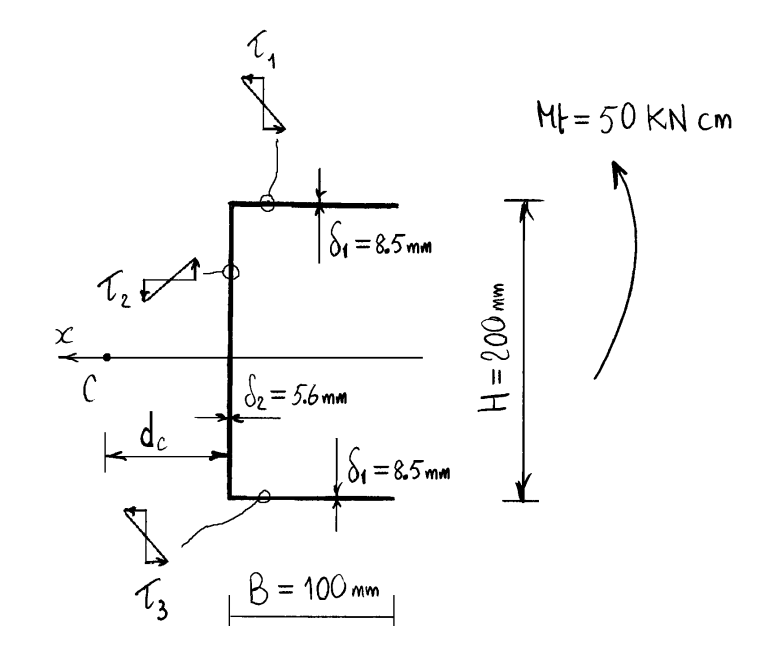
#### Esempio numerico.

Si consideri la sezione a C di figura, soggetta ad un momento torcente antiorario di 50 KN cm. Il fattore torsionale di rigidezza vale:

$$J_{t} = \frac{2}{3} \delta_{1}^{3} B + \frac{1}{3} \delta_{2}^{3} H = 5.265 \times 10^{4} \text{ mm}^{4}.$$

Il momento di inerzia rispetto all'asse  $\propto vale$ :

$$J_z = 2.073 \times 10^7 \text{ mm}^4$$
.



Lungo le ali la tensione tangenziale vale:

$$\mathcal{L}_{1} = \mathcal{L}_{3} = \frac{M_{t}}{J_{t}} \delta_{1} =$$

$$= \frac{5 \times 10^{5} \,\text{Nmm}}{5.265 \times 10^{4} \,\text{mm}^{4}} \times 8.5 \,\text{mm} = 80.72 \,\text{N/mm}^{2},$$

mentre lungo l'auima risulta:

$$\mathcal{L}_{2} = \frac{M_{t}}{J_{t}} S_{2} = \frac{5 \times 10^{5} \,\text{N}_{mm}}{5.265 \times 10^{4} \,\text{mm}^{4}} \times 5.6 \,\text{mm} = 53.18 \,\text{N/mm}^{2}.$$

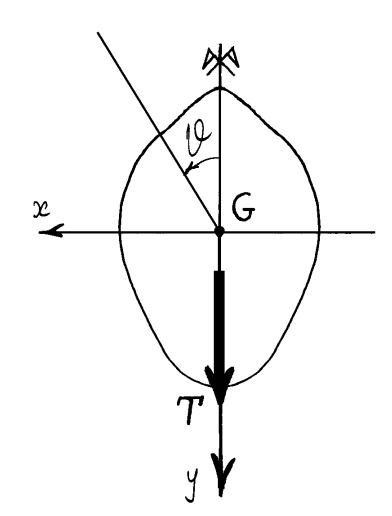
La posizione del centro di taglio risulta infine:

$$d_{\rm C} = 41.00$$
 mm.

# 6.4 Taglio

#### 6.4.1 Centro di taglio

Si ricordi che il centro di taglio della sezione retta è il punto che disaccoppia l'effetto del taglio e del momento torcente. Se il taglio passa per il centro di taglio allora l'angolo unitario di torsione è nullo e l'unica deformazione è uno scorrimento. Dualmente la rotazione torsionale dovuta al solo momento torcente deve avere polo coincidente col centro di taglio per far si che sia nullo lo scorrimento tra la fibra longitudinale passante per il centro di taglio e la sezione retta. Un taglio passante per il centro di taglio non compie quindi lavoro per effetto della rotazione torsionale dovuta a un momento torcente e viceversa un momento torcente non compie lavoro per effetto dello scorrimento dovuto ad un taglio passante per il centro di taglio. Inoltre si ricordi che un asse di simmetria contiene il centro di taglio, poiché un taglio avente retta d'azione l'asse di simmetria è simmetrico mentre una rotazione torsionale è emisimmetrica e quindi tale taglio non può provocare una rotazione torsionale.



#### 6.4.2 Formula di Jourawski

#### Formula di Jourawski binomia

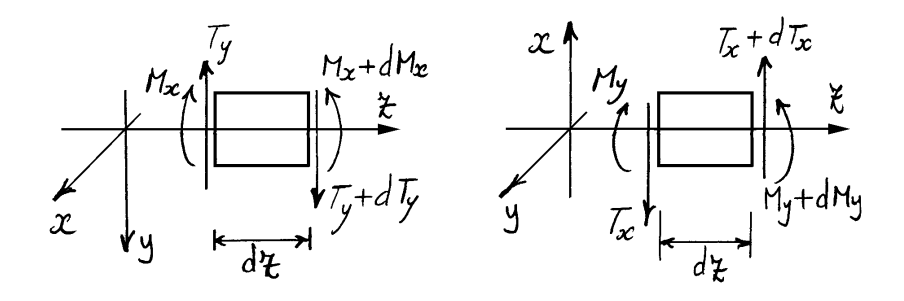
Derivando la formula trinomia della forza normale eccentrica sotto le ipotesi del cilindro di Saint-Venant, cioè di una trave ad asse rettilineo a sezione costante e caricata solo alle estremità, si ottiene:

$$\frac{\partial \sigma_{\mathbf{z}}}{\partial \mathbf{z}} = E \frac{d M_{\mathbf{z}}}{d \mathbf{z}} \frac{\mathbf{y}}{\mathbf{J}_{\mathbf{z}}} - E \frac{d M_{\mathbf{y}}}{d \mathbf{z}} \frac{\mathbf{z}}{\mathbf{J}_{\mathbf{y}}} , \qquad (1)$$

poichè la forza normale, nel caso di trave caricata solo alle estremità, è costante.

Le equazioni indefinite di equilibrio alla rotazione attorno agli assi x e y si scrivono:

$$\frac{dM_x}{dx} = T_y \quad , \qquad \frac{dM_y}{dx} = -T_x \quad . \tag{2}$$



Si noti che anche  $T_x$  e  $T_y$  sono costanti e che quindi è costante anche il taglio complessivo T di cui  $T_x$  e  $T_y$  sono componenti.

La (1), con le (2), diviene:

$$\frac{\partial G_{\xi}}{\partial \xi} = E \frac{T_{y}}{J_{x}} y + E \frac{T_{z}}{J_{y}} x . \tag{3}$$

Capitolo 6 • Distribuzione della tensione tangenziale

Sostituendo la (3) nella (7) del Capitolo 1, a pagina 4, si offiene infine la formula di Jouraws Ki binomia:

$$\overline{\tau}_{r_{z}} = \frac{T_{y} S_{x}^{*}}{b J_{x}} + \frac{T_{x} S_{y}^{*}}{b J_{y}}, \qquad (4)$$

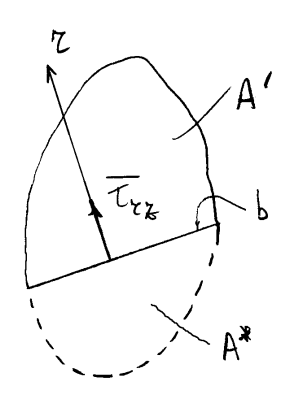
dove :

$$S_{x}^{*} = \int_{A^{*}}^{E} y dA, \quad S_{y}^{*} = \int_{A^{*}}^{E} x dA, \quad (5)$$

appresentano i momenti statici rispetto agli assi x e y rispettivamente della porzione  $A^*$  della serione retta. Si noti che gli assi x e y sono baricentrici per l'intera serione retta ma non, in generale, per ma sua parzione.

Si noti anche che se Trz e' positiva vvol dire che

il sur verso e' concorde can 7, cioè vuol dire che Trz e' entrante mella porzione A\* della sezione retta. Se invece della porzione A\* della sezione retta si hosse scelta la porzione complementare A'



si sarebbe perventi alla stessa formula, sotto la condizione di orientare 7 questa volta verso l'interno di A', e tenendo conto che ora i momenti statici da considerare sono quelli della porzione A':

$$S'_{x} = \int_{A'} E y dA$$
,  $S'_{y} = \int_{A'} E x dA$ .

Tenendo conto che:

$$S'_{x} + S_{x}^{*} = \int_{A} y dA = 0$$
,  
 $S'_{y} + S'_{y}^{*} = \int_{A} x dA = 0$ ,

si officue:

$$\begin{cases} S_x' = -S_x^* \\ S_y' = -S_y^* \end{cases}$$

Se ne deduce che itilizzando la porzione A\*, oppure la sua complementare A', il risultato, a meno del segno, non cambia. Il cambiamento del segno e giustificato dal fatto che se Trz e entrante in A\* allora e positiva se r e entrante in A\* allora e positiva se r e entrante l'area) mentre e negativa se r e uscente da A\* (come succede se si sceglie la porzione A' delle l'area) mentre e negativa se r e uscente da A\* (come succede se si sceglie la porzione A' complementare di A\*).

La formula di Javraveski non fornisce la

distribuzione puntuale delle tensioni tangenziali lungo la corda. Comunque, in tutti quei casi in cui si puo ritenere che tale <u>distribuzione sulla corda sia simmetrica</u> e lo spessore della corda sia piccolo rispetto alle altre dimensioni della sezione, appare lecito confondere il valore puntuale della trz can quello medio Trz.

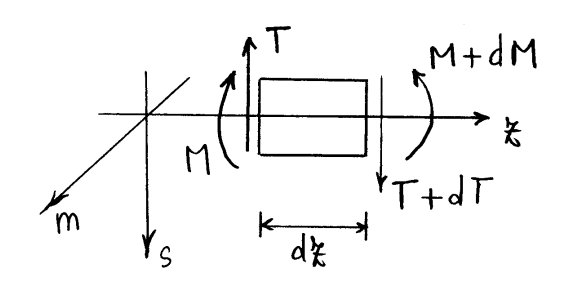
Inoltre, nel caso di travi snelle, le teusioni dovute al taglio sono più piccole di quelle dovute al momento flettente e pertanto la loro conoscenza puntuale non e sempre indispensabile da un punto di vista tecnico.

#### Formula di Jourawski monomia

Le ipotesi sono ancora quelle di trave ad asse rettilineo, a sezione costante e caricata solo alle estremità. Inoltre la trave viene considerata soggetta ad un taglio generico T costante. Se si considera poi l'asse s parallelo al taglio e passante per il baricentro, nel piano sz, per equilibrio, deve agire un momento flettente M, di cui s rappresenta l'asse di sollecitazione, tale che:

$$\frac{\mathrm{d}M}{\mathrm{d}z} = T. \tag{6.18}$$

L'asse *n* coniugato di *s* rappresenta l'*asse neutro della flessione associata al taglio T*, flessione dovuta al momento flettente *M* che agisce nel piano *sz*.

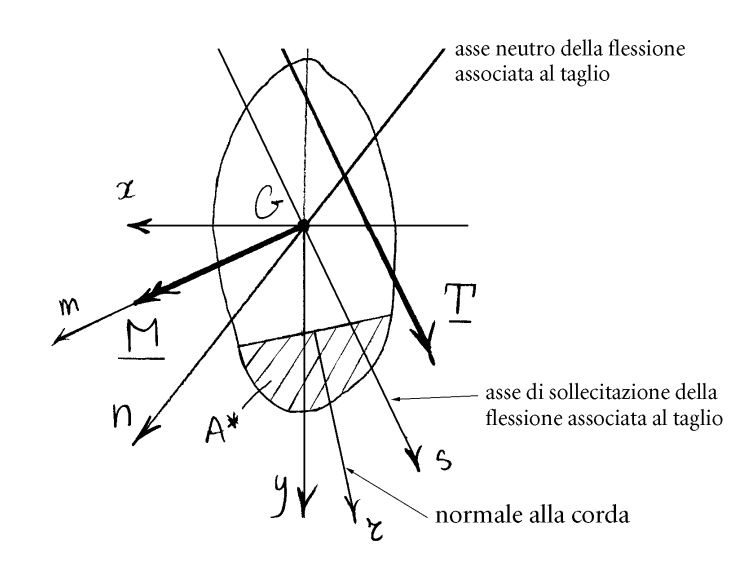


Questa è l'unica caratteristica della sollecitazione che varia con z e fornisce quindi tutta la variazione della  $\sigma_z$  con z. Poiché la tensione normale dovuta al momento flettente M vale:

$$\sigma_Z = E \frac{M}{J_n} s,\tag{6.19}$$

si ottiene infine:

$$\frac{\partial \sigma_z}{\partial z} = E \frac{\mathrm{d}M}{\mathrm{d}z} \frac{s}{J_n} = E \frac{T}{J_n} s. \tag{6.20}$$



Inserendo la (6.20) nella (6.4), alla pagina 200, si ottiene infine la formula di Jourawski monomia:

$$\overline{\tau}_{rz} = \frac{TS_n^*}{bJ_n},\tag{6.21}$$

dove:

$$S_n^* = \int_{A^*} Es \, \mathrm{d}A,\tag{6.22}$$

è il momento statico, della parte  $A^*$  dell'area individuata dalla corda, rispetto all'asse neutro n della flessione associata al taglio, valutato con distanze in direzione dell'asse di sollecitazione s.

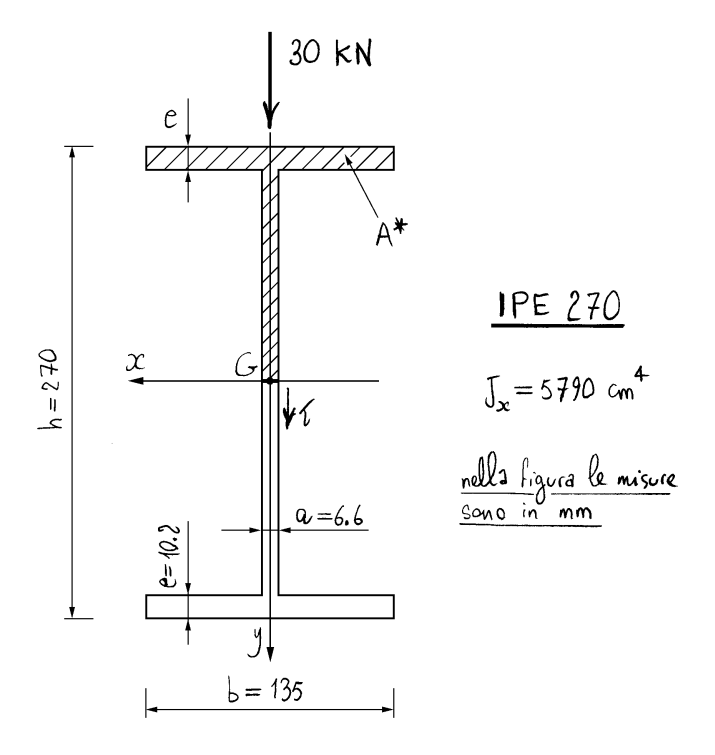
#### Sezione a doppio T

Data una sezione IPE270 soggetta ad un taglio di 30 kN si vuole calcolare la tensione tangenziale media lungo la corda baricentrica. Con riferimento la figura, il taglio T agisce secondo l'asse di simmetria y, che quindi coincide con l'asse di sollecitazione, mentre l'asse x coincide con l'asse neutro. Occorre quindi valutare il momento statico di mezza sezione rispetto all'asse x:

$$S_{x}^{*} = -\left\{b e\left(\frac{h}{2} - \frac{e}{2}\right) + o\left(\frac{h}{2} - \frac{e}{2}\right) \frac{1}{2}\left(\frac{h}{2} - \frac{e}{2}\right)\right\}$$
$$= -\left\{13.5 \times 1.02 \times 12.99 + 0.66 \times \frac{(12.99)^{2}}{2}\right\} = -235 \text{ cm}^{3}.$$

La tensione tangenziale media lungo la corda baricentrica vale quindi:

$$\begin{aligned}
& ( = \frac{\frac{F}{2} S_x^*}{0 J_x} = \\
& = -\frac{3 \times 10^4 \text{ N} \times 235 \times 10^3 \text{ mm}^3}{6.6 \text{ mm} \times 5.790 \times 10^7 \text{ mm}^4} = -18.45 \text{ N/mm}^2
\end{aligned}$$



Il segno negativo significa che la tensione tangen = ziale e uscente dall'area A\* prescelta.

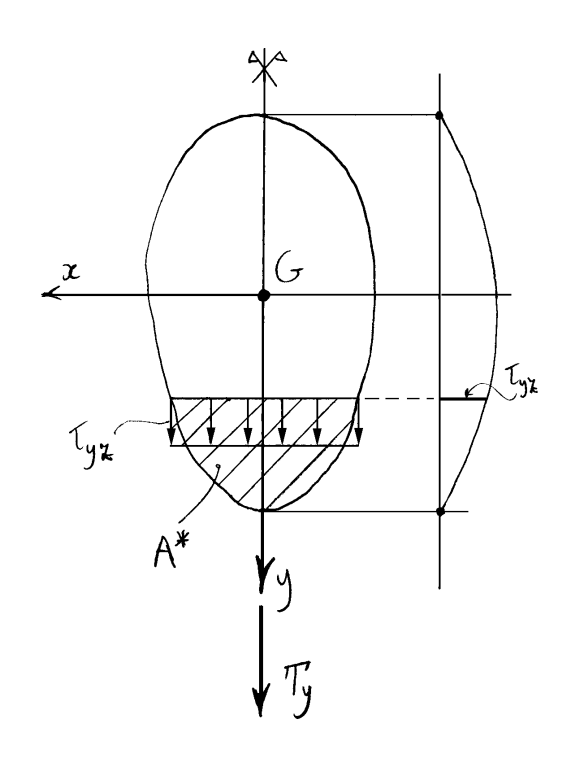
Poichè la sezione è simmetrica rispetto all'asse y la tensione tangenziale può ritenersi costante lungo la corda e la tensione tagenziale media rappresenta dunque la tensione puntuale.

In corrispondenza della corda baricentrica la tensione normale è nulla. Lungo tale corda si ottiene quindi la seguente tensione ideale:

$$G_i = \sqrt{3} \tau = 31.96 \text{ N/mm}^2$$

# 6.4.3 Il taglio nelle sezioni compatte simmetriche

Si consideri una sezione compatta, simmetrica rispetto all'asse y e soggetta ad un taglio Ty avente y quale retta d'azione (dunque passante per il centro di taglio). Per la simmetria del problema, la distribuzione delle ten= sioni tangenziali Tyz, sulla generica corda ortogonale al=



l'asse y di simuetria, deve essere simmetrica. Utilizzando la formula di Jouranski e confondendo il valore puntuale con quello medio si ottiene:

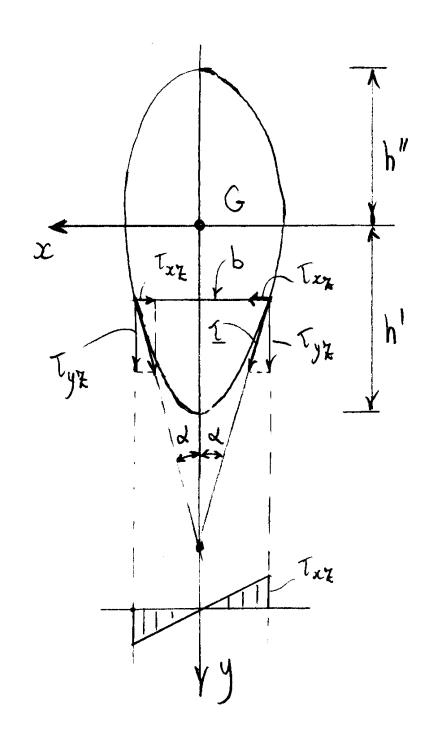
$$\int_{y^*} = \frac{7y S_x^*}{b J_x} ,$$

dove al solito  $S_x^*$  rappresenta il momento statico di una delle due aree in cui la sezione viene divisa dalla corda.

Si consideri ora che in generale la componente Tyz non è tangente al contorno. E dunque necessaria una componente Txx che renda la tensione tangenziale totale tangente al contorno.

Se d e l'inclinazione della tangente al contorno rispetto all'asse y, deve risultare:

$$\begin{cases} \tau_{xx} = \tau_{yx} \text{ tg d} & x = -\frac{b}{2} \\ \tau_{xx} = -\tau_{yx} \text{ tg d} & x = +\frac{b}{2} \end{cases}.$$



Ipotizzando una variazione lineare di Txx lungo la corda deve risultare:

$$\mathcal{L}_{xx} = C x$$
.

Poidre :

$$T_{xx}(-\frac{b}{2}) = -c\frac{b}{2} = T_{yx} \log d$$

si ha infine:

$$\tau_{xx} = -\frac{2x}{b} \tau_{yx} tg d$$
.

Energia complementare per units' di linea:

$$\Psi = \chi_y \frac{T_y^2}{2GA} = \int_A \frac{\tau_{xx}^2 + \tau_{yx}^2}{2G} dA.$$

Ne consegue:

$$\chi_{y} \frac{T_{y}^{2}}{2GA} = \int_{A} \frac{\zeta_{yx}^{2}}{2G} \left( 1 + \frac{4x^{2}}{b^{2}} + \zeta_{yx}^{2} \right) dA$$

$$= \int_{A} \frac{T_{y}^{2} S_{x}^{*2}}{2G b^{2} J_{x}^{2}} \left( 1 + \frac{4x^{2}}{b^{2}} + \zeta_{yx}^{2} \right) dA$$

$$= \frac{T_{y}^{2}}{2GA} \frac{A}{J_{x}^{2}} \int_{A} \frac{S_{x}^{*2}}{b^{2}} \left( 1 + \frac{4x^{2}}{b^{2}} + \zeta_{yx}^{2} \right) dA .$$

Il fattore di taglio relativo all'asse y di simmetria vale quindi:

$$\chi_{y} = \frac{A}{J_{x}^{2}} \int_{A}^{A} \frac{S_{x}^{*2}}{b^{2}} \left(1 + \frac{4x^{2}}{b^{2}} \lg^{2} \lambda\right) dA =$$

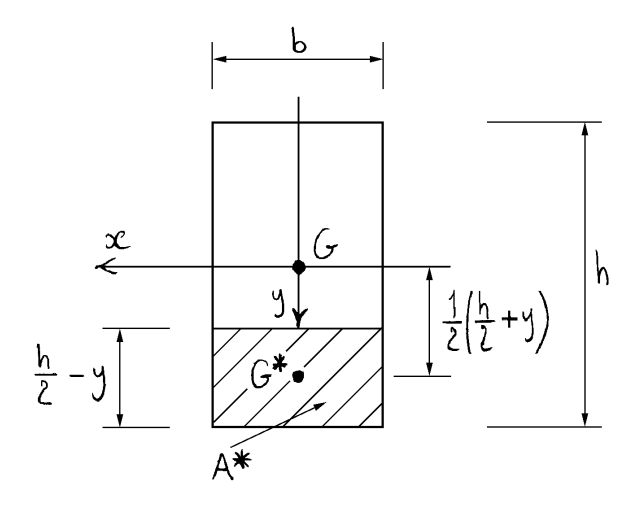
$$= \frac{A}{J_{x}^{2}} \int_{-h''}^{h'} \frac{S_{x}^{*2}}{b^{2}} dy \int_{-\frac{b}{2}}^{\frac{b}{2}} \left(1 + \frac{4x^{2}}{b^{2}} \lg^{2} \lambda\right) dx =$$

$$=\frac{A}{J_x^2}\int_{-K''}^{h'}\frac{S_x^{*2}}{b}\left(1+\frac{1}{3}t_y^2\lambda\right)dy$$

# 6.4.4 Sezione rettangolare

Nel caso della sezione rettangolare il momeuto sta= tico dell'area A\* individuata dalla corda di coordinata y vale:

$$S_{x}^{*} = b\left(\frac{h}{2}-y\right)\frac{1}{2}\left(\frac{h}{2}+y\right) = \frac{b}{2}\left(\frac{h^{2}}{4}-y^{2}\right).$$

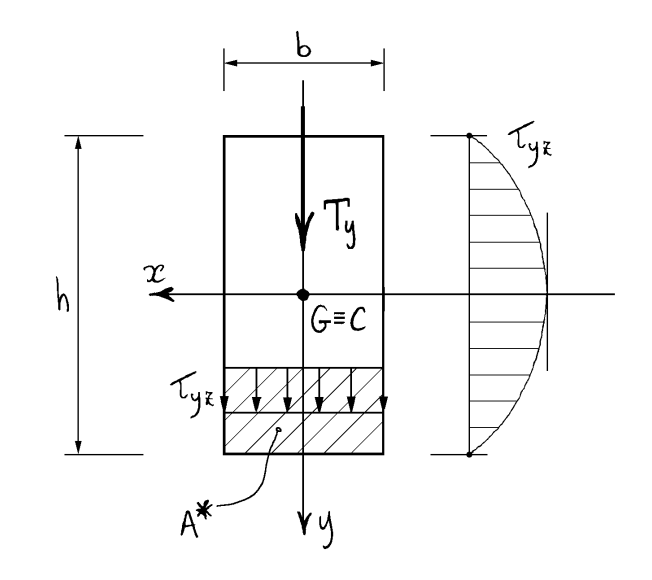


Poiche:

$$\int_{x} = \frac{bh^3}{12} ,$$

ne risulta infine:

Se si riportano i valori della Tyx a partire da una retta parallela alla retta y nella direzione ortogonale a y si ottiene quindi un diagramma parabolico il cui asse coincide con l'asse x.



Si noti che la  $T_{yz}$  e' fangente al contorno e come tale soddisfa le condizioni al contorno. La componente  $T_{xz}$  e' dunque, in via approssimata, nulla ovunque.

La componente Tyx rappresenta quindi totta la tensione tangenziale. La massima tensione tangenziale la si ha pertanto in corrispondenza della corda baricentrica dove y=0:

$$T_{max} = \frac{3}{2} \frac{T_g}{bh} .$$

Per quel che riguarda i fattori di taglio:

$$\chi_{y} = \frac{A}{J_{x}^{2}} \int_{-\frac{h}{2}}^{\frac{h}{2}} \frac{5_{x}^{*2}}{b} dy = (12)^{2} \frac{1}{b^{2}h^{5}} \int_{-\frac{h}{2}}^{\frac{h}{2}} \frac{b^{2}}{4} \left(\frac{h^{2}}{4} - y^{2}\right)^{2} dy$$

$$= \frac{36}{h^{5}} \int_{-\frac{h}{2}}^{\frac{h}{2}} \left(\frac{h^{4}}{16} - \frac{h^{2}}{2}y^{2} + y^{4}\right) dy$$

$$= \frac{36}{h^{5}} \left[ \frac{h^{4}y}{16} - \frac{h^{2}y^{3}}{6} + \frac{y^{5}}{5} \right]_{-\frac{h}{2}}^{+\frac{h}{2}}$$

$$= 36 \left( \frac{1}{16} - \frac{1}{24} + \frac{1}{80} \right) = \frac{36}{240} \left(15 - 10 + 3\right).$$

In definitiva:

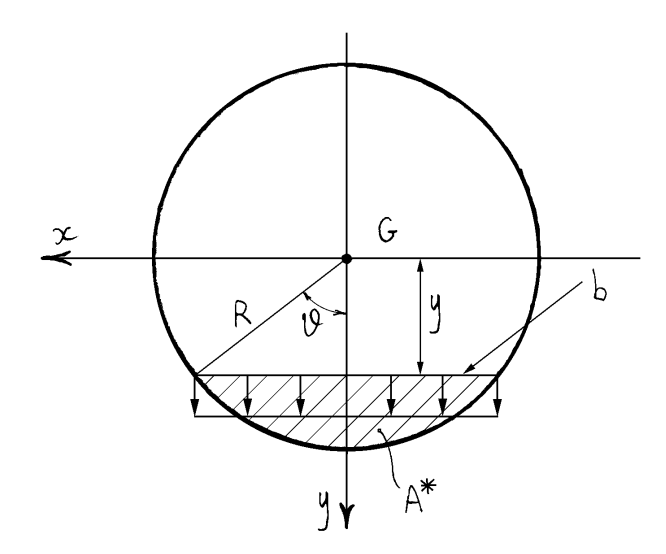
$$\chi_{y} = \frac{6}{5}$$
.

Procedudo allo stesso modo si ricaverebbe anche  $\chi_{x} = \frac{6}{5}$ , perc' occore tenere presente due la soluzione trovata per  $\chi_{y}$  e sufficientemente buona se b < h, e quindi se  $\chi_{y} = \frac{6}{5}$  e' ma soluzione sufficientemente buona, allo a  $\chi_{x} = \frac{6}{5}$  non e' sufficientemente buona.

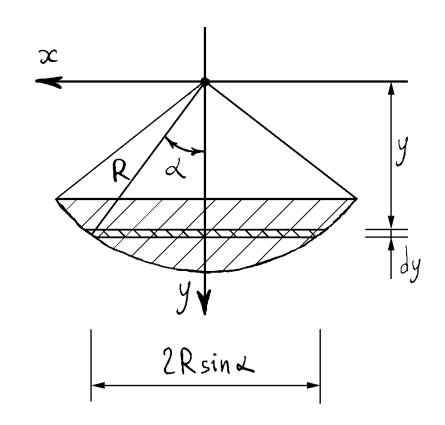
## 6.4.5 Sezione circolare

Si consideri ora una sezione circolare di raggio R. La corda generica e individuata dalla coordinata y. Detto U l'angolo tra l'asse y e il raggio congiungente una delle due estremita della corda risulta:

$$y = R \cos \nu$$
.



Per valutare il momento statico relativo all'asse x dell'a=
rea A\* individuata dalla corda, si consideri l'elemento
d'area generico individuato dall'angolo X, di lunghezza



ERsina e di alterra dy. Poiche:

$$y = R \cos \lambda$$
,

(isulta:

$$dy = -R \sin \alpha d\alpha$$
.

Si ha quindi:

$$S_{x}^{*} = \int_{0}^{0} (2 \operatorname{R} \sin x \, dy) y = -\int_{0}^{0} 2 \operatorname{R}^{3} \sin^{2} x \cos x \, dx =$$

$$= 2 \operatorname{R}^{3} \int_{0}^{0} \sin^{2} x \cos x \, dx = \frac{2}{3} \operatorname{R}^{3} \sin^{3} \theta . \quad (1)$$

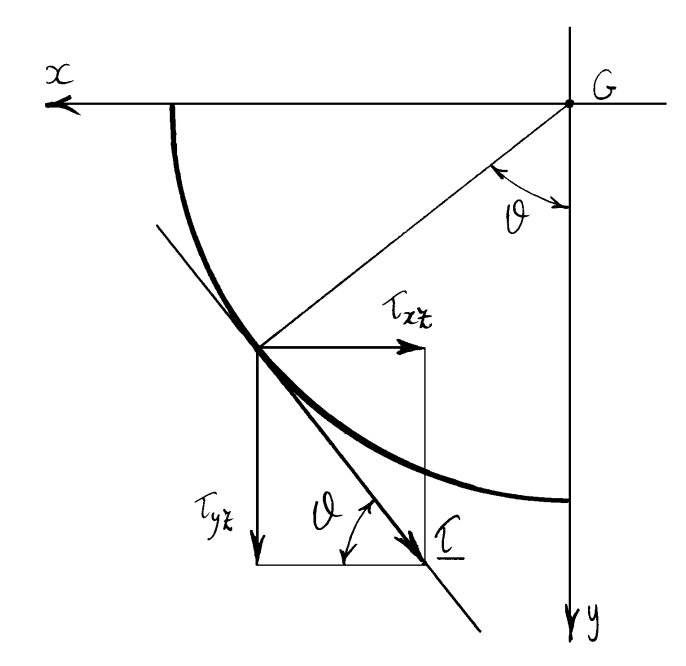
Territo conto che:

$$J_x = \frac{\pi}{4} R^4, \qquad b = 2R \sin \theta ,$$

si ha infine:

$$I_{xy} = \frac{4}{3} \frac{T_y}{\pi R^2} \sin^2 \theta .$$

Si consideri ora che in generale la componente  $t_{yz}$  non è tangente al contorno. E dunque necessaria una componente  $t_{xx}$  che renda la tensione tangenziale totale tangente al contorno.



Risulta quindi:

$$\int \zeta_{x\xi} = -\frac{\zeta_{y\xi}}{t dn \mathcal{Q}} = -\frac{4}{3} \frac{T_y}{\pi R^2} \sin \theta \cos \theta,$$

$$\left| \underline{\zeta} \right| = \frac{|\zeta_{y\xi}|}{\sin \theta} = \frac{4}{3} \frac{T_y}{\pi R^2} \sin \theta,$$
(2)

all'estremità della orda di coordinata  $x = R \sin U$ . Nell'altra estremità la  $\tau_{xx}$  ha lo stesso modulo e segno opposto. Avendo ipotizzato una variazione lineare di  $\tau_{xx}$  lungo la corda si ha:

$$\tau_{xx} = -\frac{4}{3} \frac{T_y}{\pi R^3} \times Gs \mathcal{V}$$

Il valore massimo in modulo della tensione tangenziale lungo la corda lo si ha alle due estremità.

La tensione tangenziale massima sulla sezione la si ha dunque nei punti intersezione del contorno con l'asse x, individuati dall'angolo  $v = \pi/2$ :

$$\mathcal{L}_{\text{max}} = \frac{4}{3} \frac{T_y}{\pi R^2} .$$

Si vuole ora verificare la formula (2) che fornisce il modulo  $|\tau|$  della tensione tangenziale totale nel punto P del contorno individuato dall'angolo  $\vartheta$ . A tal fine si consideri quale corda il diametro per P, ortogonale a  $\tau$ . Per valutare  $\tau$  è dunque sufficiente calcolare il momento statico dell'area  $A^*$  individuata da tale diametro. Tale area può essere divisa nelle tre parti indicate in figura. Della prima parte il momento statico è già stato calcolato ed è fornito dalla (1):

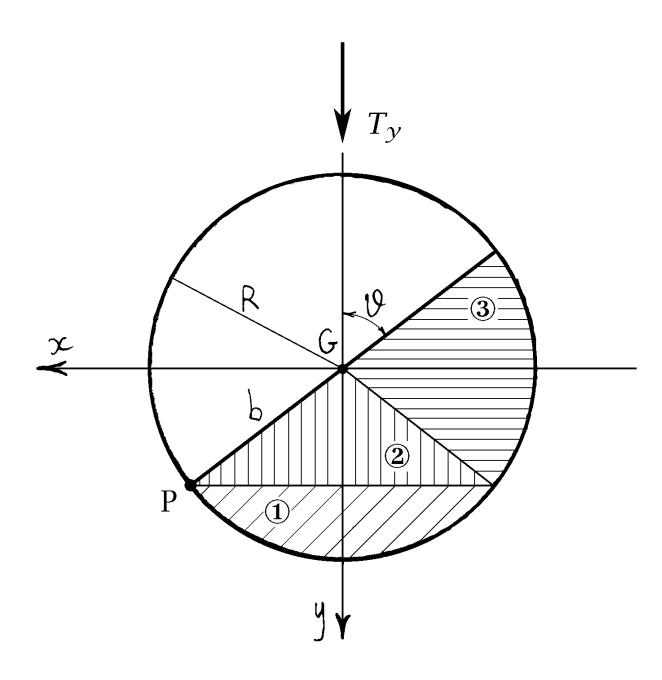
$$S_x^{1*} = \frac{2}{3}R^3 \sin^3 \theta. {(6.23)}$$

La seconda parte è un triangolo isoscele con vertice nel baricentro, di base  $2R\sin\theta$  e di altezza  $R\cos\theta$  per cui risulta, applicando il teorema di Varignon:

$$S_{\chi}^{2*} = \left(\frac{1}{2}(2R\sin\theta)(R\cos\theta)\right)\left(\frac{2}{3}R\cos\theta\right) = \frac{2}{3}R^{3}\sin\theta\cos^{2}\theta.$$
 (6.24)

Infine il contributo della terza parte è nullo, essendo tale parte simmetrica rispetto all'asse x. Si ha quindi:

$$S_x^* = S_x^{1*} + S_x^{2*} = \frac{2}{3}R^3\sin\theta,$$
 (6.25)



e ne risulta infine, per la formula di Jourawski:

$$|\mathbf{\tau}| = \frac{T_{\mathcal{Y}} S_{\mathcal{X}}^*}{(2R)J_{\mathcal{X}}} = \frac{4}{3} \frac{T_{\mathcal{Y}}}{\pi R^2} \sin \theta,$$
 (6.26)

in accordo con la (2).

$$\chi_{y} = \frac{\pi R^{2}}{\frac{\pi^{2} R^{8}}{16}} \int_{0}^{\pi} \frac{\frac{4}{9} R^{6} Sin^{6} U}{2 R Sin U} \left(1 + \frac{1}{3 \log^{2} U}\right) R Sin U dU$$

$$= \frac{16}{\pi R^6} \frac{2R^6}{9} \int_0^{\pi} \sin^6 \theta \left(1 + \frac{1}{3 \log \theta}\right) d\theta$$

Si officue:

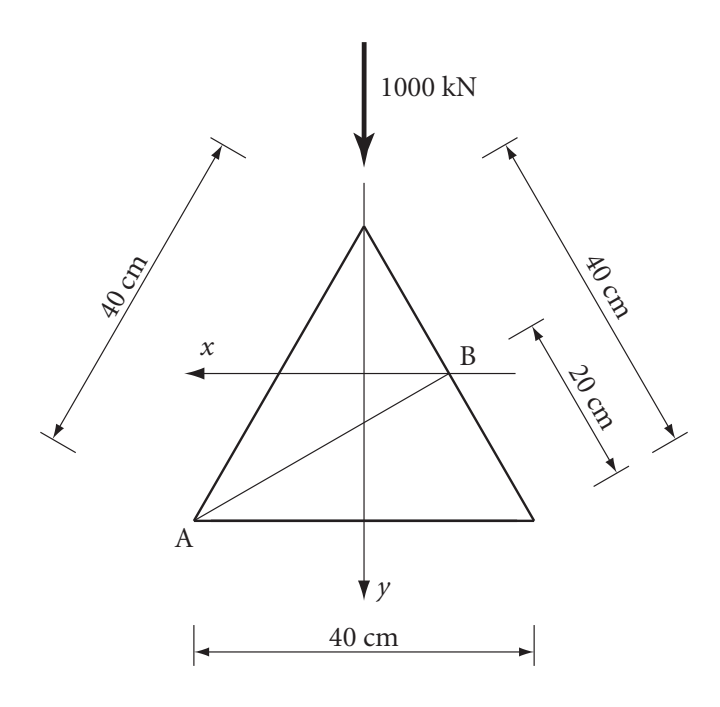
$$\chi_{y} = \frac{32}{27} \qquad .$$

## 6.4.6 Sezione triangolare equilatera

Data la sezione triangolare equilatera di figura soggetta ad un taglio agente lungo una mediana:

- 1. disegnare gli assi di sollecitazione e neutro della flessione associata al taglio;
- 2. calcolare la tensione tangenziale nel punto B;
- 3. calcolare la tensione tangenziale media relativa alla corda AB;
- 4. dire di quale angolo, in gradi sessagesimali, è inclinata rispetto all'asse x la direzione della componente della tensione tangenziale della quale è richiesta la media nel punto precedente.

Nel seguito si indicheranno con *B* e *H* rispettivamente base e altezza del



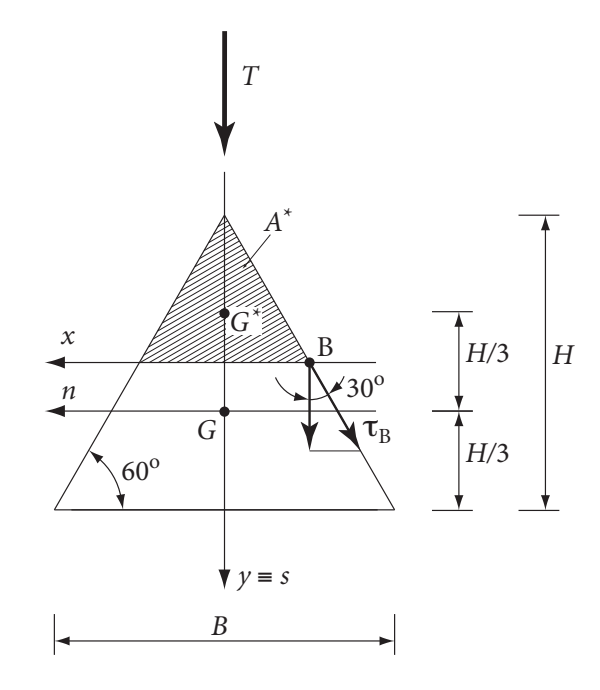
triangolo equilatero:

$$B = 40 \text{ cm}$$
,  $H = B \cos 30^{\circ} = 34.64 \text{ cm}$ ,

e con T il taglio che, con l'orientazione dell'asse y indicata in figura, risulta positivo:

$$T = 1000 \text{ kN}$$
.

- 1. Le mediane del triangolo equilatero sono assi di simmetria retta. Quindi il baricentro G e il centro di taglio C coincidono entrambi con la loro intersezione. Inoltre, esistendo tre assi principali sia di inerzia che di taglio allora tutti gli assi sono sia principali di inerzia che principali di taglio. Essendo baricentrico, l'asse y, retta d'azione del taglio, coincide con l'asse di sollecitazione s della flessione associata al taglio, mentre l'asse neutro n è baricentrico e ortogonale all'asse di sollecitazione.
- **2.** Essendo il taglio T simmetrico rispetto all'asse y ed essendo l'asse x ortogonale a y, lungo la corda individuata da x la componente della



tensione tangenziale ortogonale alla corda stessa viene approssimata dalla sua media. Nel punto B, posto sul contorno, la tensione tangenziale  $\tau_{\rm B}$  deve essere tangente al contorno stesso e deve quindi valere, ricordando la formula di Jourawski:

$$\tau_{\rm B} = \frac{\overline{\tau}_{yz}}{\cos 30^{\circ}} = \frac{TS_n^*}{\frac{B}{2}J_n\cos 30^{\circ}},$$

e tenendo conto che la lunghezza della corda vale  $\frac{B}{2}$ . Avendo prescelto l'area superiore tra le due individuate dalla corda allo scopo di semplificare i calcoli, come indicato in figura, il suo momento statico è negativo e vale:

$$S_n^* = -\frac{1}{2} \left( \frac{B}{2} \frac{H}{2} \right) \left( \frac{H}{3} \right) = -\frac{BH^2}{24} = -2000.00 \text{ cm}^3.$$

Il momento di inerzia  $J_n$  del triangolo equilatero rispetto all'asse neutro si può invece calcolare come il doppio del contributo di uno dei due triangoli

rettangoli in cui la sezione è divisa dall'asse  $\gamma$ :

$$J_n = 2\left(\frac{\frac{B}{2}H^3}{36}\right) = \frac{BH^3}{36} = 46188.0 \text{ cm}^4.$$

Si ha quindi:

$$\tau_B = -\frac{\left(1000 \times 10^3\right) \times \left(2000.00 \times 10^3\right)}{200 \times \left(46188.0 \times 10^4\right) \cos 30^\circ} = -25.00 \text{ N/mm}^2 \ .$$

Il segno negativo della tensione tangenziale è coerente con il fatto che la tensione stessa non può che essere uscente dall'area prescelta.

3. La corda AB non è ortogonale all'asse y di simmetria e la sua lunghezza è più grande di quella della corda individuata dall'asse x. Ne consegue che la media della componente della tensione tangenziale ortogonale alla corda AB fornisce un valore che potrebbe anche essere inaccettabile quale valore puntuale della componente stessa. Ciò non toglie che la formula di Jourawski è comunque in grado di fornire il valore medio  $\overline{\tau}_{rz}$  della componente della tensione tangenziale nella direzione r ortogonale alla corda:

$$\overline{\tau}_{rz} = \frac{TS_n^*}{HJ_n},$$

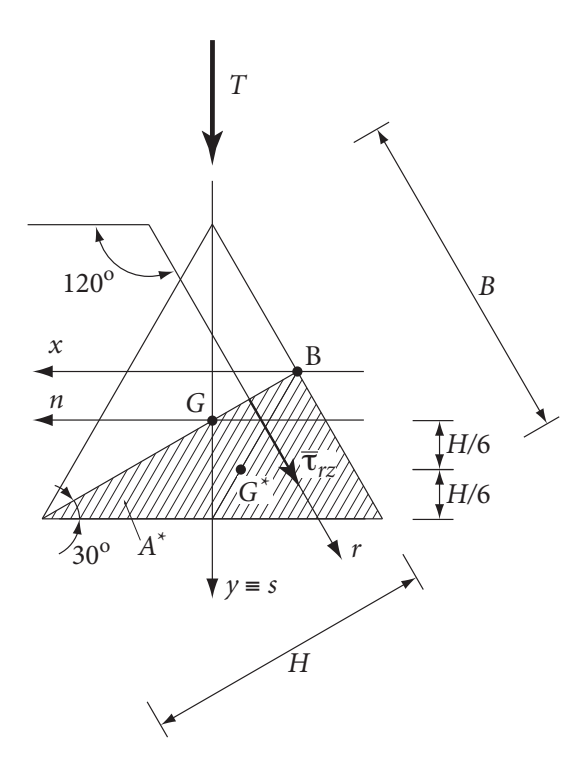
essendo H la lunghezza della corda AB e  $S_n^*$  il momento statico di una delle due aree individuate dalla corda stessa. Poiché per semplificare i calcoli si è prescelta l'area inferiore, come indicato in figura, il momento statico è positivo e vale:

$$S_n^* = \frac{1}{2} \left( \frac{B}{2} H \right) \left( \frac{H}{6} \right) = \frac{BH^2}{24} = 2000.00 \text{ cm}^3,$$

e in modulo uguaglia quello valutato in precedenza e relativo alla corda individuata dall'asse x. Poiché  $\frac{B}{2}\cos 30^{\circ} = \frac{H}{2}$  ne consegue che  $\overline{\tau}_{rz}$  è esattamente la metà della tensione  $\tau_{\rm B}$  valutata in precedenza:

$$\overline{\tau}_{rz} = \frac{\left(1000 \times 10^3\right) \times \left(2000.00 \times 10^3\right)}{346.4 \times \left(46188.0 \times 10^4\right)} = 12.50 \text{ N/mm}^2.$$

Il segno positivo della tensione tangenziale è coerente con il fatto che la tensione stessa non può che essere entrante nell'area prescelta. Si noti che



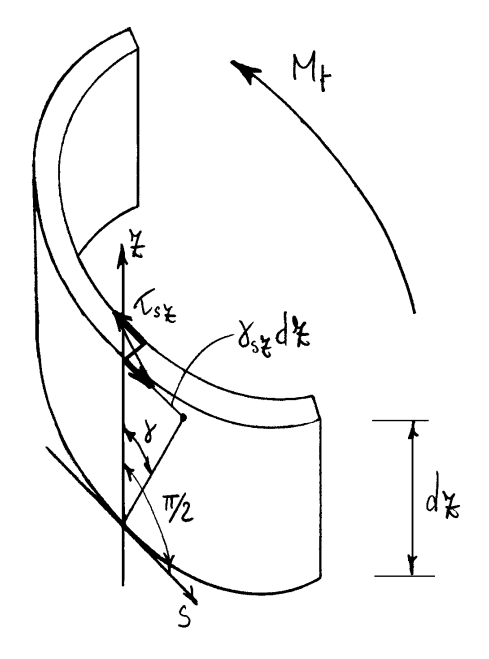
la direzione ortogonale alla corda AB è quella della tensione tangenziale totale in B, per cui se si utilizzasse il valor medio lungo tale corda quale valore puntuale si otterrebbe un valore di  $\tau_B$  pari a 12.50 N/mm², in netto contrasto con il valore di 25.00 N/mm² ottenuto in precedenza.

4. La direzione della componente della tensione tangenziale della quale è richiesta la media nel punto precedente, relativa alla corda AB, è quella ortogonale alla corda AB stessa. Con le convenzioni di figura l'angolo di cui è inclinata rispetto all'asse  $\boldsymbol{x}$  tale direzione vale  $120^{\circ}$ .

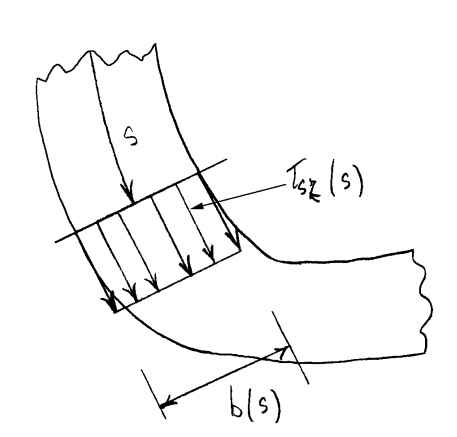
# 6.4.7 Il taglio nelle sezioni sottili aperte

Si faccia riferimento ad uno sforzo di taglio con retta d'azione passante per il centro di taglio C.

Si tenga conto che lo scorrimento associato alla tensione tangenziale Tsz dovuta ad un momento torcente vale  $V_{sz} = T_{sz}/G$ . I punti di una corda, relativamente ad una sezione vicina, subiscono gli spostamenti  $V_{sz} dz$ , che come le tensioni tangenziali, variano linearmente lungo la corda e sono



emisimmetrici rispetto alla linea media. Ne risultà che il lavoro mutuo delle tensioni tangenziali dovite al taglio T per gli scorrimenti Tose donti ad un nomento toronte e millo se le tensioni tangenziali dovite a T sono simmetriche lungo la corda. Inoltre, data la "picolezza" dello spessore risultà accettabile supporre che la tensione tan= genziale sia costante lungo la corda e quindi coincidente con il valore medio che puo' essere dedotto dalla formula di Jourawski, binomia:



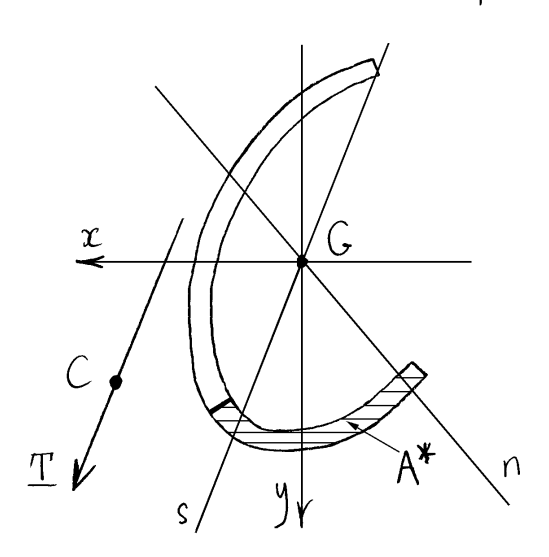
$$T_{sx} = \frac{T_{g} S_{x}^{*}}{b J_{x}} + \frac{T_{x} S_{y}^{*}}{b J_{y}}$$

oppure monomia:

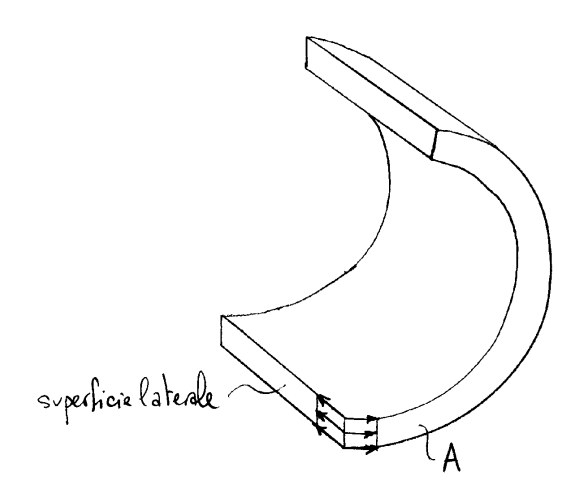
$$\zeta_{sx} = \frac{TS_n^*}{bJ_n}$$

dove al solito  $n \in \mathbb{C}^1$  asse neutro della flessione associata al taglio  $\underline{T}$ .

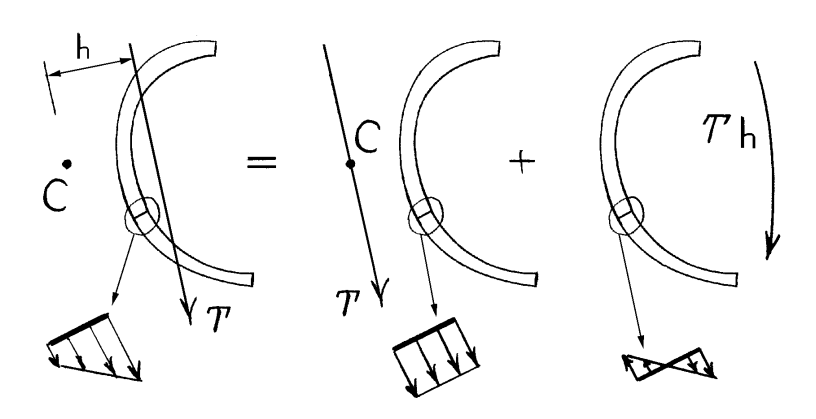
In una estremita libera la tensione tangenziale e nulla poiche l'area A\* o e nulla appure coincide con tuttà la sezione e quindi il momento statico Sn e nullo. Cio e in accordo con il teorenna di reciprocità delle ten=



sioni tangenziali. Infatti se le teusioni tangenziali non fossero nulle in una estremità libera allora per reciprocità dovrebbe essere presente una tensione tangenziale anche sulla superficie laterale della trave, come indicato in figura.



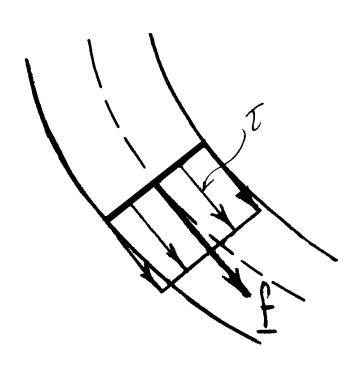
Si ribadisce che la tensione tangenziale puo'ritenersi ostante, e quindi deducibile dalla formula di Jourawski se e solo se il taglio passa per il contro di taglio. In caso contrario la soluzione la si puo'ottenere per sovrapposi=zione delle soluzioni del taglio passante per il centro di taglio e del momento torcente rispetto al centro di taglio.



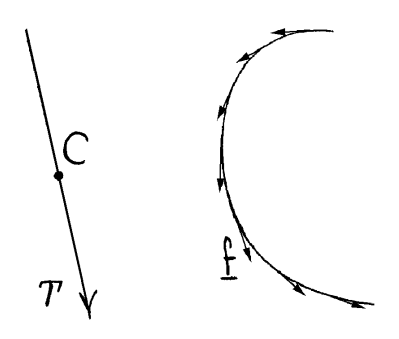
Se il taglio passa per il centro di taglio, la risultante f delle teusioni tangenziali agenti lungo una corda ha retta d'azione sulla linea media e vale:

$$\underline{\hat{f}} = \frac{\mathcal{T} \mathcal{S}_n^*}{J_n} .$$

Le forze per unità di linea  $\underline{f}$  sono note, via formula di Javrawski, indipendentemente dalla conoscenza della po=

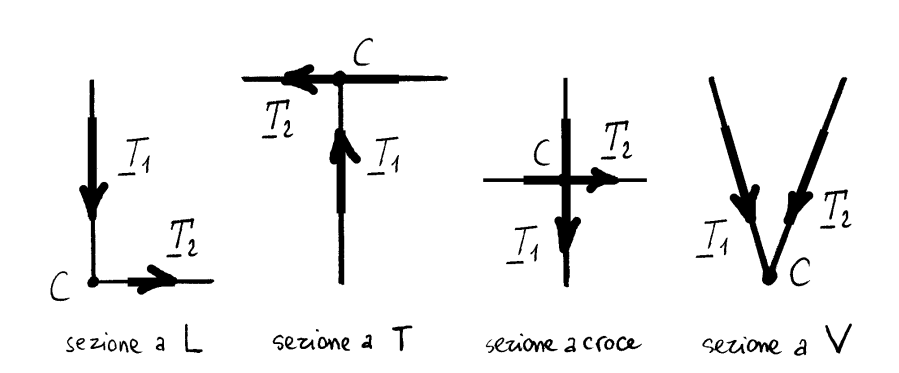


sizione del centro di taglio. Si consideri che la retta d'azio=
ne della risultante del sistema di forze f passa per il
centro di taglio. Ne consegue che determinare tale
retta d'azione equivale a determinare una retta che
contiene il centro di taglio. Per determinare il centro di
taglio è allora sufficiente determinare le rette d'azione
delle risultanti di due distribuzioni di forze f corrispon=
denti a due tagli comunque inclinati tra loro.



In un eventuale tratto rettilineo, la distribuzione di forze f che gli compete ha risultante avente quale retta d'azione la linea media del tratto.

Ne consegue che se una sezione sottile e'composta di due tratti rettilinei, il centro di taglio coincide con l'intersezione



delle linee medie dei due tratti. In fatti, qualunque sia il taglio passaute per il centro di taglio, le due risultanti II e II corrispondenti ai due tratti, che hanno, come detto, rette d'azione coincidenti con le linee medie dei due tratti, si combinano in un'unica forza con retta d'azione.

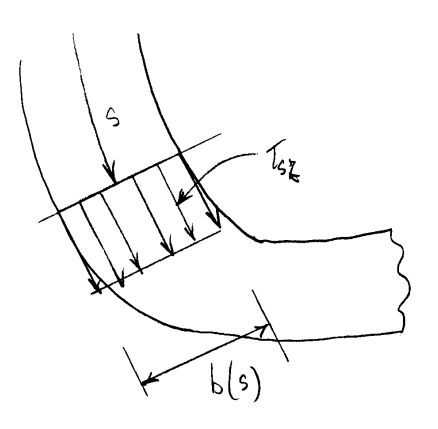
## Fattori di taglio

Si facia riferimento ad uno sforzo di taglio con retta d'azione passante per il centro di taglio.

La tensione tangenziale Tox è approssimativamente costante

lungo la Graa e vale, come detto:

$$T_{sx} = \frac{T_x S_y^*}{b J_y} + \frac{T_y S_x^*}{b J_x}.$$



Energia di deformazione per unità di linea in forma complementare:

$$\psi = \frac{1}{2G} \int_{A} \tau_{sx}^{2} dA =$$

$$= \frac{1}{2G} \int_{A} \tau_{sx}^{2} b ds = \frac{1}{2G} \int_{A} \left( \frac{T_{y} S_{x}^{*}}{b J_{x}} + \frac{T_{x} S_{y}^{*}}{b J_{y}} \right)^{2} b ds$$

$$= \frac{1}{26A} \left\{ \left( \frac{A}{J_{x}^{2}} \int_{\ell} \frac{S_{x}^{*2}}{b} ds \right) T_{y}^{2} + \left( \frac{A}{J_{y}^{2}} \int_{\ell} \frac{S_{y}^{*2}}{b} ds \right) T_{x}^{2} + 2 \left( \frac{A}{J_{x}J_{y}} \int_{\ell} \frac{S_{x}^{*}S_{y}^{*}}{b} ds \right) T_{x}^{2} T_{y} \right\}.$$

# fattori di taglio:

$$\chi_{y} = \frac{A}{J_{x}^{2}} \int_{\ell} \frac{S_{x}^{*2}}{b} ds ,$$

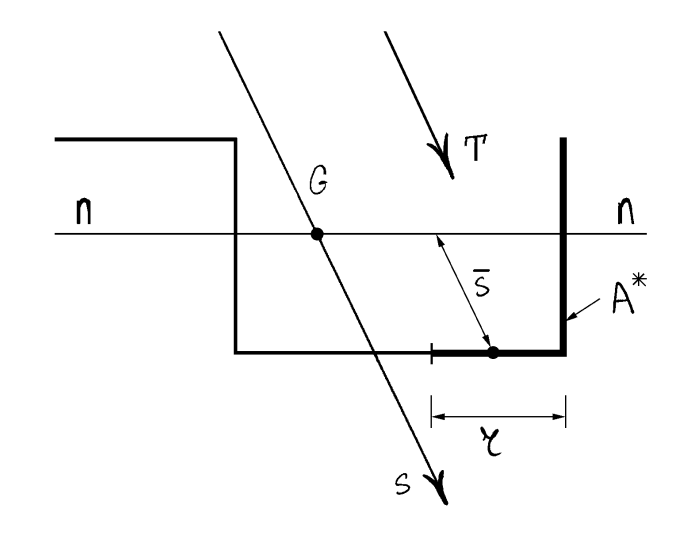
$$\chi_{x} = \frac{A}{J_{y}^{2}} \int_{\ell} \frac{S_{y}^{*2}}{b} ds ,$$

$$\chi_{xy} = \frac{A}{J_{x}J_{y}} \int_{\ell} \frac{S_{x}^{*2}}{b} ds .$$

## Diagramma qualitativo su tratti rettilinei a spessore costante

Si riportino i valori delle tensioni tangenziali perpendicolarmente alla linea media prendendo come riferimento la linea media stessa. Si viene così a disegnare una curva di cui si rvole determinare l'andamento nel caso in cui la sezione sottile e composta di tratti rettilinei a spessore costante. Su tali tratti la variazione della tensione tangenziale, al variare della corda, dipende solo dalla variazione del momento statico Sn dell'area A\* individuata dalla stessa corda.

Si consideri innanzitutto il caso in cui il tratto rettili=
neo e parallelo all'asse neutro della flessione associata al
taglio, asse neutro rispetto al quale vengono valutati i mo=
meuti statici. Si assuma la distanza z da una delle due
estemita del tratto rettilineo per individuare la generica
corda del tratto. L'area A\* individuata dalla corda

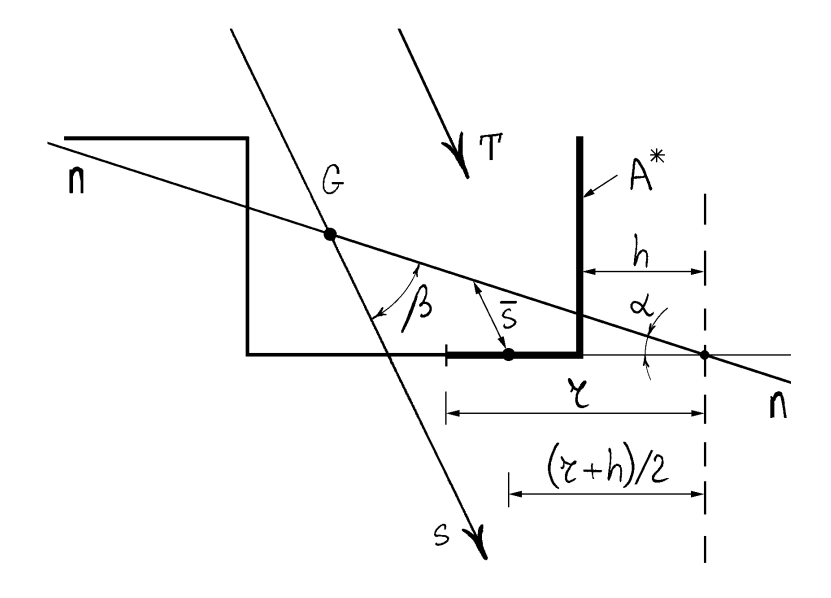


puo' scomporsi in due quote, A(x) e Ā, la prima delle quali, A(x), coincide con la parte lunga x del tratto rettilineo in questione mentre la seconda, Ā, rappresenta la quota re= sidua di A\*. Il momento statico dell'area A\* rispetto all'asse neutro vale dunque:

$$S_n^*(\gamma) = b \gamma \bar{s} + \bar{S}_n$$

dove b e' la spessore del tratto,  $\bar{s}$  e' la distanza del bariceutro dell'area A(r) dall'asse neutro e  $\bar{S}n$  e' il momento statico dell'area  $\bar{A}$ . Poiche la distanza  $\bar{s}$  e' indipendente da r, tale equazione risulta essere lineare in r e ne risulta che il diagramma delle tensioni tangenziali lungo un tratto rettilineo a spessore costante e' lineare.

Si consideri ora un tratto rettilineo non parallelo all'as= se neutro della flessione associata al taglio. In tal caso, per individuare la generica corda del tratto, si assuma la distanza y di questa dall' intersezione della linea me=



dia del tratto con l'asse neutro. Detta h la distanza di tale intersezione dalla prima estremita del tratto, si ottiene:

$$S_n(r) = b(r-h)\overline{s} + \overline{S}_n$$

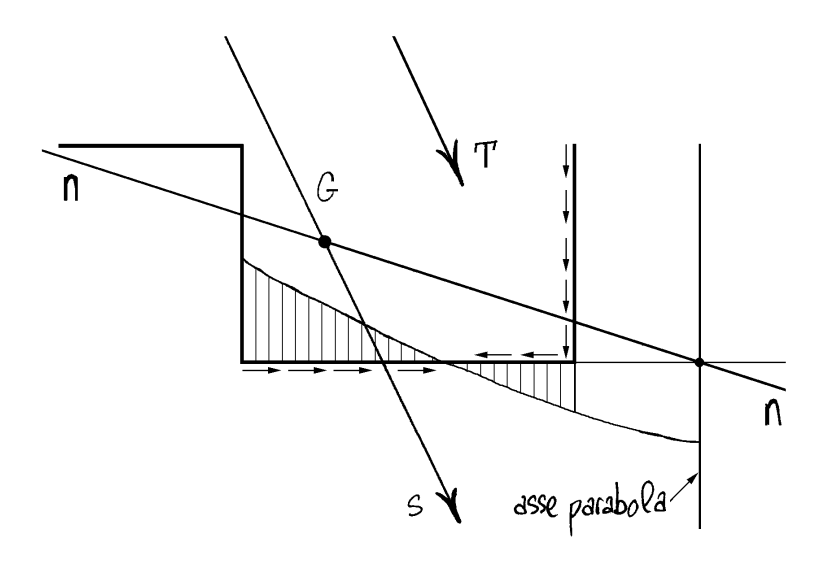
avendo ancora scomposto l'area  $A^*$  nelle due quote A(r) e  $\overline{A}$  e dove  $\overline{s}$  è la distanza del baricentro dell'area A(r) dall'asse neutro. Se  $\alpha$  è l'angolo tra la linea media del tratto e l'asse neutro e  $\beta$  è l'angolo tra asse neutro e asse di sollecitazione, risulta:

$$\overline{s} \sin \beta = \frac{r+h}{2} \sin \alpha \implies \overline{s} = \frac{r+h}{2} \frac{\sin \alpha}{\sin \beta}$$

Si ha quindi infine:

$$S_n(r) = \frac{b}{2} \frac{\sin \alpha}{\sin \beta} \left( r^2 - h^2 \right) + \overline{S}_n .$$

Tale equazione è quadratica in ¿ e quindi il diagramma delle tensioni normali è parabolico. Mancando nell'equazione ne della parabola il termine lineare in ¿, ne risulta che l'asse della parabola passa per il punto ¿=0, ovverossia per l'in=tersezione della linea media del tratto con l'asse neutro. In corrispondenza di tale punto, se appartiene al tratto, si ha

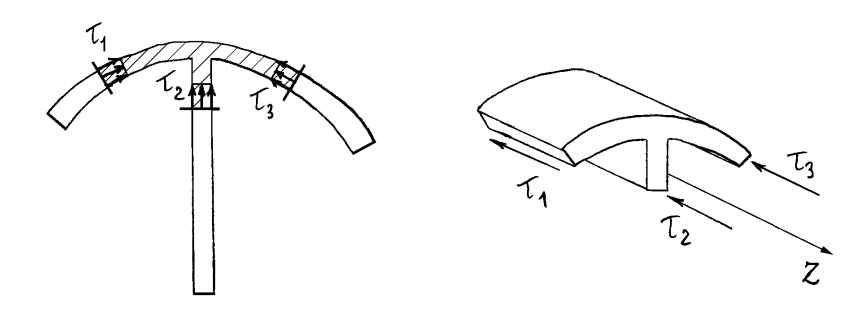


dunque un massimo relativo per la tensione tangenziale. Questo e' in accordo cal fatto che, attraversato tale punto, le aree successive hanno distanza dall'asse neutro di segno opposto e quindi il momento statico, in modulo, inizia a diminuire.

#### Equilibrio in un nodo triplo

Si concideri l'equilibrio alla Jouravski di un nodo in cui convergono tre tratti (nodo triplo). Sequendo le convenzioni illustrate in figura e tenendo conto che al limite l'area tende a zero e che quindi la presenza di eventuali tensioni normali non influenza l'equilibrio del nodo si ottiene:

$$- T_1 b_1 d\xi - T_2 b_2 d\xi - T_3 b_3 d\xi = 0$$



e quindi:

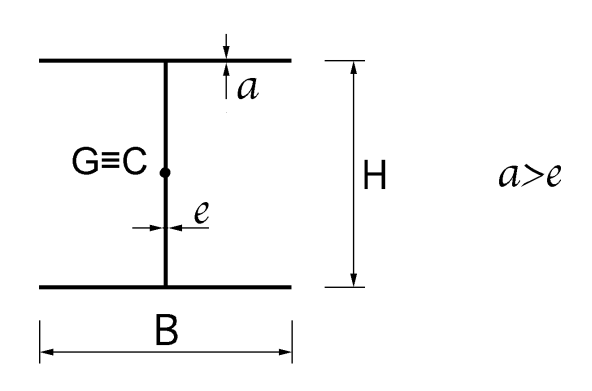
$$\tau_1 b_1 + \tau_2 b_2 + \tau_3 b_3 = 0$$

Ci si riferisce alla risultante Tb lungo una cordagenerica chiamandola "flusso" delle tensioni tangenziali attra = verso la corda. Ne risulta che il flusso globale in ingresso in un nodo triplo e' nullo.

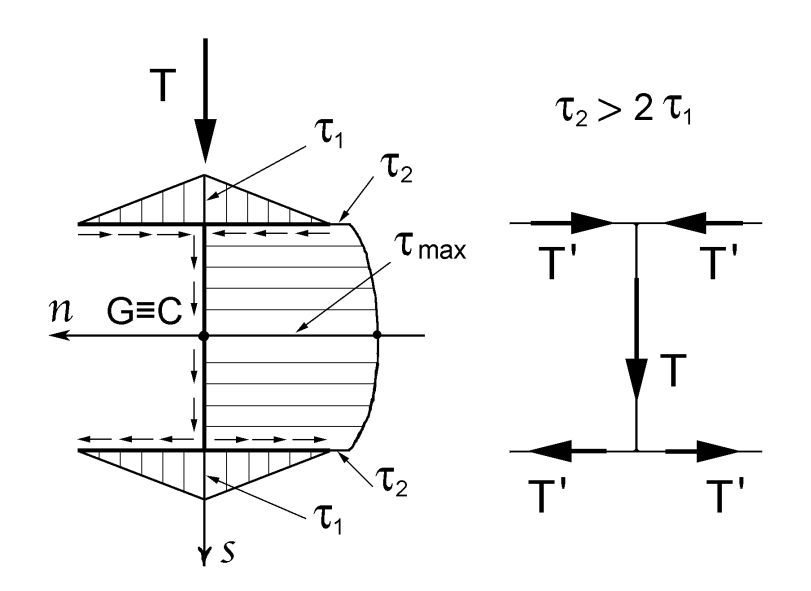
Naturalmente quanto detto per un nodo triplo vale per un qualunque altro nodo.

# 6.4.8 La sezione a doppio T

La sezione presenta due assi di simmetria e quindi il centro di taglio coincide con il baricentro. Nel caso il



taglio abbia quale retta d'azione la linea media dell'anima, tale linea media rappresenta l'asse di sollecitazione s mentre l'asse neutro n gli e' artagonale. Il taglio e' simmetrico ri= spetto all'asse di sollecitazione ed emisimmetrico rispetto all'asse neutro. Il diagramma delle tensioni tangenziali e' lineare lungo le ali e parabolico lungo l'anima con asse della parabola in corrispondenza del baricentro. Le tensioni tangenziali lungo l'anima devono avere come risultante il taglio applicato. Quindi il verso delle tensioni tangenziali lungo l'anima deve essere concorde al verso



del taglio. Tenendo conto che il flusso globale nei due nodi tripli deve essere nullo e che l'asse di sollecitazione e' di Simmetria si deduce automaticamente il verso delle tensioni tangenziali lungo le ali. Se T1 e T2 sono i moduli delle tensioni tangenziali, in vicinanza dei nodi tripli, rispettivamente nelle ali e nell'anima, l'equazione di flusso, con i versi di figura, richiede:

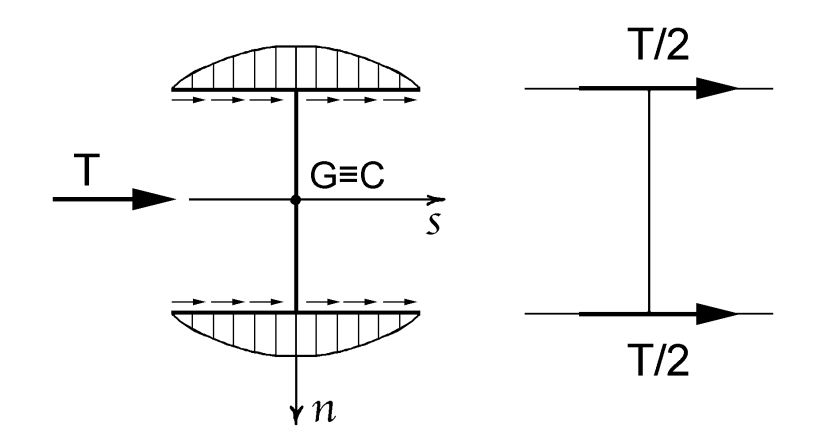
$$\mathcal{L}_1 e + \mathcal{L}_1 e - \mathcal{L}_2 a = 0 \implies \mathcal{L}_2 = 2 \frac{e}{a} \mathcal{L}_1$$

dove e ed a sous gli spessori delle ôli e dell'anima rispettivamente. Se e > a, che e' lo standard delle serioni à doppio T, ollora  $\ell_2 > 2\,\tau_1$ .

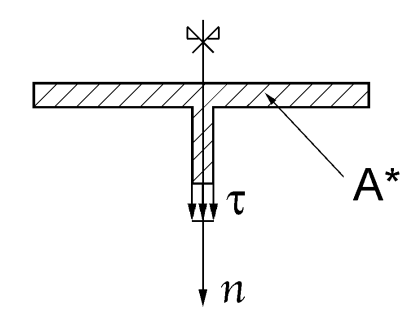
La massima tensione tangenziale Tmax la si ha in cor= rispondenza dell'intersezione tra asse neutro e linea media dell'anima, dove la parabola presenta il suo massimo.

In figura e anche riportato il quadro delle risultanti delle tensioni tangenziali nei vari tratti, avendo indicato con T' il modulo della risultante su mezza ala, che per simmetria ed envisimmetria e uguale per tutte e quattro le mezze ali.

Nel caso il taglio abbia invece quale retta d'azione la retta baricentrica parallela alle ali allora l'asse neutro coincide con la linea media dell'anima. Ancora, il taglio



e' simmetrico rispetto all'asse di sollecitazione ed emisimme = trico rispetto all'asse neutro. Il diagramma delle tensioni e' lineare lungo l'anima e parabolico sulle ali. In par= ticolare, il diagramma lungo l'anima e' nullo. Infatti l'asse neutro e' asse di simmetria per qualunque area A\* in= dividuata da una corda lungo l'anima e quindi il momento statico Sn e' nullo. Alternativamente, le eventuali ten sioni tangenziali lungo una corda dell'anima sono simmetri che rispetto all'asse neutro. Essendo tale asse di enuisimme =



tria, tali teusioni tangenziali devono essere nulle.

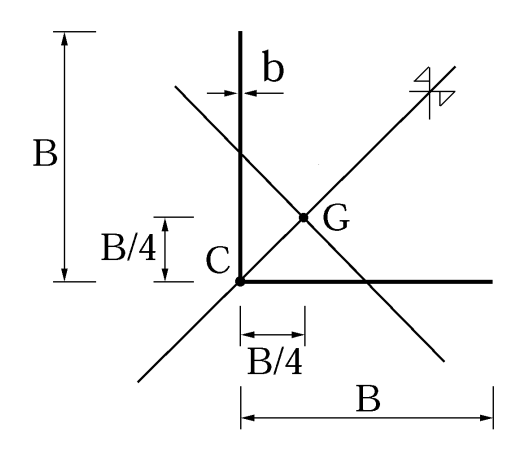
Gli assi delle due parabole coincidono entrambi con l'asse
neutro. Il flusso lungo le ali, a differenza del caso pre
cedente, ha sempre le stesso verso, poiche il flusso lungo
l'anima e nullo. Tale verso deve essere in accordo con il
verso della forza di taglio.

## 6.4.9 La sezione a L a lati uguali

La sezione presenta un'asse di simmetria, inclinato di  $45^{\circ}$  rispetto ai lati, che contiene baricentro e centro di taglio. Come già visto, il centro di taglio è situato alla intersezione dei lati. Il baricentro è invece posizionato alla intersezione tra l'asse di simmetria e l'allineamento dei baricentri dei due lati, e si trova quindi alla distanza  $\frac{B}{4}$  dai lati, se B è la loro lunghezza.

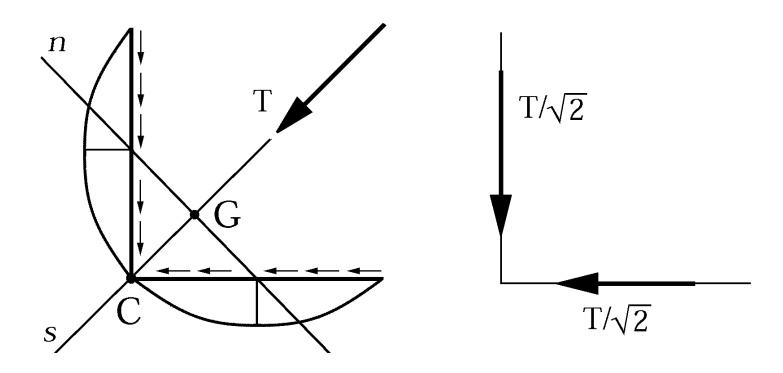
Si consideri innanzitutto il caso di un taglio avente quale retta d'azione l'asse di simmetria, che risulta di simmetria anche per il taglio applicato. L'asse neutro è la retta che passa per i baricentri dei due lati. Poichè i lati sono inclinati rispetto all'asse neutro, i diagrammi delle tensioni tangenziali sui due lati sono paraboloci, con assi delle parabole in corrispondenza dei baricentri dei due lati.

Si consideri poi il caso di un taglio avente quale retta d'azione la retta per

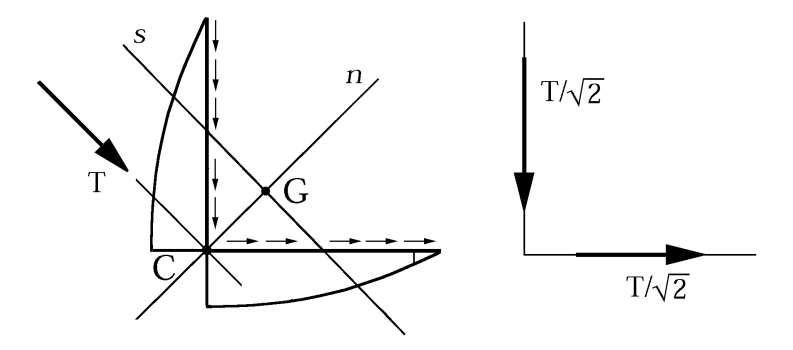


il centro di taglio perpendicolare all'asse di simmetria. L'asse neutro coincide con l'asse di simmetria, i diagrammi delle tensioni tangenziali sui due lati sono ancora paraboloci e gli assi delle parabole sono in corrispondenza del centro di taglio (dove i lati intersecano l'asse neutro).

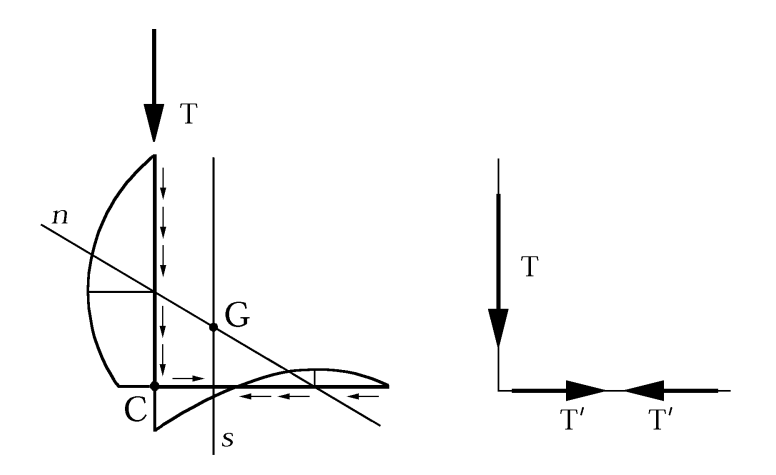
Si consideri infine il caso di un taglio avente quale retta d'azione la retta verticale per il centro di taglio. L'asse di sollecitazione è la retta verticale per G e l'asse neutro è il coniugato di questo. Poichè l'asse verticale non è principale di inerzia il suo coniugato è inclinato rispetto alla verticale. Ne consegue che i due lati della sezione a L sono inclinati rispetto all'asse neutro e che quindi i diagrammi delle tensioni tangenziali sui due lati sono



249

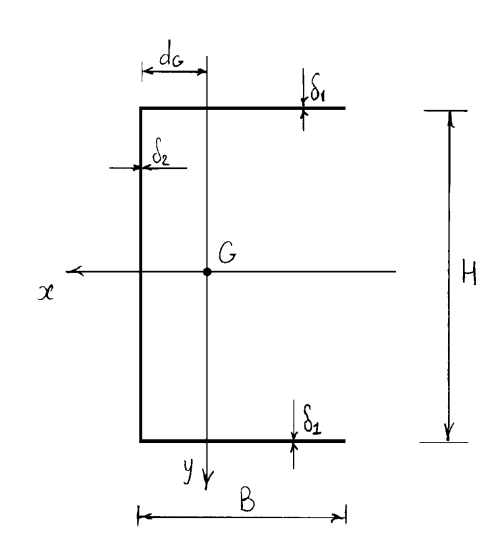


paraboloci, con gli assi delle parabole posti in corrispondenza delle intersezioni con l'asse neutro. Dovendo essere nulla la risultante orizzontale delle tensioni tangenziali, l'intersezione dell'asse neutro con il lato orizzontale della sezione deve essere situata necessariamente nella metà destra del lato.

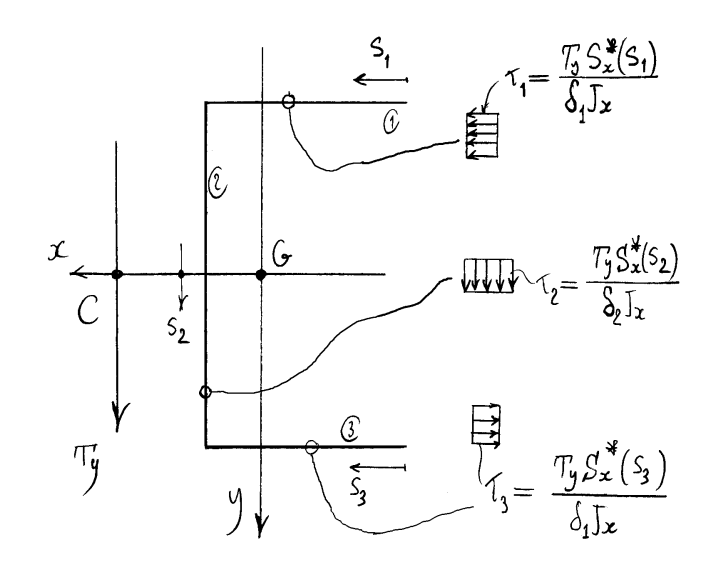


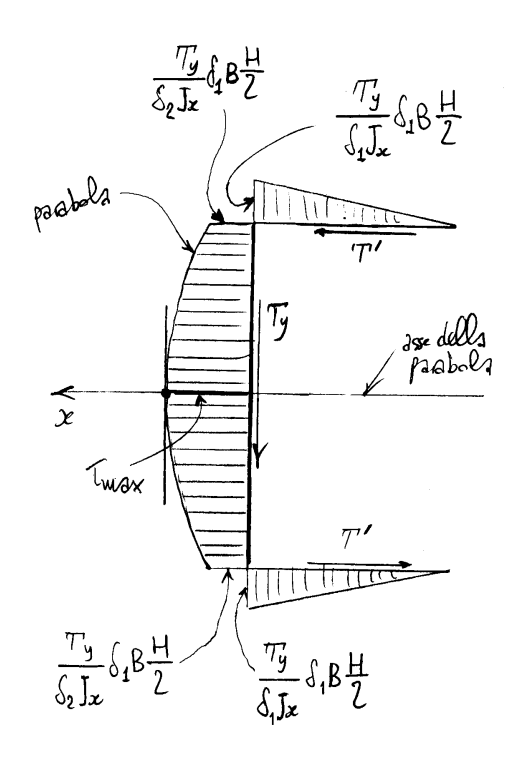
## 6.4.10 La sezione a C

Si consideri la sezione a C di figura, di cui si sono già calcolate le caratteristiche inerziali.



### Taglio parallelo all'anima passante per il centro di taglio

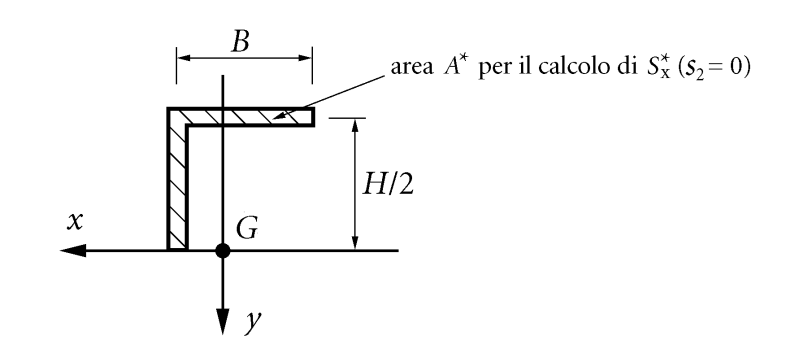




La tensione tangenziale massima, agente in corrispondenza della corda posta sull'asse x, vale:

$$T_{\text{max}} = T_2(0) = -\frac{T_y}{S_0 J_x} \left( \frac{S_1 B H}{2} + \frac{S_2 H^2}{8} \right),$$

dore il segno nogativo significa che il verso di T e vocante call'area  $A^*$  che si e origiderata nel calcal di  $S_x^*(S_2)$ .



Verifichiano che l'integrale delle  $\tau_{xy}$  (agenti nell'anima del profilato) formisce il taglio  $T_y$  applicato  $\begin{pmatrix}
S_x^*(S_1) = -\delta_1 S_1 \frac{H}{2} \\
S_x^*(S_2) = -\delta_1 B \frac{H}{2} - \delta_2 (\frac{H}{2} + S_2) \left[ \frac{1}{2} (\frac{H}{2} + S_2) - S_2 \right] \\
= -\delta_1 B \frac{H}{2} - \frac{\delta_2}{2} (\frac{H^2}{4} - S_2^2)$   $S_x^*(S_3) = \delta_1 S_3 \frac{H}{2}$ 

$$\int_{-\frac{H}{2}}^{\frac{H}{2}} \int_{2}^{2} ds_{2} = -\frac{T_{y}}{\delta_{2} J_{x}} \int_{-\frac{H}{2}}^{\frac{H}{2}} \int_{x}^{x} (s_{2}) \delta_{2} ds_{2}$$

$$= \frac{T_{y}}{J_{x}} \int_{-\frac{H}{2}}^{\frac{H}{2}} \delta_{1} B \frac{H}{2} + \frac{\delta_{2}}{2} (\frac{H^{2}}{4} - s_{2}^{2}) ds_{2}$$

$$= \frac{T_{y}}{J_{x}} \left\{ \delta_{1} B \frac{H^{2}}{2} + \frac{\delta_{2}}{2} (\frac{H^{3}}{4} - \frac{H^{3}}{12}) \right\} =$$

$$= \frac{T_{y}}{J_{x}} \left\{ \delta_{1} B \frac{H^{2}}{2} + \delta_{2} \frac{H^{3}}{12} \right\} = T_{y} .$$

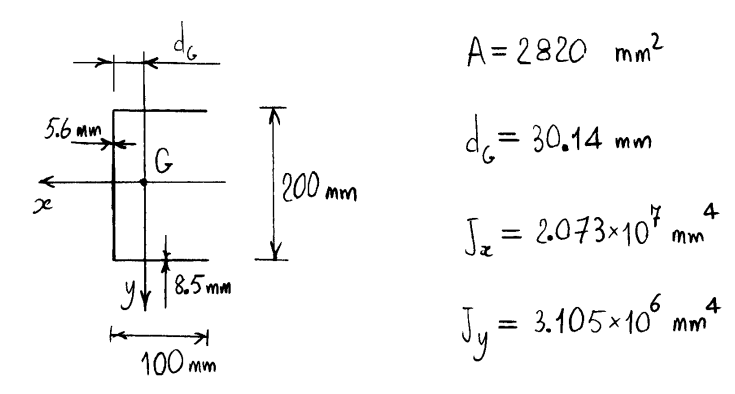
Per quel che riguarda i segui, si è territo conto che nell'anima  $\tau_{xy} = -\tau_z$ . Infatti  $\tau_z$  è positivo se diretto verso l'alto (se entrante nella sezione) mentre  $\tau_{xy}$  è positivo se diretto verso il basso, data che questa è l'orientazione di y.

$$\begin{split} \chi_y &= \frac{A}{J_x^2} \int_{\mathbb{R}} \frac{S_x^{*2}}{\delta_1} ds = \\ &= \frac{A}{J_x^2} \left\{ 2 \int_{0}^{8} \frac{\delta_1 H^2}{4} \xi^2 d\xi + \int_{-\frac{H}{2}}^{\frac{H}{2}} \left[ \delta_1 B \frac{H}{2} + \frac{\delta_2}{2} \left( \frac{H^2}{4} - \xi^2 \right) \right]^2 d\xi \right\} \\ &= \frac{A}{J_x^2} \left\{ \frac{\delta_1 B^3 H^2}{6} + \int_{-\frac{H}{2}}^{\frac{H}{2}} \left[ \frac{S_1^2 B^2 H^2}{4 S_2} + \frac{S_1 B H^3}{8} - \frac{S_1 B H \xi^2}{2} \right] + \frac{S_2 H^4}{4 \times 16} - \frac{S_2 H^2 \xi^2}{8} + \frac{S_2 \xi^4}{4} \right\} d\xi \right\} = \\ &= \frac{A}{J_x^2} \left\{ \frac{\delta_1 B^3 H^2}{6} + \frac{\delta_1^2 B^2 H^3}{4 S_2} + \frac{S_1 B H^4}{8} - \frac{S_1 B H^4}{24} + \frac{S_2 H^5}{4 \times 16} - \frac{S_2 H^5}{6 \times 16} + \frac{S_2 H^5}{20 \times 16} \right\}, \end{split}$$

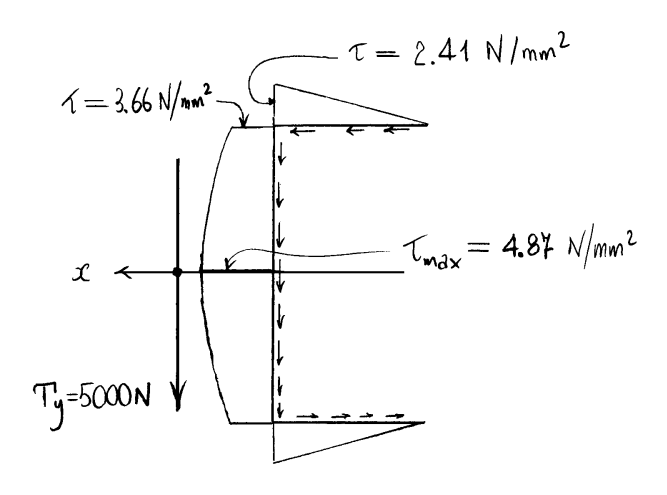
e infine:

$$\chi_y = \frac{A}{J_x^2} \left\{ \frac{1}{6} \, \delta_1 B^3 H^2 + \frac{1}{4 \, S_2} \, \delta_1^2 B^2 H^3 + \frac{1}{12} \, \delta_1 B H^4 + \frac{1}{120} \, \delta_2 H^5 \right\}.$$

Si consideri ora l'esempio numerico riportato in figura, di cui si sono già calcolate le quantità inerziali.



I valori più significativi delle tensioni tangenziali, dovute ad un taglio  $T_{\gamma}=5000~\mathrm{N}$  , sono riportati in figura.



Inoltre:

$$\chi_{\rm y} = 2.906$$
.

#### Centro di taglio

Si indidua ora il centro di taglio C attraverso la risultante delle tensioni tangenziali dovute al taglio  $T_{\mathcal{Y}}$  passante per tale centro. Poiché la forza risultante è verticale i contributi delle due ali sono uguali ed opposti ed equivalgono ad una coppia. La risultante nell'anima deve valere  $T_{\mathcal{Y}}$ . Tale sistema di forze è equivalente ad un'unica forza  $T_{\mathcal{Y}}$  passante per il centro di taglio C, per cui deve risultare:

$$T_{y} d_{c} = T' H,$$

$$\frac{d_{C}}{d_{G}} d_{G}$$

$$T'$$

$$T'$$

$$T'$$

$$y$$

e quindi:

$$d_c = \frac{T'}{T_y} H.$$

La forza T' agente nelle ali vale:

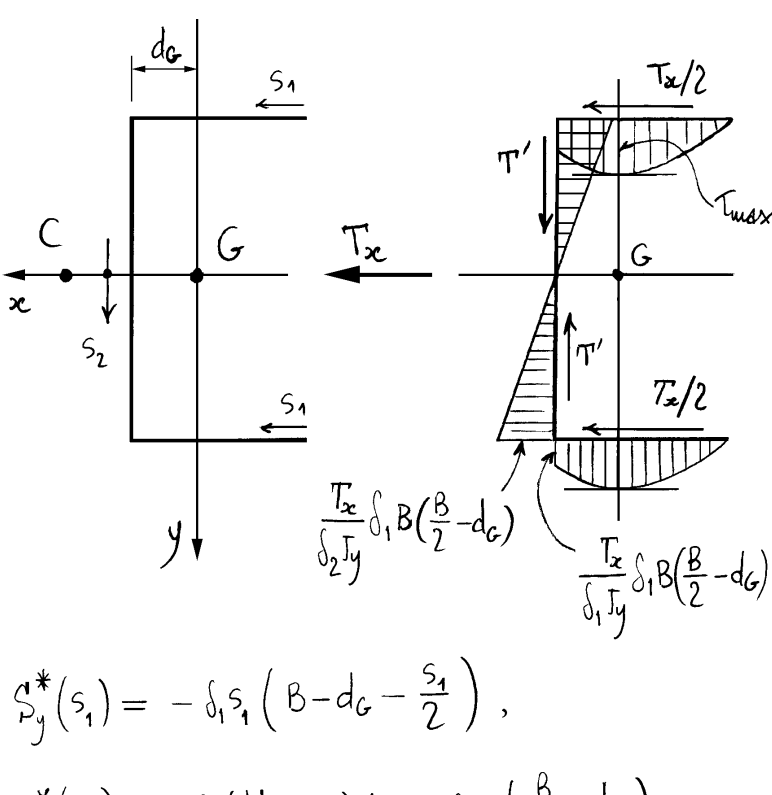
$$T' = \frac{T_j}{\delta_* J_x} \frac{\delta_1 B H}{2} \delta_1 \frac{B}{2} = \frac{T_j}{J_x} \frac{\delta_1 B^2 H}{4},$$

e si ottiene definitivamente:

$$d_c = \frac{1}{J_x} \frac{\delta_1 B^2 H^2}{4} ,$$

conformemente a quanto già ottenuto utilizzando la funzione di ingobbamento.

### Taglio agente secondo l'asse di simmetria



$$S_{y}^{*}(s_{1}) = -\delta_{1}s_{1}\left(B-d_{G}-\frac{1}{2}\right),$$

$$S_{y}^{*}(s_{2}) = \delta_{2}\left(\frac{H}{2}+s_{2}\right)d_{G}-\delta_{1}B\left(\frac{B}{2}-d_{G}\right).$$

Per S = B-dc:

$$T_{\text{max}} = \frac{T_{x}}{\delta_{1}J_{y}} \frac{\left(B - d_{G}\right)^{2}}{2} = \frac{T_{x}}{J_{y}} \frac{\left(B - d_{G}\right)^{2}}{2}.$$

## Pattore di toglio secondo se

$$\chi_{x} = \frac{A}{J_{y}^{2}} \int_{Q} \frac{S_{y}^{*2}}{b} ds =$$

$$= \frac{A}{J_{y}^{2}} \left\{ 2 \int_{0}^{B} S_{1} S_{1}^{2} \left( B - dc - \frac{S_{1}}{2} \right)^{2} dS_{1} \right.$$

$$+ \int_{-\frac{H}{2}}^{\frac{H}{2}} \frac{1}{S_{2}} \left[ S_{2} \left( \frac{H}{2} + S_{2} \right) dc - S_{1} B \left( \frac{B}{2} - dc \right) \right]^{2} dS_{2}.$$

# Fattore di taglio misto

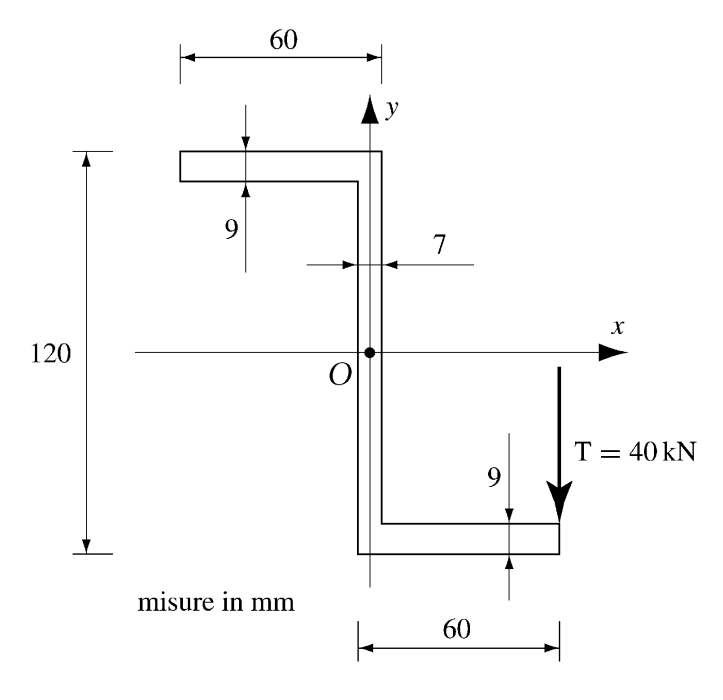
Poiche ze et asse di simmetria il fattore di taplio misto si annulla:

$$\chi_{xy} = 0$$
.

In altre parole, x e y sous assi principali di teglio.

#### **6.4.11** Sezione a Z

Si consideri la sezione a Z sotto riportata soggetta ad un taglio verticale  $T=40~\mathrm{kN}$ .

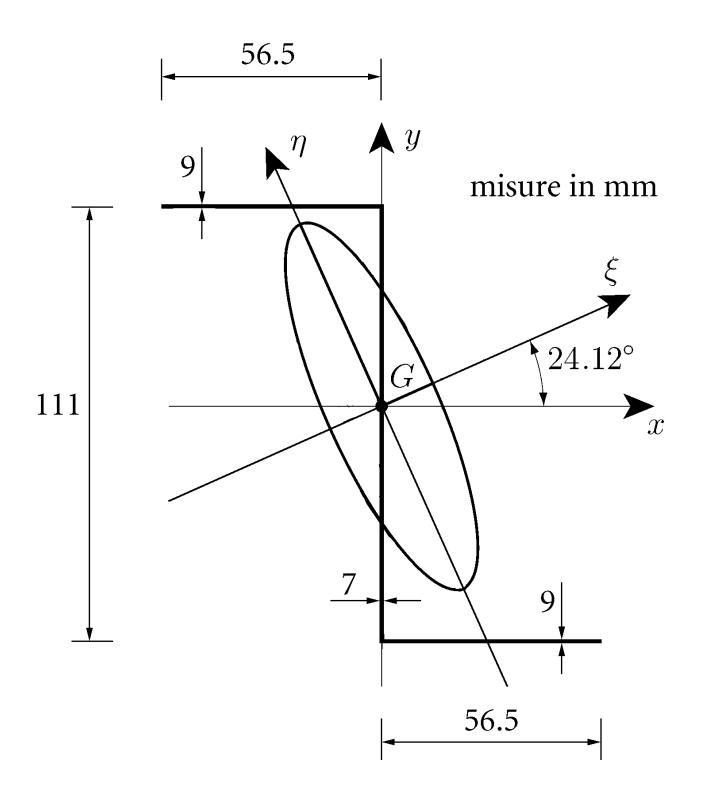


Di tale sezione sono già state calcolate le quantità inerziali:

$$\begin{cases} J_{\xi} = 464.419 \text{ cm}^4\\ J_{\eta} = 36.838 \text{ cm}^4 \end{cases},$$

$$\alpha_{\xi} = 24.12^{\circ}$$
.

Come già detto, la sezione presenta una simmetria polare, cioè è invariante per rotazioni di 180° attorno al punto *O*, punto che deve quindi coincidere con il baricentro. In tale

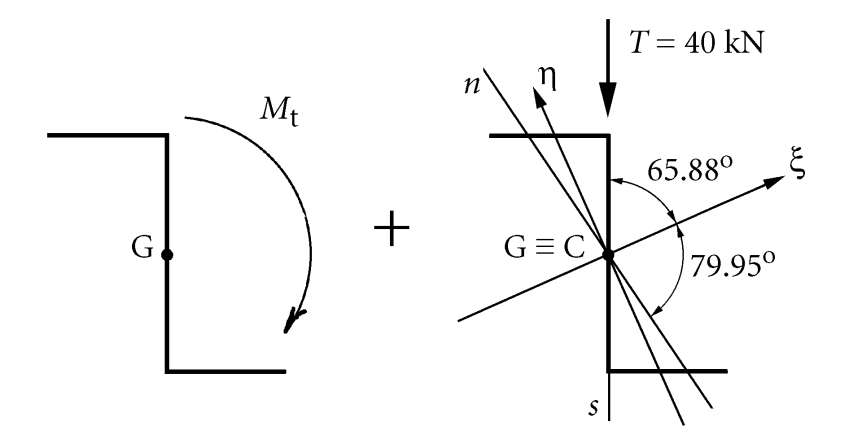


rotazione un taglio qualunque passante per O cambia di segno (cioè presenta una emisimmetria polare). Ne consegue che un tale taglio non può provocare una rotazione di tipo torsionale della sezione, essendo tale rotazione invariante e quindi simmetrica. Il polo O deve quindi coincidere con il centro di taglio C.

Il problema può quindi essere risolto sovrapponendo un problema di torsione con uno di taglio passante per il centro di taglio.

Il momento torcente  $M_t$  è orario e di modulo:

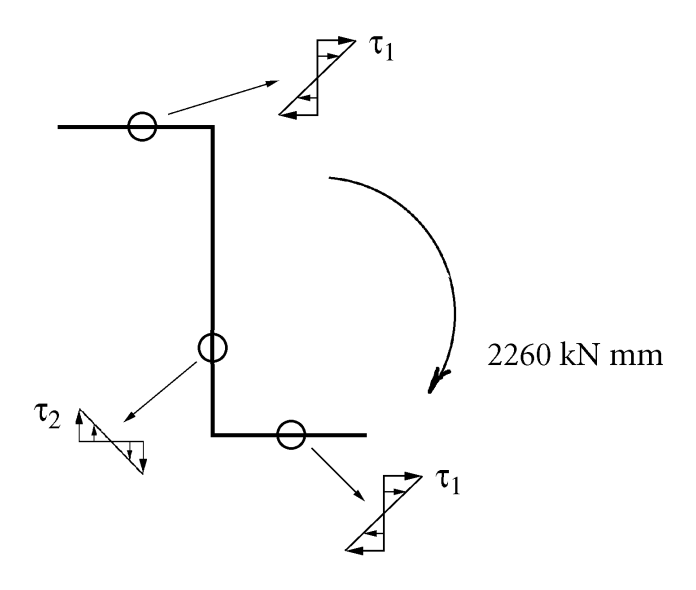
$$M_t = 40 \text{kN} \times 56.5 \text{ mm} = 2260 \text{ kN mm},$$



mentre il fattore torsionale di rigidezza vale:

$$J_{t} = \frac{1}{3} [2 \times 56.5 \text{ mm} \times (9 \text{ mm})^{3} + 111 \text{ mm} \times (7 \text{ mm})^{3}] =$$

$$= 40150 \text{ mm}^{4}.$$



Le tensioni tangenziali valgono quindi:

$$\tau_1 = \frac{2.26 \times 10^6 \text{ N mm}}{40150 \text{ mm}^4} \text{ 9 mm} = 506.60 \text{ N/mm}^2,$$

$$\tau_2 = \frac{2.26 \text{ X } 10^6 \text{ N mm}}{40150 \text{ mm}^4} \text{ 7 mm} = 394.02 \text{ N/mm}^2.$$

La forza di taglio può essere scomposta nelle due direzioni principali di inerzia:

$$T_{\xi} = -T \sin \alpha_{\xi} = -0.409 T = -16.36 \text{ kN},$$
  
 $T_{\eta} = -T \cos \alpha_{\xi} = -0.913 T = -36.52 \text{ kN}.$ 

Si procede calcolando i soli moduli delle tensioni tangenziali. Nel caso della componente  $T_{\eta}$  si ottiene:

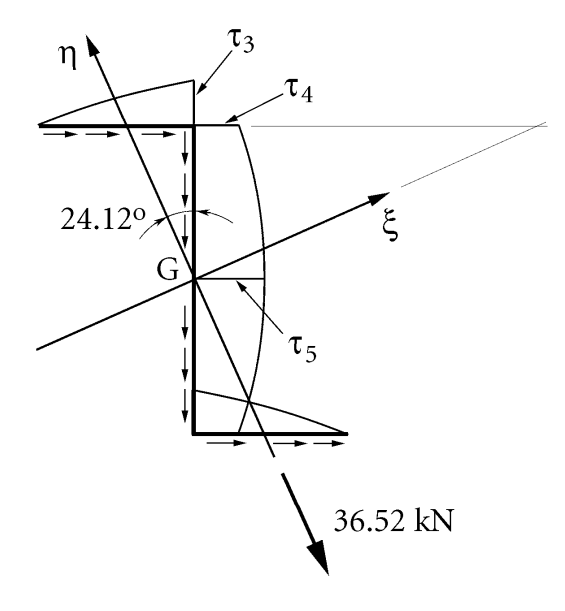
$$S_3^* = S_4^* = (9 \text{ mm x } 56.5 \text{ mm}) \text{ x}$$

$$\text{x} \left\{ \frac{111 \text{ mm}}{2} \cos 24.12^\circ + \frac{56.5 \text{ mm}}{2} \text{ x } \sin 24.12^\circ \right\} =$$

$$= 31628 \text{ mm}^3,$$

$$\tau_3 = \frac{36520 \text{ N x } 31628 \text{ mm}^3}{9 \text{ mm x } (4.64419 \text{ x } 10^6 \text{ mm}^4)} = 27.63 \text{ N/mm}^2,$$

$$\tau_4 = \frac{36520 \text{ N x } 31628 \text{ mm}^3}{7 \text{ mm x } (4.64419 \text{ x } 10^6 \text{ mm}^4)} = 35.52 \text{ N/mm}^2,$$



$$S_5^* = S_3^* + 7 \text{ mm x } \frac{111 \text{ mm}}{2} \text{ x } \left[ \frac{111 \text{ mm}}{4} \text{ x } \cos 24.12^{\circ} \right] =$$

$$= 41468 \text{ mm}^3,$$

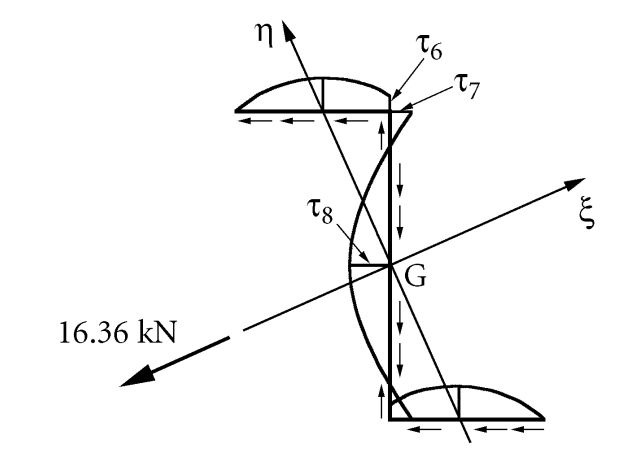
$$\tau_5 = \frac{36520 \text{ N x } 41468 \text{ mm}^3}{7 \text{ mm x } (4.64419 \text{ x } 10^6 \text{ mm}^4)} = 46.57 \text{ N/mm}^2.$$

Per quel che riguarda la componente  $T_{\xi}$  si ottiene invece:

$$S_{6}^{*} = S_{7}^{*} = (9 \text{ mm x } 56.5 \text{ mm}) \text{ x}$$

$$x \left\{ \frac{56.5 \text{ mm}}{2} \text{ x } \cos 24.12^{\circ} - \frac{111 \text{ mm}}{2} \text{ x } \sin 24.12^{\circ} \right\} =$$

$$= 1581 \text{ mm}^{3},$$



$$\tau_6 = \frac{16360 \text{ N} \times 1578 \text{ mm}^3}{9 \text{ mm} \times (3.6838 \times 10^5 \text{ mm}^4)} = 7.79 \text{ N/mm}^2,$$

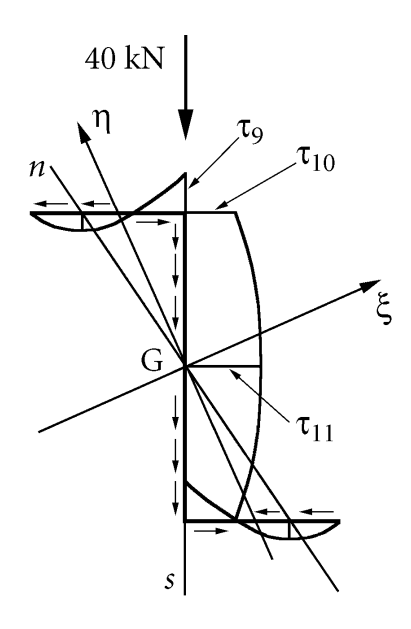
$$\tau_7 = \frac{16360 \text{ N} \times 1578 \text{ mm}^3}{7 \text{ mm} \times (3.6838 \times 10^5 \text{ mm}^4)} = 10.02 \text{ N/mm}^2,$$

$$S_8^* = 7 \text{ mm x } \frac{111 \text{ mm}}{2} \text{ x } [\frac{111 \text{ mm}}{4} \text{ x sin } 24.12^{\circ}] - S_6^* =$$

$$= 2824 \text{ mm}^3,$$

$$\tau_8 = \frac{16360 \text{ N x } 2827 \text{ mm}^3}{7 \text{ mm x } (3.6838 \text{ x } 10^5 \text{ mm}^4)} = 17.90 \text{ N/mm}^2.$$

Considerando invece la forza di taglio complessiva, l'asse di sollecitazione *s* della flessione associata al taglio coincide con l'asse



y verticale. Risulta quindi:

$$\hat{\xi s} = 90^{\circ} - \alpha_{\xi} = 65.88^{\circ}.$$

Utilizzando la formula di coniugio, si ottiene allora l'inclinazione dell'asse neutro *n*:

$$\hat{\xi n} = \tan^{-1} \left\{ -\frac{464.419 \text{ cm}^4}{36.838 \text{ cm}^4 \text{ x } \tan 65.88^\circ} \right\} = -79.95^\circ.$$

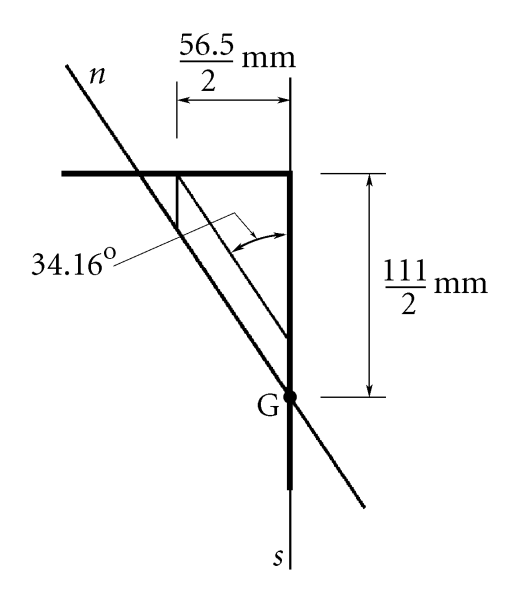
Tenendo conto che  $\widehat{ns} = 180^{\circ} - (65.88^{\circ} + 79.95^{\circ}) = 34.16^{\circ}$ , il momento di inerzia  $J_n$  rispetto all'asse neutro risulta:

$$J_n = \frac{464.419 \,\mathrm{cm}^4 \,\mathrm{x} \cos^2 \left(-79.95^{\mathrm{o}}\right) + 36.838 \,\mathrm{cm}^4 \,\mathrm{x} \sin^2 \left(-79.95^{\mathrm{o}}\right)}{\sin^2 34.16^{\mathrm{o}}} = 158.094 \,\mathrm{cm}^4 \;.$$

I momenti statici valgono:

$$S_9^* = S_{10}^* = (9 \text{ mm x } 56.5 \text{ mm}) \text{ x} \left\{ \frac{111 \text{ mm}}{2} - \frac{56.5 \text{ mm}}{2 \text{ x } \tan 34.16^{\circ}} \right\}$$
  
= 7055 mm<sup>3</sup>,

$$S_{11}^* = S_9^* + \left[7 \text{ mm x } \frac{111 \text{ mm}}{2}\right] \text{ x } \left\{\frac{111 \text{ mm}}{4}\right\} = 17836 \text{ mm}^3.$$



Si ottengono così le seguenti tensioni tangenziali:

$$\tau_9 = \frac{40000 \text{ N x } 7055 \text{ mm}^3}{9 \text{ mm x } (1.58094 \text{ x } 10^6 \text{ mm}^4)} = 19.83 \text{ N/mm}^2,$$

$$\tau_{10} = \frac{40000 \text{ N x } 7055 \text{ mm}^3}{7 \text{ mm x } (1.58094 \text{ x } 10^6 \text{ mm}^4)} = 25.50 \text{ N/mm}^2,$$

$$\tau_{11} = \frac{40000 \text{ N x } 17836 \text{ mm}^3}{7 \text{ mm x } (1.58094 \text{ x } 10^6 \text{ mm}^4)} = 64.47 \text{ N/mm}^2.$$

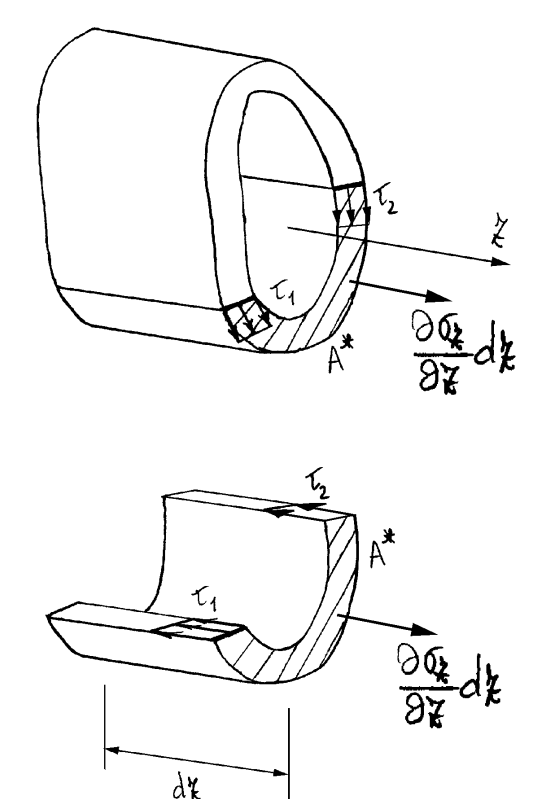
Si noti che, come deve essere, risulta:

$$\begin{split} &\tau_9 = \tau_3 - \tau_6 = (27.63 - 7.79) \text{ N/mm}^2 = 19.83 \text{ N/mm}^2, \\ &\tau_{10} = \tau_4 - \tau_7 = (35.52 - 10.02) \text{ N/mm}^2 = 25.50 \text{ N/mm}^2, \\ &\tau_{11} = \tau_5 + \tau_8 = (46.57 + 17.90) \text{ N/mm}^2 = 64.47 \text{ N/mm}^2. \end{split}$$

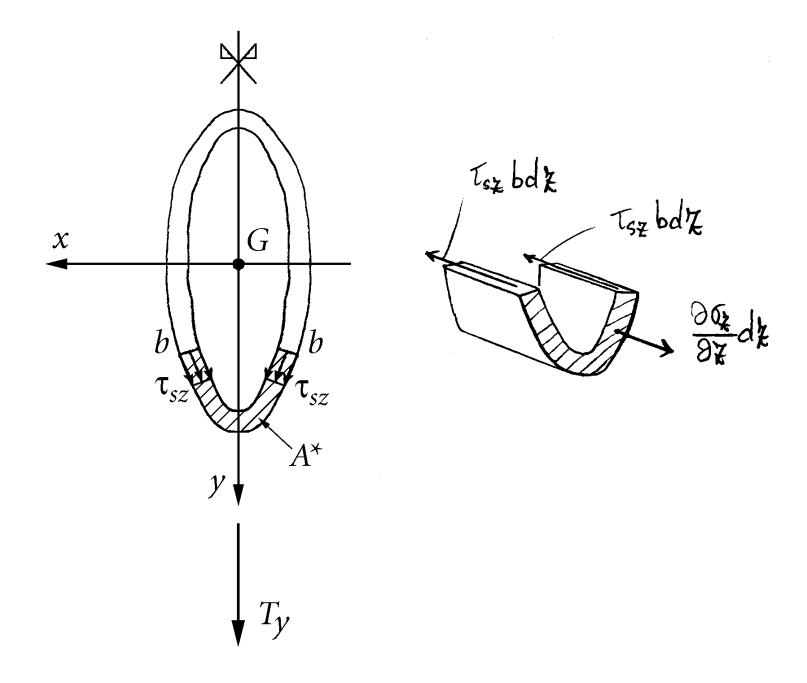
ATTENZIONE! Si tenga conto che i risultati numerici precedenti sono stati ottenuti operando in doppia precisione, con la successiva approssimazione a due cifre decimali. Questo rende apparentemente inconsistente la prima delle relazioni precedenti.

### 6.4.12 Il taglio nelle sezioni sottili chiuse simmetriche

Se la sezione sottile chiusa è biconnessa, occorrono due sezioni longitudinali in corrispondenza di due corde per isolare l'elemento di trave su cui imporre l'equilibrio alla traslazione nella direzione dell'asse della trave. Questo significa che si ha a disposizione una sola equazione per le due incognite che rappresentano le tensioni tangenziali in corrispondenza delle due corde.



Se la sezione presenta un asse di simmetrica e il taglio è simmetrico è possibile scegliere due corde in posizione simmetrica, nelle quali agisce di conseguenza una tensione tangenziale simmetrica.



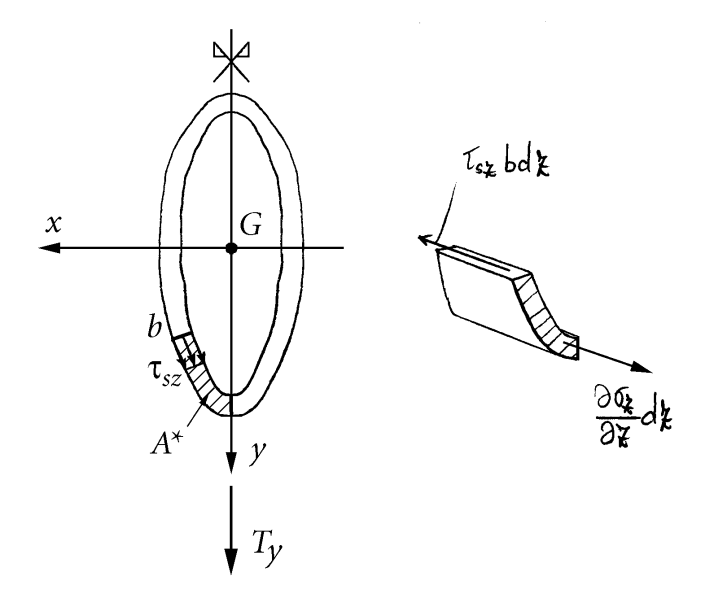
In tal modo le due incognite si riducono ad una sola e risulta:

$$2 \, T_{sx} \, b \, dx = \int_{A^*} \frac{\partial G_x}{\partial x} \, dx \, dA \implies T_{sx} = \frac{T_y \, S_x^*}{2 \, b \, J_x},$$

dove  $S_x^*$  è il momento statico di una delle due parti in cui la sezione è divisa dalle due corde in posizione simmetrica.

Alternativamente, occorre considerare che in una corda posta sull'asse di simmetria la tensione tangenziale è emisimmetrica e quindi nulla. Ne consegue che una delle due corde può essere scelta sull'asse di simmetria, dove la tensione tangenziale è nulla e quindi nota, e ancora le due incognite si riducono ad una sola:

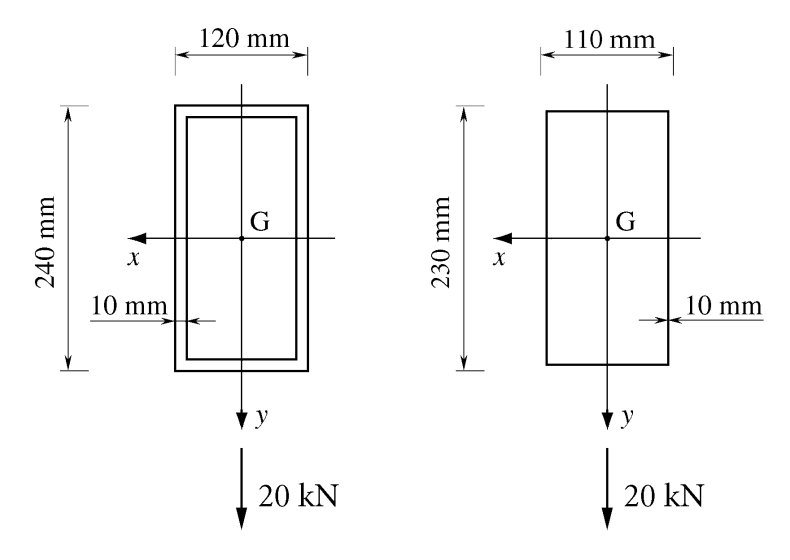
$$T_{SX} bdX = \int_{A^*} \frac{\partial G_{X}}{\partial x} dx dA \implies T_{SX} = \frac{T_{SX}}{b} J_{X}$$



Si osservi che in tal caso il momento statico  $S_x^*$  vale la metà di quello del caso precedente, in accordo col fatto che ora l'incognita compare solo una volta mentre nel caso precedente compariva due volte.

### 6.4.13 Sezione scatolare rettangolare

Quale esempio si condideri la sezione scatolare sottile di figura, già utilizzata in un esempio sul problema della torsione, soggetta ad una forza di taglio verticale di 20 kN.



Si utilizza la formula:

$$\tau_{\rm sz} = \frac{T S^*_{x}}{2 b J_{x}},$$

relativa alla scelta di due corde in posizione simmetrica. Risulta:

$$J_x = 2 \times \left\{ \frac{10 \text{ mm}}{12} (230 \text{ mm})^3 + (10 \text{ mm} \times 110 \text{ mm}) \left[ \frac{230 \text{ mm}}{2} \right]^2 \right\} =$$

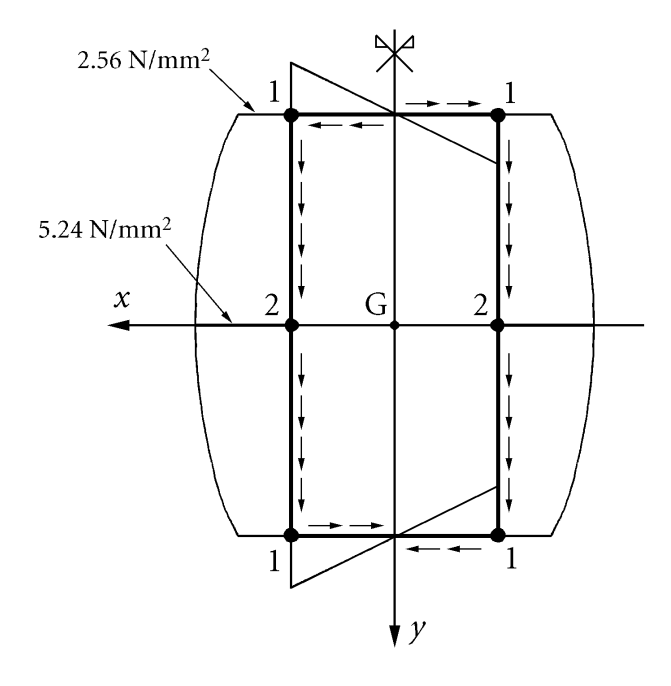
$$= 4.93733 \times 10^7 \text{ mm}^4,$$

$$S_{x1}^* = (10 \text{ mm x } 110 \text{ mm}) \frac{230 \text{ mm}}{2} = 126500 \text{ mm}^3,$$

$$S_{x2}^* = S_{x1}^* + 2 \text{ x } (10 \text{ mm x } \frac{230 \text{ mm}}{2}) \text{ x } \frac{230 \text{ mm}}{4} = 258750 \text{ mm}^3,$$

$$\tau_1 = \frac{20000 \text{ N x } 126500 \text{ mm}^3}{2 \text{ x } 10 \text{ mm x } (4.9373 \text{ x } 10^7 \text{ mm}^4)} = 2.56 \text{ N/mm}^2,$$

$$\tau_2 = \frac{20000 \text{ N x } 258750 \text{ mm}^3}{2 \text{ x } 10 \text{ mm x } (4.9373 \text{ x } 10^7 \text{ mm}^4)} = 5.24 \text{ N/mm}^2 \text{ .}$$



## **Bibliografia**

Gilardi, G. (1996) *Analisi Due.* Collana di Istruzione Scientifica, Serie di Matematica. McGraw-Hill Libri Italia, Milano, seconda edizione.

## **Indice analitico**

baricentro, 21	per unita di linea, 21
	momenti statici
caratteristiche della sollecitazione, 18	vettore dei, 21
centro di massa, 21	momento
equazioni (travi) indefinite di equilibrio, 22 equilibrio (travi) equazioni indefinite di , 22 Eulero-Bernoulli trave, 15	fettente, 20 torcente, 20  rotazione flessionale, 17 torsionale, 16
fettente momento, <b>20</b> forza	snervamento caratteristico, 63n sollecitazione caratteristiche della, <b>18</b> superficie laterale di una trave, <b>11</b>
normale, <b>19</b> funzione	•
di ingobbamento, 15	taglio, <b>19</b> tensore
inerzia	di inerzia, <b>21</b>
tensore di, 21	torcente
inflessa	momento, 20
trave, 15	trave
ingobbamento funzione di, <b>15</b>	a brusca variazione di sezione, 13 a grande curvatura, 12 a lenta variazione di sezione, 13
massa	a piccola curvatura, 12
centro di. 21	a veloce variazione di sezione. 13

```
cinematicamente piana, 33
    di Eulero-Bernoulli, 15
    di sezione sottile
      aperta, 15
    inflessa, 15
    piana, 34
    snella, 12
    staticamente piana, 34
    superficie laterale, 11
    tozza, 12
    vincolo di una, 21
Travi
    equazioni indefinite di equilibrio, 22
vettore
    dei momenti statici, 21
vincolo
    di una trave, 21
Vlasov
    teoria di, 15
```